

**UNIVERSITATEA DIN BUCUREȘTI
FACULTATEA DE GEOGRAFIE**

Constantin NIȚU

Călin Daniel NIȚU

Corneliu-Eftimie TUDOSE

Mircea Cristian VIȘAN

**SISTEME INFORMAȚIONALE GEOGRAFICE
ȘI
CARTOGRAFIE COMPUTERIZATĂ**

BUCUREȘTI 2002

Referenți științifici: Prof.dr. **MIHAI IELENICZ**
Prof.dr. **MIHAI GRIGORE**

c© Editura Universității din București
Sos. Panduri, 90 – 92, București – 76235; 410.23.84
ISBN: 973-575-650-1

Contribuția autorilor la realizarea lucrării:

Prof. univ. dr. ing. Constantin Nițu - coordonarea întregii lucrări și cap. I (1.1, 1.2, 1.3, 1.4 și 1.5), II, III (3.1, 3.3 și 3.4), IV (4.1, 4.2 și 4.3), V (5.1, 5.3 și 5.4) și anexele A - F;

Cpt. ing. Călin Daniel Nițu - cap. I (1.4 și 1.5), III (3.2, 3.3 și 3.4), IV (4.4), V (5.1 și 5.2.2) și anexele B - E;

Asist. univ. geograf Cornel Tudose - cap. I (1.4), III (3.2), cap. V (5.2.2), anexele D și E și standardizarea tuturor figurilor imaginii;

Prep. univ. geolog Vișan Mircea - cap. I (1.5), III (3.2), cap. V (5.2.2) și anexele D și F.

Culegere computerizată: prof. univ. dr. ing. Constantin Nițu și ing. Călin Daniel Nițu

Procesare a imaginilor: prof. univ. dr. ing. Constantin Nițu și asist. univ. Cornel Tudose

Tehnoredactare computerizată: Prep.univ. geolog Mircea Cristian VIȘAN

Coperta: Prep.univ. geolog Mircea Cristian VIȘAN

Cuprins

Cuvânt Înainte.....	5
Capitolul I: Sisteme informaționale geografice.....	14
Capitolul II Dezvoltări în fotogrametrie, teledetecție și cartografie.....	66
Capitolul III. Aspecte matematice în realizarea SIG.....	88
Capitolul IV Culegerea datelor SIG.....	118
Capitolul V Realizarea produselor SIG (cartografie computerizată).....	159
Bibliografie.....	266

CUVÂNT ÎNAINTE

Integrarea infrastructurii informaționale și a datelor geografice

Infrastructura informațională, componentă a societății moderne, trebuie să conțină și datele spațiale. Interfețele structurii informaționale permit accesul și la aceste date, din care fac parte și datele geografice. Toate celelalte date, clasificate pe teme, se atașază, de regulă, datelor de poziție, detaliilor sau arealelor geografice. Trebuie să se asigure accesul la date atât pentru experți, cât și pentru orice cetățean, potrivit unor criterii de acces. Sistemele informaționale geografice organizează și structurează datele geografice sau geodatele. Aceste date pot fi folosite eficient în alte sisteme, de exemplu în transporturi, comerțul prin poșta electronică, învățământ, alocarea resurselor și consumatorilor etc. Apar noi profesii care implică lucrul cu date geografice digitale. Lumea virtuală implică folosirea cu prioritate a datelor spațiale. Proiectanții s-au familiarizat deja cu aceste tipuri de date. Vizualizarea spațială cu ajutorul calculatorului devine familiară tuturor, cu accent pe înțelegerea hărților și a altor tipuri de produse.

Harta digitală, alături de reprezentările tridimensionale, fotogramele digitale și înregistrările de teledetecție, intră deja în produsele multimedia. Hărțile de toate tipurile condiționează puternic gândirea umană asupra mediului înconjurător. Sistemele informaționale geografice (SIG) permit vizualizarea interactivă și combinarea mai multor hărți cu teme diferite, dar care se referă la aceeași zonă. Câteva domenii de aplicare a datelor spațiale sunt dezvoltate mai jos.

Folosirea datelor geografice

În timpul actual există o *pieță a datelor geografice*. Societatea cere din ce în ce mai mult procesarea datelor geografice pentru asigurarea multor domenii. Sursele și consumatorii de produse au o anumită distribuție geografică. Integrarea zonală, națională sau globalizarea piețelor cere din ce în ce mai mult rezolvarea unor probleme de determinare a drumurilor optime, pentru scurtarea timpului și a costului de transport, de urmărire a vectorilor transportatori etc. Pentru rezolvarea problemelor de mai sus, se consideră că multe date ale bazelor de date din toate domeniile (70%-85% din date) trebuie să aibă și o componentă spațială.

Piața datelor geografice este influențată de câțiva *factori tehnologici*. Unitățile centrale, de înaltă performanță, constituie o bază capabilă să asigure prelucrarea distribuită a datelor geografice, care aproape întotdeauna au un volum mare. Rețelele mari de calculatoare și infrastructura software distribuită (OLE/COM, COBRA, Java etc.), arhitecturile cu diferite componente (middleware și componentware) sunt importante, deoarece multe aplicații geografice permit un acces transparent la depozitele de date pe servere situate în locuri diferite și la funcții de geoprosesare inițiate tot din diferite locuri, integrându-se astfel toate funcțiile de prelucrare într-o schemă tehnologică particulară. SIG nu mai trebuie înțeles ca un sistem informatic local, ci ca unul distribuit, deschis, cu arhitecturi de tip middleware și

componentware, asigurând suportul pentru decizii, pentru conducerile oricăror organizații cu unități distribuite pe zone întinse.

Tehnologia permite o viteză de geoprocesare de mărime compatibilă cu cea a vitezei asigurate de tehnologiile comunicațiilor, deci în general depinzând de interfețele de interoperabilitate. Toate subsistemele viitoare vor asigura o folosire mai largă a geodatelor și telegeoprocesarea de către orice om. Sunt de remarcă tehnologiile performante ale bazelor de date spațiale introduse de realizatorii de sisteme de gestiune a bazelor de date (SGBD). Receptoarele ieftine și de mici dimensiuni permit determinarea rapidă în timp real sau cvasireal a pozițiilor geografice cu sistemele satelitare de poziționare globală (GPS). Produse comerciale sofisticate, actuale și ieftine pentru suprafața terestră se obțin relativ ușor din date imagine fotogrammetrice sau de teledetecție. S-au obținut și se vor obține încă mari progrese în ortofotogrammetria digitală și video pentru imaginile satelitare și aeriene. Are loc o specializare continuă și o diferențiere a produselor în domeniile SIG, CAD și ale cartografiei digitale. Simularea interactivă, de mare importanță în multe domenii ale proiectării și testării preliminare a multor soluții tehnice, economice, informaționale etc., devine distribuită. Se dezvoltă exploziv tehnicile de vizualizare a datelor spațiale tridimensionale (inclusiv cele interactive și pentru realitatea virtuală). Tehnologiile descrise mai sus au și multe variante hibride. De exemplu, imaginile satelitare de înaltă rezoluție și ortofotogrammetria digitală permit generarea automată precisă a vederilor tridimensionale ale suprafeței terestre.

Creșterea nevoilor de date geografice

Un factor director în dezvoltările viitoare este și acumularea simplă a geodatelor. Există doar o singură suprafață terestră și mulțimea tuturor geodatelor este referită la aceasta, într-un anumit sistem de referință, existând multe hărți tematice, pentru fenomene naturale sau artificiale. Cum geodatele accesibile prin rețea cresc până la zeci de mii de arhive digitale în toată lumea, ele devin o bază bogată, semnificativă pentru un număr mai mare de activități locale, naționale și globale. Datele spațiale sau geografice devin unul din fundamentele noii culturi mondiale a erei informaționale.

Informația geospațială bazată pe rețea și scopul folosirii acesteia

Se dau câteva exemple de folosire a geodatelor existente în rețele și resursele de geoprocesare. Cele mai multe presupun afișarea interactivă simplă, specializată, stilizată a hărții. O mulțime de teme de cercetare pot deriva prin examinarea cerințelor interfeței utilizator a tipurilor de aplicații, precum simplitatea sau modul de generalizare, densitatea de informație, modurile de interactivitate etc.

Oricine poate folosi o interfață pentru a se deplasa, chiar și virtual, de la un punct A al suprafeței terestre la un punct B. Receptoarele de semnale de la sistemele de poziționare globală (GPS) și receptorul radiotelefonice dispuse într-un vehicul vor furniza coordonatele punctului A, iar ecranul pentru hartă de la bord extrage din memoria internă, de pe un CD-ROM sau din paginile aurii multimedia, prin intermediul receptorului radiotelefonice, porțiunea de hartă (traseul spre punctul B). Pot fi solicitate și alte tipuri de geodate.

Geoprocesarea middleware și componentware va compara distanțele pentru destinațiile multiple posibile. Paginile aurii multimedia, de exemplu, vor arăta timpul de parcurs pentru vizitarea unor obiective alese. Programele trebuie memorate permanent în procesorul de la bordul vehicolului. Aici prin vehicul se înțelege automobil, vapor, avion,

elicopter etc. Pe harta de pe ecran apare cu altă culoare și ecoul grafic, uneori animat, respectiv drumul parcurs.

Alte aplicații geografice pot fi folosite de orice cetățean în viața de zi cu zi. Fiecare are cerințe specifice pentru interfață. Dintre acestea se rețin domeniile: învățământ/instruire; învățământ la distanță; colaborare în cercetare; biblioteci electronice; muzee și galerii electronice; informare geografică oficială online; analiză geografică specializată; creare și utilizare de mostre ale realității virtuale din imagini terestre pentru jocuri interactive; monitorizare a securității unor zone și răspuns la încălcarea regulilor stabilite; determinare a unor trasee speciale condiționate; optimizare a distribuției produselor; utilizare a unor sisteme inteligente pentru autostrăzi (IVHS) și localizare a locului de parcare; informare asupra traficului, a vremii; planificare și urmărire a itinerariilor de deplasare; servicii de călătorie; resurse specifice locale și recomandări; servicii de informare urbană și cadastrală; găsire de locuri de muncă și clienți pe plan local sau regional etc.

Diferite aplicații geografice sunt specifice numai anumitor profesii, dintre care se amintesc: servicii de urgență pe autostrăzi (A.C.R.) sau pentru poliție, pompieri etc.; creare și utilizare de mostre ale realității virtuale din imagini ale suprafeței terestre, pentru pregătire militară, pregătire pentru cazuri de dezastre și salvare, proiectare de construcții și arhitectură; agricultură și silvicultură; cercetare a climei, cercetare biologică, ecologică, geologică etc.; planificare urbană, zonală și națională; cartografiere automată și facilități de management; supraveghere militară; descoperire, exploatare și management pentru resurse naturale; management al resurselor acvatice; monitorizare globală și locală a mediului; planificare a amplasării instalațiilor comunicațiilor prin cablu, microunde și telefonie mobilă; telemedicină; informare maritimă globală și sisteme de salvare, control al traficului aerian sau fluvial, maritim, terestru; operarea vehiculelor comerciale; alegerea locurilor de amplasare a organizațiilor comerciale sau a zonelor rezidențiale, marketing și alte aplicații geografice specifice; determinare a corespondenței geografice a angajaților potențiali cu locurile de muncă disponibile sau a furnizorilor potențiali de servicii cu clienții potențiali; rețele ale administrației publice; sisteme cadastrale etc. Numărul de aplicații cu geodate crește continuu și va continua să crească pe măsură ce se dezvoltă infrastructurile naționale și globale de date spațiale.

Hărțile ca parte a vechii și noii culturi

Hărțile constituie o componentă a multor culturi, deoarece gândirea spațială este o parte esențială a relației oamenilor cu mediul fizic și cultural. Chiar în cele mai simple culturi care nu au trecut la tehnica scrisului, indivizii "desenează" schițe temporare pentru a-și reaminti sau a arăta altora cum să găsească drumul într-un teritoriu necunoscut. Oamenii au dezvoltat tehnici spațiale sofisticate și abilități de comunicare spațială care sunt o bază pentru alte activități, inclusiv simpla determinare a unui itinerar. Infrastructura națională a datelor spațiale devine o componentă a infrastructurii informatice naționale. Sunt create colecții de simboluri cartografice și fraze cu aceste simboluri, iar limbajul hărții este foarte important în spațiul cibernetic. Cercetarea fundamentală privind motivarea spațială, memoria spațială și comunicarea spațială va constitui baza dezvoltării corespunzătoare a interfețelor (pentru) utilizator care folosesc afișarea și manipularea informației spațiale.

Și realitatea virtuală ajută pe utilizatorii de geodate să evalueze sursele de date. Deoarece vor exista foarte multe geodate disponibile și aceste geodate sunt de cele mai multe ori complexe, de mare importanță sunt calitatea, conținutul și fluxul geodatelor. Ar putea fi folosit un sistem de figuri geometrice pentru a reprezenta anumiți parametri de conținut, iar

forma, culoarea și mișcarea acestora ar putea reda parametrii de calitate. O interfață poate fi o hartă sau în general o geoimagine. O dată ce te centrezi pe un spot comandat de un locator, poți apela diferite pictograme disponibile pe ecran, care reprezintă obiecte de date. E foarte ușor să se găsească mari volume de date pe rețeaua Internet, dar e greu să știi ce să faci cu ele, cu ce pachete de programe să le prelucrezi. Interfața trebuie să furnizeze chiar și fiecărui individ, ușor și intuitiv, informații privind "calitatea" datelor. Un exemplu simplu este cum află un turist grosimea stratului de zăpadă pe pistele unei stațiuni montane, pentru ziua curentă, când consultă un anumit nod (de exemplu un site românesc, www.alpinet.ro), să vizualizeze chiar imagini recente, nu imagini din timpul verii.

Hărțile digitale - parte a multimedia, realitatea virtuală și modificări de percepție

Hărțile pe suport de hârtie sunt o formă specială a comunicării prin intermediul tiparului și sunt utile exploratorilor, oamenilor de știință, istoricilor, agențiilor și birourilor municipale și naționale, militarilor, turiștilor, oficiilor cadastrale, proiectanților etc. Utilitatea hărților este amplificată în diferite moduri cu ajutorul calculatoarelor și al rețelelor de calculatoare. SIG pentru o zonă are datele organizate pe teme sau straturi, straturile arătând ca și hărțile pe film, suprapuse, ale acestei zone, într-un același sistem de coordonate, având și o interfață vizuală pentru baza de date spațiale. Este posibil să se consulte SIG pentru a realiza noi hărți tematice, de exemplu, toate parcelele cu cote cuprinse între 500 și 1000 m, în zone nepoluat chimic, cu panta sub 10%, la distanță de 2000 - 3000 m de o șosea asfaltată etc., utile cuiva pentru amplasarea unei anumite construcții. Tehnologia digitală permite: *memorarea* unei imense cantități de geodate (inclusiv accesul prin intermediul unei rețele); *mărirea* (zooming), deplasarea în planul ecranului (panning) și alte tipuri de *proceduri interactive* de manipulare a geoimaginii, care înlătură limitările spațiale ale hârtiei și ale acuității vizuale umane; *urmărirea* în timp real a deplasării; *intrarea datelor* direct de la sateliții sistemelor de poziționare globală (GPS) și ai celor de observare a Pământului; *afișarea instantanee* a datelor nespațiale - text, imagini, grafice etc., asociată cu detaliile și pozițiile selectate ale hărții.

Prin intermediul hărților tipărite pe hârtie, fiecare om se familiarizează cu abstractizările grafice ale spațiilor terestre întinse. Hărțile digitale aplică această proprietate sau convenție de prezentare a informației la domenii informaționale imense ca întindere și diversificare. Hărțile digitale și zborurile virtuale pe deasupra sau printr-un domeniu spațial tridimensional vor constitui o componentă importantă a multor interfețe grafice pentru utilizator, deoarece fiecare om înțelege intuitiv hărțile și vederile din aer sau din spațiul extraatmosferic și multe tipuri de informații au o componentă spațială care face utile reprezentările și vizualizările spațiale.

Vizualizarea informației geografice sau vizualizarea geografică a informației permite oamenilor să sesizeze schimbările și chiar prognozarea realității. Aplicațiile privind realitatea virtuală folosesc reprezentările fenomenelor spațiale reale, dar și ale fenomenelor nonspațiale, pur și simplu deoarece creierul uman este obișnuit să rezolve probleme în spațiul tridimensional. Părți importante ale componentei software și ale datelor necesare pentru configurarea și popularizarea ciberspațiului vor fi preluate de la aplicațiile de geoprosesare, din arhivele de geodate digitale și din fluxurile curente de date. În mod similar și cercetările din domeniul gândirii spațiale vor beneficia atât de "spațiul real", cât și de aplicațiile privind ciberspațiul.

Noi probleme de cercetare

Multe probleme de cercetare fundamentală și aplicativă pot fi identificate în cele de mai sus. Cercetarea trebuie să aibă în vedere interoperabilitatea geoprocesării, având în vedere marele volum de date și diversitatea acestora, în primul rând în sensul că datele spațiale vor avea un rol deosebit în interfețele spațiale, când diverse subsisteme pot schimba între ele diferite tipuri de date și pot accesa alte resurse de geoprocesare ale subsistemelor. Foarte multe aplicații vor folosi geodate, iar dezvoltatorii de aplicații se vor axa mai ales pe dezvoltarea de interfețe. Aceștia trebuie să posedă atât cunoștințe cartografice, cât și informatice referitoare la interfețe. Interfețele trebuie să apeleze diferite proceduri cartografice, dar și de analiză geografică sau spațială, de simulare, de lucru în spațiul virtual etc.

Fiecare om vede lumea diferit și ca atare sunt necesare specificații riguroase pentru datele spațiale, astfel ca acestea să satisfacă toate cerințele, dar să fie de volum optimizat, fără redundanță sau cu o redundanță minimă, necesară doar pentru control și verificare a preciziei. Aceleași date pot avea pentru diferiți utilizatori denumiri diferite, attribute diferite, diferiți parametri descriptivi, precum și alte tipuri de metadate.

Credem că temele de cercetare și proiectele de dezvoltare privind interfețele geografice vor genera multe concepte ce trebuie să aibă în vedere, în special în universități, efectele cognitive și sociale ale dezvoltării în subdomeniul spațial al lumii multimedia și analiza modului de introducere în interfețe a pictogramelor și procedurilor corespunzătoare viziunii viitorului. Instituțiile guvernamentale trebuie să aibă un rol deosebit în stabilirea și planificarea temelor de cercetare și în finanțarea celor care servesc dezvoltarea instituțiilor fundamentale ale țării și a legăturilor cu alte instituții mondiale. Prin participarea coordonată a multor utilizatori (experți persoane fizice sau organizații de stat și particulare) în activitățile de planificare și de stabilire a specificațiilor SIG, Oficiul Național de Cadastru, Geodezie și Cartografie (ONCGC) asigură ca furnizorii să livreze echipamente, programe și tehnologii cu caracteristici care să corespundă necesităților stabilite și ca tehnologia SIG să devină parte a economiei și culturii naționale sau globale.

Prof.univ.dr. Mihai Ielenicz, Decanul Facultății de Geografie

INTRODUCERE

Un sistem informațional geografic este un ansamblu de subsisteme, destinat pentru culegerea, prelucrarea, integrarea, stocarea, extragerea, prezentarea și furnizarea datelor și informațiilor geografice. Ca subsisteme pot fi considerate echipamentele (în care rolul principal îl au calculatoarele electronice), programele, bazele de date și de cunoștințe, tehnologiile și personalul de proiectare, realizare și exploatare. Informația geografică este prezentată pe teme diferite, dar referite la un cadru geografic sau cartografic unitar. Fiecare temă este concretizată printr-un "strat" de date. Un sistem informațional geografic poate fi utilizat pentru realizarea de combinații ale relațiilor geografice ale diferitelor straturi de date și prezentarea unei hărți ca rezultat al analizei geografice. Temele individuale pot fi prezentate și separat.

Sistemele informaționale geografice trebuie să se dezvolte în cadrul larg al infrastructurii informaționale. În conceperea, proiectarea, dezvoltarea, implementarea și întreținerea unui asemenea sistem se disting următoarele *faze generale*: specificarea datelor și surselor de date (definirea intrărilor); culegerea, transmiterea, memorarea, prelucrarea, structurarea, stocarea și regăsirea datelor și informațiilor; folosirea datelor și informațiilor în activitățile decizionale și de acțiune asupra mediului înconjurător.

Realizarea sistemelor este favorizată de dezvoltarea geoinformaticii, a tehnicii de calcul și a produselor program, a informaticii, ciberneticii etc.

Lucrarea abordează probleme teoretice și practice ale metodelor de proiectare a unui sistem, de alegere și completare a programelor, de structurare, culegere, validare și utilizare a datelor (cu accent pe metodele fotogrammetrice, cartografice și de teledetecție de culegere), de utilizare a datelor pentru realizarea unor produse etc.

În **capitolul I** sunt definite societatea informațională și sistemul informațional geografic (fazele de realizare, proprietățile, avantajele de folosire etc.). Sunt date exemple de asemenea sisteme. Este descrisă analiza geografică și sunt exemplificate unele rezultate ale analizei. Subcapitolul 1.3 tratează structurile de date geografice, cu accentuare pe cele topologice și pe cele orientate pe obiecte (concepție, mecanisme și construcții de abstractizare etc.), concluzionându-se asupra criteriilor de alegere a unei anumite structuri. O tratare aparte este cea a proiectării unui sistem informațional geografic (SIG), respectiv comparația statistică a funcționalității pachetelor de programe SIG (subcapitolul 1.4, după o clasificare a programelor pe baza coeficienților de similaritate și a analizei grupărilor) și identificarea nevoilor de date geografice digitale (subcapitolul 1.5), cu indicarea domeniilor de aplicare și utilizare, tipurilor și surselor, a structurii geometrice, a preciziei, a conținutului, modului de distribuție, a ciclurilor de actualizare, a nivelului de detaliere etc. Sunt oferite astfel două metode obiective de proiectare, cu prezentarea grafică și numerică sugestivă a rezultatelor.

Capitolul al II-lea analizează dezvoltările în fotogrammetrie, teledetecție și cartografie, pentru a justifica utilizarea metodelor acestora la realizarea și utilizarea SIG. Subcapitolul 2.1 dezvoltă concepția de geoimagini, ca o generalizare a tuturor purtătorilor de informații referitoare la spațiul geografic. Sunt tratate stadiul și tendințele de obținere a imaginilor sursă, tehnologiile, algoritmi și procedurile de prelucrare a datelor, produsele cartografice, fotogrammetrice și de teledetecție ce pot fi realizate cu SIG, harta ca sursă și ca

produs principal al SIG, funcțiile hărții în noua postură a acesteia, noile produse cartografice multimedia, necesitatea dezvoltării limbajului cartografic în noua concepție etc. Se exemplifică un sistem geoiconic digital complex, descriindu-se segmentele sistemului, particularitățile de realizare, pregătirea personalului etc. Concluziile trase se referă la modul de utilizarea a tehnologiilor fotogrammetrice, cartografice și de teledetecție în proiectarea și realizarea SIG.

Capitolul al III-lea tratează unele aspecte matematice în realizarea SIG, dezvoltate insuficient în literatura de specialitate. Subcapitolul 3.1 tratează utilizarea în SIG a teoriei informației, respectiv determinarea cantității de informație a geoimaginilor sau a unei zone terestre și codificarea detaliilor și datelor. Determinarea cantității de informație comportă clasificarea elementelor după diferite sisteme (pe baza coeficienților de corelație Pearson, de distanță, cosinus-theta etc.), analiza grupărilor rezultate, calculul cantității de informație a clasificării, calculul cantității de informație a geoimaginii (bazei de date) și calculul coeficientului generalizării SIG. Este exemplificată metoda pentru clasificarea unor localități dintr-o anumită zonă după numărul locuitorilor, cu determinarea intervalelor de clasificare cu diverse metode (progresiei geometrice, progresiei aritmetice și seriilor). În tabelul 3.3 sunt dați parametrii metodelor de clasificare (numărul de intervale, cantitatea de informație H , entropia maximă, entropia relativă și redundanța). Concluzia care rezultă este că se aplică metoda care dă redundanța minimă (pentru cazul din tabel, metoda seriilor, pentru care redundanța este 0,061). Conținutul informațional al unei zone de teren ridicată geodezic și topografic, a imaginii-hartă a acesteia sau a bazei de date vectoriale este calculat cu relația dată de Schlage (1996), ținându-se seama de numărul de detalii individualizate, perioada de existență a detaliului, numărul de clase ale detaliului, coeficientul dimensional al “imaginii” detaliului, numărul de detalii k -dimensionale, numărul de puncte caracteristice ale unui detaliu (simbol), gradul de complexitate al detaliului (simbolului), coeficientul de importanță al detaliului (simbolului) și numărul total de fragmente sau caractere din compunerea detaliului (simbolului). S-a făcut calculul doar pentru o parte din suprafețele foilor de hartă la scările 1:25.000, 1:50.000 și 1:100.000, obținându-se datele din tabelul 3.4. S-a calculat și coeficientul teoretic al generalizării și s-a concluzionat că generalizarea cartografică a fost corectă. La realizarea unor baze de date, determinarea cantității totale de informații a bazei poate fi făcută doar după popularea acesteia.

La codificarea datelor și detaliilor s-au tratat baza matematică a codificării și soluțiile de introducere a cuvintelor de cod, alegându-se ca soluție optimă tehnica meniurilor.

Algoritmul de căutare a domeniului ortogonal generalizat folosind aproximarea pe straturi a spațiului multidimensional (3.2) a fost tratat ca o problemă generală ce are aplicabilitate la generarea semnelor convenționale areale și la consultarea bazei de date a SIG. Algoritmul a fost realizat pentru spațiile 2D și nD. Rezultatele concrete ale corectitudinii algoritmului sunt demonstrate în capitolul al IV-lea.

Subcapitolul 3.3 tratează precizia datelor și produselor SIG, cu referiri la tipurile și sursele de erori, precizia pozițională, precizia atributelor, precizia conceptuală, precizia logică etc. O problemă importantă este aprecierea preciziei de clasificare cu ajutorul coeficientului Kappa (pentru care s-a dat și un exemplu în anexa F(e)) și aprecierea generalizării, așa cum s-a arătat, cu metodele analizei informaționale. O altă problemă o constituie studiul erorilor de digitizare, în special pentru transformările polinomiale aplicate în diferite faze tehnologice, cu aprecierea influenței fiecărui termen al transformării și a modului de dispunere a punctelor, metodă ce poate fi extrapolată tuturor tipurilor de transformări. Reprezentarea grafică a

erorilor de digitizare permite o înțelegere intuitivă a acestora (anexa F(a,b,c,d)). Schema (d) din anexa F arată modul de cumulare a erorilor.

Subcapitolul 3.4 tratează detectarea limitelor în prelucrarea imaginilor, analizându-se rezultatele aplicării a cinci filtre (Roberts, Prewitt, Sobel, Kirsch, Log) asupra unor imagini sintetice și asupra unor imagini fotogrammetrice. Metodologia de analiză constituie o altă problemă importantă pentru automatizarea culegerii datelor. În final se concluzionează asupra particularităților de aplicare a fiecărui filtru.

Capitolul al IV-lea tratează metodele, algoritmi și procedurile de culegere și validare a datelor SIG. Subcapitolul 4.2 descrie generalizat metodele de culegere a datelor topogeodezice (folosirea sistemelor de poziționare globală NAVSTAR sau GLONASS și a aparatelor topografice moderne). Subcapitolul 4.3 tratează culegerea datelor vectoriale prin digitizarea hărților și ortofotogramelor, respectiv procedurile de digitizare raster-vectorială semiautomată și automată. O contribuție importantă este recunoașterea automată a obiectelor punctuale (4.3.1.2.1) folosind serii Fourier și teoria mulțimilor fuzzy, ambele metode ducând la aceleași rezultate. Subcapitolul 4.4 tratează digitizarea vectorială fotogrammetrică, respectiv exploatarea fotogrammetrică la stereorestitutoarele analogice și la aparatele fotogrammetrice analitice. Sunt prezentate programele de prelucrare întocmite de autori și experimentate pe date curente de producție și în special pe date rezultate din măsurarea imaginilor obținute în poligonul fotogrammetric național. Principalele probleme asupra cărora s-a insistat sunt aplicarea corecțiilor suplimentare după orientarea interioară numerică pe baza coeficienților de distanță, prin diminuarea discordanțelor din indicii de referință, reprezentarea grafică a discordanțelor după orientarea absolută cu ajutorul programelor specifice modelelor digitale ale terenului și proiectarea tehnologiei de măsurare, prelucrare și interpretare.

Subcapitolul 4.4.3 tratează prelucrarea imaginilor digitale, în completare la operațiunile de prelucrare descrise în capitolul al III-lea. Sunt tratate problemele și soluțiile privind recunoașterea formelor în fotogrammetrie, procedura de recunoaștere bazată pe detalii, aplicată fotogramelor la scară mare. O problemă aparte este analiza multirezoluție în SIG, pentru care s-au realizat tehnologia, algoritmi și procedurile de detectare a limitelor zonelor multirezoluție pe baza piramidelor imagine și de detectare a limitelor multirezoluție pe baza focusării pe frontiera zonei (piramida generalizează histograma din plan).

În anexa D se prezintă rezultatele prelucrării imaginilor cu procedurile realizate de autor sau cu cele ale altor pachete de programe de firmă utilizate. Anexa cuprinde localizarea zonei de studiu, imaginile unei subzone referitoare la folosința terenului, tipurile de sol, adecvarea terenului pentru sisteme agroforestiere, terenul pentru culturi bazate pe precipitații, folosirea optimă a terenului și hazardul la eroziune, respectiv adecvarea pentru sisteme agroforestiere pentru întreaga zonă. În anexă sunt prezentate și rezultatele aplicării filtrelor de detectare a limitelor, fiind date imaginile sintetică și fotografică inițiale, limitele detectate pentru imaginea sintetică normală și pentru o subimagine sintetică înclinată, limitele detectate pentru imaginea fotografică și imagini combinate din imaginea fotografică inițială și imaginile limitelor detectate cu diferite filtre. Trebuie să se remarce că și rezultatele prezentate în prima parte a anexei au fost obținute inclusiv prin aplicarea celor cinci filtre de detectare a limitelor, precum și a altor filtre.

Capitolul al V-lea tratează problematica realizării produselor SIG. Subcapitolul 5.1 tratează construcția hărților, surse și în același timp produse principale ale SIG, respectiv limbajul de descriere a semnelor convenționale, procedurile de construcție (generare) automată a fragmentelor de simboluri și simbolurilor punctuale, liniare și areale, meniurile pentru semne convenționale și inscripții. Autorii prezintă funcțiile programelor realizate și

exemple de proceduri de generare a semnelor convenționale și inscripțiilor și de construcție și editare a hărților. Exemplele practice din capitol și din toate anexele demonstrează corectitudinea programelor întocmite. Cele de mai sus sunt contribuții originale ale autorilor și au aplicabilitate deosebită atât la realizarea hărților complexe (topografice și tematice deosebite) în organizații de profil cartografic, cât mai ales la realizarea hărților tematice cu conținut simplificat (la imprimante color), când se folosesc numai date extrase din SIG. O aplicabilitate militară deosebită este suprapunerea prin afișare sau tipărire pe hărțile topografice sau tematice complexe de noi straturi, de exemplu situația operativ-tactică dintr-o zonă de acțiune (responsabilitate). În anexa C se arată modul de rezolvare a unor probleme dificile de cartografie, care pot fi aplicate în principiu la orice reprezentare grafică în SIG, respectiv plasarea inscripțiilor (C(a)), deplasarea reciprocă a obiectelor (C(b)), generalizarea detaliilor punctuale prin detalii areale (C(c)), simbolizarea complexă (C(d)) și rezolvarea problemei alinierii și racordării la generarea semnelor convenționale areale (C(e)). Pentru fiecare caz în parte se arată grafic principiul de rezolvare, se indică procedurile scrise în AML și principalele comenzi Arc/Info utilizate.

Subcapitolul 5.2 tratează extragerea informației hidrologice dintr-un model digital altimetric, de importanță deosebită atât în controlul suprapunerii diferitelor straturi tematice ale SIG, cât și în problemele de cartografiere, de analiză a situației bazinelor hidrografice și de proiectare a unor lucrări hidrotehnice (necesitate demonstrată și de catastrofele în urma unor inundații din ultimii ani). Contribuțiile autorilor constau în analiza situației existente (5.2.2), conceperea și realizarea a două metode și proceduri de extragere a traseelor de scurgere și a liniilor de creastă, respectiv, metoda bazată pe structura de date Voronoi (5.2.3) și metoda bazată pe structura de date de tip grilă (5.2.4), numerotarea punctelor traseelor și construcția arborescenței rețelei. Se concluzionează asupra cazurilor de folosire a celor două metode și asupra avantajelor și dezavantajelor.

Subcapitolul 5.3 tratează reprezentarea plană prin umbre a variabilelor de tip $z=f(x,y)$, cazul reprezentării reliefului fiind un caz particular. După prezentarea generală a problemei, sunt propuse soluțiile de vizualizare (bazate pe simularea luminii și umbrelor, modelul de simulare considerând o singură sursă aflată la o distanță foarte mare și că suprafața iluminată nu reflectă energia luminoasă), dezvoltă modelul de profile și umbrirea compus – color. În anexele D și E(d) este arătată reprezentarea grafică a hărții în relief a țării noastre cu algoritmul propus și descris de autori, folosind ca date inițiale datele de tip grilă (DTED), preluate prin rețeaua Internet, puse la dispoziție de Agenția Națională de Cartografie și Imagistică a S.U.A. (NIMA),.

Subcapitolul 5.4 prezintă exemple de alte modele de produse realizate cu datele SIG, exemple fiind arătate și în anexa E. Toate aceste produse se obțin cu programe și tehnologii foarte diferite, de aici rezultând complexitatea SIG.

Mulțumim Facultății de Geografie a Universității din București, în mod deosebit domnului decan prof.univ.dr. Mihai Ielenicz, pentru tipărirea acestui manual și pentru condițiile create de introducere în programele de învățământ a cursurilor "Sisteme informaționale geografice" și "Cartografie computerizată", care completează cunoștințele însușite la cursul de "Geoinformatică", dând noi dimensiuni pregătirii studenților, celor ce urmează cursuri postuniversitare, doctoranzilor și tuturor cadrelor didactice.

Autorii

CAPITOLUL I : SISTEME INFORMAȚIONALE GEOGRAFICE

1.1 Societatea informațională

Societatea postindustrială se bazează pe o “*conomie a informațiilor și a cunoașterii*”, cu o infrastructură definită de comunicații și de calculatoare (ca expresie hardware și software), care permite globalizarea schimbului de informații și de cunoștințe, în cadrul unor noi modele de dezvoltare. Expresia de societate postindustrială modernă este creată de tehnologia intelectuală, având drept caracteristici naturale majore *informația și cunoașterea*, spre deosebire de societatea industrială, care se bazează pe o *tehnologie a mașinii* pentru amplificarea sau înlocuirea muncii fizice.

“*Economia informațiilor și a cunoașterii*” diferă de “*economia de bunuri*”. Problema principală a noii societăți este realizarea unei noi infrastructuri, dar nu prin eliminarea celei vechi, ci prin adaptarea sa. Noile produse, informațiile, exprimate prin mulțimi de date, pot fi livrate utilizatorilor, dar, spre deosebire de bunuri, rămân și la cel ce le crează, ba mai mult, pot fi revândute de mai multe ori, cel ce le crează beneficiind și de dreptul de autor.

Infrastructurile informaționale trebuie create la nivelele organizațional, zonal (comunal, orașenesc, municipal, județean, național, regional etc.) și global. În ultimii ani, dezvoltarea acestora s-a făcut similar cu evoluția calculatoarelor electronice care ofereau servicii de prelucrare a datelor din deceniile al șaptelea și al optulea ale acestui secol. Pentru dezvoltarea infrastructurii informaționale este necesară, pentru orice nivel, luarea unor măsuri ca: elaborarea unei strategii de dezvoltare; menținerea și dezvoltarea capacității de cercetare, dezvoltare și inovare; crearea condițiilor de legare cu infrastructura de nivel superior (municipal, județean, național, continental sau global); crearea cadrului legal și al reglementărilor necesare infrastructurii și sistemelor informaționale.

Sistemele informaționale spațiale (geografice) trebuie să se dezvolte în acest cadru larg al dezvoltării infrastructurii informaționale, fiind, după unii autori, componentă a acesteia. Societatea informațională este deci o societate bazată pe cunoștințe și informații. Tehnologiile specifice acestei societăți constau în producerea, prelucrarea, structurarea, memorarea, transmiterea, recepționarea și utilizarea informației (considerată a fi materia primă a cunoașterii). Competitivitatea unei organizații, a conducerii unei zone sau a unei țări are ca factor de bază accesul ușor și rapid la informații și cunoștințe în ambele sensuri – și de la cei ce conduc la cei conduși, cât și invers.

Infrastructura informațională globală este deja o realitate care va marca evoluția lumii și va marca profund viața individului și a comunităților umane, activitatea economică mondială și zonală. Uneori este neglijată chiar tehnologia de producere a informației. Rețeaua Internet permite și informarea, dar și realizarea unor operațiuni de producție și comerciale.

1.2 Sistemul informațional geografic

1.2.1 Sistemul informațional spațial

Printre sistemele informaționale dezvoltate în ultimele decenii, un rol aparte îl au sistemele informaționale spațiale, sisteme concise sau elaborate (Nițu, C., 1992 Longley, 1995), care înregistrează, prelucrează, memorează, furnizează și utilizează datele despre obiectele, evenimentele și fenomenele caracteristice unui spațiu dat. Informația referitoare la aceste elemente are caracteristici metrice și semantice. Dintre caracteristicile sau atributele metrice, un rol preponderent îl au datele de poziție, respectiv coordonatele. Când spațiul definit este o zonă terestră mică, sistemul informațional spațial (SIS) devine sistem informațional teritorial (SIT). Când spațiul de definiție a poziției elementelor este spațiul geografic, SIS devine sistem informațional geografic (SIG). Un SIG poate rezulta din concatenarea și generalizarea unor sisteme informaționale teritoriale ale unor zone adiacente. În unele țări se acceptă doar denumirea de sisteme informaționale teritoriale pentru toate aceste genuri de sisteme.

În cazul SIG, datele de poziție sunt coordonatele geografice, definite într-un datum geodezic acceptat, universal.

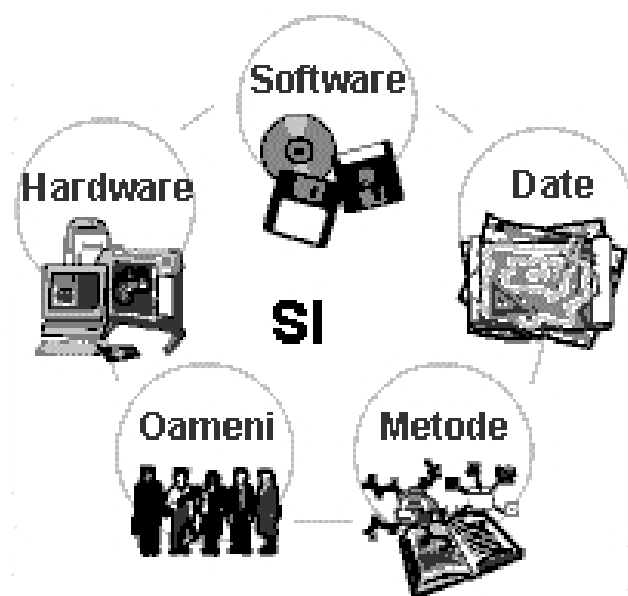


Fig. 1.1 Componentele unui sistem informațional (după ESRI)

SIG cuprinde, într-o accepțiune mai largă, fazele de la specificarea datelor de intrare până la deciziile de control asupra proceselor naturale, economice sau sociale, iar într-o accepțiune limitată, numai fazele de la specificarea datelor de intrare, până la afișarea rezultatelor sub formă grafică (cartografică) sau alfanumerică. Ieșirile sistemului sunt folosite în acest caz de către alte sisteme informaționale (de protecție a mediului, de management economic, militar etc.). Elementele unui SIG sunt grupate în: *hardware* (calculatorul electronic, rețeaua de calculatoare, perifericele obișnuite de intrare – ieșire și de memorare, perifericele specializate utilizate în special la culegerea datelor, rețelele de comunicații etc.); *software* (programele de sistem, programele de comunicații, programele de gestiune a datelor, programele ce asigură prelucrarea și validarea datelor culese, programele de analiză geografică etc.); *sursele și colecțiile de date și informații cu produsele ce le conțin*; *tehnologiile* de culegere, validare, organizare, stocare, furnizare și utilizare a datelor și informațiilor sub diferite forme; *personalul* ce proiectează, realizează și utilizează sistemul.

Sistemele se pot categorisi în multe moduri. Astfel, după destinația produselor (ieșirilor), pot exista sisteme informaționale topografice, cadastrale, geologice, hidrologice, oceanografice, glaciologice, meteorologice, silvice, de transport etc.

Exemple de asemenea sisteme sunt date mai jos.

După domeniul de definiție pentru date sistemul poate fi municipal, județean, regional, național, continental, intercontinental și global. Nu există încă un SIG “total” pentru o zonă dată, care să satisfacă utilizatorii tuturor domeniilor economice, sociale sau naturale existente. Interconectarea tuturor sistemelor domeniilor face ca sistemele să devină subsisteme distribuite ale unui sistem integrat virtual.

1.2.2 Fazele realizării și proprietățile de performanță ale SIG

În conceperea, proiectarea, dezvoltarea, implementarea și întreținerea unui SIG se disting următoarele *faze generale*: specificarea datelor (definirea intrărilor); culegerea, transmiterea, memorarea, prelucrarea, structurarea, stocarea și regăsirea datelor și informațiilor; folosirea datelor și informațiilor în activitățile decizionale și de acțiune asupra mediului înconjurător.

Proprietățile de performanță ale sistemului sunt: calitatea de a culege, stoca și regăsi rapid datele necesare; securitatea, siguranța și mentenabilitatea datelor; compatibilitatea sistemului cu alte sisteme; timpul de răspuns la cererea de date și informații; coerența sistemului (legătura logică a datelor stocate și a tipurilor de proceduri utilizate); flexibilitatea sistemului; capacitatea sistemului de a acționa continuu pentru realizarea scopului propus; randamentul sistemului.

1.2.3 Avantajele folosirii SIG

Avantajele folosirii SIG sunt următoarele:

- reducerea operațiunilor de rutină și automatizarea luării deciziilor în probleme care implică folosirea datelor geografice;
- identificarea cuantificată a problemelor organizării și a operațiunilor tehnice cu date geografice;
- controlul obiectiv al calității datelor și al operațiunilor (obiectivizarea controlului);
- verificarea automată a îndeplinirii restricțiilor, regulilor și normativelor în domeniul folosirii datelor geografice;
- eliminarea duplicării funcționale în lucrul cu date și informații geografice;
- reducerea ciclului proiectare – realizare – evaluare pentru diferite domenii de activitate care folosesc date referite în spațiul geografic;
- diversificarea formelor de prezentare a produselor ce conțin date spațiale (geografice);
- creșterea parametrilor de precizie a datelor ce definesc poziția geografică sau a datelor derivate din (referite la) acestea;
- posibilitatea de a răspunde în timp real sau cvasireal în cazul unor evenimente neprevăzute (cutremure, inundații, alunecări de teren etc.).

1.2.4 Exemple de SIG

Pe plan mondial s-au realizat sau sunt în curs de realizare sisteme informaționale geografice cu scopuri multiple sau cu scopuri particulare. S-au dezvoltat și problemele teoretice și metodologice referitoare la SIG. În cercetările științifice sunt angrenați cartografi, fotogrammetriști, geografi, specialiști în teledetecție, statisticieni, informaticieni etc. Printre cele mai vechi sisteme se amintesc WDB, GBF/DIME și GIRAS (S.U.A.), RGU (Franța),

NIMS (Suedia) etc. SIG militare (Bernard, 1990) au un rol deosebit în pregătirea și ducerea operațiilor și luptelor și în asigurarea logistică.

La început sistemele s-au dezvoltat prin metoda “încercărilor și erorilor”, pornindu-se de la necesități practice imediate. Un sistem global cunoscut este WWW (World Wether Watch, a nu se confunda cu prescurtarea utilizată în Internet), un SIG meteorologic ce cuprinde toate instituțiile meteorologice ale tuturor țărilor, interconectate. În Marea Britanie a fost realizat sistemul ENVIRON pentru rezolvarea unor probleme demografice.

Alte sisteme care dețin întâietatea ca timp de începere a realizării și nivel de funcționalitate sunt descrise mai jos, specificându-se deținătorul, suportul de date, datele tematice cheie, anul de începere a realizării etc. (Longley, 1990; Maguire, 1995):

a) Denumire: CAGEAS

Deținător (realizator): US Census Bureau, Washington D.C.

Date cheie: Agricultură, ferme: numărul de ferme pe districte și state, folosirea terenului, sisteme de irigații, suprafețe irigate, recolte pe ani, depozite, valoarea producției vândute a fermelor, fermele clasificate după diferite caracteristici, caracteristici de exploatare ale fermelor, tipul de organizare, valoarea de piață a fermelor, vârsta și ocupația principală a celui ce conduce exploatarea fermei

Organizarea datelor: Bază de date relațională (BDR)

Anul începerii funcționării sistemului: 1987

Infrastructura: Rețele de calculatoare, software eterogen, dar omogen ca funcționare

Zona geografică: S.U.A., statele S.U.A.

b) Denumire: CPH (populație și clădiri)

Deținător (realizator): US Census Bureau, Washington D.C.

Date cheie: Pentru fiecare cetățean - codul numeric personal, numele și prenumele, sexul, data și locul nașterii, starea civilă, rasa, studiul, ocupația, venitul anual, domiciliul, raportul cu locuința etc.; pentru fiecare locuință – tipul locuinței, situația, proprietarul, actul de proprietate, cine locuiește, actul de închiriere, numărul de camere, suprafața locuibilă etc.

Organizarea datelor: BDR

Anul începerii funcționării sistemului: 1987

Infrastructura: Rețele de calculatoare, software eterogen, dar omogen ca funcționare

Zona geografică: S.U.A., statele S.U.A.

c) Denumire: CSIGAS (servicii)

Deținător (realizator): US Census Bureau, Washington D.C.

Date cheie: Servicii de sănătate, servicii pe profesii, hoteluri și moteluri, ateliere de reparații, servicii de personal și de afaceri, parcuri, teatre, muzee, galerii, alte instituții de cultură, grădini botanice, grădini zoologice, locuri de recreere, notariate, alte birouri legislative etc., cu diferite caracteristici

Organizarea datelor: BDR

Anul începerii funcționării sistemului: 1987

Infrastructura: Rețele de calculatoare, software eterogen, dar omogen ca funcționare

Zona geografică: S.U.A., statele S.U.A.

d) Denumire: US Tiger

Deținător (realizator): Geological Survey (în colaborare cu US Census Bureau)

Date cheie: Străzile principalelor metropole din S.U.A., pe metropole, cu acces prin Internet, cu denumire, sens de parcurgere, trafic pe ore ale zilei și pe perioade diferite, gradul de poluare, unele limite ale zonelor areale etc.

Organizarea datelor: Structură topologică (TIGER)

Anul începerii funcționării sistemului: 1990

Infrastructura: Servere de date pe metropole și centrale, accesate prin Internet

Zona geografică: Metropolele S.U.A.

e) Denumire: SCEDP/SCIP (afaceri și planificare)

Deținător (realizator): University of South Carolina

Date cheie: Ocuparea terenului (în vederea proiectării de noi întreprinderi, firme, utilități etc.); straturi de date cu rețeaua de transport, sistemele hidrotehnice, rețeaua acvatică, calitatea aerului, acoperirea terenului și folosința terenului, demografia, firmele industriale, comerciale, bancare, de afaceri etc. existente ș.a.

Organizarea datelor: Structuri topologice, structuri raster grosiere în BDR, trecere în anii următori la structura de date pe obiecte

Anul începerii funcționării sistemului: 1996

Infrastructura: Server de date și rețea de calculatoare în Carolina de Sud, cu acces rezervat beneficiarilor codificați

Zona geografică: Carolina de Sud

f) Denumire: EuroMOSAIC

Deținător (realizator): CCN (Marea Britanie și celelalte țări ale CE)

Date cheie: clase de consumatori în Comunitatea Europeană, caracteristici demografice, sociale și de locuit

Organizarea datelor: Bază de date relațională pentru attribute, structură topologică pentru date spațiale

Anul începerii funcționării sistemului: neprecizat

Infrastructura: : Servere de date, central și în capitalele țărilor CE , accesate prin Internet

Zona geografică: Țările Comunității Europene

f) Denumire: National Cadastral (Austria)

Deținător (realizator): Austrian Federal Agency for Cadastre (prin Datamed)

Date cheie: Cadastru, parcelă, proprietar, hartă cadastrală, folosința terenului

Organizarea datelor: Bază de date relațională, structură topologică pentru date spațiale

Anul începerii funcționării sistemului: În curs de realizare

Infrastructura: 68 servere la agenție și oficiile regionale, software de la ESRI

Zona geografică: Teritoriul Austriei

Numai în anul 2.000 au fost comunicate ca realizate și livrabile imediat importante colecții de date, specificate în presa de specialitate (între paranteze sunt date firmele): date despre frontiere, în cod ZIP (Caliper); baza de date hidrografice (CARIS); două hărți numerice pentru Europa - ArcEurope Base Map și ArcEurope Demographics, de fapt două puternice baze de date geografice sau cartografice (ESRI); ultimul catalog CAE - CAE Directory (lansat pe site-ul TenLinks.com); cea mai mare arhivă online de imagini ale planetei Pământ (dată în exploatare de GlobeXplorer); "hartă multistrat completă" - Versatile MAP (Magellan); baza de date geografice Census 2000, care conține totalitatea datelor statistice pentru SUA, statele, districtele și localitățile componente, existând și date vectoriale pentru frontierele tuturor diviziunilor administrative (Census Bureau, SUA); bază de date geografice

complexă, denumită Virtually Canada - Canada virtuală (Geomatics Canada) etc. O colecție interesantă de date este Global Data Bundle, care conține datele mai multor baze realizate anterior independent, respectiv ale DCW (harta digitală a lumii, obținută din digitizarea foilor hărții de aeronavigație la scara 1:1.000.000), ale DTED (date digitale altitudinale) și ale bazei de denumiri geografice (World Place Name Database), livrabile împreună la prețuri rezonabile.

1.2.5 Analiza geografică

Analiza geografică se bazează pe utilizarea datelor spațiale în determinarea unor noi atribute atașate elementelor și fenomenelor geografice, inclusiv arealelor geografice la scară locală, regională sau globală. Un aspect comun și recursiv al informației geografice de toate tipurile este că există areale eterogene; această eterogenitate spațială, nestăționaritate sau variație localizată extra-Poisson (sau definită altfel) poate prezenta probleme deosebite pentru modelele statistice convenționale (care presupun relații globale fără particularități spațiale), rezolvarea fiind dată uneori de o soluție destul de simplă. Se folosesc unele proceduri de analiză, dintre care se rețin clasificarea spațială, detectarea eșantioanelor (clusterelor) spațiale, analiza (spațială) fuzzy, detectarea și modelarea relațiilor spațiale, modelarea prin regularizare, recunoașterea formelor (paternurilor) spațiale, adăugarea de valori unor noi atribute spațiale etc.

Se acceptă în mod general că apariția analizei geografice este legată de dezvoltarea geografiei cantitative și statistice, începând din 1950. Kubo (1995) susține că japonezii sunt pionierii analizei geografice din 1930. Anselin (1989), Goodchild et al. (1995) preferă utilizarea expresiei “analiza datelor spațiale”.

1.2.5.1 Proceduri de analiză geografică

Clasificarea spațială, care se va trata pe larg în capitolul al IV-lea, presupune împărțirea spațiului contiguu 2D sau 3D în parcele sau unități de volum, cărora să li se atribuie una sau mai multe caracteristici, părțile fiind nedelimitate fizic, frontierele definindu-se ca limite ale domeniului de definiție spațială ale variabilei analizate, de exemplu pentru fenomenul densitate a populației.

Detectarea eșantioanelor (clusterelor) spațiale s-a născut aproape o dată cu calculatorul electronic (în cadrul ciberneticii) și s-a dezvoltat în paralel cu evoluția acestuia (dar independent) (Vancea, R. et al, 1989). Obiectul recunoașterii eșantioanelor este deja controversat. În cadrul recunoașterii formelor, în care eșantioanele au rol determinant, au fost introduse la început toate tentativele de a oferi modele ale unor fenomene, modele care să imite analiza și descrierea de către om, ba mai mult, să obiectivizeze analiza și descrierea. Aici au fost introduse probleme din cadrul inteligenței artificiale și al lucrului interactiv cu calculatorul, în domenii dintre cele mai diverse, precum proiectarea asistată de calculator, tehnicile de recunoaștere a formelor psihologice, biologice, lingvistice, *geografice* etc. Filtrele de detecție a eșantioanelor în cadrul recunoașterii formelor sunt denumite în geografie “detectoare” (Longley, 1995).

O dezvoltare generală a tehnologiei de clasificare într-un domeniu complet nou este focalizată în special pe forme și eșantioane. Un exemplu elocvent din aplicațiile geografice este folosirea metodelor epidemiologice spațiale pentru determinarea arealelor de prezență a anumitor maladii. Contururile acestor zone definesc formele care trebuie recunoscute (găsite), pe baza unor eșantioane. În acest caz, localizarea (poziția) poate fi folosită ca un filtru spațial în procesul de selecție. Localizarea formelor poate fi, de asemenea, relevantă dacă pot fi

identificate metaforme, folosite apoi în predicție. Sublinierea necesității analizei spațiale este dată de faptul că doar atributele (caracteristicile) social-economice înseși nu sunt suficiente pentru a descrie sau a face predicția răspunsurilor și că există interacțiuni între aceste atribute (variabile) și poziția geografică relativă. Interacțiunea este de două feluri – legată de efectele de vecinătate și legată de efectele de poziție. Exemple ale efectelor de poziție relativă în analiza geografică sunt caracteristici ca: învecinarea cu linia de centură a capitalei; rural sau urban; în centrul orașului; localizare sezonieră; în centrul comercial sau în centrul industrial; în zonă aglomerată sau neaglomerată; zonă recent populată etc. Atribuirea de valori ale atributelor de mai sus pentru arealele geografice permite o analiză geografică prin determinarea eșantioanelor, apoi a formelor.

Analiza spațială fuzzy. Concepția unui sistem fuzzy în domeniul geografic nu este nouă (Openshaw, 1989), dar un asemenea sistem încă nu s-a realizat. Ideea de bază este să se exploateze incertitudinea (neclaritatea) spațială în sistemele geografice. Există două domenii de incertitudine: primul este dat de asignarea de valori ale atributelor sau de enumerare pentru unele zone (sate, comune, cartiere, orașe, județe etc.), iar al doilea în asignarea adreselor poștale (pe principiile geografiei poștale) zonelor de mai sus. Cele de mai sus sunt întâlnite mai ales la fenomenele geografice dinamice, incertitudinea fiind dată de precizia de “măsurare” a valorilor unor atribute.

În toate clasificările datelor după mai multe variabile există unele zone pentru care nu există date sau există date incerte. Un exemplu clar este determinarea suprafeței geoidului pentru suprafața țării. Ar trebui să se cunoască valori ale accelerației gravitaționale și ale cotelor pentru o mare suprafață a zonei vecine țării pentru o interpolare corectă, în caz contrar gradul de incertitudine se mărește la frontieră. În geografie, se poate considera ca sistem fuzzy cel geodemografic, care ar permite unui utilizator să ceară să i se răspundă ce adrese nu mai sunt actuale (vezi schimbarea frecventă a toponimelor fără actualizarea tuturor denumirilor în teren sau pe modelele terenului – geoimagini sau baze de date) într-o anumită grupă de date, dar sunt “pe aproape” într-un spațiu de similaritate al clasificării. Într-un context spațial cele de mai sus sunt importante, deoarece eterogenitatea internă a sistemului este mare.

Ridicarea gradului de incertitudine ar duce uneori la mărirea excesivă a bazelor de date, deci și a timpului și costurilor de culegere, validare și prelucrare, precum și la realizarea unor interfețe utilizator complexe. Un sistem ideal ar trebui să se autocalibreze prin identificarea nivelurilor optime de incertitudine pentru orice aplicație geografică. Simularea se poate baza întotdeauna pe sisteme fuzzy.

Detectarea și modelarea relațiilor spațiale. Altă formă a unei variabile de localizare (relativă) este vecinătatea, care nu este dată explicit, ci trebuie determinată din datele de poziție și din datele tematice, pentru toate tipurile de obiecte punctuale, liniare și areale. Chiar relațiile topologice sunt relații spațiale și ele pot să nu fie date de la început, ci determinate pe baza relațiilor de vecinătate. Tipurile frecvente de relații spațiale sunt analizate în acest capitol.

Problemele ce apar aici sunt doar metodologice. Anumite tipuri de relații spațiale pot fi găsite prin metodele regresiei suprafețelor de tendință, în special la scară macrogeografică, pentru modelarea răspunsului spațial.

Modelarea prin regularizare. În fotogrammetria clasică și digitală este cunoscută “modelarea” curbilor de nivel după faza de restituție, soluție ce se aplică și în cartografie la generalizarea traseelor detaliilor liniare neregulate (curbe de nivel, linii de mal etc.) prin trecerea de la o scară mare la o scară mică. Situația se întâlnește și în SIG. Utilizatorii vor obiecte areale sau relații spațiale optime, complete ca nivel informațional, evaluabile

comercial, fără a fi în stare în mod necesar să definească dinainte ce caută. Ei știu ce vor, dar nu știu cum să caute într-o manieră optimă. Își introduc toate datele disponibile, așteaptă ca sistemul să facă restul de operațiuni. Pe lângă datele inițiale, trebuie introduse și alte variabile geografice. În timp trebuie construită și o bibliotecă de forme care trebuie actualizată permanent. Întotdeauna modelarea cu formele și variabilele existente este denumită modelare prin regularizare.

O variantă a soluției este aplicarea unui algoritm genetic AG pentru a crea o subbibliotecă specifică unui domeniu de utilizare, din biblioteca de forme cu caracter general, extrăgându-se și adaptându-se anumite forme. Un alt aspect important este necesitatea feedback-ului. Această necesitate nu se bazează pe înțelegerea procesului total, care ar fi prea dificilă. Sistemele ideale “simt” mediul lor și răspund cererilor acestuia fără să explice sau să descrie cum o fac. Tehnologia există, dar nu este folosită încă (Longley, 1995).

Adăugarea de valori noilor atribute prin geoprocesare. Convenim ca prelucrarea datelor geografice să o denumim geoprocesare (Openshaw, 1989). Utilizarea finală a analizei spațiale constă în îmbunătățirea bazelor de date prin geoprocesare și adăugarea de valori unor noi atribute, derivate din datele inițiale. Cel mai important caz este ca datele cartografice digitale să se obțină de la organizații specializate în realizarea hărților topografice clasice și digitale, formând straturile de bază, urmând a se crea noi straturi în baza de date digitale, adăugând codurile poștale, date ale recensămintelor, alte date precum distanțele de la un detaliu până la diferite detalii liniare sau areale ca de exemplu linii de țărm, râuri, căi ferate, șosele etc., folosința terenului, tipurile detaliate de păduri, localizarea în poligoane de interes, adăugarea de toponime sau alte valori etc.

Detaliile (obiectele) digitale pot fi reclasificate după alte principii și chiar structura bazei de date poate fi adaptată sau modificată în totalitate. Prin simulare pot fi calculate și adăugate noi date de predicție, după modele alese de utilizator.

Proceduri software utilizate în analiza geografică. Metodele de analiză geografică descrise mai sus sunt realizate cu proceduri ale pachetelor de programe SIG. Existența acestor proceduri determină funcționalitatea programelor utilizate în SIG și această funcționalitate este avută în vedere la procurarea unuia sau altuia dintre pachetele de programe. O procedură de analiză științifică a funcționalității este prezentată în acest capitol. Se fac referiri la problemele de implementare a procedurilor ce pot fi utilizate în analiza geografică, cu trimitere la unele pachete de programe cunoscute. În cele ce urmează vor fi descrise unele probleme ce apar în analiza geografică și procedurile ce le pot rezolva.

Dintre problemele rezolvate prin analiza geografică se amintesc problema unității areale modificabile, problema limitelor, interpolarea spațială, eșantionarea spațială, autocorelația spațială etc.

În ultimele etape ale modelării spațiale, în mod normal, analiza trebuie să concluzioneze dacă trebuie să folosească date agregate sau seturi separate de date și dacă se adoptă o strategie de modelare simplă sau una complexă. Cu ajutorul SIG, cu proceduri puternice de memorare și gestiune a datelor, de calcul și afișare, este posibil de a evalua mai corect care este strategia corespunzătoare, prin compararea rezultatelor obținute cu diferite niveluri de agregare și complexitate. De exemplu, modelele de migrație a populației lucrează frecvent cu date agregate și utilizează câteva scheme totale între arealele recensate. Alte probleme de modelare folosesc seturi dispartate de date, realizând analiza din etape separate de prelucrare.

1.2.5.2 Pachete de programe utilizate în SIG

1.2.5.2.1 Modele de date în SIG

Este posibil să se clasifice pachetele de programe SIG în mai multe feluri (vezi 1.4.1). Una din clasificări are în vedere structurarea și modul de gestiune a datelor (Maguire et al, 1995). În esență, datele pot fi structurate și stocate în fișiere simple, sau în formatul propriu sistemelor de gestiune a bazelor de date. De aici rezultă și diferențele în aplicarea algoritmilor de analiză geografică unei structuri complexe de date sau succesiv unor structuri mai simple. În proiectarea procesării orientate pe fișier, toate datele sunt stocate în fișiere cu diferite organizări, așa cum permit limbajele de programare orientate pe lucrul cu fișiere. În timpul procesării, fișierele de date sunt transformate cu funcții alese de utilizator și se crează noi fișiere. Există multe pachete de programe SIG simple, mici, centrate pe date raster și implementate pe PC, precum IDRISI, ERDAS și IMAGINE. Capabilitățile de gestiune a datelor la aceste pachete este totuși limitată. Utilizatorii unor asemenea pachete nu beneficiază de avantajele SGBD, cu acces multiutilizator, independent față de programele de aplicații, securitatea datelor și validarea actualizărilor.

O proiectare alternativă folosește SGBD pentru capabilități excelente de gestiune a datelor atribuite. În asemenea sisteme hibride datele geometrice și topologice folosite pentru a descrie geografia sunt memorate în fișiere separate de date, pe când attributele asociate obiectelor spațiale geografice sunt stocate în baze de date și gestionate cu SGBD. O cerință cheie este ca SIG să-și păstreze integritatea referențială între datele spațiale (geometrice și topologice) și cele atributive. Datele spațiale (geometrice și topologice) sunt stocate în fișiere simple, separate, datorită limitelor SGBD în ceea ce privește stocarea datelor, timpul de acces și limbajele de interogare geografică. În prezent sunt preferate bazele de date relaționale și SGBD relaționale, în acest caz folosindu-se denumirea de “SIG georelațional” (Newell, 1993). Se întrevide o trecere la bazele de date orientate pe obiecte. Soluția bazelor de date relaționale este acceptată și pentru că multe baze de date existente la organizațiile mari au această organizare, baze de date ce conțin multe date specifice SIG, în special care aparțin geografiei statistice. Exemple de pachete pentru sisteme hibride sunt ARC/INFO, MGE, Autodesk World, GENAMAP și Smalltalk.

Al treilea tip de proiect SIG este cel în care sunt agregate toate datele spațiale și atributive într-o singură bază de date. Primele două exemple de asemenea pachete sunt SYSTEM9, bazat pe SGBD EMPRESS și GEOVISION, bazat pe SGBD Oracle.

Pachetul de programe IMAGINE al firmei ERDAS Inc. este un exemplu comun de pachet bazat pe procesarea fișierelor. Primul pachet denumit ERDAS, bazat pe date raster, a fost realizat în anul 1979. Pachetul IMAGINE lucrează cu date raster și într-o mai mică măsură cu date vectoriale și este centrat pe prelucrarea imaginilor. Este implementat pe stații grafice, cu sisteme de operare UNIX. Funcționalitatea de analiză spațială a pachetului poate fi împărțită în următoarele grupe: *interpretarea* (clasificarea multivariată – transformata Fourier rapidă și clasificarea supervizată/nesupervizată; eșantionarea imaginii; filtrarea de convoluție; analiza componentelor principale); *redresarea*; *reprezentarea într-o anumită proiecție*; *modelarea spațială* (peste 150 de operatori și funcții, precum operațiile aritmetice, booleene, condiționale, de distanță, exponențiale, de combinare a culorilor, focale, globale, matriciale, relaționale, statistice, specifice suprafețelor 3D, trigonometrice etc.); *analiza terenului* (interpolarea suprafețelor 3D și a izoliniilor) etc. Modulul Model Maker este un editor grafic pentru crearea SIG și procesarea imaginilor folosind proceduri bazate pe obiecte pentru a plasa pictograme ce reprezintă operațiuni de modelare pe o pagină goală. Odată create, modelele pot fi rulate cu datele pentru a crea noi fișiere de date și tabele statistice rezumative.

Ca și ARC/INFO, IMAGINE are un limbaj de macroprogramare pentru crearea de noi proceduri utilizator specifice rezolvării unei anumite probleme.

Programele MGE (Modular GIS Environment – mediu modular pentru SIG) constituie un ansamblu de proceduri integrate pentru crearea, gestiunea și utilizarea SIG. Sistemul lucrează cu date vectoriale, raster și de tip grilă. Este implementat pe stații grafice și pe servere, cu sistem de operare UNIX bazat pe RISC. Modulele sistemului permit culegerea, validarea și stocarea datelor topografice, fotogrammetrice, cartografice, de teledetecție, spațiale și atributive într-o bază de date relaționale, cu păstrarea și a relațiilor topologice. Sistemul conține și modulele Network Analyst, Grid Analyst, I/RAS, Imager și Terrain Modeller, specifice analizei spațiale. Network Analyst permite introducerea unor date specifice rețelelor, precum opririle obligatorii, restricții de drum, costuri, factori temporari de drum ca volumul traficului sau gradul de poluare și conține proceduri de determinare a drumului minim etc. Grid Analyst permite determinarea suprapunerilor straturilor, analiza vecinătății, zonarea arealelor, determinarea traseului optim, analiza statistică etc. Modulul Imager conține proceduri de prelucrare a imaginilor, clasificarea conținutului acestora și identificarea detaliilor. Modulul I/RAS realizează registrația imaginii, conversia raster – vector prin digitizarea vectorială a imaginii afișată pe ecran, registrația datelor vectoriale și raster etc. Terrain Modeller generează modelul digital altimetric, reprezentat prin triunghiuri oarecare (TIN) sau printr-o grilă regulată, determină pantele, curbele de nivel, talvegurile, cotele unor puncte, afișarea modelelor cu zone umbrite etc. Ieșirile tuturor acestor module pot fi combinate cu ieșirile cartografice ale modulului EPIMAP.

Autodesk World este primul sistem de programe pentru SIG al firmei Autodesk, fiind un sistem flexibil și deschis destinat accesului, integrării și gestiunii datelor spațiale. Rulează pe procesoare 486DX sau Pentium, cu sisteme de operare Windows 95, 98, .. sau Windows NT. Pot fi accesate, editate, integrate și analizate datele vectoriale și raster (în formate specifice SIG și CAD) și datele atributive și multimedia. Permite automatizarea OLE și dezvoltarea de noi proceduri în Visual Basic. Folosește atât fișiere în format propriu, DWG și Geobase, cât și fișiere în formatul MDB specific modulului Microsoft Acces. În cadrul analizei spațiale sunt combinate proceduri ca filtre grafice, filtre spațiale și SQL etc.

Tabelul 1.1 Câteva funcții de analiză ale lui ARC/INFO

Modulul	Funcția
CORE	Statistici descriptive
CORE	Manipularea datelor
CORE	Vizualizarea datelor
CORE	Clasificări (reprezentate prin cartograme)
TIN	Statistici descriptive și interpolare
GRID	8 comenzi focale
GRID	12 comenzi zonale
GRID	>20 de comenzi globale
GRID	Comenzi de determinare a distanțelor
TIN	Mai multe metode de interpolare
GRID	Regresie și corelație
GRID	Autocorelație
GRID	Modelare hidrologică
GRID	Interpolarea suprafețelor
NETWORK	Modelare de interacțiune spațială
NETWORK	Drumul optim
GRID	Clasificarea multivariabilă
GRID	Analiza formelor
GRID	Modelarea dispersională
NETWORK	Modelarea de localizare/alocare

1.2.5.2.2 Integrarea SIG și a pachetelor (sistemelor) de programe de analiză spațială

Există un interes considerabil în integrarea SIG cu alte pachete de programe specializate, pentru satisfacerea cerințelor unor aplicații moderne. Acest fapt are drept cauză inexistența unor proceduri de analiză în programele SIG. Integrarea SIG cu alte pachete de programe se face în diferite moduri, fiecare mod având avantaje și dezavantaje în funcție de aplicația de rezolvat.

Factorii principali care determină alegerea modului de integrare sunt: a) gradul de extensibilitate și deschiderea celor două sisteme pentru intrarea/ieșirea datelor; b) dacă unul dintre cele două sisteme este dominant; c) dacă sistemul final trebuie să fie un sistem integrat, în caz contrar putându-se adopta doar transferul datelor; d) modul de schimb al datelor între cele două sisteme – dinamic sau pe loturi (batch); e) gradul de efort și pregătirea integratorului de sisteme.

Există mai multe moduri de interfațare a SIG și a pachetelor de programe de analiză spațială. Soluțiile cunoscute sunt realizarea translațoarelor specifice de date, citirea și scrierea fișierelor ASCII, prin intermediul unei baze de date, prin transferul direct de date între aplicații și prin programarea sistemică.

Folosirea translațoarelor specifice de date se bazează pe faptul că multe pachete de programe SIG sunt livrate cu asemenea translațoare ca standarde, de exemplu peste 30 pentru ARC/INFO și peste 20 pentru IMAGINE. Sistemul MGE (Intergraph) conține translațoarele MGT_US, care permit realizarea bazei de date SIG MGE, folosind ca date de intrare fișierele de date geografice spațiale ETAK, TIGER, DIME și DLG, datele atributive încărcându-se într-o bază de date relațională. Unele sunt bidimensionale și transformă datele de poziție și unele atribute în format binar intern. Sistemul Autodesk World dispune de proceduri pentru translațarea în format propriu a datelor straturilor ARC/INFO, SHP ArcView, Atlas GIS, Microstation și MapInfo. Translațoarele există și în pachetele de programe de analiză spațială, lucrând în mod batch (pe loturi), cu aceleași formate de date. În pachetul de programe ARC/INFO există de exemplu translațoare ce transformă automat fișierele SOCET SET ASCII în straturi intermediare ARC/INFO F_CODE. Procesul este monitorizat de utilizator print-o fereastră, trebuind să se indice doar denumirea fișierului. Pe timpul conversiei și se solicită operatorului să precizeze proiecția cartografică. Este verificată și integritatea stratului rezultat, la sfârșit creindu-se și un raport descriptiv. Cu alte proceduri se trece de la formatul intermediar la cel obișnuit.

Citirea și scrierea fișierelor ASCII este folosită de toate pachetele de programe SIG. Pachetele ARC/INFO și IMAGINE conțin macrolimbajele AML, respectiv EML, pentru dezvoltarea de noi proceduri care constituie interfața între cele două clase de programe – programele SIG și programele de analiză geografică. Se transferă totuși un volum mic de date.

Interfața **prin intermediul unei baze de date** asigură legătura prin citirea din (și scrierea în) aceleași baze de date de către programele celor două sisteme. Soluția este aplicabilă doar programelor SIG de tip hibrid sau integrat. Pentru ARC/INFO pot fi folosite pentru integrare SGBD relaționale, precum Oracle, DB2, Ingres, Informix, Sybase ș.a. O asemenea legătură s-a realizat deja între ARC/INFO și pachetul de programe de prelucrare statistică, prin intermediul SGBD Oracle. Soluția de mai sus nu poate fi aplicată decât de

organizațiile mari. Există legături bidirecționale între sistemul Autodesk World și SGBD Oracle, Sybase, Microsoft SQL Server și orice SGBD bazat pe obiecte.

Transferul direct de date între aplicații este încurajat de unele facilități ale sistemului de operare UNIX, respectiv UNIX pipe și RPC (Remote Procedure Call). Sunt transferate fișiere în ASCII sau în câteva alte formate (CGM, DXF, HPGL/HPGL-2, PIC, PostScript, WMF, BMP, GIF, JPEG, MAC, PCX, TGA, TIFF etc.). Prima soluție asigură transferul datelor între aplicațiile ce folosesc un singur procesor, iar cea de a doua între aplicațiile ce folosesc aplicații diferite. Sistemul ARC/INFO conține procedura IAC (interapplication communication server – server de comunicare între aplicații). O soluție interesantă este aceea a folosirii unei ferestre comune, în acest caz rezultând un sistem integrat hibrid.

Programarea sistemică presupune folosirea bibliotecii de dezvoltare a programelor SIG sau a subprogramelor în cod obiect. Pachetele de programe SIG au fost scrise inițial în limbaje universale precum FORTRAN, C, 3GL, 4GL, Napier88 etc. Prin compilare au rezultat module obiect, memorate în biblioteci, care pot fi incluse în programe executabile, provenite din programe scrise în limbaje de dezvoltare compatibile COM, pe 32 de biți, ca Visual C++, Borland C++, Delphi etc., în etapa de editare a legăturilor. O asemenea soluție a fost folosită la realizarea de către NIMA a sistemului digital de producție (capitolul al III-lea), unde ca sistem de programe SIG a fost folosit sistemul MGE al firmei Intergraph. Soluția poate fi folosită și pentru integrarea programelor SIG și a programelor de analiză geografică.

Au fost realizate multe încercări de integrare a unor pachete de programe SIG cu unele pachete de prelucrare statistică. Rezultatul este constituit din sistemele integrate de programe SIGSAS (sisteme informaționale geografice – sisteme de analiză spațială). Dintre pachetele de programe de analiză spațială avute în vedere la integrare se amintesc S-PLUS, SAS, GRIM, SAM, SAW etc.

Pentru integrarea sistemelor de programe S-PLUS și ArcView a fost realizat modulul S-PLUS Extension la Universitatea din Michigan, ca o interfață între cele două sisteme, realizând o conversie a datelor.

1.2.5.3 Concluzii

Mai sus s-a încercat o trecere în revistă a câtorva metode de analiză importante atât pentru utilizatorii geografici, dar și de beneficiarii finali ai datelor geografice. Pot fi continuate descrierile și ale altor metode potențiale de analiză și chiar trebuie descoperite noi metode. De regulă, noile metode de analiză nu sunt realizate de geografi, dar pot fi adoptate prin transfer tehnologic. Operații precum clasificarea, interpolarea, determinarea drumului optim etc. trebuie analizate cu atenție și fundamentate științific în cadrul unui proiect de SIG. Cele de mai sus trebuie combinate cu operațiile de cartografiere computerizată, deoarece forma finală uzuală de prezentare a rezultatelor SIG este tot harta, spațioharta, fotoharta sau cartograma.

Din analiza funcționalității programelor SIG rezultă că în noile versiuni ale acestora sunt adăugate permanent noi funcții de analiză spațială. Pachetele ce conțin doar proceduri de gestiune, descriere și vizualizare a datelor sunt sărace în proceduri complexe de analiză geografică. Este necesară găsirea unei metode riguroase de determinare a funcționalității, ceea ce a încercat și autorul (1.4.1).

1.2.6 Probleme noi în dezvoltarea SIG

În ultimul deceniu a apărut o necesitate stringentă de date spațiale (geografice). Dezvoltarea SIG este cauzată mai ales de problemele de optimizare spațială. Pentru orice SIG se impuneau funcționalitatea și flexibilitatea, în vederea utilizării datelor și informațiilor de

cât mai mulți utilizatori. Au apărut și apar noi metode de analiză geografică asistată de calculator. Sistemele au devenit o resursă strategică ce poate avea impact chiar asupra organizațiilor sau zonelor înseși. Printre problemele noi apărute la realizarea SIG, importante sunt și locul de dispunere a infrastructurii sistemului, respectiv a componentelor sale principale, a serverelor, modul de achiziționare și de organizare a datelor și informațiilor, codificarea entităților geografice cu ajutorul geografiei poștale, analiza geografică performantă etc. Dezvoltarea SIG după 1990 s-a bazat pe trei elemente principale – dezvoltarea tehnologiei, nevoile utilizatorilor și ideile creative de dezvoltare de noi instrumente de analiză.

Factorii care au influențat dezvoltarea procedurilor și programelor SIG ce le înglobează sunt:

- preferința industriei de software pentru soluții de gestiune a bazelor de date relaționale și în ultimii trei ani și pe gestiunea bazelor de date bazate pe obiecte;
- extinderea SGBD relaționale și mai nou și a celor bazate pe obiecte, astfel încât să includă tipuri de date netradiționale (temporale, multimedia și spațiale);
- tehnologia care integrează date spațiale (date CAD, date cartografice vectoriale, date raster, date imagine, date de tip grilă etc.);
- dezvoltarea deosebită a rețelilor locale, teritoriale și globale, a legăturilor între rețele, utilizarea bazelor de date distribuite etc.;
- realizarea prelucrărilor importante ale SIG fie pe servere de mare capacitate, fie pe stații grafice de înaltă performanță;
- popularitatea crescută a soluțiilor bazate pe PC o dată cu creșterea performanțelor acestuia, stația grafică bazată pe PC fiind un nod al unei rețele;
- popularitatea crescută a sistemelor de operare Microsoft și a mediului OLE 2 de dezvoltare software și a software-ului de prelucrare de tip client - server;
- prelucrarea optimă de tip client - server și utilizarea cu predilecție a rețelei Internet sau a altei rețele de tip intranet;
- dezvoltarea cunoștințelor despre SIG în era informațională, creșterea complexității, varietății și funcțiilor aplicațiilor SIG;
- creșterea interesului dezvoltărilor de software de a include ieșiri de hărți în aplicațiile realizate.

La realizările de software, de tehnologii și aplicații SIG urmează a se adăuga noi module. Un rol important în structurarea, organizarea și culegerea datelor tematice îl au datele de poziție, tehnicile de poziționare, metodele de măsurare în teren sau pe fotograme, hărți și înregistrări digitale și metodele de măsurare și de prelucrare a datelor de poziție. Multe colecții mari de date sunt livrabile la prețuri rezonabile sau sunt puse la dispoziție pe rețeaua Internet. O extindere deosebită o capătă realizarea navigației în timp real sau cvasireal, folosind rețele ce integrează poziționarea pe glob și afișarea hărții zonei de teren în care se află orice mobil de deplasare.

Ca atare, o atenție deosebită trebuie acordată:

- utilizării cu predilecție a rețelilor de tip intranet și mai ales a rețelei Internet;
- cerințelor proiectelor și produselor finale;
- sistemelor de coordonate și sistemelor de poziționare globală;
- utilizării metodelor fotogrammetrice pentru asigurarea unui timp scurt și a unui randament ridicat de culegere, validare și prelucrare a datelor;
- tehnicilor de conversie a geoimaginilor analogice;
- tehnicilor de asamblare a bazelor de date, având în vedere relaționarea în primul rând a datelor de poziție și apoi a datelor tematice etc;

- utilizarea bazelor de date distribuite și partajarea optimă a prelucrării de tip client - server;
- dezvoltării tehnologiilor de poziționare globală și a telenavigației;
- diversificării produselor finale ale SIG.

1.3 Structuri de date geografice

1.3.1 Modelarea geografică

În reprezentarea în SIG a obiectelor și fenomenelor naturale, sociale, economice etc., se pot releva trei aspecte: poziție; conținut și structură. Obiectele și fenomenele geosferei sunt definite (referite) pozițional într-un spațiu tridimensional S_3^1 și în mai multe spații relative care compun un spațiu n-dimensional S_n

$$S_3^1 \cup S^2 \cup S^3 \cup \dots = S_n \quad (1.1)$$

Totalitatea datelor care dau poziția și descrierea conținutului și structurii în spațiul S_n formează modelul digital (numeric) al acestui spațiu, care este un model conceptual. Pentru a exprima datele într-un limbaj înțeles de calculator, se acceptă și modelul logic ce se referă numai la structura datelor, respectiv și modelul fizic ce arată reprezentarea datelor în memoria calculatorului.

Dacă se consideră mulțimea de elemente (obiecte sau fenomene) $A = \{a_1, a_2, a_3, \dots, a_n\}$ și mulțimea $R = \{r_{ij} | i=1, n; j=1, n\}$ de dependențe (relații) ale elementelor a_j de elementele a_i , mulțimea $S = \{A, R\}$ formează un sistem. Problema clasificării elementelor și relațiilor aparține diverselor discipline și ramuri științifice, dar în primul rând taxonomiei.

1.3.2 Modelul de sistem informațional geografic

Sistemul informațional geografic (SIG) poate fi privit ca un model al sistemului real S_G sau ca un purtător de informație al acestuia, model artificial bazat pe o similitudine indirectă între elementele geosferei S_G și elementele S_M ale SIG. Deci SIG face parte din clasa modelelor speciale, având caracter informațional și gnoseologic, procesul de reprezentare exprimându-se formal ca o funcție F la momentul de timp t

$$S_{Mt} = F(S_{Gt}) \quad (1.2)$$

unde S_{Mt} este mulțimea elementelor SIG, S_{Gt} este mulțimea elementelor geosferei, la momentul t , iar F este o relație binară similară cu notația funcțională care implică o aplicație. Dintre proprietățile aplicației F se amintesc omomorfismul, reflexivitatea, tranzitivitatea, asimetria și antisimetria. Generalizarea datelor SIG se bazează pe omomorfism (reținerea doar a acelor elemente esențiale pentru modelarea cerută). Reprezentarea unui element al mulțimii S_{Gt} presupune: (a) reprezentarea poziției punctelor spațiului geosferei în spațiul SIG; (b) reprezentarea naturii și structurii elementelor punctuale, liniare, areale și volumetrice definite prin punctele reprezentate.

Modelul datelor SIG se bazează pe conceptul de model digital al terenului, format din totalitatea datelor (date de poziție – coordonate, identificatori, valori ale atributelor, date referitoare la precizia determinărilor, datele tematice, totalitatea relațiilor dintre date, precum și totalitatea procedurilor de realizare, gestionare și utilizare a acestui model).

-Datele calității generale a mediului urban	-Investiții fonduri fixe pe locuitor
-Datele calității fizice
-Poluarea atmosferică	-Volum servicii pe locuitor
-densitatea oxidului de carbon	-Datele calității sociale
-particule în suspensie	-Populație
-Starea suprafețelor acvatice	-densitate
-oxigenarea apei	-număr de studenți, elevi la mia de locuitori
-particule în suspensie	-Condiții de viață
-poluarea apei	-spațiul locuibil mediu pe locuitor
-Poluarea sonoră	-sănătate (paturi de spital, salvări, medici etc.
-zgomotul (decibeli)	la mia de locuitori)
-Topografia	-consumul de gaz metan pe locuitor
-compatibilitate pentru mediu urban	-consumul de energie electrică pe gospodărie
-Acoperirea cu vegetație	(locuitor)
-suprafața cu vegetație pe persoană (pe
locuitor)	-Rețeaua de transport
-Datele calității economice	-suprafața carosabilă medie pe locuitor
-Venitul mediu pe locuitor	

Fig. 1.2 Date tematice pentru aprecierea subsistemului ecologic urban

1.3.3 Date geografice

Datele geografice sunt de mai multe tipuri. Datele pot fi metrice (date geometrice de poziție, date metrice derivate, date metrice corespunzătoare spațiilor tematice etc.) sau semantice (coduri, identificatori, adrese de date etc).

Datele de poziție definesc, de regulă, poziția unui punct în spațiul geografic natural, într-un sistem de referință adoptat. Poziția punctului poate fi definită ca: $P(B, L, H)$ sau $P(\varphi, \lambda, H)$, unde B și L , respectiv φ și λ reprezintă latitudinea și longitudinea în sistemul de referință acceptat, respectiv, cu elipsoidul de parametri metrici, fizici și de orientare aleși, iar H este cota sau altitudinea față de suprafața geoidului (o variantă este și cu indicarea înălțimii referite la suprafața elipsoidului); $P(\varphi', \lambda', H)$, unde φ' și λ' sunt latitudinea și longitudinea pe sferă; $P(X, Y, H)$, unde X și Y sunt coordonatele pe o suprafață, de exemplu un plan. Între mărimile de mai sus există relații funcționale care nu se tratează aici (Munteanu, 1977).

Datele tematice se referă, de regulă, la celelalte $n-3$ dimensiuni ale spațiului S_n și sunt referite întotdeauna la datele de poziție. Uneori și cota poate fi considerată o dată tematică. De asemenea, se poate considera de bază și spațiul tetradimensional (S_4), adăugând timpul la cele trei dimensiuni liniare. Date tematice sunt considerate și valorile reflectanței spectrale, densității optice etc. fiecare dată în parte poate fi considerată separat în funcție de primele două date poziționale X și Y .

De exemplu, pentru subsistemul ecologic urban, datele tematice sunt cele din schema de mai jos.

Cele de mai sus constituie doar un exemplu și în cazuri concrete, datele sunt dezvoltate în mod corespunzător.

Relațiile dintre elemente sau dintre date se exprimă tot prin date numerice (Nițu, C., 1992). Relațiile dintre elementele geosferei sunt naturale, economice, sociale etc. După numărul elementelor participante relațiile pot fi binare, unul la mai mulți, mai mulți la unul și mai mulți la mai mulți. Sunt și relații de bază, implicite, geometrice, topologice, ierarhice etc.

Datele geografice referitoare la un teritoriu dat sunt în volum foarte mare și accesul la o dată singulară sau la un grup de date pune probleme deosebite de organizare. Datele geografice nu reprezintă conglomerate amorfe de valori numerice sau nenumerice. De aici rezultă necesitatea adoptării diferitelor structuri de date.

1.3.4 Tipuri de date

Cea de a treia dimensiune se poate referi la un punct definit pe suprafața de referință sau la o zonă de formă regulată sau neregulată a acestei suprafețe.

Datele vectoriale presupun exprimarea obiectelor punctuale, liniare și de volum prin coordonate (X_i, Y_i) , $i=1, n$, cu $n=1$ în cazul obiectelor punctuale, $n \geq 2$ în cazul obiectelor liniare, $n \geq 3$ în cazul obiectelor areale (în cazul când $n=3$ punctele să nu fie colineare), $n \geq 4$ în cazul celor de volum, dar în acest caz limitele sunt arii ce trebuie altfel definite etc. Referiri concrete la acest tip de date se găsesc în literatura de specialitate (McGuire et al, 1990; Nițu, C., 1992; Nițu, C., Nițu, C.D. 1995).

Datele teserale consideră ca element areal “placa” ce acoperă o suprafață dată (în particular pixelul), de forme și dimensiuni distincte. În spațiul bidimensional al suprafeței de referință, din motive de simplificare a calculelor, dimensiunile pixelului sunt egale cu unitatea de suprafață. O structură teserală neregulată este arătată în fig. 1.4.

La împărțirea în figuri regulate, spațiul 2D se împarte izoedric, astfel ca fiecare celulă (placă, pixel) să poată fi suprapusă peste o celulă adiacentă. Există 81 de moduri de împărțire izoedrică a unei suprafețe 2D (de exemplu un plan, deoarece orice suprafață 2D poate fi reprezentată într-un plan), dintre care 11 sunt cele mai semnificative. Se analizează cazul cel mai general, nu doar cel particular când pixelul are formele de dreptunghi sau pătrat. Cu convenția scrierii $[m^k n^l]$, unde m și n reprezintă numărul de laturi ale celulei (plăcii), iar k, l reprezintă numărul de figuri elementare de descompunere a geoimaginii, de exemplu, structura de hexagoane se scrie $[3^6]$ și semnifică 6 triunghiuri, iar structura de dreptunghi se scrie $[4^4]$ și semnifică împărțirea în 4 dreptunghiuri. Accesul ușor la “molecula” structurii și la grupul de “molecule” se face prin codificarea numerică a (poziției) “moleculelor” (pixelilor) sau grupurilor contigui ale acestora. Accesul se poate face printr-o adresare ierarhică. Există mai multe ierarhii izoedrice folosite pentru generarea unei varietăți de sisteme de adresare pentru împărțirea planului. Fiecare pixel are o adresă a , care poate fi o secvență de cifre $a_k a_{k-1} a_{k-2} \dots a_2 a_1$, unde a_i poate lua valorile $0, 1, \dots, n-1$. Pentru fiecare $k=0, 1, 2, 3, \dots$, există o funcție adresă de nivel k , de la celulele (“moleculele”) $\alpha^k(T)$ la $(0, 1, 2, \dots, n-1)$, deci $a_k(t)$ este imaginea lui Φ_k a moleculelor de nivel k , (dar) căreia îi aparține t . Cele de mai sus constituie doar un exemplu și în cazuri concrete tratările pot diferi. Mai precis, dacă t_k este funcția (operația) de la t la $\alpha^k(t)$, care reprezintă (cartografiază) fiecare pixel ce îl conține, atunci

$$a_k = \Phi_k \epsilon_k \quad (1.3)$$

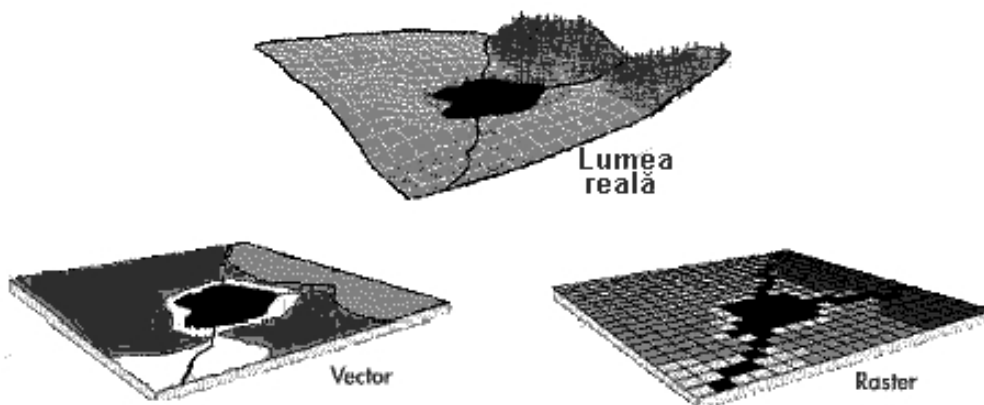


Fig. 1.3 Principiul datelor vectoriale și raster (după ESRI)

Funcțiile adresă de nivel k pot fi referite (relatate) una la cealaltă prin operațiunile de combinare α :

$$\Phi_k = \Phi_0 \alpha^k \quad (1.4)$$

astfel încât ridică fiecare funcție adresă la rangul sau nivelul următor, deci:

$$a(t) = \{ \dots, \Phi_k \alpha^k \varepsilon_k(t), \dots, \Phi_1 \alpha^1 \varepsilon_1(t), \Phi_0 \} \quad (1.5)$$

Împărțirea este finită, celula elementară constituind-o pixelul. Adresarea se poate face la un pixel sau la zona (zonele) din care face parte pixelul (structura raster grosieră, denumită astfel de Nițu, C. (1992)).

Prelucrarea adreselor teserale aparține aritmeticii teserale. Adresele sunt întregi teserali. Aritmeticii teserale îi corespund adunarea teserală (corespondența geometrică fiind translația) și înmulțirea (corespondența geometrică – rotirea și omotetia sau transformarea de scară).



Fig. 1.4 Structura teserală de date

Este convenabil a se stoca datele teserale fie ca o matrice (reprezentată de fapt în memorie ca o succesiune de vectori sau ca un singur vector), fie ca un șir de adrese (când nu se memorează toată matricea și repetat zonele cu aceeași valoare a pixelului).

În cazul datelor teserale (raster), sunt de remarcat câteva tipuri de rezoluții care au mare importanță în prelucrarea datelor SIG. Datele raster (fig.1.5) constau din valori ale celei de a treia dimensiuni (de exemplu treptele de gri) pentru fiecare pixel (elementul de imagine, pentru cazul simplificat de formă pătrată). Unui pixel îi pot corespunde mai multe valori, potrivit numărului de benzi spectrale. Poziția unui pixel este exprimată prin coordonate plane. Într-un sistem de coordonate 2D, pozițiile sunt organizate pe linii și pe coloane (matricial). Se cunosc în teledetecție patru feluri de rezoluții, care sunt proprii și SIG - spectrală, spațială, radiometrică și temporală.

Rezoluția spectrală se referă la domeniile lungimii de undă a energiei electromagnetice din spectrul său. De exemplu, pentru banda 1 a înregistrărilor Landsat Thematic Mapper, domeniul spectrului este $0,45 - 0,52\mu$. Se va folosi și termenul de multirezoluție la exploatare fotogrammetrică, în sensul că se utilizează mai multe înregistrări ale aceleiași zone corespunzătoare mai multor benzi spectrale și cu rezoluție spațială diferită.

Rezoluția spațială este dată de suprafața de teren a pixelului (de exemplu 10X10 m pentru înregistrările pancromatice SPOT) sau la scara geoimaginii, în cazul scanării hărților

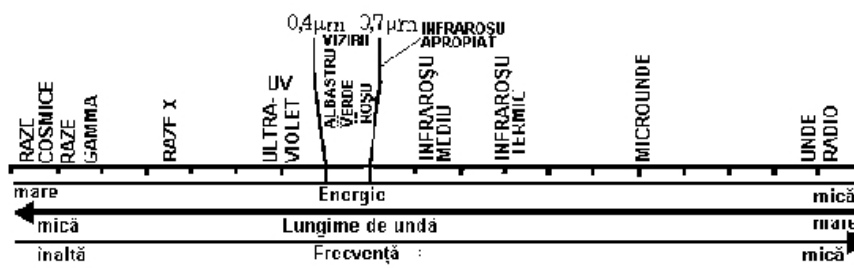


Fig. 1.6 Spectrul electromagnetic

sau fotogramelor. În acest caz mai este exprimată uneori în numărul de puncte pe unitatea de lungime (punctele având forma de cerc). Pentru ecranele grafice rezoluția se exprimă prin numărul de pixeli pe orizontală și pe verticală, de exemplu 1024X732. De multe ori referirile la rezoluția spațială se fac și prin intermediul scării – geoimagini la scară mare sau geoimagini la scară mică. În teledetecție de exemplu, înregistrările SPOT se consideră a fi la scară mare, iar înregistrările AVHRR la scară mică. Nu este totuși echivalență între rezoluție și scară. O geoimagine are mereu aceeași rezoluție spațială, dar poate fi afișată la orice scară.

În fotogrammetrie se folosește pentru rezoluția spațială distanța minimă între două obiecte distincte apărute pe fotogramă, funcția de transfer sau numărul de perechi de linii pe mm. Această caracteristică este proprie ansamblului film fotogrammetric – cameră aerofotogrammetrică. Rezoluția în metri pe perechea de linii dă distanța minimă în metri între două obiecte vecine distincte de pe fotogramă. Între rezoluția în metri pe perechea de linii (m/per. linii) și rezoluția în perechi de linii pe milimetru (per. linii/mm) există relația:

$$R_{m/per.linii} = (N/1000) / R_{per.linii/mm} \quad (1.6)$$

unde N este numitorul scării fotogramei. Pentru camera Wild RC-20, pentru scara de

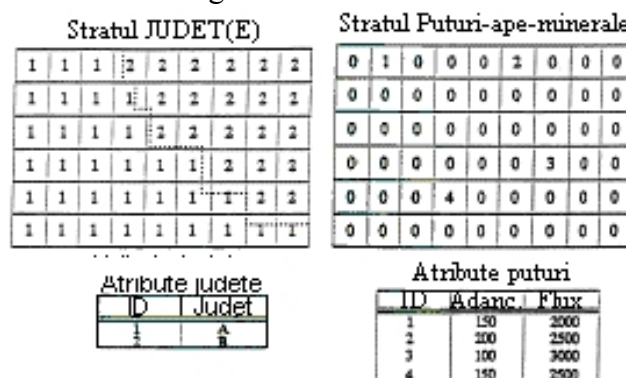


Fig. 1.5 Exemplu de date raster

aerofotografiere 1:10 000 ($N=10\ 000$) $R_{m/per.linii}$ este 0,250 fără corectarea influenței deplasării filmului și 0,071 cu corectarea influenței deformării filmului.

Rezoluția în metri pe perechea de linii poate fi transformată în metri pe pixel cu formula:

$$R_{m/per.linii} = 2^{3/2} R_{m/pixel} \quad (1.7)$$

Exploatarea în același sistem a tipurilor diferite de geoimagini este facilitată de cunoașterea tuturor acestor moduri de exprimare a rezoluției spațiale. Pentru a se studia

posibilitățile de (foto)interpretare, se dau în tabelul 1.2 valorile rezoluțiilor pentru

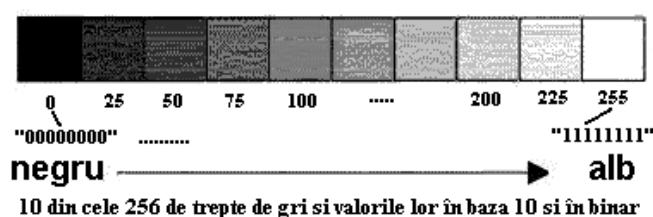


Fig. 1.7 Rezoluția radiometrică

înregistrările Landsat și SPOT.

Senzor	Rezoluția Δ	
	$R_{m/pixel}$	$R_{m/per. \text{ linii}}$
Landsat MSS	57	150
Landsat TM	30	84
SPOT XS	20	56
SPOT P	10	28

Tabelul 1.2 Rezoluția imaginilor de teledetecție

Rezoluția radiometrică exprimă numărul de trepte ale valorii z sau logaritmul acestui număr (respectiv numărul de biți pe care se poate înregistra valoarea treptei teoretice maxime - vezi folosirea codificării în SIG). De exemplu, pentru înregistrările pancromatice SPOT există 256 de trepte de strălucire sau trepte de gri (fig. 1.6), ce pot fi înregistrate pe 8 biți. Valoarea 0 este pentru negru și 255 pentru alb.

Rezoluția temporală exprimă, de exemplu, intervalul de timp după care se obține înregistrarea datelor pentru aceeași zonă (pentru Landsat este de 16 zile).

La SIG tridimensionale (aplicate în geologie, în studiul poluării mediului, în meteorologie etc.) obiectele volumetrice se reprezintă prin tablouri 3D, geometria de construcție a solidului bazată pe arbori octali și rețeaua de tetraedre.

În SIG 2D, obiectele tridimensionale se reprezintă prin descriptorii suprafețelor care delimitează aceste obiecte. O metodă uzuală pentru a reprezenta o suprafață de formă oarecare este exprimarea coordonatelor carteziene X, Y și Z ca funcții de doi parametri u și v , o suprafață fiind descrisă de funcția $F(u, v)$. un punct P are coordonatele:

$$P(u, v) = [X(u, v), Y(u, v), Z(u, v), 0 < u < 1, 0 < v < 1] \quad (1.8)$$

Suprafața complexă întâlnită în geostiințe poate fi împărțită (partiționată) într-o mulțime contiguă de "plăci", fiecare fiind definită local de funcții polinomiale de grad mic, de regulă cubice. Funcțiile *spline* pot fi folosite cu succes, datorită faptului că nu există deformări după o transformare proiectivă și că există un control mai riguros al transformării.

Similar pixelului ("plăcii") din spațiul 2D, în spațiul 3D se acceptă voxelul, tablourile 3D având ca elemente voxelii. Necesitățile de memorare cresc și, obligatoriu, scade viteza de

calcul. Reprezentarea este totuși compactă și eficientă pentru unele operații. Și aici se pot analiza tipurile de rezoluții descrise pentru spațiul bidimensional.

Datele de tip grilă sunt asemănătoare datelor raster, cu deosebirea că cea de a treia dimensiune se referă geometric la un punct, nu la o “placă” sau zonă, dar modul de structurare se aseamănă cu cel al datelor raster și, ca atare, se vor folosi multe proceduri comune ultimelor două tipuri de date. Cel mai simplu mod de reprezentare este cel al grilei regulate (fig. 1.8). Datele în punctele grilei pot fi măsurate pe fotograme aeriene în cazul reliefului sau pot fi determinate prin interpolare, folosind valorile Z cunoscute în puncte vecine.

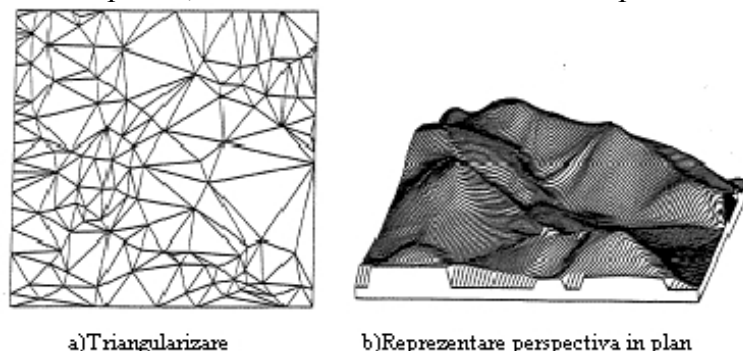


Fig. 1.9 Rețea de triunghiuri oarecare (TIN)

Grila poate fi și neregulată, respectiv rețea de triunghiuri oarecare (TIN). Pentru relief, punctele rețelei neregulate se aleg în punctele și pe liniile caracteristice (fig. 1.9). Folosind valorile Z din punctele grilei neregulate, pot fi determinate valorile Z ale punctelor unei grile regulate. Ambele tipuri de rețele pot fi utilizate la determinarea punctelor izocurbelor (curbelor de nivel sau izohipselor, izobarelor, izogonelor etc.).

1.3.5 Structura topologică

Structura topologică se bazează pe concepția relațiilor topologice, respectiv topologiei (Nițu, C., 1992). Structura evidențiază proprietățile grafurilor topologice.

Cu elementele noduri, arce, poligoane (fețe) ale unui graf planar topologic se pot remarca relațiile de frontieră și cofrontieră. Nodurile (fig. 1.10) sunt punctele distincte în care converg cel puțin trei arce. Poligoanele sunt mărginite de arce. Un arc este mărginit de noduri. Listele de noduri, arce și poligoane și de puncte curente ale arcelor, în ordine implicită, precum și relațiile de frontieră și cofrontieră puse în evidență prin adrese sau *pointeri* formează structura topologică de date.

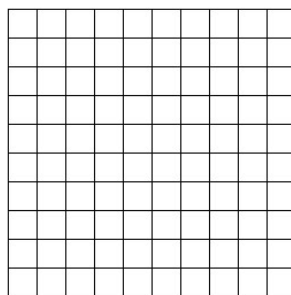


Fig. 1.8 Grilă regulată, în punctele căreia se cunosc valorile Z

Se remarcă faptul că și în cazul datelor topologice are loc, ca și la datele tesseractale, o acoperire contiguă a suprafeței cu “plăci”, dar plăcile au o formă neregulată care se memorează prin coordonatele punctelor de pe contur.

Algebra structurii de date este definită în acest caz de relațiile:

$$\begin{aligned}
 Fr(NOD) &= \emptyset \\
 Fr^{-1}(NOD) &= \{ARC1, ARC2, ARC3, \dots\} \\
 Fr(ARC) &= \{NOD1, NOD2\} \\
 Fr^{-1}(ARC) &= \{POLIGON1, POLIGON2\} \\
 Fr(POLIGON) &= \{ARC1, ARC2, ARC3, \dots, ARC_m\} \\
 Fr^{-1}(POLIGON) &= \emptyset
 \end{aligned}
 \tag{1.9}$$

Argumentele au semnificațiile date de denumirile utilizate, pentru a ușura înțelegerea. În cercetările noastre am folosit aceste structuri de date la stocarea datelor digitizate cartografic și fotogrammetric, la stocarea datelor modelului digital altimetric (MDA) etc. Pentru MDA s-a folosit în plus și structura Voronoi, care va fi descrisă la determinarea rețelei de drenare.

Datele unei hărți numerice, ale bazei de date spațiale sau ale terenului se împart pe straturi (fig.1.11), topologia construindu-se separat pentru fiecare strat. Această structură de date este utilă mai ales pentru rezolvarea unor probleme specifice rețelelor (drumul minim, problema poștaşului etc.).

1.3.6 Metadate geografice

Metadatele sunt definite formal ca “date despre date” sau, pentru o înțelegere clară, “informații despre date”, aceste informații fiind exprimate tot prin date. Și în cazul datelor

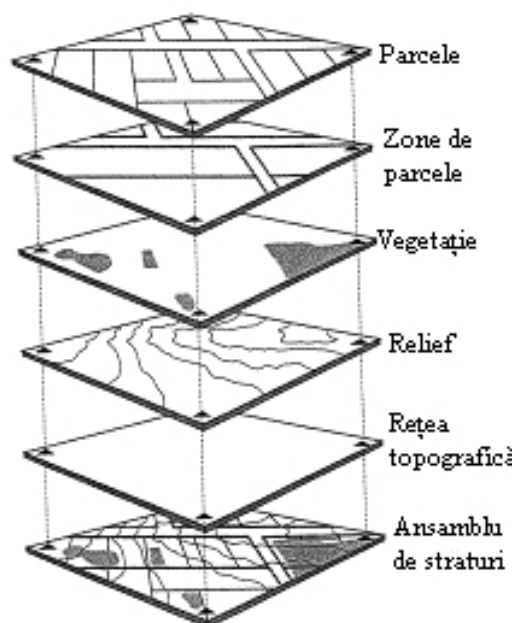


Fig. 1.11 Straturile bazei de date

spațiale se poate vorbi despre metadate spațiale, noțiune aplicată la nivel internațional începând din 1996. Comisia pentru standarde a Asociației Cartografice Internaționale (ICA)

propune definiția “*metadatele spațiale (geografice) sunt acele date care descriu conținutul mulțimilor de date, definesc fiecare dată în parte și structura datelor, indică domeniul de definiție (extinderea pe elipsoid sau pe sferă), referirea geografică (geodezică) și calitatea datelor (rezoluția, precizia etc.), administrarea datelor și posibilitățile de acces la date*” (Moellering, 1997).

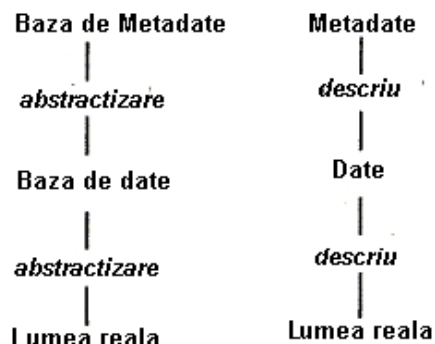


Fig. 1.12 Legături date - metadate - lumea reală

În Europa s-a început activitatea de standardizare la nivel continental a datelor geografice în 1996. În România s-a oficializat începerea acestei activități doar la unele departamente. În cadrul NATO s-a elaborat standardul DIGEST, de către Grupa de Lucru pentru Informații Geografice Digitale, creată în 1994. Actualmente ISO a preluat realizarea acestor standarde (ICA Standard Commission, 1997).

Dintre multiplele utilizări ale metadatelor, se rețin documentarea referitoare la mulțimea de date, analiza posibilităților de utilizare a datelor pentru rezolvarea unor probleme specifice, asigurarea accesului la date și a transferului datelor. Prin documentare este posibil să se cunoască modul de culegere a datelor, codificarea datelor și a elementelor (obiectelor și fenomenelor) la care se referă datele, denumirile datelor și ale mulțimilor de date, limitele zonelor geografice la care se referă datele, momentele de timp ale culegerii datelor etc. Un element de bază este definirea sistemului de coordonate pentru datele de poziție (denumirea sistemului de coordonate spațiale, a elipsoidului de referință, a suprafeței geoidului și a altor suprafețe de nivel etc.). Dintre datele calitative se amintesc precizia pozițională, precizia valorilor atributelor, precizia altor date tematice, consistența logică, completitudinea, precizia semantică și precizia temporală. După cum se va arăta, mai jos, de mare importanță este și specificarea operațiunilor ce se pot realiza cu datele colecției.

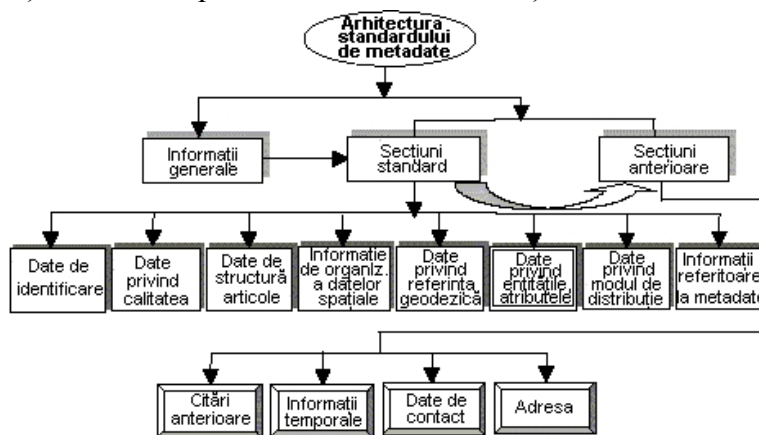


Fig. 1.13 Exemplu de arhitectură a standardului de metadate

Metadatele se referă și la modul de acces la date, precizând, de exemplu, locul stocării datelor (serverul de date), modul de obținere a datelor, probleme privind confidențialitatea

datelor, costul furnizării etc. Serverele de metadata operează în mod special pe World Wide Web (www) și vor prolifera în viitorul deceniu și pentru scările mari, gestionate la nivel național și regional.

Transferul datelor spațiale (geografice) de la un sistem la altul se face pe baza metadatelor, care în acest caz definesc sintaxa transferului. Standardele pentru schimbul de date au o importanță deosebită în cazul transferului. Comisia ICA pentru standardele de transfer al datelor a identificat 22 de standarde naționale și internaționale, cu 13 caracteristici majore, 85 de caracteristici secundare și peste 220 de caracteristici terțiare. Comisia a dezvoltat mulțimea exhaustivă a acestor caracteristici care pot fi aplicate oricărui standard de date spațiale.

Cele 13 clase majore (primare) ale caracteristicilor tehnice conțin informații referitoare la: aprecierea standardului; administrarea, folosirea și implementarea; identificarea mulțimii de date; situația mulțimii de date; intervalele datelor (domeniul de definiție); conținutul datelor; calitatea datelor; organizarea datelor; referința spațială; disponibilitatea și modul de distribuție; autorizarea și verificarea permise de standard (un exemplu este dat în fig. 1.13)..

Informațiile de *apreciere* descriu în general caracterul și folosirea posibilă a standardului, scopul și cui se adresează. Cele de *administrare* descriu cadrul administrativ în care a fost dezvoltat standardul și unde se găsesc toate informațiile referitoare la standard. Sunt date istoricul dezvoltării standardului, informații referitoare la documentația existentă, procedurile software și materialele de pregătire pentru aplicare. Informațiile de *folosire și implementare* sunt utile pentru orice utilizator și prezintă structura standardului și nivelul de abstractizare în modelarea cu standardul descris. Informațiile privind *legătura și coordonarea* la implementare prezintă relațiile cu realizatorul standardului pe timpul implementării și verificării utilizării standardului. Informațiile de *identificare* a mulțimii de date conțin toate denumirile posibile ale mulțimii și submulțimilor de date, uneori chiar și denumirile alternative (sinonime) pentru legătura cu alte standarde. *Situația* mulțimii de date este descrisă de informații privind actualitatea datelor, necesitățile de actualizare, eventual alte servere care pun la dispoziție date mai actuale etc. *Domeniul de definiție* sau intervalele datelor rezultă din informațiile privind domeniile spațial, temporal, spectral sau radiometric. Informațiile privind *conținutul* datelor cuprind elemente, teme și scheme de clasificare generală, cataloage de clasificare și identificare etc. Informațiile referitoare la *calitatea datelor* se referă la precizia datelor, metrica și omogenitatea datelor, metrica indicatorilor de precizie etc. Referitor la *organizarea datelor* sunt prevăzute informații referitoare la modelul de date spațiale, sistemele de referință, *primitivele* datelor, tipurile de date spațiale etc. Organizarea datelor este tot atât de importantă pentru utilizator ca și conținutul datelor. *Referința spațială* definește implicit sau explicit sistemul de referință, proiecția cartografică etc. *Disponibilitatea și distribuția* mulțimii de date localizează distribuitorii (serverele) de date, dau detalii privind formatele de distribuție, modul de comandare a livrării, alte servicii ce pot fi asigurate, prețurile datelor și serviciilor etc. Detaliile de *autorizare și verificare* descriu cum a fost autorizat standardul, ce date test s-au folosit pentru verificare pe parcursul elaborării, procedurile de verificare a datelor culese și introduse în mulțimea de date etc.

În concluzie, standardele de date spațiale sunt o necesitate. Aceste standarde sunt descrise prin metadata. O motivație majoră a folosirii standardelor și metadatelor este volumul mare de date, costul foarte mare al culegerii și caracteristicile superioare de precizie pentru aceste date. Se pot dezvolta astfel SIG superioare calitativ, cu submulțimi de date distribuite (mai multe servere de date).

1.3.7 Structuri de date orientate pe obiecte

1.3.7.1 Generalități

Organizarea datelor spațiale în SIG trebuie dezvoltată permanent, în funcție de noile aplicații. Recapitulând cele descrise mai sus, într-o formă simplificată, trebuie să se cunoască **ce este** într-un domeniu spațial, **unde este** și **când este**, folosind o concepție bazată pe spațiu (2D sau 3D) sau câmp sau o concepție bazată pe obiecte. Concepția descrisă în subcapitolul de mai sus (date vectoriale, teserale sau de tip grilă) este bazată pe câmp și consideră realitatea (geosfera) ca un spațiu 3D sau reprezentat pe spațiul 2D, compus dintr-o colecție de unități areale – pixeli sau de unități volumetrice – voxelii, în care sunt înregistrate datele tematice pentru fiecare unitate (cazul datelor teserale). Concepția bazată pe *obiecte* consideră spațiul 3D al geosferei ca un spațiu vid, umplut cu obiecte individuale ale geosferei (în particular ale suprafeței terestre).

În cazul concepției bazate pe obiecte, se utilizează un proces de abstractizare ce implică gestionarea imaginilor acestor obiecte, reprezentate atât prin date vectoriale, cât și prin date teserale. Aici, prin imagine se înțelege totalitatea datelor, relațiilor dintre date și operațiunilor ce se execută cu aceste date. Și aici trebuie să se răspundă la întrebările **ce se gestionează**, **ce poziție** are în spațiul 2D sau 3D (unde se găsește), **când** se găsește (și, ca o problemă suplimentară, **relațiile** cu alte obiecte).

Pentru a simplifica procesul de abstractizare, unul din domeniile legate de întrebările de mai sus se păstrează fix, unul este predefinit, iar al treilea este măsurat sau observat. Înainte de a putea organiza datele spațiale într-un SIG, trebuie să se identifice și să se formalizeze elementele celor trei domenii, în funcție de aplicațiile SIG, respectiv trebuie proiectată baza de date. Baza de date spațiale reprezintă obiectele geosferei, așa cum sunt văzute de cel puțin o aplicație.

Proiectarea bazei de date implică un proces ierarhic de abstractizare a realității printr-un **model al datelor**, structurarea acestui model într-un format reprezentabil în calculator (structura bazei de date sau modelul logic al datelor) și proiectarea structurii fișierelor (fișierului) pentru memorarea datelor structurate. Conținutul informațional al bazei de date (al SIG) depinde în mod sigur de modelul datelor. Pe baza concepției de orientare pe obiecte, caracteristicile semantice ale fiecărui obiect al terenului pot fi analizate după aspectele sale geometrice și tematice (figura 1.14). Aici au fost considerate doar datele geometrice

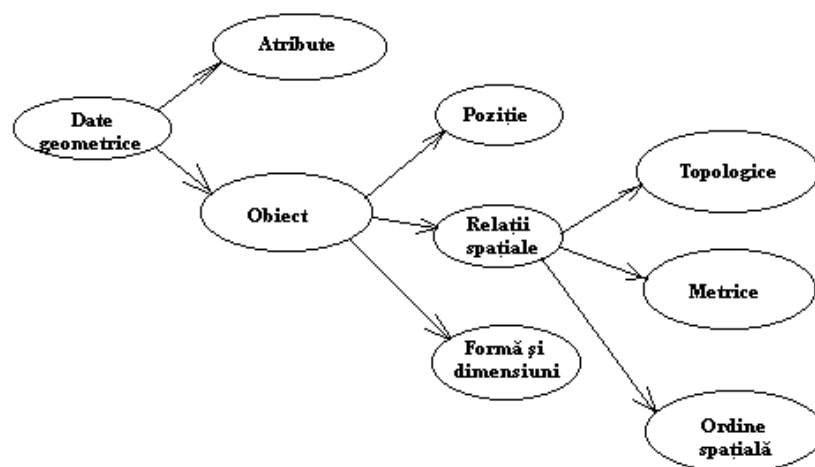


Fig. 1.14 Componentele obiectelor terenului în SIG

propriu, cu toate că toate datele, inclusiv cele semantice, pot fi considerate într-o anumită abstractizare că aparțin unor geometrii neeuclidiene.

Componentele geometrice pot fi formalizate pe baza celor două modele ale datelor amintite mai sus, respectiv modelul vectorial sau modelul tesimal. Modelele vectoriale de date sunt clasificate adesea în tipurile spaghetti (nestructurate) și topologice (structurate), pe când cele teserale sunt grupate în regulate (de exemplu raster) și neregulate (de exemplu structura de triunghiuri oarecare – TIN în plan sau tetraedre în 3D). Structurile datelor geometrice și structurile datelor semantice pot fi considerate separat și unite uneori doar prin intermediul unui identificator comun al obiectului.

După formalizarea **modelului conceptual** al datelor este necesară stabilirea unui **model logic** al datelor, în vederea reprezentării corespunzătoare a datelor în calculator sau pe suportul de date. Până la această concepție de reprezentare a datelor pe obiecte, se cunosc trei tipuri de structurare pentru bazele de date – structurile de rețea, ierarhică și relațională.

Cel mai utilizat este **modelul relațional**, datorită simplității sale și a unui limbaj standard de gestionare a bazei de date (respectiv a unui limbaj de descriere a datelor și a unui limbaj de interogare a bazei de date).

Sunt implementate multe sisteme de gestiune a unei asemenea baze de date (SGBDR – sisteme de gestiune a bazelor de date relaționale), ca de exemplu DB2, Oracle, Ingres, dBase, dar acestea sunt bune pentru gestionarea datelor nespățiale. Ca atare, într-un SIG datele nespățiale sunt reprezentate ca o structură relațională, pe când cele geometrice printr-o implementare fișier de structură topologică.

Nevoia de reprezentare unitară a tuturor componentelor unui obiect și acceptarea tuturor structurilor existente (inclusiv relațională) în gestionarea datelor spațiale este justificată mai ales de performanțele slabe ale structurilor utilizate pentru volume mari de date (caz obișnuit în SIG), suportul necorespunzător pentru gestionarea unor obiecte complexe ale SIG (SIT) și absența mecanismelor corespunzătoare pentru structurarea unor date precum cele referitoare la un singur obiect spațial ce nu sunt descompuse în structuri diferite (de exemplu datele tematice într-o structură și cele geometrice într-o altă structură, conducând la două gestiuni diferite pentru același obiect).

O dată cu dezvoltarea în informatică a limbajelor de programare orientate pe obiecte (LPOO), numite popular de “generația a patra” (4GL), există posibilitatea de a folosi procedurile create cu aceste limbaje ca o punte între modelul conceptual al datelor și modelul logic al datelor, facilitând o reprezentare unică a datelor geometrice și a valorilor atributelor negeometrice într-o singură structură. Convenim să denumim această nouă concepție **modelare a datelor orientată pe obiecte** (MDOO). În această concepție, entitățile geosferei sunt modelate ca **obiecte**. Cuvântul **obiect** este folosit aici într-un sens mai larg decât în disciplinele cartografice unde e folosit pentru un detaliu topografic (geografic, cartografic). Noțiunea de obiect este folosită aici pentru o apariție singulară (instanțiere) a unui grup de date care descriu o entitate și mediul său, ca de exemplu un râu, un pârâu, un lac, un punct geodezic, dar și un nod, un arc, un poligon sau un cont bancar, o persoană, o parcelă cadastrală, un animal de tracțiune etc. Din cele de mai sus se poate trage direct concluzia – concepția MDOO poate fi folosită și în aplicațiile altor sisteme informaționale decât cele spațiale (SIG sau SIT).

Cu toate că este în curs de cercetare, această nouă concepție în informatică, nu se cunosc încă implementări în domeniul sistemelor informaționale spațiale (SIG sau SIT). Corespunzător MDOO, există și **structura de date orientată pe obiecte** (SDOO). Această

nouă concepție trebuie clarificată atât pentru proiectanții bazelor de date SIG, cât și pentru utilizatorii SIG.

1.3.7.2 Concepția MDOO

Concepția MDOO se referă la: (a) *obiectele* propriu zise și *mecanismele de abstractizare* din care rezultă obiectele, respectiv clasificarea detaliilor (obiectelor), generalizarea sau specializarea, agregarea; (b) *construcțiile de implementare*, respectiv moștenirea, propagarea, încapsularea, persistența, polimorfismul etc. Un obiect cuprinde un *identificator* și mai multe date. Orice obiect are o *stare* și o *comportare*. *Starea* este descrisă prin *proprietăți* sau *atribute*, dar nu ca la structura relațională. Proprietățile nu sunt restrânse la *atomi* de date (date ce nu mai pot fi descompuse), ci pot fi ele însele obiecte. *Comportarea* obiectului este definită de mulțimea de *proceduri* (metode sau operațiuni) ce pot fi aplicate datelor care descriu obiectul, aceste proceduri fiind incluse în obiect. Un exemplu edificator este obiectul CLĂDIRE într-un SIG urban. (al municipiului București). Proprietățile sau atributele acestui obiect sunt adresa (strada, numărul, codul poștal etc.), proprietarul, data construirii, folosința, numărul de etaje, coeficientul rezistenței la cutremur, înălțimea și datele ce descriu poziția punctelor obiectului (șirul de coordonate). Pot fi adăugate și imagini pe aerofotograme, porțiuni de plan etc. *Procedurile* se referă, de exemplu, la *gestiunea* obiectului în baza de date (creare, ștergere, modificare), la operațiunile de *reprezentare* a obiectului pe diferite geoimagini (hărți, fotohărți, ecrane grafice etc., figura 1.3), respectiv de generare a semnelor convenționale punctuale sau areale sau a imaginilor perspective, operațiunile de generalizare a clădirii pe geoimagini la scări diferite și cu diferite teme etc.

Obiectele pot fi *simple* (piatră kilometrică, troiță,...) sau *complexe* (cvartal, cartier, sat, oraș, municipiu,...), gradul de complexitate depinzând de operațiile suportate de SIG. Obiectele sunt construite prin agregare de la simplu la complex. Din punct de vedere geometric sau al modului de reprezentare pe un plan de referință sau în baza de date spațială, obiectele se pot clasifica după dimensiunile lor (fig. 1.15). Se va vedea importanța acestei clasificări și la digitizarea poziției obiectelor, pe teren, pe hartă sau pe fotografie.

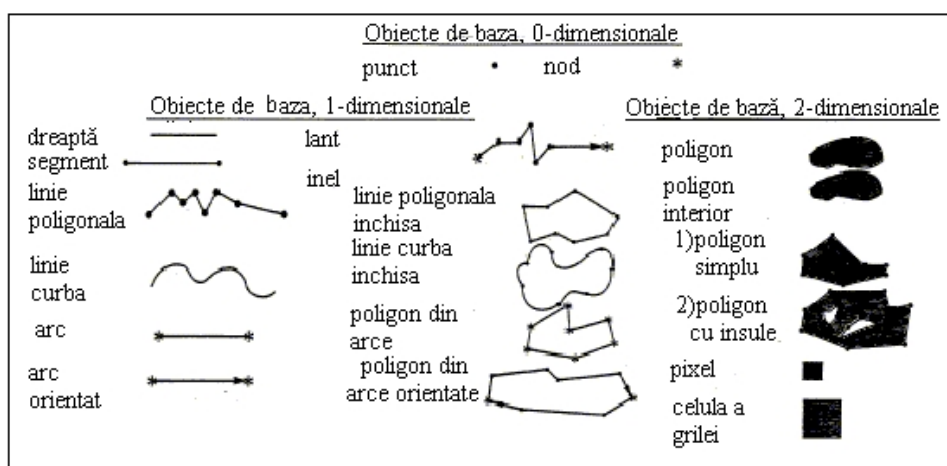


Fig. 1.15 Dimensiuni ale obiectelor în baza de date spațială

1.3.7.3 Mecanisme de abstractizare

Obiectele sunt construite cu ajutorul mecanismelor de abstractizare, care sunt clasificarea, generalizarea și/sau specializarea, agregarea și asocierea. Se vede avantajul cartografului, care a întâlnit aceste mecanisme și la modelarea cartografică.

Clasificarea constă în împărțirea detaliilor și a structurilor de date pe *clase*, identificarea proprietăților sau atributelor tuturor obiectelor. Toate obiectele unei clase au aceleași proprietăți, ca în exemplul dat mai sus. Convenim să denumim clasa printr-un substantiv la plural (de exemplu “clădiri”). Orice obiect clădire particulară face parte din clasă, va avea toate proprietățile clasei, dar cu valori diferite. Pentru fiecare clasă, obiect sau proprietate se stabilește câte un nume (fig. 1.16). Orice clasă poate avea *subclase* și *superclase*. De exemplu, din clasa clădiri pot face parte subclasele clădiri *de locuit*, clădiri *industriale*, clădiri *agricole*, *magazine*, *hoteluri* etc., ce pot avea și proprietăți particulare în plus față de proprietățile clasei.

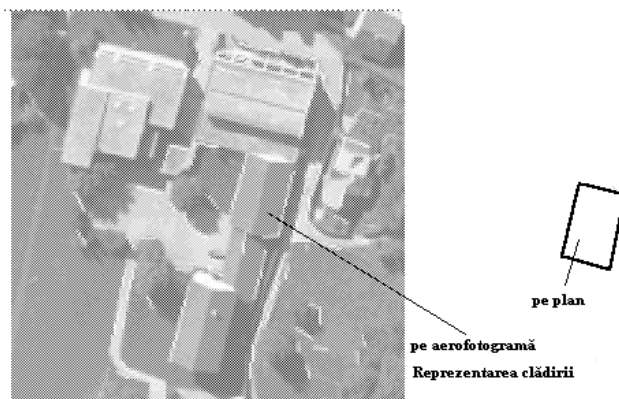


Fig. 1.1.6 Exemple de imagini ale obiectului în baza de date

Generalizarea și/sau **specializarea** au o importanță foarte mare și completează clasificarea. Generalizarea, ca și în cartografie, “vede” spațiul geografic cu nivele diferite de detaliere. Diferite clase de obiecte, cu proprietăți și proceduri comune, pot fi cuprinse într-o clasă mai generală denumită *superclasă*. Aici apar *superclasele* și *subclasele*, acestea caracterizând *ierarhia de generalizare*, în care obiectul subclasei, de exemplu, păstrează proprietățile și procedurile superclasei, dar care are multe proprietăți și proceduri specifice, care nu apar la superclasă, în vederea reducerii redundanței. Pentru aceeași bază de date pot fi stabilite mai multe ierarhii de generalizare, în funcție de aplicațiile SIG.

O *ierarhie de generalizare* poate avea un număr diferit de *nivele* în care o subclasă poate avea, la rândul ei, rolul unei superclase pentru o altă clasă specificată. În concluzie, termenii superclasă și subclasă sunt abstractizări pentru același obiect și nu descriu două obiecte diferite, ci același obiect la nivele diferite de detaliere. De exemplu, clasa hoteluri poate fi considerată o subclasă a clădirilor. La subclasă se mențin proprietățile superclasei, dar apar noi proprietăți (atribute) specifice subclasei, precum denumirea hotelului, standardul de clasificare, numărul de camere pe categorii etc., astfel ca la interogarea bazei de date pentru un anumit hotel sunt date și atributele clădirii în care e dispus hotelul. De observat aici este faptul că la fiecare nivel de generalizare este utilizată clasificarea.

Specializarea face parte din generalizare, precizând prin intermediul subclaselor *ierarhiile de generalizare* (de exemplu hotel este o clădire specializată pentru cazarea turiștilor etc.). Tot prin generalizare, unui anumit utilizator SIG i se furnizează doar anumite date, cu toate că baza de date cuprinde mult mai multe date.

Agregarea este un mecanism de abstractizare folosit pentru obținerea obiectelor compuse (asemenea integrării de la generalizarea cartografică). Sunt combinate obiecte diferite pentru a forma un obiect de nivel semantic superior. Fiecare obiect constitutiv al obiectului compus (complex sau agregat) are proprietățile și procedurile sale specifice.

Proprietățile obiectului compus sunt derivate din proprietățile obiectelor constitutive prin operațiunea de *propagare*, pe când procedurile obiectului compus nu sunt compatibile cu procedurile părților. Prin agregare se construiesc obiecte din ce în ce mai complexe plecând de la obiectele elementare.

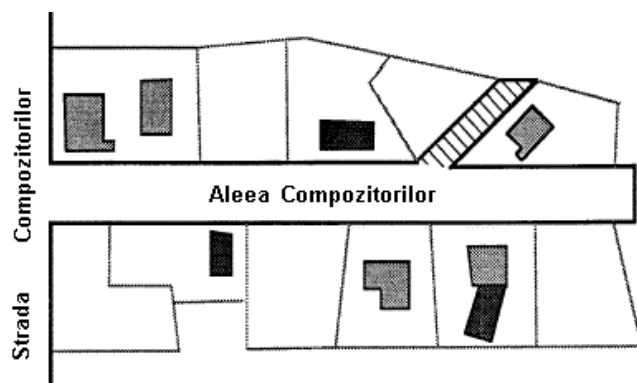


Fig 1.17 Cvartalele ca obiecte agregate

Ierarhia de agregare este exprimată uneori prin relația *parte a*, deoarece obiectele constitutive sunt părți ale obiectului compus (agregat), sau prin relația inversă *constă din*. De exemplu, într-un SIG urban obiectul cvartal (fig. 1.17) este format din clădiri dispuse pe parcele contigui, delimitat de străzi, pe parcele putând exista și alte elemente – parcuri, parcuri, locuri de joacă pentru copii etc.

La orice abstractizare prin agregare trebuie indicate precis clasele din care poate fi format obiectul complex (agregat) și condițiile pe care trebuie să le îndeplinească (în exemplul de mai sus vecinătatea areală sau contiguitatea și delimitarea de către străzi, dar fără străzi interioare). Trebuie remarcat faptul că elementele geometrice nu se vor repeta la obiectul complex, acestea determinându-se printr-o anumită procedură din elementele geometrice ale obiectelor constitutive (de exemplu frontiera cvartalului).

Asocierea este un mecanism de abstractizare în care chiar o relație între două sau mai multe obiecte independente formează un nou obiect. Spre deosebire de generalizare și agregare, asocierea nu construiește ierarhii și nu urmează reguli stricte, ci indică doar o mulțime de obiecte care au ceva în comun. Ca exemplu de asociere sunt datele ce descriu relațiile topologice (arcuri, noduri, poligoane și fețe descrise prin liste cu pointeri sau adrese).

1.3.7.4 Construcții de abstractizare (implementare)

La utilizarea mecanismelor de abstractizare descrise mai sus au un rol deosebit construcțiile de abstractizare sau de implementare, respectiv moștenirea, propagarea, încapsularea, persistența, polimorfismul etc.

Moștenirea constă în păstrarea proprietăților superclasei și atribuirea acestora și obiectelor subclaselor. Această *transmitere tranzitivă* a proprietăților este o caracteristică a MDOO, micșorând redundanța datelor. Moștenirea asigură modularitatea și păstrarea integrității bazei de date, deoarece atributele existențiale ale unui obiect sunt definite doar o dată și sunt moștenite la nivelele inferioare. Procedurile superclasei sunt aplicabile tuturor obiectelor subclasei, deoarece fiecare obiect al subclasei este și obiect al superclasei, dar procedurile definite pentru o subclasă nu sunt compatibile cu obiectele superclasei. De exemplu, un *magazin* este o subclasă a *clădirilor*, iar procedura sau operațiunea de *aprovizionare_magazin* nu poate fi aplicată clădirii. Relația de moștenire are loc numai de la superclasă la subclasă și poate fi singulară (simplă) sau multiplă. În *moștenirea simplă*, o ierarhie strictă de generalizare este astfel definită, încât fiecare clasă are cel mult o singură

superclasă imediată, pe când în *moștenirea multiplă* o subclasă poate avea mai multe superclase imediate distincte. Exemple pot fi date mai ales în cazurile existenței în SIG a subsistemelor nespațiale.

Propagarea se folosește mai ales în mecanismele de agregare și de asociere și constă în derivarea valorilor atributelor obiectelor complexe din valorile atributelor obiectelor constitutive, valorile atributelor obiectelor complexe nefiind memorate, ci determinate doar când e necesar (la interogarea bazei de date), dar asta în funcție de frecvența și volumul interogărilor și timpul și complexitatea calculului. De exemplu, populația municipiului București se obține ca sumă a populațiilor sectoarelor componente. Pe lângă valorile propagate, obiectul complex (agregat sau asociat) poate avea și atribute specifice și distincte față de componentele sale. Sensul de propagare este de la subclasă la superclasă, contrar moștenirii.

Propagarea asigură păstrarea proprietății de *consistență a datelor*, deoarece valorile determinate prin propagare nu necesită actualizarea, aceasta necesitând-o doar proprietățile elementelor componente.

Încapsularea constă în introducerea într-un obiect atât a datelor ce-l caracterizează (valorile atributelor), cât și a procedurilor care gestionează și prelucrează aceste date. Concepția este foarte utilă, mai ales la apariția noilor *limbaje de programare orientate pe obiecte* (LPOO) și la utilizarea lor în SIG. Procedurile vor servi ca interfață între utilizator și SIG (baza de date a SIG), care poartă mesajele SIG către utilizator, dar care asigură și interogările SIG de către acesta.

Cu obiectele vor fi executate doar procedurile descrise la crearea bazei de date, de exemplu procedurile care asigură operațiunile topologice (determinarea tuturor arcelor ce se intersectează într-un nod, determinarea succesiunii de arce ale unui circuit sau ciclu, determinarea conturului comun al mai multor poligoane contigui etc.), proceduri cartografice (proceduri de generalizare cartografică, de generare a semnelor convenționale și a inscripțiilor pe geoimaginele extrase din SIG, toate procedurile specifice cartografiei matematice etc.), proceduri geometrice (determinarea ariilor, distanțelor și orientărilor pe elipsoid, pe sferă sau în planul proiecției) etc.

Deoarece fiecărui obiect îi corespund procedurile specifice, este posibilă schimbarea reprezentării în baza de date a SIG a unui obiect, fără influențarea restului conținutului bazei de date.

Persistența constă în memorarea și actualizarea permanentă a obiectelor create și este o caracteristică de bază a noilor LPOO, pentru a le distinge de limbajele clasice actuale (de exemplu FORTRAN sau BASIC), la care datele create de programe persistă doar pe timpul rulării acestora. Aceasta face ca noile LPOO să aibă unele caracteristici ale SGBD, păstrând valorile atributelor de la o rulare la alta, deci să conțină și procedurile de salvare și încărcare.

Polimorfismul constă în informatică în folosirea multiplă a unui nume pentru reprezentarea unui obiect sau a unei proceduri, în special a simbolurilor pentru operațiuni. De exemplu, simbolul ”/” poate fi folosit pentru o procedură de suprapunere a două obiecte areale sau pentru operațiunea de împărțire. Funcțiile unor nume de proceduri pot fi diferite și după tipul de operand sau operanzi etc.

1.3.7.5 Implementarea SDOO

Implementarea SDOO a SIG este o problemă actuală, dar se pare că pune ordine mai ales în aplicațiile SIG și, ca atare, chiar în proiectarea și realizarea SIG. În general, SDOO

poate fi implementată prin utilizarea unui SGBD relațional bazat pe obiecte (de exemplu folosind Postgress sau Iris) sau folosind chiar un sistem orientat pe obiecte (de exemplu Smallworld sau Ontos, actualmente în experimentare în informatică). Se pot folosi și programe scrise într-un LPOO, de exemplu C++ sau Smalltalk, macrocomenzile procedurilor scrise fiind cuprinse în obiecte. Încă nu s-a realizat un SGBDOO comparabil cu SGBD cunoscute, ceea ce face încă dificilă implementarea în SIG a acestei concepții. Lipsa unui limbaj de interogare orientat pe obiecte (se experimentează doar) duce la folosirea unui SGBD relațional și completarea acestuia cu proceduri ale noii concepții.

1.3.8 Concluzii

Structurile de date constituie o problemă de mare importanță a SIG și necesită studii aprofundate, chiar în mai multe teze de doctorat. Pentru aplicații restrânse, cu programe simple și cu tipuri limitate de date se pot accepta (se folosesc) masivele, structuri omogene și contigue, unidimensionale, bidimensionale sau multidimensionale, acestea din urmă fiind similare reprezentărilor specifice bazelor de date relaționale. Masivele sunt specifice programelor în limbaje avansate și sunt (mai) familiare programatorilor. Acestea oferă mecanisme simple de calculare a adreselor la scrierea și regăsirea datelor. Problemele ce apar sunt cele legate de dimensiunile masivelor, limitate de memoria internă a calculatorului electronic. Structurile de date de tip pointer se folosesc în multe alte structuri și constau în memorarea de către pointeri a adreselor locațiilor de memorie.

Pentru gestionarea unor primitive grafice de tip punctual, liniar sau areal se pot folosi structuri de date necontigue, de tip listă, stivă sau coadă. Datele vectoriale, de tip grilă și de tip raster pot fi organizate în structuri arborescente, atât în memoria internă, cât și în memoria externă. Bazele de date relaționale folosesc toate operațiile structurilor de mai sus.

Structurile de date topologice se bazează pe primitivele noduri, arce și fețe și pe relațiile de frontieră și cofrontieră. Structura permite realizarea unor operațiuni spațiale care se folosesc în analiza SIG, ca de exemplu generarea zonelor tampon, suprapunerea poligonală și combinarea elementelor grafice. Aceste structuri sunt cele mai utilizate în prezent de către pachetele de programe SIG (Arc/Info, MGE etc.).

Concepția SDOO crează noi posibilități de dezvoltare și aplicare a SIG. Realizarea unui LPOO va grăbi implementarea acestei concepții. În alegerea acestei concepții trebuie să se țină seama mai ales de: folosirea unor identificatori unici ai obiectelor; proiectarea și a unor tipuri de date definite de utilizatori; proiectarea, programarea și folosirea unor proceduri definite inclusiv de utilizatori; completarea metodelor de acces la datele bazei de date și cu metodele specifice utilizatorilor; definirea unor obiecte complexe prin mecanisme specifice; dezvoltarea extensibilității dinamice a structurii; utilizarea tablourilor programelor scrise în noul LPOO etc.

Procedurile și operatorii dezvoltați vor fi specifice diferitelor grupe de utilizatori. Cu toate că dezvoltarea LPOO nu face obiectul lucrării, multe metode de culegere a datelor SIG și aplicațiile corespunzătoare vor trebui să fie rescrise la implementarea noii concepții. Realizarea lucrărilor practice descrise a ținut seama doar parțial de noua concepție, dar terenul e pregătit pentru o nouă abordare. Aplicațiile dezvoltate de autor au ținut seama mai ales de structurile deja implementate.

Alegerea unei anumite structuri a datelor geografice se face după mai multe criterii. Printre aceste criterii se rețin cele ale volumului datelor, tipurilor datelor, flexibilității datelor pentru diferite aplicații, tipurilor de algoritmi care se pot aplica datelor, posibilității utilizării

unor date, programe și aplicații existente deja în unele organizații, timpului maxim de acces la date etc.

O structură de date este cu atât mai complexă, cu cât volumul datelor este mai mare și cu cât numărul de relații explicite este mai mare, ca atare trebuie să se facă un compromis între numărul de relații implicite și cel al celor explicite. Creșterea numărului de relații explicite duce la creșterea volumului datelor și a necesităților de memorare. Pe de altă parte, dacă numărul de relații explicite este mai mare, scade timpul de acces la unitatea logică a datelor.

De exemplu, pentru o structură topologică (poligonală), numărul total de accese la articolele logice poate fi determinat cu relația

$$a=C_1l+C_2p+C_3 \quad (1.10)$$

unde a este numărul de accese, l este numărul de laturi ale grafului, iar p este numărul de poligoane (fețe); C_1 , C_2 și C_3 sunt constante ce se determină experimental (cu valori între 2 și 8). Constantele de mai sus depind și de rezoluția discretizării muchiilor sau arcelor grafului planar. Într-o structură topologică, datele referitoare la structura de graf reprezintă aproape jumătate din totalitatea datelor și, bineînțeles, cantitatea totală de date crește proporțional cu mărirea domeniului geografic spațial al datelor (aria zonei) și cu mărirea rezoluției spațiale a datelor vectoriale sau raster. Referitor la gradul de integrare a diferitelor nivele tematice, complexitatea structurii crește cu numărul de nivele tematice.

1.4 Proiectarea SIG

1.4.1 Comparație statistică a funcționalității pachetelor de programe SIG

Pe piața pachetelor de programe SIG există mii de pachete. Fiecare pachet poate fi caracterizat prin sute de attribute (caracteristici) funcționale. Între pachetele de programe se pot găsi similarități, luând în considerație mai mulți factori. Pachetele de programe pot fi caracterizate de variabile cu valori binare (0 și 1), reprezentând lipsa sau prezența unei anumite funcții. Similaritatea pachetelor de programe se poate exprima printr-o matrice a coeficienților de similaritate, respectiv cu distanțele multidimensionale (normele) dintre pachetele comparate. Analizând apoi grupele de pachete similare, rezultatele analizei au permis determinarea relației dintre attributele grupelor și unele informații nebinare, precum numărul de instalări, vechimea în ani a prezenței pe piață, tipul aplicației (SIG “total”, SIG specific unui domeniu dat etc.). Tipul de analiză este folosit pentru găsirea programelor alternative. Metoda nu elimină evaluarea pachetelor după cerințele concrete ale unui anumit utilizator.

1.4.1.1 Generalități

Pachetele de programe SIG se dezvoltă permanent. Apar noi pachete, iar altele deja nu se mai folosesc. În anul 1995 au apărut pe piață circa 50 de pachete de programe, iar în anul 2000 circa 200. În figura 1.18 este arătat numărul de pachete existente pe ani, până în 1996. Un pachet din patru existent în 1994 exista și în 1998, fiecare al doilea pachet exista pe piață de cel puțin trei ani, iar un sfert din pachetele de programe a fost lansat cu un an înaintea începerii analizei. Cel mai vechi pachet important care se mai utilizează încă datează din 1988. Curba numărului de pachete existente pe ani este dată în figura 1.18, din care se vede creșterea aproape liniară în 1995, comparativ cu 1992 și 1993. Cererea de noi pachete va

scădea semnificativ în anii următori. Va fi tot mai dificil să se atragă utilizatorii pentru un pachet mai competitiv, comparativ cu faptul că pachetul este croit precis pe cerințele utilizatorului sau pe faptul că pachetul este mult mai ieftin. Uneori există o confuzie a utilizatorilor, dată de marea diversitate a pachetelor de programe disponibile. Trebuie date răspunsuri la întrebări de genul: ce pachet de un preț dat este optim?; ce pachet va fi prezent pe piață la începutul secolului XXI ?; ce pachet poate fi folosit pentru instruirea viitorilor specialiști SIG?; care sunt tendințele tehnologice pe piața software SIG? etc. Există o mare cerere de informații asupra pachetelor de programe SIG disponibile.

Multe reviste tehnico-științifice publică regulat informații asupra pachetelor de programe SIG (de exemplu Professional Geographic, GIS Europe, GIS World etc.).

Este descrisă în cele ce urmează o metodologie de comparare a funcțiilor pachetelor de programe SIG. Termenul funcție reprezintă posibilitatea pachetului de a realiza o operațiune dorită, inclusiv posibilitatea rulării pe o anumită platformă hardware și/sau cu un anumit sistem de operare. De remarcat că nu există un pachet de programe ideal care să realizeze toate funcțiile posibile, în vederea îndeplinirii cerințelor tuturor utilizatorilor. Pentru a compara două pachete (sisteme) de programe trebuie definite criterii clare, rezultate din cerințele tuturor utilizatorilor, destul de diferite pentru diverse domenii de utilizare (silvicultură, protecția mediului, apărare civilă, securitate națională, agricultură, cadastru etc.).

Conform cerințelor unui anumit utilizator, metodologia de mai jos permite alegerea unei grupe de programe similare ce corespund acelor cerințe sau care pot fi completate ușor cu noi proceduri. Dacă baza de date deja există și va fi utilizată în SIG, metodologia poate fi

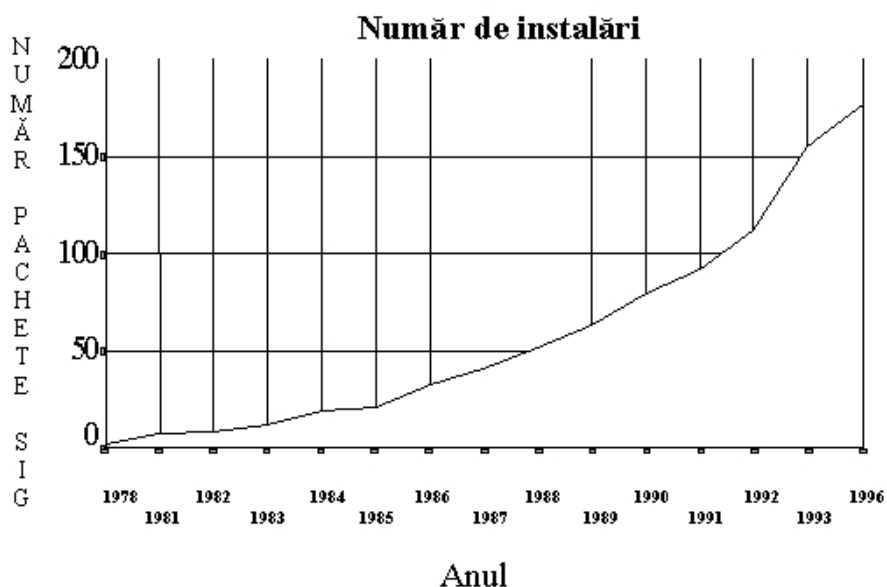


Fig. 1.18 Numărul de instalări de pachete SIG

aplicată foarte eficient și rapid, utilizând pachetele de programe statistice și de calcul tabelar (de exemplu S-PLUS).

Metodologia poate fi folosită în etapa de implementare a pachetelor de programe din cadrul realizării SIG și în mod special la faza de evaluare a sistemului. În procedurile de implementare a programelor SIG, etapa primară este cea de definire a cerințelor utilizatorului, realizând *analiza cerințelor utilizatorului* (ACU, vezi 1.6). Rezultatele ACU trebuie coroborate cu tehnologia disponibilă în etapa următoare, de evaluare a sistemului. Evaluarea

devine formalizată și mai puțin subiectivă. Se poate lua astfel o decizie corectă privind alegerea unui anumit pachet de programe SIG.

1.4.1.2 Sisteme de clasificare

Specialiștii SIG, cercetătorii științifici în general, au nevoie să organizeze și să-și clasifice observațiile, noțiunile și ideile care stau la baza științei lor. Clasificarea poate viza pachetele de programe, datele geografice sau datele cartografice etc. Un sistem de clasificare, deși arbitrar și conceput cu scop utilitar, poate să fie de mare folos în perceperea relațiilor naturale fundamentale sau a altui tip de relații.

Majoritatea sistemelor de clasificare, fie matematice, fie nematematice, utilizează: (a) comparația între perechi de observații, pentru determinarea gradului de similaritate dintre aceste perechi; (b) separarea perechilor de observații în categorii între care există un grad general de asemănare.

În cazul de față, dacă se dorește să se clasifice pachetele de programe SIG sau cele cu unele funcții apropiate de funcțiile SIG, se compară în esență fiecare pachet în parte cu celelalte pachete, iar în final se separă pachetele în categorii sau clase, între pachetele unei clase existând un anumit grad de asemănare.

Majoritatea metodelor matematice de clasificare sunt asemănătoare. Compararea diferitelor perechi de eșantioane poate fi făcută calculând un coeficient a cărui valoare este o măsură a gradului de similaritate (vezi capitolul al III-lea). Fiind date n pachete de programe, când se face o comparație între toate perechile posibile, se obține o matrice pătrată a tuturor coeficienților de similaritate, invariabil simetrică față de diagonala principală, putându-se reține doar matricea triunghiulară superioară. Este obișnuit, dar nu esențial, ca acești coeficienți să aibă valori normalizate, între -1 și $+1$ sau în procente, între -100% și $+100\%$, unde -1 reprezintă lipsa de similaritate, iar $+1$ similaritatea maximă (completă). În multe cazuri însă este mai convenabil de a comprima variația între 0 și $+1$ (0 reprezentând disimilaritatea maximă, iar $+1$ similaritatea completă).

O matrice a coeficienților de similaritate poate avea o utilitate directă prin ea însăși sau poate fi “structurată” ulterior printr-o formă oarecare a analizei grupărilor sau a analizei

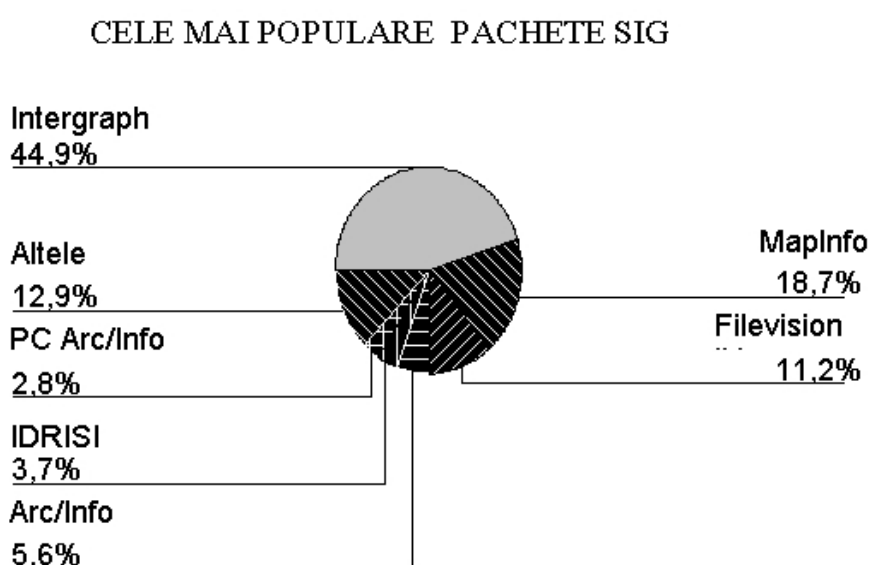


Fig. 1.19 Cele mai populare pachete SIG (în 1996)

factoriale. Numărul coeficienților de similaritate, omițând diagonala principală, este $(n^2-n)/2$, unde n este numărul pachetelor de programe.

Există două moduri de aplicare a coeficienților de similaritate și a matricelor. Se pot face comparații direct între pachete pentru a stabili direct relațiile dintre pachete, sau se pot face comparații între mai multe variabile, caracteristici ale pachetelor, pentru a stabili relații între aceste variabile. Comparațiile dintre obiecte, deci dintre pachete în cazul de față, sunt de obicei denumite analiza “ Q -mod”, pe când comparația între variabile analiza “ R -mod”. Atât matricele Q -mod cât și matricele R -mod pot fi calculate din aceleași date. În cazul dat variabilele pachetelor sunt chiar operațiunile care se pot executa cu programele acestor pachete.

1.4.1.2.1 Tipuri de coeficienți de similaritate

Au fost stabilite mai multe tipuri de coeficienți de similaritate (Harbaugh și Merriam, 1972), utilizați în taxonomie (clasificarea și gruparea obiectelor). *Coeficientul de corelație al lui Pearson* este util pentru a face comparații între variabilele numerice și poate fi folosit pentru comparații între obiecte sau probe.

Coeficienții de distanță se bazează pe conceptul că o măsură cantitativă a gradului de similaritate dintre două variabile sau două probe este dată de distanța care le separă într-un sistem de coordonate rectangulare: cu cât e mai scurtă distanța, cu atât gradul de similaritate este mai mare și invers.

Coeficienții cosinus-theta pot fi considerați ca exprimând similaritatea ca o relație unghiulară între două probe sau variabile reprezentate într-un sistem de coordonate multidimensional, similaritatea dintre două probe p și q fiind reprezentată prin unghiul dintre vectorii lor respectivi în sistemul de coordonate dat. Valoarea 0 a unghiului arată o similaritate maximă, iar unghiul drept arată o disimilaritate completă.

Coeficienții de concordanță dintre probe pot apărea atunci când se compară stări discrete. O stare discretă se referă la o proprietate fie prezentă, fie absentă, care este de așa natură că nu poate fi descrisă numeric. Utilizarea stărilor discrete reprezintă avantaje importante chiar și când se are de a face cu date semicantitative, deoarece datele brute pot fi obținute mult mai ușor. Cel mai simplu coeficient de acest fel este coeficientul de concordanță, care este definit ca raportul dintre numărul de concordanțe și numărul total de comparații. Se fac comparații între eșantioane, datele fiind reduse la două categorii, respectiv *da* sau *nu*. Există și alți coeficienți de similaritate, dar care nu fac obiectul acestui studiu.

1.4.1.2.2 Analiza grupărilor

Scopul analizei grupărilor este prezentarea relațiilor din interiorul unei matrici de coeficienți de similaritate. Aceasta se poate face în forma cea mai simplă prin ordonarea variabilelor într-o rețea dendritică ierarhică sau dendrogramă, în care diferitele variabile sau obiecte sunt astfel grupate, încât relațiile reciproce, așa cum sunt conținute în matricea coeficienților de similaritate, sunt prezentate în modul cel mai simplu. În mod ideal, relațiile sunt de așa natură, încât pot fi pe deplin reprezentate printr-o rețea dendritică complet conținută în două dimensiuni. Practic este însă greu sau imposibil de a obține o reprezentare eficientă printr-o diagramă bidimensională. Analiza în cadrul studiului nostru va avea ca rezultat dendrograma pachetelor de programe grupate după anumite criterii, de exemplu după grupele de operațiuni posibile pe care acestea le pot executa. Practic se face ordonarea pachetelor de programe, aducându-le pe cele asemănătoare în poziții adiacente.

Pentru aceasta se pot folosi două metode:

Metoda legăturii prin medii neponderate presupune gruparea entităților similare. Grupările sunt realizate în jurul unor centre ale celor mai asemănătoare perechi de entități. Spre a putea intra într-o grupare, o entitate (un pachet) va trebui să prezinte un nivel de similaritate egal cu similaritatea medie dintre ea și ceilalți membri din grup. Pe măsură ce se scade numărul nivelelor de similaritate, entitățile restante se alătură uneia sau alteia din grupări, în acest fel grupările individuale unindu-se ultimele și, în final, toate entitățile fiind incluse într-o grupare mare

Metoda legăturii simple diferă prin aceea că o entitate (un pachet) care trebuie să fie inclusă într-o grupare trebuie să aibe un coeficient de similaritate egal cu similaritatea maximă dintre ea și oricare altă entitate din grupare, aceasta însemnând că o legătură simplă pentru un nivel dat de similaritate este suficientă pentru a permite intrarea într-o grupare. Gruparea este reprezentată de obicei sub forma unei dendograme, ale cărei ramificații indică grupări ce se formează la nivele succesive de similaritate. O astfel de dendrogramă va fi prezentată mai jos.

1.4.1.3 Date inițiale pentru aplicarea metodei

Datele au fost culese din revistele de specialitate disponibile (GIS World, GIS Europe, Arc Info News, GIS World Sourcebook etc.), referitoare la pachetele existente pe piața SIG la nivelul anului 1996, doar ca un exemplu, pentru a nu supăra firmele producătoare în prezent. Asemenea articole publicate începând cu anul 1991 conțin tabele cu pachetele de programe pe rânduri (anexa A), având pe coloane funcțiile procedurilor programelor. Făcând o analiză succintă, rezultă că în anul 1990 existau 88 de pachete cu 132 de funcții principale, iar în anul 1996 existau 383 de pachete cu 228 de caracteristici. Sunt prezente în literatură două considerații referitoare la datele inițiale pentru analiză: (a) informațiile primite de la firmele furnizoare sunt corecte, știind că, de regulă, acestea supraevaluează programele proprii; s-a observat totuși o anumită sinceritate, de exemplu din partea firmei ESRI, care în 1996 recunoștea că Arc/Info nu realizează încă complet conversia vector-raster, nu poate face registrarea corectă a imaginilor vectoriale peste imaginile raster etc., lucruri ce se remediază într-un mod excepțional în anii 1998 și 1999; (b) informațiile publicate în tabele sunt corecte, cu unele mici scăpări ce pot fi corectate de analistul documentat.

Tabelele publicate sunt completate cu noi coloane ce conțin date alfabetice (numele pachetului, numele firmei realizatoare și versiunea) și date numerice (anul primei instalări, numărul de instalări, numărul estimat de utilizatori, prețul de bază în dolari SUA).

1.4.1.4 Tendințe tehnologice privind pachetele de programe SIG

Analiza datelor inițiale a permis determinarea caracteristicilor a 187 de pachete de programe SIG. Rezultatele obținute au fost și sunt folosite atât utilizatorilor, cât și firmelor realizatoare și vânzătorilor de programe. Pachetul tipic pentru SIG combină funcțiile procedurilor pachetelor de programe SIG cu funcțiile de conversie a formatelor datelor, de gestiune a datelor sau cu operațiunile de procesare a (geo)imaginilor digitale. Pentru programele SIG, cele mai multe programe folosesc sistemele de operare Windows și UNIX. Doar 23 de programe puteau fi rulate pe Macintosh, 16 sub OS/2 și 14 sub Windows NT. Multe programe sunt rescrise în prezent pentru Linux. Alte sisteme de operare sunt extrem de rare.

Structura de date bazată pe date vectoriale era mai des utilizată comparativ cu cea bazată pe date raster (raport de 1,5:1), în prezent orice pachet lucrând cu trei tipuri de date. În plus față de metodele tradiționale de culegere a datelor (digitizare vectorială și digitizare raster sau scanare), 75 de pachete foloseau datele culese automat cu receptoare GPS și 51 foloseau datele rezultate de la procedurile utilizate în modulul COGO (calcul topografice).

Posibilitatea afișării datelor vectoriale peste datele raster prin registrație este un lucru obișnuit pentru pachetele SIG actuale, ca și măsurarea prin vizare pe imaginea afișată a distanțelor dintre puncte, a ariilor poligoanelor, a coordonatelor geografice ale punctelor etc. Intersectarea poligoanelor începe să fie o procedură tot mai des folosită după 1995. De regulă, sistemele bazate pe date raster sunt cele mai propice pentru realizarea multor funcții de analiză cartografică, analiză a suprafețelor și mai ales pentru procesarea imaginilor digitale, pe când pachetele bazate pe structuri de date vectoriale sunt mai propice pentru analizele în rețele. Privind funcțiile de editare, devine o necesitate regularizarea grafurilor prin racordarea corectă a arcelor, racordarea datelor provenite din surse diferite etc (ESRI, 1996)..

Limbajele de comandă suport (în 158 de pachete), macrolimbajele (în 227 de pachete) și meniurile utilizator personalizabile (în 104 pachete) demonstrează că interfața utilizator are un rol covârșitor în programele SIG.

Trebuie de asemenea amintit că cele mai utilizabile periferice de ieșire erau ploterul electrostatic (în 133 de pachete), imprimanta cu laser (în 114) și ploterul cu penițe (în 113). Imprimanta matricială, care deținea în trecut ponderea, se mai folosește doar în 17 pachete de programe. Privind formatele utilizate, pachetele puteau importa date cel puțin în formatele ASCII (126), DXF (121), Arc (69) și DLG (58). În aceleași formate cel puțin și în plus în formatul HPGL sunt exportate datele către alte pachete de programe. Pentru exportul imaginii grafice se puteau folosi formatele HPGL (104), PS (96), EPS (53), TIFF (53) etc. SGBD cel mai utilizat era încă dBASE (în 93 de pachete), dar se foloseau și ORACLE (în 88), Informix (în 55), Foxbase (în 63) și INFO (în 21).

Se pot determina și funcțiile cele mai des utilizate. Puține pachete foloseau atunci module de tip TIN (rețea de triunghiuri oarecare), respectiv 31 de pachete, precum și structurile de date 3D (doar 34 de pachete). Cea mai puțin utilizată funcție era hașurarea poligoanelor cu diferite modele de linii, folosită doar în 12 pachete, dar prezentă acum în majoritatea pachetelor. Generarea curbilor de nivel era mai puțin folosită (doar în 25 de pachete), această funcție fiind realizată totuși de alte pachete din afara SIG (de exemplu SURFER). Erau extrem de rar utilizate două operațiuni specifice rețelilor, respectiv determinarea drumului minim (în 33) și selecția celui mai apropiat vecin (în 28). Doar 16 pachete foloseau poligoanele Thiessen și doar 23 furnizau statistici reprezentative. De asemenea, doar o treime din toate pachetele de programe SIG utilizau o operațiune foarte simplă, respectiv analiza frecvenței, care este larg utilizată în pachetele de programe pentru procesarea imaginilor digitale. Multe din lipsurile manifestate în 1996 au fost remediate la sfârșitul secolului al XX-lea.

1.4.1.5 Metodologia de analiză a funcțiilor programelor

Pentru a evidenția pachetele cu funcționalitatea cea mai ridicată, se poate aplica un sistem de ponderare. Procedura de selecție a celor mai funcționale pachete de programe (utilizând un pachet de programe de statistică matematică) cuprinde următoarele etape: (a) stabilirea unui sistem de ponderare adecvat unui utilizator, unde funcției ce se va utiliza cel mai mult i se atribuie o pondere maximă, iar funcției ce nu se dorește a se utiliza ponderea 0; (b) scrierea sistemului de ponderi pe primul rând de după header, fiecare pondere fiind scrisă sub funcția corespunzătoare; (c) transpunerea rândului de ponderi într-un vector coloană și concatenarea acestuia la dreapta matricei funcțiilor sau caracteristicilor; (d) înmulțirea matricei cu valori binare cu vectorul ponderilor, rezultând un vector coloană cu valorile indicilor de funcționalitate ai tuturor pachetelor de programe; (e) sortarea liniilor matricei după valorile descrescătoare ale indicelui de funcționalitate; (f) alegerea primelor n linii ale matricei, care reprezintă primele n pachete de programe cu indicii de funcționalitate cel mai

mare. Așa cum s-a menționat mai sus, ponderile trebuie să fie corespunzătoare cerințelor utilizatorilor. Ponderile nu au fost utilizate în studiul nostru sau se poate aprecia că ponderile au fost egale toate cu 1.

Se poate face o apreciere globală că un pachet sau sistem de programe este cu atât mai bun, cu cât el are mai multe funcții, respectiv că se execută cu el cât mai multe operațiuni. În mod ideal, cel mai bun sistem ar trebui să execute toate operațiunile cerute. Deoarece în studiu au fost identificate 218 operațiuni, aceasta înseamnă că valoarea maximă posibilă a indicelui este 218. Indicele relativ de funcționalitate se obține prin împărțirea indicelui la indicele maxim posibil și exprimarea acestuia în procente, obținându-se valori între 0 (nici o funcție) și 100 (funcționalitate maximă ideală). Pentru pachetele analizate, valorile indicilor relativi de funcționalitate variază între 1,37 și 86,30.

Au fost calculați și indicii parțiali de funcționalitate, specifici unor grupe de pachete sau unor grupe de operațiuni sau funcții. Operațiunile individuale au fost grupate în următoarele 16 grupe (cu numărul de variabile sau operațiuni trecute între paranteze): tip de program (16); sistem de operare (6); structura de date (8); coordonate geografice (8); intrarea datelor (6); formatele de schimb ale datelor spațiale (51); gestiunea datelor (15); măsurări și interogări (cereri) (7); calcul de zone tampon și suprapuneri (8); funcții de analiză cartografică (9); funcții de analiză a suprafețelor sau arealelor (10); operațiuni specifice rețelelor (7); procesarea (geo)imaginilor digitale (17); editarea, prezența interfeței utilizator (13); afișarea (11); ieșiri hardcopy (14). Au fost calculați indicii parțiali de funcționalitate pentru fiecare grupă de operațiuni de mai sus. Unele pachete pot realiza 100% operațiunile unor grupe ca intrarea datelor, editarea, afișarea, analiza cartografică sau pe cele specifice rețelelor.

1.4.1.6 Rezultatele analizei funcționalității

Rezultatele analizei funcționalității arată ce grupe de operațiuni sunt comune sau unice. Tabelul 1.3 prezintă valorile indicilor de funcționalitate (în procente) pentru diferite grupe de operațiuni SIG. Aceste valori au fost calculate pentru trei cuartile, reprezentând 25%, 50% și 75% din pachetele de programe SIG. Sunt date și valorile minimă și maximă. Multe operațiuni au fost identificate ca unicat.

O pătrime din pachetele analizate nu aveau funcții de calcul al zonelor tampon și acoperire (suprapunere), analiză cartografică, analiză a suprafețelor, procesarea sau editarea imaginilor digitale. Jumătate din pachete nu puteau executa nici una din cele 10 operațiuni de analiză a suprafețelor sau operațiunile de procesare a imaginilor digitale. Unele operațiuni pot fi considerate ca obișnuite, ca de exemplu transformarea coordonatelor, măsurarea prin vizare pe imaginea afișată sau interogările. Interfața utilizator conține grupa cea mai comună de operațiuni, deoarece 75% din pachete permiteau cel puțin 4 din cele 13 funcțiuni corespunzătoare interfeței utilizator. Coloana care conține valorile maxime din tabelul 1.3 arată că existau pachete de programe care pot realiza fiecare operațiune din grupa specificată. Existau pachete de programe care pot rula cu fiecare structură de date din cele inventariate, fac orice transformare de coordonate, suportă orice periferic de intrare și operațiunile de intrare a datelor, măsurarea prin vizarea pe imagine, calculul zonelor tampon și acoperirea, analiza cartografică, operațiunile specifice rețelelor, de editare și de afișare.

În general, în toate cazurile, indicele relativ total al funcționalității este cu mult mai mic decât se aștepta. Fiecare al patrulea pachet disponibil SIG putea realiza sub 17% din toate operațiunile inventariate, 50% din pachete puteau realiza 27% din operațiuni și 75% din pachete puteau realiza circa 39% din operațiuni.

Indicele cel mai mare (86,3%) aparținea pachetului MGE, care a stat și la baza programelor sistemului (cartografic) digital de producție al NIMA. Alte sisteme cunoscute (fig. 1.20), precum Arc/Info, GIS Advantage, TNTMIPS, GenaMap, CARIS, PAMAP și GDS aveau în 1996 indicii de funcționalitate de circa 60%.

Mai existau pachete de programe cu unele funcții comune cu unele ale pachetelor de programe SIG, care pot fi folosite împreună sau în locul acestora, cum ar fi, de exemplu, Image Production and Processing (indicele 62,39), FACET (53,67) sau ER Mapper (49,54; ER Mapper, 1997). Având doar grupe particulare de operațiuni, precum procesarea imaginilor digitale, multe asemenea pachete sau sisteme de programe au totuși valori mari ale indicelui de funcționalitate (de exemplu ER Mapper și FACET).

Pachetele de programe bazate pe date raster folosesc structuri mai simple și algoritmi specifici. Aceste pachete sunt mai ieftine decât cele pentru date vectoriale. Simplitatea sistemelor bazate pe date raster și posibilitatea de a face cu acestea analize cartografice, analize ale suprafețelor și analize ale imaginilor conduc la faptul că nu există corelație între prețul pachetului de programe și indicele spațial de funcționalitate calculat pentru grupele menționate de operațiuni. Caracteristicile specifice structurii de date raster conduc la concluzia că nu există corelație între posibilitatea de a realiza operațiunile de analiză a imaginii sau de analiză a suprafeței și operațiunile de gestiune a datelor (numărul de SGBD asigurate). Similar, nu există corelație între funcțiile de analiză a imaginii specifice pachetelor bazate pe date raster și funcțiile realizate cu rețele specifice structurilor de date vectoriale.

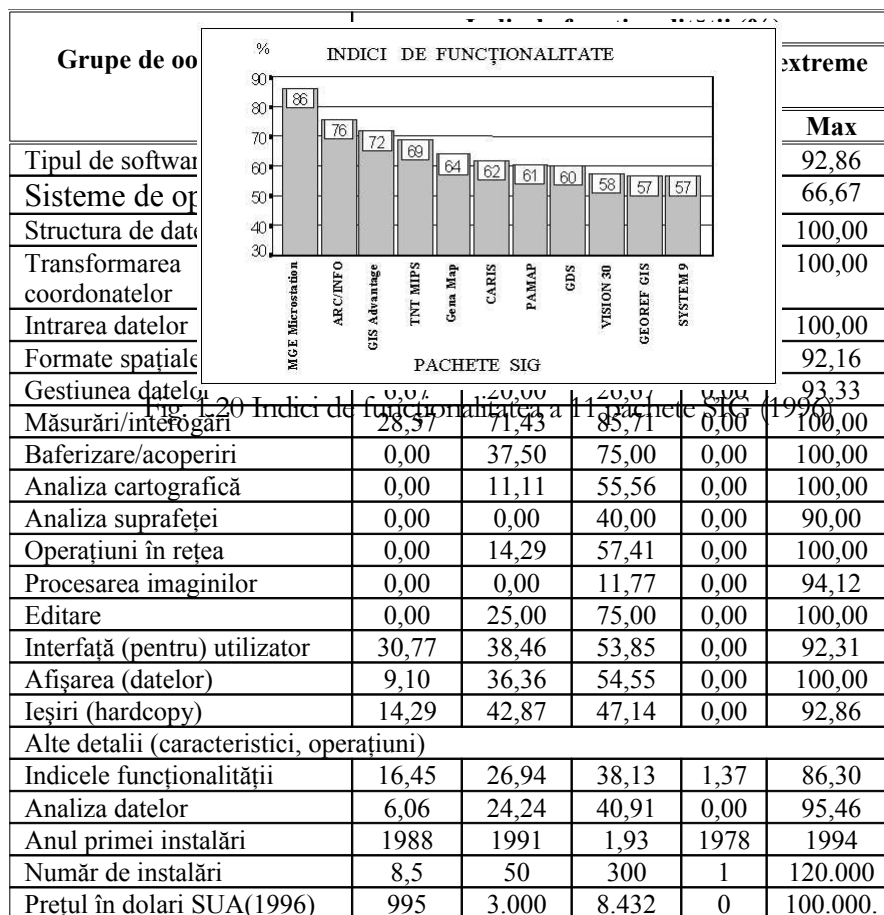
Prețul și numărul de instalări nu depind semnificativ de funcționalitatea sistemului. Numărul mediu de instalări pentru cele 187 de pachete din anul 1996 a fost de 2086, această medie mare rezultând din marele număr de instalări pentru pachetele realizate de Intergraph și MapInfo. Așa cum se vede din figura 1.18, peste 78% din toate instalările de pachete SIG erau date de instalările a 6 pachete (Intergraph, Arc/Info, MapInfo, Filevision IV, IDRISI și PC Arc/Info). Un sfert din pachetele SIG aveau sub 9 instalări, iar jumătate din pachete aveau sub 50% din instalări. Doar 25% din pachetele SIG aveau peste 300 de instalări (numărul estimat de utilizatori SIG este, de regulă, de 3-4 ori mai mare decât numărul de instalări). Cele de mai sus demonstrează, pe de o parte, cât de dificil este de a pătrunde pe piața SIG cu un nou pachet, iar pe de altă parte, că organizațiile românești, la procurarea și instalarea unor pachete, nu au beneficiat de o analiză științifică de tipul prezentului studiu.

Deoarece operațiunile de măsurare prin vizare pe imaginea afișată, interogare și editare au devenit obișnuite, nu există corelație între numărul de instalări și funcționalitatea parțială pentru aceste operațiuni. În mod surprinzător, nu există corelație nici între prețul unui pachet (sistem) și interfața (pentru) utilizator sau posibilitatea de a folosi diferite SGBD.

Multe pachete (sisteme) de programe asemănătoare pachetelor SIG, despre care există informații în literatura de specialitate, aveau un număr semnificativ de mare de instalări. Cele mai multe instalările aveau AutoCAD (peste 1.500.000), ARCHIBUS/FM (15.000) și EMU-Tek Five Plus (10.000).

Prețul pachetului este un alt factor important în alegerea și evaluarea pachetelor de programe SIG. Multe pachete costau sub 100 dolari SUA și multe erau livrate chiar gratuit, cu număr redus de funcții valide, mai ales de către mediile universitare sau de către unele organizații publice. Un sfert din pachetele SIG costau sub 1.000 dolari SUA pe pachet, jumătate sub 3.000 dolari SUA și doar 25% costau peste 8.500 dolari SUA.

Tabelul 1.3 Statisticile ce descriu grupele principale ale operațiunilor SIG



Cele de mai sus demonstrează că prețul pachetului de programe este o problemă deosebită în realizarea SIG. În trecut, costul programelor era o parte semnificativă a costului întregului SIG. Tendința generală este să se ajungă la un număr mare de instalări la un preț cât mai mic.

Existau totuși multe sisteme scumpe de programe, cu prețuri de peste 40.000 dolari (TELEGIS – 100.000, GEAMATE - 60.000, Application Development – 50.000, Road Net, Gradis GIS și Alk-Giap de câte 40.000 fiecare, ultimul având indicele de funcționalitate doar de 7,14).

Multe pachete (sisteme) de programe cu funcții asemănătoare pachetelor SIG erau mult mai scumpe; de exemplu, SOFTPLOTTER (114.000 dolari), Maps 3D (59.000), T-M3s-TIGER (340.000) sau OrtoMax (35.000).

Figura 1.20 arată distribuția pachetelor de programe SIG după funcționalitate sau preț. Multe companii nu raportează prețul la funcționalitate, iar altele dau prețuri variabile, confidențiale, în funcție de modulele implementate. Pachetul MGE realizat de Intergraf avea cel mai mare indice de funcționalitate la un preț de numai 2.000 dolari SUA. Două grupe de pachete ar trebui identificate din figură. Prima grupă reprezintă pachetele cu funcționalitate ridicată și cu preț redus.

Un raport mare indice de funcționalitate/preț îl avea Map Box (0,25% la un dolar), urmat de Mac GIS pentru Windows sau pentru DOS, IDRISI, EPPL. Alte pachete cunoscute

ocupau pozițiile următoare în această listă – GRASS (nr. 13), Arc View (nr. 21), Map Info (nr. 24). La polul opus erau situate pachetele cărora le corespundea un raport mic indice de funcționalitate/preț (sub 0,0005% pentru un dolar), reprezentate de Road Net, MISGEO, Alk-Giap sau TELEGIS. Alte sisteme cunoscute, clasificate ca pachete SIG de către firmele realizatoare, ocupau următoarele locuri cu cele mai mici valori ale raportului: FLY (PCI, nr. 17), Geolinsens (nr. 20), EASI/PEACE (nr. 43). Dacă asemenea pachete nu realizează anumite operațiuni unice sau speciale, trebuie înlocuite cu altele mai ieftine.

Unele sisteme sau pachete de programe, în mod special FMS, erau de cele mai multe ori personalizate pentru cerințele specifice utilizatorului, inclusiv programarea unor proceduri, generarea de noi semne convenționale etc. Asemenea pachete erau mult mai scumpe și erau instalate, de regulă, într-un număr limitat de locuri.

1.4.1.7 Similarități între pachetele de programe

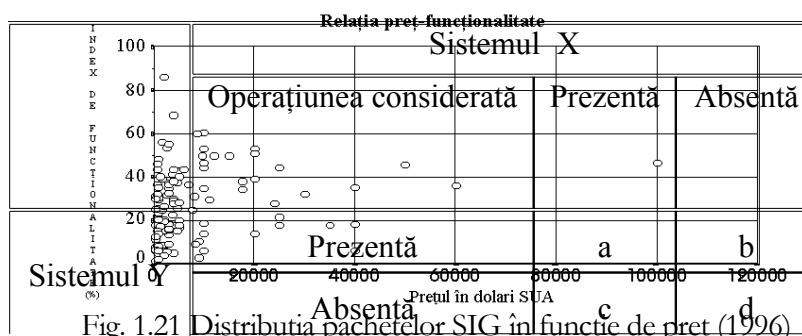
Pentru continuarea analizei, pachetele de programe SIG se pot separa de alte pachete comune dar și cu unele funcții specifice SIG. Acestea din urmă pot fi identificate folosind metode statistice, de exemplu determinării similarității (unui coeficient de similaritate).

Pentru aceasta se pot folosi două tipuri de date, date interval și date binare. Datele interval constau din intervale ale indicilor relativi de funcționalitate pentru cele 16 grupe de operațiuni arătate mai sus. Fiecare pachet din cele 187 de pachete de programe SIG poate fi reprezentat printr-un punct într-un spațiu cu 16 dimensiuni, coordonatele fiind chiar indicii relativi de funcționalitate pentru fiecare grupă de operațiuni.

Coeficientul de corelație Pearson (Cressil, 1991) $d(X,Y)$ se calculează cu formula (3.1), unde Z reprezintă indicii de funcționalitate pentru pachetele X și Y pentru operațiunea i , iar N este numărul total al pachetelor de programe.

Pentru date binare, celor $N=187$ pachete de programe li se atribuie cele 218 variabile binare (numărul total al operațiunilor), rezultând un spațiu cu 218 dimensiuni. Pentru orice pereche de pachete poate fi stabilit un tabel de concordanță (tabelul 1.4).

Tabelul 1.4 Tabelul de concordanță a operațiunilor



Cu valorile din tabel poate fi determinat coeficientul $d(X,Y)$ al diferenței de formă sau de concordanță

$$d(X,Y) = \frac{bc}{(a+b+c+d)^2} \quad (1.11)$$

Pasul următor este folosirea valorilor astfel calculate și realizarea unei analize a grupelor pentru pachetele de programe SIG grupate într-un număr predefinit de clase. Figura 1.22 arată o dendrogramă cu 5 clase rezultată din clasificarea a 30 de programe cu cele mai

multe instalări. Pachetele de programe se împart în clase după valorile mărimilor determinate ca mai sus, respectiv după principiul popular “cine se aseamănă se adună”, respectiv pachetele unei clase au coeficientul de similaritate apropiat.

Rezultatul analizei grupării programelor din 1996 este următorul:

Clasa 1: MGE, ARC/INFO, GDS, GenaMap, PAMAP

Clasa a 2-a: MapInfo, ArcCAD, FMS, TRANSCAD, MacGIS, GIS Plus, MapGrafix GIS, SYSEW, EPPL7, Map Box, Filevision IV, WINGIS, CABLECAD

Clasa a 3-a: Quick Surf, STATMAP 3 FOR WINDOW, ImageWorks, GeoManagement System, Field Notes, Road Net 5000, PCMAP

Clasa a 4-a: IDRISI, ERDAS IMAGINE, ILWIS, EASI/PACE

Clasa a 5-a: PC Arc/Info

1.4.1.8 Concluzii

Matricea completă a coeficienților de similaritate poate fi folosită pentru determinarea pachetelor apropiate ca funcționalitate unui pachet dat sau a pachetelor de programe alternative, care pot eventual să înlocuiască pachetul dat, dar pot fi procurate cu un preț mai mic.

În tabelul 1.5 sunt dați indicii de funcționalitate și prețurile (care sunt deja neactuale, dar utile pentru studiul nostru) pentru pachetele cu peste 1.000 de instalări și pentru primele 3 pachete alternative. Metodologia și rezultatele prezentate îi ajută pe utilizatori și chiar pe realizatori și vânzători, chiar pe alți specialiști, să analizeze eficient funcționalitatea oricărui pachet de programe SIG sau cu funcții apropiate funcțiilor SIG.

1.5 Identificarea nevoilor de date geografice digitale (numerice)

1.5.1 Consultarea beneficiarilor

Procesul de consultare a beneficiarilor SIG vizează gradul de manifestare a interesului acestora pentru produse noi și cunoscute realizate cu sistemul informațional geografic și a caracteristicilor calitative, cantitative, de vizualizare și de utilizare a acestora în diferite scopuri. O listă a informațiilor produselor geodezice, topografice și de teledetecție (celor mai solicitate dintre datele geografice), care pot fi diferențiate chiar și pe sursele utilizate pentru culegerea datelor, este următoarea:

Date geodezice de bază

Date topografice de bază

Date topografice de detaliu

Utilizarea solului

Rețeaua rutieră interurbană

Rețeaua rutieră urbană

Rețeaua rutieră detaliată

Transportul general

Transportul de energie

Rețeaua hidrografică detaliată

Relieful (Hipsografia)

Modelul numeric altitudinal (date de tip grilă)

Modelul numeric al terenului (raster și vectoriale)

Imaginea 3D a terenului (date raster)

Imagini pancromatice (date raster)

Imagini multispectrale (date raster)

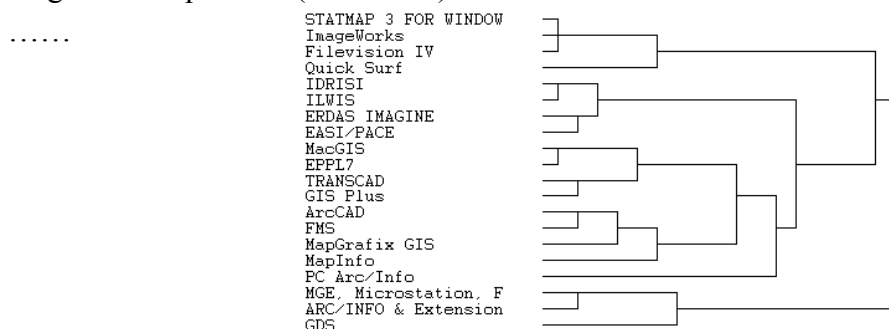


Fig. 1.22 Clasificarea a 30 pachete de programe SIG (1996)

1.5.1.1 Răspunsuri de la beneficiari

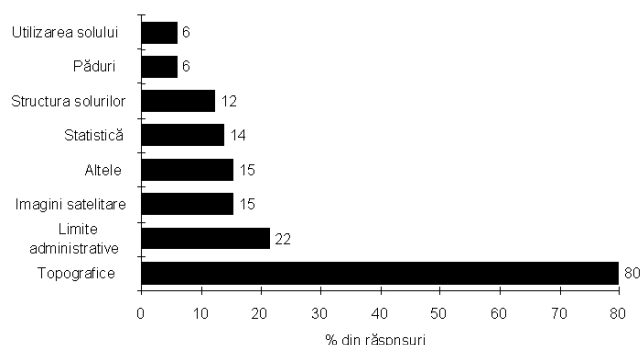


Fig. 1.23 Tipuri de date utilizate

Sondajul a fost făcut în particular de către un colectiv interdisciplinar în colaborare cu autorul, conform unei liste de 60 de utilizatori existenți și potențiali, dintre care 31 au acceptat să participe. Dar dintre aceștia doar 22 (71%) au răspuns, specialiști din firme de stat și particulare.

1.5.1.2 Rezultatele consultării

1.5.1.2.1 Domenii de aplicare și utilizare a datelor

Aplicațiile se situează în principal în sfera activităților legate de resursele naturale, amenajări, gestionarea mediului, transporturi, comunicații etc. Este interesant de remarcat că în 60% din cazuri datele sunt utilizate pentru analiza geografică și doar 30% în scopuri directe de reprezentare (și în primul caz rezultatele analizei sunt în majoritate reprezentate grafic sau cartografic). Utilizatorii au fost ajutați să înțeleagă procedurile care pot fi folosite pentru analiza geografică. S-a întocmit o listă a funcțiilor procedurilor celor mai utilizate pachete de programe de tip SIG sau ale altor pachete ce pot fi utilizate în SIG (de exemplu SURFER).

1.5.1.2.2 Tipuri și surse de date utilizate

Au fost identificate 30 de tipuri diferite de date și multe surse (mai ales pentru date tematice). Figurile 1.23 și 1.24 arată distribuția normalizată a tipurilor diferite de date și a surselor de date.

1.5.1.2.3 Caracteristici cerute (dorite)

Când li se cere utilizatorilor să specifice caracteristicile pe care doresc să le aibe datele geografice numerice, mai ales cele topografice, apar în mod frecvent câteva. Cele mai frecvente sunt cele referite la structura geometrică (45%), la precizie (37%) și la conținut (37%). În figura 1.25 sunt date unele caracteristici.

1.5.1.2.3.1 Structura geometrică a datelor

Utilizatorii doresc date integrate, neeronate ca precizie geometrică de poziție și ca precizie tematică. Pentru conținut, nu trebuie să existe erori de identificare sau de codificare. Datele trebuie să fie structurate, entitățile să fie racordate, fără imperfecțiuni rezultate de la digitizarea cartografică sau fotogrammetrică etc. Este cvasiunanimă ideea că este necesară utilizarea unei clasificări corecte, bazate pe metode matematice, fără crearea de ambiguități.

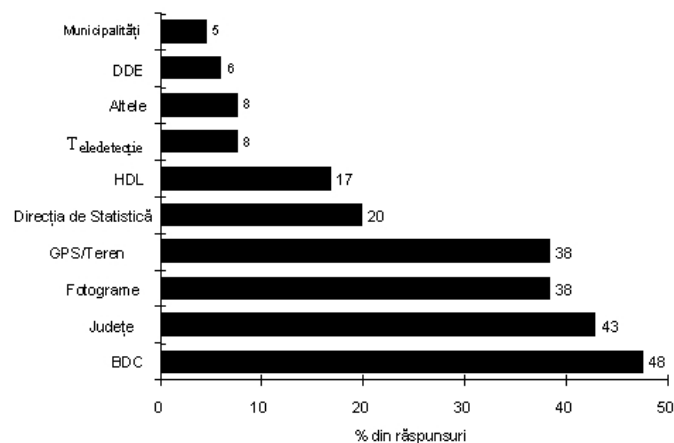
Aceasta este cheia înlăturării posibilităților de identificare sau de atribuire a codurilor. Toți utilizatorii sunt de acord cu recunoașterea obiectelor prin intermediul vizării cu locatorul în câmpurile marcate cu semne convenționale ale ferestrelor, interfețe utilizator (de tip GUI).

Tabelul 1.5 Comparația pachetelor SIG cu peste 1 000 de instalări

Denumire a pachetului	Compania realizatoare	Numărul de instalări	Indicele de funcționalitate	Prețul US\$	Cele mai instalate 3 sisteme (indice de funcționalitate; preț)
MGE, Microstation, Framme	Intergraph Co.	120 000	86,30	2 000	MapX (5,88,\$2 495); ALLIANCE (55,25,\$3 000); GEOREF GIS (56,62,\$1 500)
MapInfo	MapInfo Co.	50 000	40,64	1 295	Atlas GIS for DOS (36,53,\$495); Atlas GIS for Win.; (43,36,\$495); ALLIANCE (55,25,\$3 000)
Filevision IV	TSP Software	30 000	12,75	295	Flight Path (11,87,\$99); EARTHBASE (17,81,\$299); Iso Chrono (16,44,VM)
Arc/Info	ESRI	15 000	75,80	Variabil pe module (VM)	CARIS (62,10, VM); System 9 (56,62,VM); PAMAP (60,73,\$10 000)
IDRISI	Clark University	10 000	46,12	640	GRASS (48,40,\$995); ILWIS (51,14,VM); ALLIANCE (55,25,\$3 000)
PC Arc/Info	ESRI	7 500	43,84	5 995	Integrated Gov. Mngmt. Sys. (30,14,\$3 995); Nu Loc (19,18,\$10 000); IMAGIS (18,72VM)
Quick Surf	Schreiber Instruments Inc.	5 000	14,16	995	Health & Safety (18,72,\$3 000); Alk-Giap (18,26,\$40 000); GEOFLIP (6,85,VM)
ERDAS IMAGINE	ERDAS, Inc.	3 800	53,42	10 000	EASI/PACE (49,77,\$12 000); GRASS (48,40,\$995); CARIS for Win. (42,01,VM)
ArcCAD	ESRI	2 500	38,36	3 995	TELEGIS (46,58,\$100 000); FMS (32,38,\$3 000); SPATIALIST (37,44,\$4 500)
FMS	Facilities Mapping Systems, Inc.	2 000	32,88	3 000	ArcCAD (38,36,\$3 995); MapGrafix (28,77,\$4 995); SPATIALIST (37,44,\$4 500)
STATMAP 3	GEOVISION	2 000	15,07	595	EARTHBASE (17,81,\$299); GMS. (26,48,\$2 000); MGIS (7,76,\$750)
ILWIS	International Institute for Aerospace Survey	1 350	51,14	VM	IDRISI (46,12,\$640); ALLIANCE (55,25,\$3 000); GRASS (48,40,\$995)
GDS	Graphic Data Syst. Co.	1 200	60,27	8 500	Smallworld GIS (52,05, VM); Ascodes-3 (51,14,\$20 000); AXIS (50,23,\$15 000)

1.5.1.2.3.2 Precizia datelor

Pentru a înțelege mai bine necesitățile, se poate zona domeniul geografic acoperit de SIG. Aceasta este o problemă de decizie importantă și trebuie bine fundamentată, pentru a acoperi toate solicitările sau mai bine să fie stipulată precizia cea mai ridicată. De exemplu, pentru teritoriul național, pentru un SIG de acest nivel, pot fi stabilite precizii pentru cel puțin trei subdomenii – intravilan, rural și montan (zone greu accesibile).



DDE-date digitale existente; HDL-harta digitală a lumii; BDC-baza de date cartografice

Fig. 1.24 Sursele de date utilizate (ce se vor utiliza)

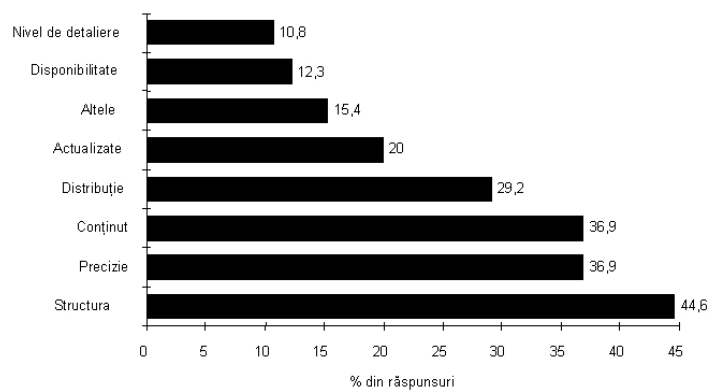


Fig. 1.25 Caracteristici solicitate

1.5.1.2.3.2.1 Precizia altimetrică

Rezultatele preciziei altimetrice minime solicitate de utilizatori pentru un eventual SIG național sunt materializate în figura 1.26. Pe figură se vede că precizia de 0,5 m pentru intravilan este cerută de 80% din utilizatori, dar care fac uneori confuzie între un SIG și un sistem informațional al teritoriului pentru o zonă mai mică, dar cu o precizie mai mare. În zonele montane, o precizie de 10 m satisfac 60% din utilizatori.

Și aici a fost necesară sensibilizarea utilizatorilor asupra motivației pentru precizia altimetrică. Cei mai familiarizați asupra motivației unei precizii altimetrice s-au dovedit a fi specialiștii din domeniile geodezie, transporturi, amenajarea mediului și de telecomunicații.

Jumătate dintre specialiști au corelat precizia altimetrică cu precizia planimetrică. Unii specialiști s-au manifestat pentru neîmpărțirea preciziei în altimetrică și planimetrică, influențați fiind de determinările cu sistemele GPS.

1.5.1.2.3.2.2 Precizia planimetrică

S-au identificat din partea specialiștilor unele valori minime ale preciziei planimetrice pentru diferite tipuri de entități. Dintre acestea cele mai riguroase valori pe zone au fost luate în considerație în final, pe subzone, ca și mai sus.

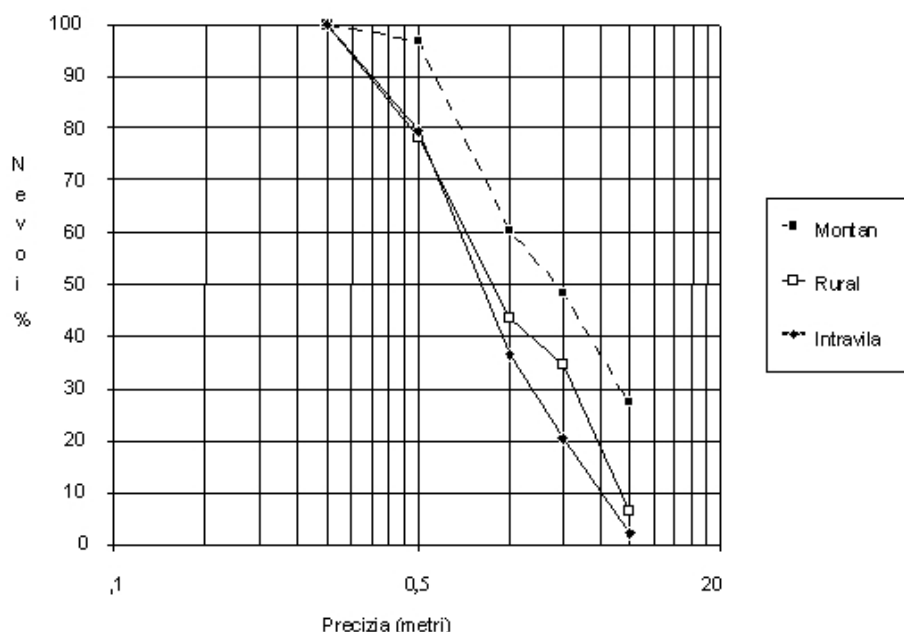


Fig 1.26 Precizia altimetrică

Rezultatele sunt date grafic în figura 1.27, din care se vede că 50% din necesități se referă la o precizie de 1 m, iar în zona montană 65% dintre utilizatori solicită o precizie de 50m (nu sunt incluse aici necesitățile ridicărilor topografice și cadastrale, care sunt foarte riguroase, uneori superioare toleranțelor înscrise în instrucțiunile de ridicări topografice și cadastrale). Doar 50% dintre utilizatori au corelat preciziile planimetrice cu dimensiunile minime ale obiectelor mediului înconjurător, respectiv reprezentate prin obiecte SIG (1.5.1.2.3.7).

1.5.1.2.3.3 Conținut

Utilizatorii au indicat, pentru fiecare set de informații (denumit aici produs), dacă acesta este foarte important, important sau neimportant pentru aplicațiile lor. Utilizatorii pot adăuga noi seturi de date

Figura 1.28 arată distribuția produselor propuse după popularitate (grad de cunoaștere). Se constată că fișierele cele mai cerute sunt cele care au fost create începând cu folosirea calculatoarelor în geografie, geodezie, geologie, statistică etc.

Pentru fiecare produs propus au fost indicate și numerele de exemplare solicitate cu preponderență (esențiale) și fără interes deosebit pentru aplicațiile lor. Figura 1.29 arată prioritatea entităților solicitate ca esențiale pentru cel puțin un produs propus sau informații (produse) în lista acestora. Rezultatele sunt arătate în figura 1.28

Și aici gradul de încredere este legat de cunoașterea de către utilizatori a modului de folosire a acestor produse. Este necesară o pregătire a acestor beneficiari din partea specialiștilor SIG. Expertul SIG devine o realitate în analiza cerințelor beneficiarilor, în proiectarea SIG și în analiza geografică.

Figura 1.29 arată că majoritatea entităților solicitate frecvent sunt chiar cele ce există în unele baze de date deja realizate, respectiv cele care există și în sistemul clasic, cel care nu implică folosirea calculatorului electronic pentru toate operațiunile. Printre primele 10 entități frecvent solicitate sunt limitele administrative și toponimia. Actualmente acestea sunt puțin reprezentate în bazele de date. Peste 80% dintre utilizatori solicită ca toponimele să însoțească

datele lor, respectiv în cazul digital să se accepte soluția structurii de date pe obiecte (proprietatea de încapsulare).

De notat că peste 65% din cei interogați consideră toponimele ca esențiale pentru localități și pentru ape (legate de limitele administrative), iar 95% le consideră necesare, fără a fi considerate esențiale.

1.5.1.2.3.4 Distribuția datelor

Utilizatorii doresc să obțină date gata de a fi utilizate direct, deci care să nu trebuiască a fi prelucrate sau să fie foarte puțin prelucrate, precizându-se:

formatul de citire/scriere;

suportul (media);

proiecția;

sistemul de referință;

simbologia;

domeniul (de definiție) geografic.

Datele sunt solicitate pe straturi tematice.

1.5.1.2.3.5 Ciclurile de actualizare

Utilizatorii solicită ca datele cele mai actualizate să fie cele referitoare la infrastructură, la drumuri și la întreaga rețea de transport. Nu se solicită date actualizate pentru vegetație, hidrografie și altimetrie, acest fapt fiind legat de gradul de cunoaștere. Pentru prima grupă de date s-a indicat un ciclu de actualizare de 10 ani în zonele rurale și de 4 ani în zonele urbane, solicitate de peste 50% din utilizatori. Pentru al doilea grup de date, 50% din utilizatori indică 15 ani în zonele rurale și de 6 ani în cele urbane.

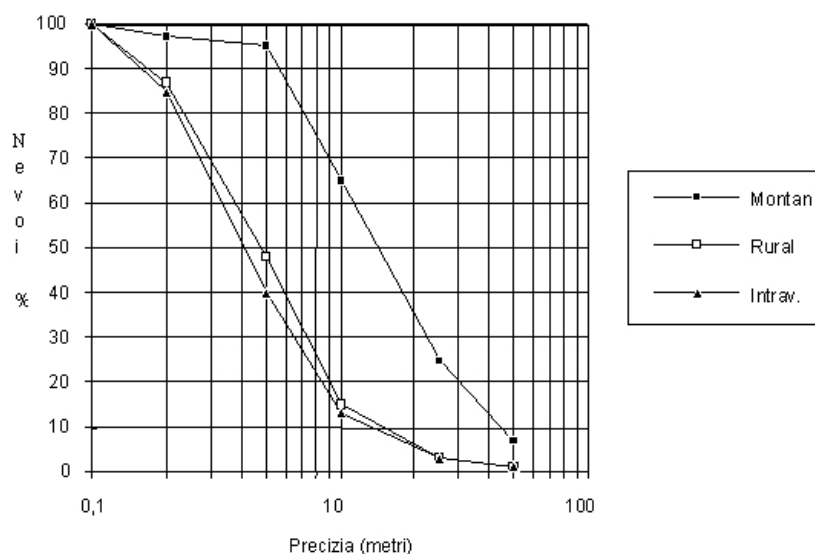


Fig. 1.27 Precizia planimetrică

1.5.1.2.3.6 Nivelul de detaliere

Nivelul de detaliere este indicat în funcție de scară. Acesta cuprinde reprezentarea geometrică folosită pentru vizualizarea unei entități, dimensiunile minime ale obiectului de la care se culeg datele, nivelul de generalizare utilizat. Utilizatorii au indicat un nivel de detaliere (scară) superior lui 1:20.000 pentru mediul urban și inferior lui 1:50.000 pentru mediul rural. Nu se justifică mereu răspunsurile.

1.5.1.2.3.7 Dimensiuni minime

Conceptul dimensiunilor minime este cunoscut foarte bine de către cartografi și garantează prezența obiectului ale cărui dimensiuni sunt superioare acestor dimensiuni minime. Când dimensiunile obiectului sunt mai mici, se poate reține obiectul dacă e de importanță mare, se poate generaliza sau se poate elimina. Din cei interogați, 75% preferă să conserve obiectele, chiar dacă sunt mai mici decât cele minime admise indicate de instrucțiunile de cartografiere. De regulă se ține seama de dimensiunile minime indicate în instrucțiunile pentru întocmirea hărților la scările 1:10.000, 1:25.000, 1:50.000 și 1:100.000.

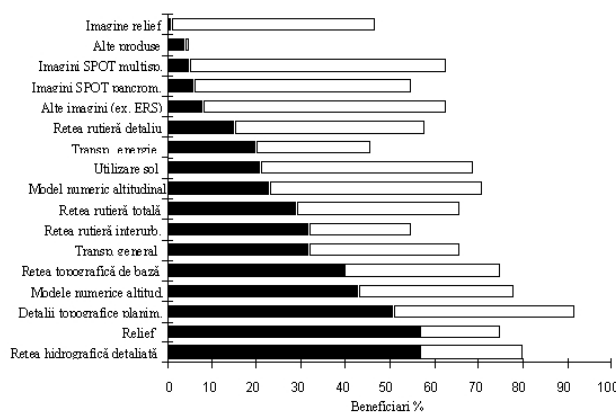


Fig. 1.28 Opțiunea pentru produsele propuse

1.5.1.2.3.8 Date auxiliare

Datele auxiliare descriu seturile de date și precizia acestora (metadate).

Sunt solicitate metadate complete privind calitatea, validarea datelor, precizia datelor și proveniența acestora. Cele mai multe dorințe au fost legate de precizia datelor, indicarea scării sursei și sursele de date. Datele auxiliare sunt de preferat împreună cu fiecare obiect de date (principiul încapsulării din structura pe obiecte).

1.5.2. Concluzii

S-a cerut celor interogați să identifice activitățile asupra cărora să-și îndrepte atenția (care să fie prioritare), înainte de a răspunde cerințelor lor. Rezultatele sunt prezentate în figura 1.31. Rezultatele arată că eforturile de realizare a SIG trebuie îndreptate spre acceptarea unui conținut care să răspundă cerințelor utilizatorilor și pentru asigurarea unei precizii corespunzătoare. Utilizatorii doresc date fiabile și cu un cost mic. Este necesară găsirea unor soluții fiabile și precise și în acest caz fotogrammetria și teledetecția oferă noi posibilități de culegere a datelor. Noile surse, cele digitale, pot fi folosite cu succes în transferul datelor. Unii utilizatori solicită din aceste surse date tematice referitoare la diverse domenii de activitate.

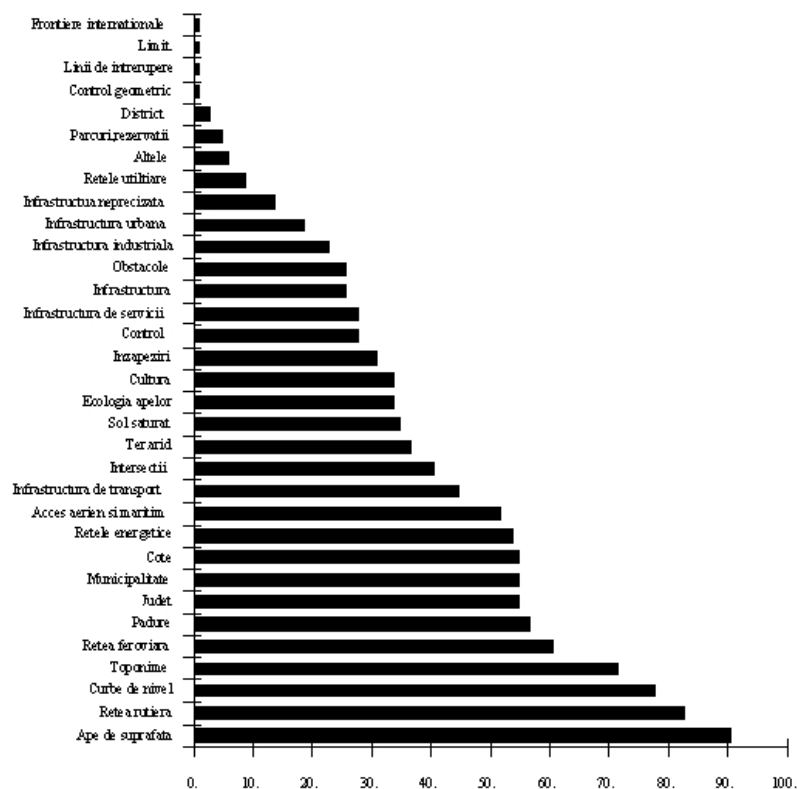


Fig. 1.29 Entități esențiale (% din utilizatori)

Metodologia de analiză a nevoilor utilizatorilor poate și trebuie aplicată la solicitarea oricărui utilizator, având în vedere costul realizării sistemului. Trebuie avută în vedere în special culegerea datelor, care are costul cel mai mare. Cele mai multe date trebuie transferate din fișierele și bazele de date existente în organizația deținătoare sau prin transfer de la alte organizații și sisteme. Cei mai mulți utilizatori vor să procure datele de la organizații topogeodezice de nivel național.

1.6 Concluzii

Sistemele informaționale geografice trebuie să se dezvolte în cadrul larg al dezvoltării infrastructurii informaționale, fiind, după unii autori, componentă a acesteia, în cadrul *“economiei informațiilor și a cunoașterii”* SIG cuprinde, în accepțiune largită, fazele de la specificarea datelor de intrare până la deciziile de control asupra proceselor naturale,

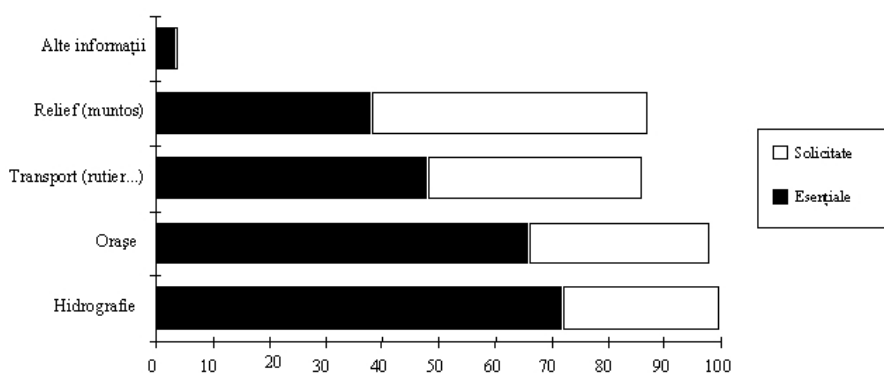


Fig. 1.30 Toponime solicitate (%)

economice sau sociale. Elementele unui SIG sunt grupate în *hardware, software, sursele și colecțiile de date și informații și produsele ce le conțin, tehnologii și personal*.

În conceperea, proiectarea, dezvoltarea, implementarea și întreținerea unui SIG se

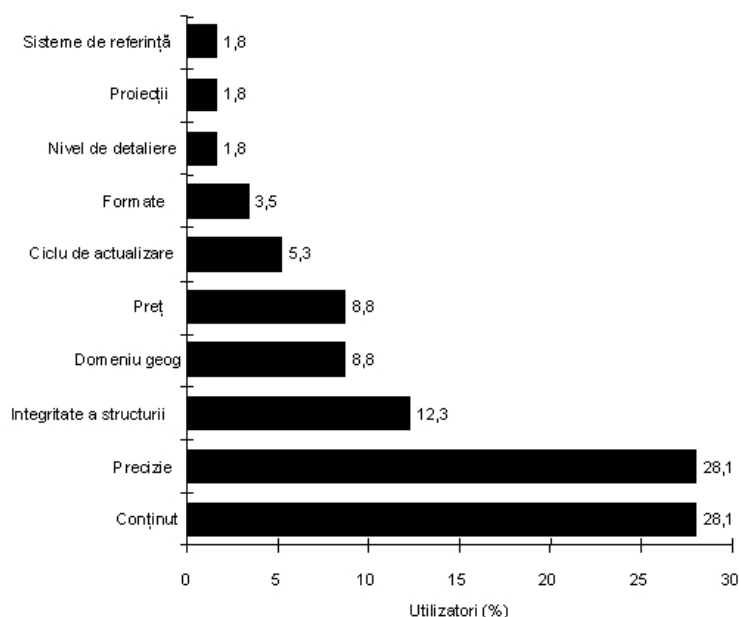


Fig. 1.31 Caracteristici prioritare indicate de cei interogați (%)

disting următoarele *faze generale*: specificarea datelor (definirea intrărilor); culegerea, transmiterea, memorarea, prelucrarea, structurarea, stocarea și regăsirea datelor și informațiilor; folosirea datelor și informațiilor în activitățile decizionale și de acțiune asupra mediului înconjurător. Avantajele folosirii SIG sunt numeroase, cel mai important fiind cel al folosirii acestuia ca suport pentru deciziile privind gestionarea și acțiunea asupra mediului înconjurător. Exemplele date de sisteme sunt limitate de scopul lucrării. În anexa A sunt date funcțiile câtorva pachete de programe utilizate în SIG, foarte cunoscute de specialiști, care au fost analizate mai pe larg de autor. În ceea ce privește analiza geografică, au fost analizate câteva metode de analiză importante atât pentru utilizatorii geografi, dar și pentru beneficiarii finali ai datelor geografice (clasificarea spațială, detectarea eşantioanelor spațiale, analiza spațială fuzzy, detectarea și modelarea relațiilor spațiale, modelarea prin regularizare, recunoașterea spațială a formelor, adăugarea de valori noilor attribute prin geoprocesare etc.). Analiza geografică se realizează cu proceduri software, utilizându-se atât programele SIG, cât și alte pachete de programe, de exemplu cele de analiză statistică. Au fost descrise apoi funcționalitatea unor pachete SIG cunoscute (ARC/INFO, IMAGE și Autodesk World) și integrarea SIG și a pachetelor (sistemelor) de programe de analiză spațială.

Operații precum clasificarea, interpolarea, determinarea drumului optim etc. trebuie analizate cu atenție și fundamentate științific în cadrul unui proiect de SIG. Cele de mai sus trebuie combinate cu operațiile de cartografiere, deoarece formele finale de prezentare a rezultatelor SIG sunt tot harta, spațioharta, fotoharta sau cartograma.

Structurile de date constituie o altă problemă importantă a SIG. Pentru aplicații restrânse, cu programe simple și cu tipuri limitate de date se folosesc masivele, specifice programelor în limbaje avansate, structuri omogene și contigue, unidimensionale, bidimensionale sau multidimensionale. Pentru gestionarea unor primitive grafice de tip punctual, liniar sau areal se pot folosi structuri de date necontigue, de tip listă, stivă sau coadă.

Datele vectoriale, de tip grilă și de tip raster pot fi organizate în structuri arborescente, atât în memoria internă, cât și în memoria externă. Bazele de date relaționale folosesc toate operațiile structurilor de mai sus.

Structurile de date topologice permit realizarea unor operațiuni spațiale care se folosesc în analiza SIG, ca de exemplu generarea zonelor tampon, suprapunerea poligonală și combinarea elementelor grafice. Aceste structuri sunt cele mai utilizate în prezent de către pachetele de programe SIG (Arc/Info, MGE etc.).

Concepția SDOO crează noi posibilități de dezvoltare și aplicare a SIG, implicând și alegerea unui LPOO, pentru implementarea acestei concepții. În alegerea acestei concepții trebuie să se țină seama mai ales de folosirea unor identificatori unici ai obiectelor.

Alegerea unei anumite structuri a datelor geografice se face după mai multe criterii (volumul datelor, tipurile datelor, complexitatea aplicațiilor, tipurile de algoritmi, utilizarea și a datelor, programelor și aplicațiilor deja existente, timpului de acces etc.). Într-o structură topologică, datele referitoare la structura de graf reprezintă aproape jumătate din totalitatea datelor și, bineînțeles, cantitatea totală de date crește proporțional cu mărirea domeniului geografic spațial al datelor (aria zonei) și cu mărirea rezoluției spațiale a datelor vectoriale sau raster. Referitor la gradul de integrare a diferitelor nivele tematice, complexitatea structurii crește cu numărul de nivele tematice.

La realizările de software, de tehnologii și aplicații SIG urmează a se adăuga noi module. Un rol important în structurarea, organizarea și culegerea datelor tematice îl au datele de poziție, tehnicile de poziționare, metodele de măsurare în teren sau pe fotograme, hărți și înregistrări digitale și metodele de măsurare și de prelucrare a datelor de poziție.

Ca atare, o atenție deosebită trebuie acordată:

- cerințelor proiectelor și produselor finale;
- sistemelor de coordonate și sistemelor de poziționare globală;
- utilizării metodelor fotogrammetrice pentru asigurarea unui timp scurt și a unui randament ridicat de culegere, validare și prelucrare a datelor;
- tehnicilor de conversie a geoimaginilor analogice;
- tehnicilor de asamblare a bazelor de date, având în vedere relaționarea în primul rând a datelor de poziție și apoi a datelor tematice etc;
- utilizării site-urilor de date geografice din rețeaua Internet;
- diversificării produselor finale ale SIG.

Pachetele de programe SIG se dezvoltă permanent. Apar noi pachete, iar altele deja nu se mai folosesc. Pe piața pachetelor de programe SIG există deja sute de pachete. Fiecare pachet poate fi caracterizat prin atribute (caracteristici) funcționale. Între pachetele de programe se pot găsi similarități, luând în considerație mai mulți factori. Similaritatea pachetelor de programe se poate exprima printr-o matrice a coeficienților de similaritate, respectiv cu distanțele multidimensionale (normele) dintre pachetele comparate. Conform cerințelor unui anumit utilizator, metodologia descrisă mai sus permite alegerea unei grupe de programe similare ce corespund cerințelor stabilite sau care pot fi completate ușor cu noi proceduri.

Matricea completă a coeficienților de similaritate, de fapt a distanțelor sau mai corect a normelor, poate fi folosită, de exemplu, pentru determinarea pachetelor similare (apropiate ca funcționalitate) unui pachet dat, respectiv pentru determinarea pachetelor de programe alternative, care pot eventual să înlocuiască pachetul dat, dar pot fi procurate cu un preț mai mic.

Clasificarea dendritică a pachetelor de programe dă posibilitatea atât utilizatorilor, cât și altor specialiști (cadre didactice, cercetători etc.) să propună în cadrul infrastructurii pachete de programe care să satisfacă cerințele impuse.

Cele două metodologii, de alegere a pachetelor de programe și de cuantificare a necesităților utilizatorilor pot fi combinate, cu observația că în lucrare necesitățile s-au limitat mai mult la date și informații și la caracteristicile acestora.

Rezultatele prezentate în figura 1.28 arată că eforturile de realizare a SIG trebuie îndreptate spre acceptarea unui conținut care să răspundă cerințelor utilizatorilor și pentru asigurarea unei precizii corespunzătoare.

CAPITOLUL II DEZVOLTĂRI ÎN FOTOGRAMETRIE, TELEDETECȚIE ȘI CARTOGRAFIE

2.1 Dezvoltarea concepției de geoimagini

2.1.1 Geoimagini și geoiconică

O geoimage (georeprezentare) este orice model spațio-temporal generalizat al obiectelor și al proceselor terestre care are o scară și este reprezentat în formă grafică (Nițu, C., 1992). Prin definiția de mai sus sunt subliniate toate proprietățile comune oricăror geoimagini – scara, generalizarea și prezența elementelor grafice (semne, paternuri sau forme). Se disting în mod curent trei clase de geoimagini: (1) plane sau 2D (și 2,5D) – hărți, hărți electronice, imagini de teledetecție, imagini TV, fotograme etc.; (2) imagini volumetrice sau 3D – stereograme, stereomodele, anagliffe, diagrame (blocdiagrame), holograme etc.; (3) imagini dinamice 3D sau 4D – animații, filme, atlase mobile etc. În fiecare din aceste clase există produse foarte diferite, cu conținut diferit, cu forme de reprezentare diverse, dar cu unele caracteristici comune. Unele produse complexe rezultă din combinarea produselor primare. Exemple de produse complexe sunt fotohărțile, ortofotohărțile, iconohărțile etc.

Folosirea diferitelor geoimagini în mediul SIG, ca surse și ca produse finale, necesită studierea avantajelor și proceselor de realizare rapidă, precum și a posibilității folosirii combinate și a tehnicilor de obținere a informațiilor calitative și cantitative.

Este favorizată apariția unei noi științe, geoiconica, drept o disciplină sintetică ce reprezintă teoria imaginilor și metodelor de analiză, transformare, percepere și aplicare a lor în scopuri științifice și practice. Geoiconica este privită ca o disciplină care leagă cartografia, fotogrammetria, teledetecția și grafica cu calculatorul (fig. 2.1). Disciplina geoiconică se va structura pe trei ramuri de bază: (1) teoria geoimaginilor; (2) crearea, proiectarea și recunoașterea geoimaginilor; (3) interpretarea geoimaginilor (geoiconică aplicată).

Cu toate că în prezent geoiconica pare să fie un supersistem, totuși dialectica dezvoltării sale și suportul puternic al disciplinelor cartografice fac ca în viitor geoiconica să fie un sistem nou, integrat, al cartografiei, fotogrammetriei, teledetecției și SIG.

Diagrama din figura 2.2 arată concepția geoimaginilor, tranziția acestora de la o categorie la alta, dar nu poate oferi o imagine completă, exhaustivă, a tuturor tipurilor de geoimagini, caracteristici și transformări dintr-o formă în alta. Petalele din figură pot fi completate cu noi tipuri de geoimagini. Desenul nu este decât un model al sistemului de geoimagini. La transformarea hărții în imagini, de exemplu, caracterul simbolic este diminuat, pe când proprietatea de reproducere se accentuează. Cu săgeți sunt arătate sensurile de transformare dintr-un tip în altul, în exteriorul figurii. Transformările posibile și caracteristicile sunt scrise tot în exterior, în partea dreaptă fiind explicate prescurtările folosite. Spre bloc-diagramă proprietatea de reproducere descrește, crescând în schimb dimensionalitatea. Sectorul “hărți-filme” este caracterizat de o creștere a proprietății de dinamism a reprezentării geoiconice (cartografice), prin hărțile și animațiile electronice etc.

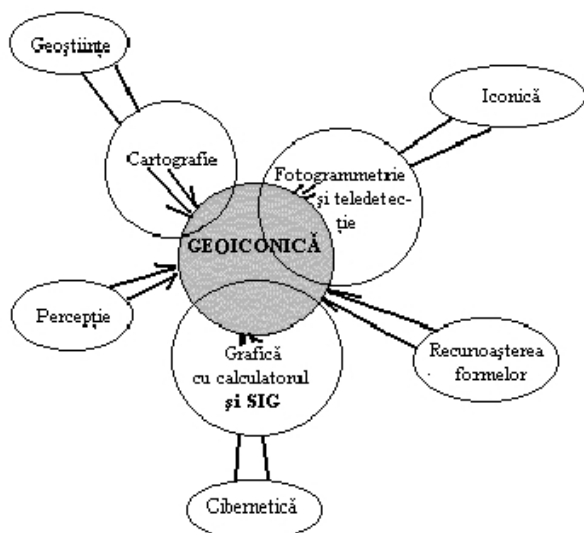


Fig. 2.1 Geoiconica și SIG în sistemul disciplinelor științifice

2.1.2 Sistemul geoimagineilor

Toate geoimagineile există în mediul grafic, înțeles ca orice sistem de vizualizare și modelare a unui sistem natural sau social-economic, sugerat a fi perceput de către un periferic inteligent. Mediul grafic este caracterizat de următoarele proprietăți: tetradimensionalitatea, care permite reproducerea situațiilor în timp și în spațiu; folosirea variabilelor grafice geometrice, optice și temporale; abilitatea de a reflecta obiecte reale și abstracte; interactivitatea sau lucrul supervizat, care asigură cooperarea optimă între om și mijloacele de vizualizare. S-au

remarcat următoarele tipuri de medii grafice în care există sisteme de geoimagini: *mediu grafic fix (staționar)*, care cuprinde hărțile tradiționale, clasice, fotogramele și alte geoimagini pe suport material tare; *mediu grafic controlat de program*, un sistem de vizualizare pe baza programului și mijloacelor tehnice pentru grafica asistată de calculator (grafica computerizată); *mediu grafic mental (imaginar)*, în care au fost formulate hărți și forme mentale și cognitive.

2.1.3 Hipergeoimagini

Partea centrală a figurii este hipergeoimagea, modelul complex al geoimaginii. În acest fel este generalizată noțiunea comună de geoimage. Majoritatea produselor SIG pot fi considerate ca hipergeoimagini (fotohărțile în fals-color, imaginile dinamice etc.). Se poate chiar vorbi de vizualizarea monoiconică, multiiconică sau hipericonică, ceea ce nu se putea decât imagina pentru spațiile 4D, 5D, ..., nD. Obiectele sunt reprezentate în acest caz prin mijloace care combină diferite variabile grafice și proprietățile diverselor geoimagini.

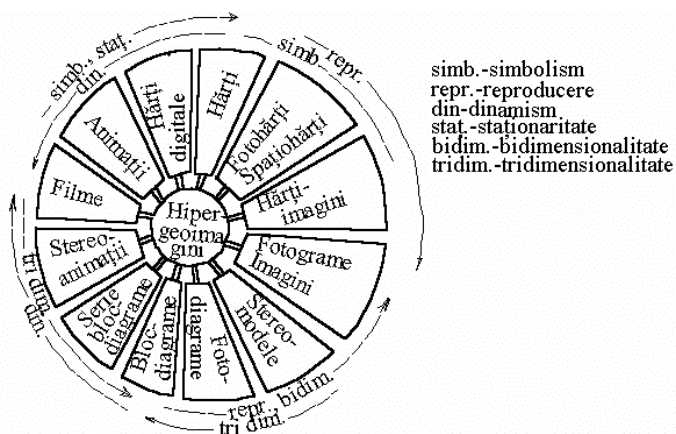


Fig. 2.2 Sistemul geoimagineilor

2.1.4. Geoiconometria

Privind geoiconica drept o disciplină a geoimagineilor, pare rezonabil să se diferențieze geoiconometria, ca fiind cea care studiază teoria generală, metodele și procedeele de măsurare corespunzătoare geoimagineilor. Se pot distinge trei ramuri de discipline metrice: *geoplanimetria* (măsurarea imaginilor 2D); *geostereometria*, pentru imaginile 2D și 2,5D; *geocronometria*, pentru măsurarea imaginilor dinamice 3D și 4D. Pentru fiecare din cele trei ramuri există deosebiri și în ceea ce privește structurile bazelor de date și procedurile implementate în cadrul SIG. Acestea trebuie avute în vedere atât la definirea și utilizarea

geoimaginea ca surse de culegere a datelor, cât și la definirea și realizarea acestora ca produse finale ale SIG. În literatura nordamericană, în special în cea canadiană, se folosește noțiunea de geomatică, ce se definește ca o disciplină integratoare a geodeziei, topografiei, fotogrammetriei, teledetecției etc., după unii autori și a SIG (Taylor, 1992).

2.2 Dezvoltări și perspective în fotogrammetrie și teledetecție

Dezvoltarea actuală a fotogrammetriei și teledetecției este caracterizată prin transformări de substanță, atât în ceea ce privește procedurile de culegere și prelucrare a datelor și informațiilor, cât și în ceea ce privește definirea și realizarea produselor finale, deci analizând geoimaginile fotogrammetrice și de teledetecție atât ca surse, cât și ca produse. Cele de mai sus au fost reliefate mai ales la congresele internaționale ale ISPRS, din 1996 (Viena) și din 2000 (Amsterdam).

2.2.1 Dezvoltarea sistemelor de obținere a geoimaginea sursă

Folosirea avionului fotogrammetric continuă cu succes și în prezent. O dată cu lansarea primilor sateliți artificiali ai pământului și a navetelor spațiale, s-a deschis o nouă eră în dezvoltarea geostiințelor, în special în fotogrammetrie, teledetecție, cartografie și SIG.

Sistemele satelitare s-au diferențiat de la început în: sisteme de recunoaștere; sisteme meteorologice; sisteme pentru studiul resurselor terestre; sisteme de sateliți comerciali.

2.2.1.1 Avioane fotogrammetrice

Avioanele fotogrammetrice sunt performante, pot zbura de la înălțimi de sute de metri până la înălțimi de 20-30 de kilometri. La înălțimile mici se folosesc cu succes și elicopterele specializate. Pe avioane sunt montate sisteme complexe de camere fotogrammetrice, cu obiective practic fără distorsiuni, cu rezoluții superioare, de până la 160-200 linii/mm. La majoritatea camerelor se înregistrează și imaginea unei grile, care permite ulterior corectarea precisă a deformării filmului în tot câmpul fotogramei (Răducanu și Spataru, 1992). Camerele moderne au până la 10 microprocesoare. Există de asemenea subsisteme care înregistrează coordonatele centrului de perspectivă (receptoare GPS), înălțimea de zbor deasupra solului, parametrii atmosferei etc. Pentru scopuri de recunoaștere au apărut noi versiuni ale avioanelor fără pilot. În afară de înregistrarea pe film, au apărut și camerele digitale, produsul obținut fiind geoimagea digitală (numerică). Pe unele avioane pot fi montate și alți captori sensori de teledetecție. Principiul funcționării unui captor sensor radar este arătat în figura 2.3.

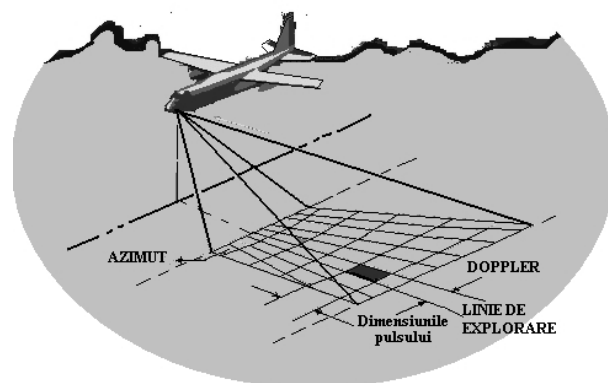


Fig. 2.3 Principiul înregistrărilor radar

2.2.1.2 Sateliții de recunoaștere

Dintre programele cunoscute se rețin:

- programul CORONA (S.U.A), cu camere panoramice (KH-1 în 1960, KH-2 în 1961, KH-5 sau ARGON în 1962), imaginile fiind în prezent comercializate fără restricții;
- programul ZENIT (fosta U.R.S.S.), cu camere fotogrammetrice cu distanța focală de 1 m, format 30x30 cm, cu rezoluția de 2m a imaginii de 13x13 km, comercializate fiind imaginile chiar de către firme din țările occidentale;
- programul american bazat pe sateliții KH-11 (lansat de pe naveta Columbia în 1986) și AFP-731 sau KH-12 (lansat de pe Atlantis), cu misiuni de supraveghere electronică, observarea și cercetarea unor zone ale globului;
- programul cu sateliți din seria COSMOS (fosta U.R.S.S., acum de Rusia), sateliți cu orbite circulare sau eliptice (170 km la perigeu și 400 km la apogeu), cu camere K200 sau KFA1000;
- programele cu navele SOYUZ și SALIUT, cu camere MKF6 și K140;
- programul HELIOS (lansat de Franța în 1990), cu imagini cu bandă la sol de 10 km, cu rezoluție de 3 m;
- programul inițiat de China în 1985, bazat pe camere panoramice cu rezoluția de 10 m;
- programul inițiat de Rusia în 1990, bazat pe utilizarea camerelor KFA3000 cu rezoluție de 0,7 – 1,5 m etc.

Sateliții acestei grupe se mai împart de către unii autori în subgrupele “de identificare” (cu rezoluție decimetrică) și “de cercetare” (cu rezoluție decametrică și metrică).

2.2.1.3 Sateliții pentru studiul resurselor terestre

În anul 1972, NASA a inițiat primul program de achiziționare a geoimaginilor (datelor) satelitare de teledetecție. Sateliții LANDSAT sunt de mai multe tipuri. Primii doi au fost denumiți prescurtat ERTS (altitudine 900 km, cu scanner optico-mecanic MSS, trei camere RBV). Începând din 1972 au fost lansați mai mulți sateliți. Satelitul LANDSAT 6 are un scanner pancromatic cu rezoluția de 15 m, un scanner îmbunătățit TM (Thematic Mapper), cu 7 benzi și rezoluția de 30 m, un scanner similar celui al sateliților NOAA AVHRR, cu rezoluții de 1,13 km și 4,5 km și cu 8 benzi spectrale.

La 15 aprilie 1999 a fost lansat satelitul Landsat 7, fiind funcțional din iulie, același an. După un an de funcționare, Landsat 7 a înregistrat peste 90.000 de imagini, ce acoperă de mai multe ori cea mai mare suprafață a pământului. La interval de 16 zile este înregistrată aceeași zonă geografică. Landsat 7 culege și încarcă zilnic 250 de imagini (scene) ce sunt arhivate la Centrul de date EROS și câte 200 de scene suplimentare unice la alte 12 stații de recepție dispuse pe glob.

Datele LANDSAT MSS sunt culese pe fâșii cu lățimea de 180-185 km, de la înălțimea de 705 km. Rezoluția spațială primară a datelor MSS este de 57mX79m (IFOV 79mX79m). O imagine conține 2.340 rânduri și 3.240 coloane. Rezoluția radiometrică este de 7 biți, dar înregistrarea se face pe 8 biți. Înregistrarea se face în 4 benzi spectrale, benzile 1 și 2 fiind în domeniul vizibil, iar benzile 3 și 4 în infraroșu apropiat (verde 0,50-0,60μ, roșu 0,60-0,70μ, infraroșu 0,70-0,80μ și 0,80-1,10μ). Scannerul TM înregistrează radiațiile electromagnetice în vizibil, infraroșu apropiat, infraroșu mediu și infraroșu termic. Dimensiunile scenei și rezoluția spațială sunt aceleași ca mai sus. Pentru banda 6 rezoluția este 120mX120m. Benzile 1, 2 și 3 sunt în domeniul vizibil (albastru 0,45-0,52μ, verde 0,52-0,60μ și roșu 0,63-0,69μ), benzile 4, 5 și 7 sunt în infraroșu apropiat (0,76-0,90μ și 1,55-1,74μ), infraroșu mediu (2,00-0,90μ) și infraroșu termic (10,40-12,50μ). Pot fi făcute combinații ale datelor acestor benzi

pentru diferite scopuri. Combinarea benzilor 3, 2 și 1 (RGB) crează imaginea în culorile reale, cea a benzilor 5, 4 și 3 crează o imagine falscolor. Datele memorate pe suport magnetic pot fi citite cu proceduri dedicate (de exemplu cu procedurile sau modulele AUTOLOAD și LODATA în programele ERDAS). În figura 2.4 este arătat principiul obținerii înregistrărilor cu scannerul multispectral.

Programul spațial european începe cu lansarea sateliților SPOT în cadrul programului francez de teledetecție (SPOT 1 în 1986, SPOT 2 în 1990, SPOT 3 în 1993, SPOT 4 în 1997 și SPOT 5 în 1999 etc.). Sunt lansați de către CNES (Comitetul Național de Studii Spațiale) și operează în domeniile multispectral și pancromatic, cu rezoluțiile spațiale de 20m, respectiv

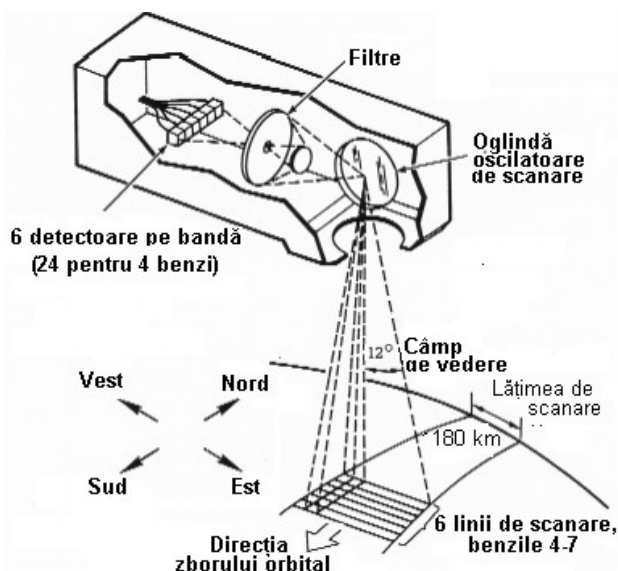


Figura nr. 2.4 Obținerea înregistrărilor multispectrale LANDSAT

10m. Satelitul SPOT poate baleia aceeași zonă la un interval de 26 de zile, realizând imagini nadirale, dar și înclinate (în acest caz se repetă baleierea la 3 zile), cu lățimea de 60 km, respectiv 80 km, de la înălțimea de 832 km.

Datele pancromatice sunt în domeniul $0,51\text{-}0,73\mu$, iar cele multispectrale sunt în 3 benzi – verde $0,50\text{-}0,59\mu$, roșu $0,61\text{-}0,68\mu$ și infraroșu apropiat $0,79\text{-}0,89\mu$, ambele tipuri cu rezoluția radiometrică de 8 biți (256 nivele). De observat că pentru datele pancromatice din înregistrări succesive acoperirea permite obținerea geoimaginilor stereoscopice.

Administrația Națională a Oceanelor și Atmosferei din S.U.A (NOAA) gestionează exploatarea unor sateliți cu orbite polare, proiectați inițial pentru aplicații meteorologice, dar utilizate ulterior în mai multe scopuri. Primul satelit a fost TIROS N, lansat în 1978, iar ulterior s-au mai lansat încă 5, doar ultimii 2 fiind încă activi. Datele AVHRR acoperă uneori o țară întreagă. Lățimea benzii imaginii este de 2.850 km pentru datele de înaltă rezoluție ($1,1\text{ km} \times 1,1\text{ km}$ – geoimagini LAC) și de 4.000 km pentru cele de joasă rezoluție ($4\text{ km} \times 4\text{ km}$ – geoimagini GAC). Datele sunt culese la un interval de timp de 14,5 zile pentru aceeași zonă, în 4 sau 5 benzi spectrale (banda 1 în vizibil – verde $0,58\text{-}0,68\mu$, banda 2 în infraroșu apropiat $0,725\text{-}1,10\mu$, banda 3 în infraroșu $0,55\text{-}0,93\mu$, banda 4 și banda 5 în infraroșu termic $10,50\text{-}11,50\mu$ și $11,50\text{-}12,50\mu$). Datele au o rezoluție radiometrică de 10 biți (1.024 de nivele). Primul satelit ERS a fost lansat de ESA în 1991. Are la bord un radar cu deschidere sintetică (SAR) ce operează în mod imagine ($5\text{ km} \times 5\text{ km}$) și subsistemele WS (pentru măsurarea vitezei și direcției vântului), RA (măsurarea altitudinii), ATRS (măsoară temperatura și

umiditatea atmosferei), PRARE și LRR (determină poziția satelitului în spațiul terestru, ultimul folosind stații terestre) etc.

În ianuarie 2000 sosește în Florida echipajul de șase astronauți al navei Endeavour. Nava spațială Endeavour a aterizat la centrul spațial Kennedy pe 22 februarie 2000, după un zbor de 11 zile, cu o misiune de cartografiere "tridimensională" (stereoscopică) a întregului glob, realizată cu ajutorul sensorilor radar. A fost primul zbor spațial cu oameni la bord care a realizat astfel de determinări. Datele înregistrate sunt rezultatul a peste 222 de ore de înregistrare și au un volum de circa 20.000 de discuri (CD). În figura 2.5 este dată dispunerea celor doi senzori pentru realizarea înregistrărilor stereoscopice.

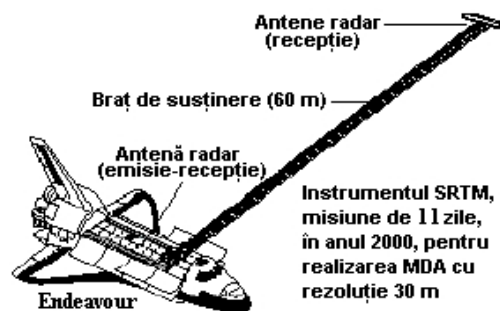


Fig. 2.5 Principiul de înregistrare pe nava Endeavour

Câteva caracteristici pentru programele de mai sus și alte programe cunoscute sunt date în tabelul 2.1.

Tabelul 2.1 Sisteme satelitare operaționale

Țara	Progra- mul	Senzorul	Nr. de benzi Spec- trale	Banda la sol baleiată	Rezolu- ția spațială	Anul de lansare	Posibi- lități stereo- scopice
S.U.A.	NOAA 12, 14 Landsat 5	AVHRR	5	2400km	1,1km 28m	1991	Nu
		TM	7	185km	V,IR 120m IRt	1985	Nu
Franța	SPOT-4	HRV	1pan,3x s	60km	10m,20m	1997	Da ¹⁾
ESA	ERS- 1,2,3	SAR	2(C,W)	100km	25m	1991- 1998	Da ²⁾
Japonia	JERS-1	OPS SAR	7 banda 1	75km	18m	1992	Da ³⁾
India	JRS-1A	LISS 1	4	148km	73m,24m	1988	Nu Da ¹⁾
	JRS-1B	LISS 2	4	148km	36m	1991	
	JRS-1C	LISS 3 WIFS	4	774km	5,8m 188m	1996	
Canada	Radarsat	SAR	1(C)	50- 500km	10-50m	1996	Da ²⁾
R.F.G.	MOMS D2	Stereo MOMS	7	37km 78km	4,5m pan 13.5m	1996	Da
Rusia	RESURS 1-3	KFA1000 MK4	2 MS		5m 7,5m	1989	
	MIR Okean	KATE200 KWR100 MSU-SK	Pan MS		20m 2m 15m	1994	

¹⁾cu orbita vecină; ²⁾interferometrie radar; ³⁾față-spate cu bază mică

2.2.1.4 Sateliții comerciali

După anul 1995 a început pregătirea programelor spațiale ale unor organisme neguvernamentale, respectiv ale unor companii sau societăți comerciale private, pe lângă continuarea unor programe guvernamentale. În continuare sunt date câteva caracteristici ale acestor sateliți.

Satelitul *Early Bird* (gestionat de EARTHWATCH) are un sensor bidimensional DCS pentru obținerea geoimaginilor pancromatice și multispectrale. Este construit de mai multe companii, a fost lansat în 1996. Geoimaginile au rezoluțiile spațiale de 3m (pancromatic) și 15m (multispectral). Rezoluția temporală este de 1,5-3 zile. Rezoluția spațială este îmbunătățită pentru satelitul *Quick Bird* (1m și 4m) lansat de aceeași companie tot în 1996. În anul 1997 a fost lansat *OrbView-1* (ORBITAL SCIENCES), cu o rezoluție temporală de 1,8 zile la ecuator și de 0,9 zile la latitudinea de $\pm 60^\circ$, care preia geoimagini cu rezoluția spațială de 1 m în domeniul pancromatic și 4 m în domeniul multispectral. Geoimaginile cu aceste caracteristici pot fi folosite cu succes la realizarea SIG (SIT). În anul 1997 a fost lansat *Space Imaging*, cu care se obțin geoimagini cu rezoluție de 0,82 m (4 m), la 1-3 zile. Cu satelitul *GDE* ce se s-a lansat în anul 2000 se obțin geoimagini pancromatice cu rezoluția de 0,8 m tot la 1-3 zile. În concluzie, noii sensori asigură o mai bună acoperire la sol, o bună rezoluție temporală, cu acoperire corespunzătoare exploatarei stereoscopice, răspunzând mai bine nevoilor social-economice și științifice, inclusiv pentru răspunsul SIG la cererea de date în timp cvasireal. Câteva date sumare asupra acestor sateliți sunt date în tabelul 2.2.

2.2.2 Prelucrarea geoimaginilor de fotogrammetrie și teledetecție

2.2.2.1 Sisteme fotogrammetrice digitale

La sfârșitul anilor '80 și în anii '90 a avut loc trecerea de la fotogrammetria analitică la fotogrammetria digitală. În teledetecție, datorită obținerii directe a datelor digitale, această abordare a avut loc de la început. Au apărut stațiile digitale (numerice) cu funcții complexe, diferențiate pentru scopurile de utilizare pentru ridicări cartofotogrammetrice și cu particularități pentru realizarea și utilizarea SIG (SIT).

Principalele componente ale unei stații fotogrammetrice digitale (numerice) sunt calculatorul electronic interfațat cu digitizorul raster (scanerul), cu sistemele de observare, de vizualizare și de măsurare, cu perifericele de reprezentare etc.

Subsistemul de digitizare realizează digitizarea raster, partea principală fiind scanerul. Caractereisticile subsistemului sunt rezoluțiile spațială, spectrală și radiometrică. Rezultatele digitizării raster sunt datele tesorale (geoimaginile numerice), în aceleași formate ca și datele obținute de la senzorii de teledetecție sau de la camerele digitale. La scanare (baleiere) se pot alege nivelul expunerii (iluminării), precizia de focusare (la scanerul cu microcamere TV), dimensiunile de scanare, culoarea sau culorile active, rezoluțiile spațiale și spectrale etc.

Subsistemele de observare sunt compuse din ansamblul ochelari speciali și ecran grafic cu cristale lichide, pe ecran apărând cele două imagini care se pot separa prin vizualizare. **Perifericele de memorare** trebuie să asigure memorarea atât a geoimaginilor rezultate din scanare, cât și a celor intermediare și finale, a programelor și a altor fișiere de date. Sunt obișnuite acum suporturile magnetice și magneto-optice de zeci și sute de gigaocteți. Calculatorul electronic este de tip stație grafică, este conectat la rețeaua Intranet, are viteza de lucru de ordinul sutelor de MIPS sau MFLOPS. Datorită volumelor mari de date se folosesc tot mai mult procesoarele paralele. Nu insistăm aici asupra tuturor componentelor.

Subsistemul software al sistemului poate avea componente diferite în funcție de scopul prelucrării. Există sistemul de operare, procedurile de prelucrare și interpretare a imaginilor, procedurile de obținere a produselor finale și unele proceduri specifice gestionării bazelor de date (în cel mai fericit caz un SGBD specific modului de structurare a datelor). În tabelul 2.3 sunt date caracteristicile unor sisteme la nivelul sfârșitului mileniului al doilea.

Un exemplu sugestiv este TRASTER 10 versiunea a doua, cu performanțe îmbunătățite, realizat de Matra Cap Systems. Sistemul folosește hardware standard pentru grafică (stație grafică Sun Sparc) cu software comun pieței libere (sistemele de operare UNIX, WINDOWS și MOTIF), gestiunea datelor făcându-se cu module ale SGBD Oracle, (datele sunt structurate relațional). Sistemul este destinat pentru: a) realizarea MDA folosind corelarea automată; b) generarea automată a curbelor de nivel folosind MDA; c) realizarea ortofotogramelor și a ortoimaginilor, prin concatenarea primelor; d) concatenarea ortoimaginilor și MDA (suprapunerea imaginii peste suprafața generată cu MDA); e) transferul datelor fotogrammetrice către sisteme cartografice automate, către sisteme informaționale spațiale (inclusiv SIG) sau nespațiale etc.

Programele de calcul, ușor de folosit, prietenoase și ergonomice, permit realizarea mai multor funcții, legate de : a) vizualizarea stereoscopică (panoramarea continuă, efect de lupă interpolat, vizualizarea subpixel); b) exploatarea aerofotogramelor (generarea și gestionarea fișierelor auxiliare, realizarea orientărilor interioară, relativă și absolută cu corelarea automată a imaginilor, culegerea datelor fotogrammetrice); c) fotogrammetrie satelitară cu imagini SPOT (generarea și gestionarea fișierelor auxiliare, orientarea modelului și legarea modelelor între ele prin corelarea automată a imaginilor, culegerea datelor); d) aerotriangulație (măsurarea coordonatelor pe model, compensarea modelelor independente, actualizarea automată a modelelor) etc.

O configurație de bază realizată pentru o instituție din țară este a) stația SPARC 20 (32 MB RAM, disc fix de 1GB, două unități de memorare a câte 2,6 GB fiecare, unitate CD-ROM, unitate de disc floppy, display grafic color de 20'', tastatură și mouse); b) periferice fotogrammetrice (ecran stereo Tektronix de 19'', dispozitive de comandă – locator trackball sau trackcylinder, volane cu mânere sau disc de picior, placă de accelerare stereografică, tastatură funcțională); c) unități de intrare (driver CCT, scanner VEXCEL VX 3000 PLUS, alte scanere); d) unități de ieșire (plotere vectoriale, cu cerneală, plotere electrostatice – CALCOMP, IRIS etc., sisteme de redactare BARCO, alte sisteme de reprezentare – fotoplotere vectoriale, plotere raster etc.).



Fig. 2.6 Exemplu de schemă de prelucrare
a înregistrărilor radar

Datele inițiale ale sistemului sunt fotogramele scanate (baleiate), imaginile satelitare (de exemplu SPOT) și imaginile preluate cu camere digitale.

Tabelul 2.2 Caracteristici ale sateliților comerciali

Satelitul	Senzorii	Rezoluția spațială	Rezoluția spectrală μm	Baleiaj la sol	Format imagine	Rezoluția temporală
EarlyBird	Pan MS	3m 15m	0,45-0,80 0,50-0,59 0,61-0,68 0,79-0,89	6km 30x30 km ²	36km ² 900km ²	1,5-3,5 zile
QuikBird	Pan MS	1m 4m	0,45-0,90 0,45-0,52 0,52-0,60 0,63-0,69 0,77-0,90	36km 36km	36x36 km ²	1,5-3,5 zile
OrbView-1	Pan MS	1 și 2 m 4m	0,45-0,90 0,45-0,52 0,52-0,60 0,63-0,69 0,77-0,90	4km 8km	8x8 km ²	3 zile
SPACE IMAGING	Pan MS	0,82m 4m	0,45-0,90 0,45-0,52 0,52-0,60 0,63-0,69 0,77-0,90	11km 11km	60x60 km ²	1-3 zile
GDE	Pan	0,8m	0,5-0,9	$\geq 15\text{km}$	70x70 km ²	1-3 zile

Este de remarcat că programele conțin și proceduri de prelucrare a imaginilor (filtre). În figura 2.6 este arătată schema de prelucrare a imaginilor radar, cu mari perspective în viitor.

Un periferic de importanță deosebită este scanerul fotogrammetric, ce asigură date de intrare complete și precise. Spre deosebire de alte scanere, acesta se caracterizează prin rezoluții spațiale, radiometrice și spectrale înalte. De exemplu, scanerul PS1 PhotoScan, realizat în cooperare de Carl Zeiss și Intergraph, asigură baleierea fotogramelor cu dimensiunile maxime de 26 cm X 26 cm, cu valoarea minimă a laturii de $7,5\mu$. Subsistemul are următoarele componente: modulul de scanare; senzorul liniar CCD de înaltă performanță; calculator Intergraph 6000 (Clipper RISC, 14 MIPS cu memorie de 32 MB și ecran grafic de minimum 19'', procesor grafic EDGE, sistem de operare CLIX – Intergraph UNIX, pachet software pentru controlul baleierii, afișarea pe ecran și memorare etc. La scanare, valoarea pixelului poate fi aleasă între $7,5$ și 120μ .

Alte tipuri de aparate dezvoltate în deceniile al optulea și al nouălea sunt stereorestitutoarele analitice (de tipul analytical plotter), asupra cărora nu se insistă aici. Se folosesc de asemenea cu succes aparatele fotogrammetrice clasice interfațate cu calculatoare electronice.

Tabelul 2. 3. Caracteristicile unor sisteme fotogrammetrice digitale

Sistemul	Firma	Calcula- torul	Sistem de operare	Separarea imaginilor	Imagini prelucrate
DPW670 DPW770 SD 2000	Leica Helava	SUN	UNIX	Mono- Polarizare Polarizare	Landsat, SPOT Fotogramă
DVP	Leica U. Laval	PC	DOS PS-2	Stereoscop	Fotogramă Satelitară
Intermap ImageSt	Intergraf	St.grafică Intergraf	UNIX	Stereo-gr.	SPOT Fotogramă
Phodis	Zeiss	SGI	UNIX	Stereo-gr.	Fotogramă
PRI ² SM	I ² S, Datrom	SUN..HP	UNIX	Mono Stereo-gr	SPOT, SAR Fotogramă
Traster T10	Matra	SUN	UNIX	Polarizare	SPOT, SAR Fotogramă
DIAP	ISM	PC	UNIX	Stereo-gr	Fotogramă
Softplotter Kork DNIS Ortokork	Vision Intl	SGI PC	UNIX Windows NT	Stereo-gr Mono	SPOT, SAR Fotogramă
DNIS	R-Wel. Inc.	PC	DOS	Anaglife	Fotogramă Satelitară
Stereodigit Orthomap	Galileo	PC PC	UNIX	Polarizare Mono	Fotogramă
Digitus	Dat Em	SGI, PC	UNIX	Stereo-gr	Fotogramă
PI-1000	Topcon	PC	DOS	Polarizare	Fotogramă
VirtuoZo	VirtuoZo Inc	SGI	UNIX	Anaglife	SPOT Fotogramă
Var S W	Inpho	SGI	UNIX	Mono	Fotogramă
Easi Pace	PCI	SGI, PC	DOS UNIX	Mono	Fotogramă Geoim. Radar
Orthomax	ERDAS Autometric	SGI	UNIX	Stereo-gr	SPOT Fotogramă

2.2.2.2 Tehnologii și produse fotogrammetrice și de teledetecție ce pot fi realizate cu/în SIG

O dată cu dezvoltarea mijloacelor tehnice și a tehnologiilor de fotogrammetrie și teledetecție, cu creșterea performanțelor fotogramelor și înregistrărilor numerice, s-au diversificat produsele finale, care completează produsele cartografice sau chiar le înlocuiesc. Chiar și produsele cartografice au căpătat noi caracteristici. Noile produse, cât și cele tradiționale, vor fi surse pentru sistemele informaționale spațiale, inclusiv SIG.

Datele satelitare se folosesc cu succes în actualizarea hărților topografice, deci și a straturilor de date SIG referitoare la structura geografică a domeniului studiat. În prezent se actualizează deja hărțile topografice la scara 1:25 000, iar în curând se vor actualiza cu noile date chiar și hărțile (planurile) topografice la scara 1:10 000. Scanarea rapidă a fotogramelor aeriene și chiar obținerea fotogramelor numerice cu camere digitale fac posibilă dezvoltarea întrunită a tehnologiilor de fotogrammetrie și teledetecție. Noile stații fotogrammetrice și programele corespunzătoare permit această abordare.

Dintre noile tehnologii care modifică modul de lucru, calitatea și noua calificare a personalului (operatorul fotogrammetrist devine mai mult operator al unui sistem de calcul și al programelor implementate) influențate și de timpul scurt de obținere a unor produse, se amintesc: determinarea centrelor de perspectivă cu sisteme de poziționare globală;

compensarea aerotriangulației folosind ca puncte de reper punctele ale căror coordonate s-au determinat prin poziționare globală; orientarea relativă a imaginilor numerice prin corelare fotogrammetrică; obținerea MDA prin aceeași metodă; redresarea diferențială cu folosirea MDA; interpretarea automată (nesupervizată) sau interactivă (supervizată) a geoimaginilor (fotogramelor numerice și înregistrărilor satelitare); obținerea ortoimaginii prin concatenarea ortofotogramelor; obținerea vederilor 3D prin suprapunerea imaginii numerice peste suprafața 3D generată cu MDA; suprapunerea curbelor de nivel determinate cu MDA peste imaginea numerică; obținerea vederilor perspective dinamice, cu variația poziției observatorului (punctului de vedere) și a direcției de observare; cu și fără imagine; realizarea ortofotohărților analogice și numerice; transmiterea în timp real sau cvasireal a datelor fotogrammetrice și de teledetecție în sisteme de comandă și control de tip C³I și C⁴I; actualizarea rapidă a hărților numerice prin afișarea pe același ecran grafic a imaginii hărții și a imaginii numerice (fotogramei sau înregistrării satelitare) etc. Produsele ce se obțin cu aceste tehnologii rezultă chiar din înșiruirea de mai sus. Aceste produse, după cum se va vedea ulterior, se vor obține cu predilecție și în sistemele informaționale geografice. În cadrul acestor sisteme, capătă o mai mare importanță datele tematice diverse rezultate din interpretarea valorilor pixelilor geoimaginilor.

2.2.2.3 Algoritmi și proceduri utilizate în prelucrarea datelor fotogrammetrice și de teledetecție

Cele trei tipuri de fotogrammetrie, analogică, analitică și digitală, folosesc prelucrări analogice, analitice, hibride sau digitale, fără pierderi semnificative de informație geometrică sau radiometrică (Răducanu și Spataru, 1992; Turdeanu, 1997). Atât în cadrul fotogrammetriei analitice, cât și al celei digitale, modelele matematice se bazează pe relațiile geometriei analitice sau proiective (transformările de coordonate în spațiile 2D, 3D, ..., nD, corespondențele proiective între forme de diferite ordine etc. Existența măsurătorilor suplimentare, mai ușor de obținut în laborator, face ca pentru determinarea parametrilor de transformare și a mărimilor funcției de măsurători să se folosească modelul stochastic bazat pe metoda sumei minime a pătratelor.

Problemele de bază ale fotogrammetriei analitice se pot reduce la orientarea exterioară a fiecărei fotograme, orientarea relativă a fotogramelor și formarea modelelor, conexiunea modelelor și formarea unui model general, orientarea absolută a modelelor și intersecția spațială. Problemele de mai sus se utilizează și în exploatarea digitală, apărând în plus obținerea datelor raster, transformările radiometrice și geometrice ale imaginilor digitale, corelarea imaginilor digitale, recunoașterea formelor, obținerea ortofotogramei prin combinarea imaginii cu modelul digital altimetric, exploatarea în comun a imaginilor digitale multirezoluție spațială, radiometrică, spectrală și temporală etc. Imaginile digitale sunt rezultate atât ale fotogrammetriei, cât și ale teledetecției. Ele se obțin prin scanare direct în teren sau în laborator, așa cum s-a arătat mai sus.

2.3 Dezvoltări și perspective în cartografie

Și în cartografie au avut loc dezvoltări deosebite în ultimele decenii, care au vizat atât bazele teoretice, cât și tehnologiile cartografice, mijloacele de reprezentare și echipamentele de culegere, prelucrare, organizare, stocare, regăsire și utilizare a datelor și informațiilor cartografice. Nu se va face o descriere exhaustivă a tuturor acestor transformări, limitarea fiind cerută de obiectul principal al lucrării.

2.3.1 Câteva aspecte ale cartografiei teoretice

Teoria cartografică nu se dezvoltă pe loc gol sau la inițiativa cuiva. Necesitățile practice cer noi produse cartografice, de exemplu harta electronică, harta electronică de navigație, atlasul electronic etc. Se tratează în continuare doar câteva aspecte și anume: a) funcțiile hărții; b) procesele spațiale; (c) prelucrarea datelor digitale; d) limbajul hărții.

2.3.1.1 Funcțiile hărții

Funcțiile hărții au constituit obiectul studiilor cartografice încă din deceniul al șaselea al secolului XX. S-a dezvoltat metacartografia și s-au abordat studii cartografice de teoria informației cartografice, semiotică, teoria modelării etc. S-a înțeles și mai mult legătura dintre realizatorul și utilizatorul hărții, căpătând o dezvoltare și mai mare studiul funcțiilor hărții. Se tratează funcțiile hărții prin prisma realizării și utilizării SIG. A apărut deja o nouă propunere de definiție a cartografiei, făcută la Conferințele O.N.U. pentru cartografie – *“cartografia este un proces de transmitere a informației care este focalizat pe date spațiale, aceste date înseși putând fi considerate ca un model complex al mediului geografic; baza de date spațiale este modulul central al șirului de procese cartografice, procese ce folosesc datele ca date de intrare (ca date inițiale) pentru realizarea diferitelor tipuri de produse informatice.”* Pare straniu, dar nu mai apare în cuprinsul definiției noțiunea de hartă!.

În literatura actuală despre SIG, cei mai buni specialiști, proveniți din experți cartografi și geografi, își îndreaptă eforturile spre definirea utilizatorului SIG, nevoilor de date și alte produse ale SIG, utilizarea SIG drept suport decizional spațial etc. Se pare că noua definiție a fost impusă de aceștia din urmă. Ca o remarcă, se vede că noua definiție se axează pe informație, procese cartografice și produse informatice.

Funcțiile hărții se consideră a fi următoarele:

1) Funcția cognitivă este legată de toate procesele, procedurile și operațiunile, de toate modelele care generează și îmbunătățesc cunoștințele referitoare la spațiul geografic. Toate procesele cartografice și de analiză cartografică, clasice sau asistate de calculator, transformările, generalizarea, simulările, animațiile cartografice trebuie incluse aici, dacă e posibil într-o secvență de operațiuni ce duc de la modelele aproape reale la modelele foarte abstracte ale spațiului.

2) Funcția de comunicare (inclusiv subfuncția de demonstrare) cuprinde toate procesele și operațiunile transferului de cunoștințe spațiale de la cartograf la utilizator. Funcția poate fi împărțită în diferite subfuncții, după volumul cunoștințelor transferate, nivelul anterior de cunoaștere și mijloacele de transfer al cunoștințelor. Cuvintele cheie pentru a sublinia această funcție sunt *comunicarea educațională, comunicarea prin mass media, comunicarea academică, comunicarea administrativă.*

3) Funcția de suport pentru decizie cuprinde toate procesele și operațiunile care, bazate pe evaluarea fenomenelor spațiale, au ca rezultat deciziile spațiale și acțiunile spațiale. Funcția poate fi împărțită în mai multe subfuncții după tipurile și șirul de decizii și tipul și șirul de acțiuni, bazate pe cercetarea domeniului spațial pentru indivizi, grupuri sociale sau întreaga societate. Una din noțiunile cheie aici este *navigația*, care ilustrează complexitatea funcției hărților ca suport pentru decizii, deoarece navigația este posibilă prin aer, pe ape, pe pământ, pe pământ în orașe, pe drumuri, cu mijloace diferite etc. O altă noțiune cheie este *planificarea spațială*, care cuprinde resurse de planificare, planificarea mediului, planificarea construcțiilor etc.

4) Funcția socială cuprinde procesele ce rezultă nu din acțiunile spațiale, ci din cele sociale referitoare la mediu. A nu ține seama de ele în SIG nu e o soluție bună. Una din subfuncții este cea profesională; ar trebui analizat statutul social al cartografului în relație cu alte persoane, incluzând în procesul de realizare a hărții și pe utilizator; câteva noțiuni cheie aici sunt *instruirea profesională*, *cunoștințe ale expertului*, *etica profesională* și *venitul* cartografului sau specialistului SIG. Subfuncția socială de control descrie hărțile ca instrumente ale puterii sociale, exercitată prin accesul la datele și informațiile spațiale, prin drepturile de autor sau monopolul asupra echipamentelor de cartografiere. Aici trebuie incluse hărțile oficiale, precum cele cadastrale și alte hărți cu putere legiferată. Subfuncția culturală consideră cartografierea ca o activitate de cultură (și civilizație), hărțile uneori considerându-se și obiecte artistice, subiect al colecțiilor sau chiar în patrimoniul național.

Analiza funcțiilor de mai sus duce la concluzia că noua definiție a cartografiei are un suport în realitatea sfârșitului și începutului de mileniu. Sublinierea acestor funcții trebuie văzută ca o încercare de a atrage atenția comunității cartografice și în general specialiștilor geodezi asupra necesității umplerii golului de cunoștințe o dată cu extinderea domeniului până la realizarea și utilizarea sistemelor informaționale spațiale.

2.3.1.2 Procesele spațiale

Harta este un tip de reprezentare vizuală a informației spațiale și a modificărilor sale temporale. Obiectele și fenomenele spațiale ce fac obiectul reprezentării pot fi apreciate din mai multe puncte de vedere – fizic, social, cultural, militar etc. Actualmente nu este totuși suficientă metoda cartografică tradițională pentru a reprezenta asemenea modificări temporale, deoarece hărțile tipărite sunt materiale statice care nu pot explica (expune) toate aceste modificări. Dezvoltarea tehnicii de calcul și informaticii oferă noi mijloace de reprezentare a modificărilor, respectiv a dinamicii obiectelor și fenomenelor. Animația cartografică se dezvoltă cu repeziciune și se impun unele teze de doctorat și teme de cercetare în acest domeniu.

Stocarea într-o bază de date spațiale a tuturor datelor referitoare la o zonă permite să se răspundă la unele solicitări ale utilizatorilor, de tipurile : 1) *căutare temporală simplă* – care este situația unui obiect la timpul t ; 2) *căutarea în șirul temporal* – ce se întâmplă cu un obiect după o anumită perioadă de timp; 3) *căutare spațiotemporală simplă* – care este situația unei zone areale la timpul t ; 4) *căutare în șirul spațio-temporal* – ce se întâmplă cu o zonă areală după o anumită perioadă de timp. Mai sus, prin căutare se înțelege și interogare, termen specific SGBD.

Dar introducerea datelor referitoare la dinamica unei zone necesită eforturi uriașe și se poate realiza numai pentru unele zone și pe anumite teme, în număr restrâns. Într-un SIG pot conviețui încă multă vreme procedeele clasice și procedeele moderne. Dezvoltarea SIG ne aduce într-o nouă situație, de a organiza corespunzător structurile de date și de a reproiecta procesele cartografice. *Procesarea spațială* este una din noțiunile critice ale cartografiei moderne.

Procesarea datelor digitale

În ultimele trei decenii, cartografia asistată de calculator s-a dezvoltat rapid, ducând la o eră nouă în această știință. Apar noi produse nerealizate nicicând cu ideile și tehnologiile cartografiei clasice. Cartografia asistată de calculator predomină cartografia tradițională. Această situație obligă pe cartografi să-și revizuiască atitudinea, să reexamineze concepția

hărții, să fundamenteze noi principii teoretice pentru procesele tehnice. S-au dezvoltat în acest context cartografia automată, gestiunea datelor cartografice și sistemele informaționale geografice, continuă explorarea unor noi domenii legate de procesarea datelor (fig. 2.6), capacitatea de memorare (stocare), flexibilitatea transformării datelor, vizualizare, eficiența întreținerii datelor etc. Dar se pare că aceste schimbări filozofice și tehnologice constituie doar începutul revoluției și dezvoltările ulterioare în cartografie ale metodelor digitale vor necesita o fundamentare teoretică deosebită.

Unul din interesele principale ale domeniului multimedia actual este de a se produce periferice pentru a realiza: a) *transformarea geometrică* a coordonatelor, cotelor și distanțelor; b) *transformările statistice* ale variabilelor Z (funcții de poziție); c) *transformarea datelor* numerice în imagini și *vizualizarea* acestora sau transformarea imaginilor în date digitale, prin digitizare raster (scanare) sau digitizare vectorială.

Vizualizarea, ultima și cea mai cunoscută din cartografie, depinde de suportul hărții. Noțiunea de hartă nu se mai rezumă la suportul hârtie sau folie de material plastic (hărți reale); afișările cartografice pe ecranele catodice (hărți temporale) și structura de date cartografice numerice (hartă virtuală) aparțin de asemenea cartografiei. Ca atare noțiunea de hartă trebuie revăzută. Vizualizarea este și o “retorică iconică”. Hărțile reale sunt tipărite pentru a fi analizate în liniște, hărțile temporale sunt reprezentate pe ecran (în sistemele color RGB sau ITS) pentru o vizualizare rapidă, pentru verificarea unui detaliu local; secvențele animate trebuie focalizate pe procese geografice și nu pe detalii. Ca atare, și modul de reprezentare pe ecran nu trebuie să fie același ca pentru reprezentările clasice, referindu-ne aici la culori, densitatea detaliilor, semne convenționale, inscripții, legendă etc.

În prelucrările datelor, un rol important revine *simulării*, care capătă noi valențe. Simulările spațiale constau în predicția de noi forme, conform modelelor acceptate. Modelele nu sunt altceva decât o formulare a proceselor geografice, fiind expresia ipotezelor asupra modului de modificare a suprafeței. Modelele sunt folosite pentru a genera noi date plecând de la cele observate, afișarea rezultatelor arătând “suprafețele teoretice” (sau rețele, fluxuri, peisaje artificiale, precum cele fractale etc.). Un bun exemplu este găsirea drumului optim între două localități care este afișat pe ecran cu programul “Mapa de carreteras” (Spania), așa cum se vede în figura 2.7.



Fig. 2.7. Exemplu de determinare a drumului minim

Simularea unor fenomene și situații geografice este un domeniu aplicativ de viitor al sistemelor informaționale geografice. Cu simularea, hărțile (în general geoimaginile) devin instrumente științifice de excepție. Devine posibilă reprezentarea unor forme abstracte, nu ca cele deja existente. De exemplu, secvențele animate ale vectorilor în spațiul 3D este un mod bun de studiere prin înțelegerea modului de comportare a componentelor principale la analiza multivariată.

În concluzie, viitorul cartografiei este legat de rezolvarea unor probleme practice și teoretice ce pot fi rezumate ca probleme ale datelor și probleme ale modelelor spațiale.

Probleme ale datelor

Dintre acestea se amintesc: care este natura datelor geocodate (X, Y, Z_n) la diferite scări și după diferite transformări; cum se comportă calitatea datelor la diferite transformări; cum este protejat dreptul de autor după transformări; modul de gestionare a marelui volum de date rezultate din digitizarea raster sau vectorială sau importate de la sistemele fotogrammetrice și de teledetecție; modul de generalizare și de reducere a acestei cantități de date pentru a optimiza stocarea; criteriile de respectat pentru a alege arhivele necesare de păstrat; modul de generare a datelor ce lipsesc, fie pentru cele “pierdute”, fie de la cele compactate anterior; cum să se aleagă un standard național sau internațional pentru schimbul de date sau pentru a colabora la realizarea hărților cu modificări continentale sau globale etc.

Probleme ale modelelor spațiale

Dezvoltarea bazelor de date geocodate, inclusiv în SIG, este interesantă nu numai pentru afișarea rapidă a datelor spațiale, ci și pentru analiza, combinarea, transformarea și animarea datelor (geoimaginilor) ce au fost stocate. Toate transformările arătate mai sus necesită “modele” și “modelare”, atât pentru datele cantitative, cât și pentru cele calitative. Problemele legate de modelele spațiale sunt: ce modele se introduc în SIG și de ce tip – proceduri standard, modele cerute de utilizator, o structură model (similară concepției structurii datelor); protecția modelelor și metodelor (împotriva virușilor, împotriva copierii neautorizate, împotriva accesului neautorizat etc.); schimbarea concepției de învățare a cartografiei etc.

2.3.1.3 Limbajul hărții

Cartografii utilizează un sistem de semne la exprimarea cartografică. Comunicarea se face de la un emițător, realizatorul hărții, la un receptor, utilizatorul hărții. Limbajul este apropiat de cel natural. Limbajul de semne este limbajul hărții. La analiza acestui limbaj se au în vedere sintactica, semantica, caracteristicile fundamentale și regulile practice, asupra cărora s-au iscat multe dezbateri în urmă cu un deceniu. Necesitatea abordării problemei limbajului cartografic al noilor produse cartografice multimedia se impune cu prisosință, ținând seama de următoarele:

- a) noua concepție lingvistică nu trebuie să fie o parte a vechii concepții teoretice de transmitere a informației pentru harta clasică;
- b) concepția lingvistică se bazează pe analiza structurală a hărților și a semnelor convenționale a hărților clasice, dar și a noilor produse multimedia. Problema principală credem că este cea a sintaxei semnelor;
- c) concepția lingvistică nu este destul de complexă pentru a rezolva toate problemele cartografice, altele decât cele ale realizării practice a hărților, concepția nu trebuie să trateze proiecțiile cartografice, generalizarea etc.

2.3.1.4 Noi produse cartografice

Animatia. Aceasta a fost utilizată de către cartografi folosind camerele de filmat pe suport film cinematografic, dar calculatoarele au transformat viteza și eficiența metodelor aplicate. Camerele digitale se folosesc cu succes pentru culegerea datelor. Procese fizice dinamice, dar în timp îndelungat pot fi derulate la o scară de timp diferită, de exemplu variația

coastelor marine. Poate fi reprezentată dinamic suprafața terestră văzută dintr-un vehicol în zbor, chiar simulat. Aceste inovații au adăugat noi variabile celor propuse de Bertin (dimensiune, formă, intensitate, valoare, consistență, orientare), precum “timp de afișare”, ordine, viteză de rulare (cadre pe secundă) etc.

Multimedia. Adăugarea sunetului, textului, animațiilor și videoclipurilor în unele produse a devenit un lucru comun. Aceste tehnici pot fi integrate în multe hărți digitale sau alte instrumente digitale cartografice și permit introducerea de hiperlegături la imaginea hărții pentru a permite un acces instantaneu la alte baze de cunoștințe.

Atlasele electronice. Atlasele electronice (care în general îmbracă multe forme multimedia) au crescut ca număr și diversitate. Față de atlasele tradiționale pe hârtie în prima jumătate a acestui secol, atlasele electronice oferă inovații pentru prezentarea datelor (numai vizualizare, interactivitate sau analiză SIG). Atlasele electronice sunt stocate pe CD sau accesul la acestea este posibil prin Internet (**Cartointernet** este chiar un nou capitol al cartografiei moderne). Rețeaua Internet permite chiar și schimbul de date spațiale, hărți și atlase electronice, proceduri de cartografiere, lecții și articole pentru învățarea noilor tehnologii. Toate aceste noi produse au devenit foarte populare și eficiente ca realizare.

Mijloace de navigație. Navigația modernă se bazează pe folosirea hărților digitale și a bazelor de date structurate ale SIG. Există deja sisteme chiar portabile sau montate pe avioane, vapoare, autovehicule etc.

Cu dezvoltarea rapidă și diversificarea jocurilor și divertismentului cu calculatorul electronic, au fost dezvoltate multe tehnologii pentru afișarea hărților digitale.

Realitatea virtuală (sau Lumile virtuale). Se construiesc multe baze de date pentru simularea realității. Acestea vor oferi avantaje mari pentru planificatori, ingineri proiectanți, specialiști din turism etc. Este acceptată în general ideea că funcționalitatea SIG este încă săracă matematic și statistic. Noi instrumente precum “S-Plus” (MathSoft) pot face cu adevărat o *cartografiere analitică* în ajutorul *analizei spațiale*. Trebuie dezvoltate noi proceduri de analiză și sinteză.

Spațiohărți raster satelitare. O dată cu apariția geoimaginilor satelitare comerciale cu rezoluție spațială metrică sau foarte curând chiar decimetrică, cu creșterea accesului la software și mijloace de calcul puternice, apar spațiohărți atractive, cu pixeli interpretați, abandonându-se hărțile vectoriale pentru multe aplicații, în locul lor apărând geoimaginile redresate, inclusiv cu multimedia.

Cartografia de “zi cu zi.” Cu toate cele de mai sus, cartografia de “zi cu zi” (realizarea hărților străzilor orașelor, hărților rețelei rutiere, hărților turistice etc.), fie la nivel oficial instituțional (public sau comercial), fie la nivel științific sau chiar personal. Dar și în realizarea acestor hărți se vor folosi noile tehnologii. Nevoia de hărți va exista mereu, unele dintre acestea prezente în cărți, în atlase, în mijloacele mass media. Așadar, profesiunea de cartograf este încă necesară mulți ani, dar cu modificări substanțiale.

2.4 Exemplu de sistem geoiconic digital de producție

În S.U.A., NIMA are atribuții complexe în cadrul Departamentului Apărării (DoD), de asigurare topogeodezică a tuturor componentelor sistemului apărării naționale. Printre misiunile îndeplinite de NIMA doar într-un singur an se amintesc: realizarea a peste 56 milioane de foi de hartă; informația analogică a documentelor acoperă 4,5 milioane de mile

pătrate; populează prin actualizare bazele de date geodezice pentru o suprafață de 450 milioane de mile pătrate; determină 13 000 de obiective (ținte) și valorile gravitației terestre în circa 38 000 de puncte etc. Agenția furnizează hărți și date de navigație maritimă, fluvială și aeriană pentru marină, aviație, civile sau militare din toată lumea, gestionează sistemul de poziționare globală și alte rețele satelitare (DMA, 1994 și 1995). A apărut necesitatea unui sistem geoiconic integrat, ale cărui componente hardware sunt dispuse în mai multe centre de producție geodezică, fotogrammetrică, cartografică și de cercetare prin teledetecție, sunt interconectate în cadrul unei concepții unitare (Lawrance, 1995; Littlefield, 1995).

2.4.1 Sistemul geoiconic digital

Realizarea sistemului a fost legiferată de Congresul S.U.A. pe baza unui proiect înaintat de agenție (fostă DMA) și însușit de DoD, privind trecerea la realizarea de produse geodezice și cartografice digitale, solicitate de celelalte sisteme informaționale care se realizau sau de noile tipuri de armamente, muniții sau sisteme inteligente. Sistemul a fost realizat în 10 ani, cu un cost de 2,6 miliarde dolari S.U.A. Fără acest sistem, agenția ar fi fost incapabilă să folosească noua imagistică digitală (monoscopică și stereoscopică), imaginile digitale asigurând 90% din necesitățile de producție ale agenției. De la început au fost stabiliți ca indicatori de eficiență creșterea productivității muncii cu 75% și reducerea prețului de cost al produselor cu 50%. Sistemul a fost realizat prin două programe – MARK 85, început în 1983, și MARK 90. Integrator de sistem a fost firma Intergraph, la realizarea segmentelor sistemului participând și alte firme (DBA, GE transformată în Martin Marietta, E-Systems, GDE și Hughes).

Puterea de procesare totală a sistemului este de peste 300 MIPS, cu un potențial de procesare într-un singur flux de 24 MBPS, inclusiv transferul între componente în cadrul rețelei. Potențialul de prelucrare de imagini la un singur centru din cele trei este de 160 MBPS.

Sistemul cuprinde software cu un volum total de 7 000 000 de linii în cod sursă, în 7 limbaje de programare, are 3 000 de componente hardware, din care 1 000 sunt stații grafice de înaltă performanță, repartizate în trei centre ale agenției, dar toate interconectate, cu acces reciproc pe bază de parolă.

2.4.2 Segmentele sistemului

Sistemul gestionează mai multe tipuri de baze de date. Cu date extrase din baze diferite realizează produse complexe pentru suprafața întregii planete. Pentru realizarea unui produs se folosesc procese tehnologice complexe, compuse din tascuri și proceduri ale mai multor segmente sau subsisteme. Se descriu în continuare segmentele componente, cu accent pe funcții.

Segmentul de management al producției (SMP) realizează gestiunea întregului proces tehnologic pentru obținerea unui produs cu sistemul integrat. Segmentul realizează programarea și planificarea producției la nivel de agenție, face calculul cheltuielilor de producție etc.

Segmentul de pregătire a surselor (geoimaginilor sursă, SPS) permite controlul, evaluarea și validarea materialelor sursă pe diferite suporturi multimedia (hărți, fotografe, imagini digitale, alte fișiere de date), măsurarea geoimaginilor în vederea geocodării, determinarea poziției unor puncte (staționate sau ținte) etc.

Segmentul de extragere a datelor (SED) asigură accesul la datele referitoare la o anumită zonă, la un anumit detaliu sau la un grup de detalii, din toate bazele de date, date de diferite tipuri, vectoriale, raster sau de alt tip, chiar nespațiale. Segmentul asigură și verificarea calității datelor prin indicatori de precizie, în special prin verificarea preciziei și consistenței datelor.

Segmentul de generare a produselor (SGP) permite realizarea fiecărui produs solicitat. Printre aceste produse se amintesc originalele de editare separate pe culori, exemplare multiplicat ale hărților, fișiere cu date rezultate în urma scanării și digitizării vectoriale etc. De observat că în acest segment se face digitizarea geoimagineilor, considerând datele ce se obțin drept produse.

Segmentul serviciilor de date (SSD) are două componente, care asigură gestiunea datelor și transferul acestora în cadrul sistemului prin intermediul rețelelor interconectate. Sistemul de gestiune a bazelor de date (SGBD) realizează arhivarea datelor, asigură accesul, protecția și integritatea tuturor datelor existente în sistem. Partea de transfer de date a segmentului asigură funcțiile de interconectare a elementelor rețelelor locale sau legătura între rețelele locale interconectate, respectiv transferul de cereri, date sau mesaje. Proceduri sau tascuri ale acestui segment asigură transformarea rezoluțiilor spațiale și radiometrice ale datelor raster.

Segmentul de achiziționare a surselor (SAS) asigură obținerea surselor multimedia de date (geoimagineilor). Segmentul asigură obținerea concretă a geoimagineilor sursă prin achiziționare, aerofotografiere, recepție a imaginilor satelitare etc., distribuirea colecțiilor de date și funcțiile de bibliotecă pentru toate sursele. Segmentul acționează ca o interfață de proceduri pentru întreaga mulțime a surselor de geoimagini.

Segmentul de exploatare analogică (SEA) sau de exploatare a produselor analogice (SEPA) asigură realizarea acelor funcții din procesul clasic de producție care sunt strict necesare în noul sistem și care, de fapt, au beneficiat primele în decursul ultimelor decenii de utilizarea calculatorului electronic. Procedurile segmentului permit măsurarea pe sursele analogice în vederea determinării punctelor prin aerotriangulație etc.

2.4.3 Produse realizate cu sistemul

Dintre cele 200 de produse realizate de agenție, în 1995 doar 24 se realizau cu sistemul, dar realizarea acestora reprezintă 80% din valoarea producției anuale. Produsele sunt arătate în tabelul 2.4. Acestea sunt produse complexe și au o mare pondere în activitatea agenției. Cu timpul toate produsele se vor realiza numai cu acest sistem. Pe măsura ajungerii produselor la utilizatori, structura acestora se va actualiza conform solicitărilor. O altă calitate deosebită este timpul mai scurt de livrare a produselor, uneori chiar în timp cvasireal în situații de criză.

2.4.4 Particularități de realizare a sistemului

Complexitatea sistemului e demonstrată de componența și funcțiile sale, cât și de nivelul de integrare a întregii producții geodezice, topografice, fotogrammetrice, cartografice, de teledetecție etc. O simplă specificare a limbajelor utilizate în programare și a numărului de linii sursă ale tuturor programelor, pe segmente, este făcută în tabelul 2.4. A fost necesară realizarea unei interfețe utilizator pentru lucrul cu întregul sistem, precum și a unor interfețe hardware și software între segmente, minisegmente, subsisteme. Prin complexitatea sa și prin gradul de integrare, este considerat de experți a fi cel mai larg integrat dintre sistemele informatice ale Departamentului Apărării.

Programarea și planificarea realizării sistemului au fost urmărite cu rigurozitate. S-a acordat prioritate realizării unor minisegmente strict necesare pentru realizarea unor produse care să demonstreze utilitatea sistemului. Prima aplicație a fost cea de realizare a hărților de navigație aeriană sub formă digitală raster (ADRG), utilizate pentru afișarea pe ecranele grafice de la bordul avioanelor și elicopterelor, începută în 1989. Datele sunt provenite din scanarea a 1876 foi de hartă și sunt memorate pe 416 discuri de tip CD-ROM.

Tabelul 2.4. Produse realizate cu sistemul

1. Produse pe hârtie sau pe film	
Aeronautice (de aeronavigație)	<ul style="list-style-type: none"> -Hărți de pilotare tactică (TCP) -Hărți operative întrunite (pentru aeronavigație, JOGA) -Hărți operative întrunite (pentru radar, JOGR) -Hărți operative de navigație (ONC) -Publicații cu informații pentru zbor (FIP) -Hărți cu țintele aeriene (USATC) -Programe de poziționare punctuală -Baze de date cu pozițiile punctelor
B. Hidrografice	<ul style="list-style-type: none"> -Hărți portuare și ale zonelor de acces în porturi -Hărți costiere -Hărți de luptă
C. Topografice	-Hărți topografice la scara 1:50 000 (TLM)
2. Produse digitale	
<ul style="list-style-type: none"> -Date altitudinale digitale (cote) ale terenului (de nivel I și II) -Date digitale de analiză a detaliilor (de nivel I și II) -Fișierul cu informații privind facilitățile aeriene automate -Date matriciale (de tip grilă) cu cotele suprafeței terestre (TERCOM) -Date matriciale cu itinerarii, cursuri, rute -Date matriciale referitoare la terminale – ale itinerariilor, rutelor <p><u>Notă:</u> Aici nu sunt trecute toate produsele. Pentru unele produse (hărți operative întrunite – JOG, date privind obstacolele de zbor – VOD, bazele de date de analiză a terenului) nu mai există cerințe din partea utilizatorilor</p>	

Un subsistem pentru stereorestituția geoimaginilor digitale în vederea realizării hărților și ortofotohărților a fost proiectat în 1989. Are 15 stații grafice, iar programele specializate pentru fotogrammetrie au fost scrise în limbajul C (15.000 linii în cod sursă), integrate cu 400.000 linii sursă ale programelor MGE (Intergraph). au avut un mare impact asupra utilizatorilor.

Tot în 1990 a fost realizat și un alt subsistem cartografic bazat pe prelucrarea geoimaginilor, format din 36 de stații grafice, cu software specializat și comercial ce depășește 700.000 linii sursă, cu care s-au realizat fotohărți la scara 1:100.000, folosind imagini LANDSAT și hărți topografice la scările 1:50.000 și 1:100.000. Cu acest subsistem s-au realizat și ortofotohărțile utilizate în anul 1991 în războiul din Irak, pe baza imaginilor satelitare SPOT.

Subsistemul VPF/PS a fost omologat în 1992. Conține 93 de stații grafice și programe speciale pentru realizarea unor colecții de date în formatul VPF.

Dat fiind volumul mare al programelor, pe timpul realizării sistemului au fost stabilite seturi diverse de date, cu structuri din cele mai complexe, pentru testare și omologare. La testarea programelor s-au descoperit și s-au înlăturat 86.000 de erori (13,7 erori la 1.000 linii de cod). La testarea întregului sistem s-au descoperit 65.000 erori importante (65% în programe, 15% în hardware, 15% în date și 5% în documentație).

2.4.5 Pregătirea personalului

Personalul de exploatare a sistemului are o pregătire generală cel puțin la nivel de colegiu și o experiență pe alte sisteme cartofotogrammetrice automate și semiautomate. Responsabilii segmentelor au o pregătire geodezică și în domeniul calculatoarelor electronice și informaticii. O pregătire superioară au și cei mai mulți administratori ai bazelor de date, cei ce fac culegerea și editarea datelor etc.

Tabelul 2.5 Limbaje și linii de cod sursă (în mii) pentru modulele sistemului

	SGP	SPS	SSD	SED	SMP	SAS	SEPA	TOTAL
ADA	-	-	2	890	-	-	-	892
C	2200	275	226	10	-	-	-	2211
FORTRAN	-	906	303	-	40	429	300	1978
M 204	-	-	237 ¹⁾	-	1067	5	-	1309
Altele ²⁾	-	175 ³⁾	143 ⁴⁾	-	310 ⁵⁾	124 ⁶⁾	-	752
TOTAL	2200	1356	911	900	1417 ⁷⁾	558 ⁸⁾	300 ⁸⁾	7642
COMS ⁹⁾	3500	-	-	-	-	-	-	3500
SBC ¹⁰⁾	75	-	-	33	0,5	-	-	108,5

¹⁾42 pentru fișier DBA, 195 pentru limbaje utilizator
²⁾PL1, 4GL, ASM
³⁾În majoritate 4GL
⁴⁾4GL
⁵⁾PL1, ASM
⁶⁾PL1
⁷⁾450 moștenite
⁸⁾Toate moștenite
⁹⁾Comerciale spațiale (la comandă)
¹⁰⁾Sisteme bază de cunoștințe (expert) în linii de reguli unitare

Circa 20% din forța de muncă prevăzută inițial a fost instruită la nivel de segment, a participat la toate fazele de omologare și implementare, precum și la instruirea restului de 80% din personal. Pentru tot personalul există 44 de tipuri de cursuri, de la 20 de zile până la 44 de zile (lucrătoare). Până în 1995, cursurile au fost urmate de 5 000 de cursanți (unii specialiști au urmat mai multe cursuri), urmând a mai fi pregătiți încă 1 000. În final, sistemul va fi deservit de 2 500 specialiști, care vor realiza produsele analogice și digitale.

2.5 Concluzii

I. Dezvoltarea noii științe spațiale

Analizând noile discipline ce urmează a se dezvolta (geoiconică, geomatică, geoștiințe etc.), se observă similarități ale tendințelor tehnologice listate drept operațiuni de

cartografiere. Sunt necesare noi metodologii, noi tipuri de date raster, un volum crescut de date raster cu mai multe tipuri de rezoluții și o trecere progresivă de la date la cunoștințe, respectiv de la SIG obișnuite la sistemele expert.

Reunirea tuturor disciplinelor într-o singură disciplină complexă (geoiconica) va duce și la convergența și unirea asociațiilor geodezice, fotogrammetrice, de teledetecție, cartografice etc., atât la nivel național, cât și la nivel internațional.

Credem că se impun măsurile și caracteristicile de mai jos.

Crearea unei științe distincte a informațiilor spațiale, după o perioadă de evoluție a studiilor care până acum au părut a avea mai mult un aspect tehnologic. Aceasta va necesita o revizuire totală a modelării și reprezentării spațiale. Cu toate că există în alte domenii, nu există o teorie pusă de acord a structurii și reprezentării cunoștințelor pentru știința geospațială. Dacă aceasta se va dezvolta, va avea caracter de interdisciplinaritate.

Interdisciplinaritate și multidisciplinaritate. Problemele spațiale ce se cer a fi rezolvate în noul context de dezvoltare nu pot fi rezolvate fără luarea în considerare a acestor două caracteristici. În SIG acestea vor caracteriza datele, procedurile, tehnologiile și chiar produsele, inclusiv dacă acestea sunt surse pentru alte grupe de aplicații.

Interoperabilitate. Cu aspectul lor tehnologic, organizațional, politic etc., vor depinde de interoperabilitate: infrastructurile de date spațiale; sistemele și indivizii; factorii juridici și financiari; hărțile la mai multe scări și generalizate diferit; bazele de date spațiale.

Transferul tehnologic. Există diferențe foarte mari între organizațiile aceleiași țări, dar mai ales între țările dezvoltate și țările în curs de dezvoltare. Nu este necesar ca acestea din urmă să “reinventeze roata”. Transferul tehnologic se impune, dar mai ales trebuie ca factorii de decizie dintr-o țară să înțeleagă necesitatea alocării de resurse pentru echipamentele, programele și tehnologiile SIG, precum și pentru cercetarea științifică interdisciplinară de realizare și utilizare a SIG.

Învățământul. Se impune revizuirea și actualizarea programelor de învățământ pentru specialitățile implicate în dezvoltarea noii științe și introducerea unor noi discipline în aceste planuri, schimburile de studenți și cadre didactice între marile universități ale lumii și universitățile țărilor în curs de dezvoltare.

II. Aplicarea științei geospațiale la nevoile societății

Noile cunoștințe spațiale se aplică deja la rezolvarea problemelor locale și globale, dar de multe ori probleme punctuale cu anumite tehnici și tehnologii, dar probabil acest lucru se datorește lipsei metodologiei de realizare și utilizare a sistemelor informaționale geografice. Există nevoi mari, după cum se va arăta mai jos, de soluții geospațiale practice pentru problemele sociale, de mediu și economice. Ultima schimbare este oscilația între dezvoltarea resurselor naturale și menținerea unui mediu ecologic. Problema de mai sus va cere regândirea căilor de dezvoltare locală, regională și globală. Fără îndoială că SIG va furniza datele și informațiile necesare acestor noi abordări, procedurile de gestionare, analiză, afișare și utilizare a datelor și cunoștințelor.

III. Fotogrammetria, teledetecția și cartografia în noua știință spațială

Cele trei discipline evoluează atât în teorie, cât și în practică, dar sunt într-o etapă critică dată de noua abordare. Niciodată până acum valoarea potențială a geoimaginilor nu a

fost atât de mare – ca suport al structurii modelelor conceptuale ale realității, pentru explorarea și analiza vizuală a problemelor și pentru reprezentarea și aplicarea cunoștințelor și soluțiilor. Dar toate acestea se întâmplă într-un fundament încă instabil al noii științe (teorii) la etapa de modelare sau combinare a datelor, pentru proiectarea noilor produse și pentru utilizarea de către om a facilităților oferite. Creșterea potențialului noilor proceduri și al bazelor de date geospațiale va duce la o redefinire și recrystalizare a celor trei discipline în paralel cu dezvoltarea noii teorii integratoare. Recentele dezvoltări privind vizualizarea geografică (și incorporarea multimedia) ca o nouă cale a definirii folosirii geoimaginii în cercetarea prin explorare este un alt motiv pentru a păstra corpul experților în cele trei discipline. Un motiv suplimentar pentru cele de mai sus este tranziția de la ceva bazat mai mult pe tehnologie la adevărata disciplină științifică integratoare, la o înțelegere mai adâncă a bazelor modelării și ale altor reprezentări ale spațiului.

IV. Mijloace tehnice ale noii concepții

Automatizarea a avut un efect considerabil asupra creșterii calității datelor geospațiale, calitate exprimată mai ales prin precizia de poziționare a detaliilor și prin toate tipurile de rezoluții. Într-un sistem intră foarte multe mijloace tehnice, cu grad diferit de automatizare. Partea principală este calculatorul electronic. Excluderea operațiunilor manuale duce la reducerea greșelilor și erorilor. Introducerea determinării curente a pozițiilor cu sisteme de poziționare globală și exploatarea automată a geoimaginilor va duce la creșterea preciziei și omogenității tuturor produselor digitale și analogice realizate. În organizațiile mari se renunță deja la împărțirea sistemelor tehnice în fotogrammetrice, de teledetecție sau cartografice. Chiar un subsistem fotogrammetric sau de teledetecție are și proceduri și mijloace de reprezentare cartografice

A crescut și numărul și varietatea de mijloace de reprezentare a geoimaginilor. Performanțele de vizualizare, viteză de calcul, capacitate de memorie, rezoluție și precizie au o importanță deosebită în selecționarea echipamentelor ce se introduc într-un sistem informațional geografic.

CAPITOLUL III. ASPECTE MATEMATICE ÎN REALIZAREA SIG

3.1 Utilizarea în SIG a teoriei informației

3.1.1 Introducere

Modelarea cartografică a apărut înaintea modelării SIG și a constituit un adevărat ajutor pentru dezvoltarea acesteia din urmă. Atât pentru o geoimagine cât și pentru o zonă a terenului care este domeniul de definiție al SIG se poate determina cantitatea de informație. De asemenea, elemente ale teoriei informației se pot folosi la adoptarea unei anumite metode de clasificare și apoi de codificare (Nițu, C. 1992).

3.1.2 Determinarea cantității de informație a geoimaginilor sau a unei zone terestre

3.1.2.1 Clasificarea elementelor. Sisteme de clasificare

3.1.2.1.1 Coeficienți de corelație

Specialiștii SIG trebuie să-și organizeze și să-și clasifice elementele sistemului, datele geografice, datele statistice din componența acestora etc. Majoritatea sistemelor de clasificare, fie matematice, fie nematematice, utilizează: a) comparația între perechi de observații; b) separarea perechilor de observații în categorii în care există un grad general de asemănare. Sistemele matematice de clasificare sunt asemănătoare, de exemplu, calculând un coeficient a cărui valoare este o măsură a gradului de similaritate, bazat pe observațiile făcute. Coeficienții de similaritate au valori între -1 și $+1$ și formează pentru toate perechile de observații o matrice pătrată, simetrică, pozitiv definită. Coeficienții de similaritate pot fi de mai multe feluri.

Coeficient de corelație (arătând gradul la care observațiile a două variabile se apropie de o dreaptă când sunt proiectate ca puncte într-un plan),

Coeficientul de corelație al lui Pearson este dat de formula:

$$r = ((\sum_{i=1}^n X_i Y_i) / n - \bar{X}\bar{Y}) / S_x S_y \quad (3.1)$$

unde: r - coeficientul de corelație; X_i, Y_i - variabile; \bar{X} și \bar{Y} - mediile variabilelor; S_x și S_y - abaterile standard ale variabilelor X și Y , n - numărul de variabile.

Coeficientul se poate folosi, de exemplu, la determinarea legăturilor dintre grupele unei clase și elementele componente ale acestor grupe.

Coeficientul de distanță arată că similaritatea dintre două elemente (de remarcat că distanța are aici sensul de normă, din geometria spațiului n -dimensional). Cu cât distanța este mai mică, gradul de similaritate este mai mare și invers. Coeficientul este foarte utilizat în taxonomie (știința clasificării). În mod particular poate fi folosit cu succes la interpolarea

cotelor în puncte plane date, cunoscând cotele, un punct vecin sau a altor mărimi (Serediuc, 1996). În spațiul n -dimensional distanța D (norma) este :

$$D = \left(\sum_{i=1}^n (x_{i1} - x_{i2})^2 \right)^{1/2} \quad (3.2)$$

($i=1, 2, \dots, n$).

unde: x_{i1} și x_{i2} reprezintă coordonatele a două puncte în spațiul cu n dimensiuni

Coeficientul de distanță poate fi, de exemplu, inversul distanței sau inversul unei puteri oarecare a distanței.

d) *Coeficientul cosinus-theta* este utilizat pentru a face comparații între probe sau între variabile. Coeficientul exprimă similaritatea ca o relație unghiulară între două probe sau variabile reprezentate într-un sistem de coordonate multidimensional (unghiul dintre vectorii ce reprezintă cele 2 variabile). Unghiul poate varia de la 0 (similaritate completă cu coeficientul $\cos 0=1$), până la $\pi/2$ (disimilaritate completă cu coeficientul 0).

Sunt și alți coeficienți care pot fi folosiți (de concordanță, de asociație mixtă etc.).

3.1.2.1.2 Analiza grupărilor

Scopul analizei grupărilor este prezentarea relațiilor din interiorul unei matrici de coeficienți de similaritate. Aceasta se poate face în forma cea mai simplă prin ordonarea variabilelor într-o arborescență, în care elementele sunt astfel grupate, încât relațiile să fie reprezentate, cel mai simplu, prin coeficienți de similaritate. Analiza grupărilor se poate, de exemplu, aplica în cartografie, la împărțirea pe grupe a localităților, după numărul de locuitori. Tratarea în extenso a acestei probleme nu face obiectul lucrării de față. De remarcat că această analiză se poate face și prin intermediul teoriei informației.

3.1.2.1.3 Calculul cantității de informație a clasificării

Fiecărei clase îi corespunde un anumit înțeles (o semnificație). Dacă o anumită dată este introdusă într-o clasă, se poate determina cantitatea de informație specifică acelei date.

Cantitatea de informație H se determină cu formula:

$$D = \left(\sum_{i=1}^n (x_{i1} - x_{i2})^2 \right)^{1/2} \quad (3.3)$$

unde m este numărul claselor, iar P_i probabilitatea (în cazuri practice frecvența) de apariție a elementului în clasa dată.

Pentru n metode diferite de clasificare a aceluiași grup de date se poate determina șirul cantităților de informație H_1, H_2, \dots, H_n . Se poate determina pentru fiecare metodă valoarea maximă α a cantității de informație $H_{1max}, H_{2max}, H_{3max}, \dots, H_{nmax}$. Entropia lor relativă este dată de rapoartele

$$H_{10} = H_1/H_{1max}; H_{20} = H_2/H_{2max}; \dots; H_{n0} = H_n/H_{nmax} \quad (3.4)$$

și redundanțele

$$R_1 = 1 - H_{10}; R_2 = 1 - H_{20}; \dots; R_n = 1 - H_{n0} \quad (3.5)$$

În urma determinării tuturor caracteristicilor arătate, se pot trage concluzii asupra unei metode optime de clasificare. Pentru a exemplifica cele de mai sus, fie de clasificat localitățile rurale dintr-o zonă a țării noastre, după numărul de locuitori. O clasificare optimă se va obține atunci când redundanța este minimă. Metoda se poate aplica pentru clasificarea tuturor elementelor geoimaginii, zonei de teren, bazei de date a SIG etc., inclusiv, de exemplu, pentru alegerea tipului de date (vectoriale sau tesseractale).

Datele sunt prezentate în tabelul 3.1

Dintre metodele ce se pot folosi, se amintesc metodele progresiei aritmetice, progresiei geometrice, seriilor, cea utilizată în recunoașterea formelor etc. Pentru exemplificare, în tabelul 3.2 sunt date clasele (intervalele) pentru clasificarea prin metoda mediei geometrice, și valorile calculate ale parametrilor.

Tabelul 3.1 Populația localităților unei zone geografice

Nr. crt.	Populație	Nr. crt.	Populație	Nr. crt.	Populație	Nr. crt.	Populație
1	2021	9	3465	17	4798	25	5880
2	2327	10	3548	18	5009	26	6096
3	2645	11	3578	19	5031	27	6110
4	2805	12	3691	20	5122	28	8201
5	3018	13	3731	21	5171	29	9518
6	3120	14	3745	22	2346	30	9582
7	3210	15	3907	23	5417	31	10160
8	3435	16	4733	24	5618		

Tabelul 3.2 Valorile parametrilor pentru metoda progresiei geometrice

Intervale (clase)	Număr localități	Frecvența (F_i)	$-\log_2 F_i$	$-F_i \log_2 F_i$
2000-3000	4	0,129	0,889	0,381
3000-4500	11	0,355	1,495	0,531
4500-6550	12	0,387	1,369	0,530
6550-9825	3	0,097	3,369	0,327
9825-14438	1	0,032	4,950	0,158
	31	1,000		1,927

Pentru cazurile practice, în tabele se înlocuiește P_i cu F_i . Cu mai multe metode folosite rezultă datele din tabelul 3.3.

Tabelul 3.3 Parametrii metodelor de clasificare

Metoda		Cantitatea de informație H	Entropia maximă	Entropia relativă	Redundanța
Progresiei aritmetice	5	1,684	2,322	0,725	0,275
Progresiei geometrice	5	1,927	2,322	0,830	0,170
Seriilor	7	2,635	2,807	0,939	0,061

Concluzia care rezultă este că se aplică metoda care dă redundanța minimă (pentru cazul din tabel, metoda seriilor, pentru care redundanța este 0,061).

3.1.2.2 Calculul cantității de informație a geoimaginii (bazei de date)

Conținutul informațional al unei zone de teren ridicată geodezic și topografic, a geoimaginii-hartă a acesteia sau a bazei de date vectoriale, este dată de relația (3.6) (Schlage, 1996)

$$I = N \log_2 RNW \sum_{k=0}^2 \sum_{i=1}^{N-k} M_{ki} P_{ki} q_{ki} t_{ki} \quad (3.6)$$

unde:

I – cantitatea de informație;

N – numărul de detalii individualizate;

R – perioada de existență a detaliului;

W – numărul de clase ale detaliului;

k – coeficient dimensional al “imaginii” detaliului ($k=0$ – pentru detalii punctuale, $k=1$ pentru detalii liniare și $k=2$ pentru detalii de suprafață);

N_k – numărul de detalii k - dimensionale;

$M_{k,i}$ – numărul de puncte caracteristice ale unui detaliu (simbol);

P_{ki} – gradul de complexitate al detaliului (simbolului);

q_{ki} – coeficientul de importanță al detaliului (simbolului);

t_{ki} – numărul total de caractere din compunerea detaliului (simbolului).

Se pot aplica diferite strategii de alegere a unor valori pentru mărimile de mai sus, în funcție de factorii de decizie.

Cele de mai sus pot fi aplicate pentru calculul cantității de informație a unei zone de teren, a unei hărți digitale reprezentate prin date vectoriale și a unei baze de date vectoriale SIG.

Aplicația poate fi făcută și pentru fotograme digitale sau pentru înregistrări digitale de teledetecție, dar în acest caz formulele sunt cele de la punctul 3.2.1.3, cu observația că numărul de clase este dat de rezoluția radiometrică (numărul de trepte, de regulă, egal cu 256). Pentru o zonă dată, se înregistrează numărul de pixeli ($M*N$) și numărul de benzi spectrale.

S-a făcut calculul doar pentru aproximativ a 20-a parte din suprafețele foilor de hartă la scările 1: 25.000, 1:50.000 și 1:100.000, obținându-se datele din tabelul 3.4.

Din analiza valorilor din tabel se poate concluziona că pentru hărțile la scările 1:50.000 și 1:100.000 a fost realizată o generalizare optimă. Din volumul mic de probe nu se pot extrapola concluzii pretențioase, dar cercetările ulterioare vor putea să aducă noi rezultate, pentru diferite zone ale țării și pentru geoimagini de mai multe tipuri.

3.1.2.2.1 Coeficientul teoretic al generalizării SIG

Ca și la generalizarea cartografică, și în cazul SIG există procesul de generalizare a bazei de date. În primul rând, la realizarea SIG se acceptă o scară de bază a documentelor cartofotogrammetrice care sunt folosite ca sursă principală de culegere a datelor. În al doilea rând, pentru realizarea unor produse SIG, nu este indicat să se folosească toate datele din bază, acestea urmând a se generaliza. Scara documentului grafic rezultat determină regulile de generalizare. De asemenea, un SIG de bază poate fi utilizat pentru realizarea unor alte sisteme derivate, cu rezoluții corespunzătoare ale datelor.

Tabelul 3.4 Valorile cantității de informație pentru hărți

Nr. crt.	Scara	Conținutul inf 1/20	Conț. inf. al foi	β_{ij}	β^*_{ij}	$\Delta\beta_{ij}$	$G(\%)$
1	1:25000	12625	50500	-	-	-	-
2	1:50000	5910	23640	0,5	0,468	0,94	0,006
3	1:100000	3194	12776	0,25	0,253	1,01	-0,01

Dacă șirurile de scări ale datelor sistemelor succesive sunt k_1, k_2, \dots, k_n ($k_1 > k_2 > \dots > k_n$), și cantitățile de informații corespunzătoare (pentru aceeași zonă) sunt I_1, I_2, \dots, I_n . Dacă baza de date la scara k_i se transformă în baza de date la scara k_j , coeficientul real de generalizare β_{ij} este :

$$\beta_{ij} = M_i/M_j \quad (3.7)$$

unde M_i și M_j reprezintă numitorii scărilor k_i și k_j .

Se poate determina și un coeficient virtual de generalizare ca un raport între cantitățile de informație :

$$\beta^*_{ij} = I_j/I_i \quad (3.8)$$

Optimizarea generalizării cartografice constă în a calcula raportul (3.9) dintre cei doi coeficienți:

$$\Delta\beta_{ij} = \beta^*_{ij}/\beta_{ij} \quad (3.9)$$

și a calcula parametrul $G = 1 - \Delta\beta_{ij}$. Normal ar trebui ca G să aibă valoarea nulă, dar nu este posibil așa ceva. Se acceptă o generalizare optimă pentru o valoare a lui $|G| \leq 10 \%$.

În cartografie se poate aplica metoda de mai sus, dar numai în cea digitală, când poate fi realizată harta digitală formată din date vectoriale. Pentru date raster, o generalizare se obține prin variația rezoluțiilor spațiale, radiometrică și spectrală, urmând a fi tratată în studii vitoare.

La realizarea unor baze de date, determinarea cantității totale de informații a bazei poate fi calculată doar după popularea acesteia.

3.1.2.3 Codificarea detaliilor și datelor

Între elementele detaliilor spațiului terestru și datele corespunzătoare acestora din baza de date a SIG trebuie să existe o corespondență biunivocă. Operația de codificare este strâns legată de clasificare. Este necesar a se codifica subdomeniile spațiale ale geosferei (zonele), sarcina aceasta revenind geografiei poștale (Roessel, 1994; Nițu, C., 1992 și 1997). În acest caz, detaliul areal supus codificării este parcela, respectiv casa sau blocul situate pe aceasta. În cazul blocurilor, un caracter suplimentar în cuvântul de cod va da și poziția pe verticală.

Trecerea de la coordonatele geografice, ale unui punct la cuvântul de cod al parcelei cu algoritmi specifici, astfel ca oricând să se poată face și regăsirea parcelei după cuvântul de cod (USACE, 1990)

3.1.2.3.1 Baza matematică a codificării

Fie elementele mulțimii $X = \{x_1, x_2, \dots, x_n\}$. Aceste elemente trebuie să se codifice folosind elementele mulțimii $A = \{a_1, a_2, \dots, a_q\}$. Trecerea de la un sistem de semnale la alt sistem de semnale se numește codificare. Cu elementele mulțimii A se obțin combinațiile, extensiile sau cuvintele de cod $S = \{s_1, s_2, \dots, s_n\}$, ca de exemplu pentru elementele x :

$$\begin{aligned} x_1 &\Leftrightarrow a_1 a_3 a_2 a_4 = s_1 \\ x_2 &\Leftrightarrow a_1 a_2 a_4 a_7 a_q = s_2 \\ &\text{-----} \\ x_n &\Leftrightarrow a_3 a_7 a_q = s_n \end{aligned} \tag{3.10}$$

Un cod este o aplicație bijectivă, respectiv corespondența biunivocă între elementele mulțimilor X și S . Codificarea uniformă presupune că toate secvențele de cod au aceeași lungime, respectiv un număr constant de simboluri. Problema de bază a codificării uniforme este dimensionarea cuvintelor de cod, astfel încât pentru o anumită lungime n și un anumit număr de simboluri elementare Q să se poată crea un repertoriu de cuvinte de cod $s_i \in S$, suficient pentru a asigura corespondența tuturor simbolurilor $x_i \in X$. Pentru a stabili numărul N de secvențe distincte de lungime n ce se pot crea din Q simboluri elementare, un simbol putând apărea într-o secvență de i ori, se aplică formula combinărilor cu repetiție:

$$N = Q^n \tag{3.11}$$

Trebuie ca $N \geq P$, unde P reprezintă numărul de obiecte dintr-o clasă care sunt supuse codificării, de exemplu numărul de detalii topografice (geografice) ale SIG. După valoarea lui Q rezultă și denumirea codificării ($Q = 2$ – binară, $Q = 3$ – ternară, $Q = 10$ – zecimală etc.). Condițiile unei bune codificări sunt neambiguitatea; să fie adaptată la condițiile pentru care a fost creată; să permită extensii și inserții; cuvintele de cod să fie concise, să nu fie lungite inutil.

După tipurile de codificări, utilizatorul poate alege una sau mai multe, în funcție de scopul propus. Codificarea secvențială se alege pentru aplicații reduse, cu număr mic de detalii și date SIG. Această codificare permite extensii, dar nu permite inserții. Codificarea pe loturi constă în aceea că unei mulțimi de obiecte SIG care aparțin unei clase i se asociază un lot de coduri. Codificarea permite și inserții și extensii. În codificarea partajată secvența de coduri se împarte în zone, fiecare zonă având o semnificație aparte. Codificarea erarhizată este pe nivele ca în cazul codificării partajate, dar nivelele sunt în relații de subordonare (vezi clasificarea arborescentă). Codificarea mnemonică se folosește și ea în SIG, dar fără extindere (ex. de mnemonice – SITOPPO, SIGAT etc.).

Și în cazul codificării se pot aplica formulele cantității de informație, entropiei, redundanței. În formula cantității de informație H se vede că aceasta este maximă când probabilitățile sunt egale. Redundanța este maximă pentru valoarea maximă a entropiei. Se obține în acest caz o codificare cu redundanță scăzută.

Valorile codurilor pot fi verificate cu algoritmi adecvați, prin adăugarea la codificare, respectiv refacerea la decodificare a unei cifre de control, care depinde de celelalte cifre (simboluri) ale cuvântului de cod.

În SIGAT s-au propus mai multe tipuri de codificări ale detaliilor și datelor SIG, având în vedere și legăturile cu sistemele altor țări.

Un caz aparte îl constituie codificarea binară, în care se rezervă, pentru diferite nivele ale caracteristicilor, un număr de cifre binare. Elementele clasificate se împart în $2n$ grupe, fiecare grupă în $2k$ subgrupe ($k < n$) ș.a.m.d. Este sistemul cel mai apropiat de reprezentarea în calculator a numerelor. În SIG se aplică, de exemplu, la codificarea nivelelor de gri ale pixelilor și la codificarea arborescențelor. Pe același principiu se bazează și codificarea zecimală. Avantajele sistemelor binar și zecimal de codificare sunt: extragerea ușoară a detaliilor unei grupe sau subgrupe printr-o singură sortare a articolelor; posibilitatea obținerii automate a centralizărilor de mai multe grade; posibilitatea clasificării complexe a datelor după mai multe caracteristici împletite între ele; asigurarea unei eficiențe maxime a prelucrării datelor; posibilitatea controlării datelor pentru fiecare caracteristică, prin limitarea posibilității de apariție a unui cuvânt de cod la un anumit indicator; țin seama de eventualele extinderi al unei clasificări prin introducerea cuvintelor de cod nou apărută; obținerea unei informații mai complete în comparație cu celelalte sisteme de codificare. Un dezavantaj este acela al exprimării cuvintelor de cod prin numere destul de mari, dar acest lucru este ascuns pentru utilizatorii SIG.

În cuvintele de cod pot fi regăsite părți care se referă la identificarea detaliului sau datei și părți care se referă la produsele și procesele tehnologice care aparțin SIG. Partea de identificare personalizează detaliul sau data și este, de regulă, transparentă pentru utilizator. Celelalte părți pot fi folosite la vizualizarea sau nu a unui detaliu pe anumite produse, la generalizarea detaliului într-o bază de date a unui SIG integrator etc.

3.1.2.3.2 Soluții de introducere a cuvintelor de cod

În procesul de culegere, editare și utilizare a datelor și informațiilor geografice se pot accepta mai multe soluții. Pentru surse și produse se utilizează inscripționarea acestora cu cuvinte de cod reprezentate atât numeric, cât și grafic, printr-un șir de segmente paralele de grosimi diferite. Citirea cuvântului de cod se face cu cititoare optice de semne, decodificarea realizându-se ușor cu un program special.

Pentru culegerea, editarea, prelucrarea și utilizarea datelor se folosesc meniuri grafice, reprezentate ca subdomenii ale ferestrelor de lucru pe ecranele grafice, soluție aleasă și de către autor. O variantă tot mai rar folosită este cea a utilizării meniurilor desenate, în special la culegerea datelor prin digitizare vectorială. Pentru culegerea datelor prin metode fotogrammetrice s-au realizat tastaturi cu funcții speciale. Aici se pot folosi și tastaturile obișnuite ale sistemelor de calcul, dar cu suprapunerea peste taste a unei măști cu noile funcții ale acestora.

3.1.3 Concluzii

Modelarea cartografică poate fi utilizată cu succes în modelarea SIG. Pentru o zonă a terenului care este domeniul de definiție al SIG, respectiv pentru baza de date și pentru toate produsele, analogice sau digitale, se poate determina cantitatea de informație. Această valoare poate fi folosită apoi pentru o caracterizare obiectivizată a zonei, comparativ cu alte zone sau cu evoluția sa în timp. Sunt necesare studii suplimentare pentru aplicarea metodei descrise și în generalizarea cartografică, utilizată și la realizarea hărților folosind datele SIG.

Elemente ale teoriei informației se pot folosi la adoptarea unei anumite metode de clasificare și apoi de codificare. S-a tratat întâi clasificarea, cea care precede sau intră în cadrul codificării. Codurile de identificare pot fi combinate cu codurile ce determină prelucrările la care sunt supuse datele. Soluția este de mare ajutor la organizarea sau structurarea datelor geografice pe obiecte.

3.2 Algoritm de căutare a domeniului ortogonal generalizat folosind aproximarea pe straturi a spațiului multidimensional

3.2.1 Introducere

Au fost dezvoltati algoritmi de căutare în domeniul plan (Yang, 1992; Lee și Yang, 1993). S-a arătat faptul că programele SIG nu au implementat cu predilecție funcțiile de hașurare a poligoanelor, prezente totuși în programele de cartografiere automată (Nițu C., 1992). Căutarea în domeniul plan este necesară și în implementarea unor alți algoritmi specifici sistemelor informaționale spațiale. Extinderea poate fi făcută pentru spațiul multidimensional, concepția teoretică fiind deja sugerată de către autorii de mai sus, unele soluții fiind deja utilizate în proiectarea asistată de calculator. În analogie multidimensională, problema aproximării pe straturi a spațiului nD are ca scop simplificarea algoritmului de căutare în spațiul multidimensional, având în vedere și structura de date.

Cazul cel mai general este căutarea într-un dreptunghi (dintr-un plan), care se rotește în spațiu, iar cazul mai complex este când un poligon oarecare (dintr-un plan) este rotit în spațiu. Un asemenea dreptunghi sau mai general poligon constituie o fereastră. Necesitatea folosirii ferestrei neregulate apare când distribuția datelor sau zona de interes nu au frontierele paralele cu axele (planurile) de coordonate (cazul normal din cartografie). Metoda clasică de căutare într-o asemenea fereastră este de a folosi un dreptunghi care cuprinde poligonul oarecare (testarea apartenenței unor puncte la acest dreptunghi înconjurător), care îngreunează căutarea. Algoritmul propus elimină necesitatea de folosire a unui dreptunghi acoperitor și de testare a apartenenței unui punct la un poligon, care sunt mari consumatoare de timp și de alte resurse ale calculatorului pentru un număr mare de puncte (cazul întâlnit în cartografie și SIG).

3.2.2 Fereastră neregulată de căutare

Prin fereastră neregulată de căutare se înțelege una din următoarele situații: un poligon care are toate laturile sale paralele cu axele de coordonate (figura 3.1 a); orice poligon din plan astfel ca o linie de scanare (baleiere) în poligon pe direcția axei y să intersecteze frontiera poligonului doar în două puncte (figura 3.1 b); o combinație a primelor două condiții sau cazuri, respectiv un poligon general, neregulat, unde linia de scanare intersectează frontiera poligonului în mai mult de 2 puncte, când punctele de intersecție sunt chiar vârfurile poligonului (capetele laturilor paralele cu axele de coordonate sau înclinate față de acestea, figura 3.1 c). De notat că algoritmul, rezolvând cazurile de mai sus, rezolvă și cazul căutării în ferestre ortogonale. Cazul cel mai complex este cel din figura 3.1 d. Analiza preliminară a arătat că optimizările pentru soluțiile ce implică valori multiple ale abscisei x pentru o linie de baleiere pe ordonata y (cu excepția cazurilor definite mai sus), pot să nu fie mai bune decât cele ale algoritmilor convenționali din geometria computațională. Concepția algoritmului se bazează mai întâi pe optimizările posibile de secvența codificării pe șiruri (în șir, după indici) și bazate pe faptul că se dorește să se construiască o suprastructură de date, pe lângă structura existentă. Din analiză a rezultat că ordonarea ca șir cu folosirea unei structuri tabel (listă) de date, trebuie să preceadă folosirea ferestrelor de căutare care au goluri sau sărituri pe liniile de scanare. Este necesar ca atunci când căutarea urmărește o linie de scanare fereastra de scanare să fie continuă peste linia de scanare, dacă nu este întreținută o structură (dacă nu sunt întreținute niște structuri) de date care să păstreze urma săriturilor (care ar distruge golul reprezentării).

3.2.3 Descrierea generală a algoritmului

În descrierea algoritmului se dorește a se începe cu cazul din figura 3.1 a, unde laturile sunt paralele cu axele de coordonate, se trece la cazul general din figura 3.1 c, unde laturile pot fi sau nu paralele cu axele. Motivul pentru această abordare este de a se permite să se vadă cum crește în complexitate concepția de căutare pe măsură ce definirea ferestrei variază de la un poligon cu laturi paralele cu axele până la un poligon general de căutare.

Schema de căutare împarte căutarea în două ramuri de laturi conectate (figura 3.2). Partea *ramura_din_dreapta* constă din vârfurile V_2, V_3, \dots, V_h ; unde h este indicele pentru vârful cu codul cel mai mare din șir dintre vârfurile poligonului (acesta se determină prin căutarea valorii maxime y luând în considerație abscisele x ale punctelor). Partea *ramura_din_stânga* constă din vârfurile $V_{h+1}, V_{h+2}, \dots, V_m, V_1$, unde m este numărul total de vârfuri ale poligonului. Se reține de program, în două tablouri sau în două variabile simple de identificare, situațiile laturilor poligonului, de la începutul și până la sfârșitul căutării. Variabilele simple de identificare fac să se cunoască de către program ce laturi curente sunt incluse în cele două ramuri. Variabila *ramura_din_dreapta_var* memorează vârfurile *coadă* și *cap* ale laturii curente din *ramura_din_dreapta*, pe când *ramura_din_stânga_var* memorează vârfurile curente din *ramura_din_stânga*. La începutul căutării, *ramura_din_dreapta_var* ia valorile coordonatelor vârfurilor $[V_2, V_3]$, iar *ramura_din_stânga_var* pe cele ale vârfurilor $[V_1, V_m]$.

Sunt calculate codurile LE și HE și informația omoloagă inițială (stratul inițial din fereastra n -dimensională). Strategia de căutare constă în găsirea tuturor punctelor de pe linia de scanare între latura din stânga și latura din dreapta curente ale ferestrei de căutare.

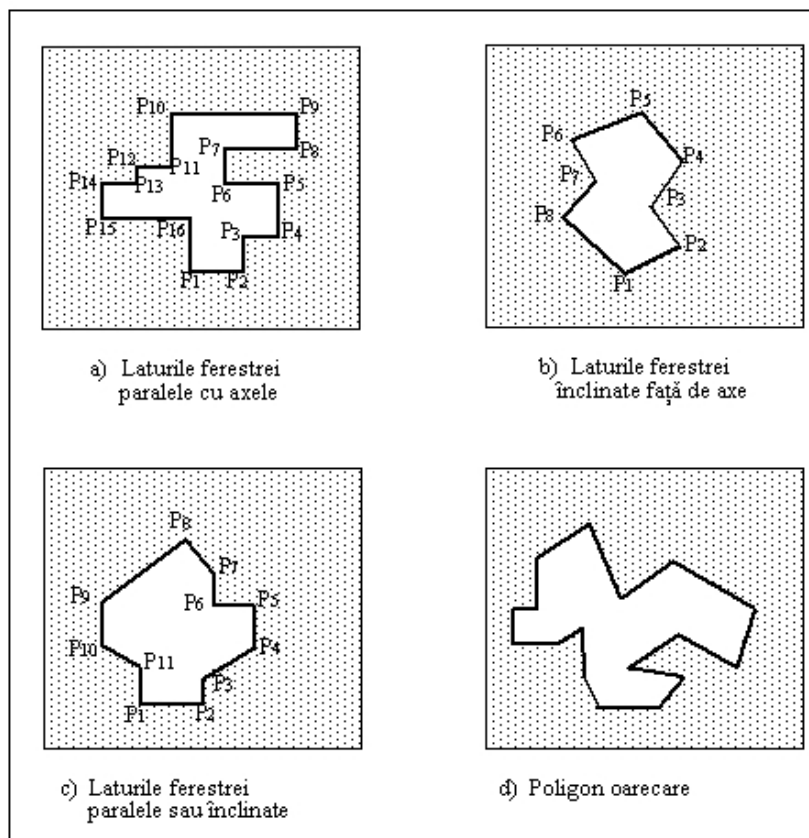


Fig. 3.1 Fereastra generalizată de căutare

Latura din stânga constituie punctele de intrare în fereastra de căutare, care pentru o fereastră de căutare complet populată corespunde locului geometric al punctelor de deplasare pe direcția y. Latura din dreapta (sau *ramura_din_dreapta*) conține punctele extreme din

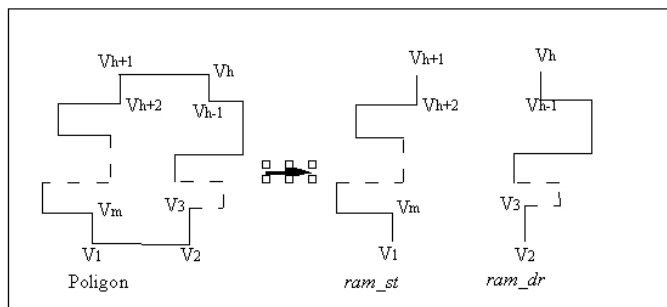


Fig. 3.2 Fereastra de căutare - ramura_din_stanga și ramura_din_dreapta

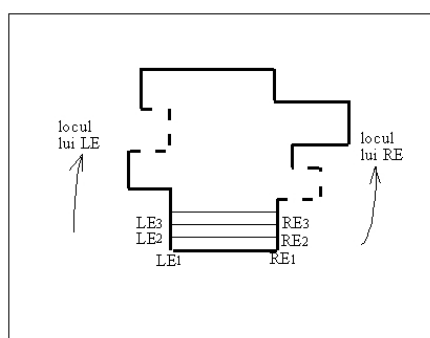


Fig. 3.3 Zonele punctelor LE și RE

dreapta (RE) ale ferestrei de căutare (figura 3.3).

Căutarea începe cu o accesare directă la punctul LE sau de la punctul cel mai apropiat (DP) de el (dacă LE nu este găsit în lista de puncte). Punctul accesat este luat în considerație dacă indicele din șir este mai mic sau egal cu cel al lui LE, este accesat secvențial punctul următor și este repetat recursiv (iterativ) testul de includere între cele două puncte extreme ale liniei de scanare, până când este găsit un punct (OUT) în afara segmentului definit de cele două puncte (aceasta dacă ordinea din șir este mai mare decât a lui RE, punctul din dreapta de pe linia de scanare). În testul descris, un punct ce este în afară (OUT) nu înseamnă că acesta nu este în fereastra de căutare, ci doar pentru linia curentă de scanare. Dacă un punct este mai mare decât RE, atunci se caută următorul punct LE (sau punctul dinainte FP) și punctul corespunzător RE. Următorul punct dinainte este în stratul curent dacă codul (indicele) lui DP este mai mic decât al omologului HE, caz în care este folosită funcția *fwdpnt1* pentru a calcula FP, în caz contrar, este folosită funcția *fwdpnt2* pentru a calcula FP într-un nou strat, și este actualizată informația stratului. Mai jos va fi explicat și rolul variabilelor *ramura_din_dreapta_var* și *ramura_din_stanga_var*. Mai jos este scris algoritmul în pseudocod.

Algoritmul în pseudocod este următorul:

Read numar de dimensiuni, alte valori întregi **and** lista de intrare coduri (indici)

 Define poligon fereastra cautare

 Determine *ramura_din_dreapta* and *ramura_din_stanga*

Compute codurile of LE and HE

Determine Informatia Omoloaga initiala

```

Begin Range Search
  While (Input Data List != NULL && Code-LE <= Code-HE)
    Compute RE
    Access LE or Cel_mai_ apropiat DP Directly
    If (Code-LE <= Code-DP <= Code-RE) {
      Retrieve DP
      Take next DP Sequentially
    }
    Else {
      If (Code-DP < Homolog-HE) {
        Compute next FP using
        fwdpnt1 Function
      }
      Else (Code-DP >= Homolog-HE) {
        Compute next FP using
        fwdpnt2 Function
        Determine new Informatia Omoloaga
      }
    }
    Set new Code-LE = Code-FP
  EndWhile
End Range Search

```

3.2.4 Elemente de proiectare a algoritmului

Deși concepția algoritmului este luată de la cazul 2D (Lee și Agi, 1994), sunt necesare câteva precizări pentru cazul de față, privind particularitățile de proiectare. Potrivit celor trei cazuri ilustrate în figura 3.1, detaliile de proiectare variază în complexitate pentru fiecare caz. Se va analiza cazul cel mai simplu și diferențele ce duc la soluțiile cazurilor mai complicate. S-ar putea justifica această abordare prin faptul că atâta timp cât timpul de căutare (de răspuns) variază în funcție de complexitatea ferestrei de căutare și unele aplicații pot să nu necesite configurații mai complexe, este de ajuns să se dea soluția eficientă problemei de căutare a unui subdomeniu într-un domeniu spațial. Pe lângă rezolvarea completă.

3.2.4.1 Specificarea ferestrei de căutare

Datele inițiale care specifică fereastra de căutare sunt cele ale unui poligon planar și coordonatele n-dimensionale ale unui punct de maxim HE. Diferența dintre cele trei forme ale ferestrei de căutare din figura 3.1 este aceea că pe când în cazul (a) vârfurile poligonului sunt astfel definite, încât punctele vecine au una din coordonatele x și y comună, în cazul (b) nu există această caracteristică, iar cazul (c) combină primele două cazuri.

În toate cazurile fereastra de căutare este specificată explicit prin coordonatele n-dimensionale ale vârfurilor, iar în cazul 2D și prin punctarea cu locatorul pe ecranul grafic. Punctul de minim LE este determinat prin calcul căutând vârful cu valoarea cea mai mică a lui y sau se consideră identic cu P₁ de către utilizator dacă nu există vreo confuzie (vezi figura).

3.2.4.2 Testul de includere în fereastră

Se cunoaște algoritmul pentru spațiul 2D (algoritmul *punct în poligon*). Când numărul de vârfuri m este foarte mare și acolo sunt probleme cu timpul foarte mare de căutare dacă se aplică testul pentru fiecare punct accesat. În algoritmul de față se testează doar dacă

punctul este pe linia curentă de scanare și dacă se află între cele două extreme, respectiv între cele două laturi cu y constant, din dreapta sau din stânga. Este ușor să se determine valoarea RE odată ce a fost determinat punctul dinainte (figura 3.3) dacă latura ferestrei este înclinată sau paralelă cu axa de coordonate.

3.2.4.3 Determinarea punctelor dinainte (FP)

Determinarea următorului punct dinainte (FP) apare când este găsit un punct (DP) în afara segmentului din spațiul datelor. Cele două cazuri de determinare a lui FP sunt: (1) determinarea când punctul DP pentru care se face testarea (căutarea) dacă e în afara segmentului este sub punctul extrem omolog HE, utilizându-se funcția *fwdpnt1*; (2) determinarea lui FP când punctul DP este deasupra lui HE, utilizându-se funcția *fwdpnt2*

Schema pentru *fwdpnt2* rămâne aceeași ca și pentru căutarea în domeniul ortogonal. Aceasta deoarece concepția de împărțire pe straturi a spațiului de aplicare nu impune în mod necesar o schemă diferită; accesul la date de la strat la strat rămâne același ca concepție și mod de implementare.

Totuși schema pentru funcția *fwdpnt1* este alta. Pozițiile posibile ale lui DP care ar necesita calculul punctului dinainte următor în cazul ferestrei rectilinii sunt arătate în figura 3.4. Un punct OUT în afară poate fi localizat în dreapta (DP₁ sau DP_{1a}), în stânga (DP₂ sau DP_{2a}), înăuntrul (DP₃ sau DP_{3a}) sau deasupra punctului extrem omolog HE (DP₄) ale ferestrei.

DP₁ (sau DP₂) corespunde situației când DP este în dreapta (sau în stânga) ferestrei și laturile curente stângă și dreaptă nu s-au modificat, pe când DP_{1a} (sau DP_{2a}) corespunde cazului când latura din dreapta sau/și latura din stânga s-au modificat. DP₃ corespunde cazului când OUT DP este înăuntrul ferestrei, dar când nu s-au modificat laturile din dreapta și din stânga, pe când DP_{3a} este poziția echivalentă pentru cazul schimbării laturilor din stânga și din dreapta ale ferestrei de căutare. De reținut că această situație este posibilă datorită faptului că testul de includere verifică doar existența între punctele extreme LE și RE ale liniei de scanare. În schimb toate celelalte poziții presupun calculul punctului dinainte în stratul curent, DP₄ care corespunde când OUT DP este deasupra punctului extrem omolog HE, duce la calculul lui FP în alt strat (de reținut că acest lucru e posibil chiar când DP₄ este în alt strat). Pentru a rezolva problema ambelor cazuri privind poziția lui OUT DP, fereastra de căutare este împărțită în două ramuri: *ramura_din_dreapta* și *ramura_din_stanga*. Într-o variabilă se păstrează pentru fiecare ramură un indicator al ramurii active, cea dreaptă sau cea stângă. Variabilele sunt denumite *ramura_din_dreapta_var* sau *ramura_din_stanga_var* și sunt inițializate înaintea începerii căutării. Pe când calculul lui FP după întâlnirea situației DP₁ sau DP₂ sau DP₃ nu necesită actualizarea variabilelor indicator, în schimb pentru DP_{1a} sau DP_{2a} sau DP_{3a} este necesară actualizarea informației referitoare la laturi. Apoi este calculat FP, atribuind ordonatei y valoarea $Y_{DP} + 1$, în cazul punctelor DP₁ sau DP_{1a}, respectiv Y_{DP} , în cazul punctelor DP₂, DP_{2a}, sau DP_{3a}. În toate cazurile abscisei x a lui FP i se atribuie valoarea abscisei x a laturii curente (sau actualizate). Toate celelalte coordonate ale lui FP au aceleași valori ca și pentru stratul curent (sau pentru noul strat în cazul lui DP₄). Un alt aspect care e luat în considerație ca detaliu la stabilirea algoritmului este de a se reține dacă actualizarea laturilor (informației despre laturi) depinde de forma ferestrei. Acest fapt este ilustrat în figura 3.5. Condițiile care determină actualizarea informațiilor referitoare la laturi sunt următoarele: Pentru *ramura_din_dreapta*, se actualizează informația indicator la (1) ($Y_{DP} = Y_{rtop} - 1$) if ($X_{DP} > X_{rtop}$ and $X_{rtop} < X_{rtop} + 1$); unde $rtop$ este vârful de

capăt al ferestrei curente din dreapta, ce rezultă din *ramura_din_dreapta_var*. Un exemplu al acestei situații este ilustrat de DP1 în figura 3.5 a. Vârful de capăt al laturii ce include DP1 este P3, și forma ferestrei de căutare arată că următoarea latură verticală [P4, P5] se ramifică spre dreapta făcând ca abscisa x a primei laturi (de ieșire) să fie mai mică decât abscisa x a celei de a doua laturi (care intră). Pentru aceasta, căutarea la nivelul lui Y_{top} trebuie să înceapă cu o nouă latură. (2) Pe de altă parte, *ramura_din_dreapta_var* este actualizată cu valoarea ($Y_{DP} = Y_{rtop}$) if ($X_{DP} > X_{rtop}$ and $X_{rtop} > X_{rtop} + 1$), așa cum se exemplifică prin DP3 în figura 3.5 a, și, if ($X_{DP} < X_{rtop}$ and $X_{rtop} < X_{rtop} + 1$), așa cum se exemplifică prin DP1 în figura 3.5 b. (3) Variabilei *ramura_din_dreapta_var* i se atribuie valoarea ($Y_{DP} > Y_{rtop}$) if ($X_{DP} < X_{rtop}$ and $X_{rtop} > X_{rtop} + 1$), ca pentru DP3 din figura 3.5 b.

Pentru *ramura_din_stanga*, se atribuie valoarea la (1) ($Y_{DP} = Y_{ltop} - 1$) if ($X_{DP} > X_{rtop}$ and $X_{ltop} > X_{ltop} + 1$); unde $ltop$ este vârful de capăt al laturii curente din stânga dat în *ramura_din_stanga_var*.

Acest caz este ilustrat de punctul DP2 în figura 3.5 a. (2) Variabila *ramura_din_stanga_var* ia valoarea ($Y_{DP} = Y_{top}$) if ($X_{DP} > X_{rtop}$ and $X_{ltop} < X_{ltop} + 1$), exemplificat prin punctul DP4 în figura 3.5 a, sau if ($X_{DP} < X_{rtop}$ and $X_{ltop} > X_{ltop} + 1$) exemplificat prin DP2 în figura 3.5 b. (3) Actualizarea variabilei *ramura_din_stanga_var* e făcută cu ($Y_{DP} > Y_{ltop}$) if ($X_{DP} < X_{rtop}$ and $X_{ltop} < X_{ltop} + 1$), exemplificată prin punctul DP4 în figura 3.5 b.

Pentru cel de al doilea caz al formei ferestrei de căutare (figura 3.1 b), trebuie făcute câteva modificări algoritmului de mai sus pentru calcularea punctului dinainte următor. Pe

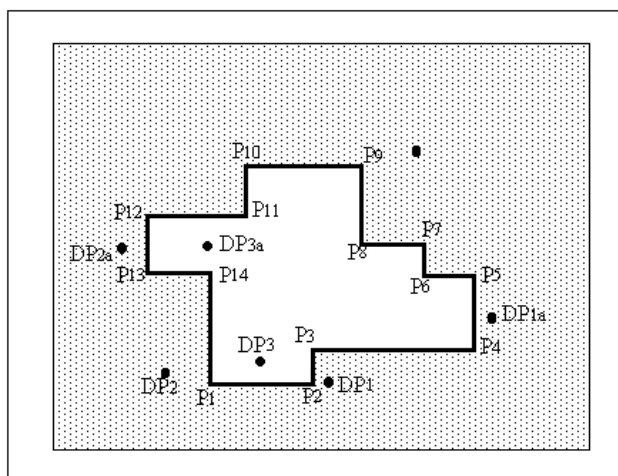


Fig. 3.4 Determinarea punctului FP – pozițiile lui Dpout

când încă menținem variabilele *ramura_din_dreapta*, *ramura_din_dreapta_var*, *ramura_din_stanga* și *ramura_din_stanga_var*, laturile nu mai sunt verticale și P1 (punctul inferior) și P5 (punctul superior) sunt acum comune ambelor ramuri (figura 3.6).

Când s-a găsit un punct în afară, precum DP1 sau DP2, este determinat următorul punct LE ca intersecția dintre latura activă din stânga și linia următoare de scanare și RE ca intersecție a laturii active din dreapta și aceeași linie de scanare (cazul lui DP2). Pe măsură ce este găsit un punct în afară, următorul LE este determinat ca o intersecție a liniei curente active din stânga, recte RE a liniei active curente din dreapta cu linia de scanare. Informația

referitoare la laturi este actualizată pentru ambele ramuri, din stânga și din dreapta, pe măsură ce este găsit un punct exterior (OUT) care este în afara laturilor din stânga și din dreapta (vezi DP3 sau DP4).

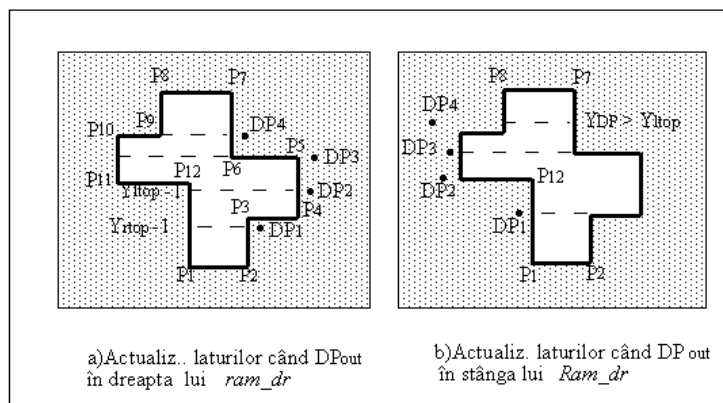


Fig. 3.5 Actualizarea informației referitoare la laturi

Pentru a integra primele două cazuri descrise mai sus într-o singură fereastră de căutare ca cea din cazul c, trebuie introduse condițiile ce folosesc valorile absciselor x ale vârfurilor capete ale fiecărei laturi, pentru *ramura_din_dreapta*, și respectiv *ramura_din_stânga*, pentru a păstra urma unde o latură este înclinată sau rectilinie. De exemplu (figura 3.7), dacă latura din dreapta (sau din stânga) are aceeași abscisă pentru punctele de capăt, atunci latura e verticală și calculul e simplu pentru RE (sau LE) când

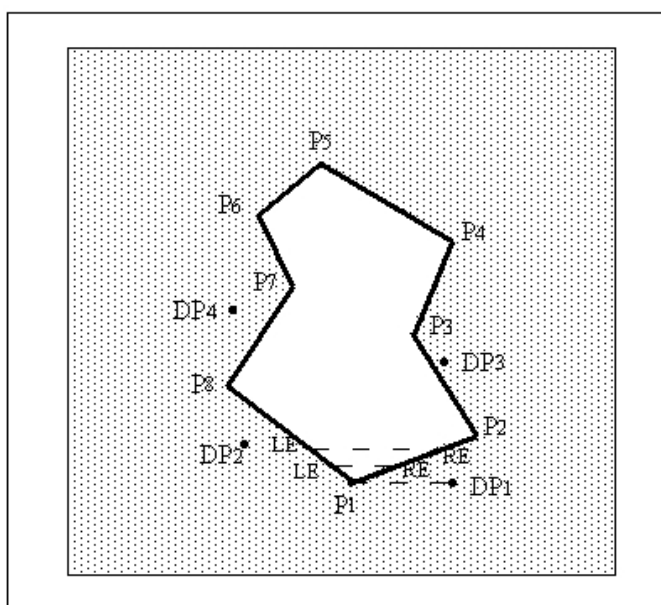


Fig. 3.6 Calculul lui FP și RE în fereastra cu laturi înclinate

căutarea se face în domeniul acestei laturi (vezi între P3 și P4 sau între P12 și P11). Pe de altă parte, dacă latura are abscise diferite pentru capete, se folosește intersecția liniei de scanare cu linia înclinată.

3.2.5 Performanța în 2D

Timpul de prelucrare preliminară este $O(N \log N)$ și de memorare este $O(N)$. Timpul pentru determinarea punctelor dinaintea FP (sau LE) și a corespondențelor lor RE este

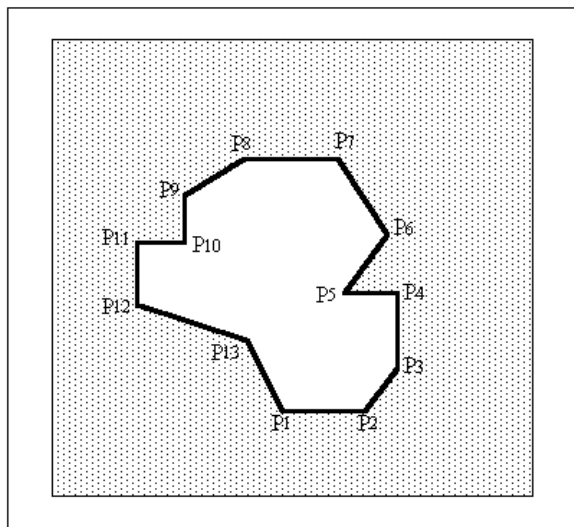


Fig. 3.7 Calculul lui FP și RE în fereastra integrată

$O(2Y_{range})$, iar timpul de regăsire a punctelor LE sau a punctelor celor mai vecine este $O(Y_{range} \log N)$. Timpul de realizare a testului de incluziune (apartenență) a devenit nesemnificativ pentru soluția adoptată, reducându-se la comparații simple pentru a deduce dacă DP este între LE și RE. Alt factor care ar putea fi semnificativ, dependent de numărul de vârfuri ale poligonului, este timpul de actualizare a informației referitoare la laturi. Și aici sunt făcute comparații pentru a verifica dacă ordonata y a punctului DP este în afară (OUT), este mai mare decât ordonata y a capătului curent al laturii din dreapta sau din stânga. Acesta este un timp constant

care se înmulțește cu numărul de laturi ale ferestrei de căutare. Dacă sunt e laturi ale ferestrei, atunci timpul de actualizare a informațiilor referitoare la laturi este proporțional cu $O(e)$. De aceea timpul total de căutare pentru o fereastră din spațiul 2D este dat de relația (3.12)

$$\text{Timp de căutare} = O(I + e + 2Y_{range} + Y_{range} \log N) \quad (3.12)$$

unde I este numărul de puncte găsite în fereastra de căutare.

Cel mai defavorabil caz al acestui timp de căutare este când fiecare factor al relației este maxim. Cazul cel mai defavorabil este când fiecare dintre factorii relației este maxim. Variabilele I , Y_{range} și N au valori maxime când spațiul datelor este complet populat, iar e este maxim când informația referitoare la laturi trebuie actualizată pentru fiecare unitate de creștere a ordonatei y (adică pe fiecare linie de scanare ce cade în fereastra de căutare). În acest caz I este “suprafața” (sau suma punctelor de rezoluție ale fiecărei linii de scanare limitată de fereastra de căutare), N este produsul numerelor de coordonate x și y , iar e este egal cu dublul numărului de valori Y_{range} (figura 3.8). Ca atare există relația:

$$\text{Timp de căutare} = O(I + 4Y_{range} + Y_{range} \log(XY)) \quad (3.13)$$

La desenarea automată a semnelor convenționale areale se va descrie programul întocmit pe baza algoritmului descris mai sus.

3.2.5.1 Performanțe în spațiul nD

Deoarece s-a arătat că neregularitatea și numărul de laturi ale ferestrei nu influențează determinarea stratului următor, atunci când se termină căutarea în stratul curent, este suficient să se înmulțească timpul de căutare pentru spațiul 2D cu timpul consumat pentru determinarea

stratului ca în algoritmul de căutare ortogonală, pentru a obține timpul de căutare pentru cazul nD. Acest timp este dat de relația :

$$\text{Timp de căutare} = O(n^2 m(I + e + 2Y_{range} + Y_{range} \log N)) \quad (3.14)$$

unde n = numărul de dimensiuni, m = numărul de straturi (dat de produsul de șiruri de ferestre de la 3D la nD).

Pentru cazul cel mai dezavantajos, relația devine:

$$\begin{aligned} \text{Timp de căutare} &= O(n^2 m(I + 4Y_{range} + Y_{range} \log N)) \\ &= O(n^2 \sum_{i=3}^n Y_{range} (I + 4Y_{range} + Y_{range} \log(\sum_{i=0}^n i_{max}))) \\ &= O(n^2 \sum_{i=0}^n i_{range} (I + \frac{4}{X_{range}} + \frac{\log(\sum_{i=0}^n i_{max})}{X_{range}})) \end{aligned} \quad (3.15)$$

Atâta timp cât se consideră că valoarea constantei n^2 este mai mică decât produsul indicilor, se poate spune că rezultatul înmulțirii lui n^2 pentru n indici va tinde către produsul celor n indici; iar termenul $4/X_{range}$ este neglijabil. Ca atare, relația (3.15) poate fi scrisă ca:

$$\text{Timpul de căutare} = O(r(I + \log N/X_{range})) \quad (3.16)$$

unde r este produsul tuturor indicilor n ai ferestrei de căutare, N este produsul celor n numere, iar I este “suprafața” secțiunii transversale 2D a ferestrei reduse la un plan.

3.2.6 Concluzii

Algoritmul poate fi aplicat pentru ferestre cu laturi paralele cu axele sau înclinate, permițând găsirea punctelor din spațiul nD ce aparțin sau nu ferestrei (după cum se vede din termenii r și I ai relației 5). Căutarea “sare” peste segmentele vide ale spațiului (segmentul cu punctele de capăt confundate), prin acces direct la următorul punct dinaintea din fereastră, când s-a găsit un punct din cele testate că este în afara ferestrei. Algoritmul poate fi utilizat în mod deosebit în structurile de date definite în sistemul de coordonate nD ale SIG.

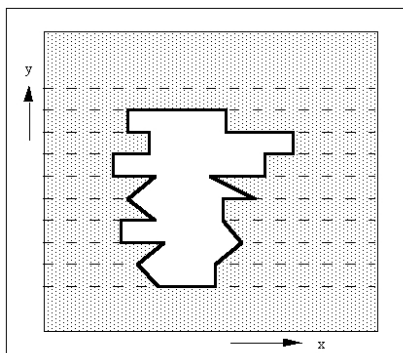


Fig. 3.8 Cazul cel mai dezavantajos de configurație a laturilor

Autorul va prezenta și subprogramul de generare a semnelor convenționale areale la realizarea produselor SIG (hărților), care utilizează căutarea în spațiul 2D, folosind ca definiție a conturului poligonal coordonatele a N puncte X_{range} și Y_{range} .

3.3 Precizia datelor și produselor SIG

3.3.1 Importanța preciziei datelor și produselor SIG

Până în ultimii trei ani s-a acordat o mai mică importanță preciziei datelor SIG. Se știe că datele conțin erori sistematice sau aleatoare, dar nu s-a accentuat asupra felului cum procedurile și soluțiile SIG țin seama de aceste erori. O bună tratare a acestei probleme permite alegerea celor mai bune surse de date, alegerea celor mai corecte metode de culegere a datelor și alegerea celor mai corecte proceduri de prelucrare și de realizare a produselor finale. Dacă nu se ține seama de problemele de mai sus, multe proiecte SIG pot fi întrerupte. Se știe că în SIG sunt concatenate multe date discrete, de diferite tipuri, cele mai importante fiind datele de poziție, deoarece la ele sunt referite toate celelalte tipuri de date.

3.3.2 Câteva definiții de bază

Precizia se referă aici la gradul în care datele SIG iau valori acceptabile față de valorile lor adevărate și caracterizează calitatea datelor, considerând valorile datelor ca având numai valori aleatoare, dar controlabile. Nu este omisă nici abordarea corectării datelor de eventualele erori sistematice. Având în vedere tipurile diverse de date și de proceduri de culegere, validare și prelucrare, se poate arăta că: (a) datele au măsuri și metode diferite de apreciere a preciziei; (b) nivelul necesar de precizie specific diferitelor tipuri de aplicații variază mult; (c) precizia datelor este legată strict de metodele de culegere, de aparatura folosită, de sursele de date, de procedurile de prelucrare etc.; (d) ca urmare a celor de mai sus, precizia datelor depinde și de costurile SIG și invers.

Calitatea datelor, în care intră și datele referitoare la precizie se arată în mod explicit și în documentația ce însoțește o bază de date SIG, respectiv prin metadata.

3.3.3 Tipuri de erori

Cu toate că datele de poziție au cea mai mare importanță în SIG, cele de mai jos se vor referi la toate tipurile de date întâlnite într-un proiect SIG.

3.3.3.1 Precizia pozițională

Precizia pozițională este diferită pentru datele culese prin metode geodezice, fotogrammetrice, topografice, cartografice etc. Dar în final, datele de poziție reunite (concatenate) nu vor avea precizia mai mare decât cea a datelor de cea mai slabă precizie. Sursa cea mai comună de date pentru SIG este harta topografică. În instrucțiunile de realizare a hărților se fac referiri la precizia pozițională a detaliilor reprezentate pe aceste hărți. Astfel, pentru hărțile topografice la scările 1:10 000 – 1:1 000 000, precizia detaliilor este de 0,4 mm la scara hărții, cu un nivel de încredere $\alpha=0,05$ (probabilitatea de 0,95). Se poate concluziona că precizia depinde de scară, valoarea de mai sus reprezentând de exemplu 9 m în coordonate reale pentru scara 1:25 000. În S.U.A., standardele de precizie prevăd valorile de precizie a poziției orizontale la scara hărții de 1/30 inch (respectiv 0,86 mm) pentru hărțile topografice la scara 1:20 000 și mai mare, iar pentru scările mai mici de 1:20 000 de 1/50 inch (respectiv 0,5 mm), pentru un nivel de încredere $\alpha=0,10$ (probabilitatea de 0,90) (vezi anexa F). Cele de mai

sus trebuie avute în vedere la toate tipurile de detalii – punctuale, liniare sau areale. Precizia de mai sus este asigurată când la digitizare se folosesc originalele de editare pe film.

Trebuie arătat aici că operațiunile de mărire sau micșorare pe ecran (efectul de lupă “zoom in” și “zoom out”) nu modifică precizia datelor. Mărirea imaginii dă o impresie falsă a îmbunătățirii preciziei datelor.

3.3.3.2 Precizia atributelor sau datelor tematice

Și datele nespațiale referite la cele poziționale sunt caracterizate de indicatori de precizie care pot varia în limite foarte largi, având în vedere eterogenitatea acestor date. Fenomenele sunt descrise în detaliu de date cât mai precise. Preciziile datelor de mai sus pun probleme deosebite.

3.3.3.3 Precizia conceptuală

SIG depinde de abstractizarea și clasificarea fenomenelor lumii reale. Utilizatorii determină ce volum de informații este folosit și cum este clasificat în diferite categorii. Uneori se folosesc categorii inadecvate sau informații greșit clasificate. De exemplu, clasificând localitățile după numărul persoanelor cu drept de vot nu se pot trage concluzii cu privire la natalitate și mortalitate sau clasificând liniile electrice doar după voltaj se limitează eficiența SIG la managementul infrastructurii utilităților electrice. Chiar dacă sunt folosite categorii corecte, acestea pot fi de neutilizat pentru o anumită problemă.

3.3.3.4 Precizia logică

Precizia logică se referă la precizia datelor logice stocate în SIG. Datele stocate “logic” pot fi folosite inadecvat. De exemplu, poate fi dată aprobarea de construcție a unui cvartal într-o margine a unei localități, fără a se analiza harta (planul) cu tipurile de sol sau cu deplasările posibile ale scoarței terestre. Sistemele SIG nu decid în locul utilizatorului și nu-l ajută cu nimic dacă analiza datelor este inadecvată sau dacă datele sunt imprecise sau incorecte. Câteva reguli de folosire pot fi introduse în SIG, care este proiectat astfel ca un “sistem expert”, dar realizatorii SIG trebuie să se asigure că regulile folosite corespund caracteristicilor lumii reale pe care ei o modelează.

Este o greșeală să se creadă că fiecare aplicație SIG are nevoie de date de înaltă precizie. Necesitățile de precizie variază radical în funcție de tipul de date și de rezoluțiile necesare ale datelor pentru o anumită aplicație. Precizia crescută excesiv nu numai că duce la mărirea costurilor, dar poate da detalieri care nu sunt necesare.

3.3.4 Surse de erori

Doar puține surse de erori pot fi identificate chiar de procedurile SIG. Cade în sarcina utilizatorului folosirea unor date neeronate. o atenție aparte trebuie acordată verificării preciziei datelor, deoarece procedurile SIG îl pot conduce pe utilizator într-o direcție falsă a aprecierii preciziei. De exemplu, procedura de netezire a curbilor (smooth) duce la reprezentări elegante, dar incorecte. De fapt, unele detalii reprezentate astfel sunt “vagi, graduale sau fuzzy” (Burrough, 1986). Și așa există un anumit grad de imprecizie în cartografie, începând cu relațiile matematice și deformările diferitelor proiecții cartografice și continuând cu procesul de culegere și reprezentare a datelor în SIG.

Sursele de erori pot fi împărțite în trei grupe: (a) surse obișnuite de erori; (b) erori rezultate din variații naturale sau din măsurătorile originale; (c) erori datorită prelucrării. De

regulă, erorile din primele două grupe sunt mai ușor de detectat decât cele ce apar prin procesare, care pot fi subtile și greu de identificat.

3.3.4.1 Surse obișnuite de erori

3.3.4.1.1 Vechimea datelor

Sursele de date, în afară de teren, pot avea un anumit grad de vechime, dată de modificările ce au avut loc asupra lumii reale de la data creerii acestor posibile surse. Unele sisteme chiar necesită date cu diferite rezoluții temporale pentru studiul variației în timp a unor fenomene și pentru eventuale prognoze. Pentru majoritatea sistemelor sunt necesare cele mai noi date, culese de pe hărțile de ultimă ediție și completate cu date obținute pe cale aerofotogrammetrică sau cu ajutorul sateliților artificiali ai pământului (de teledetecție). Vechimea datelor de pe aceste ultime înregistrări este dată de data realizării imaginilor.

Trebuie avut în vedere faptul că unele hărți tematice s-au realizat după realizarea hărților topografice de o anumită ediție și gradul de precizie a datelor tematice nu este arătat nicăieri, așa cum este arătat pentru hărțile topografice.

3.3.4.1.2 Acoperirea areală

Datele corespunzătoare unui domeniu areal pot lipsi complet sau sunt disponibile doar anumite straturi de date. De exemplu, hărțile tematice pentru vegetație și pentru soluri pot fi incomplete în zonele de frontieră și pentru unele perioade de tranziție și în momentul de față nu mai reprezintă fidel realitatea. O acoperire uniformă este imposibil de obținut pentru toate tipurile de date și utilizatorul trebuie să decidă ce nivel de generalizare este necesar sau dacă mai este necesară culegerea folosind și alte surse de date.

3.3.4.1.3 Scara geoimaginii sursă

Geoimaginile au o anumită scară, de care depind gradul de detaliere și precizia datelor. Scara restrânge tipul, cantitatea și calitatea (aici înrând și precizia) datelor SIG (Nițu, C., Nițu, C.D. 1992a și 1992b). Trebuie alese geoimaginile sursă de scări care să asigure caracteristicile de rezoluție și precizie corespunzătoare celor mai pretențioase aplicații ale SIG (anexa F(a,b)). Mărirea unei hărți la scară mică nu duce la îmbunătățirea indicatorilor de precizie sau la mărirea gradului de detaliere, așa cum consideră unii utilizatori de formație diferită de cea geodezică.

3.3.4.1.4 Densitatea observațiilor

Rezoluțiile specifice datelor și complexitatea detaliilor dintr-o anumită zonă geografică determină numărul de observații pe unitatea de suprafață sau densitatea observațiilor. Aceasta trebuie inclusă în metadate și trebuie cunoscută de către utilizator. Analiza geografică necesită date de rezoluții specificate. De exemplu, realizarea hărților cu izolinii (izohipse, izobare, izoterme, izocline etc.), cu o anumită echidistanță, necesită o anumită densitate a punctelor dispuse neregulat cu valori $z=f(x,y)$ cunoscute, o rezoluție spațială plană a punctelor cu valori z dispuse într-o grilă regulată etc.

3.3.4.1.5 Relevanța datelor

Adesea nu se pot obține anumite date asupra unei zone și în locul acestora se utilizează date obținute indirect, respectiv date de înlocuire. Între datele de înlocuire și fenomenul ce trebuie analizat trebuie să existe o anumită relație. În statistică sunt multe exemple de determinare indirectă a unor mărimi necunoscând prea multe date, ci doar unele eșantioane dintr-o populație, concluziile extrapolându-se la întreaga populație.

De asemenea, alt exemplu este cel de urmărire a stadiilor succesive ale culturilor, care se poate face prin urmărire directă la teren sau prin date de teledetecție. Tot prin teledetecție se pot analiza pentru o zonă tipurile de soluri, probabilitatea de eroziune etc.

Relevanța datelor este acea caracteristică ce exprimă că o mulțime de date corespunde cu un anumit nivel de încredere (de regulă cuprins între 0,05 și 0,10) scopului în care sunt utilizate. Și această valoare trebuie specificată în metadate.

3.3.4.2 Erori rezultate din variația naturală sau din măsurătorile originale

Sursele acestor erori pot fi cele obișnuite, cunoscute din literatura de specialitate, sau unele ce urmează a se determina. Nu vor fi descrise decât acele tipuri pentru care au fost identificate procedurile de culegere și validare a datelor tratate în prezenta lucrare.

3.3.4.2.1 Precizia pozițională

Precizia pozițională este măsura varianței poziției detaliilor față de poziția lor reală. Aceasta depinde de tipul datelor folosite sau măsurate. Precizia caracterizează punctele rezultate din discretizarea detaliilor punctuale, liniare și areale. Indicatorii de precizie sunt prevăzuți în metadate și sunt stabiliți pe baza metodelor statistice pentru un nivel de încredere dat (de regulă $\alpha=0,05$), pentru metoda cea mai imprecisă de determinare a poziției. Unele detalii, în special cele reprezentate pe hărțile topografice au un nivel mai mare de precizie (anexa F(a, b, c)). Unele detalii tematice, precum zonele climatice, zonele corespunzătoare tipurilor de sol etc. sunt cu frontiere interpretabile

3.3.4.2.2 Precizia conținutului

Precizia conținutului se referă la atribuirea corectă a codurilor de identificare în urma aplicării unei clasificări la conversia datelor în formă numerică (la digitizarea vectorială a hărților, la interpretarea asistată de calculator a imaginilor etc.). Anumite detalii pot fi de asemenea omise la această conversie. Alte erori privind precizia cantitativă pot fi prezente datorită necalibrării instrumentelor de măsurare pentru mărimi precum altitudinea de zbor, *pH*-ul solului sau atmosferei, conținutului în gaze a atmosferei etc. Unele erori sau greșeli de acest tip rezultate în laboratoare sau în teren sunt nedetectabile.

O măsură a preciziei de identificare este coeficientul Kappa (K) al lui Cohen. Pentru o zonă dată, se construiește o matrice de $n \times n$ elemente, n fiind numărul de tipuri de detalii ale SIG. Pe coloane se reprezintă tipurile de detalii ale clasificării reale, iar pe linii tipurile de detalii din baza de date. Dacă cele două tipuri de clasificări coincid, matricea va avea termeni diferiți de 0 numai pe diagonala principală, o valoare fiind egală cu numărul de apariții ale elementului cu un cod dat. În afara diagonalei principale, un termen r_{ij} al matricei R arată de câte ori a fost interpretat eronat detaliul i ca un detaliu j . Coeficientul K se determină cu formula:

$$K=(d-q)/(N-q) \quad (3.17)$$

unde d este suma elementelor de pe diagonala principală sau numărul de clasificări corecte:

$$d=\sum_i r_{ii}, i=1,n \quad (3.18)$$

N este suma tuturor elementelor matricei sau numărul total de clasificări, iar q este determinat cu relația:

$$q = (\sum_i r_{i,j+1} \cdot r_{i+1,j}) / N, \quad i=1, n, \quad j=i \quad (3.19)$$

unde $r_{i,j+1}$ este suma elementelor liniei i , iar $r_{i+1,j}$ este suma elementelor de pe coloana j . Când există numai clasificări corecte valoarea coeficientului este egală cu 1. În anexa F(e) este arătat un exemplu de clasificare incorectă a unor detalii și este calculat coeficientul K . În cazul dat valoarea obținută este $K=0,66$. Cu cât K este mai apropiat de 1, cu atât clasificarea este mai precisă.

3.3.4.2.3 Surse ale variației în date

Variațiile în date apar datorită erorilor de măsurare ale metodei, celor specifice operatorului și datorită necalibrării sau calibrării inadecvate a instrumentelor de măsură. De exemplu un scanner fotogrammetric are o rezoluție radiometrică mai mare decât un scanner cartografic și ca atare și o precizie mai mare. Precizia fiecărui scanner poate fi alterată după o perioadă mare de utilizare și datorită necalibrării corecte. De remarcat că vânzătorii de scanere nu furnizează și programele de calibrare. Un alt exemplu se poate da pentru datele tematice. O calibrare incorectă a instrumentului de măsurare a oxigenului dizolvat în apă va duce la date incorecte privind concentrația de oxigen în apele unui lac, unui râu sau ale unui golf.

Poate exista și o variație naturală în valorile datelor (în datele) culese. De exemplu, salinitatea apelor unui golf sau ale unui estuar variază în cursul unui an și depinde de aflusul de apă din fluvii și râuri și de evaporare. Dacă nu se ține seama de aceste variații naturale se pot trage concluzii greșite și se pot lua decizii eronate, respectiv să se introducă erori în SIG. În orice caz, dacă erorile nu duc la rezultate neașteptate, detectarea lor poate fi extrem de dificilă.

3.3.4.3 Erori ce apar prin procesare

Erorile datorită procesării sunt cele mai greu de detectat de utilizatorii SIG, trebuie căutate cu metode specifice și necesită cunoștințe suplimentare. Sunt erori subtile care apar în moduri diferite și pot apare în structuri multiple de date gestionate în SIG.

3.3.4.3.1 Erori numerice

Calculatoarele diferite pot să nu aibe aceeași capacitate de realizare a operațiilor matematice complexe și se pot obține diferențe semnificative ale rezultatelor aceluiași algoritm. Testarea se poate face în mod simplu prin ridicări succesive la pătrat, apoi prin extragerea succesivă a rădăcinii pătrate, când ar trebui să se ajungă la numărul de la care s-a plecat.

Altă sursă de erori poate fi chiar defecțiunile calculatorului, respectiv ale cipului de bază al acestuia. Un asemenea caz a apărut la o serie de calculatoare Pentium (tm) ale firmei Intel.

O altă sursă de erori este cea legată de conversia analog-digital (A-D), Deoarece calculatoarele trebuie să manipuleze datele în format digital, erorile numerice în procesare pot conduce la rezultate imprecise. În orice caz, erorile numerice de procesare se detectează greu și presupun o anumită sofisticare care nu e prezentă la utilizatorii SIG de formație negeodezică.

3.3.4.3.2 Erori în analiza topologică

Erorile logice pot duce la manipulări incorecte ale datelor și la analize topologice incorecte (Nițu, C., Nițu, C.D. 1992a). Se recunoaște că datele sunt eterogene și sunt susceptibile de variații. Suprapunerea straturilor poate duce la probleme ca poligoane așchie (pană), neracordări, goluri etc. Variația preciziei straturilor diferite poate fi ascunsă pe timpul prelucrării, ducând la crearea de “date virtuale care pot fi greu de detectat din datele reale” (Sample, 1994). În anexele F și C sunt arătate câteva cazuri ce duc la eronarea datelor și a produselor derivate din date (Nițu, C., Nițu, C.D., 1992a și 1992b).

3.3.4.3.3 Problemele clasificării și generalizării

Pentru mintea umană, pentru a înțelege marele volum de date, acestea trebuie clasificate și în unele cazuri generalizate. Chiar clasificarea este o etapă a generalizării. Referiri la clasificarea în SIG sunt prezentate în acest capitol. Cazul ideal presupune șapte subclase ale unei clase, pentru a fi memorate de om pe termen scurt. Datele sunt manipulate și afișate mai ușor în mici grupe de date. Clasificarea și generalizarea atributelor sau datelor tematice ale SIG duc la erori de interpolare și pot introduce neregularități în date care pot fi detectate greu. O măsură a corectitudinii clasificării este calculul coeficientului Kappa. Aprecierea generalizării poate fi făcută, așa cum s-a arătat, cu metode ale analizei informaționale.

3.3.4.3.4 Erori de digitizare și geocodare

Erorile de prelucrare, erorile surselor și ale metodelor de culegere apar în procesul de culegere și validare a datelor, respectiv digitizare cartografică, exploatare fotogrammetrică la aparatele clasice, analitice și digitale, la geocodare etc., la suprapunerea straturilor la intersectările obiectelor liniare, la intersectările conturilor obiectelor areale, vectorizarea datelor raster, rasterizarea datelor vectoriale etc. Erorile datorate operatorului pot duce la apariția unor curburi suplimentare, înotări, noduri, bucle etc. (anexele C, D, F). Erorile surselor (geoimaginilor) sunt tratate pe larg în disciplinele de specialitate.

Un caz aparte este problema georeferențierii, întâlnită la aducerea coordonatelor geoimaginilor în sistemul de coordonate al proiecției cartografice, respectiv în coordonatele bazei de date a SIG. Pentru transformare se pot folosi diferite funcții de aproximare, printre care cele ale rototranslației, transformărilor afină și proiectivă etc. Acestea sunt cazuri particulare ale funcțiilor polinomiale de forma:

$$\begin{aligned} X &= a_{00} + a_{10}x + a_{01}y + a_{20}x^2 + a_{11}xy + a_{30}x^3 + a_{21}x^2y + a_{12}xy^2 + a_{03}y^3 + \dots \\ Y &= b_{00} + b_{10}x + b_{01}y + b_{20}x^2 + b_{11}xy + b_{30}x^3 + b_{21}x^2y + b_{12}xy^2 + b_{03}y^3 + \dots \end{aligned} \quad (3.20)$$

folosite pentru transformarea coordonatelor x și y în coordonate X și Y . Poate fi studiată influența numărului de termeni ai transformării, numărului de puncte cu coordonate cunoscute în ambele sisteme și a dispunerii acestor puncte asupra coordonatelor finale transformate. Pot fi acceptate și alte transformări în afară de cele polinomiale, dar cele polinomiale sunt uzuale.

$$AU_{kl} + L^0 + A_p U_{k'l'} + \Delta = V \quad (3.21)$$

Se acceptă că transformarea este descrisă de modelul statistic unde A este matricea coeficienților a_{ij} și b_{ij} , x_i și y_i sunt coordonatele spațiului geoimagine, $i=1, \dots, n$ (n este numărul de puncte cu coordonate în ambele sisteme), $j=1, \dots, m$ (m este numărul termenilor polinoamelor), U_{kl} este matricea valorilor celor mai probabile ale coeficienților polinoamelor, iar expresia:

$$L = L^0 + A_p U_{k'l'} + \Delta \quad (3.22)$$

este vectorul valorilor măsurate, respectiv ale coordonatelor din spațiul imagine, produsul din mijlocul membrului al doilea fiind vectorul datorat termenilor neglijăți ai polinoamelor, Δ este vectorul valorilor adevărate ale datelor inițiale, L^0 conține valorile vectorului L cu condiția

$$A_p U_{k'l'} + \Delta = 0 \quad (3.23)$$

vectorul V erorile reziduale după transformare.

Minimizarea produsului $V^T V$ duce la

$$V_{kl} = -(A^T A)^{-1} A^T (L^0 + A_p U_{k'l'} + \Delta) \quad (3.24)$$

Plecând de la această expresie, distorsiile vectorului U_{kl} sub influența vectorilor Δ și $(A_p U_{kl})$ sunt date de relațiile

$$\delta U_1 = -(A^T A)^{-1} (A^T \Delta) \quad (3.25)$$

$$\delta U_2 = -(A^T A)^{-1} (A^T A_p U_{k'l'})$$

Ultimii doi vectori permit construirea modelului de predicție a preciziei de aproximare. Elementele vectorului distorsiilor ΔU_l sunt caracterizate de matricea de covarianță K_u , care are expresia

$$K_v = \mu^2 \begin{bmatrix} Q_{\xi_{11}} & \frac{1}{c} Q_{\xi_{12}} & \dots & \frac{1}{c^{(k_1+l_1)}} Q_{\xi_{1m}} \\ \frac{1}{c^2} Q_{\xi_{22}} & \dots & \frac{1}{c^{(k_m+k_2)(l_m+l_2)}} Q_{\xi_{2m}} & \\ & \dots & \dots & \\ & & \frac{1}{c^{2(k_m+l_m)}} Q_{\xi_{mm}} \end{bmatrix} \quad (3.26)$$

unde:

μ - eroarea medie patratică a unității de pondere;

$Q_{\xi ij}$ - elementele matricei $Q_{\xi} = (A_{\xi}^T A_{\xi})^{-1}$

$$a_{\xi_{ij}} = \xi_i^{kj} \eta_i^{lj}, \xi_i = \frac{x_i}{|c|}, \eta_i = \frac{y_i}{|c|} \quad (3.27)$$

A_{ξ} - matricea cu elementele (3.27)

C în modul este valoarea maximă a diferenței absciselor (ordonatelor) pentru zona dată.

După aproximare, vectorul δU_l duce la erorile reziduale V_{ll} , ce sunt caracterizate de matricea de covarianță K_v , scrisă matricial ca

$$K_v = \mu^2 (A_{\xi} Q_{\xi} A_{\xi}^T) \quad (3.28)$$

Deoarece formulele de transformare reprezintă polinoame cu termenii la diferite puteri, apare matricea de corelație între elementele vectorului corecțiilor V_l . În acest caz, un rol important pentru predicție îl are matricea de varianță - covarianță Q_{ξ} a erorilor reziduale pentru termenii separați ai polinomului de aproximare, pentru punctele $|x| = |y| = c$, x și y măsurându-se față de centrul de greutate al punctelor de reper.

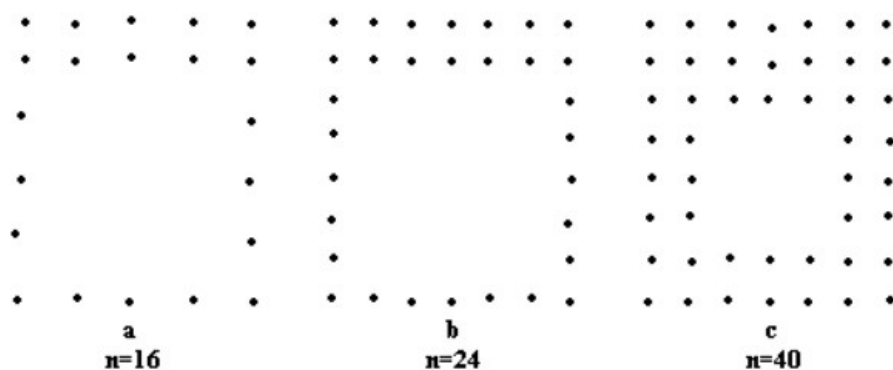


Fig.3.9 Trei scheme de dispunere a n puncte de orientare

Atunci, valoarea dispersiei erorii reziduale pentru acest punct este

$$D_{v_i} = \mu^2 \sum_{i=1}^m \sum_{j=1}^n (Q_{\xi})_{ij} \quad (3.29)$$

Se pot folosi relațiile de mai sus pentru un număr diferit de puncte de orientare dispuse în moduri diverse (scheme ale punctelor). Este posibil a se determina: (a) valoarea dispersiei erorii reziduale cu o precizie dată de determinare a termenilor de diferite grade ale polinomului (“aportul” fiecărui termen); (b) schema optimă de dispunere a punctelor în spațiul imagine pentru un tip dat de polinom.

Se vor da în continuare valorile matricei Q_{ξ} pentru polinoamele de gradul al treilea și pentru schemele punctelor de reper din figura 3.9. În tabelul 3.5 sunt date valorile matricei Q_{ξ} pentru cele 3 cazuri și valorile dispersiei.

Se poate stabili și un model al predicției pentru influența termenilor neluați în considerație ai celor două polinoame asupra rezultatelor transformării. Dacă se consideră vectorul δU_2 ca o funcție de termenii neconsiderați ai polinomului pentru punctul cel mai depărtat, de coordonate $x=y=|c|$, adică pe marginea zonei.

În acest caz,

$$\begin{aligned} \delta U_2 &= G_u \delta_{k'l'} \\ G_u &= -(A^T A)^{-1} (A^T A p_{\xi}) \\ \delta_{k'l'} &= (\delta_1 \quad \delta_2 \quad \dots \quad \delta_p)^T \end{aligned} \quad (3.30)$$

unde p este numărul termenilor neconsiderați ai polinomului.

Un termen curent δ_h al vectorului este dat de relația

$$\delta_h = U_{k'l'(h)} c^{(k'h'l'h)} \quad (3.31)$$

$A_{p\xi}$ este matricea cu toți vectorii δ_h , cu termenii

$$a_{p_{\xi}(ih)} = \xi_i^{k'h'+l_h'} \quad (3.32)$$

Erorile reziduale V_2 cauzate de δU_2 sunt date de relațiile

$$\begin{aligned} V_2 &= (A_{p_{\xi}} - G) \delta_{k'l'} \\ G &= A_{\xi} (A_{\xi}^T A_{\xi})^{-1} (A_{\xi}^T A_{p_{\xi}}) \end{aligned} \quad (3.33)$$

Cum elementele matricelor A_{ξ} și $A_{p\xi}$ sunt funcții de coordonatele punctelor imagine, elementele matricelor G și $(A_{p\xi}-G)$ pot fi determinate aprioric, pentru numere diferite de puncte dispuse după diferite scheme. Aici elementele matricei $(A_{p\xi}-G)$ arată ce influențe ale termenilor de ordinul h ai polinomului rămân în punctele de reper (de control sau de orientare) după transformare.

Tabelul 3.5 Valorile matricei Q_{ξ} și ale dispersiei pentru cele 3 scheme

A_0	A_1x	A_2y	A_3x^2	A_4xy	A_5y^2	A_6x^3	A_7x^2y	A_8xy^2	A_9y^3
Schema a (n=16)									
0,90	0	0	-0,61	0	-0,61	0	0	0	0
0	1,57	0	0	0	0	-2,27	0	-0,67	0,01
0	0	2,57	0	0	0	0	-0,67	0	-2,27
-0,61	0	0	0,56	0	0,33	0	0	0	0
0	0	0	0	0,17	0	0	0	0	0
-0,61	0	0	0,33	0	0,56	0	0	0	0
0	2,27	0	0	0	0	2,21	0	0,37	0
0	0	-0,67	0	0	0	0	0,57	0	0,37
0	-0,67	0	0	0	0	0,37	0	0,57	0
0	0	-2,27	0	0	0	0	0,37	0	2,23
$D_y=0,9\mu^2$									
Schema b (n=24)									
0,70	0	0	-0,50	0	-0,50	0	0	0	0
0	1,91	0	0	0	0	-1,69	0	-0,62	0
0	0	1,92	0	0	0	0	-0,62	0	-1,69
-0,50	0	0	0,46	0	0,29	0	0	0	0
0	0	0	0	0,13	0	0	0	0	0
-0,50	0	0,29	0	0	0,44	0	0	0	0
0	-1,69	0	0	0	0	1,61	0	0,40	0
0	0	-0,62	0	0	0	0	0,47	0	0,40
0	-0,62	0	0	0	0	0,40	0	0,48	0
0	0	-1,690	0	0	0	0	0,40	0	1,62
$D_y=0,7\mu^2$									
Schema b (n=40)									
0,15	0	0	-0,12	0	-0,12	0	0	0	0
0	0,49	0	0	0	0	-0,47	0	-0,17	0
0	0	0,49	0	0	0	0	-0,17	0	-0,47
-0,12	0	0	0,19	0	0,05	0	0	0	0
0	0	0	0	0,10	0	0	0	0	0
-0,12	0	0	0,05	0	0,19	0	0	0	0
0	-0,47	0	0	0	0	0,56	0	0,03	0
0	0	-0,17	0	0	0	0	0,33	0	0,03
0	-0,17	0	0	0	0	0,03	0	0,32	0
0	0	-0,47	0	0	0	0	0,03	0	0,57
$D_y=0,6\mu^2$									

Ca atare, chiar cu valori încă necunoscute ale elementelor vectorului δ , folosind compararea valorilor termenilor matricei $(A_{p\xi}-G)$ pentru diferite scheme de dispunere a punctelor de reper și pentru grade diferite ale polinoamelor de transformare se pot determina:

- schema optimă de dispunere a punctelor de reper pentru un grad dat al polinomului;
- gradul optim al polinomului pentru o proiecție cartografică dată;
- valoarea așteptată a lui V_2 pentru o schemă de dispunere dată a punctelor și pentru un grad dat al polinomului.

Analiza structurii matricelor G_U și G arată că baza acestui model de predicție este găsirea matricei $G_{u\xi}$, cu relația

$$G_{U\xi} = (A_\xi^T A_\xi)^{-1} (A_\xi^T A_{p_\xi}) \quad (3.34)$$

Elementele matricei $G_{u\xi}$ dau posibilitatea analizei modului cum fiecare termen al polinomului reduce influența termenilor neconsiderați de puteri mai mari ale coordonatelor x și y . Pentru fiecare punct se poate determina mărimea

$$G_{U\xi(jh)_i} = G_{U\xi(jh)} \xi_i^{k_j} \eta_i^{l_j} \quad (3.35)$$

Considerând formulele polinoamelor de transformare de gradul IV, aplicând doar polinoamele de gradul III, înseamnă că se neglijează termenii cu suma exponenților lui x și y egală cu 4. În acest caz, valorile termenilor matricei $G_{u\xi}$ sunt date în tabelul 3.6.

Tabelul 3.6 Valorile termenilor matricei $G_{u\xi}$ pentru termenii neconsiderați

Pentru schemele a și b						Pentru schema c					
$G_{u\xi}$	xy^3	x^2y^2	x^3y	x^4	y^4	$G_{u\xi}$	xy^3	x^2y^2	x^3y	x^4	y^4
	0	-0,99	0	-0,05	-0,05		0	-0,37	0	-0,20	-0,20
	0	0	0	0	0		0	0	0	0	0
	0	0	0	0	0		0	0	0	0	0
	0	1,00	0	1,07	-0,03		0	0,58	0	1,13	0,07
	0,83	0	0,83	0	0		0,78	0	0,78	0	0
	0	1,00	0	-0,08	1,07		0	0,58	0	0,07	1,13
	0	0	0	0	0		0	0	0	0	0
	0	0	0	0	0		0	0	0	0	0
	0	0	0	0	0		0	0	0	0	0
	0	0	0	0	0		0	0	0	0	0
Σ	0,83	1,01	0,83	0,94	0,99	Σ	0,78	0,79	0,78	1,00	1,00

Cele de mai sus demonstrează posibilitatea estimării preciziei transformărilor polinomiale aplicate pentru registrația și georeferențierea imaginilor, prin imagini înțelegând atât imaginile digitale ale fotogramelor, cât și pe cele ale hărților, reprezentate în acest ultim caz prin date vectoriale sau prin date raster.

Soluția aplicată mai sus poate fi extinsă și la alte proceduri cartografice și fotogrammetrice digitale, ca de exemplu la orientarea interioară, orientarea relativă și orientarea absolută.

3.4 Prelucrarea imaginilor

Prelucrarea imaginilor digitale trebuie analizată separat, fiind calea actuală modernă de culegere a datelor SIG. În cele ce urmează se va face o apreciere generală a prelucrării imaginilor și se va accentua pe detectarea limitelor, problemă principală a fotogrammetriei digitale și a vizualizării asistate de calculator.

3.4.1 Operațiuni de prelucrare

Operațiunile radiometrice presupun modificarea contrastului sau a rezoluției radiometrice. Se pot realiza operațiuni aritmetice, îmbunătățirea contrastului, filtrări, operațiuni logice, transformări liniare și logaritmice etc. Operațiunile se fac asupra unei imagini distincte (prelucrare punctuală), pixel cu pixel, cu formula generală:

$$O(x,y)=M[I(x,y)] \quad (3.36)$$

unde $I(x,y)$ este imaginea inițială, $O(x,y)$ este imaginea transformată, iar M este operatorul de prelucrare.

Pentru operațiunile de filtrare se folosesc matrici de filtrare sau măști. Valorile unei matrice (kernel) sunt specifice fiecărui filtru. De exemplu, filtrele trece-sus și trece-jos prin convoluții implică deplasări în sus, în jos și laterale ale valorilor pixelilor, însumări, multiplicări, scăderi ale geoimaginilor rezultate prin deplasare etc. Spre exemplificare, sistemul PERICOLOR al firmei MATRA conține o bibliotecă 3x3, 15x15 etc.

Prelucrarea punctuală se poate face și asupra a două imagini, cu relația:

$$O(x,y)=I_1(x,y)\&I_2(x,y) \quad (3.37)$$

unde $\&$ reprezintă operațiunea logică (AND, OR, XOR, NON etc. sau combinații ale acestora) sau operațiunea aritmetică. Prin operațiunile de mai sus se pot suprapune două imagini (anexa D(b(5))), se poate înlocui o porțiune dintr-o imagine cu alta etc.

Operațiunile geometrice au ca scop transformarea poziției fiecărui pixel, transformarea urmărind suprapunerea a două imagini (registrația), aducerea unei imagini în sistemul hărții sau în sistemul geodezic de coordonate (georeferențiere) etc.

Corelarea a două imagini permite să se caute într-o imagine un obiect format dintr-un grup de pixeli ce corespunde altui obiect aflat pe imaginea inițială, prin definirea unei ferestre de corelație (până la 51x51 pixeli), fereastră ce are centrul în obiectul caracteristic din imaginea de referință.

Operațiunile morfologice le completează pe cele de mai sus, transformând imaginile inițiale în imagini cu forme conturate mai clar, folosind relațiile de conexiune sau vecinătate a unui pixel (vecinătate cuadrică, octoedrică etc.). Exemple de operațiuni morfologice sunt dilatarea (mărima suprafeței unei zone de pixeli), eroziunea (micșorarea suprafeței), scheletizarea (înlocuirea unei benzi de pixeli de aceeași valoare cu axa benzii) etc. În capitolul al IV-lea se vor testa și operațiunile morfologice.

Operațiunile de comprimare și decomprimare a imaginilor fac obiectul altor discipline de specialitate.

3.4.2 Detectarea limitelor

Au fost dezvoltate multe detectoare sau filtre pentru detectarea limitelor sau frontierelor. Aplicații importante sunt în fotogrammetria digitală, la orientarea relativă pentru formarea modelului (conexarea imaginilor), extragerea detaliilor și analiza texturii. Dintre detectoarele cunoscute se amintesc Roberts, Prewitt, Sobel, Kirsch, Laplacianul Gaussian (LoG) etc. Analiza eficacității filtrelor se poate face prin aplicarea lor la imagini sintetice și la imagini normale.

Detectarea limitei este esențială atât în vederea umană, cât și în vizualizarea cu calculatorul. Nu se fac referiri la celelalte filtre aplicate pentru alte transformări radiometrice ale unei imagini. Problema principală aici este detectarea pixelilor dintre două areale de densități diferite, unirea acestora în segmente de dreaptă sau de curbă oarecare și apoi gruparea fragmentelor rezultate.

Filtrele detectoare de limite pot fi direcționale și nedirecționale. Filtrele direcționale iau în considerare modificarea intensității (densității optice) într-o direcție specificată (orizontală sau verticală). Cele nedirecționale iau în considerație variația în orice direcție (de exemplu LoG). În continuare sunt analizate câteva filtre.

Filtrul Roberts utilizează operatorul Roberts, operator care folosește valorile maxime ale derivatelor de ordinul al II-lea ale funcției imagine pe două direcții perpendiculare.

Operatorul Roberts este definit de relațiile:

$$\begin{aligned} D_+ \{ (x,y) \} &= f(x+\Delta x, y+\Delta y) - f(x,y) \\ D_- \{ (x,y) \} &= f(x, y+\Delta y) - f(x+\Delta x, y) \end{aligned} \quad (3.38)$$

Cele două relații corespund aplicării măștilor:

$$D_+ = \begin{bmatrix} 0 & 1 \\ -1 & 0 \end{bmatrix} \quad D_- = \begin{bmatrix} 1 & 0 \\ 0 & -1 \end{bmatrix} \quad (3.39)$$

Filtrul Prewitt folosește operatorul cu același nume și transformă imaginile pentru derivatele parțiale ale lui x și y cu măștile:

$$P_x = \begin{bmatrix} 1 & 1 & 1 \\ 0 & 0 & 0 \\ -1 & -1 & -1 \end{bmatrix} \quad P_y = \begin{bmatrix} -1 & 0 & 1 \\ -1 & 0 & 1 \\ -1 & 0 & 1 \end{bmatrix} \quad (3.40)$$

Filtrul Sobel folosește operatorul Sobel, bazat tot pe calculul derivatelor de ordinul al II-lea. *Operatorul Sobel* folosește măștile:

$$S_x = \begin{bmatrix} 1 & 2 & 1 \\ 0 & 0 & 0 \\ -1 & -2 & -1 \end{bmatrix} \quad S_y = \begin{bmatrix} 1 & 0 & -1 \\ 2 & 0 & -2 \\ 1 & 0 & -1 \end{bmatrix} \quad (3.41)$$

Laplacianul Gaussian (LoG) sau laplacianul generalizat se bazează pe aplatizarea gaussiană a imaginii (dubla diferențiere a curbei lui Gauss), urmată de aplicarea operatorului Laplace. Transformările formează convoluția

$$V^2 g(x,y) = \left(\frac{1}{W^4} \right) \left[1 - \frac{x^2 + y^2}{2\sigma^2} \right] e^{-\frac{x^2 + y^2}{2\sigma^2}} \quad (3.42)$$

De notat că fereastra $g(x,y)$ poate fi de dimensiuni variabile. O extindere importantă a operatorului variază cu σ . Scara operatorului e controlată de termenul constant $(1/W^4)$. Forma filtrului LoG este dată în figura 3.10. Așa cum se vede în figură, W este diametrul cercului interior definit de intersecția cu planul zero a lui LoG, respectiv

$$W = 2\sqrt{2}\sigma \quad (3.43)$$

Filtrul Kirsch transformă imaginile în 8 direcții folosind măștile:

$$\begin{aligned} K_1 &= \begin{bmatrix} -3 & -3 & 5 \\ -3 & 0 & 5 \\ -3 & -3 & 5 \end{bmatrix} & K_2 &= \begin{bmatrix} -3 & 5 & 5 \\ -3 & 0 & 5 \\ -3 & -3 & -3 \end{bmatrix} & K_3 &= \begin{bmatrix} 5 & 5 & 5 \\ -3 & 0 & -3 \\ -3 & -3 & -3 \end{bmatrix} & K_4 &= \begin{bmatrix} 5 & 5 & -3 \\ 5 & 0 & -3 \\ -3 & -3 & -3 \end{bmatrix} \\ K_5 &= \begin{bmatrix} 5 & -3 & -3 \\ 5 & 0 & -3 \\ 5 & -3 & -3 \end{bmatrix} & K_6 &= \begin{bmatrix} -3 & -3 & -3 \\ 5 & 0 & -3 \\ 5 & 5 & -3 \end{bmatrix} & K_7 &= \begin{bmatrix} -3 & -3 & -3 \\ -3 & 0 & -3 \\ 5 & 5 & 5 \end{bmatrix} & K_8 &= \begin{bmatrix} -3 & -3 & -3 \\ -3 & 0 & 5 \\ -3 & 5 & 5 \end{bmatrix} \end{aligned} \quad (3.44)$$

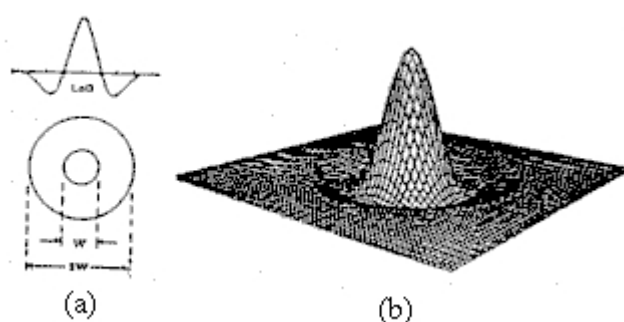


Fig. 3.10 Funcția LoG – a) vedere 2D și b) vedere 3D

Pentru compararea filtrelor detectoare de limite testele au fost făcute cu procedurile existente în pachetele de programe Erdas Image și IDRISI. Au fost folosite imagini sintetice și imagini fotogrammetrice de 512x512 pixeli, codificate pe 8 biți. Imaginile sintetice sunt compuse din dreptunghiuri (patrate) și cercuri cu densitate optică constantă, uniform variabilă sau neuniform variabilă în interior, cu limite clare și subțiri. Imaginea fotografică corespunde unei zone rurale, cu clădiri, drumuri, copaci etc. Aici limitele detaliilor sunt variabile (anexa D(b(1))).

Criteriile de performanță la compararea unor filtre sunt (Canny, 1986): detectare corectă; localizare corectă; un singur răspuns la o singură limită. În anexa D(b(2)) sunt date rezultatele detectării limitelor pentru cele 5 filtre, pentru imaginea sintetică. Din figură se poate vedea că pentru filtrul LoG unghiurile drepte nu se respectă (rotunjirea colțurilor). Lățimea liniilor rezultate este formată dintr-un număr mic de pixeli, conform rezoluției imaginii. Cea mai mică lățime a liniilor se obține cu filtrul Roberts. Experiențele se pot face și după rotirea unei porțiuni a imaginii sintetice inițiale cu diferite unghiuri (15, 30, 45°) în sensul acelor de ceas. Anexa D(b(3)) prezintă imaginile limitelor detectate pentru cele cinci filtre alese. Și aici se pot observa linii ce nu apar datorită lățimii mici în pixeli. Și aici cele mai bune rezultate se obțin tot cu filtrul Roberts. Pentru imaginea fotografică normală, înaintea aplicării filtrelor pentru detectarea limitelor se aplică alte proceduri de prelucrare a imaginilor. Rezultatele aplicării celor cinci filtre pentru imaginea fotografică sunt arătate în anexa D(b(4)). Verificarea corectitudinii determinării limitelor (continuitatea și precizia localizării) se poate face prin combinarea imaginii cu limite rezultată cu imaginea inițială. Anexa D(b(5)) arată modul de suprapunere a imaginii rezultate cu imaginea inițială. Imaginile din anexa

D(b(5)) au fost transformate pentru o mai bună reprezentare, astfel încât pixelii cu culoarea apropiată de alb să corespundă limitelor obiectelor. Cea mai mare parte a zgomotului rămas poate fi eliminată prin alegerea unei anumite valori de prag sau automat prin determinarea unor valori statistice rezultate din analiza histogramei întregii imagini.

Față de imaginea sintetică, efectul de urmă difuză din imaginea fotografică se datorează distorsiei obiectivului, refracției atmosferice etc. Efectul duce la o densitate optică complexă a imaginii. Detectarea limitelor devine dificilă în acest caz.

3.5 Concluzii

Cele de mai sus nu au epuizat toate problemele bazei matematice a procedurilor SIG. Multe din acestea vor mai fi încă prezentate în celelalte capitole, în special cele specifice procedurilor cartografice și fotogrammetrice folosite la culegerea și validarea datelor geografice și la realizarea unor produse din aceste date.

Modelarea cartografică și modelarea fotogrammetrică, apărute înaintea modelării SIG, poate fi utilizată cu succes în modelarea SIG. Pentru o zonă a terenului care este domeniul de definiție al SIG, respectiv pentru baza de date și pentru toate produsele, analogice sau digitale, se poate determina cantitatea de informație. Această valoare poate fi folosită apoi pentru o caracterizare obiectivizată a zonei, comparativ cu alte zone sau cu evoluția sa în timp. Sunt necesare studii suplimentare pentru aplicarea metodei descrise și în generalizarea cartografică, utilizată și la realizarea hărților folosind datele SIG. Elemente ale teoriei informației se pot folosi la adoptarea unei anumite metode de clasificare și apoi de codificare. S-a tratat întâi clasificarea, cea care precede sau intră în cadrul codificării. Codurile de identificare pot fi combinate cu codurile ce determină prelucrările la care sunt supuse datele. Soluția este de mare ajutor la organizarea sau structurarea datelor geografice pe obiecte, în clase, subclase și superclase.

Algoritmii de căutare spațială au un rol deosebit în extragerea datelor din bazele de date pentru folosirea acestora la realizarea unor produse SIG. Căutarea după alte caracteristici este tratată îndeajuns în literatura specifică gestiunii bazelor de date. Algoritmul propus poate fi aplicat pentru ferestre cu laturi paralele cu axele sau înclinate, permițând găsirea punctelor din spațiul nD ce aparțin sau nu ferestrei. Autorul va prezenta și subprogramul de generare a semnelor convenționale areale la realizarea produselor SIG (hărților), care utilizează căutarea în spațiul $2D$, folosind ca definiție a conturului poligonal coordonatele a N puncte X_{range} și Y_{range} .

Soluția de analiză a formulelor polinomiale de transformare permite alegerea gradului optim al celor două polinoame, a schemei optime de dispunere a punctelor și a numărului de puncte. Aici au fost analizate doar polinoamele de gradul al treilea și de gradul al patrulea. Tipul de analiză prezentat poate fi dezvoltat și pentru alte metode de transformare utilizate în fotogrammetrie, cartografie și SIG, ca se exemplă la orientările interioară, relativă și absolută în cazul exploatării fotogrammetrice analitice sau digitale.

Din analiza rezultatelor detectării limitelor se poate concluziona că trebuie folosite toate filtrele, în funcție de context. Pentru imaginea sintetică cele mai bune rezultate s-au obținut cu filtrul Roberts și cele mai slabe cu filtrul LoG. Pentru imaginea fotografică, cele mai bune rezultate s-au obținut cu filtrul Kirsch, iar cele mai slabe cu filtrul Roberts. Detectarea limitelor, după cum se va demonstra mai jos, are mare importanță în fotogrammetria digitală la orientarea fotogramelor, recunoașterea obiectelor și interpretarea imaginilor. Pentru fotogramele aeriene, cele mai bune rezultate se obțin cu filtrul Kirsch.

CAPITOLUL IV CULEGEREA DATELOR SIG

4.1 Generalități

Au fost descrise în capitolul I tipurile de date din cadrul SIG. Dintre aceste date, rolul primar îl au datele de poziție (CEES, 1989; Nițu, C., Nițu, C.D., 1992a, 1995). Datele teserale (raster), fie primare, fie secundare, prezintă avantaje deosebite în ceea ce privește culegerea, prelucrarea și manevrarea, dar au dezavantajul că punctul (adimensional) este extins la dimensiunea pixelului, unitate de suprafață aparținând unui singur element geografic. Modelul vectorial presupune determinări punctuale. Este unanim acceptată ideea ca în SIG să coexiste ambele tipuri de date, dar toate determinările uzuale impun existența datelor vectoriale. Aceste date pot rezulta din: determinări topografice în teren; digitizarea automatizată prin urmărirea detaliilor din teren; exploatarea analogică a înregistrărilor fotogrammetrice (aerofotograme analogice); exploatarea analitică și digitală a înregistrărilor numerice; digitizarea hărților sau ortofotohărților etc. Multe din aceste tipuri au probleme comune de rezolvat. Se remarcă faptul că la realizarea unui SIG culegerea datelor are costul cel mai ridicat, circa 70-75 % din costul întregului sistem.

4.2 Metode de culegere a datelor topogeodezice

Pentru componența spațială a SIG, cele mai importante sunt coordonatele (X, Y, Z) ale punctelor determinate. Transformarea acestor coordonate în sistemul de coordonate (B, L, H) sau (φ, λ, H) respectiv (x, y, H) , unde coordonatele (x, y) sunt în sistemul de proiecție al hărții sau în sistemul de coordonate al bazei de date

Coordonatele (X, Y, Z) pot fi privite ca un produs finit al lucrărilor topogeodezice. Metodele de obținere pot fi grupate în metode de determinare a unui singur punct și metode de determinare a punctelor unei rețele. Determinarea unui singur punct se bazează pe poziționarea relativă, fie că punctele de sprijin, cu coordonate cunoscute (față de care se face determinarea) se află pe suprafața terestră (puncte geodezice sau topografice), fie în afara suprafeței terestre, la o altitudine dată (sateliții artificiali ai Pământului, de exemplu, din sistemele GPS Navstar și GLONASS). Rețelele geodezice sau topografice asigură poziționarea reciprocă precisă a unor puncte în raport cu toate punctele învecinate, dar și între ele. În acest caz există mult mai multe măsurători decât cele strict necesare, putându-se aplica metode de prelucrare folosind principiile statisticii matematice.

Orice rețea geodezică sau topografică se prelucrează adoptând un anumit sistem de referință. Multe rețele astrono-geodezice primordiale au avut ca scop chiar determinarea sau îmbunătățirea parametrilor acestor sisteme de referință. În prezent toate rețelele geodezice existente se pot mai bine corela și aprecia prin posibilitatea determinărilor GPS.

4.2.1 Folosirea sistemelor de poziționare globală NAVSTAR sau GLONASS

Sistemul NAVSTAR GPS a fost proiectat în 1973, sub conducerea Departamentului Apărării al S.U.A. Un asemenea sistem este format din trei segmente: spațial (sateliții dotați

cu ceasuri de mare stabilitate, reglate într-un sistem unitar de timp, ce emit semnale speciale, inclusiv momentele de timp și pozițiile acestor sateliți); segmentul de control (stație centrală care recepționează și prelucreează secunde de la mai multe stații de urmărire și rezultatele prelucrării sunt retransmise sateliților prin stații de legătură); segmentul utilizatorilor militari sau civili (măsurarea pseudodistanței folosind diverse receptoare, fixe sau mobile, în cod C/A, în cod P etc.). În funcție de metodele de măsurare și prelucrare poziționarea poate fi absolută sau relativă.

Proiectarea, efectuarea măsurărilor GPS și obținerea coordonatelor finale în scopuri topogeodezice se fac cu metode specifice, în funcție de precizia urmărită a coordonatelor finale.

Precizia determinărilor este limitată atât de numărul canalelor independente (cel puțin 4), cât și de posibilitățile de lucru în cod P (mai nou și în cod Y), cod ce garantează obținerea unei precizii radicale în cazul necriptării semnalelor emise sau obținerea preciziei necesare după 14-60 zile, în cazul criptării semnalelor.

La 2 mai 2000, orele 4.00 GMT, guvernul SUA a luat o decizie epocală privind înlăturarea disponibilității selective asupra sateliților sistemului Navstar de poziționare globală (GPS). În acest fel a fost oprită modificarea controlată a semnalelor GPS pentru comunitatea civilă. Această creștere a preciziei va permite creșterea numărului de aplicații și îmbunătățirea aplicațiilor de poziționare globală existente.

Actualmente, digitizarea și obținerea coordonatelor detaliilor geografice se poate face direct în teren. În acest caz, unele receptoare pot fi fixe, iar unele receptoare mobile. Cel puțin unul din receptoare trebuie să fie fix, pentru obținerea unei precizii corespunzătoare.

În fig. 4.1 este prezentat sistemul Digilog 2000, folosit pentru culegerea coordonatelor axelor căilor rutiere, a unor imagini preluate de acestea cu camere speciale de luat vederi și a altor date tematice referitoare la drumuri (străzi, autostrăzi, șosele etc.). Sistemul este folosit în aplicații diverse, precum actualizarea bazelor de date SIG, verificarea acestor baze de date, inventarierea condițiilor de semnalizare, a stării podurilor, suprafețelor acoperitoare, inventarierea pădurilor și drumurilor forestiere. La preluare, unei videoimagini i se asociază datele spațiale (coordoanatele videocamerei) și alte date tematice.

Videoimaginile se preiau cu mai multe camere cu rezoluție 640*480 sau de 2000*1000, în culori, pe 24 de biți. Măsurarea coordonatelor de poziție se face cu un receptor GPS montat pe aceeași mașină. Acest receptor poate pierde vizibilitatea electronică datorită unor clădiri înalte, pădurilor etc. Camerele și receptorul sunt considerate periferice ale unui calculator puternic, dotat, pe lângă sistemul de operare și programele de calcul, cu software-ul interactiv ROADVIEW IV, o aplicație scrisă pentru mediul ArcView, interfață eficientă și rapidă între sistem și utilizator. O versiune a calculatorului poate gestiona datele culese după prelucrare. Printre datele tematice care se asociază punctelor drumurilor pot fi valoarea traficului, informații privind accidentele rutiere, date de avertizare, date privind starea suprafeței acoperitoare etc. Roadview IV este disponibil pentru sistemele de operare Windows NT, Mac OS, SGI IRIX, HP-UX și DEC UNIX. Memorarea datelor se poate face pe mai multe tipuri de suporturi. Pe un disc CD-ROM, de 650 MB, se pot stoca videoimaginile și datele adiacente necesare pentru 100-180 km de drum, cu distanțele între centrele de perspectivă de 10-16 m, o videoimagine necesitând un volum de memorie de circa 50-70 kB, asigurându-se memorarea on-line. Datele pot fi transferate serverului care crează și gestionează baza de date SIG.

În fig. 4.1, la punctele 2,3 și 4 sunt arătate ferestrele specifice software-ului Roadview IV.

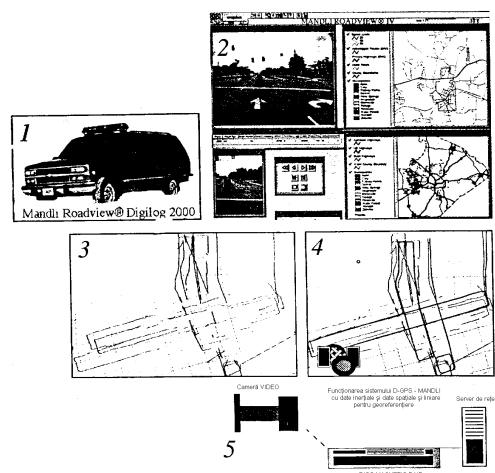


Fig.4.1 Sistemul Mandli RoadView / Digilog 2000

4.2.2 Utilizarea aparatelor topografice moderne pentru culegerea datelor

Instrumentele geodezice s-au modernizat continuu, pe baza dezvoltării microelectronicii și în special a microcalculatoarelor. Scopul modernizării este creșterea eficienței prin eliminarea unor operațiuni de rutină (pregătirea instrumentelor, citirea pe cercurile gradate, înscrierea datelor în carnetele de teren, calcule preliminare și definitive, introducerea unor coduri sau date suplimentare pentru prelucrări complexe, transferul ușor al datelor între instrument și un calculator central etc). În principiu, automatizarea culegerii datelor se face prin: eliminarea operațiunii de orizontalizare precisă, obținerea în formă digitală a valorilor măsurate; transferul direct și înregistrarea valorilor digitale, pe suport magnetic special, de tipul “carnet electronic de teren”; interschimbabil; crearea unor aparate electrice de măsurare precisă și rapidă a distanțelor; posibilitatea cuplării “carnetelor electronice de teren” la un calculator central sau dedicat pentru transferul datelor sau posibilitatea teletransmiterii datelor rezultate din măsurători; realizarea unei prelucrări preliminare chiar în punctul de stație etc.

Principiul de măsurare pentru noile telementre electronice este emisia-recepția undelor electromagnetice.

În funcție de domeniul utilizat din spectrul electromagnetic, diferă și bățile instrumentelor de măsurare și corectarea unor influențe ale factorilor perturbatori. De o importanță deosebită este corectarea influenței stării atmosferei.

Stațiile totale *modulare* (rezultate prin asanblarea prin interfețe de înregistrare pe “carnetul electronic de teren” și a unui calculator portabil specializat) sau *compacte*, asigură: punctarea unică pentru măsurări unghiulare și de distanțe; corectarea automată a măsurătorilor pentru înclinările axelor instrumentului, pentru influența refracției atmosferice; validarea măsurătorilor; calculul unor mărimi derivate în funcție de măsurătorile obținute. Firme specializate precum OPTON (Germania), AGA (Suedia), Hewlett Packard și TOPCON (SUA), SOKKIA (Japonia și Olanda) etc. construiesc stații totale în mai multe variante. Se remarcă faptul că instrumentele arătat, au metode adecvate, se pot folosi pentru măsurarea rețelelor geodezice și topografice proiectate, pentru ridicarea de detaliu sau pentru determinarea unor puncte de bază (puncte de reper) necesare ridicării prin metode fotogrammetrice (Răducanu, 1975; Turdeanu, 1997; Zăvoianu, 1987).

4.3 Culegerea datelor vectoriale prin digitizarea hărților și ortofotogramelor

Cele mai multe metode folosesc drept sursă hărțile tipărite sau originalele hărților, cele mai folosite fiind, datorită complexității, hărțile topografice (Nițu C., 1997). Cele mai simple originale sunt cele ce conțin elementele de relief și de sol. Curbele de nivel nu se intersectează între ele și, ca atare, digitizarea nu pune probleme deosebite. Nici caracteristicile asociate fiecărei curbe de nivel nu sunt numeroase ca la alte elemente, singura caracteristică fiind cota. Din punctul de vedere al prelucrărilor ulterioare, digitizarea hărților se aseamănă cu digitizarea ortofotogramelor, cu singura deosebire că la acestea din urmă este necesară și fotointerpretarea.

În cazul ortofotogramelor, pot fi făcute unele prelucrări ale imaginii, în vederea identificării foarte precise a limitelor zonelor de pixeli cu aceeași valoare.

4.3.1 Metode de digitizare

Principalele metode de digitizare utilizate în prezent și în perspectivă sunt: (1) digitizarea vectorială manuală; (2) digitizarea vectorială interactivă (asistată de calculator); (3) digitizarea raster-vectorială (R-V) manuală; (4) digitizarea raster-vectorială (R-V) semiautomată; (5) digitizarea raster-vectorială (R-V) automată (fără intervenția operatorului). Ultima metodă este mai de viitor (Nițu, C., 1995 și 1997).

La *digitizarea manuală vectorială* (Nițu, C., Nițu, C.D., 1997d) se folosesc digitizoare vectoriale interfațate cu procesoare cu funcții limitate, neinteractive. Datele sunt memorate în fișiere secvențiale. Practic, operatorul “redesenează” ipotetic harta.

Lucrul se poate solda cu omisiuni și erori. Pentru ușurința culegerii datelor se folosesc meniurile grafice instalate pe suprafața mesei de digitizare, un astfel de meniu constituind o structură raster-grosieră (Nițu, C., Nițu C.D. 1997d). Pentru o familie de hărți se pot folosi mai multe meniuri cu unele părți comune. Grila face trecerea de la o matrice la o listă liniară. Un meniu are mai multe zone, printre care zona câmpurilor cu codurile numerice și pictogramele semnelor convenționale ale elementelor, zona câmpurilor cu informațiile generale despre foaia de hartă sau ortofotograma digitizată, zona câmpurilor atributelor detaliilor, zona câmpurilor corespunzătoare comenzilor de apelare a unor proceduri de prelucrare etc.

Se remarcă faptul că digitizarea începe cu măsurarea și înregistrarea coordonatelor punctelor de bază, cărora li se cunosc și coordonatele în sistemul de proiecție al hărții, respectiv în sistemul geodezic de referință.

Digitizarea unui detaliu reprezentativ pe hartă constă în vizarea în câmpul meniu pe semnul convențional corespunzător pe baza căruia dintr-o listă dată se va extrage codul detaliului, vizarea succesivă pe câmpurile atributelor detaliului și introducerea după fiecare vizare și înregistrare a valorii atributului, vizare și înregistrarea coordonatelor unui punct, a două puncte sau a mai multor puncte care definesc clasa detaliului (punctual, liniar, areal sau inscripție etc.).

Preluarea datelor rezultate se face la o stație de editare (redactare). Digitizarea se face pe sesiuni pentru același original de hartă, aceeași foaie de hartă sau aceeași ortofotogramă.

Fiecărui meniu grilă de codificare îi corespunde în memoria asociată programului de prelucrare o listă de coduri sau comenzi (capitolul alb V-lea).

Structura listei și modul de completare cu date sunt descrise aprioric, iar popularea cu date se face cu un utilitar special.

La *digitizarea vectorială interactivă* calculatorul performant este introdus în stația de digitizare împreună cu un dispozitiv sau o tabletă, cu un locator (cursor) și un ecran grafic. Calculatorul este înzestrat cu un sistem de operare, software grafic avansat, software specializat de comandă a digitizării, de exemplu modulul ARCEDIT al pachetului de programe Arc/Info (ESRI, 1994). Ca și la digitizarea manuală, se pot folosi meniuri grafice dispuse mai ales pe ecranul grafic. În câmpurile meniurilor sunt prevăzute și comenzi pentru lucrul interactiv. La această metodă de digitizare pe ecran apare și ecoul grafic, desenându-se, de regulă, fiecare element digitizat (obiect al bazei de date). Înregistrarea datelor în structura proiectată are loc după validarea operațiunilor de digitizare pentru fiecare detaliu în parte. Datele vectoriale se înregistrează direct într-o structură superioară, coordonatele în sistemul de coordonate acceptat al bazei de date, facilitându-se accesul ușor la o dată individuală sau la un grup de date, respectiv la un obiect al bazei de date sau la un grup de obiecte, în vederea editării cartografice.

Ordinea de executare a procedurilor depinde de tipul elementelor hărții (ortofotohărții), de performanțele programelor suport de digitizare existente (ESRI, 1994b; Matra, 1997; Nițu C., 1992 și 1997).

Pentru eliminarea eventualelor greșeli ale operatorului, sistemul este prevăzut cu proceduri complexe de acces și editare grafică. Reprezentarea pe ecran (ecoul grafic) se face cu semnele convenționale și inscripțiile hărții sursă sau alte semne convenționale și fonturi prestabilite. În pachetele de programe există și programele suport pentru generarea meniurilor grafice necesare și pentru generarea semnelor convenționale și a inscripțiilor (fonturilor). Pentru realizarea unui anumit tip de SIG, aceste semne și inscripții sunt alese și introduse de proiectant (Nițu C.D., 1997). Cu metoda de digitizare descrisă s-au obținut rezultate bune. Pentru realizarea unui SIG la nivel național sau internațional, digitizarea se face în paralel la mai multe sisteme și de către operatori diferiți. Concatenarea bazelor de date corespunzătoare unor foi separate sau unor hărți diferite ca dimensiune, proiecție, scară și conținut se poate face la un sistem central, care, în particular, poate fi interconectat cu sistemele de digitizare-editare. În toate cazurile este bine ca schimbul de date să se facă prin intermediul formatelor standardizate (Nițu C., 1992; ICA Standard Commission, 1996 și 1997).

Despre *digitizarea raster-vectorială (R-V) manuală* nu se tratează prea mult în acest punct, referiri mai aprofundate făcându-se la *digitizarea raster-vectorială (R-V) semiautomată*, în cele ce urmează.

Pentru a putea face unele calcule de planificare a digitizării interactive, din experiențele colectivului din care au făcut parte autorii, timpul mediu de digitizare a conținutului unei foi de hartă a fost de 152 de ore, pentru hărți la scara 1:50.000, de complexitate medie. De regulă s-au digitizat originalele de editare (30 de ore pentru nivelment, 10 ore pentru hidrografie, 12 ore pentru vegetație și 100 de ore pentru planimetrie). S-a folosit digitizorul Summagraphics Microgrid, modulul ARCEDIT al sistemului Arc/Info (Nițu C.D., 1997) și programele întocmite de autori.

4.3.1.1 Digitizarea raster-vectorială semiautomată

Metodele de digitizare raster-vectorială sunt cele mai eficiente. Metodele necesită o platformă hardware superioară, sisteme de gestiune a datelor, de scanare a originalului hărții, de afișare a datelor raster rezultate din scanare și de conversie raster-vector (R-V). Digitizarea raster-vectorială manuală diferă de metodele descrise mai sus, deoarece aceasta folosește imaginea hărții sau ortofotogramei. Un asemenea sistem este MARS. În tabelul 4.1 sunt date

câteva sisteme de vectorizare (MATRA, 1997). Semnificațiile modului de vectorizare sunt: A-automat, S/A-semiautomat și M-manual.

Cercetările noastre s-au făcut pe stația grafică pusă la dispoziție de către firma MATRA (MATRA, 1997), cu sistem de operare UNIX, software Motif 1.2, cu limbaj de programare C pentru dezvoltarea procedurilor, cu posibilități de introducere a datelor în formatele PCX, TIFF, RLE, BMP. Datele vectoriale rezultate au fost extrase în formatele DXF, Multiscope și Arc/Info. Digitizarea unui element punctual se face ca și la digitizarea vectorială-manuală, vizând “punctul legat” al detaliului, cu cursorul existent pe ecran cu locatorul sistemului (de exemplu mouse). Digitizarea unui element liniar segment de dreaptă se face prin vizarea aproximativă a capetelor segmentului. Sistemul găsește automat punctele precise de început și sfârșit ale detaliului și le înregistrează. Digitizarea unui element liniar de tip “curbă sinuoasă” se face prin vizarea aproximativă a capetelor curbei. Sistemul găsește automat punctele de capăt precise, exploatează traseul curbei, determină punctele axei curbei și înregistrează automat aceste puncte (Nițu C., 1992). Digitizarea unui element areal (poligon) se face prin vizarea unui punct din interiorul elementului (poligonului). Este găsit apoi cel mai apropiat contur închis care conține în interior punctul vizat, care se digitizează automat ca orice element liniar.

Digitizarea unui șir text se face prin vizarea aproximativă a punctelor de capăt ale textului. Textul este recunoscut pe baza tehnicii de recunoaștere a formelor (v.4.3.1.2.1).

Pentru toate detaliile (elementele) vizate, digitizate și interpretate apare și ecoul grafic, respectiv imaginea iluminată și colorată diferit față de fond a traseelor vectoriale rezultate și pentru fiecare element, sistemul așteaptă decizia operatorului pentru validarea și înscrierea în baze de date a rezultatelor operațiunilor.

Ecoul grafic permite operatorului să verifice continuu stadiul digitizării, să înlăture eventualele omisiuni, să corecteze on-line, manual, digitizarea eronată etc. Tot prin intermediul meniurilor grafice și al tastelor pot fi introduse toleranțele necesare (Nițu, C., Nițu, C.D., 1992a și 1992b). Pentru digitizarea semiautomată a hărții la scara 1:50.000, de complexitate medie, s-a obținut timpul mediu de 98 de ore pentru o foaie de hartă. S-a folosit modulul ARCSAN al sistemului de programe Arc/Info (20 de ore pentru nivelment, 8 ore pentru hidrografie și 70 de ore pentru planimetrie).

Nu a fost luat în considerare timpul de scanare, verificare și manipulare a fișierului raster și eventuala prelucrare preliminară (Nițu C., 1992, 1995). La modulul utilizat, nu s-au obținut rezultate satisfăcătoare la scanarea în format “pe nivele de gri”, neputându-se face conversia în structură de tip GRID.

O problemă principală la recunoașterea formelor este localizarea limitelor zonelor de pixeli. O asemenea problemă poate fi rezolvată, de exemplu, prin metoda conservării momentului. Metoda este descrisă în multe lucrări și noi am folosit-o în lucrările de cercetare.

Pentru simplificare, fie cazul unidimensional, în care se face o încercare de modelare a unei mulțimi de date la o distribuție de prag teoretică, așa cum se arată în fig.4.2.

Cei trei parametri ce definesc pragul sunt valoarea h_1 a parametrului sub prag, valoarea h_2 a semnalului deasupra pragului și x abscisa pragului.

Conservarea momentului este folosită ca un criteriu de concordanță a unei mulțimi l de poziții ale pragului ideal $f(s)$. Localizarea pragului e definită ca expresie $k+1/2$, unde k este valoarea necunoscută a numărului de probe de sub prag.

Tabelul 4.1 Câteva sisteme de vectorizare

Denumirea sistemului	Mediul de operare	Formatul fișierelor de intrare	Formatul datelor vectoriale rezultate	Formatul atributelor	Lucrul cu date semantice	Modul de vectorizare	Lucrul cu culorile
EasyTrace	DOS	PCX,RLC	DXF,GEN, DAT	DBF	Da	S/A,M	Da
TRACK3.3	DOS	TIFF, PCX	GEN,DXF	DBF,ASCII	Da	A,S/A,M	Nu
POCBIT	DOS Windows	TIFF, PCX	DXF,DXB CREDO	ASCII	Da	A,S/A	Nu
AutoVEC	DOS	PCX	DWG,DXF, EPS,IGES	DBF	Da	A,S/A,M	Nu
DigiMAP	Windows	BMP	DXF	DB	Da	A,S/A,M	Da
ColourFast 2.0	Windows Windows NT	PCX,BMP	DXF,MIF	DXF,MIF	Nu	A	Da
Video digitizare ptr. AutoCAD	DOS	PCX, TIFF	DXF,DXB	Fără	Da	S/A,M	Nu
CAVRIN	DOS	BMP	DXF	DBF	Da	S/A,M	Nu
GEOR	DOS	PCX	DXF	DBF	Da	S/A,M	Da
INTELVE C	DOS	PCX, TIFF	DXF,FIM HPGL	FIM (interior)	Da	A,S/A,M	Da
Vectometer	DOS	TIFF, PCX	DXF	Nu	Nu	A,S/A,M	Nu
Vectority 41	Windows Windows NT	RLC, PCX, BMP, TIFF,.....	DXF,DXB, PIC, ASC, DWG,....	MIF-MID, DLG (în viitor)	Nu	A,M	Nu
Spotlight 2.0	Windows Windows NT	RLC,RCX, BMP, TIFF	DXF,MOS, FI, FIM, ...	MIF-MID, DLG (în viitor)	Nu	S/A,M	Nu
CKM Vectorizer	DOS Windows	PCX, TIFF	DXF,DXB, PIC, ASC,..	DBF, FI, FIM, FT, ...	Da	A,S/A,M	Da
AUTOVECT	Windows	LRD, PCX, TIFF	DXF	DBF	Da	A,S/A	Nu
AUDRE 0/30	Windows NT, UNIX SUN-OS, Solaris	TIFF, CALS, VIDAR	Dist.Script. IGES,DXF, CEM,HPGL	Nu	Nu	A,S/A	Nu
IVEC/IGEO-VEC	DOS Windows UNIX	RGB, TIFF, PCX, BNP,.....	DGN, DXF,.....	DMP, DBF	Da	A,S/A,M	Da
ArcScan	UNIX	TIFF,RLC	Arc/Info	Arc/Info	Da	A,S/A,M	Nu
GIS "INFOSO"	DOS	PCX, TIFF, GIF,.....	DXF	?	Da	S/A,M	Da

Deoarece există trei necunoscute, considerăm că primele trei momente ale probei de selecție corespund celor ale distribuției ideale, adică:

$$\bar{m}_j = \frac{k}{n} h_1^j + \frac{n-k}{n} h_2^j \quad (4.1)$$

pentru $j = 1, 2, 3$, unde

$$\bar{m}_j = \frac{1}{n} \sum_{i=1}^n l_i^j \quad (4.2)$$

este momentul de selecție de ordinul j , j reprezentând în formulă exponentul.

Cele trei ecuații date de relația (4.1) pot fi rezolvate direct, obținându-se și soluția (4.3) pentru k

$$k = \frac{n}{2} \left(1 - \frac{c}{\sqrt{4 + c^2}} \right) \quad (4.3)$$

unde:

$$c = \frac{1}{\sigma^3} (3\bar{m}_1\bar{m}_2 - \bar{m}_3 - 2\bar{m}_1^3) \quad (4.4)$$

este oblicitatea datelor și

$$\sigma^2 = \bar{m}_2 - \bar{m}_1^2 \quad (4.5)$$

Din relația (4.3) se observă că mărimea k nu trebuie să fie un întreg și, ca atare, se obține o valoare exprimată chiar în fracțiuni de pixeli.

Această metodă a localizării pragului (frontierei zonelor de pixeli) presupune ca datele sau valorile să fie monoton crescătoare. Aceasta nu se întâmplă dacă e prezent zgomotul. Iată de ce, în cazul tuturor geoinimărilor, este necesară prelucrarea preliminară. Este foarte ușor de aplicat principiul conservării momentului, care duce la estimări parțiale dacă pragul este lângă centrul ariei considerate (Vlaicu, 1997).

Fie $f(s, t)$ ieșirea unui sistem ideal de prelucrare a imaginii, respectiv o funcție ideală de imaginea inițială. Se consideră apoi un sistem imagine invariant spațial cu o funcție de distribuție punctuală $p(s, t)$, presupusă cunoscută.

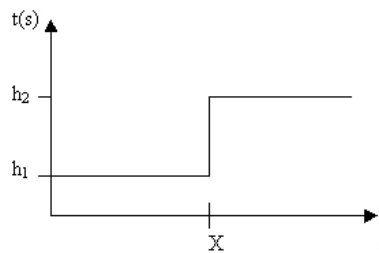


Fig. 4.2 Funcția prag teoretică

Fie $f(s, t)$ o variabilă aleatoare care reprezintă măsurătoarea la poziția de selecție (s, t) . Se poate modela cantitatea măsurată folosind convoluția:

$$\bar{l}(s, t) = \int_{-\infty}^{\infty} \int_{-\infty}^{\infty} f(\xi, \eta) p(s - \xi, t - \eta) d\xi d\eta \quad (4.6)$$

Fie o mulțime de μ parametri \underline{x} ce caracterizează complet variabila aleatoare $f(s,t)$ în zona de interes a imaginii.

Relația (4.6) mai poate fi scrisă ca:

$$\bar{l}(s,t) - f(s,t;x) * p(s,t) = 0 \quad (4.7)$$

unde simbolul $*$ reprezintă operatorul de convoluție. Pentru elementul de imagine ij , care este o selecție a convoluției $l(s,t)$ pentru $s=s_i$ și $t=t_j$, se poate scrie ecuația de condiție liniarizată sub forma:

$$\bar{l}_{ij}^{\circ} + v_{ij} + B_{ij}\Delta = -F_{ij}(\underline{x}^{\circ}) \quad (4.8)$$

unde: \bar{l}_{ij}° este estimăția inițială a observației;

v_{ij} este eroarea de măsurare;

B_{ij} este mulțimea derivatelor parțiale ale funcției $F_{ij}(\underline{x})$ după parametri $\underline{x}=\underline{x}^{\circ}$;

$$F_{ij}(\underline{x}) = -f_{ij}(x) * p_{ij} \quad (4.9)$$

\underline{x}° este mulțimea valorilor inițiale ale parametrilor;

Δ este mulțimea corecțiilor parametrilor.

Relația (4.8) reprezintă o ecuație de erori (corecții). Sistemul de ecuație de erori (corecții) de acest tip se poate rezolva prin metoda măsurătorilor indirecte, prin formarea ecuațiilor normale, după metodologia cunoscută.

Se poate relua setul de considerații pentru cazul pragului monodimensional (unidimensional). Pentru distribuția din figura precedentă, fie modelul ideal (4.10) al unui prag sau discontinuitate într-un semnal unidimensional exprimat ca:

$$f(s) = h_1 + (h_2 - h_1) \cdot V(s - x) \quad (4.10)$$

unde V este funcția $V(s) = 1$ pentru $s \geq 0$ și $V(s) = 0$, pentru $s < 0$.

Forma unidimensională a relației (4.6) este relația:

$$\bar{l}(s) = f(s) * p(s) \quad (4.11)$$

unde $p(s)$ este funcția de distribuție liniară, care mai poate fi scrisă și sub forma liniarizată din relația (4.8). Dacă $p(s)$ este distribuția Gauss, atunci rezultă reprezentările cunoscute ale funcțiilor de distribuție.

Pot fi folosite și alte funcții de distribuție. Este posibilă, în rezolvarea prin metoda celor mai mari pătrate, "autocalibrarea", prin estimarea parametrilor funcției distribuției de selecție. În acest caz, în afară de mărimile h_1 , h_2 și X din fig. 4.2, se determină și parametrul d , care reprezintă lățimea benzii funcției de distribuție. În tabelul 4.2 sunt date câteva valori determinate pentru date imagine simulate, pentru mai multe distribuții (Fedra, 1990).

Modelul extins al metodei sumei minime a pătratelor, în care și lățimea d a pragului a fost determinată, a dat rezultate bune pentru ambele tipuri de funcții.

Precizia estimării poziției pragului (limitei sau frontierei comune a două zone de pixeli cu valori diferite) depinde numai de lățimea funcției de distribuție și de raportul semnal-zgomot.

Cele mai bune rezultate au fost obținute, se vede și din tabel, cu metoda sumei minime a patratelor erorilor (metoda celor mai mici pătrate).

În concluzie, se poate găsi limita (frontiera) descrisă, care în cazul obiectelor punctuale va fi o curbă închisă ce limitează o zonă de pixeli fie de aceeași valoare, fie de valori diferite.

Tabelul 4.2 Determinarea pragului cu date simulate

Caracteristici ale datelor			Eroarea medie pătratică a lui X (în pixeli)	
Lăţimea distribuţiei	Tipul distribuţiei	Nivelul de zgomot (%)	Conservarea momentului	Metoda pătratelor minime
1 pixel	Rectangulară	0	0,073	0,000
		1	0,074	0,010
		10	0,192	0,106
	Gauss	0	0,027	0,003
		1	0,032	0,015
		10	0,223	0,164
Presupusă necunoscută	Rectangulară	0	0,007	0,000
		1	0,024	0,023
		10	0,299	0,231
	Gauss	0	0,011	0,000
		1	0,033	0,033
		10	0,384	0,346

Analiza pixelilor limitei conduce la o metodă de recunoaştere a simbolurilor punctuale bazată pe forma conturului exterior (Niţu, C., Niţu, C.D., 1993), iar analiza pixelilor întregii zone delimitate duce la altă metodă. Cele două metode vor fi descrise în continuare.

4.3.1.2 Digitizarea raster-vectorială automată

4.3.1.2.1 Recunoaşterea obiectelor punctuale

A. Recunoaşterea obiectelor punctuale folosind serii Fourier

Pentru aplicarea metodei (Niţu, C., Niţu, C.D., 1993), după găsirea pixelilor limitei se atribuie fiecărui pixel coordonatele (x,y) într-un sistem dorit, astfel că întregul contur este descris de punctele P_i într-o ordine stabilită, respectiv $P_i(x_i, y_i)$, $i=1, n$.

Scopul aplicării metodei este să se determine poziţia obiectului punctual, orientarea acestuia, scara şi să se recunoască tipul obiectivului dintr-o listă existentă, eventual să se completeze lista cu acest obiect şi cu caracteristicile sale.

Şirului de coordonate ale conturului obiectului i se aplică o transformare Fourier, determinându-se coeficienţii transformării. Aceşti coeficienţi, după determinare sunt normalizaţi, pentru a putea fi comparaţi cu cei din lista dată. La compararea coeficienţilor se poate stabili şi o mulţime de valori de prag.

Coeficienţii din listă, nominalizaţi, se stabilesc aprioric, cunoscând coordonatele teoretice ale semnelor convenţionale şi ale caracterelor de scriere.

Relaţia curbei de contur poate fi scrisă sub formă complexă (4.12), cu reprezentarea sa din planul complex (fig. 4.3), unde $x(t)$ şi $y(t)$ sunt coordonatele punctului în planul complex, la momentul t (figura 4.3).

$$f(t) = x(t) + i y(t) \quad (4.12)$$

Parcurgând traseul curbei în planul complex în sensul direct acelor de ceas, curba f devine o funcție de timp. Timpul total de parcurgere a întregii curbe închise, cu viteză uniformă, este perioada T . Considerând că $f(t)$ este o funcție periodică continuă, poate fi dezvoltată în serie Fourier de forma:

$$f(t) = \sum_{n=-\infty}^{\infty} c_n \cdot e^{i\frac{2\pi n}{T}t} \quad (4.13)$$

Câteva proprietăți ale seriei Fourier o fac propice pentru aplicarea în cazul exploatării geoimaginilor.

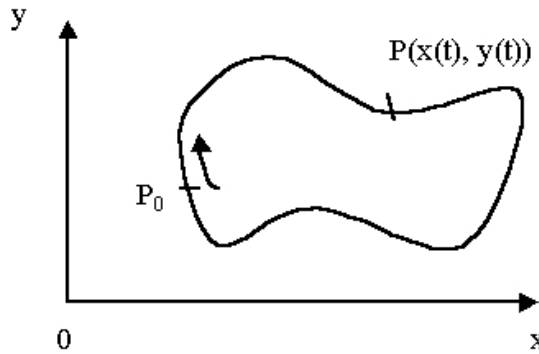


Fig. 4.3 Curba în planul complex

Translația. Dacă un obiect este translatat în planul complex (câmpul imaginii) cu valoarea $z_0 = x_0 + i y_0$, atunci $f'(t) = f(t) + z_0$, între coeficienții celor două funcții de timp existând relația $c'_0 = c_0 + z_0$, respectiv $c'_n = c_n$ pentru $n \neq 0$.

Rotația. Dacă un obiect se rotește în jurul originii cu un unghi α , atunci termenii au o decalare de fază constantă, adică $f'(t) = f(t) e^{i\alpha}$, respectiv $c'_n = c_n e^{i\alpha}$.

Omotetia. Dacă se modifică scara unui obiect cu un factor k , atunci $f'(t) = k f(t)$, respectiv $c'_n = k c_n$.

Modificarea punctului inițial P_0 . Modificând punctul de start cu valoarea t_0 , atunci $f'(t) = f(t + t_0)$, respectiv:

$$c'_n = c_n e^{i\frac{2\pi n}{T}t_0} \quad (4.14)$$

Pentru faptul că imaginea este formată din pixeli a căror latură este dată de rezoluția spațială, se consideră totdeauna că frontiera detaliului are forma unui poligon. Orice curbă poate fi aproximată de o linie poligonală, de fapt aceste coordonate se păstrează pentru datele vectoriale, cu o discretizare extrem de fină. Modul concret de calcul al coeficienților pornește de la faptul că funcția $f(t)$ se descompune într-un număr de armonice simple, proprietățile armonicilor individuale fiind lungimea de undă (distanța dintre două creșteri succesive) și amplitudinea (jumătate din distanța dintre un minim și un maxim). Armonicile individuale sunt independente între ele, se pot însuma, dând naștere unor curbe extrem de complicate. Curba de contur poate fi descompusă progresiv în armonice simple sau, invers, armonicile simple se pot combina pentru a da naștere unei curbe foarte apropiate de conturul semnului convențional sau obiectului teoretic, cu condiția să existe un număr suficient de mare de armonice și de puncte cu coordonate ale conturului obiectului din imagine.

În afară de modul de exprimare cu formula (4.10) se poate aplica și forma:

$$y = \frac{a_0}{2} + \sum_{n=1}^{\infty} \left(a_n \cdot \cos \frac{n\pi x_i}{L} + b_n \cdot \sin \frac{n\pi x_i}{L} \right) \quad (4.15)$$

în care $n = 1, 2, \dots, \infty$; y - este $f(t)$, a_0 este coeficientul termenului în cosinus de grad zero, n este gradul termenului, a_n și b_n sunt coeficienții termenilor în cosinus și sinus, iar x_i sunt abscisele punctelor cunoscute, iar k este numărul maxim de puncte cu coordonate ($i = 1, 2, \dots, k$).

În acest caz, pentru coeficienții a_n și b_n se folosesc relațiile:

$$\begin{aligned} a_n &= \frac{1}{L} \int_{-L}^L y \cdot \cos \frac{n\pi x}{L} \\ b_n &= \frac{1}{L} \int_{-L}^L y \cdot \sin \frac{n\pi x}{L} \end{aligned} \quad (4.16)$$

Coeficienții se pot obține și prin integrarea numerică în cazul în care punctele cunoscute sunt la intervale Δx egale, astfel că există relația:

$$\begin{aligned} a_n &= \frac{2}{k} \left[\frac{y_0 + y_k}{2} + \sum_{i=1}^{k-1} y_i \cos \frac{n\pi x_i}{L} \right] \\ b_n &= \frac{2}{k} \sum_{i=1}^{k-1} y_i \sin \frac{n\pi x_i}{L}, n = 1, 2, k, \dots, k/2 \end{aligned} \quad (4.17)$$

În bibliotecile matematice și statistice pentru determinarea coeficienților seriilor Fourier există proceduri adecvate (Haslet et al, 1990).

Revenind la dezvoltarea formulei (4.15) pentru cazul punctelor de contur, coeficienții pot fi determinați cu formula:

$$c_n = \frac{T}{4\pi^2 n^2} \sum_{p=1}^k \frac{\Delta f_p}{\Delta t_p} \left\{ e^{-i \frac{2\pi n}{T} t_p} - e^{-i \frac{2\pi n}{T} t_{p-1}} \right\}, n \neq 0 \quad (4.18)$$

Având în vedere discretizarea curbei, respectiv relația:

$$t_p = \sum_{i=1}^p \Delta t_i \quad (4.19)$$

$t_0 = 0$, k este numărul de laturi ale poligonului și $T = t_k$.

Pentru termenul c_0 se folosește relația:

$$c_0 = \frac{1}{T} \sum_{p=1}^k \left\{ \frac{1}{2} \Delta f_p + f_{p-1} \right\} \Delta t_p \quad (4.20)$$

unde $f_p = f_{p-1} + \Delta f_p$.

Implementarea algoritmului poate fi mult ușurată dacă se ia pasul unghiular constant pentru punctele cunoscute, de exemplu în 8 puncte (la intersecția axelor și diagonalelor cu curba, respectiv pe cele patru semiaxe și pe cele patru semidiagonale). Pentru o rezoluție mai bună se pot considera și mai multe puncte.

Datorită caracteristicilor de simetrie a unor obiecte, mulți termeni ai dezvoltării sunt nuli.

Importanța coeficienților derivă din proprietățile amintite ale seriilor Fourier. Coeficienții de ordinul zero vor da centrul de greutate $P(x_0, y_0)$ al curbei de contur a obiectului, respectiv $c_0 = x_0 + iy_0$.

Combinarea coeficienților c_1 și c_3 dă unghiul de rotație față de axa Ox , ceea ce interesează mai puțin în cazul analizat.

În figura 4.4 se arată câteva obiecte punctuale (la culoarea negru), recunoscute și redesenate folosind datele vectoriale printr-o corespondență de alte semne la altă culoare, pentru a se pune în evidență pe același desen atât calitatea recunoașterii, cât și precizia de poziționare.

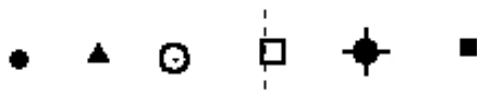


Fig. 4.4 Obiecte punctuale identificate (interpretate) prin metoda seriilor Fourier

B. Recunoașterea obiectelor punctuale cu folosirea teoriei mulțimilor fuzzy

Conceptul teoriei mulțimilor fuzzy a fost introdus de Zadeh (Isaaks et al, 1989), pentru analiza sistemelor complexe și proceselor de decizie. Concepția se bazează pe faptul că elementele gândirii umane nu sunt numere, ci clase, în care tranziția de la elemente membre la elemente nemembre nu este abruptă (salt), ci graduală. Se consideră că motivarea și gândirea umană nu constituie o logică bi sau multivalentă, ci o logică cu variabile fuzzy. Caracteristicile principale ale concepției teoriei mulțimilor fuzzy sunt: folosirea variabilelor lingvistice în locul sau împreună cu variabilele numerice; folosirea pentru reprezentarea relațiilor simple dintre variabile a instrucțiunilor de condiție fuzzy; folosirea algoritmilor fuzzy pentru reprezentarea relațiilor complexe. În multe domenii științifice sau practice se folosește teoria mulțimilor fuzzy. Au fost dezvoltate limbaje fuzzy, gramatici fuzzy, teoria automatelor fuzzy și algoritmi fuzzy.

Pe de altă parte și splinele cubice și-au dovedit aplicabilitatea în multe domenii. Conceptul de spline este similar interpretării datelor și altor probleme ale analizei numerice. În multe lucrări s-au folosit și în România dezvoltările pe baza funcțiilor spline (Serediuc, 1996; Nițu C., 1992 și 1995 etc).

În cele ce urmează se fac unele considerente asupra descrierii și recunoașterii obiectelor punctuale (semne convenționale punctuale, litere, cifre și semne speciale).

a) Descrierea lingvistică a obiectelor punctuale

În cazul simplificat, orice semn convențional sau caracter se poate descrie schematic cu opt detalii de bază, potrivit limbajului de descriere a semnelor convenționale. Detaliile de bază sunt: (1) segmentul orizontal — ; (2) segmentul vertical | ; (3) segmentul înclinat cu 45° la dreapta / ; (4) segmentul înclinat cu 45° la stânga față de axa verticală \ ; (5) segmentul de curbă (în particular arc) ∩ ; (6) segmentul de curbă ∪ ; (7) segmentul de curbă (arc) ⊂ ; (8) segmentul de curbă (arc) ⊃ .

Toate elementele de mai sus se pot întâlni în noduri, respectiv în puncte de racordare. De aceea este necesar a se cunoaște coordonatele acestor noduri. La recunoaștere este bine a se materializa (descoperi) nodurile. Porțiunile dintre noduri trebuie apoi determinate, din familia celor 8 posibilități.

Funcția de apartenență printr-un detaliu segment de dreaptă se poate scrie ca :
unde 2a este lungimea între punctele A și B (fig. 4.5), respectiv între capetele unui arc (4.21)

$$\mu_{SD} = \begin{cases} (1 - r/a) & \text{daca } r < a \\ 0 & \text{in caz contrar} \end{cases}$$

arcului).

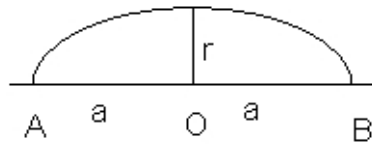


Fig. 4.5 Arcul și segmentul de dreaptă

Săgeata arcului (distanța punctului cel mai depărtat de pe arc de la segmentul AB, coarda arcului) are lungimea r . Funcțiile de apartenență la segmentul orizontal sau la cel vertical sunt date de relațiile :

$$\mu_0 = \begin{cases} 1 - |m_x|, & \text{pentru } m_x \leq 1 \\ 0, & \text{pentru } m_x > 1 \end{cases} \quad (4.22)$$

$$\mu_v = \begin{cases} 1 - 1/|m_x|, & \text{pentru } m_x \geq 1 \\ 0, & \text{pentru } m_x < 1 \end{cases}$$

unde m_x este panta elementului (segmentului).

Funcția de apartenență la clasele segmentelor oblice este:

$$\mu_{ob} = \left\{ 1 - \left| \frac{\theta - \pi/4}{\pi/4} \right| \right\}, \text{ pentru } 0 < (m_x) < \infty \quad (4.23)$$

Semnul lui m_x va da fiecare din cele două cazuri:

$m_x > 0$ – cadranele I și II; $m_x < 0$ – cadranele II și IV.

Funcția de apartenență la clasa curbelor orizontale (\cup sau \cap) este:

$$\mu_0 = 1 - \min\{|\min|\theta|, |\pi - \theta|, |2\pi - \theta|/\pi, 1\} \quad (4.24)$$

unde $\theta = \arctg m_x$

Pașii de determinare a apartenenței unui element dat la una din cele opt clase sunt ușor de intuit.

b) Clasificarea

Orice semn convențional punctual, caracter sau semn special se înscrie sub formă de date raster în formă binară, într-o matrice de 20 * 20 pixeli (fig. 4.6).

Pentru clasificare, pentru fiecare semn convențional sau caracter (cifră, literă sau semn special), după completarea matricilor corespunzătoare pentru elementele simplificate (axele segmentelor sau arcelor de curbă) se stabilesc definițiile lingvistice, ca în tabelul 4.3.

Codurile rezultă din prezența elementelor 1 în matrice și se pot stabili ca algoritmi speciali (Nițu C., 1992). Din modul de descriere a obiectelor punctuale se observă că pentru imaginea de analizat este necesară subțierea (simplificarea liniilor).

c) Relația de similaritate fuzzy

Relația de similaritate fuzzy va da foarte bune rezultate pentru identificarea obiectelor punctuale, în special pentru cele ale hărților numerice (digitale).

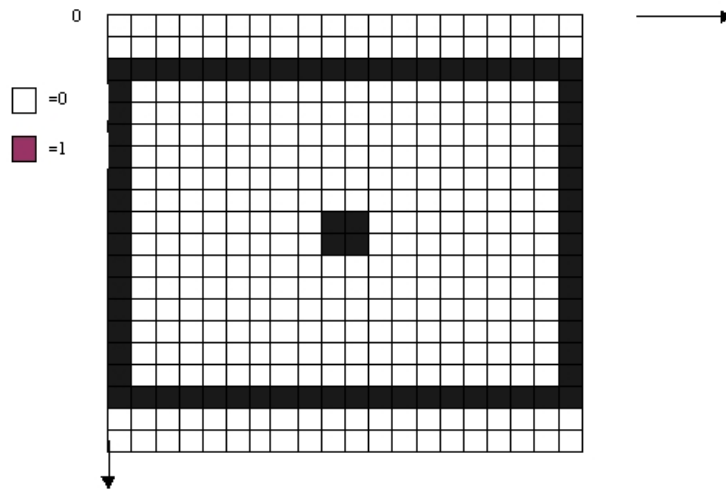


Fig. 4.6 Exemplu de descriere a unui semn convențional punctual

Tabelul 4.3. Definițiile lingvistice ale obiectivelor punctuale

Obiectul punctual	Definiția lingvistică	Codul
Δ	Diagonală stg. + diagonală dr. + segment orizontal	00220100
A	Două diagonale stg. + două diagonale dr. + segment orizontal	10220000
O	O curbă \cap + o curbă \cup	02010000

Între două mulțimi X și Y relația fuzzy R este reprezentată de o submulțime a produsului cartezian X și Y

$$R = \int [\mu(x, y) | (x, y)] \quad (4.25)$$

$(x, y) \in X \times Y$

unde $\mu(x, y)$ reprezintă funcțiile de apartenență.

Relația R (4.24) este de similaritate, fiind reflexivă, simetrică și cu tranzitivitate max-min, adică:

$$\begin{aligned} \mu(x, x) &= 1 \text{ și } \mu(x, y) < 1, \text{ pentru } y \neq x \text{ și } \forall x \in X \\ \mu(x, y) &= \mu(y, x), \text{ pentru } \forall (x, y) \in Y \\ \mu(x, z) &= \max\text{-min} \{ \mu(x, y), \mu(y, z) \}, \end{aligned} \quad (4.26)$$

pentru $\forall (x, y, z) \in X, Y \in X$

d) Extragerea caracteristicilor

Extragerea caracteristicilor este o etapă importantă în recunoașterea obiectelor punctuale. În matricea liniară în care este înscris obiectul punctual, caracteristica principală este distanța. De la colțurile grilei (matricei) și de la mijloacele laturilor se pot măsura distanțele până la liniile desenate (prezența cifrei 1) corespunzătoare matricei (cu direcția spre centrul grilei). Cele 8 distanțe, măsurate în pixeli, formează un vector, după stabilirea unei ordini și parcurgerea rotirii din centru în sens direct sau invers acelor de ceasornic. Vectorul V este:

$$V = (d_1, d_2, d_3, d_4, d_5, d_6, d_7, d_8) \quad (4.27)$$

Pentru semnul din figura 4.6 rezultă:

$$V = (1, 2, 2, 2, 0, 2, 2, 2, 0) \quad (4.28)$$

cu primul punct în mijlocul laturii din dreapta și parcurgerea în sens invers acelor de ceasornic. Este bine ca aceste distanțe să fie normalizate, prin împărțirea la distanța maximă dintre ele, în cazul practic 2, astfel că valorile distanțelor vor fi cuprinse între 0 și 1, obținându-se:

$$V_N = (0, 1, 1, 1, 0, 1, 1, 1, 0) \quad (4.29)$$

Clasificarea obiectelor

Clasificarea obiectelor punctuale se face cu funcția de similaritate fuzzy pentru vectorul distanțelor normalizate V_N .

Dacă V_N este reprezentat de X

$$\{X_i\} \in X \text{ sau } X_i \in X \text{ pentru } 1, 2, \dots, N$$

unde N reprezintă numărul obiectelor punctuale, atunci funcția de similaritate fuzzy este dată de relația :

$$\mu_i(X_i, X_j) = 1 - \left[\sum_{k=1}^8 (a_i^k - a_j^k)^2 \right]^{\frac{1}{2}}, \text{ pentru } X_i, X_j \in X \quad (4.30)$$

unde a_i și a_j sunt elementele vectorului normalizat.

Valoarea funcției de similaritate (4.29) între caracteristicile necunoscute și tot setul de obiecte punctuale se determină în cazul unei mostre de imagine. Se alege din listă valoarea maximă a caracteristicii după care se face clasificarea.

Fie obiectul punctual γ definit de un grup de pixeli în geoimagine.

Din pixelii zonei de imagini se determină:

$$F(\gamma) = (a_{\gamma}^1, a_{\gamma}^2, a_{\gamma}^3, a_{\gamma}^4, a_{\gamma}^5, a_{\gamma}^6, a_{\gamma}^7, a_{\gamma}^8) \quad (4.31)$$

Valorile de similaritate fuzzy sunt:

$$\mu_s(\gamma, X_i) = 1 - \left[\sum_{k=1}^8 (a_{\gamma}^k - a_i^k)^2 \right]^{\frac{1}{2}} \quad (4.32)$$

unde $x_i \in$ mulțimii tuturor obiectelor punctuale și

$$F(x_i) = (a_i^1, a_i^2, \dots, a_i^8) \quad (4.33)$$

Obiectul punctual γ din imagine poate fi clasificat ca aparținând obiectelor punctuale descrise, dacă:

$$\mu_s(\gamma, X_m) > \mu_s(\gamma, X_i) \quad (4.34)$$

pentru toate valorile X_i , doar cu $x_m \neq X_i$.

Rezultate

În figura 4.7 este arătată imaginea unor semne convenționale și inscripții recunoscute cu metoda descrisă. Pentru a demonstra corectitudinea interpretării obiectelor interpretate li s-au atribuit alte semne convenționale sau alt caracter de scriere, translatate la o distanță constantă față de obiectele inițiale. Liniile s-au desenat nesubțiat, deoarece liniile cu lățimea de un pixel nu apar pe imaginea reprezentată la ploter sau imprimantă.

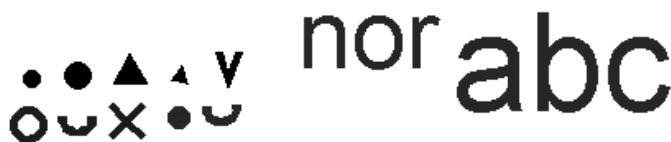


Fig. 4.7 Exemplificarea unor semne convenționale și inscripții recunoscute cu metoda descrisă

4.3.1.2.2 Recunoașterea și digitizarea obiectelor liniare și areale

Nu s-au făcut referiri mai sus decât parțial la necesitatea prelucrării imaginilor, nici la digitizarea semiautomată, nici la digitizarea automată. În cazul de față se va vedea foarte clar ce prelucrări trebuie să fie făcute pentru ușurarea recunoașterii traseelor elementelor liniare sau a conturilor elementelor areale. Succesiunea operațiilor executate este următoarea (Nițu, C., Nițu, C.D., 1997d): obținerea geoimaginii raster (recepționarea datelor sau scanarea geoimaginii) și prelucrarea preliminară a acesteia; transformarea imaginii digitale într-un număr limitat de trepte de gri sau, în cazul hărților în imagine binară; eliminarea zgomotului; scheletizarea (subțierea prin erodare); urmărirea obiectelor liniare (conturilor obiectelor areale), semiautomat sau automat, și înregistrarea coordonatelor obiectelor.

Recepționarea datelor raster sau scanarea geoimaginii

Scanerele cele mai utilizate se bazează pe tehnologia CCD. Geoimaginile digitale raster sunt codificate, de regulă, pe opt biți. Din punct de vedere al exigențelor cartografice, rezoluția poate fi mică (300 dpi), medie (800 dpi) și mare (peste 1200 dpi). Imaginile fotogrammetrice impun o rezoluție superioară (Răducanu D.G., 1997).

Câteva sisteme pentru scanarea fotogramelor sunt date în tabelul 4.4 (Nițu, C., Nițu, C.D., 1995).

Tabelul 4.4 Scanere fotogrammetrice

Denumire	Producător	Caracteristici		
		Dimensiunea zonei scanate (cm)	Rezoluția (μ)	Viteza (min)
PHOTOSCAN DSA	Intergraf ZEISS	26*26	7,5-120	12
DSW 200	Helava Associates	26,5*26,5	5-15	5
DSW 100	Helava Associates	24,5*25,4	7-80	18
DISC	International SisteMap	32*32	10-40	10
VX 3000 Plus	Vexcel Imaging	24,4*50,8	8,5-160	16
RASTER MASTER RM	Wehrli & Associates	25*25	12	18
HP Scanjet II Cx	Hewlett Packard	21*23	15	7

Acestea se livrează cu sisteme de calcul și programe suport. Pentru scopuri cartografice, având în vedere și dimensiunile hărților, se poate folosi sistemul Optronix 5040 sau sistemul scanner ploter-raster (filmrecorder). Sistemul (figura 4.8) poate scana geoimagini cu dimensiunile maxime de 127*100 cm, cu rezoluții de 12,5; 25; 50; 100 și 200 μ, alb-negru sau color, având și posibilități de compresie a datelor pentru reducerea dimensiunii fișierului. Ploterul raster (filmrecorder), pe principiul laser, realizează reprezentarea în alb-negru pe film, fiind excelent pentru obținerea originalelor de editare.

Prelucrarea preliminară a datelor raster digitale recepționate sau scanate implică un număr limitat de operațiuni (3.4), finalizate cu aranjarea datelor în formate specifice prelucrărilor ulterioare. În cazul experiențelor noastre au fost recepționate date în formatele PCX, TIFF, RLE și BMP, fiind transformate în formatul BMP pentru o prelucrare mai ușoară. Datele de ieșire (vectoriale) au fost în formatul DXF și formatul propriu al software-ului MULTISCOPE (Matra, 1997; Nițu, C., 1992).

Transformarea geoimaginii raster

Nu se fac referiri aici la toate transformările ce se fac asupra geoimaginilor, ci doar la câteva transformări care ușurează interpretarea și punerea în evidență a obiectelor liniare (inclusiv a conturilor obiectelor areale).

Pentru geoimaginile de teledetecție sau fotogrammetrice, cu algoritmi specifici se identifică limitele zonelor, iar pentru o și mai bună vizualizare se reduce numărul de trepte de gri pe diferite combinații de imagini inițiale, respectiv se aplică numai transformări radiometrice, în special de transformare a contrastului etc.

În figura 4.9 sunt date cele două imagini - inițială și transformată, pentru evidențierea unor zone acvatice, în cadrul cercetărilor desfășurate de noi în cadrul proiectului VIRGOS.

Acum se face ușor chiar găsirea capetelor liniilor și urmărirea automată a acestora.

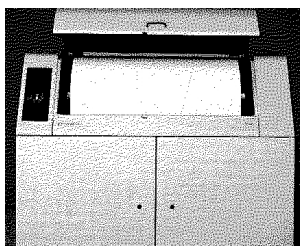


Fig 4.8 Sistemul scanner OPTRONIX 5040

Metoda de căutare se bazează pe analiza în submatricea de 3*3 pixeli.

Pentru geoimaginile raster obținute prin scanarea hărților, imaginea se transformă în imagine binară. Din punct de vedere cartografic, nu interesează nivelul de gri al pixelului, ci mai ales prezența sau absența imaginii. Transferarea în imagine binară se face prin reducerea celor 256 de trepte la două trepte, în funcție de o valoare de prag care să nu ducă la eliminarea unor elemente de imagine. Toate valorile pixelilor mai mari sau egale cu valoarea de prag se înlocuiesc cu valoarea 0, iar celelalte cu 1.

În figura 4.10 este arătată imaginea binară a unei geoimagini cu căi de comunicație. Se observă că imaginea conține numai valorile 1 (alb) și 0 (negru). Pe această imagine se observă că obiectele liniare sunt de diferite grosimi. Pentru poziția obiectelor în SIG interesează doar punctele de pe axele drumurilor. În cazuri mai simple, cu un număr redus de detalii cartografice, se poate face și o interpretare bazată pe lățimea în pixeli a obiectului liniar.

Deoarece procedura de binarizare funcționează corect pentru majoritatea reprezentărilor cartografice, unele scanere pot avea implementată procedura în hardware, problemă ce ar trebui avută în vedere la stabilirea cerințelor pentru achiziționare.

La binarizare pot apare erori la intersecția a două elemente liniare cu valori ale densității optice de o parte sau de alta a valorii de prag aleasă de către operator și ca atare trebuie folosite metode adaptate (Nițu C.D. et. al, 1995a), constituind mai întâi histograma locală a fiecărui pixel, bazată pe valorile pixelilor vecini (8 sau 24 pixeli vecini).

Valoarea de prag poate fi diferită pentru diferite porțiuni ale geoimaginii. Pentru geoimaginii de același tip, de exemplu pentru cele obținute din scanarea originalelor de editare ale hărților, pot fi făcute analize apriorice și pot fi determinate diferite valori de prag.

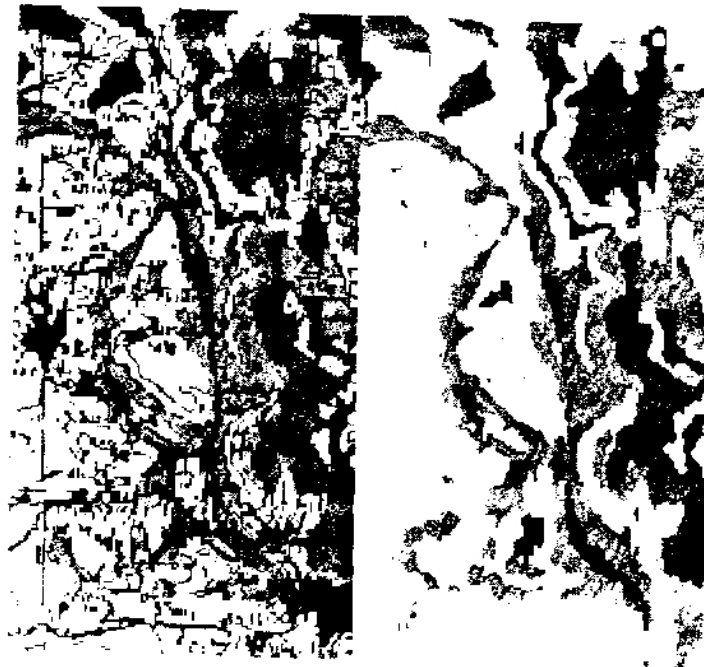


Fig. 4.9 Geoimagine transformată prin reducerea numărului de trepte de gri

Pentru originalele de editare pe diapozitive ale hărților topografice, valorile de prag pot varia în intervalul (30, 210).

Pentru figura 4.10 a fost stabilită în final valoarea de prag de 120. Cele două figuri din stânga sunt în negativ, respectiv în pozitiv, la tipărire, pentru a se vedea posibilitățile de transformare.

Eliminarea zgomotului

În imaginea raster inițială codificată pe 8 biți poate apare zgomot, determinat de interferența razelor reflectate sau refractate ale scannerului, pentru faptul că lungimea de undă este comparabilă cu rugozitatea suportului hârtii.

Pentru cazul fotogramelor acest zgomot nu este sesizabil, dar pentru cazul hărților, după binarizare va fi sesizabil și în geoimaginea binară (cu valoarea pixelului codificată pe un bit). Zgomotul se manifestă printr-un grup izolat de pixeli de aceeași valoare (0 în caz că zgomotul se manifestă pe un fond de valori de 1 și 1 în caz contrar, în funcție de valoarea de prag aleasă). O metodă simplă de eliminare a acestui zgomot constă în determinarea ariei în pixeli a zonei, prin numărarea pixelilor de aceeași valoare, compararea acestei arii cu o valoare de prag (aria în pixeli a celui mai mic detaliu al hărții date, respectiv a celui mai mic element component izolat al sumelor convenționale și inscripțiilor). Algoritmi speciali au fost propuși pentru eliminarea zgomotului (speckle) din imaginile radar SAR (Răducanu D.G., 1997).

Scheletizarea (subțierea prin erodare)

Orice obiect liniar sau contur al unui obiect areal are o anumită lățime, de regulă de câteva ori mai mare decât latura unui pixel. Ca atare, fiecărui detaliu liniar îi va corespunde o bandă de pixeli de valoare 1 (fig. 4.10) în geoimaginea digitală binară. Este necesară găsirea axei obiectului liniar, prin eliminarea tuturor pixelilor din afara acestei axe. Operațiunea se

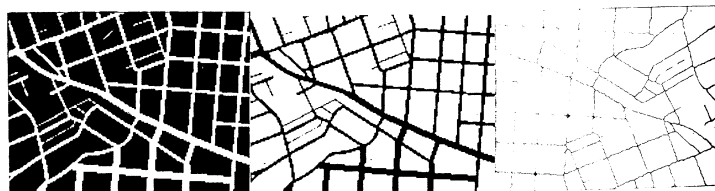


Fig. 4.10 Rezultatele geoimaginii binarizate și scheletizate (subțiate)

numește scheletizare sau subțiere prin erodare. Este evidentă clar în hărțile digitale. Pentru lucrările practice executate s-au aplicat procedurile existente în sistemele de programe implementate în D.T.M. În figura 4.10 imaginea scheletizată este în dreapta. Pentru erodare s-a folosit algoritmul Pavlidis modificat (Pavlidis, 1980). Algoritmul Pavlidis erodează iterativ contururile detaliului liniar. Se consideră că pixelii unui detaliu liniar sunt interiori și marginali.

Pixelii marginali formează muchii specifice. Algoritmul determină dacă pixelii marginali îndeplinesc anumite condiții pentru a fi înlăturați din date dacă nu sunt pe axa medie a obiectului. Aceste condiții sunt ca pixelii să nu aparțină decât unei muchii, să aibe un pixel vecin direct sau indirect, scara să fie un punct interior sau să aibe un pixel vecin direct pe contur și vecinul său direct pe o muchie. Procesul de eliminare a pixelilor este iterativ și în final pixeli rămași sunt pixeli scheletului - pe axele mediane ale obiectelor liniare. La vectorizare pot apare unele inadvertențe, ca deplasarea nodurilor la intersecții în care axele porțiunilor de obiect nu se suprapun etc.

Înregistrarea coordonatelor punctelor traseului liniar

Atât prin cazul geoimaginilor fotogrammetrice sau de teledetecție transformate (fig. 4.10), cât și în cazul hărților digitale binare, capetele obiectelor liniare se regăsesc ușor. Prin căutare între cei 8 vecini ai pixelului curent, se găsesc succesiv ceilalți pixeli ai detaliului (fig. 4.11).

Coordonatele punctului de capăt se rețin și se înregistrează obligatoriu. Pentru punctele succesive, care se află unul după altul la un interval de un pixel, se calculează coordonatele punctelor sau se rețin și se înregistrează numai acelea care respectă condiția impusă inițial, ca punctul curent să fie la o distanță sub o toleranță dată față de predecesor (Nițu, C., Nițu, C.D. 1992a și 1992b).

În toate cazurile, pe ecranul grafic este afișată geoimaginea și pe măsură ce se face urmărirea semiautomată sau automată, apare și ecoul grafic, respectiv desenarea cu altă culoare peste geoimaginea inițială, folosind ca date inițiale coordonatele rezultate din vectorizare.

4.4 Digitizarea modelelor fotogrammetrice

4.4.1 Exploatarea geoimaginilor fotogrammetrice la stereorestitutoarele analogice

Stereorestitutoarele analogice (Răducanu N., 1973 și 1992; Zăvoianu, 1997; Turdeanu, 1997) suferă modernizări prin realizarea unor dispozitive suplimentare, cuplate, împreună cu aparatul, la un calculator electronic. De exemplu, stereorestitutorul STEREOMETROGRAF a fost cuplat cu un microcalculator și cu masa de desen automat DZT. S-a proiectat și interfața DIGITIZER-BOX, în colaborare cu IGFCOT, prin intermediul căreia aparatul a devenit un periferic specializat al calculatorului de tip PC.

Exploatarea fotogrammetrică este asistată de un software specializat, realizat conform cerințelor.

Operația care se realizează de către operator, ca și la lucrul prin metoda clasică, sunt orientarea interioară a fotogrammelor și parțial, orientarea relativă a fotogrammelor. La orientarea relativă se folosesc și elementele de orientare, care se calculează la prelucrarea datelor de aerotriangulație. După înregistrarea elementelor de orientare relativă, operatorul definitivează orientarea.

De aici încolo, programele asistă lucrul operatorului. Operațiunile principale executate sunt descrise în continuare.

Operatorul are deja înregistrate în memorie coordonatele în sistemul bazei de date pentru toate punctele de bază (geodezice, topografice, de reperaj, de aerotriangulație etc).

			1
		1	
0	0	1	
0	1	0	
0	0	0	

Fig. 4.11 Matricea 3*3 de căutare a pixelului vecin cu valoarea 1

A) Orientarea absolută. Programul indică operatorului să vizeze pe rând punctele cu coordonate cunoscute din stereomodel și să introducă pentru fiecare codul numeric de identificare. Trebuie să se introducă cel puțin trei puncte cu toate cele trei coordonate cunoscute. Pe baza celor două seturi de coordonate ale cel puțin trei puncte se determină cei șapte parametri ai orientării absolute (Turdeanu, 1997). Cu parametrii determinați se calculează coordonatele în sistemul bazei de date și se face și aprecierea preciziei, respectiv se calculează eroarea medie pătratică a unității de pondere și erorile în punctele de reper. Erorile obținute în punctele de reper se compară cu o toleranță dată, eliminându-se eventual punctul (punctele) pentru care erorile sunt mai mari decât toleranța. Calculele se reiau după eliminarea punctului (punctelor), cu condiția să existe cel puțin trei puncte rămase.

B) Digitizarea obiectelor modelului stereoscopic. Ca și la exploatarea clasică, lucrul operatorului este același. În plus acesta introduce de la tastatură sau prin vizarea pictogramei dintr-un meniu codul de identificare al obiectului, codurile de identificare ale atributelor și valorile atributelor. Sistemul asistă lucrul operatorului, conferindu-i de fiecare dată rezultatul efectuării operațiunilor. Pe ecranul grafic apare rezultatul sub formă grafică (ecoul grafic). În cazul digitizării unor elemente noi sau modificate pentru actualizarea bazei de date a SIG creată anterior, pe ecran este afișată și imaginea corespunzătoare bazei de date existente, cu simbolistica adecvată (Zăvoianu și Nițu C.D., 1996; Nițu, C., Nițu C.D. 1997d). Programele suport de digitizare sunt dezvoltate pe mediul AUTOCAD. După validare, coordonatele, codurile și atributele sunt scrise în baza de date a sistemului și sunt convertite și în formatele DXF și ArcInfo pentru exploatarea la serverul SIG. De notat că stabilirea topologiei datelor se face la serverul receptor (inclusiv validarea pentru includerea în baza de date SIG).

C) Rezultate practice. Pentru testarea sistemului Stereometrograf-interfață-PC, a terminologiei propuse, a algoritmilor de calcul și a programului propriu întocmit s-a ales un stereomodel format din fotogramele 2541 și 2543, obținute cu camera aerofotogrammetrică Wild RC-8, cu distanța focală de 153,04 mm, formatul 23cm * 23cm, de la înălțimea de 2500 m. Datele inițiale și rezultatele intermediare și finale sunt prezentate în anexa B(a).

Concluzii. Conform discordanțelor după calculul coordonatelor în punctele premarcate din poligon, dar care nu au fost folosite la orientarea absolută, erorile adevărate medii pentru cele 16 puncte sunt pentru cele trei coordonate 0,18 m, 0,10 m și 0,43 m, iar erorile medii pătratice sunt 0,73 m, 0,59 m și 0,52 m. Eroarea medie pătratică a poziției planimetrice este 0,92 m. Se observă că de această dată valorile medii ale discordanțelor sunt mici, dar variațiile sunt mari. Valorile obținute duc la concluzia că sistemul realizat poate fi folosit pentru lucrări de producție, mai ales pentru actualizarea prin metode fotogrammetrice a bazelor de date ale SIG. Nu facem referiri aici la posibilitățile de actualizare a hărților în funcție de precizia și rapiditatea culegerii datelor. Coordonatele finale ale punctelor de exploatare au fost exportate unui alt sistem, cu programe de interpolare. Prin interpolarea prin metoda celor mai mici pătrate s-au obținut reprezentările grafice ale curbelor de nivel cu echidistanța normală de 5 m. Au fost determinate inițial punctele unei grile, după care s-a făcut interpolarea curbelor de nivel. Corecțiile mult mai mari decât la restituția analitică se explică atât prin precizia mai mare a stereocomparatoarelor decât cea a stereorestitutoarelor, pe de o parte, precum și datorită necorectării coordonatelor pentru influența curburii Pământului, refracției atmosferice, deformării inegale a suporturilor fotogramelor pe cele două axe etc.

4.4.2 Exploatarea geoiniminelor fotogrammetrice și de teledetecție la aparatele fotogrammetrice analitice

Colectivul de cercetare și autorul au cercetat restituția analitică cu datele obținute la aparatele de tipul monocomparatoarelor și stereocomparatoarelor, conectate cu calculatoare electronice de tip PC.

Software-ul folosit pentru culegerea datelor este interactiv și asigură și validarea, apreciind în mod deosebit precizia datelor. Cercetările întreprinse au continuat eforturile depuse pentru întocmirea proiectului de diplomă la finalizarea cursurilor universitare.

Date inițiale și obținerea lor. Pentru exploatarea analitică a fotogramelor datele inițiale folosite sunt:

- datele măsurate la stecometru, coordonate și paralaxe, precum și numerele de identificare ale punctelor măsurate, pentru indicii de referință, punctele de orientare relativă (minimum 6 pe o stereogramă), punctele de orientare absolută (minimum 3 pentru un stereomodel) și pentru punctele de exploatare (în număr nelimitat);
- numerele și coordonatele punctelor de reper, în sistemul de referință (sistemul bazei de date cartografice), necesare orientării absolute, (numărul de puncte depinde de faptul dacă exploatarea analitică se realizează în același timp cu aerotriangulația sau ulterior realizării acesteia) și codul orientării reciproce a axelor sistemelor de coordonate;
- codul camerei fotogrammetrice cu care s-au obținut aerofotogramele, înălțimea de zbor, toleranțele coordonatelor fotogrammetrice și ale coordonatelor în sistemul geodezic de referință.

Coordonatele măsurate au fost obținute atât de către operatori cu experiență, cât și de către operatori începători.

Algoritmi de calcul. Procedurile programului întocmit în FORTRAN și testat pe platforme de tip PC și SGL conțin algoritmi ce se referă la:

- orientarea interioară* analitică a fiecărei fotograme a stereogramei, prin determinarea coordonatelor în sistemul fiecărei fotograme, inclusiv cu corectarea deformării suportului, cu folosirea transformării afine și a transformării Helmert, la alegere;
- determinarea corecțiilor* de distorsie a obiectivului, curbura a Pământului și refracție atmosferică;
- orientarea relativă* în serie a fotogramelor cu determinarea iterativă a elementelor de orientare și determinarea coordonatelor punctelor stereomodelului (tripletului);
- orientarea absolută* a stereomodelului prin determinarea iterativă a parametrilor de orientare (compensarea orientării absolute) și determinarea coordonatelor teren ale punctelor obiectelor geografice.

Verificările transformărilor și eliminarea punctelor ale căror coordonate s-au măsurat greșit, se face în toate etapele prelucrării astfel:

- la determinarea coordonatelor în sistemul fiecărei fotograme, de două ori succesiv:
 - prin calcularea distanțelor din coordonatele teoretice ale indicilor și respectiv, din coordonatele măsurate, determinarea unui coeficient mediu de scară, transformarea distanțelor cu coeficientul de scară mediu și eliminarea indicelui pentru care diferența de distanță e mai mare decât toleranța;
 - prin compararea corecțiilor coordonatelor după transformare

(V_x și V_y) cu toleranța indicată;

-după orientarea relativă, prin compararea corecției paralaxei transversale după compensare cu toleranța stabilită;

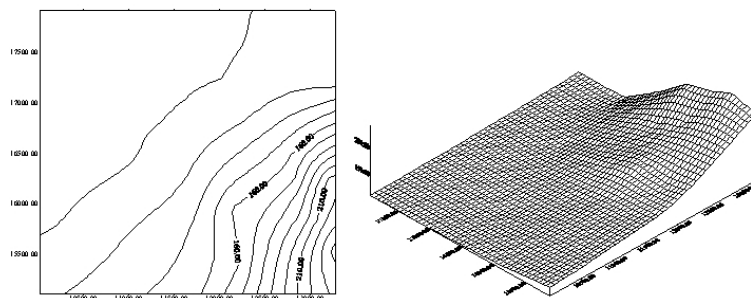


Fig. 4.12 Reprezentarea reliefului din zona de studiu

-la orientarea absolută, tot de două ori:

- prin compararea distanțelor;
- prin compararea corecțiilor (V_x , V_y și V_z) cu toleranța dată.

Toleranțele s-au indicat și aprioric, dar s-au calculat și în timpul prelucrării, în funcție de eroarea medie pătratică a unității de pondere.

Aprecierea preciziei. Aprecierea preciziei s-a făcut prin calcularea de fiecare dată a erorii medii pătratice a unității de pondere a corecțiilor mărimilor (determinate). Pentru o evaluare corectă a măsurătorilor, a algoritmilor de calcul, terminologiei de măsurare și a diferitelor cazuri de dispunere a punctelor cu coordonate, atât date, cât și măsurate sau determinate, s-a calculat și matricea inversă, respectiv s-au folosit fotogramele din poligonul fotogrammetric național, preluate cu camera RC-8 (codul 14 în program) cu distanța focală de 114,07 cm, de la înălțimea de 2300 m. Formatul fotogramelor este 18 cm * 18 cm. Indicii sunt dispuși în colțuri. Au fost realizate și reprezentări grafice cu indicatorii de precizie amintiți. Punctele stereomodelului se află într-o zonă deluroasă cu reprezentarea reliefului prin curbe de nivel și în perspectivă, arătate în fig. 4.12 Reprezentarea s-a făcut cu programele proprii, după determinarea punctelor de exploatare.

D. Rezultatele experimentărilor. În anexa B sunt trecute toate datele inițiale, datele intermediare și datele finale pentru un triplet (două stereomodele). Datele sunt măsurate la stereometru. S-au folosit 14 puncte de reper. Stereomodelul 2613/2614 conține coordonatele și paralaxele măsurate ale celor patru indici de referință și ale celor 22 de puncte, iar stereomodelul 2614/2615 conține, pe lângă coordonatele celor patru indici, coordonatele și paralaxele măsurate pentru încă 30 de puncte. La ambele stereomodele nu s-a eliminat nici un punct la orientarea interioară și la orientarea relativă. S-au eliminat, în schimb două puncte la legarea celor două modele (la formarea tripletului). La determinarea parametrilor orientării absolute s-au folosit 13 puncte, constatându-se că unul din punctele cu coordonate în sistemul bazei de date a fost eliminat deja la formarea tripletului.

Din analiza rezultatelor intermediare și finale rezultă:

- numărul punctelor de reper (punctelor de bază cu coordonate în sistemul bazei de date) este supraabundent;
- la transformarea coordonatelor și paralaxelor măsurate din sistemul aparatului în coordonate în sistemul fiecărei fotograme s-a utilizat transformarea Helmert.

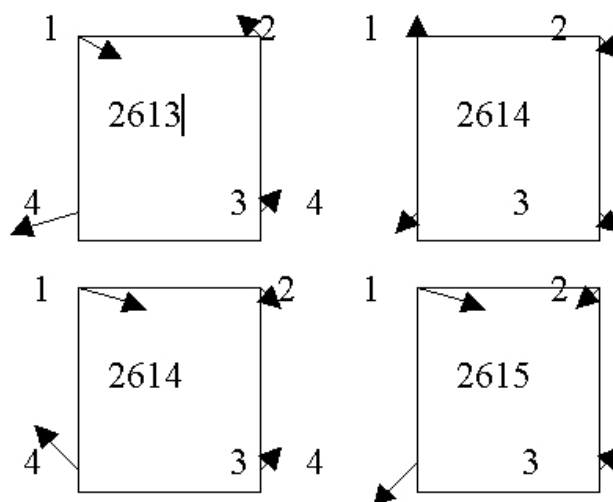


Fig. 4.13 Reprezentarea corecțiilor coordonatelor indicilor de referință

Din analiza coeficienților de deformare a suporturilor negativelor (film pe poliester) rezultă că toți coeficienții sunt subunitari, deci a avut loc o dilatare a suportului, sensibil egală pe ambele direcții – longitudinală și transversală. În figura 4.13 sunt reprezentate grafic corecțiile în indicii de referință.

Din analiza distribuției acestora, se poate trage concluzia că este posibil ca acestea să mai conțină părți sistematice. O eventuală corectare a coordonatelor indicilor de referință și a tuturor punctelor din cuprinsul fotogramelor cu o metodă proprie va îmbunătăți radical rezultatele. La orientarea relativă, pentru ambele stereomodele numărul de puncte a fost supraabundent, respectiv 21 de grade de libertate în primul stereomodel și 29 în cel de al doilea.

Eroarea medie pătratică a unității de pondere (e.m.p.u.p) a fost de 0,006 mm în ambele cazuri, valoarea maximă a paralaxei fiind de 2-2,3 ori mai mare decât e.m.p.u.p.

La formarea tripletului, numărul punctelor comune a fost din nou supraabundent, fiind eliminate două puncte, respectiv 299 și 187, având discordanțele mai mari decât toleranța, care în acest caz a fost considerată de $\sqrt{3}$ ori mai mare decât discordanța maximă a paralaxei transversale (respectiv 0,0263), datorită trecerii de la coordonate plane la coordonate 3D.

În figura 4.14 sunt reprezentate grafic corecțiile plane V_x și V_y obținute după calculul parametrilor orientării absolute. În orientările relativă și absolută nu s-au trecut elementele matricei de rotație, ci numai elementele care servesc la calcularea acestora (în cazul nostru valorile parametrilor A, B și C).

La orientarea absolută s-au folosit 13 puncte de bază, obținându-se gradul de libertate $n-k = 32$. Bineînțeles că e.m.p.u.p. este de 0,378 m, fiind de 21 de ori mai mare decât e.m.p.u.p la formarea tripletului, coeficient ce reprezintă chiar valoarea coeficientului de scară RK . Corecțiile V_x și V_y sunt normale. Pentru cote, corecția maximă este -0,91 m în punctul 188, punct pentru care s-au obținut și discordanțele maxime, atât la orientarea relativă cât și la formarea tripletului. Deja în testările ulterioare acest punct nu a mai fost luat în considerație.

Pentru discordanțele V_x , V_y și V_z , separat, s-au făcut și reprezentările diagramelor corecțiilor, care dau o bună înțelegere a modului de deformare a stereomodelor (tripletului). Pentru toate corecțiile, cele trei suprafețe V_x , V_y și V_z au o structură asemănătoare, ceea ce duce la concluzia că s-ar putea ca valorile coordonatelor determinate topografic să fie incorecte în acea zonă sau să se fi comis erori la înțeparea punctelor, respectiv a cunoașterii bornelor premarcate. Este înțeleasă analiza discordanțelor în punctele de reper eliminate la

formarea tripletului, respectiv 209, pentru care s-au obținut erorile reale $\epsilon_x = -0,239$ m; $\epsilon_y = 0,542$ m; $\epsilon_z = -1,266$ m; $\epsilon_p = 0,58$ m; $\epsilon_s = 1,301$ m, unde ϵ_p este eroarea plană de poziție, iar ϵ_s este eroarea spațială de poziție (3D). Se observă clar că a fost greșită măsurarea paralaxei longitudinale, cea care influențează determinarea cotei.

Întrucât acoperirea fotogramelor este totuși prea mare (84 %), se poate descoperii ușor care este cauza multor valori mari ale discordanțelor între cote.

Rezultatele restituției analitice sunt superioare celor ale restituției analogico-analitice. Este necesară recalibrarea camerelor existente în cazul utilizării lor în lucrările de producție sau de cercetare.

Se remarcă totuși o aceeași zonă a poligonului, cu forma suprafețelor erorilor aproximativ identică pentru zboruri diferite, ceea ce duce la concluzia reverificării determinării în teren a punctelor materializate. Refacerea poligonului geodezic național și a părții sale pentru calibrări fotogrammetrice se impune cu prisosință.

4.4.3 Prelucrarea imaginilor digitale

4.4.3.1 Probleme și soluții privind recunoașterea formelor în fotogrammetrie

Procedura de recunoaștere a formelor folosind ca primitive contururile este de o mare importanță în fotointerpretarea modelului stereofotogrammetric. Procedura a fost dezvoltată pentru lucrul cu imagini la scară mare, unde apar foarte clar contururile obiectelor. Pentru aplicarea metodei sunt necesare trei premize: imaginile folosite să fie multispectrale sau color; imaginile să permită operația de grupare geometrică; să poată fi recunoscute atât formele liniare, cât și cele areale.

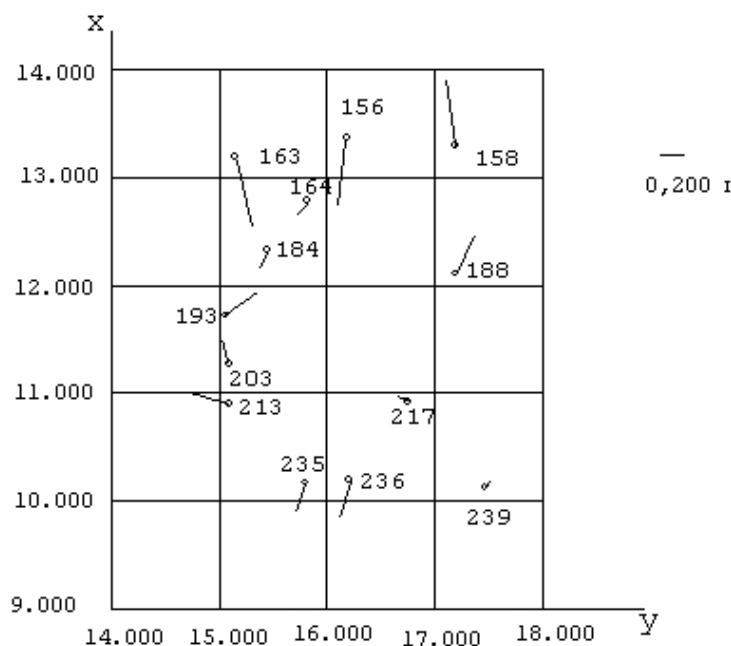


Fig. 4.14 Corecțiile plane în punctele de bază după orientarea absolută

Folosind această procedură automată de recunoaștere se poate obține o precizie de 1-2 pixeli. Sunt făcute recomandări pentru utilizarea procedurii la extragerea automată a detaliilor pentru baza de date a unui SIG.

4.4.3.1.1 Introducere

Metodele curente de orientare a imaginilor pot fi clasificate după tipul de primitive ce pot fi utilizate pentru orientare. Strategia de clasificare duce la două metode la identificarea bazate pe zone (areale) sau pe detalii liniare. Recunoașterea formelor care se bazează pe zone folosește ca primitive treptele de gri, iar cea bazată pe detalii folosește liniile și punctele cu aspect particular (de exemplu colțurile clădirilor și intersecțiile străzilor). Diferiți autori (Baltsavias, 1991; Doorn et al, 1990) arată avantajele și dezavantajele recunoașterii bazate pe forme areale și liniare. Datorită dificultăților reale în dezvoltarea algoritmilor de recunoaștere stereoscopică bazați pe corelația nivelelor de gri și pe lucrările extensive și promițătoare din domeniul vizualizării asistate de calculator bazată pe recunoașterea detaliilor (obiectelor), fotogrammetriștii și-au mutat atenția de la recunoașterea zonelor la recunoașterea bazată pe obiecte (detalii).

4.4.3.1.2 Motive pentru alegerea recunoașterii bazată pe forme

De mai mulți ani, problema recunoașterii imaginii digitale a fost rezolvată în fotogrammetrie prin luarea în considerație a atomului informațional, deci a pixelului și a pixelilor vecini ca primitivă, această procedură fiind cunoscută ca *recunoașterea bazată pe zone*. Această abordare corespunde unor cazuri particulare și dă bune rezultate pentru terenuri relativ plane, imagini fără discontinuități și cu o textură corespunzătoare. Se poate găsi o altă metodă, care, în loc să lucreze cu grupuri abstracte de pixeli vecini, lucrează cu nivele informaționale mai concrete, respectiv cu linii și cu forme cu contururi închise. Respectiv, metoda de *recunoaștere bazată pe detalii*, care prezintă un potențial mai ridicat de automatizare, rezolvând unele probleme particulare.

După cum s-a menționat anterior, prelucrarea bazată pe areale sau zone dă rezultate pentru fotograme la scări mici, unde umbrele reliefului nu au influență mare. Totuși, trebuie să existe o textură corespunzătoare pentru a evita identificarea mai multor puncte corelate pentru un punct din imaginea de referință. Pentru imagini la scări mari, obținute mai ales în zone urbane, este preferată metoda bazată pe detalii, datorită unor discontinuități create de structurile artificiale, umbrele și părțile acoperite ale unor detalii.

Tehnicile de corelare bazate pe detalii localizează (identifică) perechi de segmente corespondente prin compararea reprezentărilor extrase din cele două imagini care trebuie orientate. Aceste detalii nu sunt limitate doar la nivelele de gri din imagine, ci pot fi puncte, linii sau forme areale. Operațiunile de bază dezvoltate pentru puncte sunt cunoscute sub denumirea de operatori de control. Alți operatori folosiți sunt detectoarele de limită pentru detectarea conturilor (vezi 3.4), urmate de procedurile pentru urmărirea liniilor și de cele de vectorizare.

4.4.3.1.3 Descrierea procedurii de recunoaștere bazată pe detalii

Este utilizată procedura de recunoaștere care folosește ca primitive laturile marginale ale detaliilor. Se folosesc tehnicile de detectare a muchiilor sau laturilor marginale. Procedura constă din câteva operațiuni bazate pe pașii următori: detectarea limitelor; segmentarea liniilor; recunoașterea formelor. Prima etapă constă în pregătirea datelor inițiale. Datele digitale imagine se obțin fie direct de la o cameră digitală aeropurtată, fie prin scanarea fotogramelor (negative sau diapozitive) obținute de o cameră fotoaeriană clasică. În ambele cazuri dispozitivele de digitizare trebuie calibrate pentru a asigura o precizie corespunzătoare. În literatura de specialitate sunt cunoscute metode de calibrare a camerelor digitale (Chen și Schenk, 1992) și a *scanerelor* (Sarjakoski, 1992). Prin calibrare sunt înlăturate erorile sistematice. Pentru testarea diferiților pași ai procedurii, a fost folosită o pereche de fotograme

(cadre de imagini). Într-o primă etapă sunt detectate, cu metodele descrise anterior, apoi în cea de-a doua etapă, sunt reuniți și conectați pixelii muchiilor care au aceeași orientare și aceeași valoare de gri. Aceste prime două etape sunt realizate pentru fiecare imagine în parte. Baza de date se micșorează ca volum, păstrând doar punctele critice care formează vârfurile poligoanelor (formelor). În cea de-a treia etapă, formele extrase din cele două imagini conjugate sunt prelucrate împreună, folosind proprietățile geometriei invariante, de exemplu, în anumite condiții, unghiurile din vârfuri. În această ultimă etapă este creată o listă a formelor candidate la recunoaștere și este făcută o filtrare, reținând numai figurile corespondente complete (de reținut că în a treia etapă se lucrează numai cu stereograma). Secvența de operațiuni de mai sus permite determinarea parametrilor de transformare între două forme similare și în consecință paralaxa, fără ajutorul altor constrângeri epipolare sau a altor constrângeri geometrice. Fiecare pereche de forme recunoscute care sunt reținute după procesul de filtrare de mai sus are proprii săi parametri de transformare. În funcție de transformarea executată (rototranslație, afină sau proiectivă), procedura va fi mai mult sau mai puțin restrictivă. De notat că pentru rototranslație, chiar dacă sunt necesare mai puține vârfuri ale poligonului (liniei poligonale), decât la celelalte două transformări, rezolvarea este mai restrictivă. Recunoașterea propusă aici lucrează cu unghiurile din vârfuri. Ca atare, pentru multe perechi de forme poate fi folosită rototranslația, cu 4 parametri de determinat, datorită numărului limitat de vârfuri din aceste forme. Detalii mai multe despre transformare sunt date de Larouche (1995). Figura 4.17 arată rezultatele obținute prin rototranslație unde au fost recunoscute și folosite 2 forme.

Aceasta demonstrează că algoritmul lucrează corect pentru imagini reale complicate, necesitând unele îmbunătățiri pentru a găsi mai multe perechi de forme. La aplicarea procedurii apar adesea unele probleme.

4.4.3.1.4 Câteva probleme identificate la realizarea procedurii

Prima problemă care apare este aceea că după filtrare rămân puține perechi de forme. Numărul mic de perechi este cauzat de natura restrictivă a procedurii. Datorită necesității de a prelucra forme cu un număr mic de puncte (vârfuri), algoritmul lucrează mai bine cu forme complicate. Rototranslația are șanse mai bune de a crește numărul de forme recunoscute, deoarece necesită un număr mai mic de puncte pentru rezolvare.

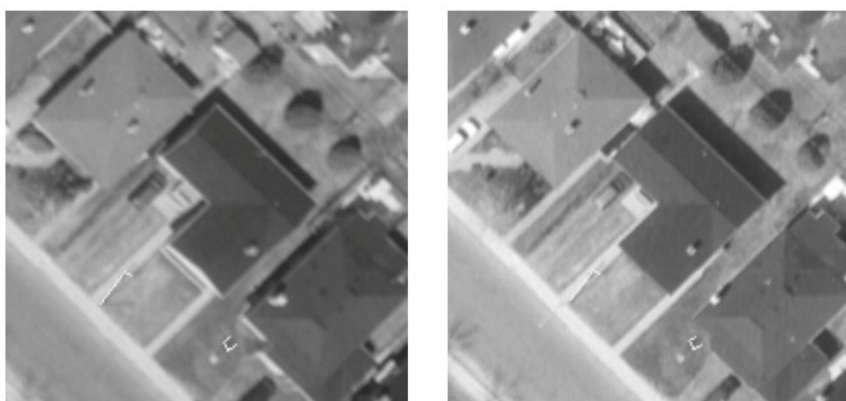


Fig. 4.16. Descrierea procedurii de recunoaștere a formelor bazată pe detalii

De asemenea, pentru acest tip de imagini la scară mare cu multe detalii artificiale, multe linii drepte formate doar din două vârfuri (ne ferim să spunem doar segmente) nu pot fi tratate de către algoritm. Linile drepte reprezintă adesea muchii ale detaliilor foarte importante. O altă problemă majoră este aceea că unele linii sunt întrerupte sau dublate, datorită prezenței zgomotului în imagini.. Nici un operator detector de muchii nu extrage

perfect detaliile comune celor două imagini datorită diferențelor geometrice sau de alt tip dintre cele două imagini. Pentru îmbunătățirea rezolvării sunt date în continuare câteva soluții.

Datorită complexității imaginii și naturii restrictive a procedurii, doar puține perechi de forme din stereograma la scară mare pot fi recunoscute din numărul mare de perechi de detalii existente pe stereograma complexă la scară mare. Se propun câteva strategii pentru creșterea numărului de perechi de detalii și pentru a se face recunoașterea mai simplă prin considerarea unor detalii speciale ca drumuri și clădiri.

Prima considerație studiază efectul tehnicii de recunoaștere aplicată datelor imaginilor multispectrale și color. Cea de a doua constă în curățirea și rearanjarea fișierelor cu date vectoriale create după aproximarea liniilor, prin folosirea algoritmilor de grupare geometrică. În final, a treia soluție (etapă) folosește formele găsite inițial drept constrângeri pentru extinderea recunoașterii la noi forme și calculul nepotrivirii detaliilor recunoscute.

4.4.3.1.5 Soluții de îmbunătățire propuse

Prima extindere este de a aplica procedura la date multispectrale și color (când există). Pentru aplicații precum extragerea detaliilor, este normal ca mai întâi să se combine mai multe canale pentru a rezulta o singură imagine (înaintea aplicării procedurii).



Fig. 4.17. Rezultatul recunoașterii formelor

pozițiile diferitelor forme ce au fost recunoscute.

Au fost găsite 13 perechi de forme, de regulă segmente de dreaptă. Trei forme au fost identificate pe banda (canalul) albastru, una pe roșu, dar nici una pe verde. Celelalte au fost găsite prin corelarea imaginilor benzilor, ca de exemplu banda pentru roșu a fotografeiei din stânga cu banda în albastru a fotografeiei din dreapta. Aspectul cel mai surprinzător este că nu au fost recunoscute forme pe stereoimaginile limitelor formate de imaginile combinate ale benzilor (canalelor).

Totuși operațiunile de extragere a detaliilor, care includ detectarea limitelor, formarea liniei și a detaliului sunt considerate în practica uzuală ca fiind neliniare. Din acest motiv, combinarea datelor înaintea procesării este inferioară procesării canalelor individuale. Strategia propusă de detectare a limitelor în imaginea multispectrală presupune determinarea limitelor pentru fiecare canal (bandă spectrală) în parte, analiza rezultatelor din fiecare bandă prin transformarea limitelor în segmente de dreaptă și figuri (forme) și apoi formarea și recunoașterea detaliilor.

Figura 4.18 arată imaginea din dreapta a unei stereograme color (reprezentată totuși în alb-negru), cu

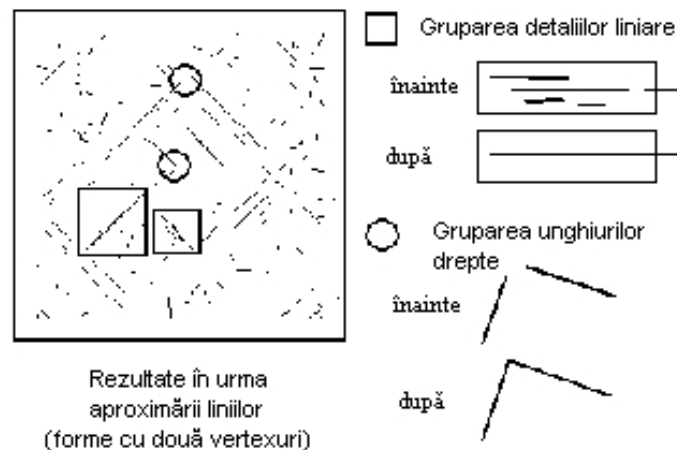


Fig. 4.18 Forme recunoscute din diferite combinații ale canalelor

A doua extindere constă în adăugarea la procedură a operațiunii de grupare geometrică. Aceasta permite conectarea segmentelor scurte, întrerupte pe timpul procesului de detectare a limitelor și de segmentare a liniilor pentru a forma linii mai lungi care reprezintă mai bine contururile detaliilor. Figura 4.19 arată două exemple de aplicare a grupării, unul pentru gruparea liniilor paralele și celălalt pentru gruparea liniilor perpendiculare. Sunt posibile diferite combinații ale liniilor, astfel încât algoritmul poate deveni complex chiar și când sunt necesare calcule simple de geometrie analitică. Prin conectare geometrică, sunt realizate detalii importante pentru continuarea aplicării procedurii de recunoaștere a detaliilor (formelor). În literatura de specialitate sunt descriși câțiva algoritmi care permit gruparea segmentelor liniare paralele sau perpendiculare pentru a reprezenta mai bine obiectele și a furnizeze detalii corespunzătoare pentru orientare (Larouche, 1995).

A treia extensie este cea de a realiza un algoritm care să orienteze reciproc liniile drepte și alte forme ce nu pot fi orientate reciproc prin procedura descrisă, deoarece nu pot furniza destule caracteristici geometrice. Prin folosirea cel puțin a unei perechi de forme deja găsită de procedura descrisă, este ușor apoi să se mărească numărul de detalii cu imagini corespondente. Segmentele de dreaptă sunt folosite ca primitive, direcțiile și lungimile acestora, coordonatele punctelor de capăt sau punctului mijlociu sunt atribute, iar coeficienții de transformare determinați pentru formele (detaliile) deja recunoscute se consideră constrângeri. Metoda dezvoltată s-a dovedit a fi rapidă și sigură (robustă), permițând determinarea unui număr mai mare de detalii, cu un procentaj corespunzător de siguranță. Figura 4.20 arată că se obțin mai multe detalii recunoscute folosind ca primitive segmente de dreaptă, decât dacă s-ar folosi forme complexe.

4.4.3.1.6 Unele rezultate

A fost dezvoltată și o metodă pentru determinarea discordanțelor între detaliile recunoscute și a preciziei lor pentru analiza rezultatelor aplicării metodei. Discordanțele sunt reprezentate de vectori 2D, cu componentele calculate ca diferențe între coordonatele vârfurilor conjugate ale detaliilor liniare.

Pentru linii drepte, în vederea localizării liniei, trebuie ales un punct undeva pe fiecare segment. În cele mai multe cazuri, alegerea punctului mijlociu dă rezultate bune, mai ales când segmentele au lungimi aproximativ egale. Totuși dacă una sau ambele linii ale perechii sunt parțial ascunse, în locul punctului mijlociu se poate alege unul din punctele de capăt. În figura 4.21 se arată discordanțele sub formă de vectori în toate vârfurile detaliilor liniare recunoscute. Se poate vedea că discordanțele plane (vectorii) au cam aceeași formă (ca intensitate sau ca orientare). Aceste perechi de detalii recunoscute pot avea discordanțe ușor diferite ca orientare și intensitate pentru diferite planuri de înălțime (cotă).

După cum se vede în figura 4.21, puține segmente recunoscute de pe acoperișurile clădirilor au discordanțe mai mari ca lungime decât unele de pe sol din jurul aceluiași clădiri. Totuși discordanțele au orientări puțin diferite, cu toate că ne-am fi așteptat la orientări similare (de-a lungul liniilor epipolare). Aceste mici diferențe apar probabil datorită preciziei mai slabe obținută când sunt folosite punctele mijlocii ale segmentelor pentru calculul discordanțelor.

Precizia așteptată a discordanțelor în vârfurile liniilor poligonale ale contururilor este mai bună în general decât precizia obținută pentru segmente în întregime, deoarece un vârf reprezintă intersecția a două linii, ceea ce reprezintă o problemă geometrică mai consistentă. Pentru un segment mai lung, precizia în punctul mijlociu este mai bună decât precizia într-un punct de capăt. Folosind procedura automată descrisă mai sus s-a obținut o îmbunătățire cu 1-2 pixeli a preciziei, în comparație cu procedura manuală. Unele puncte corespondente recunoscute automat (de exemplu în vârfurile liniilor poligonale) sunt probabil mai precise decât unele obținute manual, deoarece acestea reprezintă întregul detaliu în locul unui singur punct sau a două puncte



Fig. 4.19 Gruparea detaliilor liniare și a unghiurilor drepte



Fig. 4.20 Rezultatul recunoașterii liniilor (segmentelor de dreaptă)

4.4.3.1.7 Concluzii

Procedura de recunoaștere automată a detaliilor liniare ce folosește formele ca primitive conține un șir de operațiuni precum: detectarea muchiilor (limitelor), segmentarea liniei și recunoașterea formei. Datorită naturii restrictive a procedurii bazate pe forme, pot fi recunoscute puține perechi de linii din numărul total existent în aerofotogramele complexe folosite, acestea fiind la scară mare. S-a demonstrat experimental că pot fi recunoscute mai multe perechi de detalii (liniare) atunci când se aplică procedura independent pentru fiecare canal sau bandă spectrală și se combină în final rezultatele. De asemenea, se obțin mai multe detalii recunoscute atunci când se grupează geometric mai multe segmente mici paralele sau perpendiculare. În final, utilizând segmentele mai lungi rezultate, ce reprezintă o extensie a procedurii de recunoaștere, s-au obținut rezultate încurajatoare pentru imaginile la scări mari. Folosind procedura automată descrisă mai sus s-a obținut o îmbunătățire cu 1-2 pixeli a



Fig. 4.21 Vectorii discordanțe în vârfurile liniilor poligonale ale detaliilor

preciziei, în comparație cu procedura manuală. Pentru posibile îmbunătățiri, procedura trebuie testată pe mai multe imagini de tipuri diferite. De asemenea fazele multiple ale procedurii, testate separat, trebuie întrunite, într-un sistem performant complet. Procedura analizată aici poate fi extinsă prin adăugarea unor instrucțiuni pentru recunoașterea formelor areale (delimitate de curbe închise). S-ar reduce mult lucrul efectiv pentru aceste ultime tipuri de detalii, pentru că se iau în considerație detaliile segmente determinate deja (parametrii fiind considerați constrângeri).

Vor fi reduse și problemele cauzate de discontinuități, dacă nu complet eliminate, deoarece detaliile de acest tip reprezintă uneori chiar discontinuități în imagini. Metodele de corelare bazate pe obiecte areale pot fi folositoare pentru îmbunătățirea preciziei recunoașterii obiectelor liniare pentru a găsi perechi de puncte pe liniile (obiectele liniare) recunoscute, care dau valorile optime de corelație. Aceste perechi de puncte recunoscute vor reprezenta întregul detaliu cu o precizie mai bună.

Procedura poate fi astfel modificată, încât să se extragă întregul detaliu (obiectul) pentru a fi introdus în bazele de date SIG. Diferite module ale procedurii, ca de exemplu detectarea muchiilor (limitelor), formarea unui detaliu liniar din segmente, gruparea geometrică și recunoașterea formelor pot fi adaptate pentru extragerea detaliilor. Culegerea datelor SIG prin exploatarea aerofotogramelor și a imaginilor satelitare este o sarcină importantă pentru multe aplicații cu date spațiale. Necesitatea actualizării datelor topografice ale SIG necesită dezvoltarea procedurilor de interpretare automată și de extragere a detaliilor. Importanța folosirii cunoștințelor referitoare la terenul reprezentat în imagine și o participare minimă interactivă a operatorului pot ajuta în rezolvarea acestor probleme dificile.

4.4.3.2 Analiza multirezoluție în SIG

Datele imagine (teserale sau raster) utilizate în SIG au uneori caracteristica de multirezoluție, fiind obținute cu sisteme de teledetecție multispectrală, inclusiv cu camerele aerofotogrammetrice. Aceste date trebuie integrate cu cele din alte surse în bazele de date ale SIG, în forma originală sau după o prelucrare stabilită. Imaginile digitale monocrome, color sau multispectrale pot fi folosite pentru formarea modelului stereoscopic prin calcul, pentru determinarea coordonatelor punctelor conjugate. Se poate face separarea unor obiecte imagine și interpretarea acestora, respectiv recunoașterea formei pe baza umbrei și texturii. În acest subcapitol se prezintă metodologia formării stereomodelului folosind imagini color la scări diferite. Pe baza rezultatelor obținute se face o analiză a preciziei și se fac extrapolări asupra folosirii acestor tipuri de date în SIG.

4.4.3.2.1 Introducere

SIG are nevoie de date raster la mai multe scări, de mai multe rezoluții și la mai multe momente de timp. Imaginile color conțin mai multe informații decât imaginile alb-negru, existând un interes deosebit pentru imaginile multi și hyperspectrale, acoperirea multiplă fiind cerută de multitudinea utilizării SIG. Exploatarea datelor multispectrale este încă obiectul de studiu al multor specialiști. Hărțile topografice de până acum s-au făcut cu fotograme alb-negru și mai puțin cu imagini de teledetecție. În cazul realizării SIG situația e cu totul alta.

Ca și în aplicațiile de teledetecție, în SIG se recomandă combinarea diferitelor benzi spectrale și apoi prelucrarea imaginilor pentru extragerea detaliilor. În practică, extragerea detaliilor este o problemă neliniară, această neliniaritate implicând faptul că această combinare dinaintea prelucrării nu pune probleme deosebite, fiind mai simplă în comparație cu prelucrarea fiecărei benzi în parte urmată de o asamblare a rezultatelor. Se pune accentul aici pe o altă metodă de recunoaștere a formelor, bazată pe forma dată de umbre (mai ales de limitele zonei umbrite).

4.4.3.2.2 Generalități privind analiza rezoluției multiple

Imaginea de teledetecție se caracterizează prin rezoluții multiple – spațială, spectrală, radiometrică și temporală. Straturile de date sunt organizate piramidal în bazele de date SIG, înălțimea stratului în piramida imaginară crescând cu scăderea rezoluției, iar cantitatea datelor fiind proporțională cu suprafața secțiunii orizontale a piramidei la înălțimea dată. În procesarea semnalelor, pe de altă parte, codificarea subbandă folosind filtre oglindă patratică, dă o reprezentare matricială a descompunerii ortogonale pentru diferite rezoluții, într-o succesiune de scări.

Analiza multirezoluție este o mulțime (un corp) $V_i, i \in \mathbb{Z}$, a subspațiilor închise din $L^2(\mathbf{R})$, spațiul liniar al funcțiilor pătratice integrabile peste \mathbf{R} , cu următoarele proprietăți:

- (a) intersecția tuturor V_i este $\{\emptyset\}$;
- (b) reuniunea tuturor V_i este densă în $L^2(\mathbf{R})$;
- (c) $f(x) \in V_i$ dacă și numai dacă $f(2x) \in V_{i+1}$;
- (d) ar trebui să existe o funcție de netezire $g(x)$, astfel încât mulțimea $g(x-k)$, $k \in \mathbb{Z}$, să fie o bază ortonormală pentru V_0 .

Analiza multirezoluție este dependentă de analiza spectrală (Meyer, 1993). Aplicațiile descriptive folosesc teoria analizei spectrale pentru a filtra unele date culese, precum metoda Haar, care corespunde laplacianului gaussian pentru detectarea limitelor zonelor izodense în

procesarea imaginilor digitale. Aplicațiile analitice din analiza spectrală implică o transformare pentru o fereastră spectrală din domeniul spectral al șirului de date.

Pentru a ilustra considerația de multirezoluție în spațiul monodimensional, fie șirul $x(n)$, $n = 1, 2, 3, \dots$, care să se descompună într-o structură piramidală de subșiruri, cu informația subbandă corespunzătoare. Corespunzător diferitelor spații, sunt generate mai multe niveluri de descompunere:

$$\begin{aligned} \text{Nivelul 0:} & \quad \{ x(1), x(2), x(3), x(4), x(5), x(6), \dots \} \\ \text{Nivelul 1:} & \quad \{ x(1), x(3), x(5), x(7), x(9), x(11), \dots \} \\ & \quad \{ x(2), x(4), x(6), x(8), x(10), x(12), \dots \} \\ \text{Nivelul 2:} & \quad \{ x(1), x(5), x(9), x(13), x(17), x(21), \dots \} \\ & \quad \{ x(2), x(6), x(10), x(14), x(18), x(22), \dots \} \\ & \quad \{ x(3), x(7), x(11), x(15), x(19), x(23), \dots \} \\ & \quad \{ x(4), x(8), x(12), x(16), x(20), x(24), \dots \} \end{aligned}$$

și așa mai departe, pentru alte niveluri. O astfel de descompunere poate fi generalizată ușor la subșiruri bidimensionale cu generarea de subșiruri cuadrule în fiecare pas. Practic, aceste descompuneri sunt făcute în domeniul spectral, pentru o eficiență computațională mare.

4.4.3.2.3 Descompuneri de filtrare prin multirezoluție

Proiectarea filtrelor de realizare a descompunerii multirezoluție este o problemă simplă în termenii generali ai proiectării convenționale a filtrelor. Ar trebui să existe două filtre complementare L și H pentru tendință și abateri (fluctuații) într-o succesiune ce corespunde componentelor mici (Low) și respectiv înalte (High) ale frecvenței:

$$L S_k = S_{k+1} \text{ și } H S_k = R_{k+1} \quad (4.35)$$

pentru un șir S_k dat la nivelul k și șirurile complementare S_{k+1} și R_{k+1} la nivelul superior $k+1$. Cu filtrele ce respectă relația $L^*L + H^*H = I$, se obține o schemă de reconstrucție de tipul

$$S_k = L^* S_{k+1} + H^* R_{k+1} \quad (4.36)$$

care corespunde mai mult operațiunilor de codificare. Aceste filtre se numesc Filtre Oglindă Cuadrice sau QMF (Nie, 1994).

Fie următorul exemplu:

$$\begin{aligned} \{x(1), x(2), x(3), x(4), \dots\} & \rightarrow \{\alpha[x(1)+x(2)], \alpha[x(3)+x(4)], \dots\} \\ \text{pentru tendință, și} \\ \{x(1), x(2), x(3), x(4), \dots\} & \rightarrow \{\alpha[x(1)-x(2)], \alpha[x(3)-x(4)], \dots\} \end{aligned}$$

pentru fluctuații (abateri), cu $\alpha = 2^{-1/2}$. Este ușor de verificat că sunt satisfăcute proprietățile precedente ale filtrelor, inclusiv posibilitatea reconstruirii imaginii la forma de dinainte de filtrare. Această filtrare (prin decimare) poate fi repetată de atâtea ori cât permite lungimea șirului, acest fapt dând o descompunere multispectrală a șirului original de date. Această procedură de filtrare poate fi extinsă ușor la două sau mai multe dimensiuni.

4.4.3.2.4 Aplicarea la detectarea limitelor și la recunoașterea formelor

Reprezentarea multirezoluție a (geo)imaginii a fost recunoscută ca o soluție esențială și promițătoare în vizualizarea asistată de calculator și în fotogrammetria digitală (Doorn, 1991). Un motiv puternic pentru dezvoltarea multirezoluției pentru (geo)imaginile digitale îl constituie stocarea și manevrarea datelor. Se consideră deci logic să se cerceteze o zonă prin imaginile acesteia cu rezoluții diferite. Sunt prezentate în continuare două metode de detectare a limitelor zonelor izodense și o soluție multispectrală și se evaluează potențialul acestora pentru formarea și analiza modelului.

4.4.3.2.4.1. Detectarea limitelor zonelor multirezoluție pe baza piramidelor imagine

A fost cercetat un algoritm de detectare ierarhică a limitelor zonelor izodense. Pentru o imagine de mărimea $2^n \times 2^n$, o piramidă este pur și simplu o descompunere într-o serie de subimagini, cu stratul inițial imaginea originală, iar cu vârful imaginea cea mai generalizată, formată dintr-un singur pixel. Descompunerea poate fi făcută în mai multe moduri prin medierea valorilor a 4 pixeli vecini și atribuirea acestei valori noului pixel rezultat după reeșantionare. Este posibil să se aplice o determinare ierarhică și a limitelor zonelor izodense, prin aplicarea unui detector la nivelurile corespunzătoare ale piramidei, printr-o posibilă reeșantionare, folosind subimaginile de rezoluție maximă. Figurile 4.22 și 4.23 arată rezultatele detectării limitelor în piramidă, obținute pe o imagine mică, folosind detectorul Sobel. S-a folosit o soluție iterativă, pentru a extrage limitele și pentru reeșantionare în/pe piramida imagine. Numărul de limite este mai mic atunci când căutarea începe la rezoluții mai mari. Pentru aceasta poate fi eliminat un mare număr de limite nesemnificative, putându-se obține limite corecte fără a fi prezent un zgomot semnificativ.

4.4.3.2.4.2. Detectarea limitelor multirezoluție pe baza focusării pe frontiera zonei

Detectarea limitelor multirezoluție bazată pe focusarea pe frontiera zonei este o metodă dezvoltată de Bergholm (1987), pentru extragerea unei serii de hărți cu limite, începând de la un nivel oarecare al piramidei gaussiene, până la nivelul inferior. Soluția bazată pe focusarea pe frontieră folosește limita determinată la un anumit nivel pentru a predefini limita pentru nivelul imediat superior și pentru a îmbunătăți precizia pozițională. Focusarea pe detectarea frontierei este independentă de operatorii de detectare utilizați. Lam (1990) a aplicat focusarea pe limită cu operatorii gaussieni de două tipuri – laplacianul gaussian LoG (vezi 2.4) și prima derivată a gaussienei, prima valoare fiind mai ușor de calculat, dar nedând nici o informație referitoare la direcția laturii detectate, iar a doua dând o informație descriptivă mai bogată, în special despre orientare și magnitudine (intensitate). Operatorul, în cazul al doilea, este dat de formula:

$$G(x, y; \sigma) = \sigma^2 \exp[-(x^2 + y^2) / 2\sigma^2] \quad (4.37)$$

unde σ este factorul de scară sau parametrul de neliniaritate pentru control. Sunt calculate apoi derivatele parțiale de ordinul întâi ale lui $G(x, y; \sigma)$ pentru direcțiile axelor x și y .

Parametrul de scară σ este mărimea care determină dimensiunea ferestrei folosite pentru a forma două măști ortogonale. Se aplică apoi imaginii două filtre de convoluție, cu cele două măști, prezența unei limite fiind detectată ușor folosind valorile magnitudinii (intensității) și orientării. Așa cum se vede în figura 4.24, procedura de focusare pe frontieră începe cu o valoare mare pentru σ , pentru a extrage limitele cele mai importante.

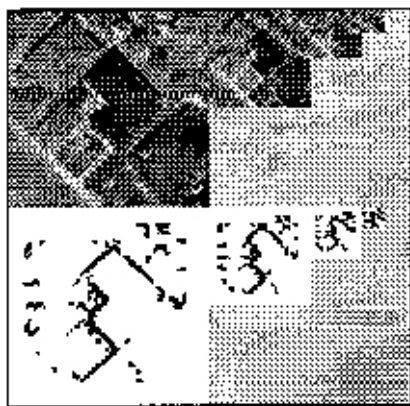


Fig 4.22. Piramida de detectare a limitelor (de la nivelul 4 la $n-1$)

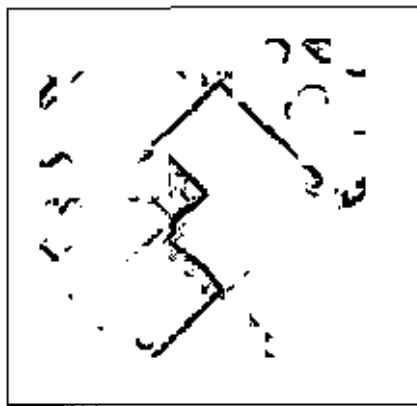


Fig. 4.23 Rezultatul final al detectării (nivelul final $n=6$)

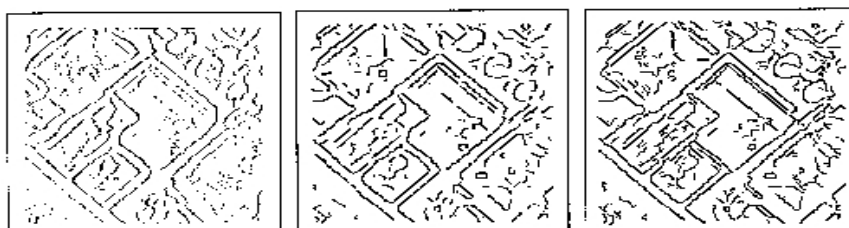


Fig. 4.24 Rezultatele focusării pe frontieră (pentru $\sigma=3, 2$ și 1)

4.4.3.2.4.3 Detectarea limitei în imaginea multispectrală

Tot mai multe imagini se obțin în culori sau ca înregistrări multispectrale. Pentru aplicații de interpretare a (geo)imaginii și deci de extragere a detaliilor, se combină imaginile mai multor canale (benzi) pentru a forma o singură imagine, înainte de a efectua orice prelucrare. După cum se va arăta ulterior, procedura de extragere a detaliilor este practic neliniară și combinarea datelor înainte de prelucrare pare a fi inferioară procesării canalelor (benzilor) individuale. Soluțiile multirezoluție și multispectrală pot fi integrate prin aplicarea tehnicii de focusare pe frontieră fiecărui canal al unei imagini. Pentru aplicații de orientare a celor două imagini și de formare a modelului, este aplicată aceeași metodă a focusării pe



Fig. 4.25 Rezultatele orientării formelor pentru canalul albastru limită celor două imagini conjugate ale stereogramei, formând trei noi imagini cu limite

corespondente (conjugate). Apoi este aplicată o procedură de orientare a formelor, pentru fiecare pereche de imagini cu limite. După cum se vede în figura 4.25, două forme au fost orientate corect în canalul albastru, în imaginile stereoscopice ale canalelor roșu și verde. Observația cea mai interesantă este că nu au fost orientate reciproc forme în stereogramele cu imagini ale formelor rezultate din imaginile combinate ale canalelor. Cu toate că rezultatele sunt doar preliminare, procesarea separată a canalelor diferite îmbunătățește șansele extragerii informației dorite și are în mod predefinit un potențial bun pentru aplicațiile de orientare a imaginilor și de extragere a detaliilor.

4.4.3.2.5 Aplicare la forme multirezoluție rezultate din umbre

Forma rezultată din umbre este o metodă de găsim a informației geometrice în urma analizei uneia sau mai multor imagini cu zone cu umbre (de regulă izodense). În ultimele două decenii au fost dezvoltati mulți algoritmi pentru recunoașterea formelor de acest tip, care dau foarte bune rezultate atunci când sunt folosite imagini sintetizate din zone bine cunoscute (He și Blais, 1995).

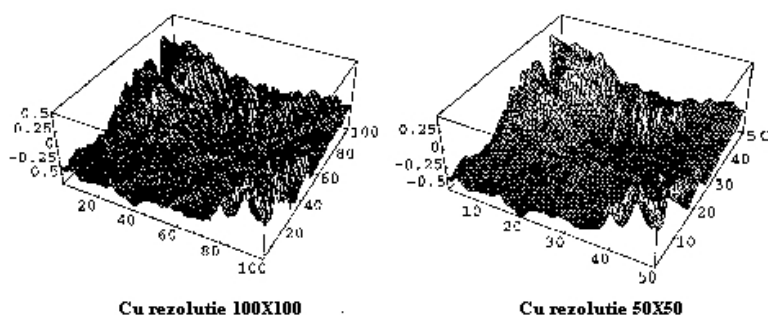


Fig. 4.26 Soluția multirezoluție cu structura piramidală de date

Aplicarea implică două aspecte, unul de implementare a soluției de detectare a limitelor zonelor (umbrile) ce presupune o structură ierarhică a procedurilor de prelucrare a imaginilor, iar altul de folosire posibilă a imaginilor multibandă. Al doilea aspect este avut în vedere în mod deosebit la prelucrarea datelor de teledetecție satelitară. Din literatură reiese că s-au folosit mai ales imagini monocromatice, cercetările nefiind încă făcute cu imagini multispectrale. Se vor analiza ambele situații, cu unele exemple concrete.

4.4.3.2.5.1 Determinarea formelor rezultate din umbre folosind soluția multirezoluție

Determinarea formelor rezultate din umbrele de pe imaginile multirezoluție are avantajul reducerii operațiunilor de calcul, ceea ce duce la mărirea eficienței și soluții mai stabile (cu un procentaj de reușită mai mare). Metoda presupune descompunerea imaginii inițiale în mai multe imagini de rezoluții diferite. O cale de implementare a metodei este folosirea structurilor piramidale de date.

Algoritmul funcționează interactiv. Imaginea inițială este redusă de două ori pentru a obține nivelul unu, apoi imaginea nivelului unu este redusă de două ori pentru a obține nivelul doi ș.a.m.d. pentru nivelele superioare. Când dimensiunea subimaginii celui mai inferior nivel este destul de mică pentru a permite implementări foarte rapide ale algoritmului, poate fi obținută o estimatie inițială (primă estimatie) a formei. O altă caracteristică este aceea de a se comunica foarte corect rezultatele între niveluri, respectiv în termenii descrierii formei. Rezultatul experimentării algoritmului este dat în figura 4.26. Imaginea inițială este de 200 X 200 pixeli, rezultată din imaginile multispectrale (pe 7 benzi), imaginea de nivelul unu este de 100 X 100 pixeli, cea de nivelul doi este de 50 X 50 pixeli ș.a.m.d. (rezoluțiile succesive sunt

în progresie geometrică). Se obține o convergență rapidă a soluțiilor, datorită structurii piramidale de date.

Determinarea formei din umbre folosind date multirezoluție

Teoretic, metoda este mai pretabilă pentru aplicațiile cu imagini multispectrale, datorită faptului că în diferitele benzi spectrale sunt mai multe semnături decât în imaginea monocromatică. Considerând ca cele mai folosite imagini în SIG și teledetecție imaginile satelitare optice și fotografiile aeriene (cu excepția imaginilor radar), soarele poate fi considerat ca o sursă de lumină la aceeași distanță în sistemul de formare a imaginii. Această considerație simplifică mult situația pentru aplicarea metodei de recunoaștere pe baza umbrelor.

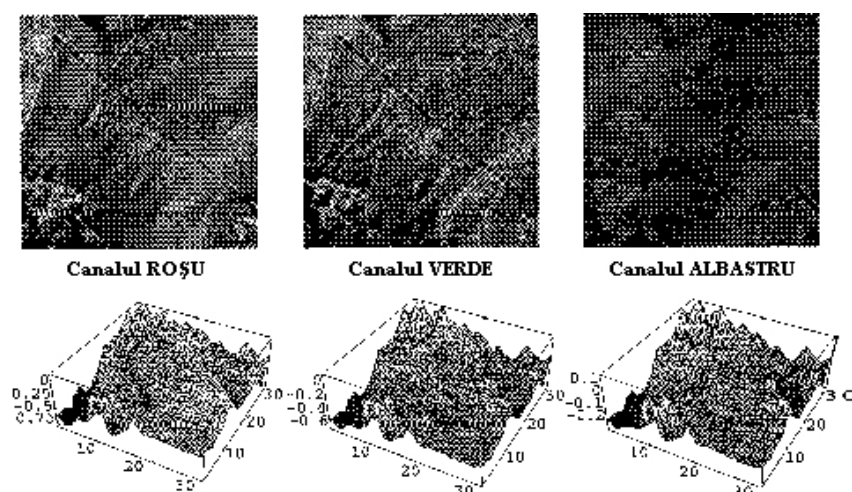


Fig. 4.27 Trei canale ale imaginii color și rezultatele aplicării metodei de detectare

Cele mai recente imagini de teledetecție sunt luate de la o distanță foarte mare. Imaginile la scară mică sunt avantajoase pentru aplicarea metodei descrise, deoarece texturile de detaliu ale suprafeței pământului sunt nivelate, implicând proprietăți de reflectanță relativ omogene. De aceea, alte rezultate ale analizei de (prin) teledetecție, precum rezultatele clasificării tipului de acoperire a terenului, sunt foarte folositoare pentru analiza rezultatelor obținute cu metoda aplicată. De exemplu, dacă o zonă este clasificată ca un lac în clasificarea prin teledetecție, rezultatele aplicării metodei de recunoaștere pentru zona descrisă ar trebui să fie omogene. Printre alte principii care pot fi folosite în aplicarea metodei și analiza rezultatelor sunt și cele de “normalitate”, ca de exemplu că o anumită vegetație nu crește peste o anumită altitudine, că râurile nu curg peste dealuri ș.a.m.d. Dacă apar anumite conflicte, atunci ceva nu este în regulă atât în teledetecție, cât și în aplicarea metodei descrise. Procedurile experimentale descrise sunt tipice pentru lucrul cu imagini multibandă (multicanal). Datele mai multor canale sunt prelucrate împreună, fiind mai întâi combinate, rezultând o singură imagine, propice pentru aplicarea metodei. Procedurile sunt apoi aplicate pentru a extrage formele detectate. Un dezavantaj al acestei metode este că imaginea combinată poate să nu redea corect și total informațiile referitoare la umbre (limitele umbrelor), din imaginile multicanal, datorită unor complicații precum neliniaritatea. Pentru a folosi pe deplin avantajul imaginilor multispectrale, este bine să se aplice metoda și fiecărui canal în parte și apoi să se combine rezultatele. Pentru a demonstra acest avantaj este folosită o imagine digitală color, cu cele trei canale roșu, verde și albastru (RGB), rezultată din digitizarea raster (scanarea) unei fotografii aeriene color. Rezultatele sunt arătate în figura 4.27.

Din figură se vede că rezultatele privind formele detectate (limitele zonelor umbrite) diferă puțin, datorită proprietăților de reflectanță corespunzătoare fiecărui canal. Formele finale pot fi obținute prin combinarea celor trei imagini rezultate (de exemplu prin simpla operațiune logică “sau”).

4.4.3.2.6 Concluzii și recomandări

Informațiile imagine se obțin la diferite scări și rezoluții pentru numeroase aplicații de realizare și utilizare a sistemelor informaționale geografice. Este necesar a se dezvolta și implementa proceduri analitice pentru prelucrarea imaginii color și multispectrale și a observațiilor temporale cu diferite rezoluții spațiale. Tehnici sofisticate de prelucrare a imaginilor multirezoluție au dus la rezultate deja notabile în alte domenii și oferă posibilități deosebite și în realizarea și utilizarea SIG. Aici metodele pot îmbunătăți mult eficiența codificării pentru necesități de memorare care acum nu par adecvate pentru actualele sisteme de culegere a datelor. Extragerea limitelor și a detaliilor poate fi realizată mai ușor pe imagini de mai multe rezoluții și lungimi de undă. Integrarea soluțiilor multirezoluție și multispectrale în orientarea imaginilor și recunoașterea formelor îmbunătățește rezultatele și eficiența procedurilor. Metodele pot fi folosite nu numai la realizarea și utilizarea SIG. Mai trebuie executate încă studii și cercetări pentru integrarea în SIG a procedurilor, potențialul părând a fi promițător.

4.5 Utilizarea rezultatelor

Indiferent de metoda de culegere a datelor, importante sunt formatele, structura și organizarea acestora, pentru a putea fi gestionate și utilizate cu pachetele de programe SIG. Este bine ca pentru toate datele să existe și colecțiile de metadata, care să poată fi livrate și utilizate împreună cu aceste date. Metodele de culegere nu se exclud una pe alta, ci se completează. Utilizarea datelor nu depinde de metoda de culegere decât în mică măsură. Utilizarea rezultatelor va face obiectul unui capitol separat.

4.6 Concluzii

În acest capitol au fost analizate câteva metode de culegere a datelor, accentuându-se doar asupra câtorva metode fotogrammetrice, cartografice și de teledetecție. S-a tratat și digitizarea hărții, deoarece hărțile deja existente constituie principala sursă de culegere a datelor în SIG, iar modelarea cartografică precede modelarea SIG, această modelare bazându-se foarte mult pe modelarea cartografică (suprafețe de referință, sisteme de coordonate, forma de prezentare a produselor finale SIG etc.). Dintre metodele de digitizare cartografică testate, rezultate promițătoare au fost obținute prin digitizarea semiautomată pentru toate categoriile de elemente. Pentru procedurile automate, rezultate corecte au fost obținute în special pentru semnele convenționale punctuale și inscripții, la celelalte categorii de semne fiind necesar lucrul interactiv. Metodele tratate de recunoaștere a obiectelor punctuale (respectiv a seriilor Fourier și cea cu folosirea teoriei mulțimilor fuzzy) duc la același rezultat pozitiv. La recunoașterea tuturor tipurilor de elemente, un rol important îl are determinarea limitei între zonele cu densități optice diferite, atât în imaginea cartografică, precum și în imaginea fotogrammetrică și de teledetecție, pentru care s-au folosit două metode diferite (a conservării momentului și a sumei minime a pătratelor), ce presupun folosirea unor funcții diferite de distribuție. Precizia estimării poziției pragului (limitei sau frontierei comune a două zone de pixeli cu valori diferite) depinde numai de lățimea funcției de distribuție și de raportul

semnal-zgomot. Cele mai bune rezultate au fost obținute cu metoda sumei minime a pătratelor.

Metodele fotogrammetrice de culegere a datelor folosind aparatele de stereorestituire cuplate cu calculatoarele electronice se folosesc și se vor mai folosi încă, deoarece dotarea multor organizații importante se bazează încă pe asemenea tipuri de aparate. Programele și tehnologiile propuse de colectivul din care a făcut parte și autorul asigură o precizie corespunzătoare determinării coordonatelor și cotelor punctelor detaliilor. Metodele sunt mai precise decât digitizarea cartografică, atât în ceea ce privește poziția, cât și atributele, aceasta datorită actualității fotogramei și bogăției acesteia în informații, comparativ cu harta. Metodele de culegere fotogrammetrice analitice asigură o precizie corespunzătoare pentru datele de poziție. Subiectivitatea determinării unor atribute este prezentă și aici. Algoritmii dezvoltați asigură și corectarea influențelor unor erori sistematice. Merită arătat faptul că se pot face și reprezentări grafice ale spațiilor de erori, ceea ce permite o mai bună înțelegere și apreciere a rezultatelor determinărilor. Pentru aceasta s-au folosit pachete de programe consacrate (de exemplu SURFER și IDRISI) și unele proceduri realizate de autor. Cu programele întocmite de autor s-a făcut și verificarea unor stecometre, precum și testarea unor camere aerofotogrammetrice, dar testele nu fac obiectul acestei lucrări. Cu aceleași programe s-a analizat și distribuția diferită a poziției punctelor de orientare asupra rezultatelor finale ale determinărilor coordonatelor în urma orientării relative, orientării absolute, formării tripletului sau benzii etc. Nu s-au tratat separat problemele determinării coordonatelor punctelor prin aerotriangulație, problema fiind pe larg tratată chiar în lucrări distincte. O problemă importantă a căreia i s-a acordat o mai mare atenție este cea a reducerii erorilor în punctele indici de referință după corectarea deformării filmului, prin aplicarea unei funcții de corectare similară funcțiilor INVDIST și KRIGING din pachetele de programe pentru MDA. Nu au fost testate mai multe metode de orientare relativă, rezumându-ne numai la orientarea relativă în serie, metoda iterativă (Turdeanu, 1997).

Prelucrarea digitală a imaginilor fotogrammetrice și de teledetecție este o problemă complexă, în care se realizează mai multe teze de doctorat (Răducanu, D., 1997; Toderaș, 1999 etc.). Referirea s-a făcut în mod special în acest capitol la recunoașterea formelor în fotogrammetrie și analiza multirezoluție. Procedura de recunoaștere automată a detaliilor liniare ce folosește formele ca primitive conține un șir de operațiuni precum detectarea limitelor, segmentarea liniei și recunoașterea formei. S-a demonstrat experimental că pot fi recunoscute mai multe perechi de detalii (liniare) atunci când se aplică procedura independent pentru fiecare canal sau bandă spectrală și se combină în final rezultatele și că se obțin mai multe detalii recunoscute atunci când se grupează geometric mai multe segmente mici paralele sau perpendiculare. Utilizând segmentele mai lungi rezultate, ce reprezintă o extensie a procedurii de recunoaștere, s-au obținut rezultate încurajatoare pentru imaginile la scări mari. Pentru posibile îmbunătățiri, procedura trebuie testată pe mai multe imagini de tipuri diferite, iar fazele multiple ale procedurii, testate separat, trebuie întrunite. Procedura realizată poate fi extinsă prin adăugarea unor instrucțiuni pentru recunoașterea formelor areale.

Procedura poate fi astfel modificată, încât să se extragă întregul detaliu (obiectul) pentru a fi introdus în bazele de date SIG. Diferite module ale procedurii, ca de exemplu detectarea limitelor, formarea unui detaliu liniar din segmente, gruparea geometrică și recunoașterea formelor pot fi adaptate pentru extragerea detaliilor. Culegerea datelor SIG prin exploatarea aerofotogramelor și a imaginilor satelitare este o procedură importantă pentru multe aplicații cu date spațiale. Necesitatea actualizării datelor topografice ale SIG necesită dezvoltarea procedurilor de interpretare automată și de extragere a detaliilor. Importanța

folosirii cunoștințelor referitoare la terenul reprezentat în imagine și o participare minimă interactivă a operatorului pot ajuta în rezolvarea acestor probleme dificile.

Informațiile imagine se obțin în fotogrammetrie și teledetecție la diferite scări și rezoluții. Este necesar a se dezvolta și implementa proceduri analitice pentru prelucrarea imaginii color și multispectrale și a observațiilor temporale cu diferite rezoluții spațiale. Tehnici sofisticate de prelucrare a imaginilor multirezoluție au dus la rezultate deja notabile în alte domenii și oferă posibilități deosebite și în realizarea și utilizarea SIG. Aici metodele pot îmbunătăți mult eficiența codificării pentru necesități de memorare care acum nu par adecvate pentru actualele sisteme de culegere a datelor. Extragerea limitelor și a detaliilor poate fi realizată mai ușor pe imagini de mai multe rezoluții spațiale și spectrale. Integrarea soluțiilor multirezoluție spațială și spectrală în orientarea imaginilor și recunoașterea formelor îmbunătățește rezultatele și eficiența procedurilor. Mai trebuie executate încă studii și cercetări pentru integrarea în SIG a procedurilor, potențialul părând a fi promițător. Noi am obținut rezultate promițătoare la determinarea formei din umbre folosind date multirezoluție, procedura dezvoltată fiind mai utilizabilă pentru aplicațiile cu imagini multispectrale. Pentru aplicații de interpretare a (geo)imaginii și deci de extragere a detaliilor (obiectelor geografice), se combină imaginile mai multor canale (benzi) pentru a forma o singură imagine, înainte de a efectua orice prelucrare. După cum s-a arătat, procedura de extragere a detaliilor este practic neliniară și combinarea datelor înainte de prelucrare (procesare) pare a fi inferioară procesării canalelor (benzilor) individuale. Soluțiile multirezoluție și multispectrală pot fi integrate prin aplicarea fiecărui canal al unei imagini a unei tehnici de focusare pe frontieră. Pentru aplicații de orientare a celor două imagini și de formare a modelului, este aplicată aceeași metodă a focusării pe limită celor două imagini conjugate ale stereogramei, formând trei noi imagini cu limite corespondente (conjugate). Apoi este aplicată o procedură de orientare a formelor, pentru fiecare pereche de imagini cu limite.

Ca o încununare a metodelor de prelucrare a imaginilor, cu procedurile descrise în acest capitol și cu metodele de clasificare descrise într-un capitol anterior s-au interpretat imaginile fotogrammetrice digitale rezultate din scanarea fotogramelor la scara 1:30 000 dintr-o zonă a țării în folosul unui beneficiar (anexa D). Pentru început este dată localizarea zonei de studiu, apoi sunt indicate subzonele zonei de studiu și câteva reprezentări grafice ale imaginilor interpretate, referitoare la folosința terenului, tipurile de sol, adecvarea terenului pentru sisteme agroforestiere, adecvarea solurilor pentru diferite culturi, hazardul la eroziune etc. Reprezentările, respectiv imaginile digitale pot fi atât surse pentru culegerea datelor SIG, cât și produse finale ale SIG. Pentru fiecare imagine este dată și legenda. Cu imaginile respective este demonstrată o submulțime a domeniilor de utilizare a SIG.

CAPITOLUL V REALIZAREA PRODUSELOR SIG (CARTOGRAFIE COMPUTERIZATĂ)

5.1 Construcția hărților

Harta este un sistem cartografic abstract S_H , model al sistemului lumii reale S_G sau model de ordinul al doilea, respectiv model al conținutului SIG, care la rândul său este un model primar al lumii reale S_G . Harta este construită într-un sistem de coordonate plane **XOY**.

Construcția hărții presupune: reprezentarea punctelor $A(\varphi, \lambda)$ ale suprafeței de referință în planul proiecției, respectiv $A(\varphi, \lambda) \rightarrow A'(X, Y)$, obiect al cartografiei matematice; reprezentarea submulțimilor obiectelor bazei de date O_{SIG} și a relațiilor R_{SIG} prin mulțimea semnelor convenționale cartografice. În reprezentarea submulțimilor O_{SIG} și R_{SIG} se folosesc regulile semioticii. Legăturile dintre cartograf (element al SIG, hartă și utilizatorii hărții, pe de o parte, și procesul de nodelare sunt arătate în figura 5.1 (Pravda, 1979; Nițu, C., 1992).

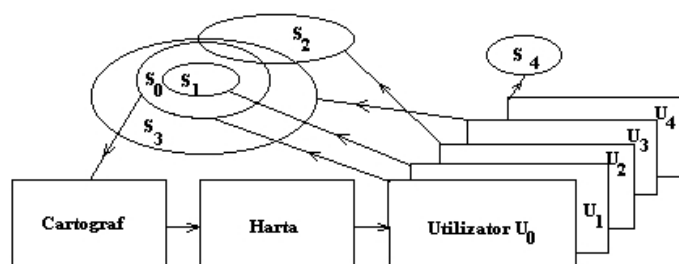


Fig. 5.1. Relațiile în sistemul de construcție și utilizare a hărții

Utilizatorii U_0 (ideal, cu aceleași cunoștințe ca ale cartografului), U_1 , U_2 , U_3 și U_4 percep imaginile realității ca S_0 (ideală obiectivată), S_1 (redușă), S_2 (înțeleasă parțial), S_3 (înțeleasă larg) și S_4 (înțeleasă inexact).

5.1.1 Limbajul de descriere a semnelor convenționale

Elementele de conținut ale hărților sunt semnele convenționale și inscripțiile, toate acestea fiind descrise ca o familie de simboluri. Mulțimea X a elementelor unei reprezentări cartografice este structurată și clasificată prin adoptarea unui vocabular V . Vocabularul V este o mulțime finită de simboluri. Cu aceste simboluri finite se pot forma fraze, respectiv combinații complexe de simboluri. Totalitatea frazelor aparține limbajului L , frazele se construiesc cu gramatica G , după regulile (producțiile) P . Gramatica G este grupul de 4 elemente $\{V_T, V_N, P, S\}$, unde V_T este mulțimea finită a simbolurilor terminale, V_N este mulțimea finită a simbolurilor neterminale, S este axioma gramaticii, iar P reprezintă regulile sau producțiile, respectiv produsul cartezian

$$(V_N U V_T)^* V_N (V_N U V_T)^* X (V_N U V_T) \quad (5.1)$$

unde $V_N U V_T$ constituie vocabularul total. Primitivele sunt simbolurile terminale fără caracteristici metrice, spațiale și fizice. Acestea sunt punctul matematic (\cdot), dreapta ($—$), arcul de cerc (\cup) și fraza vidă (\emptyset), dar fără dimensiuni. Alegerea primitivelor se face astfel ca orice simbol să poată fi obținut dintr-o combinație liniară a acestora. Dacă se adaugă simbolurilor

terminale caracteristicile metrice fizice, spațiale etc., precum culoarea, lățimea, lungimea, se obține prima categorie a simbolurilor neterminale: punctul de culoare și grosime date, segmentul de dreaptă de culoare, lungime, lățime și orientare date, arcul de cerc de culoare, grosime, rază și valoare unghiulară date, spațiul de dimensiuni date. Combinația elementelor neterminale ale primei categorii dau simbolurile celei de a doua categorii, care vor avea un grad mare de repetabilitate în simbolurile propriu-zise.

Gramatica G stă la baza procedurilor de generare automată a semnelor convenționale și inscripțiilor, respectiv a procedurilor de recunoaștere a acestora.

Construcția semnelor convenționale și inscripțiilor se descrie cu enunțurile de mai jos, respectiv cu regulile metalimbajului BNF:

```

<lista semnelor convenționale> ::= <semn convențional> | <semn convențional> <lista
semnelor convenționale>
<semn convențional> ::= <operator> <figură>
<operator> ::= <identificator operație> <lista parametrilor> | <spațiu>
<identificator operație> ::= <sistemul local de coordonate> | <puncte de legătură> |
| <calculul coordonatelor originii sistemului local de coordonate în sistemul hărții> |
| <transformarea prin rototranslație a sistemului de coordonate local> | <introduce în
reprezentare a variabilelor retiniene (umplere, hașurare etc.) > | <stabilirea punctului
principal al semnului>
<lista parametrilor> ::= <parametru> | <parametru> <lista parametrilor>
<figură> ::= <identificatorul figurii> <corpul figurii>
<corpul figurii> ::= <operator> <lista simbolurilor neterminale de ordinul al doilea> |
| <operator> <corpul figurii>
<lista simbolurilor neterminale de ordinul al doilea> ::= <operator> <lista simbolurilor
neterminale de ordinul întâi> | <operator> <lista simbolurilor neterminale de ordinul întâi>
<lista simbolurilor neterminale de ordinul al doilea>
<simbol neterminal de ordinul întâi> ::= <spațiu> | <identificatorul simbolului neterminal de
ordinul întâi>
<identificatorul simbolului neterminal de ordinul întâi> ::= <identificatorul simbolului
terminal> <lista parametrilor>
<identificatorul simbolului terminal> ::= <segment> | <arc> | <punct> | <spațiu>
<simbol terminal> ::= <identificator> <lista parametrilor>
<lista parametrilor> ::= <parametru> | <parametru> <lista parametrilor>
<parametru> ::= <grosime> | <lungime> | <curbură> | <culoare>
<identificator> ::= <caracter> | <caracter> <identificator>
<caracter> ::= <caracter alfanumeric> | <semn special>
<caracter alfanumeric> ::= <literă> | <cifră>
<literă> ::= <A> | <B> | <C>.... | .... <Y> | <Z>
<cifră> ::= <0> | <1> | <2> | <3>.... | .... <8> | <9>
<semn special> ::= <+> | <-> | <?>.... | .... <*>

```

5.1.2 Proceduri de construcție (generare) automată a simbolurilor

Cele de mai sus permit crearea procedurilor de construcție (generare) automată a semnelor convenționale cartografice. Regula construirii automate a unui simbol (semn convențional) constă în: proiectarea manuală a semnului; alegerea simbolurilor terminale din

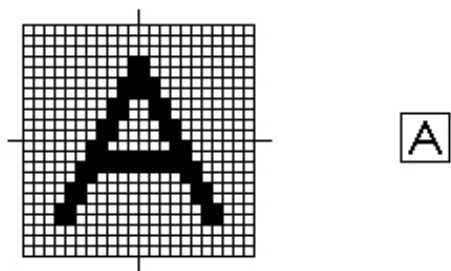


Fig. 5.3. Înscrierea unei litere în grilă

ordinul al doilea, prin alipirea, suprapunerea, rotația etc. simbolurilor neterminale de ordinul întâi și a celor terminale; construirea semnelor convenționale propriu-zise prin combinarea simbolurilor de mai sus.

Spre deosebire de părerea că trebuie realizate proceduri separate pentru semnele convenționale separate pe clasele punctuale, liniare, areale și inscripții (Nițu, C., 1992), noi am optat pentru un singur generator, descriind într-o grilă (figura 5.2) toate tipurile de semne. Deoarece are loc proiectarea interactivă a semnelor, cu folosirea ecranului grafic ce lucrează cu date raster, orice semn va fi definit de pixeli în grila dată și nu din puncte cu coordonate

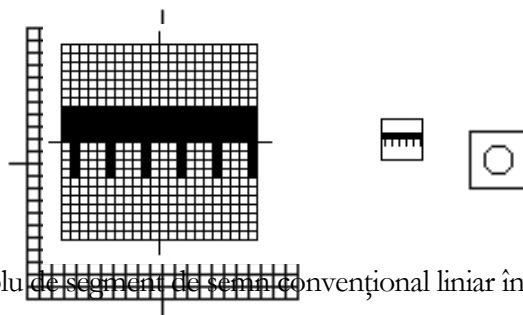


Fig. 5.4. Exemplu de segment de semn convențional liniar înscris în grilă

Fig. 5.2. Grila 22X22 de definire a unui simbol (semn convențional) (date vectoriale).

Originea sistemului local de coordonate se alege în centrul grilei (ca în cazul de față) sau, pentru a avea numai coordonate pozitive, în colțul din stânga jos al grilei. Sunt marcate pe figură și axele sistemului local de coordonate. Pentru exemplul dat, în partea dreaptă a figurii se arată într-un patrat mai mic forma semnului. Acest semn este un semn convențional de tip punctual. Pentru acest tip de semn se pot alege și alți parametri, precum culoarea și grosimea liniei. În mod interactiv se poate, cu ajutorul locatorului, să se coloreze și alți pixeli, pentru a corecta semnul convențional. Și caracterele de scriere pot fi definite în aceeași grilă (figura 5.3). Trebuie remarcat faptul că aici, dacă se neglijează culoarea, elementele terminale V_T ale vocabularului V sunt pixelul de valoare 1 sau 0, respectiv $V_T = \{\blacksquare, \square\}$ sau $V_T = \{0, 1\}$. Aici numai alipirea fiecărui pixel vecin contează la crearea unui semn convențional. Alegerea tipului de semn convențional care se proiectează poate fi făcută dintr-o familie de semne predeterminate. Pe același principiu se bazează și construcția unui semn convențional liniar, cu observația că se proiectează numai un fragment de semn, cel care încapă în grilă (figura 5.4). Acest simbol este un simbol de tip punctual, care se va aplica în mod repetat pe traseul definit de coordonatele axului obiectului, respectiv de punctele $P_i(X_i, Y_i)$, $i=1, n$; $n \geq 2$. Aceasta se va demonstra prin codul sursă al programelor scrise în limbajul FORTRAN.

Trebuie determinate în orice moment locul și direcția de aplicare a simbolului. Aceleași considerente sunt făcute și pentru semnele convenționale areale. În figura 5.5 este arătat un fragment de semn convențional areal. Și aici fragmentul de semn se aplică teseral pe

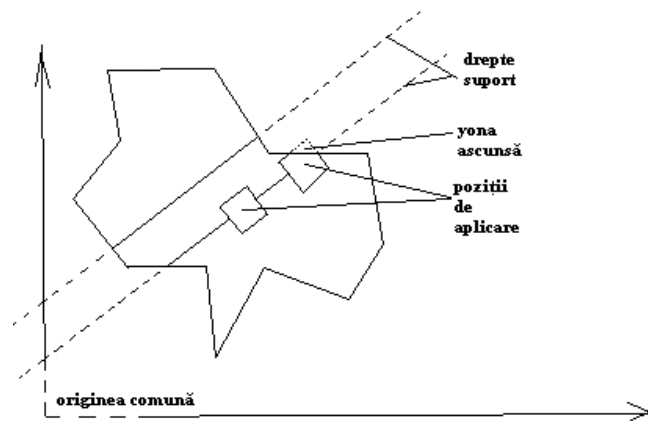


Fig. 5.6 Principiul reprezentării simbolurilor areale

domeniul de definiție al detaliului areal, cu sau fără insule în sens topologic. În cazul inexistenței insulelor, domeniul este definit de coordonatele punctelor P_i , respectiv $P_i(X_i, Y_i)$, $i=1, n$; $n \geq 3$, cele minim 3 puncte fiind necolineare. Se remarcă faptul că atât la detaliile liniare, cât și la cele areale, între punctele P_i există o relație de ordine implicită. În domeniul areal, regulile de construcție sunt: se consideră ca simbol terminal chiar fragmentul de simbol areal, respectiv $V_T = \{\blacksquare\}$; se determină dreptele paralele (hașuri) pe care se aplică semnul (figura 5.6); se determină punctele de aplicare repetată a simbolului “terminal” pe dreapta suport, astfel încât să se obțină un continuum teseral; se alege, de regulă, o origine comună de unde să înceapă aplicarea fragmentelor areale, astfel ca să nu existe probleme de discontinuitate a zonelor areale la racordarea mai multor foi; se aplică simbolul “terminal” până la epuizarea locurilor, întrerupându-se semnul (ascunzându-se) dacă iese în afara zonei. Se va prezenta și o procedură scrisă în FORTRAN pentru determinarea dreptelor suport și aplicarea simbolului areal.

5.1.3 Procedura de reprezentare a simbolurilor (fragmentelor de simboluri)

În cele ce urmează se prezintă în limbajul FORTRAN procedura de aplicare a semnelor convenționale punctuale, în acestea intrând și fragmentele de semne convenționale liniare și areale arătate mai sus. Descrierea cu formule a algoritmului ar ocupa un spațiu destul de mare.

Considerăm utilă, în economia lucrării, prezentarea procedurii în limbajul FORTRAN, pentru a putea fi testată și folosită de către specialiști. Instrucțiunile sursă ale procedurii sunt următoarele:

Subroutine semn (sxpage, sypage, height, angle, nchar)

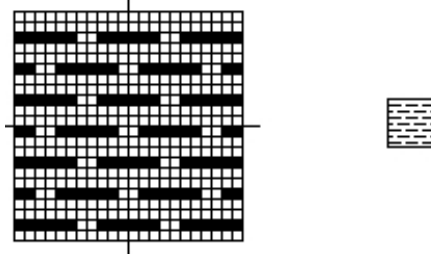


Fig. 5.5 Fragment de semn convențional areal înscris în grilă

```
cc  pachet de semne conventionale
cc  subrutina de semne punctuale si fragmente de semne liniare si areale
cc  date de intrare:
c   sxpage, sypage-coord punctului de aplicare
```

```

c      height-coeficientul de scara
c      angle-orientarea directiei de aplicare
c      nchar-variabila de control-numarul de repetari in cazul scl si scs
c      proceduri folosite-din biblioteca grafica tektronix
cc     variabile interne
c      tpnt-punct de inceput
c      pnt-punct terminal fara desen
c      pntneu-punct final cu desen
c      zmass-scara de desenare
c      lungime-lungime text sau simbol liniar-numar de aplicari
c      ipen-aprindere pixel(2),stingere pixel(3)
c      rxpage,rypage-
c      dfunma-
c      amass-scara în sutimi de mm
c      dfundr-
c      dreh-rotatia în sutimi de grad
c      iw-indicele pentru ibcd
c      iz-indicele de desen pentru ibcd(iw)
c      izausg-
c      jcode-lista de coduri alfanumerice
c      kj-indice lista coduri
c      m- numar simbol
c      ianf-indice initial tabela din catalogul simb
c      iend-indice final din..
c      jpen-cod pixel aprins, stins pentru punctul curent
c      x,y-punct curent in catalog, coordonate locale
c -----
c nota-respectate notatiile din documentatia tektronix
      dimension ibcd(1),tpntneu(2),tpnt(2),pnt(2)
common /code/jcode(59)
common /form/ndruck,iprn1,iprn2,lan1,ifor1(2),ifor2(4),nbcd
common /katalo/kcode(21),katal(52)
common /lcod/lcode(56)
common /endpt/rxpage,rypage
common /masstab/fact,xbezug,ybezug,dfunma,dfundr
equivalence (tpnt(1),xtpnt),(tpnt(2),ytpnt)
equivalence (pnt(1),xpnt),(pnt(2),ypnt)
equivalence (pntneu(1),xpntneu),(pntneu(2),ypntneu)
c
      xpnt=sxpage
      ypnt=sypage
ipen=3
      if(nchar.lt.-1) ipen=2
      if(xpnt.ne.999) go to 10
      xpnt=rxpage
if(ypnt.ne.999) go to 15
ypnt=rypage
call plot(xpnt,ypnt,ipen)
if(nchar.lt.0) go to 55
c functia d de iesire
      if (dfunma.eq.eight.) go to 20
c se pastreaza vechea scara
      dfunma=height
      call rund (height*1000,amass)
c functie de rotunjire
      amass=amass*fact
      call satznr
      call strauss (4,35)
      call strauss (9,amass)

```

```

        call crulf
c s-a generat o comanda de aprindere/singere pixel curent
if(dfundr.eq.angle) go to 25
dfundr=angle
call rund (angle*1000,dreh)
call satznr
call strauss(4,45)
call strauss(9,dreh)
call crulf
c comanda orientare
c text sau aplicare segment pe sc liniar (propriu-zis sau din sc areal)
lungime=0
zmass=height*0.015
call satznr
call strauss(31,0.)
iw=1
iz=1
if(nchar.eq.0) iz=nbcd
do 40 i=1,nchar
    izausg=jcode(29)
    call tausch(iz,ibcd(iw),1,izausg)
    call zaehle(iz,iw)
    do 35 j=1,56
        if (izausg.eq.jcode(j)) go to 50
continue
kj=29
call error(51)
go to 37
kj=j
if(jcode(kj).eq.0) go to 36
lungime=lungime+code(kj)
call straus(kj.0.)
call straus(31,0)
call crulf
xtpnt=xpnt
ytpnt=ypnt
tlae=float(lungime)
xpnt=xpnt?tlae*zmass
call rotat(tpnt,pnt,angle,pntbeu
c rotirea punctului in jurul originii locale a semnului
    rxpage=xptneu
    rypage=yptneu
    go to 999
m=ibcd(1)+1
if(m.gt.14) go to 65
zmass=height/6
xtpnt=xpnt
ytpnt=ypnt
    ianf=kcode(m)
    iend=kcode(m+1)-1
    do 60 n=ianf,iend
        j=1000
        jpen=mod(katal(n)/10000,10)
        if (jpen.eq.3.or.jpen.eq.1) ipen=3
        x=float(mod(katal(n)/j,10))
        j=j/10
        y=float(mod(katal(n)/j,10))
        j=j/10
        if(x.eq.9) go to 60

```

```

        xpnt=xtpnt+(x-3.)*zmass
        ypnt=ytpnt+(y-3.)*zmass
        call rotat (tpnt,pnt,angle,pntneu)
        call plot(xptneu,yptneu,ipen)

    continue
    go to 999
    call error(6)
return
end

```

Aşa cum s-a arătat, se folosesc subrutinele grafice Tektronix. Descrierea semnelor se face prin numere (comenzi numerice) stocate în lista katalo, numărul de comenzi fiind variabil, în funcție de complexitatea semnului convențional, respectiv de numărul de simboluri terminale și neterminale componente. Decodificarea acestor comenzi se face în secvențele “do 60...60 continue”, separând continuu fiecare cifră, care are o anumită semnificație (coordonată, aprindere spot sau pixel, cod de terminare etc.).

5.1.4 Procedura de reprezentare a semnelor convenționale liniare

În continuare se prezintă instrucțiunile în cod sursă FORTRAN pentru reprezentarea unui semn convențional liniar.

```

        Subroutine linie(xarray,yarray,npts,inc,lintyp,inteq)
cc      pachet semne conventionale
cc      xarray,yarray-coordonatele a npts puncte care definesc linia, indesite spline
cc      npts-numarul de puncte
cc      inc-incrementul punctelor unde se aplica simbolul
cc      lintyp-tipul liniei dintr-o familie de tipuri ce se va arăta mai jos
cc      inteq-numărul simbolului punctual se se aplica pe axa suport
c- interne
c      ipen-starea spotului
c      m,n,k,j-indici
c      xpage,ypage-punct de iesire
c      icode-
        dimension xarray(1), yarray(1)
        l=iabs(lintyp)
        ipen=3
        m=npts*inc+1
        n=npts*inc+inc+1
        k=npts*inc
        i=0
        xfirst=xarray(m)
        yfirst=yarray(m)
        xarra=abs(xarray(n))
        yarra=abs(yarray(n))
        if(xarra.eq.0) xarra=1.
        if(yarra.eq.0) yarra=1.
        do 15 i=1,k
            if(mod(l-1,inc).ne.0) go to 15
            xpage=xarray(1)
            ypage=yarray(1)
            if(xarray(n).lt.0.) go to 3
        xpage=xpage-xfirst
        continue
            xpage=xpage/xarra
        if(yarray(n).lt.0.) go to 4
        ypage=ypage-yfirst

```

```

ypage=ypage/yarra
continue
j=j+1
if(lintyp) 5,25,20
continue
xpage=xfirst-xpage
go to 1
continue
ypage=yfirst-ypage
go to 2
continue
if(i.ne.1) go to 21
call semn (xpage,ypage,height,inteq,angle,-1)
ipen=2
j=0
go to 15
continue
if(j.eq.1) go to 10
continue
call plot (xpage,ypage,
ipen=2
go to 15
continue
if(j.ne.1) go to 5
continue
icode=ipen-4
                call semn (xpage,ypage,,height,inteq,angle,icode)
                j=0
continue
return
end

```

5.1.5 Procedura de reprezentare a semnelor convenționale areale

O problemă importantă este determinarea fascicolului de drepte paralele pe care se aplică fragmentul de semn convențional areal, care, așa cum s-a văzut, poate fi considerat tot un semn convențional punctual. Subrutina de mai jos, codificată cu instrucțiuni sursă FORTRAN, determină aceste drepte, o dreaptă fiind determinată de punctele de intersecție dintre acea dreaptă și conturul poligonal al obiectului areal. Sunt rezolvate și cazurile particulare de intersecție în cadrul acestui program prezentat, dar mai ales și de alte programe ale pachetelor propuse de autor.

```

Subroutine areal(xp,yp,n,nrsimb,mcode,pas,fact,alfa)
cc      Pachetul de generare a semnelor conventionale
cc parametri
c      xp,yp-coordonatele punctelor de contur
c      n-numărul punctelor
c      nrsimb-nr simbolului punctual fragment de semn liniar sau areal
c      mcode(=3, se deseneaza s.c. areal, diferit, simpla hasurare)
c      pas-distanța dintre drepte
c      fact-factorul de scara
c      alfa-orientarea dreptei
cc interni
c      xp,yp-punctele dreptei suport
c      xmin,xmax,ymin,ymax-coord minime si maxime
c      panta-panta dreptei suport
c      ....

```

```

dimension xp(1),yp(1)
dimension a(10),b(10),d(10)
data /ro/57.3
xmin=9999999.
ymin=9999999.
pmin=9999999.
xmax=-.9999999.
ymax=-.9999999.
pmax=-.9999999.
beta=alfa/ro
cosa=cos(beta)
if(cosa.eq.0.) go to 61
fanta=sin(beta)/cosa
pasx=pas/fact/(abs(cosa))
go to 62
    continue
panta=9999999.
pasx=pas/fact
do 1 I=1,n
    xa=xp(i)
    ya=yp(i)
    xad=ya-panta*xa
    if(pmin.ge.xad)pmin=xad
    if(pmax.le.xad)pmax=xad
    if(xmax.lt.xa)xmax=xa
    if(xmin.gt.xa)xmin=xa
    if(ymax.lt.ya)ymax=ya
    if(ymin.gt.ya)ymin=ya
1    continue
if(alfa.ne.90.) go to 63
pmin=xmin
pmax=xmax
    continue
ord=pmin+pasx
l=0
    continue
do 3 j=1,10
    a(j)=0.
    b(j)=0.
    continue
j=1
do 4 i=1,n
    xbc=xp(i)
    ybc=yp(i)
    if(i-n) 13,14,13
    continue
    xad=xp(i+1)
    yad=yp(i+1)
go to 15
    continue
    xad=xp(1)
    yad=yp(1)
if(alfa.eq.90.) go to 64
    continue
d1=ybc-panta*xbc-ord
d2=yad-panta*xad-ord
go to 63
    continue
d1=xbc-ord

```

```

d2=xad-ord
        continue
if(d1.eq.0..and.d2.eq.0.) go to 4
if(d1*d2) 19,18,4
continue
if(d1.eq.0.) go to 21
a(j)=xad
b(j)=yad
go to 20
continue
a(j)=xbc
b(j)=ybc
go to 20
continue
if(xad-xbc.ne.0.) go to 22
a(j)=xab
b(j)=panta*xad+ord
go to 20
continue
if(alfa.ne.90.) go to 64
a(j)=ord
b(j)=ybc-d1*pa
go to 20
continue
a(j)=xbc-ord-xbc*pa)/(panta-pa)
b(j)=panta*a(j)+ord
continue
j=j+1
continue
j=j-1
l=l+1
k=mod(l,2)
ip=j-1
if(k.eq.0.) go to 51
xa=xmin
ya=ymin
if(panta.le.0.) xa=xmax
goto 6
continue
xa=xmax
ya=ymax
if(panta.le.0.) xa=xmin
continue
do 5 i=1,j
        d(i)=(xa-a(i))**2+(ya-b(i))**2
8         continue
idex=0
do 9 i=1,ip
        if(d(i).le.d(i+1)) go to 9
        aux=a(i)
        a(i)=a(i+1)
        a(i+1)=aux
        aux=b(i)
        b(i)=b(i+1)
        b(i+1)=aux
        aux=d(i)
        d(i)=d(i+1)
        d(i+1)=aux
        idex=idex+1

```



```

continue
if(idex.ne.0) go to 8
i=1
continue
if(a(i).eq.a(i+1).and.b(i).eq.b(i+1)) go to 11
go to 10
continue
do 12 m=i,ip
    a(m)=a(m+1)
    b(m)=b(m+1)
12      continue
ip=ip+1
j=j-1
10      continue
    i=i+1
    if(i.le.ip) go to 31
    if(mcode.ne.3) go to 101
    do 24 i=1,j
        ipen=3
        k=mod(I,2)
        if(k.eq.0) ipen=2
C simpla hasurare
        call plot(a(i),b(i),ipen)
    continue
go to 102
continue
c desenare semn conv areal prin aplicare fragmrnt pe linie
    call liniearie(xp,yp,a,b,d,n,j,nrsimb,pas)
c xp,yp-coord n puncte contur
c a,b-coord a j puncte inters a drepte cu conturul
c nrsimb-numarul simbolului areal
c pas-distanța dintre drepte sau latura fragmentului de semn
continue
ord=ord+pasx
if(ord.lt.pmax) goto 2
continue
return
end

```

Subrutina “liniearie” aplică fragmentul de semn liniar sau areal, de fapt ca și unul punctual, pe dreapta suport dată prin coordonatele a și b ale punctelor de intersecție a dreptei suport cu conturul obiectului areal, ordonate după poziția lor pe dreapta suport. Acestei subrutine i se transmit și coordonatele celor n puncte de contur, pentru a se rezolva problema zonelor ascunse (vezi figura 5.6), parametrii *d* ai modului de continuitate a liniei suport formată din segmente pe care se aplică semnul și segmente “goale”, rezultate din intersecțiile particulare ale unei drepte cu un contur poligonal. În figura 5.7 este arătat un domeniu plan pe care s-a aplicat un semn convențional areal al cărui fragment este arătat în grila suprapusă.

5.1.6 Particularități de realizare a procedurilor de reprezentare a semnelor convenționale și a inscripțiilor

După cum s-a arătat, într-o singură grilă se pot reprezenta, prin date raster, atât semnele convenționale punctuale propriu zise, cât și literele, caracterele speciale și fragmentele de semne liniare și areale. Cu un program de bază pot fi reprezentate tipurile cele mai frecvente de semne, care să permită utilizatorului, indiferent de ce nivel este, să-și proiecteze singur propriile semne, de dimensiuni și culori dorite, inclusiv prin completarea cu noi fragmente de semn, prin simpla înnegrire (colorare) a unor pixeli din grilă. În figura 5.8 este arătată pictograma cu câteva tipuri de semne proiectate, pentru care utilizatorii își pot alege caracteristicile particulare pentru un anumit tip de hartă. În cadrul unor pachete de programe utilizate într-un sistem informațional geografic pot coexista mai multe tipuri de programe generatoare de semne convenționale.

Parametrii simbolurilor care trebuie actualizați sunt de mai multe tipuri, ca de exemplu numărul simbolului, culoarea (culorile) și denumirea sau codul obiectului reprezentat (pentru toate simbolurile), înălțimea, lățimea sau diametrul (pentru cele punctuale), lățimea liniei, lățimile liniilor, intervalul dintre liniile echidistante, lungimiile segmentelor de linii întrerupte, lungimile intervalelor pe direcția de parcurgere între aceste segmente etc. (pentru cele liniare), combinarea celor de mai sus (pentru cele areale), fontul, tipul, înălțimea în puncte și în milimetri (pentru scriere).

Aici tipul scrierii se referă la tipul bold (îngroșat), italic (înclinat) sau subliniat. Alegerea fontului se face din fonturile disponibile ale sistemului respectiv de calcul. Pe sistemele pe care s-au experimentat programele realizate de autor sunt foarte multe fonturi

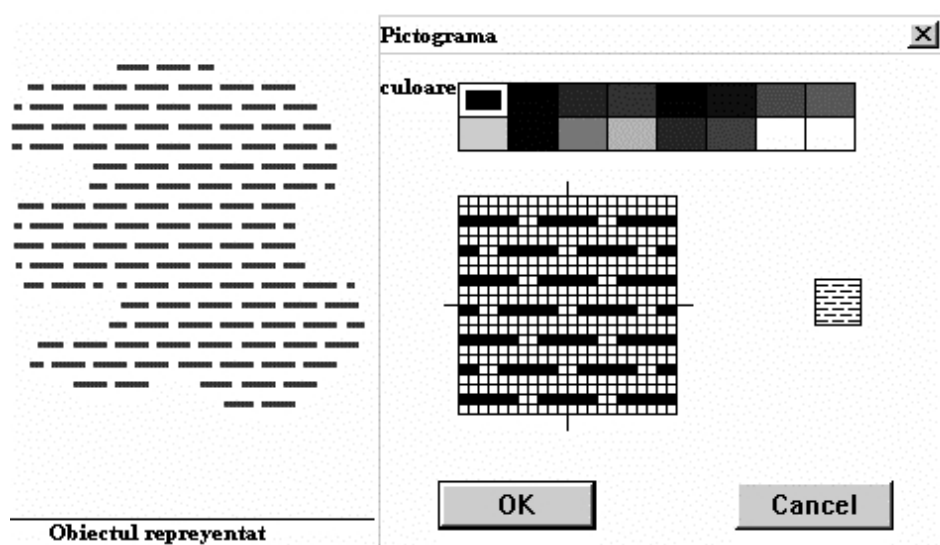


Fig. 5.7 Exemplu de obiect areal și fragmentul cu care s-a realizat

disponibile, printre care arial, complex, courier, symbol etc., inclusiv ESRI Cartographic, Map Symbols, ESRI Wether, ESRI Transportation, ESRI Meteorological, specifice unor hărți tematice.

În figura 5.9 este prezentată fereastra de definire a parametrilor specifici unui tip de semn convențional areal, respectiv cel pentru care s-a arătat grila de descriere. În figură sunt arătate: forma geometrică a modelului cu marcarea lăţimii (grosimii) w a liniei, distanţei d dintre marginile liniilor paralele vecine, fiind explicată şi mărimea variabilei “ pas ” (vezi codul sursă); numărul simbolului într-un sistem de grilă plană specifică meniurilor proiectate de autor (5.4, respectiv rândul 6 şi coloana 4, cu originea în colţul din stânga sus al grilei);

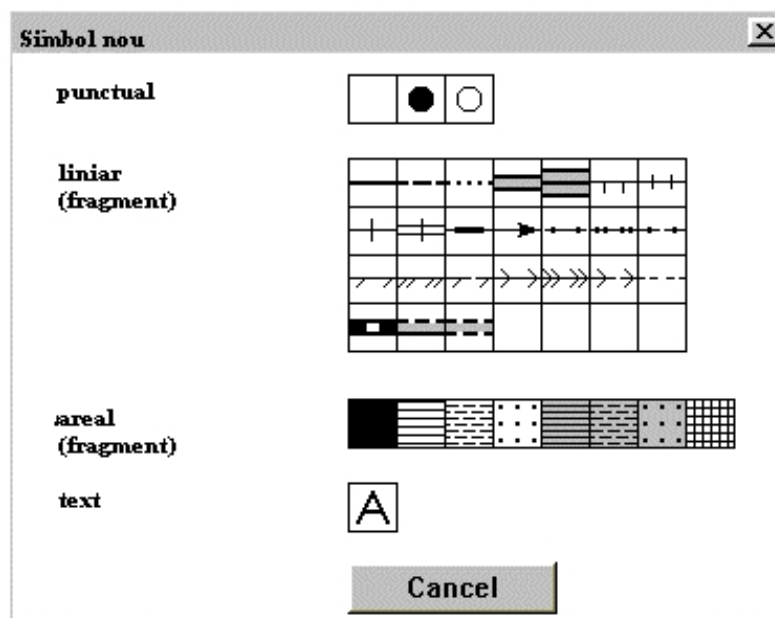


Fig. 5.8 Câteva tipuri de semne convenţionale ce pot fi personalizate de utilizatori
denumirea obiectului reprezentat (mlaştină); orientarea direcţiei de haşurare în grade sexazecimale ($0,0^0$ în cazul dat, vezi “ α ” din programul sursă; pentru o anumită serie de hărţi, de exemplu pentru hărţile topografice, acest unghi este chiar convergenţa meridianelor); culoarea (albastru 50%); lăţimea sau grosimea w a liniei în mm (0,2); lungimea l a segmentului desenat (1 mm); distanţa d între marginile liniilor desenate (0,5mm); distanţa d/l între capetele a două segmente consecutive (0,5 mm). În pictogramă sunt trecute şi comenzile de validare sau acceptare (OK) şi de renunţare la acceptare (Cancel).

5.1.7 Meniuri pentru semne convenţionale şi inscripţii

Pentru a permite lucrul interactiv cu programele de construcţie a hărţilor, este necesar ca pe ecranul grafic, în fereastra de lucru trebuie definită o subfereastră în care să apară imaginile semnelor convenţionale şi inscripţiilor, fiecare într-o celulă distinctă. Între poziţia teserală a celulelor şi cuvintele de cod ale obiectelor (detaliilor individuale), pe de o parte şi semnele convenţionale şi inscripţii, pe de altă parte, există o corespondenţă biunivocă.

Prin vizarea cu indicatorul comandat de locator se activează în acelaşi timp codul obiectului şi semnul convenţional (inscripţia) cu care se reprezintă. Este bine ca vizarea în celula unui semn să fie confirmată prin ecouri grafice (sau chiar sonore la sistemele importante). Noi am ales doar soluţia ecoului grafic, respectiv marcarea cu o linie de altă dimensiune şi altă culoare a conturului celulei şi apariţia într-o subfereastră, în partea de jos, a denumirii obiectului sau a semnului convenţional.

În acelaşi program, se pot afişa mai multe meniuri în aceeaşi zonă a ferestrei, în funcţie de stratul activ, stratul, după cum s-a arătat la structurile de date geografice, conţinând datele corespunzătoare unei anumite teme sau subteme (de exemplu date privind obiectele

planimetrice, date de relief, date de hidrografie, date de vegetație, date referitoare la soluri, date meteorologice, date privind obiectele rețelelor de transport etc.).

În figura 5.10 sunt

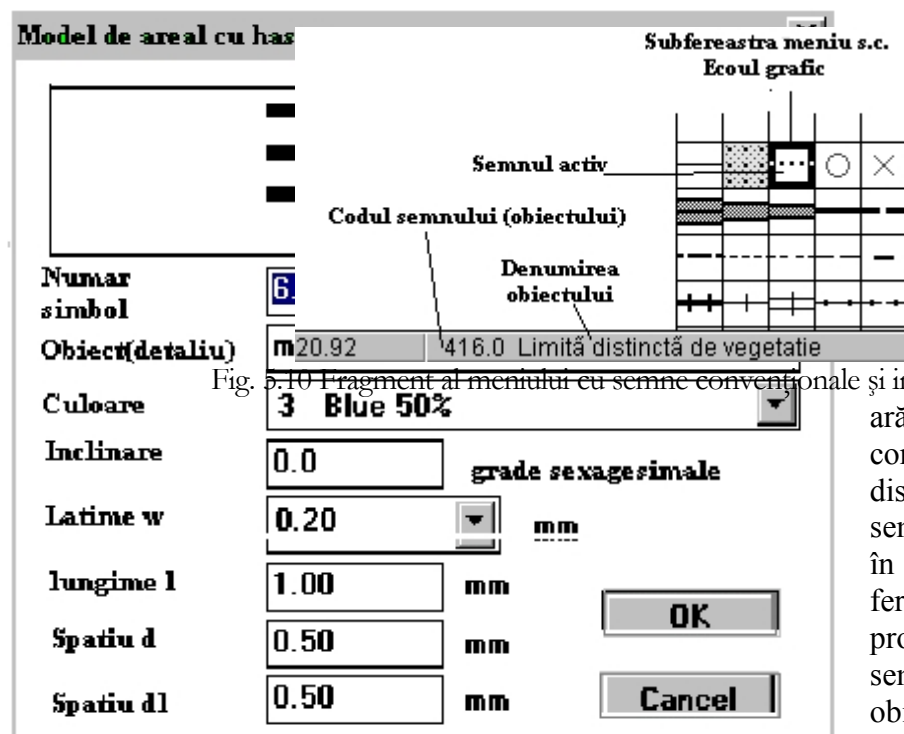


Fig. 5.10 Fragment al meniului cu semne convenționale și inscripții

arătate câteva semne convenționale proiectate, dispuse în meniul de semne convenționale aflat în partea dreaptă a ferestrei grafice a programului. Se observă semnul activ, denumirea obiectului, numărul (poziția) din grilă al semnului etc.

Fig. 5.9 Parametrii de descriere pentru un semn areal

5.1.8 Funcțiile programului de generare a semnelor convenționale și inscripțiilor

Programele de generare a semnelor convenționale și a inscripțiilor, care din considerentele de mai sus sunt denumite generic **simboluri**, precum și alte programe de cartografiere automată din cadrul SIG, trebuie să permită realizarea funcțiilor descrise mai jos.

Simbol nou permite crearea unui simbol din tipurile arătate în figura 5.9. Alegerea unui tip se face prin simpla vizare în fereastra (câmpul) care are în interior desenată figura generalizată a simbolului. Funcția **Definire** permite introducerea numărului sau codului simbolului, a denumirii obiectului definit de simbol, a culorii și a valorilor dimensiunilor elementelor simbolului (figura 5.9). Cu **Pictograma** se afișază imaginile mărite ale simbolului în grilă și în afara ei. Pe imaginea din grilă se poate modifica și culoarea semnului sau se pot adăuga noi pixeli colorați în interiorul grilei. Cu funcția **Modificare tip** se poate, pentru un anumit simbol, să se modifice tipul prin alegerea unui nou tip din cele afișate în figura 5.8 și, respectiv, de introducere a unor noi parametri, de felul celor arătați în figura 5.9. Cu funcția **Scara** se poate modifica scara unui anumit simbol. Acest lucru apare când pe hărți de același tip, dar la scări diferite, un obiect oarecare se reprezintă cu același simbol, dar de dimensiuni diferite, de exemplu simbolurile punctelor geodezice pe hărțile topografice de diferite scări.

Valoarea coeficientului de scară se exprimă procentual (100% pentru scara 1:1, 50% pentru scara 1:2, 200% pentru mărirea de 2 ori etc.). Funcția **Copiere** permite copierea datelor corespunzătoare simbolului într-o zonă rezervată de memorie (de exemplu în "Clipboard"), în vederea introducerii ulterioare într-un nou fișier (și meniul) de simboluri, cu funcția **Alipire** (taste). Cu funcția **Stergere** se elimină simbolul din fișierul de simboluri și din meniul

corespunzător. Funcția **Dublare** permite duplicarea unui anumit simbol, în vederea unor ușoare modificări ulterioare ale parametrilor dimensionali, ale culorii sau ale figurii, prin adăugarea de noi pixeli desenați, prin simpla vizare cu ajutorul locatorului și comanda prin apăsare a unui buton (unei taste). Cu **Editare culori** se pot defini combinațiile nuanțelor de culori specifice unor anumite hărți, în vederea utilizării acestora în construcția simbolurilor, respectiv a hărților. Se aleg nuanțele dintre cele disponibile pentru ecranele grafice, imprimante, fotoplotere etc. Încărcarea unui nou fișier cu simboluri se face cu comanda **Incarcare**, cu condiția ca fișierul să fie copiat în prealabil pe un suport de memorie pe care să-l poată citi sistemul disponibil. Tot pe un asemenea suport poate fi extras fișierul cu comanda **Extragere**.

5.1.9 Funcțiile programului de construcție și editare a hărților

Programul de construcție și editare a hărților folosește datele în formate standardizate extrase din baza de date SIG. Obiectul lucrării de față nu-l face modul de stocare a datelor, de care s-au ocupat sau se ocupă alți autori (Toderaș, 1998). Funcțiile care trebuie asigurate de program se referă la: (a) *gestiunea fișierelor* de date în formatul specific programului (crearea unui fișier cartografic nou, deschiderea unui fișier cartografic existent, salvarea fișierului creat sub același nume sau cu alt nume, ștergerea unui fișier; (b) *tipărirea sau desenarea hărții* (alegerea ploterului sau imprimantei, setarea parametrilor perifericului de tipărire sau desen, alegerea suprafeței de tipărire, respectiv a întregii hărți sau numai a ferestrei afișate, alegerea scărilor de reprezentare etc.); (c) *alegerea proiecției cartografice*, a *tipului hărții* și a *sistemului de coordonate*, *generarea semnelor convenționale* și a *inscripțiilor* (vezi 5.1.8); (d) *editarea obiectelor cartografice* sau a *detaliilor hărții* (selectarea unui obiect sau detaliu, selectarea tuturor obiectelor dintr-o zonă, ștergerea unui obiect, mutarea unui obiect într-o altă poziție, copierea unui obiect într-o altă poziție, adăugarea sau ștergerea unui punct în/din obiectul liniar sau conturul unui obiect areal selectat, netezirea traseului acelorași tipuri de obiecte, ștergerea obiectului selectat, racordarea a două obiecte liniare de același cod care se află în relația geometrică de vecinătate “cap la cap”, alte tipuri de racordări, schimbarea semnului convențional cu care se reprezintă un obiect, mutarea poziției de aplicare a unei inscripții, corectarea fontului sau conținutului inscripției etc.); (e) *completarea datelor fișierului cu noi date digitizate* pe timpul construcției și editării hărții (setarea parametrilor digitizorului, activarea sau dezactivarea digitizorului, testarea digitizorului, orientarea datelor digitizate – în cazul folosirii digitizorului vectorial, importul sau citirea imaginii scanate, gestiunea imaginilor raster rezultate din scanare, afișarea pe ecran a imaginii scanate, digitizarea cu locatorul a imaginii de pe ecran, orientarea datelor digitizate – în cazul folosirii digitizării pe ecranul grafic); (f) *funcții ale eventualei generalizări cartografice* atunci când e necesar etc. În anexa C sunt exemplificate câteva rezultate ale unor rezolvări ale unor probleme cartografice dificile.

5.1.10 Exemplu de program - MicroCAM

5.1.10.1 Pachetul de programe MICROCAM

Pachetul de programe MICROCAM este un pachet ce permite reprezentarea conținutului grafic al unor hărți, folosind ca date inițiale datele extrase din diferite baze de date cartografice. Pachetul se folosește la Academia Militară a armatei S.U.A. de la West Point. Derivă din programul CAM (Computer Aided Mapping - cartografiere asistată de calculator), realizat pentru CIA, pentru reprezentarea pe hărți a unor detalii geografice. La lansarea în execuție a programului este afișată o fereastră care are componentele obișnuite ale unei ferestre (interfețe grafice) Windows. Bara de meniuri conține următoarele comenzi (între

paranteze sunt date subcomenzile): File - fișier (New - fișier nou, Open - deschidere a unui fișier existent într-un dosar oarecare, Configure - configurare a dosarului obișnuit de lucru, Exit - ieșire din program); Tools - instrumente sau proceduri (DLG Browser - explorator al fișierelor de format DLG, DLG Indexer - crearea unui fișier de indecși dintr-un fișier de format DLG, DCW Browser - explorator al fișierelor de format DCW, DCW Mounter - crearea unui fișier de indecși dintr-un fișier de format DCW, PKD Browser - explorator al fișierelor de format PKD); Windows - la fel ca la toate interfețele altor programe Windows); Help - ajutor (Contents - afișarea oricărei explicații pentru o expresie de tezaur a pachetului, About - afișarea unor informații generale despre pachetul de programe). Sub linia meniurilor se află micile pictograme denumite butoane, ale căror funcții sunt identice cu cele ale comenzilor meniurilor. La activarea comenzii Open din meniul File este afișată o listă cu fișiere de hartă deja existente în dosarul Maps (hărți), unde există, de exemplu, și fișierul denumit "Arabia". Denumirea cu extensie a acestui fișier este "Arabia.cam". La un clic pe această denumire apare în căsuța "File name" numele fișierului selectat. La un clic pe butonul "Open" este deschis fișierul și apare subfereastra unde e afișat conținutul fișierului ales sau este afișată chiar imaginea grafică a hărții, în funcție de comanda activată din cele două comenzi Map - hartă (reprezentarea imaginii hărții) sau Commands - comenzi (afișarea comenzilor succesive care comandă reprezentarea elementelor hărții). De exemplu, pentru fișierul "Romania.cam" lista comenzilor fișierului este:

REM O harta a României
 rem in proiectia conica Lambert
 rem alege proiectia conică conformă
 rem Lambert
 rem cu paralelele standard 22°N si 26°N
 lambert 42,,46,,
 rem seteaza scara hartii 1:5.000.000
 mapsal 5000000
 rem seteaza zona de desen de 5"x 3,75"
 xylim 5,3.75
 rem limiteaza harta ca lat 40°N - 50°N,
 rem long 20°E - 30°E
 mapbound 40,,60,,20,,30,,
 rem centrul hartii la 45°N si 25°E
 cetpot 45,,25,,
 rem creaza o caseta goala de 4" x 1,5"
 rem in punctul 2,75",-2,75"
 rem si deseneaza frontiera casetei goale
 openbox 1.0,2.75,-2.75,2.0,0.75,1.0
 rem deseneaza o caseta de 10" x 7,5"
 rem in punctul de coordonate 0", 0"
 boxxy 0.0,0.0,5,3.75
 rem alege linie punctată
 linemode 4
 rem alege penita 5 (maro pe ecran)
 pen 5
 rem deseneaza o rețea lat/long la
 rem intervale de 1° de la 40°N la 50°N
 rem si de la 20°E la 30°E
 lgrid 1,1,5,5,40,,50,,20,,30,,
 rem alege linie continua (solid line)
 linemode 0
 rem alege penita 1 (negru pe ecran)
 pen 1
 rem deseneaza tarmurile
 feature 1,0,30
 rem alege linie intrerupta (liniuta-punct)
 linemode 2
 rem alege penita 4 (rosu pe ecran)
 pen 4
 rem deseneaza frontierele nationale
 feature 2,0,234
 feature 2,0,235
 feature 2,0,302
 feature 2,0,307
 feature 2,0,308

REM deseneaza capitala Bucharest,
 symbol 44,26,,26,6,,1,0,7
 rem deconecteaza activarea casetei
 rem deschise
 openbox 0
 rem alege linie continua
 linemode 0
 rem alege penita 2 (albastru pe ecran)
 pen 2
 rem alege latimea liniei de 2 puncte
 rem (un punct ~1/150" sau 0,169 mm)
 linewt 3
 rem scrie textul "România" de inaltime a
 rem caracterelor 0.28", in punctul
 rem de coordonate 0,87", -2,40"
 textxy 0.87,-2.40,0.28,0,ROMÂNIA
 rem alege latimea liniei de 1 punct
 linewt 1
 rem scrie textul "Proiecția conică
 rem Lambert", înălțime 0.28", în punctul
 rem de coordonate 0,87", -2,65"
 textxy 0.87,-2.65,0.14,0,Proiecția conică
 rem Lambert
 rem scrie textul "Scara - 1:5.000.000",
 inaltime 0.14", in punctul 0,87". -2,90"
 textxy 0.87,-2.90,0.14,0, Scara –
 rem 1:5.000.000
 rem scrie textul "Proiectant: Nițu
 rem Constantin", inaltime 0.14", in
 rem punctul ..
 textxy 0.87,-3.15,0.14,0,Proiectant: Nitu
 rem Constantin
 rem scrie textul "cu programul
 rem MicroCAM" inaltime 0.14", in..
 textxy 0.87,-3.40,0.14,0,cu programul rem
 MicroCAM

La activarea comenzii Map și la clic pe butonul Draw map (desenează harta), apare imaginea hărții.

În figura 5.11 este dată reprezentarea granițelor țării noastre în proiecția conică Lambert.

5.1.10.2 Semnificația comenzilor fișierului hartă

Se convine a se denumi fișierul cu extensia ".cam" fișier hartă. Comenzile cuprinse în fișier se împart în două grupe, în prima grupă intrând cele pentru generarea elementelor specifice proiecțiilor cartografice, respectiv pentru calculul și reprezentarea rețelei cartografice (rețeaua cu imaginile meridianelor și paralelelor), iar în a doua grupă restul comenzilor pentru desenarea tuturor celorlalte elemente ale hărților. Pentru fiecare comandă sunt explicații în comanda de asistență (help) și parametrii ce însoțesc comanda (anexa A, tabelul A5). Explicațiile pentru două din comenzile de calcul și reprezentare sunt cele de mai jos.

.....

2.AZED

Proiecția azimutală echidistantă

/1 parametri:

[1]: raza maximă a proiecției (mile marine)

Exemplu:

AZED 4000 - selectează proiecția cu raza de 4000 mile

3.AZEQAREA

Proiecția azimutală echivalentă

0/1 parametri:

[1]: raza maximă a proiecției (mile marine)

Exemplu:

AZEQAREA - selectează proiecția azimutală echivalentă (valoarea implicită a razei este 5000 mile)

Un exemplu de comandă din cea de a doua grupă este cel de mai jos.

32.FILLXY

Umple o zonă cu un model (patern) în punctul de coordonate date

3 parametri:

1,2: coordonatele x, y ale punctului

3: numărul forme (paternului) de umplere

Observație: forma (paternul) de umplere nu este exportată pentru fișierele de desen (este valabilă doar pentru reprezentarea pe ecran).

Exemplu:

FILLXY 4,-3,2 - umple o zonă delimitată cu un punct interior de coordonate rectangulare 4",-3", cu modelul (paternul) nr. 2

Trebuie menționat că la alegerea opțiunilor de afișare mai sunt activate două meniuri în bara de comenzi, respectiv Edit - corectare (cu subcomenzile specifice comenzii de editare din orice program Windows) și Map - hartă (cu subcomenzile: draw - desenează harta; step - pas - execută următoarea comandă din lista de comenzi: comanda executată fiind scrisă în linia de stare a ferestrei harta; pause - pauză, intrerupe desenarea hărții; reset - resetează / șterge harta afișată și resetează comenzile hartă la prima linie; update screen - actualizează ecranul, este refăcută sau actualizată imaginea hărții pe ecran după fiecare comandă executată).

5.1.10.3 Structura fișierelor de date ce pot fi utilizate de programul MICROCAM

a) FORMATUL FIȘIERELOR ASCII DCW (Digital Chart of the World)

Agenția Cartografică a Apărării (Defense Mapping Agency sau DMA, actualmente NIMA) a creat fișierele Hărții Digitale a Lumii (Digital Chart of the World, DCW) cu datele digitale ale hărții la scara 1:1.000.000, pe zone de 5° X 5° denumite “tiles (plăci sau trapeze)”, individualizate prin coordonatele colțului de sud-vest (latitudine și longitudine). Este dificil să se proceseze direct fișierele DCW. PhD Associates Inc. a reformatat datele DCW - fișiere ASCII, care sunt stocate, în formă comprimată, pe un singur CDROM. Acest CDROM este

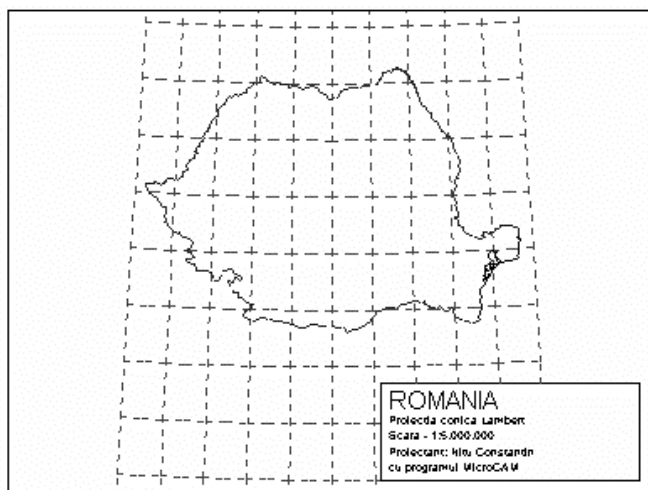


Fig. 5.11 Exemplu de reprezentare în proiecția conică Lambert

disponibil pentru instituțiile de învățământ la un preț modic, prin Microcomputer Specialty Group al Asociației Geografilor Americani (Association of American Geographers, AAG). În MicroCAM, două comenzi permit accesul la fișierele DCW în format ASCII. Comanda DCWFILE procesează detaliile liniare, iar comanda DCWTEXT procesează etichetele text ale detaliilor. În ceea ce privește introducerea datelor DCW, fișierele de date ASCII trebuie introduse pe sistemul la care se lucrează. Opțiunea "DCW Mounter" sub meniul Tools (instrumente, proceduri) face decompresia fișierelor DCW existente pe CDROM și plasează rezultatul în subdosarul (path) DCW de pe discul sistemului la care se lucrează. Deoarece fiecare zonă de 5° x 5° din datele DCW are fișiere cu același nume, fiecare nouă zonă o va

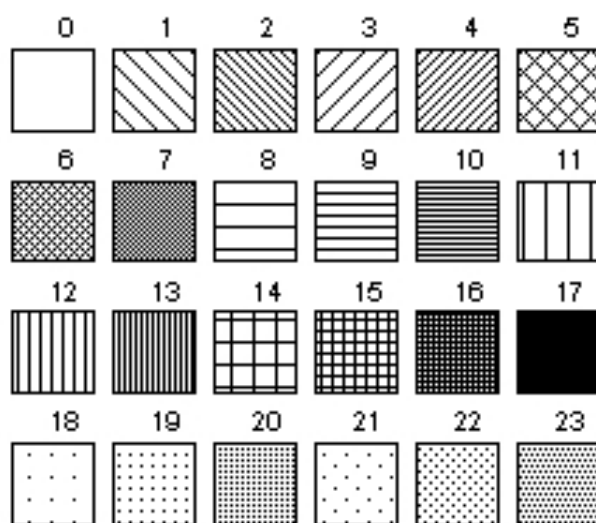


Fig. 5.12 Modelele de umplere a zonelor cu comanda (procedura) FILL (umplere)

înlocui pe precedenta dacă nu folosiți opțiunea “mount in subdirectory”, care crează un

subdosar (subdirectory) pe calea (path) DCW denumită pentru zona introdusă (de exemplu, DCWPATH\40N090W).

Este de reținut că pentru ca DCW Mounter să lucreze, trebuie să existe pe sistem programul PKUNZIP.EXE, în dosarul sistem.

Numele majore folosite pentru fișierele în format DCW ASCII sunt ("nn" reprezintă fișiere de detalii de diferite nivele):

TIPURI DE DETALII

Categoria	LINIARE	PUNCTUALE	INSCRIPTII
caseta zonei	BOX.LLP		
monumente	CLL00.LLP	CLP00.LLT	
bazine hidr.	DNLnn.LLP	DNPnn.LLT	DNT00.LLT
bazine hidr. sup.		DSPnn.LLT	
hipsografie	HYLnnnnn.LLP	HYPnn.LLT	
hipsografie sup.	HSLnnnnn.LLP	HSP00.LLT	
oceane	OFLnn.LLP	OFpnn.LLT	
fiziografie	PHLnn.LLP		
frontiere polit.	POLnn.LLP	POPnn.LLT	POT00.LLT
localități	PPL00.LLP	PPPnn.LLT	PPP02.LLT
drumuri	RDLnn.LLP	TSP01.LLT	
căi ferate	RRLnn.LLP	TSP02.LLT	
transporturi	TSLnn.LLP		
utilități	UTLnn.LLP		
aeronautice		AEpnn.LLT	

b) FISIERELE BAZEI DE DATE World Data Bank II

Fișierele cu denumirile de mai jos sunt accesate automat prin comenzile (procedurile) FEATURE și LINEPT (sunt accesibile în mod manual cu comanda FEATURE - detaliu, prin folosirea tuturor celor trei parametri):

COAST.PNT Tărmurile lumii.
 ISLAND.PNT Insule.
 LAKE.PNT Lacuri.
 COUNTRY.PNT Frontierele țărilor.
 STATE.PNT Frontierele statelor SUA.
 RIVER.PNT Râurile principale

c) FORMATELE FISIERELOR PENTRU EXPORTUL DATELOR

Funcția Export File (export fișiere) permite salvarea hărților în patru formate de fișiere: MicroCAM (MCF), AutoCAD (DXF), limbajul grafic Hewlett-Packard (HPGL) și bitmap (BMP). Fișierele salvate în aceste formate pot fi importate în alte aplicații. Formatul de export MicroCAM este folosit pentru a salva o hartă într-o formă intermediară (precalcul), care poate fi importată (folosind "File | Import") pentru a restaura harta mai rapid decât la utilizarea fișierului de comenzi obișnuite de tipul "*.cam". Fișierele sunt relativ mici și sunt procesate mai rapid când sunt importate în MicroCAM. Fișierele sunt salvate cu extensia

.MCF. Formatul de schimb al datelor DXF al lui AutoCAD este un standard industrial, de tip ASCII, care este acceptat de multe programe de aplicații CAD și SIG. Deoarece formatul conține doar text ASCII, fișierele pot fi de volum mare (multi-megabyte). Fișierele DXF sunt formate din date vectoriale și de aceea pot fi folosite prin rescalare fără pierdere de rezoluție. MicroCAM plasează diferite culori și stiluri de linii pe diferite straturi, pentru a ușura editarea ulterioară a hărții. Fișierele sunt salvate cu extensia .DXF. Limbajul grafic Hewlett-Packard sau HPGL este un alt standard industrial care constă din comenzi elementare pentru ploter. Fișierele sunt de tip ASCII, dar nu conțin întreruperi de linii și sunt greu de editat. Multe aplicații importă date HPGL. Fișierele pot fi mari, dar mai mici decât cele în format DXF. Fișierele HPGL conțin date vectoriale și pot fi rescalate fără pierderea rezoluției. Fișierele au extensia .PLT. Fișierele bitmap sunt fișiere grafice standard pentru mediul Windows. Deoarece sunt create la rezoluția imaginii originale, nu pot fi rescalate fără pierderea rezoluției. Trebuie să ajustați dimensiunile hărții la mărimea dorită înaintea exportării fișierului. Fișierul este salvat cu extensia .BMP.

5.1.11 Concluzii

SIG conține propriile programe de construcție și editare a hărților, nu atât de complexe ca programele independente cu acest obiectiv. Datele pot fi exportate din SIG către aceste programe pentru realizarea hărților. Hărțile mai complexe (topografice și tematice deosebite) se realizează în organizații de profil cartografic, care pot folosi și date extrase din SIG. Hărțile tematice cu conținut simplificat se pot realiza și cu sisteme mai simple, mai ales la imprimante color. Problemele de realizare a acestor hărți sunt comune cu cele ale sistemelor complexe. Problemele de generalizare cartografică se referă în acest caz doar la problemele de selecție. Uneori, conținutul tematic se poate suprapune prin afișare sau tipărire pe hărțile topografice sau tematice complexe, ca noi straturi, de exemplu situația poluării chimice a unei zone în urma unei catastrofe.

5.2 Reprezentarea valorilor tematice z pe o zonă continuă

5.2.1 Principii de bază

Este imposibil a se măsura o mărime z în toate punctele unei zone. Exemple de mărimi discontinue z , măsurate în câteva puncte: temperatura, presiunea, aciditatea solului, poluarea cu o anumită substanță (conținutul apei, solului, sau cantitatea unei substanțe poluante, de exemplu cianură), altitudinea sau cota.

De exemplu, cotele trebuie cunoscute în punctele caracteristice ale reliefului (vârf, pe linii caracteristice, pe vale, pe creastă, pe șa etc.). Se pot reprezenta pe hartă punctele și se scrie valoarea cotei în fiecare punct. Dar cine citește sau face măsurători pe hartă se descurcă greu. Ar fi bine dacă relieful s-ar reprezenta prin curbe de nivel sau izohipse. De asemenea ar fi bine ca relieful să se reprezinte și în perspectivă și prin alte metode, de exemplu prin umbre. Și alte produse derivate se pot obține, ca de exemplu harta cu izopante sau curbe de egală pantă etc.

5.2.1.1 Determinarea prin interpolare a valorii z

Uneori este necesară determinarea cotei unui punct de pe hartă situat între două curbe de nivel. Se pot folosi formulele (3.1), unde H_1 și H_2 sunt cotele celor două puncte, H este cota

de determinat a punctului, D_1 și D_2 sunt distanțele de la punct la cele două puncte, iar P_1 și P_2 sunt ponderile cotelor celor două puncte, care variază invers proporțional cu distanța.

$$H = (P_1 * H_1 + P_2 * H_2) / (P_1 + P_2) \quad (5.2)$$

$$P_1 = 1/D_1 \quad P_2 = 1/D_2$$

Prima formulă reprezintă calculul mediei ponderate. Puteți calcula cu programul Calculator pentru următorul exemplu: $D_1=5\text{m}$, $D_2=10\text{m}$, $H_1=100\text{m}$, $H_2=110\text{m}$.

Rezultă $P_1=1/D_1=0,2$; $P_2=1/D_2=0,1$; $H=(0,2*100+0,1*110)/0,3=31/0,3=103,3\text{m}$.

Același lucru se întâmplă dacă în jurul punctului cu cotă necunoscută se află mai multe puncte cu cote cunoscute. În acest caz se aplică tot formula mediei ponderate.

$$H = (P_1 * H_1 + P_2 * H_2 + P_3 * H_3 + \dots + P_n * H_n) / (P_1 + P_2 + P_3 + \dots + P_n) \quad (5.3)$$

Sunt și alte metode de interpolare, pe care le veți descoperi fiecare la lucrul cu programele de tipul programului SURFER. Aici s-a arătat doar principiul, strict necesar înaintea utilizării procedurilor programului.

5.2.1.2 Modul de lucru

Fie cazul cotelor. Punctele ale căror valori z sunt cunoscute se află în puncte și pe linii caracteristice ale reliefului (fig. 5.13). Dacă se unesc aceste puncte se obține o rețea de triunghiuri. Se poate determina cota oricărui punct ce se găsește în interiorul unui triunghi, folosind formula (5.3), dar acest lucru se face numai cu pachete de programe complexe, cum ar fi modulul TIN al pachetului ArcINFO, destinat pentru rezolvarea multor probleme privind relieful, precum determinarea traseului curbilor de nivel (izohipselor sau curbilor ce unesc punctele de aceeași cotă), determinarea vizibilității dintre puncte, determinarea zonelor nevăzute, determinarea profilului pe o direcție dată etc.

Mai întâi sunt determinate valorile z în punctele unei rețele (grile, grid) cu o anumită densitate, dându-se inițial cotele unui număr limitat de puncte, de exemplu doar vârfurile triunghiurilor din figura 5.13. Această grilă reprezentată în vedere perspectivă arată ca în figura 5.14. Modul de obținere a acestei reprezentări va fi descris în partea finală a acestui capitol. Este necesar să se revadă definițiile cotei, curbei de nivel, azimutului, proiecției cartografice etc., însușite la alte discipline.

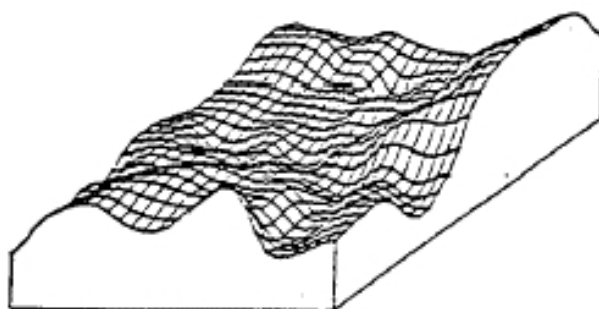


Fig. 5.14 Punctele unei grile cărora li se determină cotele prin interpolare

În acest capitol sunt prezentate doar câteva probleme care se pot rezolva folosind modelul digital al terenului (MDT), modelul digital altimetric (MDA) și alte dezvoltări în

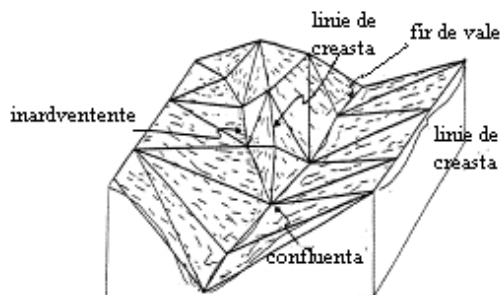


Fig. 5.13 Punctele caracteristice cărora li se determină inițial cota acest domeniu. Se specifică doar că modelul digital altimetric constă în totalitatea datelor ce descriu o zonă dată, procedurile și algoritmi de prelucrare și reprezentare. Dintre problemele ce se vor adânci se amintesc extragerea informației hidrologice dintr-un model digital altimetric și reprezentarea plană a variabilelor prin umbre.

Pe plan se pot reprezenta și curbele de nivel. Aspectul curbelor proiectate pe planul orizontal sau pe planul proiecției cartografice este cunoscut de la studierea hărților și nu îl mai prezentăm aici. Ne-am rezumat doar la unele reprezentări ce nu au fost tratate la alte cursuri.

5.2.1.3 Structura unui program de prelucrare și reprezentare a MDA

Programul de prelucrare și reprezentare a MDA poate fi de sine stătător, precum programul SURFER realizat de firma Golden Software (puteți consulta pe Internet datele referitoare la acest program la adresa <http://www.golden.com>) sau ca modul în cadrul unui sistem de programe pentru sistemele informaționale geografice, ca de exemplu modulul TIN al sistemului de programe Arc/INFO..

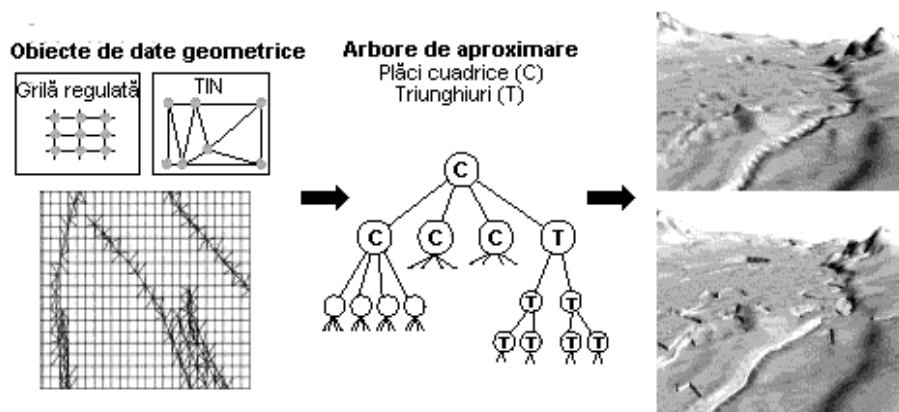
Câteva dintre funcțiile acestor programe sunt date în tabelele anexei A. Programele au interfețe performante pentru utilizatori. În sistemul de programe există și posibilități de gestionare a diferitelor structuri de date, care nu sunt adâncite aici. Se dă doar o figură sugestivă (fig. 5.15), în care sunt reprezentate grafic structurile de tip rețea regulată și de triunghiuri oarecare (TIN), schema organizării datelor și două imagini sugestive ale reliefului unei zone, cu și fără microstructuri.

Un pachet de programe accesează tipurile de fișiere cu extensii stabilite pentru fiecare tip de aplicație. Sunt fișiere distincte cu valorile z în puncte caracteristice, fișiere de parametri, fișiere cu cotele în punctele unei rețele rectangulare (grile), fișiere cu cotele în punctele unei rețele de triunghiuri oarecare, fișiere paletă de culori (PAL), fișiere de simboluri, fișiere finale cu datele izocurbelor; fișiere de tip text (TXT) etc. Este bine ca dosarele și subdosarele cu aceste tipuri de fișiere să fie organizate pe proiecte.

Programele au ca funcții gestiunea datelor unui proiect, interpolarea valorilor z în punctele unei rețele rectangulare cunoscând valorile z în puncte distribuite aleator sau neregulat, triangularizarea punctelor cu valori z , determinarea traseelor izocurbelor, reprezentarea plană a vederilor 3D, reprezentarea în plan prin umbre a valorilor variabilei z , combinarea imaginilor cu diferitele forme de reprezentare a reliefului etc.

Pentru toate funcțiile sunt prevăzute comenzi. Denumirile comenzilor sugerează funcțiile procedurilor activate cu aceste comenzi. Prelucrarea se poate face interactiv sau automat prin simpla explorare a fișierelor de comenzi sau de macrocomenzi, scrise cu limbaje specifice (de exemplu AML pentru Arc/INFO).

La procedurile specifice MDA sunt adăugate proceduri de: a) reprezentare a textelor, poligoanelor, simbolurilor generale sau semnelor convenționale cartografice, dreptunghiurilor, elipselor, unor curbe de ordin superior, axelor de coordonate, legendei, direcției meridianului (nord) etc.; b) aranjare a imaginilor reprezentate pe ecran - deplasare în plan, rotire, transformare de scară, efect de lupă, aliniere a obiectelor etc.; c) combinare a unor reprezentări diferite; c) netezirea curbilor prin funcții polinomiale, funcții spline etc.



Vedere conceptuală a obiectelor de date geometrice și reprezentările arborescente; datele TIN și de rețele regulate sunt date teserale hibride: în partea dreaptă modelul terenului este vizualizat fără microstructuri (sus) și cu microstructuri (jos).

Fig. 5.15 Structuri de date altitudinale

Procedurile specifice MDA pot fi grupate ca proceduri pentru: a) culegerea cotelor punctelor distribuite aleator sau punctelor izohipselor sau calculul automat al valorilor z după funcții prestabilite și realizarea fișierelor de coordonate, identificatori și cote; b) interpolarea cotelor punctelor rețelei rectangulare - proceduri de interpolare, proceduri de apreciere și reprezentare a preciziei de interpolare, proceduri de alegere a metodei optime de interpolare etc.; c) determinarea traseelor izocurbelor - alegerea parametrilor curbilor, inclusiv echidistanța, alegerea curbilor principale, normale, ajutătoare, accidentale, combinarea imaginii izocurbelor cu imaginea ce conține punctele inițiale cu cote, editarea izocurbelor rezultate etc.; d) încărcarea unei hărți de bază și combinarea curbilor de nivel cu conținutul hărții încărcate; e) determinarea zonelor umbrite și a imaginilor în plan ale vederilor 3D, combinarea acestor reprezentări; f) determinarea profilelor și a zonelor văzute sau nevăzute, combinarea acestor reprezentări cu harta numerică sau cu geoimaginea în general; g) Determinarea cotelor unor puncte din orice reprezentare specifică MDA, distanțelor înclinate, suprafețelor și volumelor etc.; h) determinarea traseelor de curgere.

Pachetul poate conține și un editor al reprezentărilor (carto)grafice realizate, având ca funcții selecția unui obiect, selecția obiectelor dintr-o zonă, ștergerea, deplasarea, copierea, modificarea tipului etc. pentru obiectele selectate, adăugarea de inscripții, combinarea diferitelor reprezentări, separarea pe straturi de obiecte ș.a. Un program special de editare trebuie să permită și corectarea fișierelor cu coordonate și cote. Programele au proceduri de citire a datelor în formate generale cunoscute și în formate specifice unor pachete de programe cu grad mare de generalizare (import), respectiv de scriere a tuturor acestor tipuri de fișiere. Programelor le sunt atașate fișiere speciale (drivers) specifice tuturor perifericelor de intrare sau ieșire.

5.2.2 Extragerea informației hidrologice dintr-un model digital altimetric

Extragerea informației hidrologice din modelul digital altimetric (MDA) este una din operațiunile cele mai solicitate în SIG. O structură importantă de date folosită în analiza spațială în SIG este MDA, organizat, de regulă, ca o rețea de triunghiuri oarecare concatenate (pentru toate vârfurile triunghiurilor cunoscându-se coordonatele și cotele) sau ca o rețea (grilă) regulată de puncte. Folosirea oricăreia din cele două structuri pentru extragerea informației hidrologice pune unele probleme deosebite, deși în cazul structurii de tip grilă s-au obținut unele rezultate încurajatoare. Se prezintă în continuare două metode pentru extragerea informației hidrologice, arătându-se avantajele și dezavantajele.

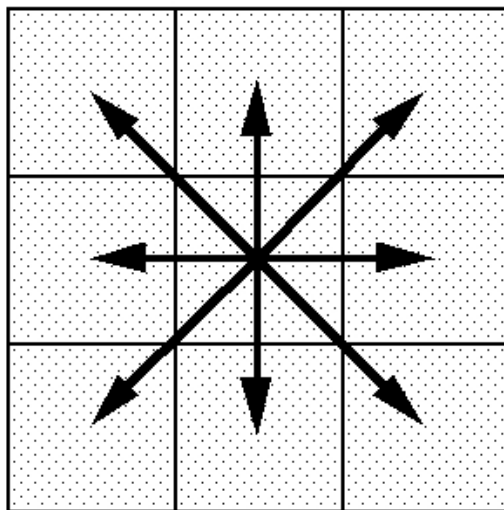


Fig. 5.16 Vecinii în structura grilă și direcțiile posibile de curgere

5.2.2.1 Introducere

Modelele digitale altimetrice pot fi folosite pentru extragerea informației hidrologice. Informația hidrologică este formată din rețeaua de scurgere a apelor pluviale (rețeaua de drenare sau rețeaua de talveguri), liniile de despărțire a apelor etc. Această informație are o importanță deosebită în geomorfologie, în studiul reliefului terenului și în modelarea reliefului, atât prin metodele cartografice clasice, cât mai ales prin metoda modelării cu ajutorul calculatorului electronic.

În ultimele două decenii au fost dezvoltate diferite metode, cu algoritmi corespunzători, pentru determinarea informației hidrologice, în special a rețelei de drenare, folosind MDA. Câteva din cele mai recente lucrări folosesc un algoritm neiterativ și MDA de tip grilă. S-au dezvoltat și algoritmi iterativi (Nițu, C., Nițu, C.D., 1997a). Toți algoritmi se bazează pe unele caracteristici hidrologice ale suprafeței (concavitate, convexitate, direcție de curgere etc.). Există câteva articole mai recente care propun soluții pentru calculul semiautomat sau automat al rețelei de drenare (Lammers și Baud, 1990).

Algoritmi incluși în sistemele ce prelucrează date de tip grilă realizează în mod uzual operațiuni asupra cotelor nodurilor vecine unui nod dat (nodurile putând fi asimilate pixelilor din structurile de date raster), pentru a analiza forma suprafeței detaliilor de relief; calculul pantei și configurației suprafeței elementare dintre patru noduri vecine se poate face pentru fiecare asemenea element, utilizând 8 sau 24 noduri vecine (figura 5.16).

Presupunând că nodul curent (central) primește apa din precipitații, apa va curge în afara acestui nod numai spre unul din nodurile vecine. Direcția de (s)curgere constituie “aspectul” de la nodul central către nodul vecin care are ponderea maximă a cotei dintre

nodurile vecine, pondere care depinde de distanța dintre noduri. Toate celelalte informații hidrologice derivă de la informația privind direcția de (s)curgere.

Datele de bază pentru analiza hidrologică fundamentată pe structura de rețea de triunghiuri oarecare (TIN) implică determinarea parametrilor de orientare a fețelor triunghiulare, fiind foarte importante și relațiile dintre triunghiurile vecine. O asemenea structură are două fișiere de date - un fișier de coordonate ale vârfurilor și un fișier care definește topologia. În primul fișier sunt înregistrate pentru fiecare punct coordonatele x și y și cota, iar în cel de al doilea informația privind topologia pentru fiecare triunghi, inclusiv codurile celor trei vârfuri și legăturile cu cele trei triunghiuri vecine. Pentru o zonă dată, numărul triunghiurilor este foarte mare.

Conexarea triunghiurilor într-o rețea contiguă se face pe baza laturilor comune. Fiecare triunghi este o fațetă plană căreia i se pot determina parametrii de orientare spațială pe baza celor trei vârfuri, respectiv panta și aspectul (direcția pantei). Orientarea fațetei este

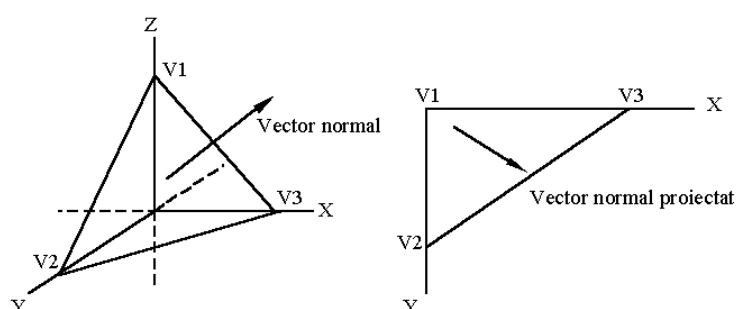


Fig. 5.17 Orientarea triunghiului

arătată în figura 5.17. Direcția de curgere a apei pe suprafața fațetei triunghiulare este determinată de panta maximă, respectiv poziția spațială a triunghiului.

Din figura 5.17, vectorul normal al triunghiului poate fi calculat din coordonatele celor trei vârfuri. Proiecția acestui vector pe planul xoy definește direcția de pantă maximă, respectiv direcția de curgere a apei pe fațeta triunghiului.

Componentele de pe axele x și y ale vectorului proiectat sunt folosite pentru a găsi linia de curgere (figura 5.18).

Pe baza direcției de curgere se poate determina situația (starea) triunghiului privind curgerea. Pentru o fațetă înclinată (panta direcției de curgere diferită de zero) există două situații posibile privind modul de curgere față de laturile triunghiului. Pentru fiecare latură apa poate “intra” sau “ieși” în/din triunghi (săgețile din figurile 5.19 și 5.20).

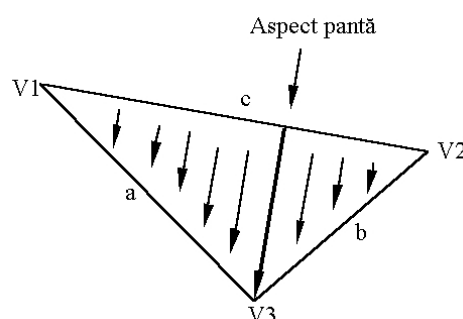


Fig. 5.18 Traseul de curgere pe fațeta triunghiului

Cele două situații sunt următoarele: (1) apa intră prin două laturi și iese printr-o latură (figura 5.14); (2) apa intră printr-o latură și iese prin două laturi (figura 5.15).

Cu direcția de curgere și cu poziția triunghiului poate fi determinat traseul de curgere. Din aceste direcții de curgere pot fi determinate talvegurile (liniile de curgere a șuvoaielor) și liniile de despărțire a apelor.

Una din cele mai dificile probleme implicate în dezvoltarea unui model hidrologic, dat de liniile de mai sus, plecând de la structura de tip TIN, este legarea din punct de vedere hidrologic a fațetelor individuale. O metodă analizează latura comună a două triunghiuri vecine. Dacă latura comună are starea de ieșire a apei în ambele triunghiuri este clasificată ca un segment al talvegului (figura 5.21), iar dacă are starea de intrare este clasificată ca segment al unei linii de creastă (de despărțire a apelor, figura 5.22). O a treia situație are loc când apa curge de la o fațetă la alta (Nițu, C., Nițu, C.D., 1997a).

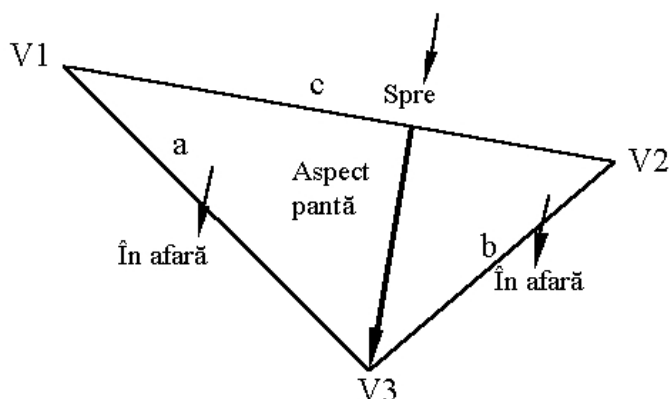


Fig. 5. 19 Curgerea spre o latură și curgerea în afară prin două laturi

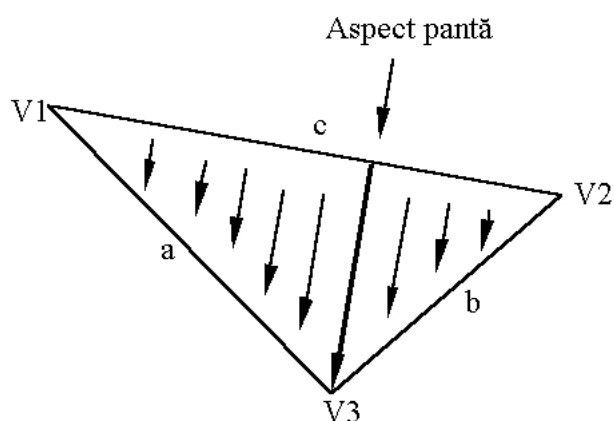


Fig. 5. 20 Scurgerea din afară spre două laturi și în afară printr-o latură

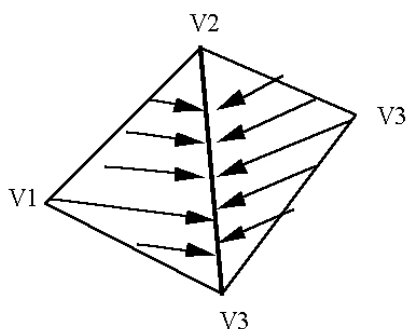


Fig. 5.21 Segment de talveg

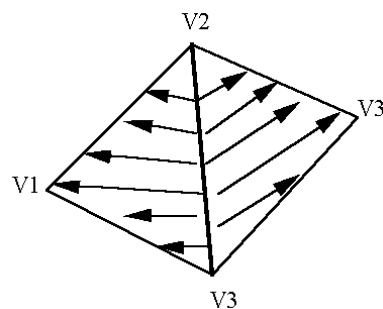


Fig. 5.22 Segment de linie de creastă

Metoda de mai sus poate fi aplicată și pentru date de tip grilă. Se vor descrie o nouă metodă care utilizează o nouă structură de date, structura Voronoi, care constă într-un graf dual al grafului corespunzător TIN (triangulația Delaunay) și o metodă bazată pe date de tip grilă.

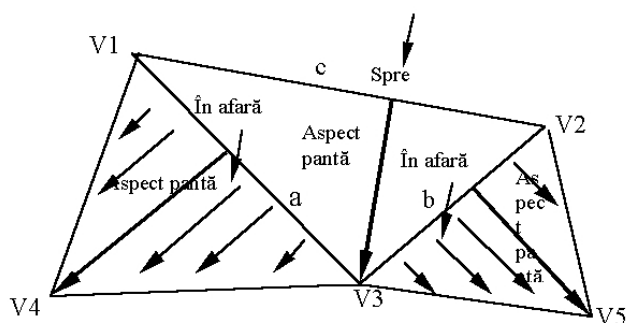


Fig. 5.23 Curgerea pe fațete

5.2.2.2 Situația existentă

Algoritmul bazat pe structura de date de tip grilă pentru extragerea informației hidrologice funcționează corect, exceptând faptul că se consumă un mare timp CPU (inclusiv pentru interpolarea cotelor în punctele grilei și procesarea acestor date) și are nevoie de un spațiu mare de memorare. Pentru a trece la un SIG bazat pe obiecte, este necesară conversia din nou a datelor, de la datele de tip grilă la date vectoriale. În structura de tip grilă, pentru fiecare nod există numai opt noduri vecine ce se iau în considerație, deci doar opt direcții de curgere, ceea ce este o aproximare a realității. Precizia informației hidrologice extrase depinde deci de rezoluție. În structura de date TIN, regulile pentru obținerea rețelei de talveguri, așa cum s-a arătat mai sus, se bazează pe analiza poziției direcției de curgere față de latura comună a două triunghiuri vecine. Prin folosirea acestor reguli, există două probleme de analiză care trebuie rezolvate. Una este posibila discontinuitate a segmentelor de talveg și alta este ambiguitatea clasificării liniilor de creastă, probleme ce s-au întâlnit și în studiile noastre. Deoarece un segment de talveg este marcat dacă și numai dacă aceeași latură a celor două triunghiuri este marcată cu indicatorul de curgere în afară în ambele triunghiuri. Dar în unele situații talvegul va fi întrerupt în unele vârfuri datorită definirii direcției torentului (șuvoiului). În figura 5.23 se arată situația când un triunghi are o latură cu direcții de ieșire ale laturii comune; la o clasificare a liniilor individuale de despărțire a apelor, se poate ca triunghiul să aparțină la două linii. Acest fapt nu afectează doar triunghiul respectiv, ci și toate triunghiurile din amonte talvegului. Uneori este foarte greu, dacă nu imposibil, să se extragă liniile de despărțire a apelor.

În cele ce urmează se va prezenta un nou algoritm, bazat pe structura de date Voronoi. Algoritmul combină avantajele structurilor de date de tip grilă și TIN cu înlăturarea neajunsurilor arătate mai sus.

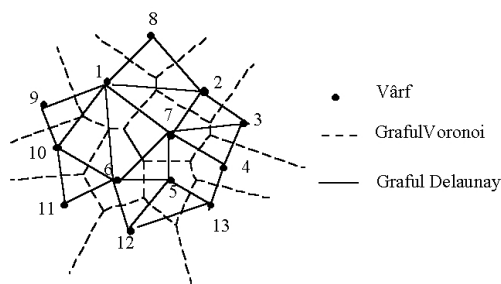


Fig. 5. 24 Triangulația Delaunay și graful Voronoi

5.2.2.3 Metoda bazată pe structura de date Voronoi

5.2.2.3.1 Structura de date Voronoi

Pentru a crea structura TIN din punctele singulare care au coordonate și cote, sunt multe căi de realizare. În cazul folosirii triangulării Delaunay, se obține o rețea unică de triunghiuri. Graful Voronoi este graful dual al triangulației Delaunay (figura 5. 24). Cele două structuri pot fi ușor transformate una în alta. Graful Voronoi este compus din mai multe regiuni. Fiecare regiune conține un vârf sau punct cu coordonate și cotă cunoscute. O caracteristică a regiunii sau celulei Voronoi este că orice punct ce aparține regiunii este mai apropiat de vârful conținut în regiune decât față de celelalte vârfuri. Folosind această structură de date, vârfurile vecine unui vârf dat pot fi definite și determinate ușor pe baza relațiilor topologice. Vârfurile vecine unui vârf dat sunt acelea care formează un segment al frontierei regiunii Voronoi a vârfului. Pentru o mulțime oarecare de puncte vârfurile vecine sunt fixe pentru fiecare punct din punctele date.

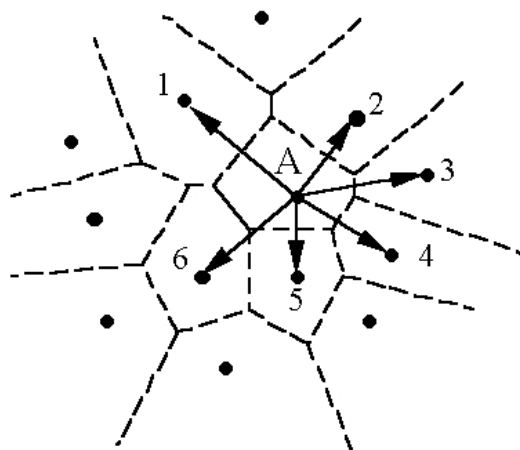


Fig. nr. 5. 25 Vecinii în structura Voronoi și traseele posibile de curgere

5.2.2.3.2 Modelul bazat pe structura Voronoi de date

Folosind un graf Voronoi, o suprafață topografică este împărțită în celule sau regiuni, fiecare celulă conținând un punct cu coordonate și cotă, denumit de noi vârf (putând apoi să fie un vârf al unui contur poligonal).

Se poate considera suprafața ca acoperită teseral, dar cu celule (plăci) de formă oarecare (cu contur poligonal de formă oarecare). Se consideră cota vârfului interior celulei drept cotă a celulei (plăcii), deci plăcile vor fi mai ridicate și mai coborâte. Paralelipipedul cu

baza superioară, această placă poate fi considerată ca un rezervor plin cu apă care are un singur orificiu de ieșire către alt rezervor cu cota de pondere maximă calculată din distanță, în comparație cu punctele vecine.

Cu toate vârfurile de presiune diferită îndepărtate, apa curge de la rezervorul mai înalt către rezervorul mai puțin înalt, rezervor cu rezervor, până la rezervorul de la latura ariei studiate.

Traseele de scurgere, de la rezervor la rezervor, formează rețeaua de curgere, deci rețeaua de talveguri. Similar analizei hidrologice folosind structuri de date de tip grilă, poate fi definită și determinată direcția de curgere a fiecărui vârf pe baza relațiilor de vecinătate.

Apa ce cade pe o celulă Voronoi poate curge doar într-o direcție, care este spre punctul cel mai de jos dintre vârfurile vecine. Matematic, punctul de pe direcția de scurgere se determină cu formula:

$$\text{punct_pe_direcția_de_curs} = \text{punct_cu_max} ((H_i - H_j) / D(i, j)) \quad (5.4)$$

unde: i indicele vârfului central curent; j indicele vârfului vecin; H este cota vârfului;

$D(i, j)$ este distanța în planul xoy între vârful central curent i și vârful vecin j .

Deoarece direcția de curgere este de la un vârf numai către unul din vârfurile vecine, rețeaua de curgere este conectată (cu toate talvegurile conectate). De asemenea acel nod aparține unui singur talveg. Metoda este similară celei a algoritmului pentru date de tip grilă. Pentru datele de tip grilă, un nod are 8 noduri vecine. Apa ce cade într-un nod poate curge doar spre unul din nodurile vecine, cel cu cota mai mică. Diferența dintre structura de date de tip grilă și structura Voronoi este că în primul caz sunt 8 puncte vecine (8 direcții posibile), pe când în al doilea caz apa poate curge teoretic în orice direcție, Pentru fiecare vârf sau celulă Voronoi direcția de curgere este determinată de dispunerea punctelor în spațiu. Metoda înlătură inadvertențele cauzate de structura de date TIN. În primul rând, deoarece fiecare vârf este conectat la alt vârf al domeniului, nu există întreruperi ale liniilor ce urmează a se determina. În al doilea rând, domeniul de definiție al datelor este compus din mai multe celule Voronoi și fiecare celulă este reprezentată de vârful din interiorul acesteia. Când este clasificată ca obiect o linie particulară, prin unicitatea traseului de curgere de la un vârf la altul, o celulă Voronoi aparține în mod unic doar unui obiect linie de talveg.

Această metodă constituie analiza grafului sau rețelei formată de aceste vârfuri. Apa curge prin rețea respectând “drumul cu costuri minime” prin comparare locală. Traseele de curgere formează rețeaua de talveguri.

5.2.2.3.3 Informații privind schema de acumulare

Cu direcțiile de curgere determinate, fiecare vârf are un pointer care face legătura spre alt vârf, cu excepția unor vârfuri de pe marginea (frontiera) zonei. Direcția de la vârf la vârful punctat prin pointer (adresă în lista punctelor) este direcția de curgere a vârfului. Ca atare, vârful punctat primește torentul de apă de la vârf, existând două variabile cu informația privind acumularea: (1) informația privind acumularea vârfului (în vârf), fiecare vârf având o listă a indicilor vârfurilor de la care și prin care apa curge spre vârful respectiv, adică vârfurile din lista corespunzătoare unui vârf sunt toate vârfuri în amonte dacă două sau mai multe vârfuri au direcții de curgere spre același vârf, constatând că cu cât e mai lungă lista, cu atât lipsește vârful în zona de studiu și invers; (2) informația privind acumularea zonei, deoarece în graful Voronoi, fiecare vârf ocupând aceiași arie, din lista vârfurilor putând fi calculată

aria, ceea ce înseamnă în mod similar că cu cât e mai mare aria, cu atât lipsește vârful în zona de studiu și invers.

Vârful și informația privind schema de acumulare sunt datele de bază pregătite pentru rețeaua de (s)curgere și pentru extragerea informației referitoare la un talveg individual.

Extragerea rețelei de (s)curgere și evidențierea liniilor individuale de creastă

(1) Extragerea rețelei de curgere

În orice zonă de studiu, din fiecare vârf apa curge spre alt vârf. Conectarea dintre cele două vârfuri în planul xoy este un segment al talvegului. De aceea, cu informația de acumulare a vârfului, poate fi determinată informația talvegului. Toate segmentele ce conectează secvențial două vârfuri în lista de vârfuri sunt segmentele din amonte ale vârfului. Există trei moduri de determinare a rețelei de scurgere: (a) numărul de vârfuri din amonte; (b) aria zonei cu vârfuri din amonte; (c) lungimea totală a talvegului din amonte.

(2) Schițarea liniilor marginale ale subbazinelor

Prin convenție, numim subbazin un bazin din care își culege apele un talveg dat și eventual și talvegurile afluate ale acestuia. Subbazinul aparține unui bazin. Dacă există informația referitoare la acumularea zonei pentru fiecare vârf, este ușor să se determine (să se schițeze) liniile marginale ale subbazinelor, aceste linii fiind linii de creastă (linii de despărțire a apelor). Deoarece fiecare celulă sare doar o direcție de curgere, aceasta poate fi clasificată în mod unic ca aparținând numai unuia dintre subbazine. Mai întâi este identificată celula care nu are pointer de curgere către nici un vârf, care, de regulă, este pe frontiera zonei. În al doilea rând, se determină celula vecină din amonte, pe direcția de curgere, apoi în același mod toate celulele ce au direcție de curgere către celula respectivă și zona acoperită de aceste celule Voronoi formează o linie marginală individuală. Aria specifică unei linii particulare se obține prin însumarea ariilor celulelor implicate. Dacă aria liniei din amonte este prea mică (sub o toleranță dată), linia este ignorată, în caz contrar este înregistrată. Frontiera unei linii particulare, de fapt a celulelor ce contribuie la aceasta, este frontiera tuturor acestor celule concatenate (unite). Frontiera unei subbazin se obține ca frontieră a zonelor concatenate ale subbazinelor componente.

5.2.2.3.5 Proceduri pentru extragerea informației hidrologice

Procedura generală poate avea următorii pași:

Se creează *MDA Voronoi* pentru zona dată, fie direct din punctele cotate singulare, fie prin transformarea datelor din structura triangulată Delaunay.

Regularizarea MDA, dacă este necesar, printr-o metodă adecvată (de exemplu prin transformare polinomială), pentru înlăturarea zgomotului, în caz contrar, prezența erorilor sistematice sau aleatoare duce la scăderea calității informației extrase.

Umplerea vârfurilor din depresiuni (găvane). Un vârf în depresiune este poziția în care un vârf are cota cea mai mică față de toate vârfurile vecine. Umplerea face ca apa să curgă în afara triunghiului prin laturi. Algoritmul de umplere constă în: găsirea vârfurilor vecine unui vârf dat, astfel ca punctele vecine să formeze un poligon convex; sortarea punctelor vecine după valoarea cotei; compararea cotei punctului cu cotele punctelor vecine și ignorarea cotei dacă nu este inferioară acestora; dacă este un punct de depresiune, cota este comparată cu penultima valoare dintre valorile cotelor ordonate în ordine descrescătoare; dacă punctul cu penultima valoare nu are un traseu de curgere, cota sa este înlocuită cu valoarea cotei punctului, nu este marcat un traseu de curgere. Acest proces poate fi folosit pentru

fiecare punct în depresiune și repetat până când toate punctele au un traseu de curgere spre frontiera zonei studiate.

După umplerea tuturor depresiunilor, *se calculează direcția de curgere* pentru fiecare vârf din MDA, folosind relația (5.4).

Acumularea fluxului

Se calculează informația schemei de acumulare pentru fiecare vârf din informația direcțiilor de curgere. Această informație privind acumularea cuprinde numărul total de vârfuri cu direcția de curgere spre acest vârf, lungimea totală a traseului din amonte, aria totală a vârfurilor traseului. Vârfurile din amonte vor recepționa fluxul de la mai puține puncte (vârfuri), pe când cele din aval fluxul de la mai multe puncte.

Extragerea informației referitoare la bazinul de acumulare

Se extrage informația referitoare la bazinul de acumulare. Bazinul de acumulare se poate determina prin aria minimă a bazinului sau prin numărul minim al vârfurilor care formează bazinul. Sunt extrase apoi identificatorul bazinului, aria și perimetrul bazinului, care satisfac cerințele impuse.

Extragerea informației referitoare la talveg

Procesul de extragere a informației referitoare la talveg este asemănător celui de extragere a informației referitoare la bazinul de acumulare. Dar de această dată se identifică laturile triunghiurilor care formează rețeaua de talveguri, folosind lungimea minimă a traseului sau numărul minim al vârfurilor traseului. Cu cât e mai mică lungimea traseului talvegului sau cu cât e mai mic numărul de puncte, cu atât este mai detaliată rețeaua de talveguri. Într-un caz extrem, când e folosit numărul de vârfuri, sunt extrase toate segmentele talvegului.

5.2.2.4 Metoda bazată pe structura de date de tip grilă

5.2.2.4.1 Structura de date de tip grilă

Structura de date de tip grilă sau rețea constă din noduri, intersecții ale laturilor rețelei, de regulă la distanțe egale pe cele două axe de coordonate, în care sunt date valori ale unei mărimi sau variabile ale unei funcții $z = f(x, y)$. Se adoptă, de regulă, forma de patrat pentru figura geometrică a patru noduri vecine. Deoarece structura se aseamănă ca principiu structurii teserale, mulți algoritmi pot fi folosiți pentru ambele tipuri de date. Metoda care se descrie folosește date de tip grilă, alegerea uneia din cele două metode propuse fiind dependentă de mai mulți factori, ca: existența datelor stocate într-o anumită structură; existența programelor de bază pentru transformarea unei structuri în alta; tipul de calculator disponibil și memoria internă etc.

Pe baza structurii de tip grilă se pot determina curbele de nivel, dacă acestea nu există, deoarece algoritmul prezentat lucrează în același timp și cu datele de tip grilă și cu valorile curbelor de nivel.

5.2.2.4.2 Extragerea traseului de scurgere prin scheletizarea multinivel

Algoritmul principal al metodei extrage traseul talvegurilor printr-un proces de scheletizare continuă a nodurilor de înălțime constantă (aflate pe aceeași curbă de nivel). Acest proces este partea principală a algoritmului și se aplică în orice condiții, cu excepția unor nedeterminări în situații speciale care se vor rezolva cu un algoritm suplimentar de numerotare.

Algoritmul de scheletizare multinivel (SMN) este generalizarea algoritmului de scheletizare aplicat imaginilor (datelor teserale), extrapolat la structura grilă a MDA combinată cu valorile de pe curbele de nivel. Prelucrarea începe de la cota de valoare maximă din domeniul de definiție. Există un număr de suprafețe de nivel, numărul acestora depinzând de rezoluția altimetrică a datelor MDA. Exploatarea se face nivel cu nivel, de la nivelul superior către nivelul inferior. Valoarea cotei nodului prelucrat sau procesat se înlocuiește cu valoarea variabilei **Fundal** (o valoare minimă, de exemplu zero pentru zone înalte sau o valoare negativă minimă, noi optând pentru zero). Ca un prim pas, toate valorile maxime locale sunt înlocuite cu valoarea **Fundal**, astfel că procesarea începe la limita de sub maximul local. Iterativ, pentru toate cotele, de la **Cota_Maxima** la **Cota_Minima**, algoritmul testează curbura de-a lungul curbei de nivel, folosind condiții simple de distribuție a nodurilor **Fundal**

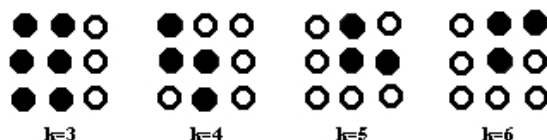


Fig. 5.26. Valori posibile pentru k_t

din vecinătatea 3X3 a fiecărui nod baleiat. Criteriul analizei curburii izohipsei se exprimă ca o condiție a existenței unui număr mai mare de noduri cu **Cota_Mai_Mare** în imediata vecinătate a nodului ce aparține izohipsei procesate. Valoarea de prag k_t poate fi între 3 și 6 (figura 5. 26). Rețelele de drenare cu detaliere diferită sunt extrase în funcție de acest parametru.

Domeniul este explorat izohipsă cu izohipsă, de sus în jos, din amonte spre

Alt tip de criteriu pentru decizia dacă un punct devine nod al traseului de curgere se referă la conectivitatea traseului de curgere. Prin condiția logică **OR** un nod poate fi pe traseul de curgere chiar dacă numărul vecinilor săi cu valoarea cotei egală cu **Fundal** este mai mic decât k_t . Prin condiția de conectivitate se verifică deci contorizând numărul de vecini cu cota **Fundal** dacă un punct este nod.

Fie o vecinătate de 3X3 noduri:

$$\begin{matrix} b_3 & b_2 & b_1 \\ b_4 & a & b_0 \\ b_5 & b_6 & b_7 \end{matrix} \quad (\text{setare } b_0 = b_8) \quad (5.5)$$

Se definește numărul de conectări la 4 vecini cu formula:

$$\phi_4 = \sum_k f_k \quad k=0,2,4,6 \quad (5.6)$$

$$\begin{aligned} &1, \text{ dacă } b_k \neq \text{Fundal} \\ f_k &= 0, \text{ dacă } b_k = \text{Fundal} \end{aligned}$$

Numărul de încrucișări într-o vecinătate octală este

$$v_8 = \sum_k h_k \quad k=0,2,4,6 \quad (5.7)$$

cu $h_k=1$, dacă $(b_k = \text{Fundal}) \wedge ((b_{k+1} \neq \text{Fundal}) \vee (b_{k+2} \neq \text{Fundal}))$

Și aici apare noțiunea de depresiune cu semnificația arătată. O depresiune poate conține noduri care aparțin câtorva planuri de nivel diferite.

5.2.2.4.2.1 Algoritmul de scheletizare multinivel cu 8 conexiuni

Pașii principali ai algoritmului sunt următorii (Nițu, C., Nițu, C.D., 1997a):

Initialize **HF(i,j)** and **HC(i,j)** cu valorile extrase din **MDA**
Forall **COTA** from **COTA_MAX** to **COTA_MIN** do
Set **COTA** mai mare decât **COTA_CURENTA** la valoarea **COTA_CURENTA**
Repeat
 ♦ Forall **COTA(i,j)** de **COTA_CURENTA** do
if **COTA(i,j)** este pe frontieră and
if **CONVEXITATE** este mai mare ca valoarea de prag **k_t** and
if **COTA(i,j)** nu este conectată la un traseu de talveg în **HF** and
if **COTA(i,j)** nu este conectată la un traseu de talveg în **HC**
then atașază **COTA(i,j)** la un traseu de talveg în **HC**
else **HC(i,j) ::= FUNDAL**

♦ Actualizează **HF** și **HC**
Until Nu mai există valori de înlocuit

Algoritmul de mai sus prelucrează valorile **HF** (harta finală) și **HC** (harta curentă). Algoritmul funcționează în două etape. Prima etapă constă în extragerea punctelor traseelor după o condiție de curbură maximă a curbei de nivel rezultată din intersecția MDA de tip grilă cu planul de nivel cu valoarea cotei **COTA_CURENTA**. Etapa a doua utilizează condiția suplimentară de conectivitate și leagă toate valorile la traseele cu valori deja determinate ale talvegurilor. Setarea valorilor din **HF** și **HC** la valoarea **COTA_CURENTA** în pasul 2(A) al algoritmului consideră eliminarea deja făcută (analizare). Etapa a doua poate fi descrisă cu algoritmul de mai jos, utilizând aceleași structuri de date, acționând tot “de sus în jos”, respectiv începând cu planul de nivel de cotă maximă. Toate punctele se supun uneia din cele două situații – fie valoarea cotei devine egală cu valoarea **FUNDAL**, fie aparțin traseelor de talveguri (devin noduri ale arborescenței talvegurilor). Din algoritm se va vedea necesitatea valorilor **HF** și **HC**.

Initialize **HF(i,j)** and **HC(i,j)** cu valorile extrase din **MDA**
Atribuie toate valorile traseelor din prima etapă variabilei **TRASEE**
 (3) Forall **COTA** from **COTA_MAX** to **COTA_MIN** do
Atribuie tuturor valorilor **COTA** mai mare decât **COTA_CURENTA** valoarea **COTA_CURENTA**
Repeat
 ♦ Forall **COTA(i,j)** de **COTA_CURENTA** do
if punctul curent este pe frontieră and
if punctul curent e conectat pe un traseu în **HF(i,j)** and
if punctul curent e conectat pe un traseu în **HC(i,j)** and
then lasă punctul curent intact în **HC**
else **HC(i,j) ::= FUNDAL**
 ♦ Actualizează **HF** și **HC**
Until Nu mai există valori de înlocuit

După aplicarea etapei a doua rezultă segmente de talveguri. La toți algoritmi prezentați aici nu este necesară explicarea detaliată a variabilelor utilizate, datorită faptului că denumirile sugerează semnificația variabilelor. Se observă ușor că în denumirile variabilelor nu sunt prezente literele specifice limbii române (ă, â, î, ș, ț), respectându-se notațiile folosite în codificarea programelor sursă.

5.2.2.4.2.2 Numerotarea punctelor traseelor

Segmentele traseelor de talveguri obținute mai sus prin algoritmul de scheletizare trebuie rearanjate într-o arborescență, printr-un algoritm adecvat. Traseele determinate pot conține bucle, ce trebuie eliminate. Scopul numerotării este și eliminarea buclilor. O astfel de buclă se observă în figura 5.27. Rețeaua se poate urmări pe toate ramurile în paralel, începând explorarea tot pe planuri de nivel, începând cu planul de cotă minimă. Numerotarea începe pentru fiecare traseu de la nodul de capăt din aval (punctul de confluență), celălalt capăt al talvegului fiind un alt punct de confluență și în final chiar frunza (în sensul teoriei grafurilor).

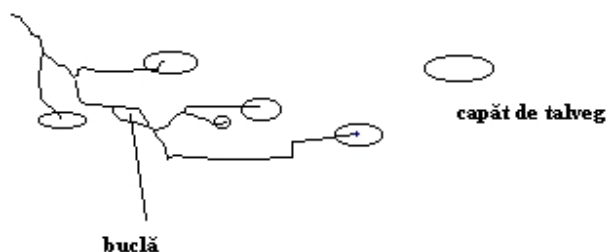


Fig. 5.27 Bucă și început de talveg

Situațiile posibile pentru punctele de capăt sunt diferite (figura 5.28). Într-un punct de cotă maximă locală se poate termina un singur talveg (a) sau se pot termina trei talveguri (b). Pentru cazul (c) apare o buclă în locul unui punct de confluență a două talveguri, pentru cazul (d) un talveg se poate termina cu mult sub maximul local al cotei.

Bucă principală a algoritmului analizează iterativ cotele, de la **COTA_MINIMA** la **COTA_MAXIMA**. Pentru fiecare talveg numerotarea se face din aval spre amonte. Algoritmul de numerotare poate avea pașii următori:

Setează **MARCA** cu valoarea 1 (**MARCA::=1**)

Alege valorile cotelor din trasee egale cu **COTA_MINIMA** ce satisfac una din condițiile:
punctul este pe frontiera zonei

punctul are 3 sau mai multe puncte vecine de aceeași cotă

și denumește-le **PUNCT_DE_CAPAT**

Atribue numărul 1 tuturor punctelor **PUNCT_DE_CAPAT**

Forall **COTA_CURENTA** **from** **COTA_MINIMA+1** **to** **COTA_MAXIMA** **do**

♦ **forall** puncte *nenumerate* de cotă **COTA_CURENTA** **do**

if punctul are un punct vecin numerotat cu **n** **and** **MARCA=n**

then numerotează-l cu **n+1** **and** **MARCA::=n+1**

else if punctul are un vecin cu cota **FUNDAL**

then numerotează acest punct cu valoarea **MARCA**

Until nu mai există puncte *nenumerate* de cotă **COTA_CURENTA**

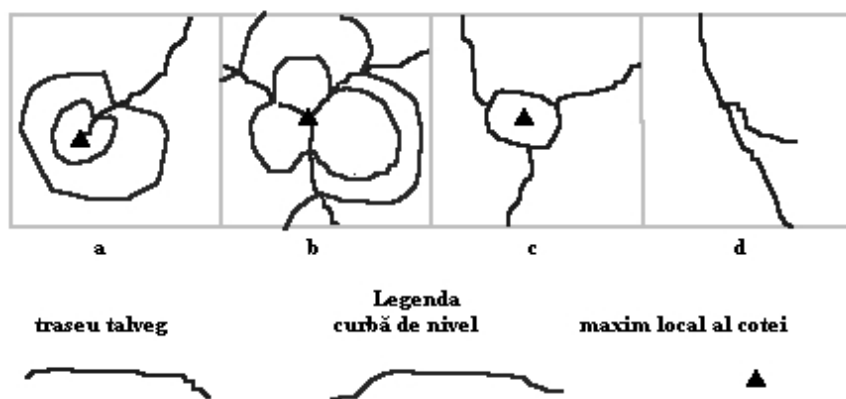


Fig. 5.28. Cazurile posibile ale primului nod al unui talveg

Procesul de numerotare a punctelor poate fi urmat și de alte procesări pentru rearanjarea structurii datelor, în funcție de scopurile urmărite.

5.2.2.4.2.3 Prelucrarea traseului cu puncte numerotate

Pentru eliminarea buclor și a altor inadvertențe se aplică o nouă prelucrare. Procedura folosește un șir simplu de așteptare care conține toate nodurile ce au fost extrase ca segmente de talveguri în prima etapă de aplicare a algoritmului SMN. Pentru eliminarea buclor se folosesc șirul și traseul cu puncte numerotate obținut ca mai sus. Eliminarea buclor se face neiterativ, respectiv printr-o singură trecere.

Pașii algoritmului sunt următorii:

Extrage **NOD_CURENT** din **ȘIR**

If **NOD_CURENT** nu este în **TRASEU_FINAL_TALVEG (TFT)** **then**

Insert **NOD_CURENT** în **TFT**

Insert în **TFT** toate nodurile numerotate din **NOD_CURENT**, în ordine descrescătoare

Rezultatul final este rețeaua de drenare fără bucle, așa cum se vede în figura 5.29. Rețeaua nu conține bucle.

5.2.2.5. Concluzii

Extragerea rețelei de drenare sau a rețelei de talveguri este o problemă importantă atât în etapa de culegere și validare a datelor, cât și în etapa de prezentare a unor produse finale ale SIG. Extragerea se bazează pe următoarele considerente hidrologice:

- traseele de scurgere încep lângă creste, trecând prin punctele de curbura mare a izohipselor;
- traseele coboară continuu până când este îndeplinită una din condițiile:

- ◆ traseul întâlnește un alt traseu;
- ◆ traseul ajunge la frontiera domeniului;
- ◆ traseul ajunge la un areal acvatic delimitat;
- ◆ traseul urmează direcția de pantă maximă în fiecare punct etc.

Metodele propuse și algoritmi bazați pe MDA cu structură Voronoi sau cu structură de tip grilă sunt folosite cu succes la extragerea automată a informației hidrologice în mediul bazat pe obiecte. Un obiect în cazul de față este un traseu particular de talveg situat între două puncte (noduri) succesive de confluență. Totalitatea obiectelor **TALVEG** dintr-o zonă dată

formează rețeaua de drenare sau rețeaua de talveguri (prin luarea în considerație a relațiilor topologice dintre obiecte) Aceasta poate fi apoi ușor folosită pentru extragerea informației referitoare la talveguri și la liniile de creastă, respectiv la delimitarea bazinelor și subbazinelor.

O folosire interesantă a procedurilor este la corelarea reliefului cu rețeaua hidrografică la racordarea, concatenarea etc. a obiectelor aparținând straturilor de obiecte topografice și tematice diferite, cu aplicabilitate mare și în cartografia asistată de calculator.

Utilizarea metodei bazate pe structura Voronoi înlătură problemele cauzate în cazul folosirii grafului dual al structurii TIN pentru a rezolva aceeași problemă, utilizată uneori în analiza terenului. Metoda de calcul este eficientă, deoarece se bazează pe date vectoriale (coordonate ale punctelor) și pe relațiile spațiale ale acestora

Totuși metoda bazată pe structura Voronoi are și unele neajunsuri. Metoda necesită o densitate mare a punctelor, coordonatele și cotele fiind determinate de exemplu prin exploatare fotogrammetrică a stereogramelor digitale. O orientare absolută de mare precizie asigură extragerea corectă a traseelor talvegurilor și ale liniilor de creastă și prin folosirea

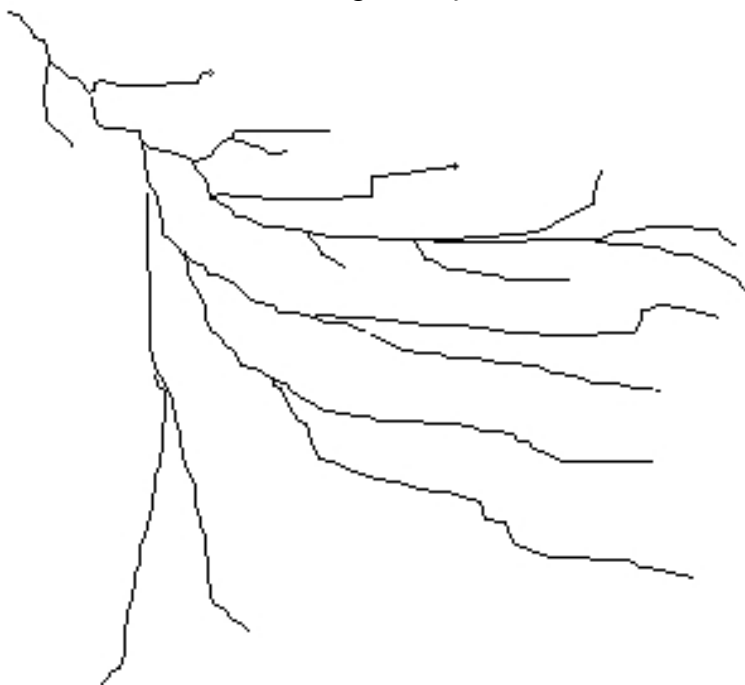


Fig. 5.29 Rețeaua de drenare rezultată după metoda SMN

structurii TIN a MDA. Pentru scări mai mici, ambele metode prezentate se folosesc în egală măsură, ducând la rezultate similare. Pare că este mai ușor de folosit metoda bazată pe structuri de tip grilă, deoarece toate pachetele de programe SIG se bazează în special pe aceste structuri. Nu toate pachetele de programe SIG dispun de procedurile de determinare și gestionare a structurilor bazate pe graful dual al structurii de tip TIN, ceea ce crează probleme la utilizarea primei metode prezentate, cu toate că e recomandabilă pentru scări foarte mari, mai ales pentru reprezentarea microreliefului. Această metodă poate avea succes foarte mare în proiectarea amenajării mediului, în special la lucrările de desecare, înlăturare a bălților etc. Cercetările noastre ulterioare vor defini definitiv problemele de selecție a uneia din structuri în funcție de finalitatea acțiunii utilizatorului.

5.2.3 Reprezentarea plană a variabilelor prin umbre

Variabilele de orice tip $z=f(x,y)$ se pot reprezenta în plan prin izolinii. Uneori este necesară și reprezentarea prin umbre, nu numai pentru cazul reprezentării reliefului. Reprezentarea prin umbre poate fi făcută plecând de la una din structurile de reprezentare a variabilei z – rețea neregulată sau regulată de puncte sau izolinii.

5.2.3.1 Soluții de vizualizare

Metodele de reprezentare și vizualizare a variabilelor z se bazează pe simularea luminii și umbrelor. Un rol deosebit îl au aici direcția de iluminare cu o sursă artificială, panta variabilei z pe direcția de iluminare, unghiul de incidență al razei cu elementul iluminat etc. În funcție de cele de mai sus, i se atribuie elementului iluminat o valoare de gri la reprezentarea în plan. Modelul de simulare se bazează pe o singură sursă aflată la o distanță foarte mare (teoretic la infinit) și pe faptul că suprafața iluminată nu reflectă energia luminoasă.

5.2.3.2 Dezvoltarea modelului de profile

Metoda se bazează pe calcularea profilelor pe o direcție dată (intersecția fasciculelor de planuri verticale paralele cu planul ce trece prin sursă cu planul orizontal al reprezentării), așa cum se arată în figura 5.30a. Pentru o reconstrucție optimă a imaginii, distanța dintre profile trebuie să fie cât mai mică. Profilele rezultă deci printr-o baleiere sau scanare, rezultând segmente cărora li se atribuie anumite valori de gri dacă reprezentarea se face pe ecran sau la un fotoploter sau o anumită grosime când reprezentarea se face la plotele vectoriale sau chiar la fotoplote sau pe ecrane.

Orientarea profilelor și distanța dintre profile oferă avantajul discretizării traseului prin segmente ale căror proiecții pe planul reprezentării se reduc la o variabilă simplă, cu o

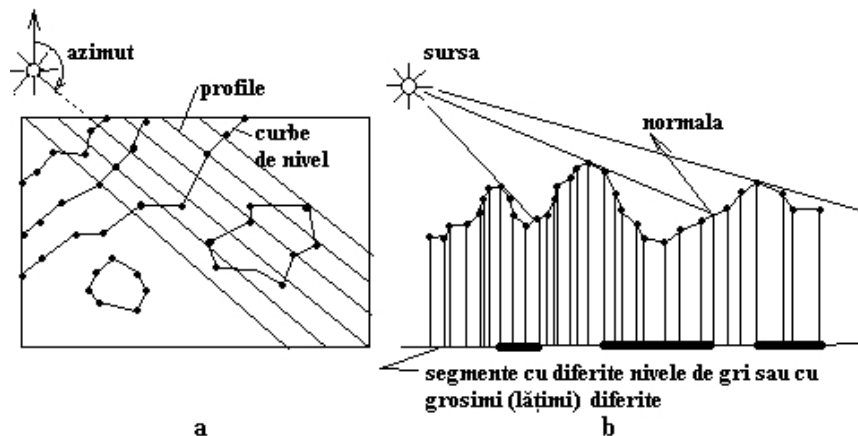


Fig. 5.30. Principiul reprezentării prin hașurare

anumită lungime, o lățime egală, de regulă, cu distanța dintre profile și cu o anumită densitate optică (valoare de gri). Reducerea la această variabilă simplă reduce timpul de calcul și mărește viteza de reprezentare. Valoarea de gri depinde de lumina difuzată de elementul de suprafață redus la un segment (figura 5.31). Pentru o suprafață lambertiană (perfect difuză), conform figurii 5.31 rezultă radianța:

$$R=I \sin \alpha \quad (5.8)$$

unde I este intensitatea luminoasă a razei, iar α este unghiul de incidență.

Dacă suprafața este lucioasă (nu absoarbe complet lumina), ar trebui inclusă o componentă de reflexie. Empiric se poate stabili un coeficient n de reflexie, care ar varia de la 1 (pentru suprafețe perfect absorbante), până la 100 (pentru suprafețe complet reflectante –

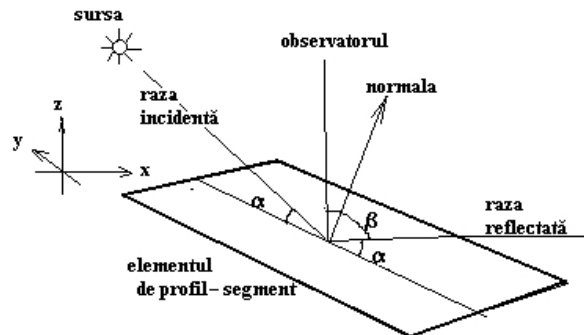


Fig. 5.31. Iluminarea unui segment de profil

oglindea). Dacă o suprafață elementară are un coeficient de refracție k_d și un coeficient de reflexie k_s , atunci radianța R este

$$R = I(k_d \sin \alpha + k_s \cos^n \alpha) \quad (5.9)$$

Soluția de mai sus, cu folosirea izoliniilor, are avantajul că lungimea unui segment este egală cu distanța în plan dintre două izolinii vecine, pe de o parte, dar și reducerea datelor prelucrate, pe de altă parte. O singură inadvertență are soluția adoptată, respectiv considerația că normalele la toate elementele unui profil sunt în același plan, ceea ce nu este adevărat, dar se pot interpola și direcțiile normalelor între două profile vecine. (În acest caz algoritmul se complică puțin). O soluție a găsirii gradientilor Q pe două axe de coordonate simplifică mult problema determinării direcției reale a normalei la un element de suprafață.

5.2.3.3 Umbrirea compus – color

Din experimentarea cu poziții diferite ale sursei de lumină s-a născut ideea utilizării unui algoritm pentru reprezentarea umbrelor cu nuanțe de culori. Rezultatele sunt neașteptate

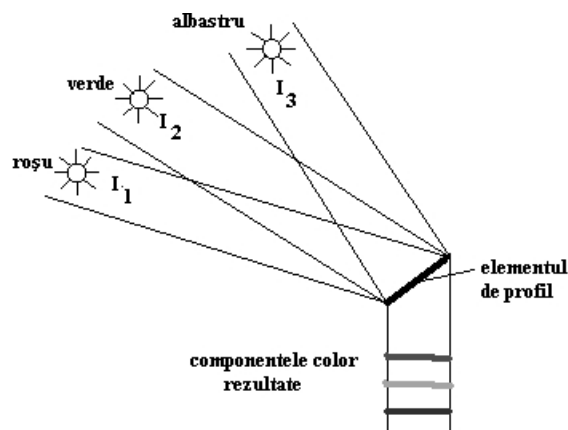


Fig. 5.32 Principiul generării celor trei culori

chiar pentru umbrele cu nuanțe de gri și cu diferite combinații ale poziției sursei și a azimutului profilului. Simularea combinării surselor de lumină în poziții diferite pare să fie o soluție pentru îmbunătățirea modelării.

Pentru generarea umbrelor color se aleg poziții diferite pentru trei surse ce imită culorile de bază roșu, verde și albastru (RGB), pentru R folosindu-se relațiile:

$$R=R_1+R_2+R_3$$

$$R=I_1\sin\alpha_1+ I_2\sin\alpha_2+ I_3\sin\alpha_3 \quad (5.10)$$

unde indicele corespunde celor trei surse de culori diferite (figura 5.32). Se pot alege pozițiile surselor în același cadran, dar, de regulă, nu pe direcțiile axelor de coordonate sau pe direcțiile laturilor hărții. Este bine ca sursa caldă (roșu) să fie mai către vest, iar cea rece (albastru) mai către nord. În acest mod se vor scoate în evidență suprafețele mai înclinate și se va descrie mai bine întreaga structură (micro)topografică. Atunci când valorile celor trei culori sunt egale pentru un pixel, va rezulta un ton de gri, care de fapt va fi culoarea predominantă pentru imagine. Când cele trei valori diferă semnificativ ies în evidență variațiile locale ale pantei.

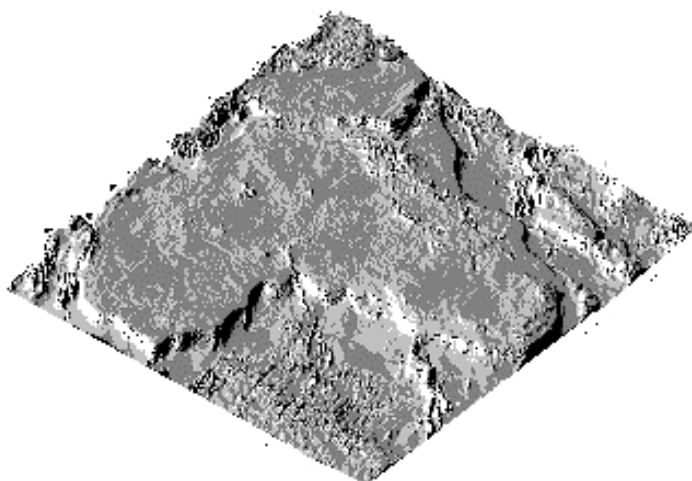


Fig. 3.33 Imaginea umbrelor suprapusă peste imaginea 3D în plan

În figura 5.33 este dată reprezentarea prin umbre a reliefului unei zone, suprapusă peste imaginea 3D a suprafeței.

În figura 3.34 este dată fereastra programului de generare a imaginii umbrelor.

În casetele ferestrei pot fi introduși parametrii de umbrire, de exemplu denumirea fișierului de tip grilă, azimutul și unghiul vertical al sursei de iluminare (inclusiv reprezentată grafic), metoda de umbrire etc.

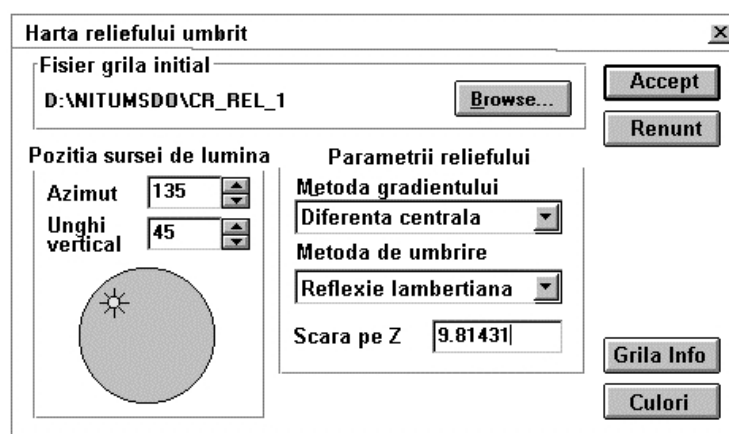


Fig. 5.34 Fereastra programului de generare a imaginii umbrelor

5.2.3.4 Concluzii

Metoda descrisă este utilă în etapa de analiză a datelor SIG. Metoda poate fi folosită pentru vizualizarea oricărei variabile $z=f(x,y)$ și presupune memorarea punctelor izoliniilor, dar trecerea de la orice altă structură la structura utilizată este oricând posibilă. Considerarea faptului că elementul de suprafață (segment) de pe profil este caracterizat și de refracție și de reflexie poate duce la combinații interesante pentru reprezentare, în cazul în care se ține seama și de caracteristicile obiectelor de suprafață care aparțin unui domeniu areal (ape, soluri de diferite tipuri, păduri, alte tipuri de vegetație etc.). La izolinii pot fi adăugate și alte obiecte liniare ale zonei geografice. Asupra izoliniilor pot fi făcute unele modelări, ca de exemplu generalizarea traseului, anterior aplicării unor algoritmi de generare a umbrelor, în vederea scoaterii în evidență a diferitelor caracteristici ale variabilei z . În anexe este arătată și reprezentarea grafică a hărții în relief a țării noastre, folosind ca date inițiale datele de tip grilă (DTED), preluate prin rețeaua Internet, puse la dispoziție de Agenția Națională de Cartografie și Imagistică a S.U.A. (NIMA) cu algoritmul propus de autor.

5.3 Sistemele informaționale geografice în cadastru

Datele și documentele cadastrale definesc poziția, extinderea geografică și caracteristicile parcelelor, drepturile de proprietate, folosința terenului etc. De o importanță deosebită sunt datele spațiale ce definesc fiecare proprietate. Dreptul de proprietate este înscris în cartea funciară și în alte documente. Pentru o zonă administrativă definită, de exemplu un sector, o localitate, un județ etc., datele cadastrale pot fi folosite la stabilirea impozitelor și taxelor, la girarea pentru acordarea de credite de către bănci. Se știe că impozitele și taxele trebuie calculate echitabil, iar înștiințarea proprietarilor asupra sumelor datorate și asupra termenelor de plată trebuie făcută în timp scurt și cu documente imprimate automat. Impozitele și taxele sunt strict necesare pentru asigurarea fondurilor necesare altor servicii gestionate de administrațiile locale. Hărțile cadastrale și planurile parcelelor s-au întocmit prin metode clasice. Existența unui sistem informațional geografic (SIG) permite realizarea automată a hărților și planurilor cadastrale și a altor documente cadastrale.

Folosind SIG, pot fi identificate toate parcelele cu aceleași coduri de folosință, cu arii cuprinse între anumite intervale specificate, dispuse pe terenuri de valori date ale pantei și altitudinii etc. La proiectarea unei anumite facilități (clădire cu o destinație aleasă sau un element al infrastructurii) pot fi analizate ușor influențele parcelelor vecine asupra amplasării acelei facilități. Pot fi identificate ușor parcelele omogene dintr-un anumit punct de vedere. Sunt ușurate totodată și activitățile de management, folosind atât programe specifice acestei activități, cât și programe specifice sistemelor informaționale geografice. În funcție de mărimea arealului geografic pentru care sunt definite și stocate datele, pot fi utilizate rețele locale de calculatoare (LAN), rețele extinse (WAN) sau chiar rețeaua Internet. În figura 5.35 poate fi remarcată folosirea rețelei Internet.

În figură, denumirea Internet poate fi înlocuită cu un alt tip de rețea, iar denumirea ONCGC (Oficiul Național de Cadastru, Geodezie și Cartografie) cu cea a instituției care gestionează baza de date.

Tehnologia Internet Map Server, cu toate că este consumatoare de resurse materiale și financiare, permite atât o actualizare continuă a informațiilor referitoare la parcele, cât și extinderea domeniilor de aplicații ale SIG, în sectorul public și în cel particular sau de grup. Pot fi create și gestionate o bază de date a parcelelor, un sistem de interogare extinsă sau restrânsă a bazei de date, o linie tehnologică de realizare a hărților și planurilor cadastrale, a

fișelor cadastrale etc. Baza de date cadastrală poate fi relaționată cu bazele de date cadastrale ale zonelor vecine și cu bazele de date create în cadrul aceleiași instituții (de exemplu baza de date a populației aceluiași areal geografic). Organizarea pe obiecte a bazei de date cadastrale constituie un avantaj.

Culegerea datelor cadastrale se face prin toate metodele cunoscute. Introducerea cărții funciare în toate zonele țării permite ca o dată cu înscrierea proprietăților în cartea funciară să se prevadă și obligativitatea predării de către experții autorizați a fișierelor cu datele ce definesc poziția spațială a parcelelor (obiectelor) cadastrale. Obiectele cadastrale pot fi structurate pe straturi. Componenta temporală trebuie avută de asemenea în vedere, fiind

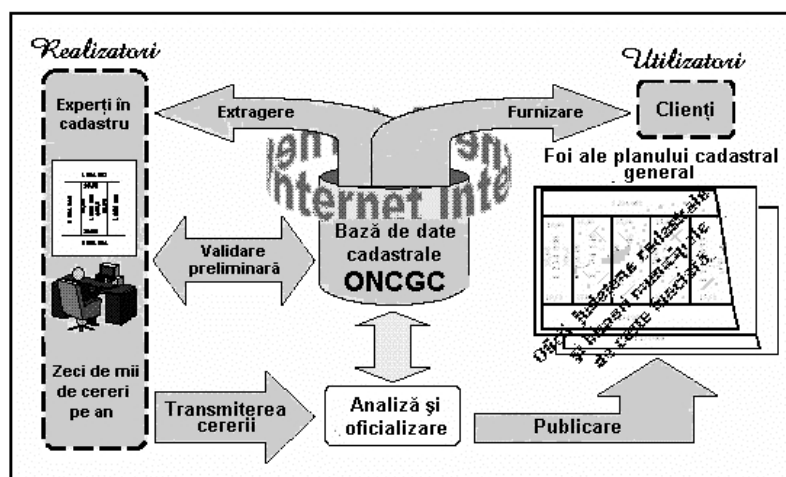


Fig. 5.35 Schema de principiu a realizării și utilizării bazei de date cadastrale

păstrate toate datele ce sunt modificate la diferite momente de timp. Anumite date sintetice pot fi transferate altor baze de date spațiale. Când arealul geografic are o întindere mai mare, datele bazei pot fi împărțite în fișiere care să fie gestionate cu un program bibliotecar (Librarian). Deoarece multe reprezentări grafice au fost realizate cu programe de tip CAD, programele care asigură SIG au prevăzută opțiunea de import al datelor în formatele specifice CAD (de exemplu formatul DXF).

5.3.1 Succesiunea realizării sistemului

Un SIG cadastral este realizat în mai multe etape. Prima dintre acestea este stabilirea denumirii sistemului, a funcțiilor și a cerințelor acestuia. Este de remarcat faptul că încă de la început trebuie să se definească precis limita domeniului geografic pentru care se culeg datele, să se inventarieze beneficiarii siguri și posibili, să se solicite cerințele acestora privind tipurile de date și informații, precizia acestor date și forma produselor care să conțină aceste date, rezoluția și precizia documentelor. De o importanță mare este stabilirea sistemelor de referință pentru coordonatele de poziție și cote, precum și unitățile de măsură pentru toate tipurile de date.

Pe baza cerințelor de mai sus se estimează volumul total de date și informații ale sistemului, numărul de servere de date și locurile de amplasare, se aleg pachetele software optime care să se utilizeze la servere și se stabilesc recomandările privind pachetele software care să se instaleze la utilizatori. Relația rezoluție - precizie - volum de date este foarte complexă. De exemplu, pentru o foaie de hartă digitală corespunzătoare foi la scala 1:25.000, dacă rezoluția datelor este de un metru, datele necomprimate ar ocupa 150 MB pe discul fix, rezultând că un CD-ROM poate conține datele corespunzătoare de pe circa patru foi de hartă. Cu aceleași considerente, pentru o rezoluție de 2,5 m, dar pentru date comprimate, sunt

necesari doar 8 MB pe discul fix, un CD-ROM putând conține informațiile a 64 de foi de hartă. Comprimarea datelor trebuie avută în vedere oricând este posibil.

Trebuie să se țină seama de toate tipurile și purtătorii de date privind ridicările geodezice, topografice și cadastrale și precizia acestora, de documentele cartografice cadastrale care trebuie utilizate pentru culegerea datelor. Dacă există deja unele baze de date, se stabilește fie posibilitatea consultării acestora, fie importul datelor din aceste baze. Trebuie avut mereu în atenție factorul cost și în special relațiile grad de detaliere a datelor - precizie - cost.

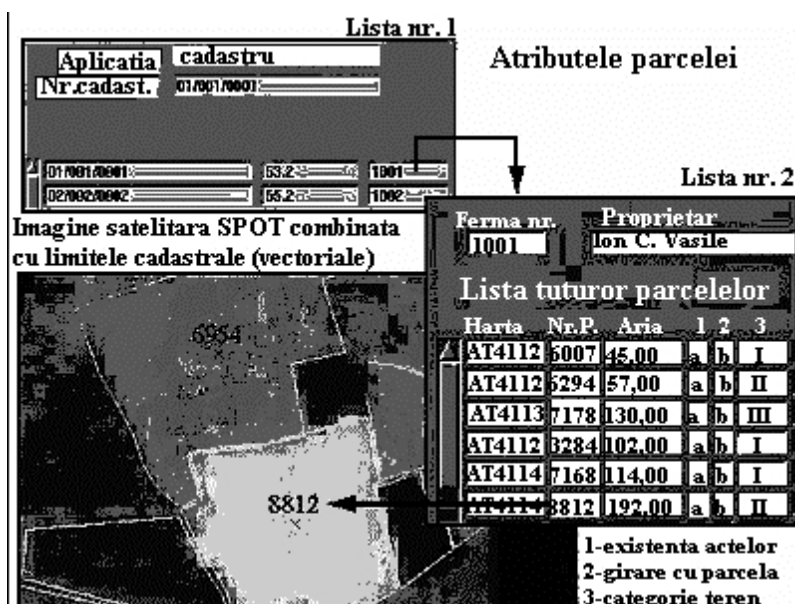


Fig. 5.36 Noi liste posibile în baza de date cadastrale

Dintre toate documentele cadastrale trebuie stabilit documentul de bază și documentele auxiliare. Harta cadastrală de bază este aleasă în funcție de gradul de detaliere a datelor cadastrale și de tipul zonei (municipală, rurală, în intravilan, în extravilan etc.). Pentru actualizarea permanentă a datelor, ca sursă de bază trebuie prevăzută și ortofotograma. La stabilirea documentului de bază este obligatoriu să se țină seama de anul realizării acestuia, respectiv de gradul său de actualitate.

Unele date pot fi culese de pe documentele cadastrale, cea mai utilizată fiind fișa cadastrală. Alte date, dacă există, pot fi încărcate de pe site-uri autorizate la care există acces, potrivit contractelor stabilite (de exemplu datele referitoare la căile de comunicație).

Cu toate tipurile de date culese se trece la editarea parcelelor și la încărcarea bazei de date. Metodele de culegere a datelor sunt ridicările topografice în scopuri cadastrale, mai ales în zonele unde abia recent au fost introduse cărțile funciare, digitizarea hărții cadastrale sau a ortofotogramei, ridicările fotogrammetrice, în special pentru zonele cu teren frământat etc. De mare importanță este georeferențierea tuturor datelor de poziție culese, respectiv aducerea lor în sistemul de coordonate al proiecției cartografice alese și în sistemul geodezic de referință (datum-ul geodezic). Mulți optează pentru introducerea sistemului WGS 84, dar nu se cunosc țări care au adoptat acest sistem de referință pentru datele geodezice și cartografice folosite în cadastru.

Vor exista unele probleme deosebite în țara noastră, mai ales din cauza restabilirii drepturilor de proprietate. Numărul parcelelor a variat mult în ultimii ani și se așteaptă o continuă modificare a acestuia.

5.3.2 Alte utilizări ale unui SIG cadastral

Un SIG cadastral nu este folosit doar ca o hartă electronică a parcelelor. Pot fi create rapid și selectiv noi hărți sau alte documente cadastrale, documente statistice etc. Unele date centralizatoare pot fi de mare ajutor în luarea deciziilor privind utilizarea optimă a parcelelor, impozitarea proprietarilor sau deținătorilor sau amenajarea teritoriului. Variația geomorfologică generată de unele fenomene prevăzute sau neprevăzute impune măsurarea și reprezentarea continuă a modificărilor.

5.4 Sistemele informaționale geografice și hărțile digitale în navigație

5.4.1 Noul suport al hărții - ecranul sau hârtia?

Hărțile sunt realizate în prezent cu calculatorul, ba mai mult, sunt și utilizate sau analizate cu ajutorul unei game largi de calculatoare. Este clar că producerea unei hărți cu ajutorul calculatorului nu este așa de simplă ca vizualizarea obișnuită a unei imagini, ci pune probleme de complexitate deosebită. Acest fapt nu a fost înțeles de mulți specialiști ai altor domenii, care chiar cred că nu mai este necesar cartograful. Realizarea unei hărți pentru a fi folosită cu calculatorul, chiar în final doar pentru vizualizare pe ecran, a dus la schimbări privind rezoluția și modul de reprezentare cartografică. De aici decurg și noi utilizări ale hărții, de exemplu de către mijloacele de navigație electronică. Ca exemplu, în figura 5.37 sunt arătate mijloacele de conducere a navigației unei nave.

Printre mijloacele de navigație este și harta electronică de navigație (HEN, ENC în limba engleză). Totuși scopul final al cartografiei nu se schimbă, ci doar se adaptează. Scopul principal este de a comunica un tip aparte de informație, informația cartografică digitală..

Hărțile afișate pe ecranul grafic diferă de cele tipărite pe hârtie, diferențele fiind date de modurile de utilizare, de proprietățile fiecărui suport sau purtător și de metodele de realizare. Harta afișată pe ecran nu mai are rezoluția relativ mare a hârtiei, dar câștigă prin interactivitate. Ecranele nu permit o detaliere a semnelor convenționale și inscripțiilor ca în cazul hârtiei. Ecranele grafice au diagonala între 15" și 21", pe când hârtia poate avea un format mai mare.

Calculatorul permite mărirea scării și modificarea gradului de detaliere a obiectelor. Obiectele aparțin straturilor și claselor și afișarea se poate face selectiv. Capabilitățile de mărire - micșorare și de interogare a bazei de date schimbă întregul proces de cartografiere. Scara, o caracteristică fundamentală a hărții tipărite, devine acum arbitrară și o cantitate mare de informație ce era acoperită de scară (de exemplu precizia) devine explicită.

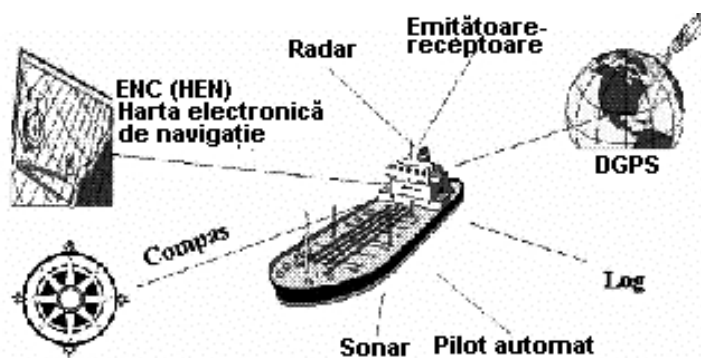


Fig. 5.37 Mijloace de navigație în marină

Generalizarea hărții tipărite este subordonată cerințelor de lizibilitate, tipărire etc. Generalizarea hărții pe ecran are ca cerință tot lizibilitatea, dar într-un mod diferit. Criteriul de tipărire a fost înlocuit de necesitatea de conservare a lărgimii de bandă, nuanțelor de culori etc. Se obișnuiește în prezent ca o hartă să fie realizată în ambele versiuni. Cu toate că produsele finale sunt diferite, este necesar ca procesul tehnologic să fie același.

5.4.2 Cerințe pentru hărțile de navigație

Multe din hărțile de navigație sunt distribuite pe CD sau prin intermediul rețelei (intranet sau Internet), cu respectarea cerințelor de confidențialitate și cost. Publicarea hărților pe mediul electronic pare a fi limitată. Există probleme practice care trebuie să determine procesul de proiectare, realizare și distribuire a hărților electronice. O problemă importantă este cea a echipamentelor și programelor folosite de utilizator. Platformele sunt diverse, de la stații grafice puternice bazate pe sistemul de operare UNIX, izolate de rețelele externe, până la platforme bazate pe PC, conectate în aceste rețele.

Cu toate că nu fac parte din proiectul de realizare a hărții, au importanță atât afișările din dispecerate, cât și afișările la bordul avioanelor, vapoarelor, automobilelor etc. De exemplu, pentru aviație sunt realizate harta de drum, harta de apropiere aeroportuară, planul aeroportului, harta pentru controlul traficului aerian etc., cu perioade de actualizare de zeci de zile, conform indicațiilor ICAO (Organizației internaționale a aviației civile). Datele sunt apoi extrase din bază și li se asociază simboluri, rezultând fișiere cu date vectoriale, folosind software specializat pe cartografierea în scopuri de navigație. Pentru fiecare fișier cu date vectoriale se face și o editare interactivă. Doar modificările de la un ciclu la altul sunt extrase din baza de date. Programe speciale combină fișierele cu date vectoriale, le transformă în fișiere cu date raster pentru a realiza negativele originalelor de editare. Cerințele privind costul nu se analizează aici.

5.4.3 Tehnologia actuală de transmitere a hărților

Rețeaua WWW a demonstrat un succes deosebit în distribuția electronică a informației. Autoritățile naționale de asigurare a navigației cercetează tehnologiile web pentru publicarea documentelor electronice de navigație. Tehnologiile se referă la protocoale, limbaje, formate ale datelor, software etc. Există două aspecte importante și independente ale tehnologiilor pentru realizarea documentelor electronice - al folosirii formatelor uzuale de date și cel al soluției client-server.

5.4.3.1 Formate comune de date

Dintre formatele asociate utilizării rețelei WWW se amintesc HTML, JPEG și ECMAScript (cunoscut ca JavaScript sau Jscript). Aceste formate au unele atribute comune.

Independența platformei utilizatorului. Există multe sisteme hardware, sisteme de operare și software de vizualizare ce folosesc formate și limbaje standardizate. Platformele utilizatorilor potențiali de hărți sunt diverse. Programele se caracterizează prin realizarea mașinii virtuale abstracte, popularitatea formatelor fiind atribuită portabilității programelor ce le folosesc.

Standarde deschise. Standardele pentru formatele de mai sus sunt accesibile și pot fi folosite liber. În parte, este permisă independența față de utilizator. Deschiderea acestor standarde de formate permite experților să evalueze și să aprecieze detaliile tehnice ale proiectelor, fiind încurajată scrierea și proliferarea de programe.

Folosirea extinsă. Independența platformei utilizatorului și disponibilitatea programelor ieftine fac ca formatele să fie mult folosite. Pentru baza de date cartografice sunt indicate datele vectoriale. Formatele web nu cuprind și aceste formate. Se realizează programe speciale pentru transferul datelor prin rețeaua WWW (de exemplu ArcExplorer), dar numai pentru folosirea formatelor specifice programelor companiei realizatoare (ESRI). Pot fi alese și alte soluții pentru transferul datelor. Au fost utilizate unele formate vectoriale ce respectă criteriile menționate mai jos, care au toate avantajele calculelor client-server implicate în rețeaua WWW, dar și avantajele proprii fiecărui format. Pot fi folosite componentele "plugin", fișe configurabile cu circuite imprimate, ce înțeleg datele tip ale unui SIG, pentru a vizualiza seturile de date printr-un browser specific rețelei WWW. În unele proiecte a fost folosit programul GeoMedia Web Map (Intergraph). Până în anul 1999, programele de acest tip aveau unele limitări privind flexibilitatea grafică. Dintre programele performante, ale căror versiuni au fost finalizate și furnizate în anul 2000, pot fi amintite aici AltaMap Server v2.1 și HTML ImageMapper 2.1 (alta4), Web GIS Spatial Fusion 1.1 (CARIS-Universal Systems Ltd.), CanMap® RouteLogistics și CanMap(R) Streetfiles Version 3.0 (DMTI Spatial™), Image Web Server (Earth Resource Mapping), ARC IMS 3.0 (ESRI), Routing J Server, MapXtreme Java 3.0, versiunea Coverage Locator bazată pe Java, Internet Application Server 8I pentru SGBD Oracle®, miSites și miDirections (MapInfo), .geo (citit "dot-gee-oh", SRI International) etc.

De notat că Autodesk a adăugat compatibilitatea sistemului său AutoCAD 2000i cu o platformă bazată pe Java, realizând soluții optime integrate pentru comunicații, gestiunea utilităților, dezvoltarea amenajării teritoriului etc. Proiectarea prin folosirea rețelei Internet se face în trei moduri - transmiterea prin Web a produselor obținute, dezvoltarea de aplicații bazate pe browser și crearea de motoare de căutare.

Diversitatea echipamentelor și sistemelor de operare ale platformelor utilizatorilor crează probleme la transferul datelor SIG. Există și varianta XML, foarte promițătoare pentru grafice bazate pe date vectoriale.

Formatul PDF (Portable Document Format) a fost dezvoltat de către Adobe Systems Inc. ca un mijloc de afișare grafică a informației constituite pe pagini. Calitatea formatului îl face util pentru documentele cartografice. PDF folosește o submulțime a instrucțiunilor limbajului Postscript.

Este un format hibrid raster - vector și faptul că acceptă date vectoriale îl face foarte util pentru transmiterea unor fișiere de volum mic. Formatul permite descrierea hiperlegăturilor bazate pe protocolul HTTP, iar folosirea formatului ECMAScript îi asigură o mare interactivitate.

5.4.3.2 Prelucrarea client-server

Modelul presupune împărțirea etapelor de prelucrare - realizate de către utilizator și realizate de către server. Prelucrările serverului și ale utilizatorului pot fi realizate pe aceeași platformă sau pe platforme diferite, interconectate printr-o rețea. Folosirea acestei prelucrări în rețeaua WWW implică folosirea protocolului HTTP pentru a solicita serviciul serverelor care sunt complet separate de prelucrările specifice utilizatorului, complet independente de folosirea formatelor descrise.

Primul avantaj este că permite unui autor să creeze o divizare a operațiunilor de prelucrare între platformele utilizatorilor (de foarte mare diversitate) și platformele serverelor, pe care autorul le poate "controla". Cu tot software-ul pe aceeași platformă, avantajul constă în faptul că produsul final este autonom și independent de orice conectare la rețea. Produsul

trebuie scris pe un suport (CD) și apoi distribuit utilizatorilor. Efortul realizatorului se termină aici, urmând ca periodic să se facă actualizările corespunzătoare (Nițu, C. 2001).

Dezavantajul metodei poate consta în aceea că platformele utilizatorilor sunt foarte diverse și dezvoltarea de software pentru toate platformele devine o operațiune scumpă. Pentru o bună utilizare a metodei trebuie să se folosească doar software mai ieftin, existent în comerț.

Folosirea prelucrării client-server are avantajul că cele mai multe operațiuni de prelucrare se realizează la server, nefiind necesar software specializat la platforma utilizatorului, ceea ce înseamnă că programele pot fi scrise pe o mașină specifică sau pe o mulțime de mașini pe care dezvoltatorul le poate controla. Serverul are un cost ridicat și pot fi impuse restricții de acces. Dar imaginile transmise nu pot, de exemplu, să fie mărite cu programele de vizualizare existente în rețeaua WWW. Un anumit tip de interactivitate necesită software specializat și ridică prețul proiectului. La planificarea unei anumite interactivități în cadrul unui proiect de publicare digitală trebuie să se facă diferențierea între interactivitatea implicată de suport și interactivitatea ce trebuie programată de către autor. Cu cele mai multe din formatele considerate sunt posibile procedurile software de vizualizare, mărire sau micșorare, deplasare a ferestrei în planul imaginii etc. Problema interogării se complică, existând două abordări pentru căutare. În prima metodă rezultatele interogării sunt calculate în prealabil și tratate ca legături, prin pointeri, tip simplu de implementat. Este necesar totuși ca autorul să prevadă toate cererile posibile ale utilizatorilor. Când numărul cererilor este foarte mare implementarea este dificilă.

A doua abordare este posibilitatea specificării unei cereri, fie de natură spațială, fie de natură atributivă, chiar pe timpul rulării. Pentru acest gen de interogare trebuie realizate unele programe. Procesarea poate fi făcută fie la utilizatorul final, fie la server, fie combinat la cele două noduri.

Alegerea folosirii prelucrării client-server depinde de ce tipuri de interogări pot fi asigurate și ce tipuri de răspunsuri pot fi calculate dinainte.

5.4.4 Experiențe, dezvoltare și implementare în navigația rutieră

Folosirea hărților digitale în navigația rutieră a început de peste 15 ani. Astăzi sistemele de navigație au devenit o realitate în multe țări. Sistemul de navigație permite planificarea dinamică a itinerariului, scurtarea timpului de deplasare, economisirea combustibilului și ghidarea în spațiul geografic.

5.4.4.1 Sistemele de navigație rutieră

Prima soluție consideră sistemul ca autonom, cu toate componentele necesare pentru rezolvarea independentă a tuturor problemelor de navigație. Asemenea sisteme au apărut deja de mai mulți ani pe piață, de exemplu sistemele Carin (dezvoltat de Philips) și PathMaster (Rockwell). *A doua soluție* consideră ca toate vehiculele unei organizații să fie interconectate într-un sistem de navigație, urmărindu-se optimizarea deplasării tuturor vehiculelor într-o zonă geografică stabilită. De la un dispecerat poate fi urmărit permanent gradul de ocupare a vehiculelor, traseele de deplasare, eventualele deficiențe etc. *A treia soluție* consideră o zonă geografică fixă, riguros delimitată și presupune montarea sistemelor de navigație pe toate vehiculele de un anumit tip, funcțiile sistemului fiind mai ales problemele de trafic. Ultimele două soluții au un mare potențial de utilizare. În aceste două cazuri trebuie să existe unul sau mai multe centre de operare, o rețea de comunicație și unitățile amplasate pe vehicule. În

ultimul caz, în sistemul de navigație intră și unități de măsurare a traficului în unele puncte dinainte stabilite sau din puncte mobile.

Pentru unitatea montată pe vehicul, importantă este funcția de determinare a poziției geografice a vehiculului la un moment dat, soluția modernă și eficientă fiind folosirea GPS. La 2 mai 2000, orele 4.00 GMT, guvernul SUA a luat o decizie epocală privind înlăturarea disponibilității selective asupra sateliților sistemului Navstar de poziționare globală. A fost oprită modificarea controlată a semnalelor GPS pentru comunitatea civilă. Această creștere a preciziei permite creșterea numărului de aplicații inclusiv în scopuri de navigație.

O interfață cu utilizatorul acceptă cereri ale conductorului și furnizează informații de navigație. Interfața trebuie să fie eficientă, să nu aibă potențial de risc prin distragerea atenției, să fie simplă și ușor de înțeles. Pentru respectarea acestor condiții trebuie să existe răspunsuri vocale sintetizate, ecran grafic pe care să se afișeze harta și valorile unor variabile.

Cele mai indicate hărți pentru folosirea în sistemele de navigație rutieră sunt hărțile topografice și planurile de localități, obținute ca ieșiri ale sistemelor informaționale geografice. Datele rețelei de drumuri trebuie să fie date vectoriale, structurate topologic. Stratul raster este și el necesar.

5.4.4.2 Programe necesare sistemelor de navigație rutieră

Un pachet de programe trebuie să aibă cel puțin trei module. S-a ales descrierea programelor pentru gestionarea vehiculelor unei organizații pentru o zonă delimitată geografic.

Primul modul trebuie să monitorizeze toate vehiculele organizației. Sunt gestionate coordonatele punctelor traseelor vehiculelor, codurile vehiculelor, gradul lor de încărcare, caracteristicile încărcăturii etc. Același modul gestionează hărțile digitale de diferite scări și cu grade diferite de complexitate, cu straturi de date raster, vectoriale sau cu ambele tipuri de date.

Al doilea modul (auxiliar) trebuie să funcționeze pentru rezolvarea problemelor de cartografie asistată de calculator, respectiv de pregătire a unei baze de date cartografice pentru un teritoriu dat. Este asigurată digitizarea hărților, transformarea coordonatelor punctelor dintr-o proiecție în alta și dintr-un datum geodezic în altul, împărțirea pe straturi a elementelor de conținut și modificarea gradului de detaliere etc. Datele structurate sunt transferate primului modul.

Cel de *al treilea modul* este destinat culegerii și transmiterii către primul modul a poziției, vitezei, distanței parcurse și a altor date.

Rezumând, modulele trebuie să permită: afișarea ca fundal a hărții dorite; afișarea pe harta de pe ecran a poziției vehiculelor controlate; mărirea sau micșorarea imaginii hărții; deplasarea în plan a zonei alese a hărții; afișarea traseelor parcurse de vehicule; simularea dinamică a unor situații ipotetice; pregătirea datelor pentru realizarea bazei de date cartografice; memorarea datelor cartografice și a datelor de navigație într-o bază de date a sistemului de navigație.

De exemplu, produsul Autodesk® OnSite utilizează o platformă cu sistemul de operare Palm, SGBD Oracle8i Lite și programe Microsoft (mobile computing operating system). Produsul MapGuide 5 furnizează hărți, desene și alte date unei rețele de tip intranet a unei organizații sau Internet. Oricine dispune de un browser Web și este conectat la rețea poate interacționa în timp real cu datele geografice și tematice puse la dispoziție de server(e).

5.5 Alte produse realizate cu datele SIG

În anexa C se arată modul de rezolvare a unor probleme dificile de cartografie, care pot fi aplicate în principiu la orice reprezentare grafică în SIG. Exemplificarea s-a făcut pentru plasarea inscripțiilor, deplasarea reciprocă a obiectelor pentru înlăturarea suprapunerii detaliilor (la generalizare), generalizarea detaliilor punctuale prin detalii areale, simbolizarea complexă și rezolvarea problemei alinierii și racordării la generarea semnelor convenționale areale. Pentru fiecare caz în parte se arată grafic principiul de rezolvare, se indică procedurile scrise în AML și principalele comenzi Arc/Info utilizate.

În anexa D, după cum deja s-a arătat, sunt reprezentate imaginile interpretate pentru o zonă, folosind fotogramele aeriene. Imaginile se referă la folosința terenului, tipurile de sol, adecvarea terenului pentru sisteme agroforestiere, folosirea optimă a terenurilor, hazardul la eroziune, concordanța folosirii terenului cu adecvarea pentru sisteme agroforestiere etc. Pentru fiecare imagine este reprezentată scara grafică și o legendă. Se poate face și combinarea imaginilor reprezentate cu alte hărți sau imagini. Imaginile de mai sus au fost obținute cu programele ERDAS Imagine și IDRISI, completate cu proceduri proprii. Asupra imaginilor inițiale rezultate din scanare au fost aplicate majoritatea tipurilor de prelucrări.

În anexa E sunt prezentate mai multe modele de produse SIG. Aceste produse sunt hărțile topografice la diferite scări, planurile topografice și tematice, hărțile tematice sau speciale, hărțile derivate din modelul digital altimetric, fotogramele, stereogramele și ortofotogramele, ortofotohărțile, spațiohărțile sau alte imagini digitale, inclusiv cele dinamice, imagini de teledetecție în diferite benzi spectrale etc. Toate aceste produse se obțin cu programe și tehnologii foarte diverse, de aici rezultând complexitate SIG.

5.6 Concluzii

În diversitatea problemelor privind algoritmi, programele și tehnologiile de realizare a produselor SIG, sunt remarcate contribuțiile autorilor la dezvoltarea limbajului de descriere a semnelor convenționale, generarea automată a simbolurilor, personalizarea generatoarelor pentru noi semne convenționale și inscripții, realizarea procedurilor de extragere a informației hidrologice din MDA, rezolvarea unor probleme cartografice complexe precum plasarea inscripțiilor și racordarea detaliilor, algoritmul de umbrire, definirea funcțiilor cartografice într-un SIG cadastral etc. Demonstrațiile rezultatelor corecte au fost făcute atât prin produsele obținute în urma aplicării procedurilor, cât și prin diversitatea prezentării modului de rezolvare (instrucțiuni ale programelor sursă, instrucțiuni BNF, pași de rezolvare pentru algoritmi, formule de calcul etc.). În toate realizările se ascund și modelele matematice prezentate într-un capitol separat.

Anexa A: Programe SIG, modulele programelor și funcții ale acestora

Tabelul A1: Exemple de funcții ale unor programe SIG

Meniu	Funcție	Subfuncție	WinGIS Profesional +		Win GIS Prof.	Win GIS Stand.	Win MAP	WinMap	
			WinGIS Software	LT Viewer				LT	Ultra LT
0	1	2	3	4	5	6	7	8	9
File	New (Nou)		Da	Nu	Da	Da	Da	Nu	Nu
	Open (Deschide)		Da	Nu	Da	Da	Da	Da	Nu
	Load (Încarcă)		Da	Nu	Da	Da	Da	Nu	Nu
	Save (Salvează)		Da	Nu	Da	Da	Da	Da	Nu
	Savea		Da	Nu	Da	Da	Da	Da	Nu
	Close (Închide)		Da	Da	Da	Da	Da	Da	Da
	Import	ASCII	Da	Nu	Da	Da	Da	Nu	Nu
	Export	ASCII	Da	Nu	Da	Da	Nu	Nu	Nu
		DXF	Da	Nu	Da	Da	Nu	Nu	Nu
	Load Bitmap (Încarcă hartă raster)		Da	Nu	Da	Da	Da	Nu	Nu
	Bitmap Display (Afișază hartă raster)		Da	Nu	Da	Da	Da	Da	Nu
	GPSConection (Conectare GPS)		Da	Da	Da	Da	Da	Da	Da
	Routing (Drum optim, transport)		Modul	Nu	Mo- dul	Modul	Mo- dul	Nu	Nu
	Multimedia	Add/del	Da	Nu	Da	Da	Da	Nu	Nu
		Playback	Da	Da	Da	Da	Da	Da	Da
	Turboraster	Edit	Modul	Nu	Mo- dul	Modul	Nu	Nu	Nu
		LoadFrames	Mostră	Nu	Mo- stră	Mostră	Nu	Nu	Nu
	Print/Plot (Imprimă/desenează)		Da	Da	Da	Da	Da	Da	Da
	Printer/Plotter setup (Setare param. impr./ploter)		Da	Da	Da	Da	Da	Da	Da
	Exit		Da	Da	Da	Da	Da	Da	Da
	WinGIS2 DXF		Da	Nu	Da	Da	Da	Nu	Nu
	DXF2 ASCII		Da	Nu	Da	Da	Da	Nu	Nu
	Edit	Cut (taie, împarte)	Da	Nu	Da	Da	Da	Nu	Nu
		Copy (copiază)	Da	Nu	Da	Da	Da	Nu	Nu
		Paste (lipește, alipește)	Da	Nu	Da	Da	Da	Nu	Nu
		Delete (șterge)	Da	Nu	Da	Da	Da	Da	Nu
		Move (mută)	Da	Nu	Da	Da	Da	Da	Nu
		Text	Da	Nu	Da	Da	Da	Da	Nu
	Stil Object		Da	Nu	Da	Da	Da	Nu	Nu
	Move Point (mută punctul)		Da	Nu	Da	Da	Da	Nu	Nu
	Insert Point (introdu punctul)		Da	Nu	Da	Da	Da	Nu	Nu
	Delete Point (șterge punctul)		Da	Nu	Da	Da	Da	Nu	Nu
	Deselect (anulează selecția)		Da	Nu	Da	Da	Da	Da	Da
	Bitmap Transparency (hartă raster provizorie)		Da	Nu	Da	Da	Da	Nu	Nu
	Insert Object (introdu obiectul)		Da	Nu	Da	Da	Da	Nu	Nu
	Insert Link (introdu legătura la ..)		Da	Nu	Da	Da	Da	Nu	Nu
	Edit Object (editează obiectul)		Da	Nu	Da	Da	Da	Nu	Nu
	Create Island Polygon (crează poligonul insulă)		Da	Nu	Da	Da	Da	Nu	Nu
	Digi- tize	Reference Points (puncte de reper/comune)	Da	Nu	Da	Nu	Nu	Nu	Nu
		New	Da	Nu	Da	Nu	Nu	Nu	Nu

0	1	2	3	4	5	6	7	8	9
		Add	Da	Nu	Da	Nu	Nu	Nu	Nu
	Point (obiect punctual)		Da	Nu	Da	Nu	Nu	Nu	Nu
	Line (obiect liniar)		Da	Nu	Da	Nu	Nu	Nu	Nu
	Polygon (obiect areal)		Da	Nu	Da	Nu	Nu	Nu	Nu
	Line Snap Layer (strat de aliniere/racordare)		Da	Nu	Da	Nu	Nu	Nu	Nu
	Transf. Parameters (parametri de transformare)		Da	Nu	Da	Nu	Nu	Nu	Nu
	Change passwd. (schimbă parola de acces)		Da	Nu	Da	Da	Da	Nu	Nu
	Text style (font)		Da	Da	Da	Da	Da	Da	Da
	Dimensioning (redimensionare)		Da	Nu	Da	Da	Nu	Nu	Nu
	Combine (combină)		Da	Nu	Da	Nu	Nu	Nu	Nu
	Manual snap (racordare man.)		Da	Nu	Da	Da	Da	Nu	Nu
	DataBase selection (selecție BD)		Da	Nu	Da	Da	Da	Nu	Nu
	Transparent selection (selecție transparentă)		Da	Nu	Da	Da	Da	Nu	Nu
	Zoom size (coef. mărire)		Da	Nu	Da	Da	Da	Nu	Nu
	Bitmap options		Da	Nu	Da	Da	Da	Nu	Nu
	Bitmap color palette		Da	Nu	Da	Da	Da	Da	Nu
	Symbol library (bibliotecă de simboluri)		Da	Nu	Da	Da	Da	Da	Nu
	Define symbol (definește simbolul)		Da	Nu	Da	Da	Da	Da	Nu
	Create symbol (crează un nou simbol)		Da	Nu	Da	Da	Da	Da	Nu
	Input device (periferic de intrare)		Da	Nu	Da	Nu	Nu	Nu	Nu
	Digitize (digitizează)		Da	Nu	Da	Nu	Nu	Nu	Nu
	Install Modules (instalează modulele ..)		Da	Nu	Da	Da	Da	Nu	Nu
	Preferences (preferințe)		Da	Nu	Da	Da	Da	Da	Nu
Window	Cascade (în cascadă/trepte)		Da	Nu	Da	Da	Da	Nu	Nu
	Tile (placă)		Da	Nu	Da	Da	Da	Nu	Nu
	Arrange Icons (alege locul pictogramelor)		Da	Nu	Da	Da	Da	Nu	Nu
	Close All (închide toate aplicațiile)		Da	Nu	Da	Da	Da	Nu	Nu
	Overview (vedere generală)		Da	Nu	Da	Da	Da	Da	Da
	Save view (salvează vederea/imaginea)		Da	Nu	Da	Da	Nu	Nu	Nu
	Load view (încarcă vederea/imaginea)		Da	Da	Da	Da	Da	Da	Da
	Help on WinGIS (explicații)		Da	Da	Da	Da	Da	Da	Da
	Help on Help (explicații la explicații)		Da	Da	Da	Da	Da	Da	Da
	About (despre)		Da	Da	Da	Da	Da	Da	Da
Toolbar			Da	Da	Da	Da	Da	Da	Da

Tabelul A2: Lista pachetelor de programe SIG sau utilizate în SIG, existente în EUROPA până în anul 1999(fără cele de analiză statistică)

Numele pachetului	Anul lansării	Firma
0	1	2
Action Control for Windows	1995	Action Information Management Ltd, UK
Action Map for Windows	1995	Action Information Management Ltd, UK
Action Plan for Windows	1995	Action Information Management Ltd, UK
Active Response	1995	Active Soft. Ltd,UK
Active Provider Cen/Stat	1994	Active Soft. Ltd,UK
Adalin	1985	Adamys AG, Suedia
ALU-GIAP/AED GIS	1986	AED Graphics, Germania
Deskmapper	1994	Allied Images Ltd,UK
Apic	1987	Apic SA, Franța
Apic Space	1995	Apic SA, Franța
Vegtor	1993	Articoque, Franța
Cartes&Donnees	1993	Articoque, Franța
AXIS 2000	1978	Assist Applic. Ltd, UK
AutoCAD MAP	1996	Autodesk Inc., USA
AutoCAD	1982	Autodesk Inc., USA
Valis	1988	Autom. Datenverarbeitung, Austria
Prospex	1989	Beacon D. Ltd, UK
Microstation Descartes	1987	Bentley Sistems, USA
Microstation 95	1995	Bentley Sistems, USA
Microstation GeoGraphics	1996	Bentley Sistems, USA
Map Viewer	1990	Byers Eng. Company
InSite	1987	CACI Ltd, UK
4View	1992	Cad-Capture Ltd, UK
LIDS	1990	Elveția și Cehia
cadcorp Map Manager	1994	Cadcorp Ltd, UK
cadcorp Map Editor	1995	Cadcorp Ltd, UK
cadcorp Data Manager	1996	Cadcorp Ltd, UK
cadcorp Data Editor	1996	Cadcorp Ltd, UK
cadcorp SIS Control (OCX)	1996	Cadcorp Ltd, UK
Caris-GIS & Caris ++	1978	Caris GIS BV, Canada
Mosaic		CCN Marketing UK
Vertical Mapper for MapInfo	1995	CDR Group Canada
MapGrafix GIS	1985	ComGrafix Inc., USA
GIMS	1990	DigiGroups SRL
Customised MapInfo Profess.	1985	Dotted Eyes, USA
CableCad	1984	Canada
GeoNet	1994	Canada
Erdas Imagine	1992	Erdas Inc., USA
PC Arc/INFO	1987	ESRI Inc., USA
ArcCAD	1992	ESRI Inc., USA
ArcVIEW	1994	ESRI Inc., USA
Arc/INFO	1982	ESRI Inc., USA

0	1	2
Spatial Database Engine	1995	ESRI Inc., USA
Fast/STC	1996	FastCAD GIS, UK
Cartology LITE	1994	FastCAD GIS, UK
Cartology ODBC	1995	FastCAD GIS, UK
Gds	1980	Gds Ltd, UK
GenaMAP	1987	Genasys, Australia
Everest Mapping System	1994	Geobuild Proj. Ltd, UK
Enigma Plus	1987	GeoMEM Soft., Israel
The Cambridge Map Manager	1995	GeoMEM Soft., UK
MAPPublisher	1995	GeoMEM Soft., Canada
MapView/UK	1989	GeoMEM Soft., USA
MetaMAP2	1989	GeoMEM Soft., USA
ER Mapper	1989	ER Mapper, Australia
PolyView	1994	GeoPerfect TWI BV, Olanda
Map Server	1993	Geosoft Ltd, UK
Geo/SQL		GEO/SQL, Canada
FRAMME	1986	Intergraph Corp., USA
MGE	1989	Intergraph Corp., USA
ILWIS	1988	ITC-ILWIS, Olanda
Horizon	1989	Laser-Scan Ltd, UK
Telecoms Analysis	1992	Laser-Scan Ltd, UK
Market Analysis	1993	Laser-Scan Ltd, UK
LAMPS2	1995	Laser-Scan Ltd, UK
IGIS	1995	Laser-Scan Ltd, UK
Gothic ADE	1994	Laser-Scan Ltd, UK
LAMPS	1982	Laser-Scan Ltd, UK
VTRACK	1988	Laser-Scan Ltd, UK
MapInfo Prof.	1995	MapInfo, USA
Megatel Visor	1983	Megatel Gmbh, Germania
MvM Map Manager	1994	MVM Consultants, UK
SGD	1991	Norsistemas, Spania
WinMAP	1993	PROGIS, Austria
WinGIS	1993	PROGIS, Austria
Map&Market	1995	PTV Gmbh, Germania
QuickAdress Pro	1992	QAS Systems Ltd, UK
QuickAdress Locator	1995	QAS Systems Ltd, UK
QuickAdress Batch	1993	QAS Systems Ltd, UK
QuickAdress Pro +Adress Point	1995	QAS Systems Ltd, UK
QuickAdress Nearest	1994	QAS Systems Ltd, UK
VISION	1975	SHS VISION Solutions Canada
DataMAP	1994	SIA Ltd, UK
SICAD GIS	1979	Siemens Nixdorf, Germania
Smallworld GIS	1991	Smallworld, UK
Ramina	1991	Spatial Information Services, Norvegia
Maptitudine		SSI, Canada
Desk Mapper		SSI, UK

0	1	2
Star Carto	1990	Star Informatic SA, Belgia
Atlas GIS	1988	Strategic Mapping Inc.
Tactician	1989	Tactician, UK, USA
XCITY	1991	Tekla OI, Finlanda
XCABLE	1992	Tekla OI, Finlanda
XPOWER	1990	Tekla OI, Finlanda
ELNET	1992	Tekla OI, Finlanda
XSTREET, XROAD, XGEO	1989	Tekla OI, Finlanda
Drivetime	1986	The Data Consultancy, UK
TNT MIPS	1986	The NPA Group, USA
SPANS	1996	Tydac Technologies, Canada
ACE	1996	Tydac Technologies, Canada
SPANS Topographer	1996	Tydac Technologies, Canada
SPANS Explorer	1996	Tydac Technologies, Canada
SPANS MAP	1989	Tydac Technologies, Canada
MAPA de Carreteras	1995	Spania
Visual Map Professional	1996	Visual GIS Engineering, Spania
CPS	1996	Suedia

Tabelul A3 Module de analiză ale pachetului de programe IDRISI

Nr.	Nume	Funcție
0	1	2
1	ALLOCATE	asignare a fiecărei celule la cel mai apropiat detaliu dintr-un set
2	AREA	determinare a ariei totale a pixelilor de o anumită valoare
3	ASSIGN	legare a unei imagini cu atributele dintr-un fișier
4	AUTOCORR	calculare a autocorelației unei imagini
5	BAYCLASS	clasificare a informației siturilor de învățare-antrenament
6	BELCLASS	clasificare a informației siturilor de învățare-antrenament
7	Belief	modelare Dempster-Shafer (Weight-of-Evidence)
8	BUFFER	calculare a zonelor buffer de lățime dată
9	Calculator	construcție interactivă a funcțiilor de calcul
10	CENTER	calculare a poziției medii a centrului și razei unui set de puncte
11	CLUSTER	clasificare nesupervizată a unei imagini
12	COLSPACE	conversie a sistemului imagine RGB în HLS și invers
13	COMPOSIT	realizare a unei imagini compuse fals color
14	COST	generare a distanțelor ca efort minim de deplasare cu frecare
15	COUNT	realizare a imaginii frecvențelor apariției valorilor pixelilor
16	CRATIO	calculare a raportului de compactare al poligoanelor
17	CROSSTAB	comparare a două imagini, suprapunere multiplă cu AND
18	Database Workshop	sistem integrat de gestiune a bazelor de date
19	DECOMP	descompunere a unui vector forță în două noi imagini
20	DESTRIPE	înlăturare a zgomotelor datorate detectorului scannerului
21	DISPERSE	Calculare a distanțelor cost de la un set de detalii desemnate
22	DISTANCE	determinare a distanței euclidiene dintre celule sau pixeli
23	Edit	editare a textelor ASCII
24	Editsig	editare a unui fișier de semnături creat cu MAKESIG
25	ERRMAT	comparare a două imagini în scopul aprecierii preciziei
26	EXTRACT	extragere a valorilor statistice dintr-un fișier imagine
27	FILTER	creare a unei noi imagini prin filtrare
28	FUZCLASS	clasificare în clase de tip fuzzy
29	FUZSIG	creare de semnături spectrale din imaginile de teledetecție
30	GROUP	determinare a grupărilor contigui de valori întregi identice
31	HISTO	realizare a histogramei frecvențelor pixelilor imaginii
32	HNTRLAND	determinare a regiunii dominate de una sau mai multe poziții
33	HYPERMIN	clasificare pentru date hiperspectrale, bază pe distanța minimă
34	HYPERSAM	clasificare Spectral Angle Mapper a imaginilor hiperspectrale
35	HYPERSIG	creare și afișare de semnături hiperspectrale
36	ISOCLUST	clasificare iterativă nesupervizată cu autoorganizare
37	LOGITREG	calculare a regresiei și predicției logice
38	MAKESIG	creare de semnături spectrale din imaginile de teledetecție
39	MAXBAY	selectare a imaginii ce conține probabilitatea a posteriori
40	MAXBEL	selectare a imaginii ce conține încrederea maximă
41	MAXFUZ	selectare a imaginii ce conține valori fuzzy
42	MAXLIKE	clasificare a datelor prin metoda verosimilității maxime
43	MAXSET	clasificare Dempster-Shafer
44	MCE	evaluare multicriterială (Multi-Criteria Evaluation)
45	MDCHOICE	alegere multidimensională
46	MINDIST	classificare a datelor de teledetecție - metoda distanței minime

0	1	2
47	MIXCALC	clasificare Dempster-Shafer (Basic Probability Assignment)
48	MOLA	alocare a terenului după mai multe obiective
49	MULTIREG	calculare a unei regresii liniare multiple
50	NDVICOMP	realizare de imagini compuse din imagistica NDVI
51	OVERLAY	suprapunere a două imagini
52	PATHWAY	determinare a drumului de cost minim
53	PATTERN	calculare a variației valorilor pixelilor vecini dintr-o fereastră
54	PCA	analiză a componentelor principale ale unor imagini
55	PCLASS	atribuire a unei probabilități fiecărui pixel al unei imagini
56	PERIM	determinare a perimetrului fiecărei categorii într-o imagine
57	PIPED	clasificare paralelepipedică a datelor de teledetecție
58	PROFILE	creare de profile spațiale și temporale într-o imagine
59	QUADRAT	descriere a naturii distribuției punctelor
60	QUERY	extragere a unei ferestre de formă neregulată dintr-o imagine
61	RADIANCE	conversie a șirului de valori Dn LANDSAT în radianțe calibrate
62	RANDOM	creare a unei imagini dreptunghiulare, normale sau lognormale
63	RANK	ordonare a celulelor într-o imagine binară pe octeți
64	RECLASS	clasificare sau reclasificare a datelor imaginilor sau atributelor
65	REGRESS	calculare a unei regresii liniare între două imagini (fișiere)
66	RELOCATE	analiza în rețea pentru alocarea resurselor
67	RESAMPLE	reeșantionare a unei imagini
68	RESULTAN	produce o nouă pereche de imagini forță cu forța rezultantă
69	SAMPLE	realizare a unui fișier vectorial de mostre de forme
70	SCALAR	realizare a aritmeticii scalare pe imagini
71	SCATTER	creare a unui scatter plot cu două benzi de imagini binare
72	SIGCOMP	comparare a semnăturilor create cu MAKESIG.
73	SPDIST	determinare a distanței euclidiene în unități sferice
74	STANDARD	conversie a unei imagini cantitative într-o imagine apreciativă
75	STRETCH	modificare a contrastului unei imagini
76	SURFACE	calculare a pantelor, direcțiilor de pantă maximă și umbrelor.
77	TASSCAP	transformare 4D a datelor MSS (4 benzi) sau TM (6 benzi)
78	TEXTURE	a) analiză a variației valorilor într-o fereastră de pixeli
79	TEXTURE	b) estimare a dimensiunii fractale într-o zonă 3 x 3 pixeli
80	TEXTURE	c) calculare a frecvenței unei valori specificate într-o fereastră
81	TEXTURE	d) furnizare filtre de convoluție pentru analiza limitelor liniare
82	THERMAL	conversie a datelor din banda 6 LANDSAT în temperaturi
83	THIESSEN	construire a poligoanelor Thiessen
84	TRANSFOR	transformare a valorilor atributelor pe imagini
85	TREND	calculare a ecuațiilor polinomiale ale unei suprafețe
86	TSA	analiză a datelor imagine luate la intervale mari
87	VARCOST	calculare a distanțelor cost de la un set de detalii desemnate
88	VEGINDEX	calculare a indicilor vegetației din roșu și infraroșu apropiat
89	VIEWSHED	determinare a celulelor vizibile dintr-unul sau mai multe puncte
90	WATRSHED	determinare a scurgerii pe o suprafață imagine
91	WEIGHT	dezvoltare de ponderi relative pentru un grup de factori

Tabelul A4: Sisteme de programe lansate în anul 2.000 și utilizate în SIG*)

Firma realizatoare	Denumirea sistemului de programe
0	1
alta4	HTML ImageMapper 2.1
alta4	AltaMap Server 2.1
ArcSecond	PocketCAD Viewer
Autodesk	AutoCAD 2000i
Autodesk	AutoCAD 2000 ce poate fi procurat prin e-Store
Autodesk	GIS Data Transformer Extension (dtX), SDTS și VML Drivers, autoîncărcabile
Autodesk	Autodesk® OnSite
Autodesk	MapGuide 5
Bentley	Viecon Public Works Network
Byers	Spatialworx™
CARIS-Univ. Sys. Ltd	.CARIS HIPS
CARIS-Univ. Sys. Ltd	Web GIS Spatial Fusion 1.1 la GITA
CARIS-Univ. Sys. Ltd	LOTS 2.0
CARIS-Univ. Sys. Ltd	Java development tools
CARIS-Univ. Sys. Ltd	HIPS 5.1
DeLorme	XMap
DeLorme	XMap Business
DMTI	CanMap Plus+
DMTI	CanMap® RouteLogistics
DMTI	CanMap® Streetfiles 3.0
Earth Resource Mapping	Image Web Server version 1.01
Earth Resource Mapping	ER Viewer 2.0 încărcabil gratis
Earth Resource Mapping	Landsat 7 Publishing Wizard pentru ER Mapper
ERDAS	ViewFinder gratis
ERDAS	IMAGINE 8.4 Geographic Imaging Software pentru Win2000
ERDAS'	Stereo Analyst
ESRI	ArcView Image Analysis 1.1 Upgrade
ESRI	ArcInfo 8 GIS Software 8.0.1, 8.0.2
ESRI	ARC IMS 3.0
ESRI	ArcExplorer 3 (editie Java)
ESRI	ArcView GIS 3.2a
ESRI	ArcPad Wireless la 5.0.1
ESRI	PC ARC/INFO 4
	GRASS 5 beta
GEOPAK	GEOPAK 2000
Intergraph	GeoSpatial World 2001
Intergraph	New Dynamic Segmentation Analysis
Kodak	Kodak Earth Imaging
LizardTech	Chromafire
Lizardtech	MrSID Photo Edition
LizardTech	LizardTech Online Viewer 1.2
MapInfo Corporation	miSites și miDirections
MapInfo Corporation	Introduces MapXtreme Java Edition 3.0
MapInfo Corporation	MapInfo Java-based Version of Coverage Locator
MapInfo Corporation	MapInfo to support Oracle® Internet Application Server 8i

0	1
MapInfo Corporation	Mapinfo Professional v6.0 Goes 3D & Web Active
MapInfo Corporation	MapInfo Unveils MapinHand
MapInfo Corporation	MapInfo Routing J Server
MapInfo Corporation	MapInfo Unveils CallingAreaInfo 6.0
Microsoft	MapPoint 2001
Miner & Miner	ArcFM Energy pentru Arc/Info 8
OBJECTFX Corporation	SPATIALFX 2.0
PAMAP	PAMAP GIS™ 5.2b
PCI Geomatics	Geomatics GeoGateway
RSI	V-Track 2000 GPS (Based Vehicle Tracking Product)
RTS Networks	SMMS pentru Windows 2000
RTS Networks	SMMS 3oh!
RTSe	'Route WAP'
RTSe	RouteWAP Mobile
SAFE software	FME enterprise și SpatialDirect pentru sistemul de operare Linux
SAFE software	FME 2000
Safe Software	FME® 2000 SR1
Safe	adaugă GeoMedia reading support
SolidWorks Corporation	SolidWorks 2000
SPATIALinfo Inc	. SPATIALnet™ 1.7
SPATIALinfo Inc	SpatialFX™ 2.5
SRI International	.geo (se citește "dot-gee-oh"),

*) <http://spatialnews.geocomm.com/newsletter/2000review/index.html>, (2000),
 "GeoCommunity GIS LBS 2000 Year-End Review", 3 ian 2001

Tabelul A5: Comenzile de cartografiere acceptate de programul MicroCAM

Comanda	Funcția procedurii sau comenzii
0	1
A. Reprezentarea elementelor bazei matematice (proiecției cartografice)	
AITOFF	(selectează) Proiecția Aitoff
AZED	Proiecția azimutală echidistantă
AZEQAREA	Proiecția azimutală echivalentă
BONNE	Proiecția echivalentă Bonne
CEAGEN	Proiecția conică echivalentă Albers
CEIKIV	Proiecția conică echidistantă Kavraiskiy IV
CEIPOS	Proiecția conică echidistantă a lui Ptolemeu
EQUCONIC	Proiecția conică echidistantă Kavraiskiy IV
EQUIRECT	Proiecția echirectangulară
GNOMONIC	Proiecția gnomonică
HAMMER	Proiecția echivalentă Hammer
LAMBERT	Proiecția conică conformă Lambert
MERCAT	Proiecția cilindrică conformă Mercator
MILCYL	Proiecția cilindrică Miller
MOLLWEID	Proiecția echivalentă Mollweide
OMERCTA	Proiecția oblică Mercator, format A
OMERCTB	Proiecția oblică Mercator, format B
ONOPOT	Proiecția Y=longitudinea, X=latitudinea
ORTHO	Proiecția ortografică
PERSP	Proiecția perspectivă
POLYCON	Proiecția policonică
POSTEREO	Proiecția stereografică polară
RECTAN	Proiecția echirectangulară
ROBINSON	Proiecția Robinson
SINEAR	Proiecția echivalentă sinusoidală (Mercator)
STEREO	Proiecția stereografică
TMERCT	Proiecția oblică Mercator centrată pe 0°N,0°E
TMERSD	Proiecția universală transversală Mercator (UTM)
VANGRINT	Proiecția Van der Grinten
WINKEL	Proiecția Winkel Tripel
B.Reprezentarea elementelor hărții	
ARC	Desenează un arc în jurul unui centru P(ϕ , λ)
ARCXY	Desenează un arc în jurul unui centru P(x,y)
AXIS	Introduce valorile axelor (semiaxelor) elipsoidului
BODE	Desenează linii azimutale (de azimut dat)
BOX	Desenează un dreptunghi în punctul P(ϕ , λ)
BOXXY	Desenează un dreptunghi în punctul P(x,y)
BRANGE	Desenează o casetă geografică în punctul P(ϕ , λ)
CALIB	Calibreză scara hărții
CENTERTK	Desenează o marcă centrală în originea (axelor) hărții
CETPOT	Setează centrul hărții în punctul P(ϕ , λ)
CHAIN	Transferă comanda altui alt fișier de comenzi
CIRCLE	Desenează un cerc în jurul unui punct P(ϕ , λ)

0	1
CIRCLEXY	Desenează un cerc în jurul unui punct $P(x,y)$
CLIP	Calculează intersecția unei linii cu zona limitată de XY
CONFAC	Definește un factor de transformare (conversie)
CORNERTK	Desenează mărci în colțurile hărții
CORRIDOR	Desenează un coridor de-a lungul unui traseu dat
DB2PLOT	Desenează întreaga linie când o porțiune este între limite
DCWFILE	Proiectează un fișier de coordonate DCW ASCII
DCWTEXT	Desenează inscripțiile sau simbolurile hărții DCW
DETAIL	Setează nivelul global de detaliere (a obiectelor geografice)
DLGFILE	Proiectează un fișier de coordonate în format DLG
EATRAD	Definește valoarea razei Pământului (ca sferă)
ECCENT	Definește excentricitatea elipsoidului terestru
ELIPSERG	Desenează un arc de elipsă în jurul unui punct $P(\phi,\lambda)$
ELLIPSE	Desenează o elipsă în jurul unui punct $P(\phi,\lambda)$
ELLIPSY	Desenează o elipsă în jurul unui punct $P(x,y)$
FEATURE	Desenează detaliile standard ale bazei de date
FILL	Umple cu un model (patern) zona cu punctul $P(\phi,\lambda)$
FILLXY	Umple cu un model zona cu punctul $P(x,y)$
FONT	Setează stilul fonturilor
GEOFFSET	Setează translatarea geografică a punctului central
GEOLINE	Desenează o linie geodezică între două puncte
GRDCIR	Desenează un cerc gradat în jurul unui punct $P(\phi,\lambda)$
GRDCIRXY	Desenează un cerc gradat în jurul unui punct $P(x,y)$
GTCIRCLE	Desenează un arc de cerc mare între două puncte
INCLUDE	Include comenzile de la un al doilea fișier de comenzi
LALOTICK	Desenează mărcile (intersecțiile) rețelei cartografice (ϕ, λ)
LGRID	Desenează rețeaua cartografică (ϕ,λ)
LIBRARY	Include comenzile unui fișier de comenzi al bibliotecii standard
LINE	Desenează o linie între două puncte geografice
LINEFILE	Proiectează un fișier utilizator cu $P_i(\phi,\lambda)$, $i=1,n$
LINEMODE	Alege tipul de linie (simbolul liniar)
LINEPT	Desenează detalii geografice liniare (vezi FEATURE)
LINEWT	Alege grosimea liniei
LINEXY	Desenează o linie între două puncte date prin coordonate
MAPBOUND	Introduce limitele hărții
MAPSAL	Introduce scara hărții
OPENBOX	Definește o casetă fără desen (zonă blank; maxim 10 zone)
ORGOFF	Translatează originea desenului
PEN	Setează culoarea (numărul) peniței (spotului)
PKDFILE	Proiectează fișierul de format împachetat, de înaltă rezoluție
PLOTTER	Setează parametrii ploterului (vezi PEN, TEXT, STEP)
REGISTK	Desenează mărci radiale
REM	Comentarii în fișierele de cartografiere
REVRSY	Rotește desenul cu incremente de 90 grade
ROTATE	Rotește desenul cu un anumit unghi
RRANGE	Desenează un șir de inele în jurul unui punct $P(\phi,\lambda)$

0	1
SCRIBE	Desenează imaginea oglindită, pentru gravare
SHADE	Umple (hașurează) o zonă cu un model ales
SHADES	Specifică modelele și toleranțele de hașurare
SHADEXY	Hașurează (umple) o zonă (x,y) pe baza unei valori
SHEET	Introduce dimensiunile (foii) hârtii pentru plotare si scalare
SPEED	Introduce viteza peniței pentru ieșirea la ploter
STEP	Introduce incrementul de plotare pentru ieșirea CAD
SUPPRESS	Suprimă desenarea unor detalii liniare specificate ale bazei de date
SYMBOL	Desenează un simbol în punctul $P(\varphi, \lambda)$
SYMBOLXY	Desenează un simbol în punctul $P(x, y)$
SYMPT	Desenează un simbol alfanumeric într-un punct
TEXT	Desenează un text în punctul $P(\varphi, \lambda)$
TEXTXY	Desenează un text în punctul $P(x, y)$
TSLAT	Setează scara reală a latitudinii
XYLIM	Setează limitele x/y pentru hartă
XYOFF	Setează translațiile $\Delta x/\Delta y$ pentru punctul central
1	Desenează un text în punctul $P(x, y)$

Tabelul A6: Lista funcțiilor cartografice de evaluat la proiectarea unui SIG cadastral

Nr.	Funcția
Afișarea hărții, inclusiv ca fundal	
1	Acces la harta electronică digitală existentă pe CD-ROM la stația de lucru, extrasă de la un server și afișarea ca hartă fundal, formatele fiind cele standardizate, ca cele de exemplu:
	VPF
	ADRG
	CADRG
	CRG
	ADRI
	CIB
	DNC
	VMAP
	UVMAP
	WVS ș.a.
	Alt format
2	Selecția din biblioteca digitală a hărților color în toate scările standard și afișarea pe ecranul grafic.
	1:50.000
	1:25.000
	1:10.000
	15.000 sau 1:2.000
	1:1000
	1:500 ș.a.
3	Vizualizarea listei hărților și selecția uneia după nume, nomenclatură, vecinătate și scară dintr-un directory local, pentru afișarea pe ecranul grafic
	prin denumirea sau codul hărții
	prin nomenclatură
	prin harta vecină cu harta deja afișată
	prin harta la o scară mai mare ca scara celei afișate
	prin harta la o scară mai mică decât scara celei afișate
4	Vizualizarea unei liste a hărților după denumire, nomenclatură și scară, ce conțin poziția dată prin coordonate geodezice sau coordonate rectangulare în planul proiecției
	după denumirea hărții
	după nomenclatură
	după scara hărții
5	Realizarea funcțiilor de control general al imaginii afișate a) hărții, printre care:
	nivelul culorii hărții
	strălucirea hărții
	contrastul hărții
6	Vizualizarea oricărei secțiuni a hărții sau re poziționarea hărții prin deplasare plană (panning) sau salt în orice direcție.
7	Mărirea (efectul de lupă) X2, X3, X4 (de două ori, de trei ori, ...)
8	Micșorarea (efectul de lupă) X1/2, X1/3, X1/4 (de două ori, ..)
9	Apariția unei ferestre minuscule pe ecran, cu imaginea întregii hărți, având marcată porțiunea afișată într-unul din colțurile ecranului
10	Salvarea sub un nume ales a oricărei hărți afișate
11	Posibilitatea de a selecta și afișa un fișier hartă cu un anumit nume dintr-o listă meniu a "hărților memorate"
12	Afișarea unui punct, a codului sau denumirii asociate punctului și a coordonatelor pe hartă și realizarea următoarelor operațiuni:
	Mutarea denumirii sau codului în altă poziție
	Alegerea opțiunii de afișare sau nu a coordonatelor și codului (denumirii)
	Resetarea coordonatelor sau denumirii la poziția inițială
	Afișarea codului și coordonatelor în față sau după alte figuri sau straturi
	Ștergerea unui punct și a denumirii asociate

Nr.	Funcția
13	Alegerea de către utilizator a următoarelor opțiuni pentru determinarea unor mărimi și afișarea lor pentru harta curentă.
	Poziția:
	Tipul de datum (de exemplu WGS-84)
	Coordonatele geodezice (Latitudine/Longitudine)
	Coordonatele în proiecția Stereografică 1970
	Coordonatele în proiecția Gauss-Kruger sau în proiecția Universal Transverse Mercator (UTM) etc.
	Distanța:
	Kilometri
	Metri
	Timpul - data/ora
14	Funcții de tipărire a hărții afișate, a unui strat al hărții și a altor straturi adăugate, a unei parcele
	Separat
	Întrunit
15	Posibilitatea de a procesa imaginea hărții rezultată din scanare (cel puțin un format indicat, de exemplu TIFF) și afișarea hărții "electronice", cu operațiuni ca:
	Reasamblarea hărții la dimensiunile inițiale când formatul scannerului este mai mic decât formatul hărții și digitizarea foi de hartă se face pe porțiuni
	Registrația porțiunilor sau a întregii hărți scanate sau aducerea în sistemul de coordonate al hărții
	Memorarea și regăsirea hărții electronice rezultate
	Afișarea ca imagine a hărții electronice
	Etc.
Proceduri (instrumente) de bază de cartografiere sau cartometrie	
16	Măsurare (determinare):
	Măsurare (determinare) a distanței plane și a distanței pe elipsoid între oricare două puncte ale hărții
	Măsurare (determinare) a azimutului sau a gismentului dintre două puncte
	Măsurare (determinare) a ariei unei parcele, a unui grup de parcele contigui, materializarea pe hartă a parcelei sau parcelelor selectate
	Afișarea distanței, azimutului, orientării sau ariei măsurate (determinate) în casete separate
	Ștergerea fiecărei casete ca opțiune a utilizatorului
	Ștergerea casetei prin vizare pe un simbol anume (pentru poziție, distanță, azimut, orientare. cerc)
	Ștergerea simultană a tuturor casetelor
	Alte operațiuni
Memorare sau stocare a hărții și a altor straturi suprapuse	
17	Setarea și salvarea preferințelor utilizatorului într-o sesiune de lucru (posibilități de personalizare):
	Dimensiunea ferestrei
	Tipul datumului
	Proiecția cartografică
	Sistemul de coordonate (pe elipsoid - latitudine și longitudine, în planul proiecției etc.)
	Poziția implicită pe hartă (butonul "home")
	Alte preferințe
18	Posibilitatea de a crea, edita și salva în formatele comune (CGM sau JPEG) imaginea întregului ecran sau a unor zone selectate ale imaginii, inclusiv a straturilor suprapuse, în vederea utilizării în alte programe sau de către alți utilizatori
19	Posibilitatea de a salva ca un fișier separat stratul suprapus pe hartă, orientat sau adus în sistemul de coordonate al hărții, astfel ca acesta să fie transmis altor utilizatori din rețea: la afișarea stratului, programul trebuie să selecteze automat harta folosită ca fundal
20	Încărcarea hărților digitizate, de pe:
	CD-ROM
	Disc magneto-optic
	Bandă magnetică cu 16 piste
	Bandă magnetică de 8 mm

Nr.	Funcția
	Bandă audio digitală (4mm)
	Serverul (serverele) rețelei
Generarea, afișarea și gestionarea straturilor hărții	
21	Să existe un editor grafic care să permită utilizatorului să creeze, să șteargă și să georeferențieze:
	Puncte (obiecte punctuale)
	Linii (obiecte liniare)
	Zone (obiecte areale), respectiv parcele și grupuri de parcele
	Să modifice componentele spațiale (de exemplu schimbarea obiectelor punctuale în obiecte liniare și în obiecte areale)
	Text în diferite fonturi
	Simboluri (semne convenționale)
	Arce de cerc, de elipsă sau de parabolă
	Cercuri
	Poligoane
	Elipse
	Intr-o zonă de o anumită culoare
	Intr-o zonă cu o anumită reprezentare de simbol areal (model)
	Să se deseneze manual cu locatorul anumite straturi în sistemul de coordonate al hărții, pentru a fi folosite împreună cu harta
22	Posibilitatea de a salva stratul suprapus pe harta afișată, sub un anumit nume
23	Posibilitatea de a selecta dintr-o listă stratul salvat și de a-l afișa cu harta asociată
24	Să aibă o interfață dinamică (API) pentru integrarea în (interacțiunea cu) alte aplicații utilizator
	Regăsirea datelor hărții pentru folosirea de către o aplicație
	Posibilitatea afișării cu o simbologie aleasă a datelor unei aplicații, ca strat suprapus pe hartă
25	Posibilitatea realizării următoarelor activități pe harta afișată și pe stratul suprapus:
	Definirea unui punct de bază și a unui punct țintă și unirea cu un segment de dreaptă
	Să se calculeze pentru segmentul de dreaptă astfel obținut
	Azimutul sau orientarea
	Distanța
	Să se re poziționeze punctul țintă și să se recalculeze:
	Azimutul sau orientarea
	Distanța
	Unirea mai multor segmente de dreaptă într-un traseu, plecând de la punctul de bază și trecând prin punctele țintă succesive (tip drumuire)
	Să se calculeze pentru fiecare porțiune segment a traseului sau pentru tot traseul:
	Azimutul sau orientarea
	Distanța, respectiv suprafața dacă poligonul este închis
	Costul (de deplasare pentru lungimi sau areal, pentru poligoane)
26	Crearea de straturi care acoperă una sau mai multe foi de hartă vecine pentru a afișa harta unei zone de interes ce cuprinde mai multe foi
27	Desenarea sau tipărirea la ploter/imprimantă a straturilor care acoperă una sau mai multe foi de hartă vecine, la scara hărții pe care au fost suprapuse (hărții fundal)
28	Activarea sau dezactivarea filtrării datelor pentru fiecare strat specificat
29	Selectarea unui filtru pentru strat și introducerea parametrilor filtrului
30	Crearea, editarea și afișarea straturilor:
	Crearea de straturi cu relații fixe față de hărți
	Selectarea straturilor dintr-o listă cu cele disponibile
	Folosirea simbologiei standard
	Afișarea simbologiei alese de utilizator din cele disponibile
	Afișarea simbologiei proiectate de utilizator
	Atașarea de texte ale obiectelor dintr-un strat
	Specificarea parametrilor de filtrare potrivit filtrelor folosite pentru strat
	Afișarea mai multor straturi
31	Tipărirea straturilor la scara hărții (folosită ca fundal)

Nr.	Funcția
32	Posibilitatea manipulării datelor stratului pe ecranul grafic
	Posibilitatea ca operatorul să activeze sau să dezactiveze interactiv imaginile afișate ale straturilor sau elementelor straturilor
	Mutarea stratului în fața sau în spatele altor straturi afișate
	Transformarea unui strat de la o scară a hărții la alta
	Repoziționarea obiectelor unui (pe un) strat
	Redimensionarea obiectelor individual sau în grup
	Afișarea obiectelor în fața/înapoia altor obiecte
	Afișarea informației de stare a obiectelor selectate (de exemplu parcelelor)
	Selectarea unui obiect și obținerea informațiilor detaliate despre acel obiect în fereastra afișată
	Posibilitatea de reîmprospătare a imaginii afișate de fiecare dată când au fost modificate datele, fără redesenarea hărții fundal
33	Posibilitatea actualizării automate a bazei de date după modificările realizate de sistem sau comandate de utilizator asupra fiecărui obiect (simbol) al hărții sau asupra unui grup de obiecte (simboluri)
34	Manipularea obiectelor unui strat să nu modifice informațiile bazei de date decât la cererea (cu confirmarea) utilizatorului
35	Posibilitatea ca în bara (caseta) de stare să se prezinte informații privind:
	Progresul receptării datelor stratului
	Dacă s-au primit date ce nu fac parte din strat
	Activarea stratului
	Insuficiența datelor primite (recepționate)
Posibilitatea evaluării parcelelor	
36	Acces la colecțiile de date digitale și procesarea acestora pentru straturile de analiză a terenului și de evaluare a parcelelor
	DFAD
	DTED (MDA)
	ITD
	TTD
	DCW
	DTOP
	Etc.
37	Posibilitatea analizei de către operator a semnificației detaliilor regionale (importante) ale zonei, prin interogarea bazei de date spațiale și obținerea, filtrarea și afișarea straturilor:
	Topografic general
	Cadastral, pe tipuri de cadastru
	Hidrografic
	Rețeaua de transport
	Frontiere și limite administrative
	Economic
	Industrial etc.
	Climatic (eventual combinat cu altă BD)
	Demografic (eventual din altă BD)
	Cultural (eventual combinat cu altă BD)
	Toponimic (eventual combinat cu altă BD)
	Istoric (eventual combinat cu altă BD)
	Juridic etc..
	Factori de limitare a dezvoltării (eventual combinat cu altă BD)
Date și straturi referitoare la teren	
40	Posibilitatea afișării datelor digitale referitoare la teren despre orice detalii ale terenului, identificate în specificații (strat text sau strat cartografic), detaliile terenului incluzând:
	Rețeaua de transport (drumuri, poduri, căi ferate)
	Hidrografia (râuri, pâraie, bazine hidrografice, lacuri)
	Altitudini (modelul digital altimetric)
	Parcele cadastrale pe tipuri de cadastru
	Zone construite și localități (obiecte areale)

Nr.	Funcția
	Frontiere și limite administrative
	Parcele ale organizațiilor comerciale
	Parcele silvice
	Informații privind suprafața terenului (inclusiv tipurile de soluri)
41	Posibilitatea de a integra alte date în analiza și straturile terenului
CERINȚE SPECIFICE DIFERIȚILOR UTILIZATORI, PRIN FOLOSIREA ȘI A ALTOR BAZE DE DATE	
42	Posibilitatea rotirii hărții, fără modificarea poziției centrului zonei sau scării, iar semnele convenționale și simbolurile să fie orientate mereu spre sensul spre în sus al axei verticale a ecranului
43	Posibilitatea afișării legendei și informațiilor referitoare la metadate
44	Posibilitatea definirii dimensiunilor, formei și conținutului legendei referitoare la metadate, legenda fiind definită de un identificator
45	Posibilitatea înlăturării legendei, legenda fiind definită de un identificator
46	Posibilitatea modificării legendei (modificarea dimensiunilor, formei și conținutului legendei), legenda fiind definită de un identificator
47	Posibilitatea vizualizării sau nevizualizării legendei, legenda fiind definită de un identificator
48	Posibilitatea regăsirii și întreținerii informațiilor referitoare la produsele digitale sau analogice realizate (data realizării, data ultimei actualizări, denumirea, nomenclatura, eventual seriile, precizia și rezoluția)
49	Metadatele produsului digital: posibilitatea regăsirii și transmiterii informațiilor pentru o fereastră a hărții specificate sau un strat al acesteia, afișându-se și denumirile tuturor produselor digitale pentru fereastra dată sau pentru stratul dat, potrivit unui identificator (al ferestrei sau stratului)
50	Posibilitatea afișării scării grafice, numerice sau naturale
51	Metadatele detaliilor (obiectelor): posibilitatea solicitării, regăsirii și furnizării metadatelor obiectelor (detaliilor), dându-se un identificator al clasei obiectului (detaliului); se va face interogarea și vor fi transmise informațiile referitoare la detaliile solicitate
52	Metadatele referitoare la precizia detaliilor: posibilitatea regăsirii și furnizării informațiilor referitoare la precizia detaliului sau clasei de detalii (detaliu sau clasă date printr-un identificator)
53	Metadatele referitoare la precizia produsului digital: posibilitatea regăsirii și furnizării informațiilor referitoare la precizia produsului digital, dându-se identificatorul produsului
54	Metadatele referitoare la lista hărților: posibilitatea interfațării pentru obținerea unei liste a hărților disponibile, listă ce va fi disponibilă pentru o aplicație și trebuie să conțină denumirea hărții, tipul, scara, zona acoperită, poziția și alte informații necesare
55	Selecția hărții: posibilitatea desemnării pentru afișare a unui produs hartă necesar unei aplicații
56	Metadatele referitoare la alte produse digitale: posibilitatea interfațării pentru obținerea unei liste a altor produse afișabile disponibile; lista va conține rezultatele salvate ale analizei, straturile salvate ale hărții și bazei de date spațiale cu obiectele (detaliile) și alte date
57	Modificarea scării hărții
58	Calculul distanțelor pe elipsoidul de referință
59	Păstrarea preciziei relative a datelor din sursele de date pentru toate produsele digitale care se realizează, toate calculele geodezice făcându-se cu algoritmi riguroși conform preciziei standard
60	Posibilitatea furnizării și afișării coordonatelor ce definesc poziția unui detaliu, precizia poziției fiind cea standard; concomitent va fi furnizat și identificatorul obiectului dispus în acea poziție
61	Posibilitatea furnizării și afișării cotei unui punct marcat pe hartă, presupunând că a fost memorat modelul digital altitudinal (MDA)
62	Posibilitatea realizării și întreținerii mai multor biblioteci de simboluri și existența unui mecanism de selecție a unei biblioteci primare sau implicite
63	Posibilitatea scalării simbolurilor din bibliotecile proiectate, în două moduri - în primul mod dimensiunile simbolului să rămână constante la mărirea sau micșorarea scării hărții (la efectul de lupă sau zoom), iar în al doilea mod dimensiunile simbolului să se modifice în același mod ca și scara întregii hărți
64	Posibilitatea gestionării simultane a mai multor ferestre separate și distincte, fiind furnizată și o listă a ferestrelor gestionate pentru o aplicație de interogare
65	Posibilitatea accesării și furnizării poziției unui cursor grafic (marcă) existent pe ecran, deplasabil cu ajutorul unui locator (de exemplu mouse) în zona activă a ferestrei selectate

Nr.	Funcția
66	Controlul straturilor hărții
67	Posibilitatea utilizării operațiilor de suprapunere a straturilor pentru controlul asamblării straturilor hărții
68	Posibilitatea inserării unui nou strat într-o fereastră a hărții, adică a suprapunerii unui strat peste o hartă ce este considerată ca fundal
69	Posibilitatea ștergerii unui strat al hărții, harta rămasă nefiind distrusă
70	Posibilitatea transferării unui strat sau a mai multor straturi de la o hartă la alta, straturile fiind definite de identificatori
71	Posibilitatea schimbării între ele a straturilor a două hărți diferite
72	Posibilitatea reordonării straturilor unei hărți, fiind dată o listă a straturilor
73	Posibilitatea definirii unui descriptor de prioritate ca parte a definirii unui strat, prioritatea putând fi asignată și folosită de către o aplicație decizională
74	Posibilitatea actualizării unui strat al hărții dintr-o fereastră, în timp real uneori, cu folosirea bibliotecilor de simboluri
75	Posibilitatea desemnării unui strat ca strat fundal al hărții, pentru fereastra activă, stratul de fundal nefiind actualizat
76	Existența procedurilor de editare a unui strat, astfel ca atributele obiectelor hărții din compunerea stratului să poată fi modificate
77	Posibilitatea ca toate straturile asignate unei ferestre hartă să fie scalate odată cu scalarea hărții
78	Existența procedurilor de mutare a unui strat, astfel ca pozițiile spațiale ale tuturor obiectelor (asignate) stratului să poată fi modificate, dar să nu modifice obiectele vecine definite prin date raster (pixeli)
79	Posibilitatea ascunderii unui strat pentru anumite aplicații
80	Expunerea unui strat pentru anumite aplicații, printr-un identificator
81	Existența procedurilor ca un strat ascuns sau expus să devină vizibil
82	Posibilitatea redesenării sau reîmprospătării unui strat
83	Posibilitatea asignării unui strat a unei nuanțe de culoare (de exemplu din 256 de nuanțe)
84	Posibilitatea asignării unei nuanțe de culoare unui strat fundal al hărții
85	Posibilitatea reglării intensității culorii unui strat specificat al hărții
86	Posibilitatea adăugării unui obiect (unor obiecte) unui strat specificat al hărții
87	Posibilitatea ștergerii unui obiect (unor obiecte) dintr-un strat specificat al hărții
88	Posibilitatea afișării razei vizuale (liniei de vedere) pe un profil, opțional
89	Posibilitatea afișării zonelor văzute și nevăzute dintr-un punct sau din mai multe puncte concomitent
91	Posibilitatea calculului și afișării profilelor pe diferite direcții
92	Afișarea imaginii color sau umbrite a reliefului pe baza MDA
93	Calculul și afișarea curbelor de nivel și zonelor de egală pantă pe baza MDA.

Anexa B: Rezultatele restituiției fotogrammetrice analitice

a) Restituție analitică -stecometru

1) Precizia orientării relative varianta 1

Coordonatele punctelor de reper (m)

NP	X	Y	H	NP	X	Y	H
161	12890.69	14495.31	210.39	201	11238.69	14332.24	148.42
169	12798.02	17482.62	121.70	209	17198.28	17439.83	117.24

Coordonate măsurate (mm)

Stereograma 2541-2543, 13 puncte

001	216.930	356.840	133.788	144.649	002	428.946	357.407	133.786	143.908
003	428.792	145.423	133.047	143.876	004	216.771	144.827	133.032	144.639
169	314.865	357.416	213.939	147.379	209	415.113	359.305	213.933	145.225
161	314.830	168.311	212.305	146.653	201	417.904	165.551	209.814	145.080
165	308.880	256.043	213.941	146.930	205	413.005	260.325	211.761	145.001
199	378.811	359.427	214.034	146.001	185	359.776	264.566	213.019	146.000
181	360.722	163.767	210954	142.946					

camera fotogrammetrica nr. 12

	1	2	3	4	distanța	p.pr. H
x	-106.004	106.004	106.004	-106.004	212.010	0.000
y	106.005	106.005	-106.005	-106.004	212.010	0.000

ck=153.040

corectarea deformării filmului

m	f	kx	ky	a	b
1	1	1.000013	0.999950	0.999990	-0.002766
1	2	1.000040	1.000046	0.999993	0.000770

discordanțe după corectarea deformării filmului (mm)

	fotograma 1		fotograma 2	
1	-0.006	0.009	-0.003	0.005
2	0.001	-0.010	-0.004	-0.006

orientarea relativă modelul 1

bx=-79.179 by=-1.626 bz=-0.440 a=-0.014170 b=-0.005314 c=0.003222
e.m.p.u.p.=0.0051 pymax=0.0065 mm în punctul 199

orientarea absolută

rk=16.008636 a=-0.9461668 b=0.0019250 c=0.0128154
e.m.p.u.p.=0.377

corecții în punctele de reper (m)

161	0.388	-0.202	-0.057	201	-0.027	0.310	0.059
169	-0.165	-0.461	0.081	209	-0.196	0.353	-0.082

coordonatele calculate ale punctelor (m)

nr.p.	x	y	h	nr.p.	x	y	h
161	12890.305	14495.512	210.446	165	12939.477	15869.984	196.209

169	12798.187	17483.082	121.618	185	12135.328	15965.832	161.129
181	12167.488	14366.465	175.626	199	11779.902	17468.086	118.830
209	11198.480	17439.477	117.321	205	11274.398	15857.562	130.441
201	11238.918	14331.930	148.360				

coordonatele calculate ale punctelor de restituție (m)

nr.p.	x	y	h	nr.p.	x	y	h
151	13200.148	14282.535	205.549	161	12890.305	14495.512	210.446
163	13027.402	15169.500	222.152	165	12939.477	15869.984	196.209
166	12810.445	16254.141	168.941	169	12798.187	17483.082	121.618
188	12119.184	17037.844	120.488	187	12075.137	16506.145	135.502
185	12135.328	15965.832	161.129	184	12168.359	15438.051	158.007
181	12167.488	14366.465	175.626	199	11779.902	17468.086	118.830
196	11682.883	16251.574	130.923	195	11613.809	15968.719	133.779
193	11733.434	15123.113	148.502	191	11689.164	14353.887	159.275
209	11198.480	17439.477	117.321	207	11212.141	16642.578	119.602
205	11274.398	15857.562	130.441	203	11251.887	15152.016	140.290
201	11238.918	14331.930	148.360	211	10997.562	14302.488	143.346

**Fig. B.1 Reprezentarea plană și perspectivă a izocurbelor corecțiilor pe direcția OX
pentru tripletul 2613, 2614 și 2615**

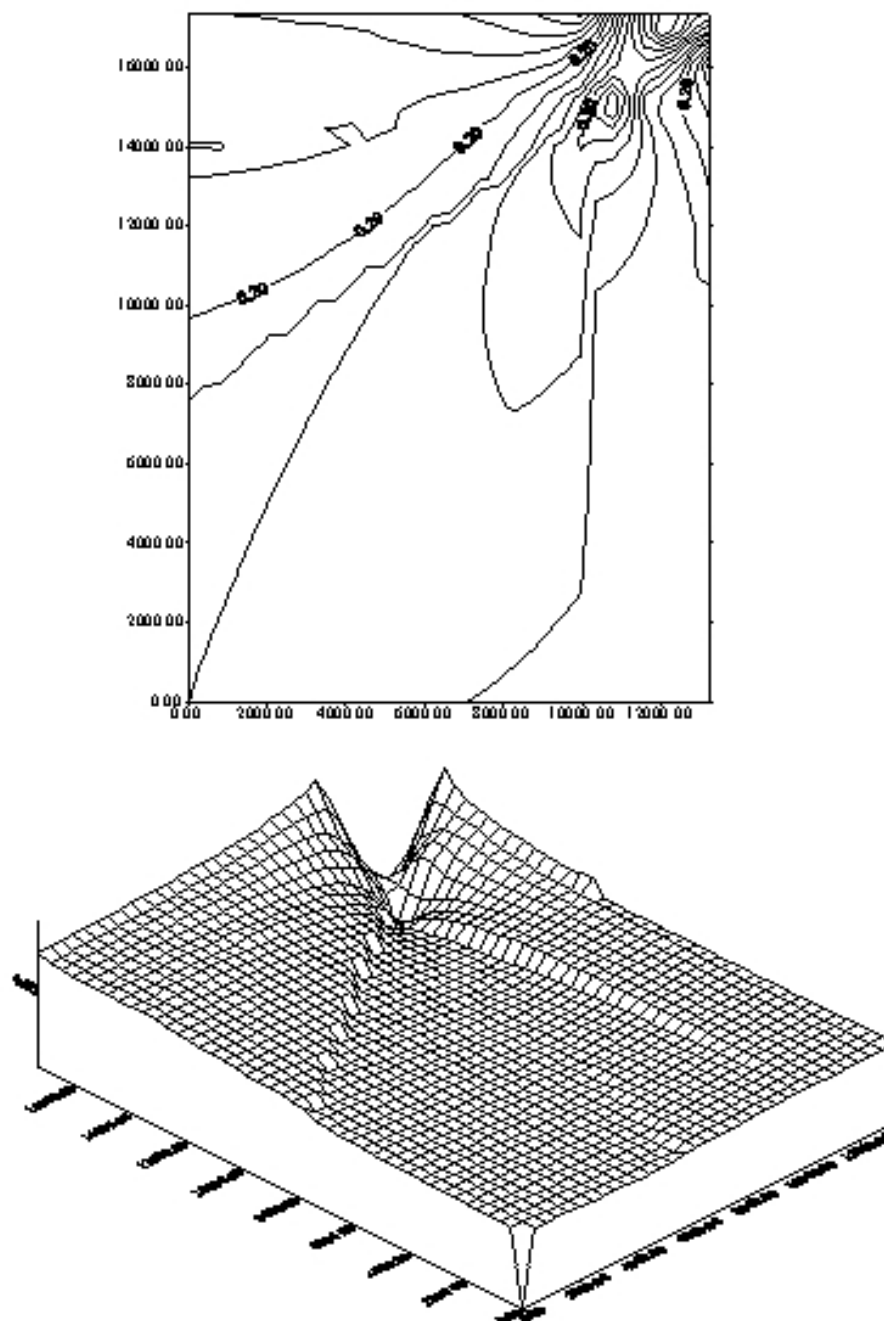
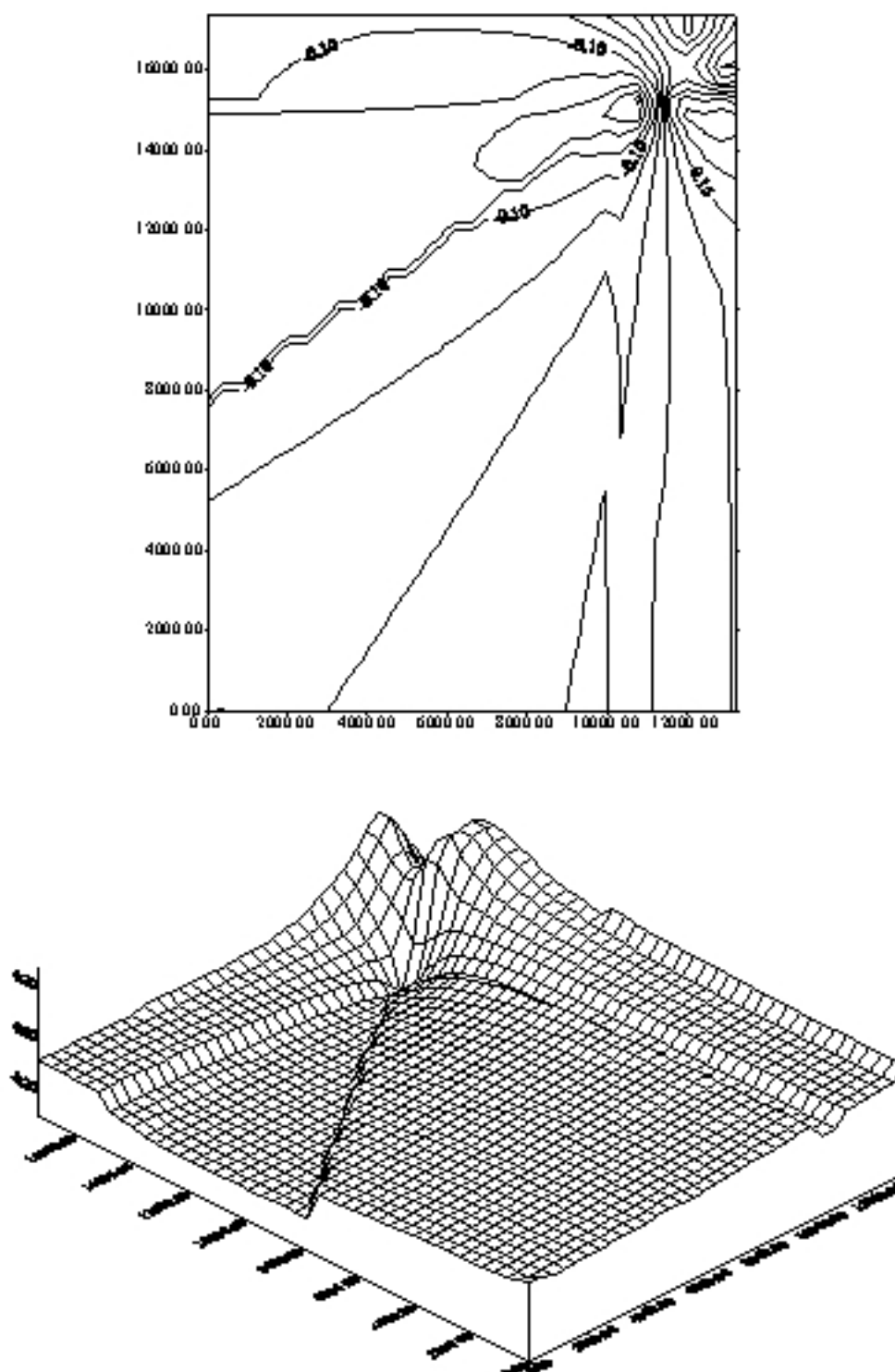
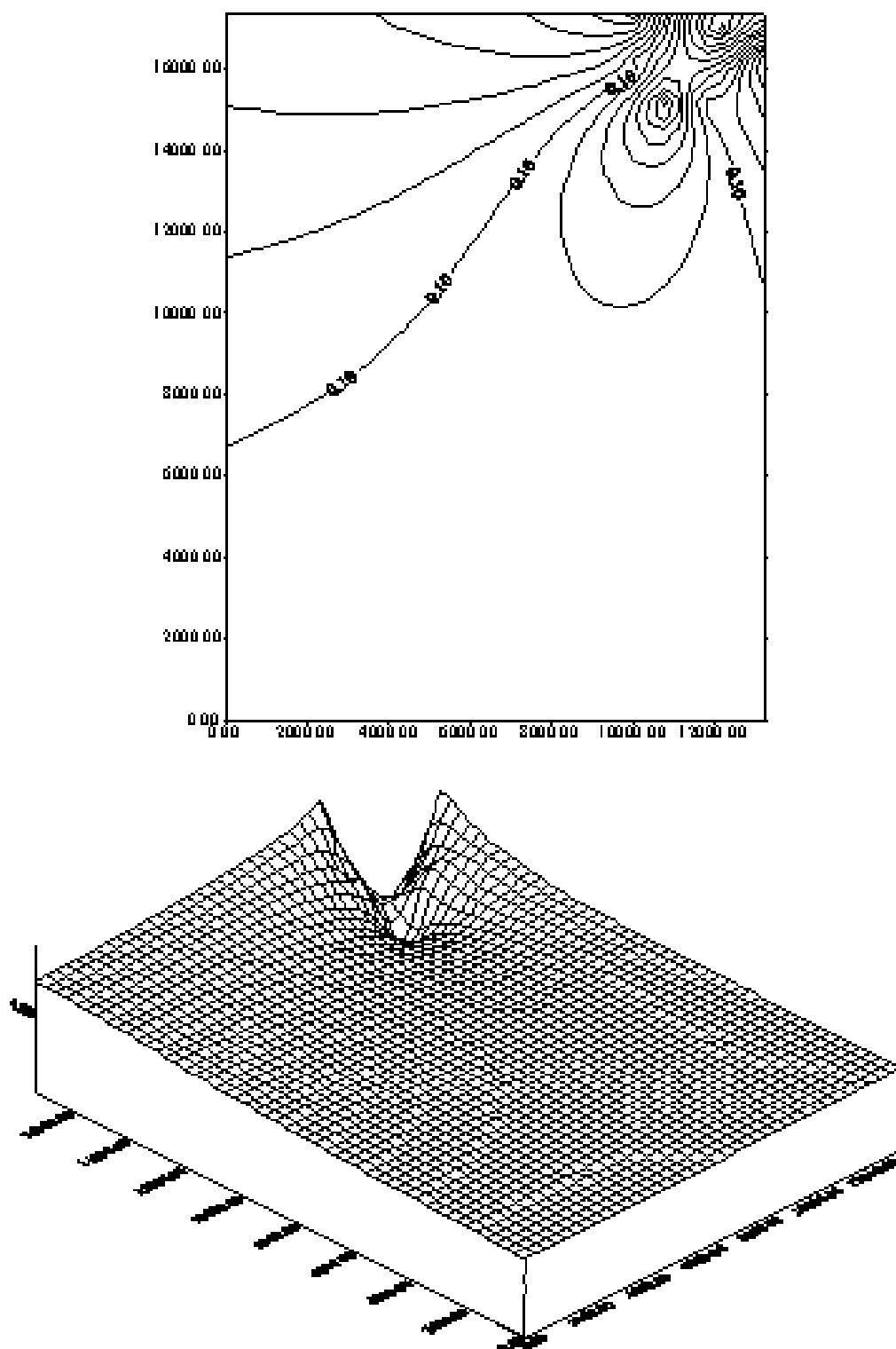


Fig. B.2 Reprezentarea plană și perspectivă a izocurbelor corecțiilor pe direcția OY
 pentru tripletul 2613,2614 și 2615



**Fig. B.3 Reprezentarea plană și perspectivă a izocurbelor corecțiilor pe direcția OZ
pentru tripletul 2613, 2614 și 2615**



Anexa C: Rezolvarea unor probleme cartografice dificile



Fig. C.1 Inscriptii suprapuse și nesuprapuse

a) Plasarea inscripțiilor

Cazul de mai sus poate apare foarte des, mai ales pentru zonele cu o densitate mare a obiectelor geografice (cartografice). Exemplul dat este sugestiv pentru inscripțiile bazei matematice. Rezolvarea se face prin realizarea unei rutine în ArcPlot, folosind un algoritm de determinare a intersecției a două poligoane definite de punctele de pe conturul celor două inscripții. Algoritmul se aplică succesiv la toate inscripțiile, luate două câte două (C_n^2 perechi). Textul este plasat unde nu apare zonă de conflict.

În dreapta se arată cazul rezolvat, unde inscripțiile nu se suprapun.

b) Suprapunerea detaliilor

Din cauza dimensiunilor semnelor convenționale, cu mult mai mari decât cele reduse la scară ale obiectelor din teren, apare conflictul de suprapunere. Apare necesitatea deplasării elementelor (semne convenționale și texte), pe direcții determinate de centrul de greutate al semnelor și fiecare semn în parte. Mai jos este dat cazul simplificat al unor detalii. Pentru rezolvare s-a întocmit proceduri în AML.

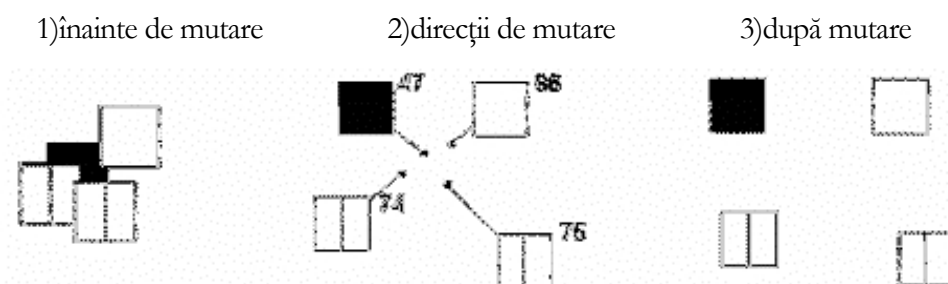


Fig. C.2 Deplasarea obiectelor

S-a întocmit o rutină în limbaj AML, s-a introdus în modulul ArcEdit al sistemului Arc/Info.. Distanța determinată cu funcția (comanda) POINTDISTANCE determină ce detalii trebuie mutate. Inscriptiile sunt mutate în funcție de noile poziții ale detaliilor.

c) Generalizarea detaliilor punctuale prin detalii areale

Și aici este arătat un caz exagerat, dar care se poate întâlni când se trece peste câteva scări. Mai multe detalii punctuale dintr-o anumită zonă se înlocuiesc cu un detaliu areal. Rutina întocmită determină automat punctele unui poligon ce cuprinde în interior toate punctele ce definesc pozițiile detaliilor punctuale de același tip (cod). Noului detaliu areal i se acordă un cod și se va genera prin desen noul mod de reprezentare. Linia de contur este

netezită și i se atribuie eventual și acesteia un cod, respectiv un simbol. Mai jos se arată principiul simplificat de rezolvare.

1) înainte 2) după generare obiect nou 3) noua reprezentare

Exemplele sunt date din atlasul hărților în proiecția UTM.

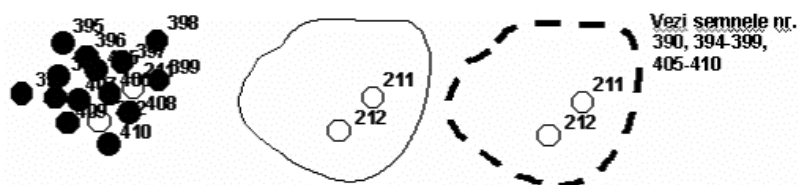
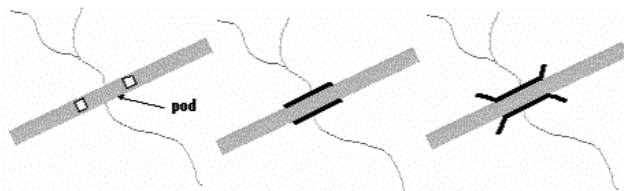


Fig nr. C.3 Integrarea obiectelor punctuale ca obiecte areale

d) Simbolizarea complexă

Un exemplu este cel al *podurilor*, care trebuie reprezentate automat ca detalii complexe, în sensul că trebuie să respecte toate condițiile rezultate din detaliile de care să se țină seama, respectiv drumuri, râuri și văi, chiar dacă acestea aparțin unor straturi diferite. Atributele pentru poduri pot fi memorate în stratul drumurilor. Cazul poate fi întâlnit și pentru alte tipuri de detalii. Mai jos se observă în cazul 1 cele două puncte care poziționează podul. Rutina întocmită folosește comanda (funcția) COPY PARALLEL pentru a genera segmente de dreaptă pe cele două părți ale drumului (2), lățimea semnului convențional pod fiind determinată de lățimea semnului convențional drum. Se determină apoi celelalte elemente ale simbolului. Arcurile (în sens topologic) definite se pot memora într-un nou strat. Problemele presupun doar folosirea formulelor geometriei computaționale. Cele de mai sus sunt implementate și în generatorul de semne convenționale.



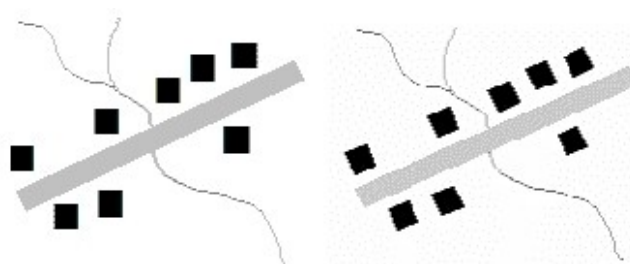
1) determinarea poziției 2) segmente paralele 3) noul simbol

Fig. C.4 Generarea semnului convențional de pod

Gestionarea ca obiecte a celor trei detalii implică și memorarea relațiilor cu obiectele vecine.

Alt exemplu de simbolizare complexă este cel al *reprezentării clădirilor* de o parte și de alta a drumului, prin simboluri în afara scării (punctuale), orientarea simbolurilor fiind determinată automat. Rutina determină automat orientarea clădirii, în funcție de orientarea drumului. Simbolurile pot fi rotite individual. Simbolurile ce se rotesc pot fi alese și interactiv. Locatorul servește în acest caz pentru introducerea datelor.

Se vede în figura de mai jos simplitatea rezolvării problemei.



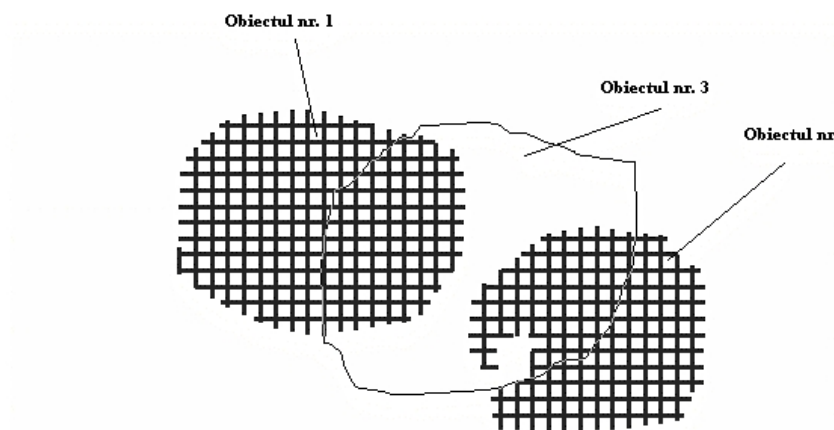
1) înainte de reprezentare 2) după reprezentare

Fig. nr. C.5 Alinierea caselor

Se poate concluziona că folosind macrolimbajul de programare AML al lui ARC/INFO sau macrolimbajul altui pachet de programe (de exemplu al lui IDRISI), se pot crea proceduri pentru rezolvarea unor probleme cartografice dificile. Interactivitatea permite cartografului să ia decizii chiar pe timpul desfășurării procesului de cartografiere. Cele de mai sus nu epuizează problemele extrem de complexe ale reprezentării cartografice, care vor apărea pe măsura implementării realizării de noi produse SIG.

e) Generarea semnelor convenționale areale

Sunt arătate trei obiecte areale cu același cod, cu generarea reprezentării doar pentru două. Prin concatenarea celor trei obiecte se determină noul obiect. Se va demonstra că noile hașuri se suprapun perfect peste cele vechi, realizându-se ușor racordarea mai multor foi de hartă.



În figură sunt date 3 obiecte areale de același cod, obiectul nr. 3 nu este încă desenat. Cele 3 obiecte sunt suprapuse intenționat, pentru a se demonstra că prin desenarea și a obiectului nr. 3 se va face racordarea liniilor, rezultând în final un singur obiect.

Fig. C.6 Trei obiecte areale

Mai sus este dată reprezentarea grafică a noului obiect după determinarea conturului comun al celor trei obiecte areale distincte. Se poate vedea ușor că au fost reprezentate prin racordare corectă, atât conturile obiectelor areale, cât și hașurile cu care este simbolizat obiectul areal.

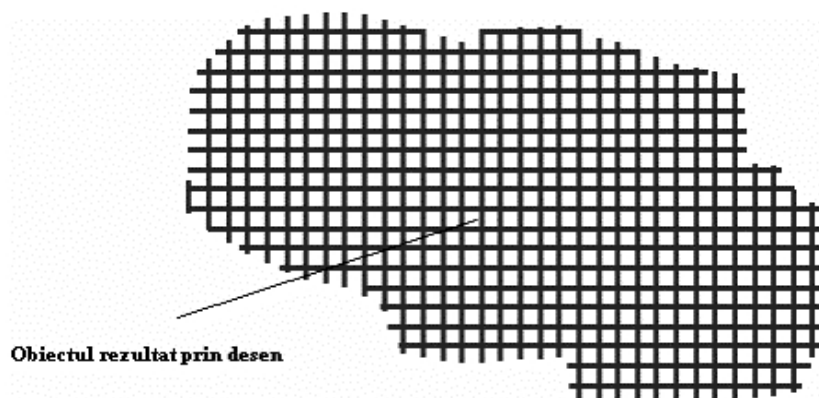


Fig. C.7 Obiect areal unificat

Se intenționează a se demonstra că prin metoda descrisă de generare a semnelor convenționale areale racordarea nu mai pune probleme pentru o familie de foi vecine și nici pentru detaliile areale diferite ale aceleiași foi de hartă. Reprezentările sunt făcute cu programele autorului.

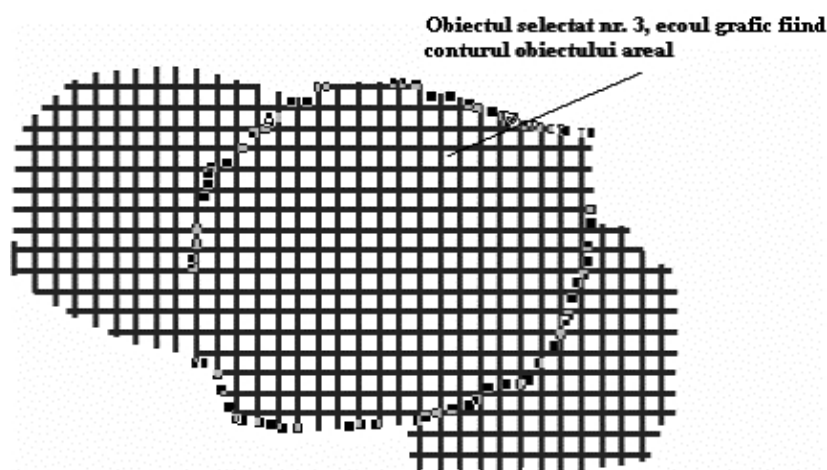


Fig. C.8 Obiecte areale distincte, reprezentare unificată

Nu se observă nici o eroare a celor trei semne convenționale, ele par unul singur.

La selecția unui obiect se folosește cu succes ecoul grafic pentru confirmarea selecției corecte (marcarea cu altă culoare a punctelor conturului și cu un semn convențional punctual ales). S-au modificat doar parametrii de desenare ai semnelor convenționale (pentru a se putea face o comparație cu cele trei obiecte inițiale).

Drept concluzii rezultă corectitudinea algoritmilor și programelor, acuratețea reprezentărilor, înlăturarea neajunsurilor racordării elementelor aceleiași foi de hartă și chiar a tuturor hărților aceleiași zone pe care se reprezintă unele elemente comune.

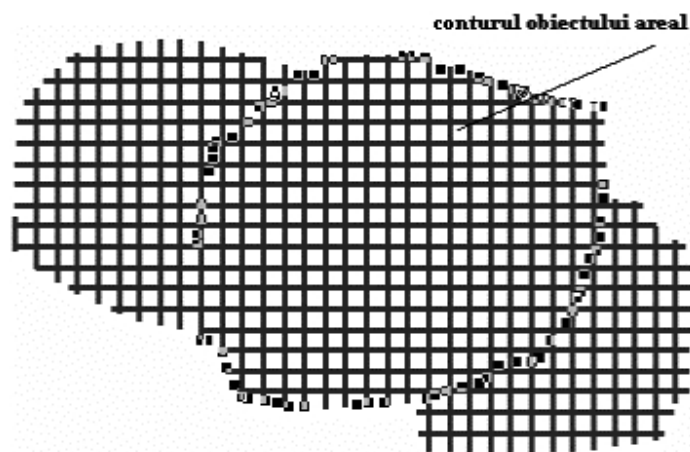


Fig. C.9 Obiecte areale distincte, un obiect selectat

Mai sus se demonstrează existența celor trei obiecte distincte în baza de date, prin selecția unui singur obiect din cele trei existente. Conturul obiectului selectat se reprezintă cu un simbol liniar distinct, de o anumită culoare. Ecoul grafic demonstrează corectitudinea selecției.

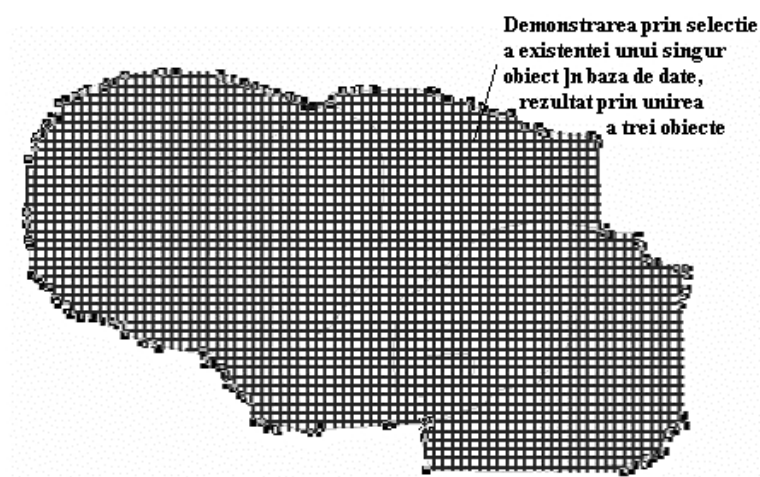


Fig. C.10 Obiectul final cu altă reprezentare

Anexa D: Interpretarea imaginilor

a) Interpretarea imaginilor

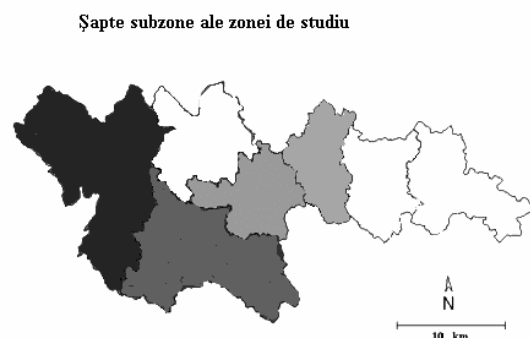


Fig. D.1 Subzonele zonei de testare

Pentru una din aceste subzone, în urma clasificării imaginilor au rezultat câteva produse SIG foarte interesante. Acestea sunt prezentate în continuare.

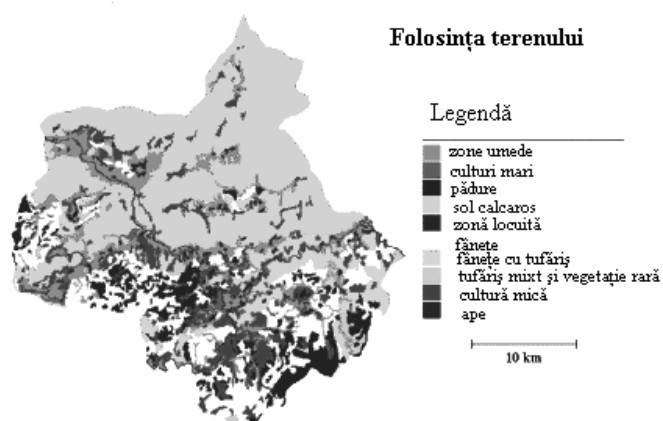


Fig. D.2 Folosinta terenului

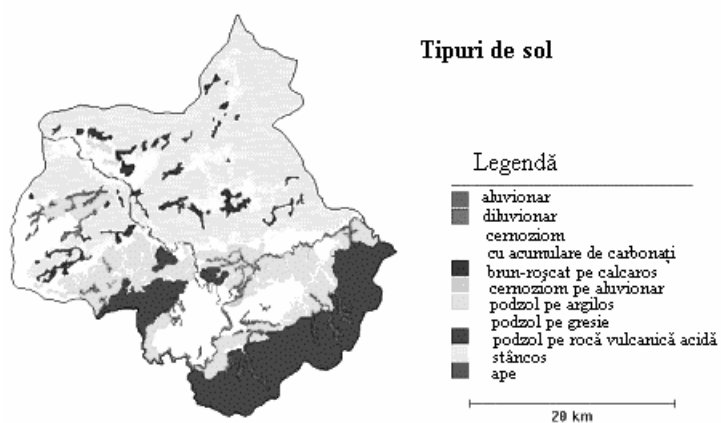


Fig. D.3 Tipuri de sol

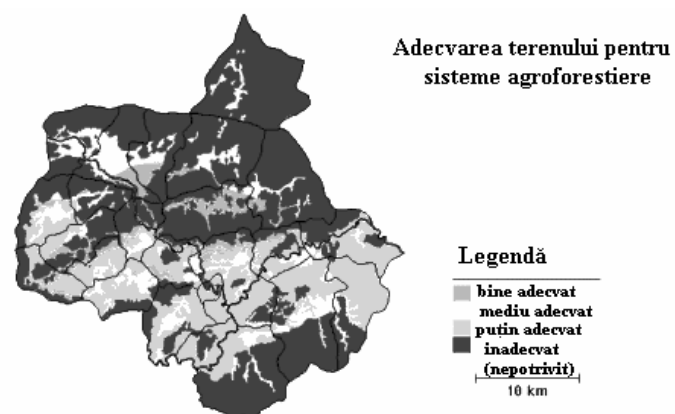


Fig. D.4 Adaptarea terenului pentru zone agroforestiere

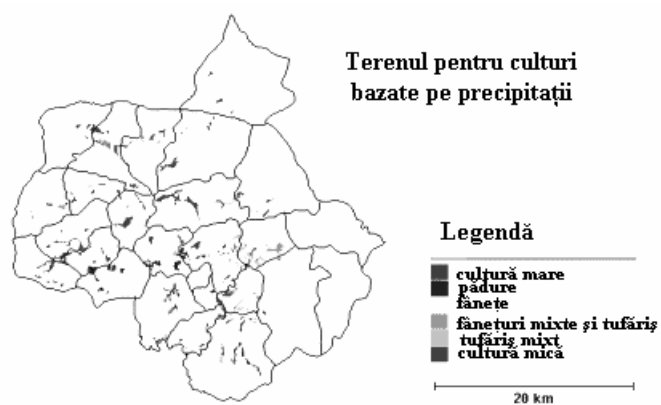


Fig. D.5 Terenul pentru culturi bazate pe precipitații

Aici prin culturile bazate pe precipitații se înțelege culturile neirigate.

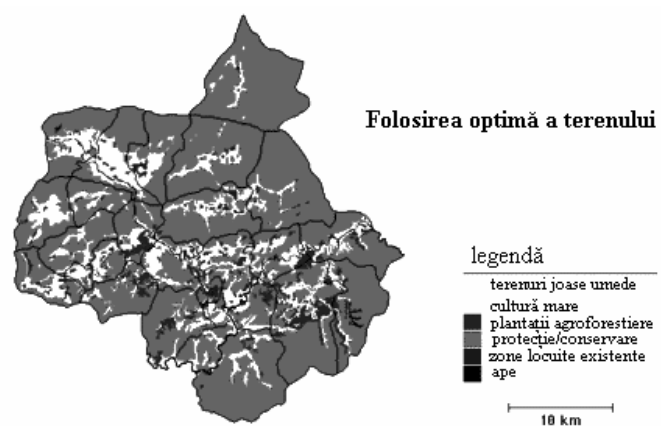


Fig. D.6 Folosirea optimă a terenului

Sunt doar propuneri, care nu au nici o legătură cu situația “de facto”, pentru a nu da naștere la interpretări nedorite.

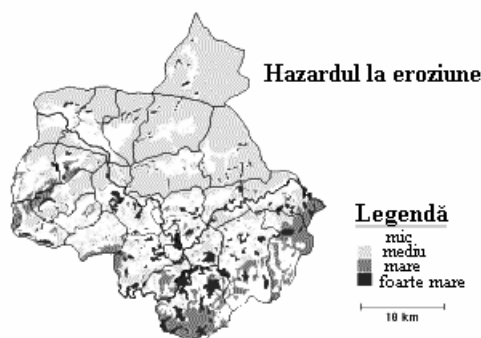


Fig. D.7 Hazardul la eroziune

Situația actuală a unor terenuri, mai ales pentru zonele cu fenomene instabile (inundații, alunecări de teren, degradarea solului etc.) accentuează rolul predicției în utilizarea SIG.

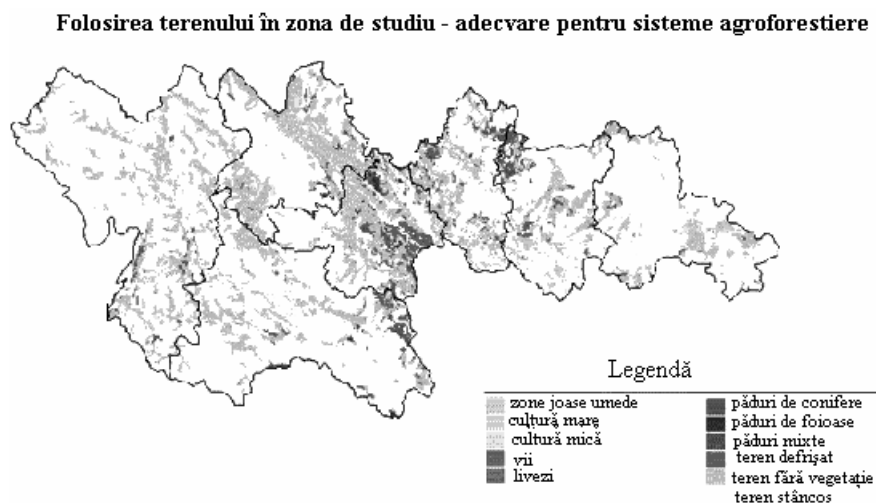


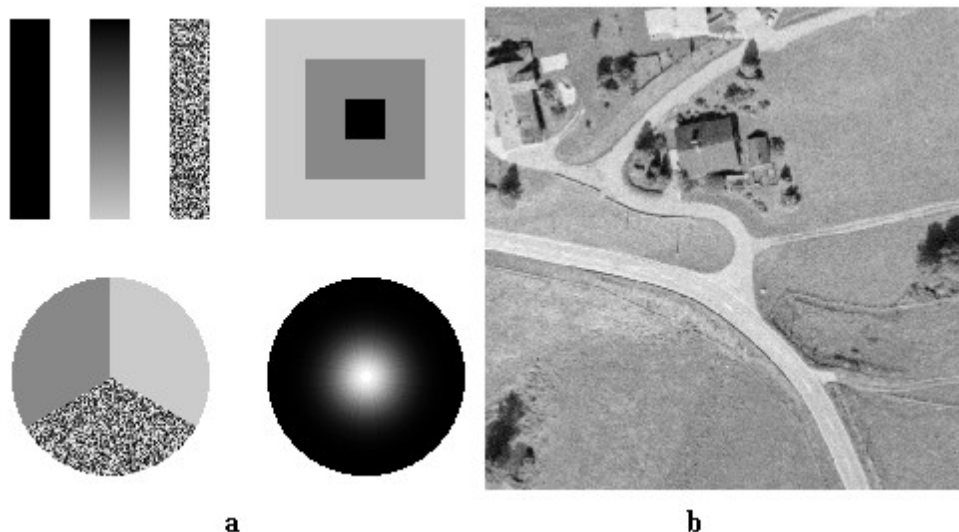
Fig. D.8 Folosirea terenului în întreaga zonă de studiu

Și aici concluziile sunt foarte interesante. Pentru interpretare grosieră se folosesc înregistrările de teledetecție la scări mici, apoi, pentru determinări mai precise, înregistrările sateliților SPOT sau ERS. Cele mai precise rezultate se obțin cu înregistrări de teledetecție din avion, incluzând în acestea și înregistrările fotogrammetrice preluate cu camere metrice, cât și cele fotografice preluate cu camere nemetrice.



Fig. D.9 Fereastra de lucru a modulului Express al sistemului ERDAS Imagine, cu care au fost realizate unele produse

b) Testarea separată a filtrelor de detectare a limitelor detaliilor



1. Fig. D.10 Imaginile inițiale: a) sintetică (256x256) și b) fotografică (512x512)

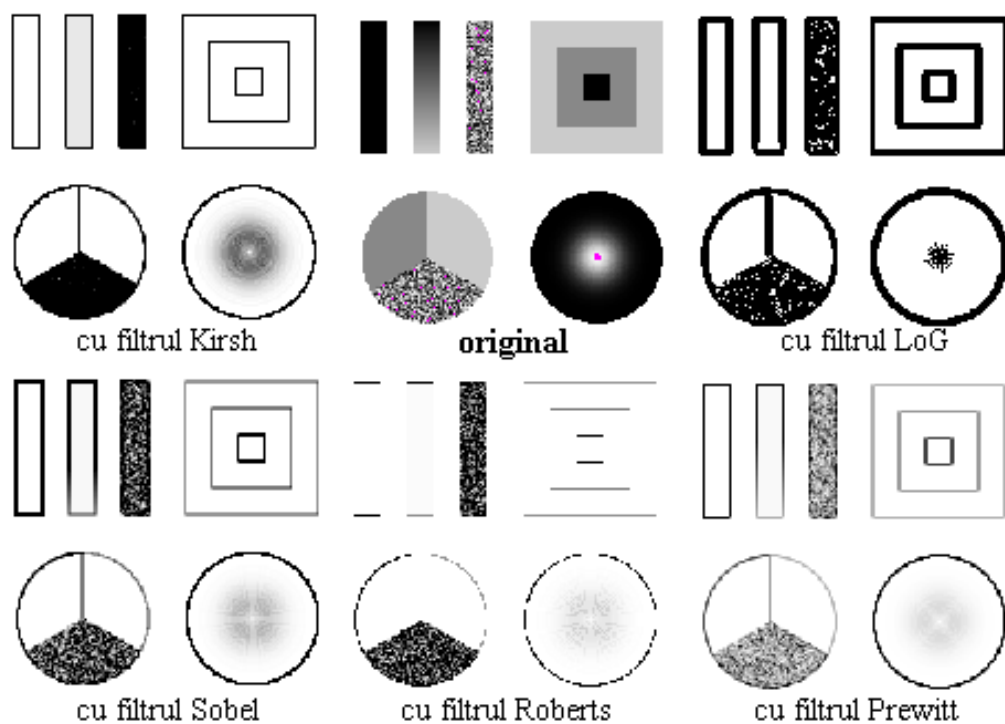


Fig. D.11 Limite detectate pentru imaginea sintetică

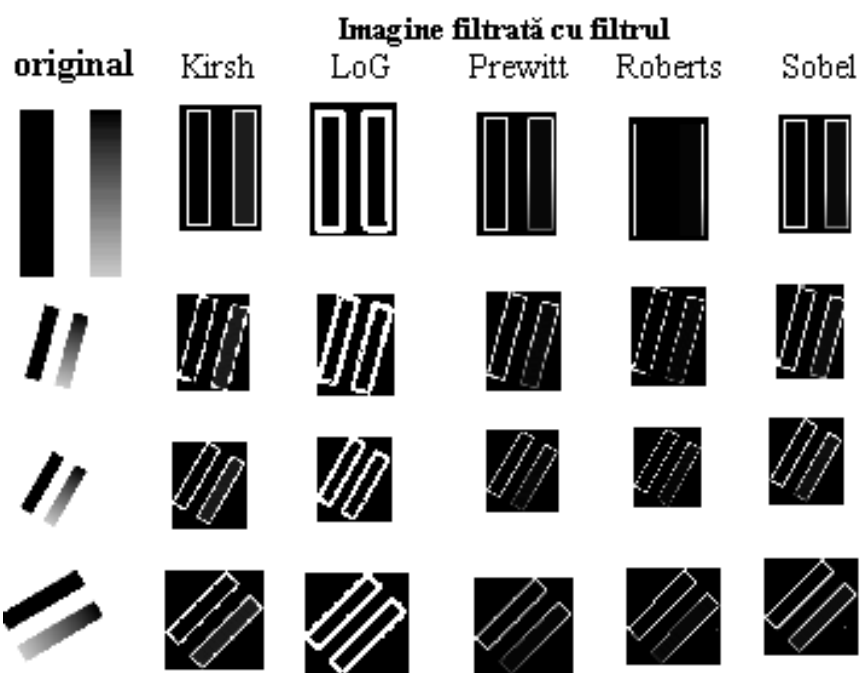


Fig. D.12 Limite detectate pentru imaginea sintetică înclinată

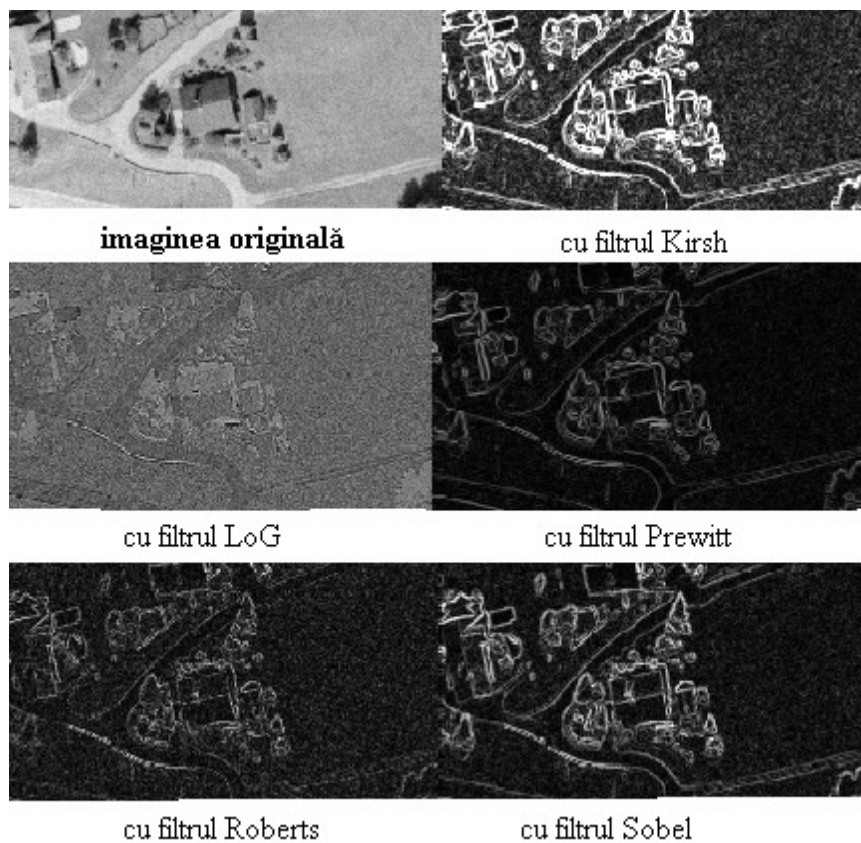


Fig. D.13 Limite detectate pentru imaginea fotografică

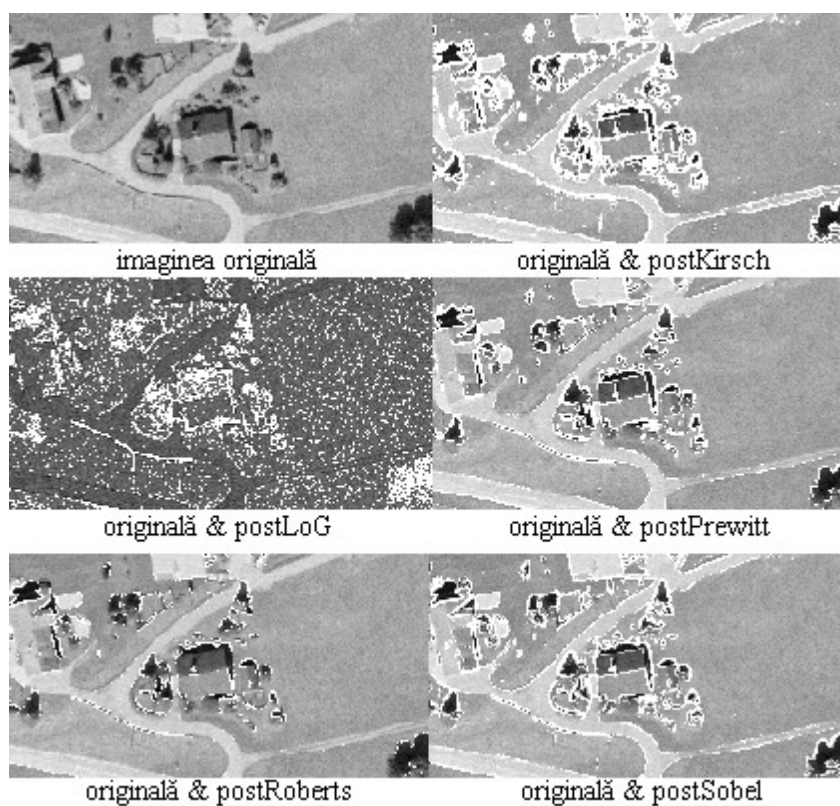


Fig. D.14 Imagini combinate din imaginea inițială și imaginea limitelor detectate cu diferite filtre

Anexa E. Exemple de produse ale SIG

a)Hărți topografice

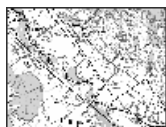


Fig. E.1 Harta topografică la scara 1:50.000

b)Planuri topografice și tematice



Fig. E.2 Planul la scara 1:15.000

c)Hărți tematice (speciale)



Fig. E.3 Harta zonelor seismice

d)Hărți derivate din modelul digital altimetric



Fig. E.4 România - harta în relief

e)Imagini

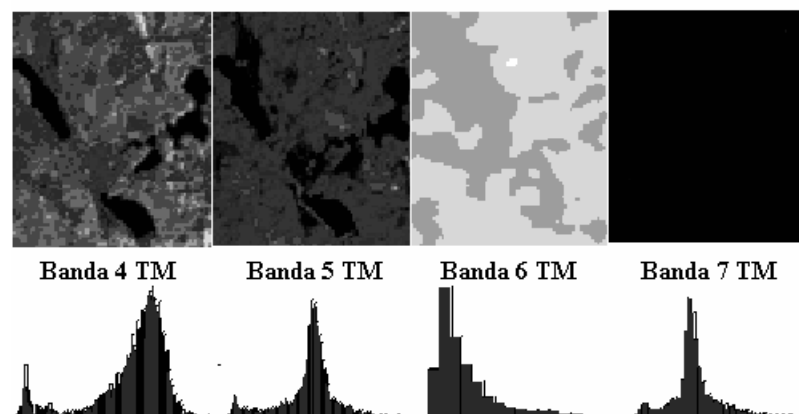


Fig. E.5 Fotograma



Fig. E.6 Stereograma

Fig. E.7 Înregistrări de teledetecție Landsat (imagini originale color, transformate)



f) Produse extrase din MDA



Fig. E.8 Curbe de nivel

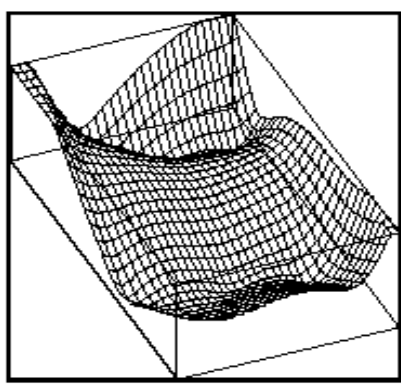


Fig. E.9 Reprezentarea perspectivă a reliefului



Fig. E.10 Imaginea umbrelor suprapusă peste imaginea 3D

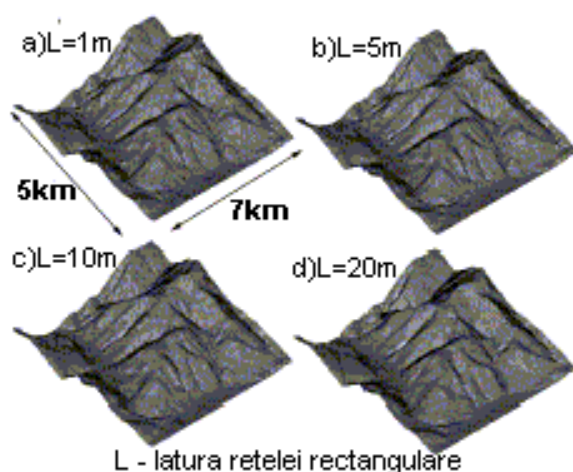


Fig. E.11 Reprezentări perspective cu parametri diferiți ai grilei (rețelei)

DOMENII DE APLICAȚII S.I.G.

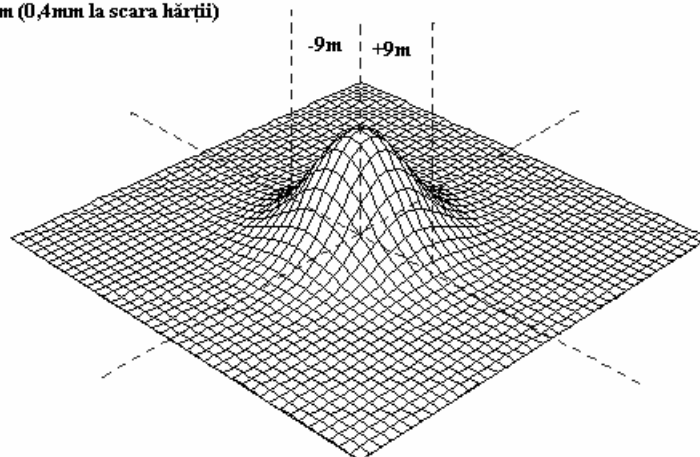


Anexa F: Probleme de precizie a datelor și produselor SIG

a) Precizia punctului și a liniei

Poziția plană probabilă a unui punct

Pentru harta la scara 1:25 000, cu un nivel de încredere de 0,05 (probabilitatea 0,95), punctul se află într-un cerc cu raza de 9m (0,4mm la scara hărții)



Poziția plană probabilă a unei curbe

Pentru harta la scara 1:25 000, cu un nivel de încredere de 0,05 (probabilitatea 0,95) poziția plană a curbei este într-o bandă la +/- 9m (0,4mm la scara hărții) față de axa curbei

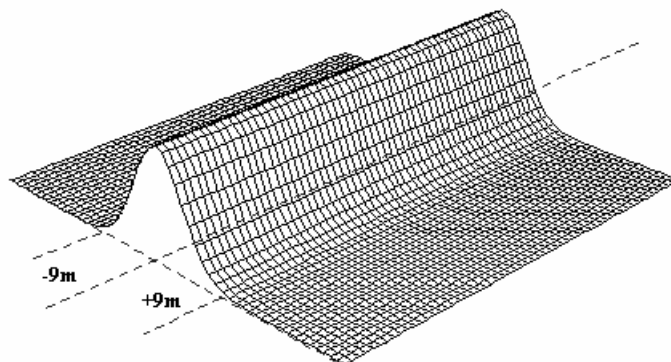
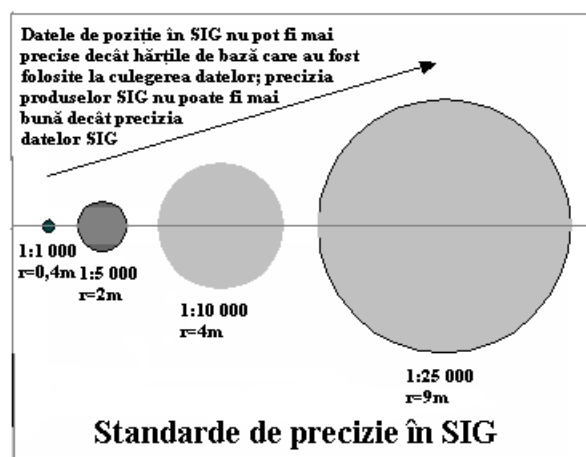
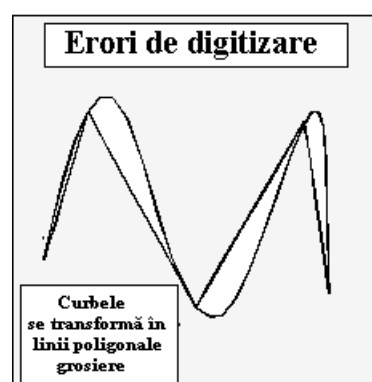
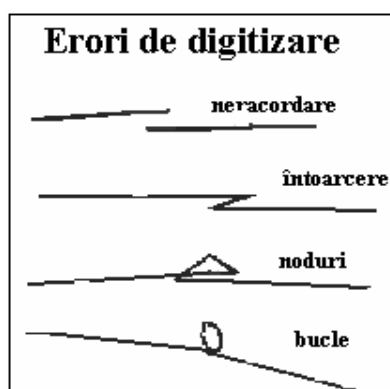


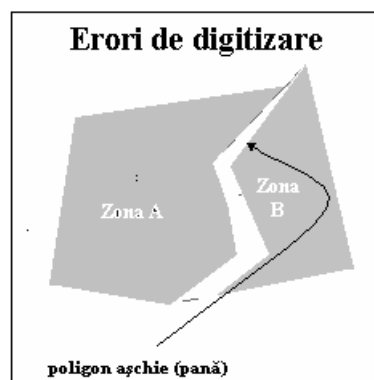
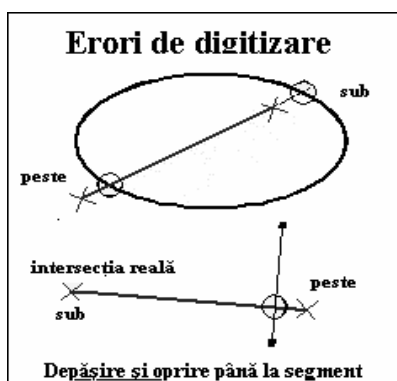
Fig. E.12 Exemple de domenii de aplicații ale SIG (nu e trecut domeniul securității naționale)

b) Standarde de precizie și propagarea erorilor

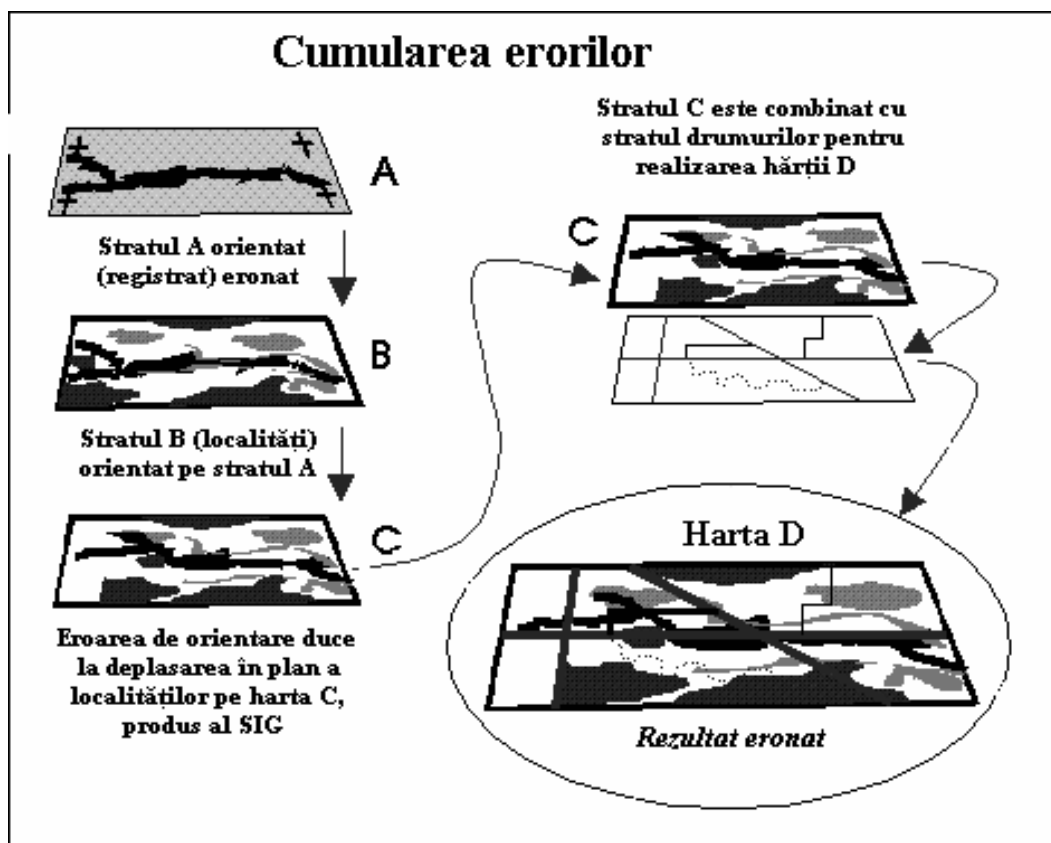


c) Erori de digitizare

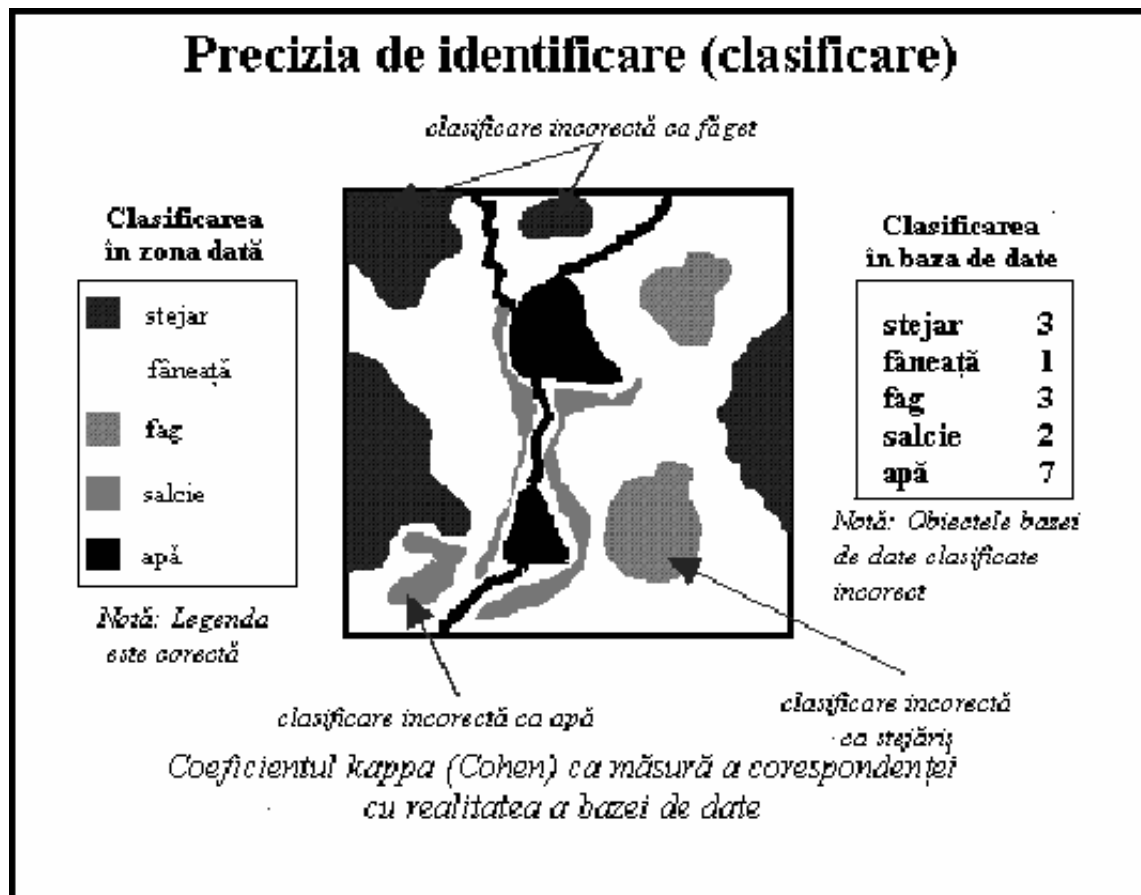




d) Cumularea erorilor



e) Erori de clasificare



Calculul coeficientului Kappa Cohen)

1. Crearea matricei de corespondență a valorilor bazei de date cu valorile clasificării reale

Notă: Pentru corespondența totală ar exista valori doar pe diagonala principală

Clasificare în BD (SIG)	Clasificare reală					Total n
	A	B	C	D	E	
A. Stejar	2	0	2	0	0	4
B. Fâneată	0	1	0	0	0	1
C. Fag	1	0	1	0	0	2
D. Salcie	0	0	0	3	1	3
E. Apă	0	0	0	0	6	6
Total m	3	1	3	2	7	16

2. Calculul valorii q

$$q = m \cdot n / N$$

A	$q_1 = 4 \cdot 3 / 16 = 0,75$
B	$q_2 = 1 \cdot 1 / 16 = 0,0625$
C	$q_3 = 2 \cdot 3 / 16 = 0,375$
D	$q_4 = 3 \cdot 2 / 16 = 0,375$
E	$q_5 = 6 \cdot 7 / 16 = 2,625$

$$\text{Total } q = 4,1875$$

3. Calculul coeficientului Kappa

$$Kappa = (d - q) / (N - q)$$

$d = 12$ (totalul valorilor de pe diagonala principală)

$N = 16$ (totalul valorilor din matrice)

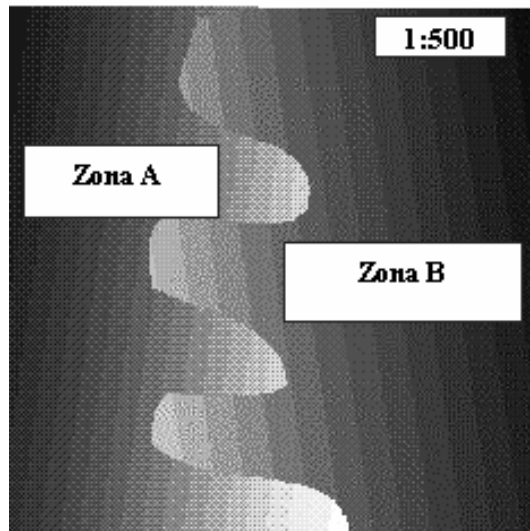
$$q = 4,2$$

$$Kappa = (12 - 4,2) / (16 - 4,2) = 0,66$$

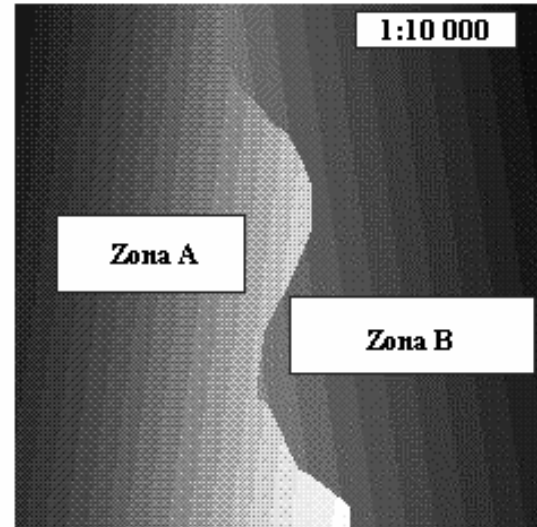
4. Cu cât Kappa este mai apropiat de 1, cu atât clasificarea este mai precisă

f) Precizia și generalizarea datelor tematice

Precizia și generalizarea datelor tematice ale SIG



Harta inițială



Harta generalizată

Limitele zonelor cu diferite tipuri de soluri sunt generalizate la realizarea SIG și a produselor obținute cu ajutorul SIG (hărților tematice); limitele zonelor sunt incerte și prin reprezentarea prin date raster și cu nuanțe gradate se arată acest lucru

Lista figurilor

- Fig. 1.1 Componentele unui sistem informațional
Fig. 1.2 Date tematice pentru aprecierea subsistemului ecologic urban
Fig. 1.3 Principiul datelor vectoriale și raster
Fig. 1.4 Structura teserală de date
Fig. 1.5 Exemplu de date raster
Fig. 1.6 Spectrul electromagnetic
Fig. 1.7 Rezoluția radiometrică
Fig. 1.8 Grilă regulată, în punctele căreia se cunosc valorile Z
Fig. 1.9 Rețea de triunghiuri oarecare (TIN)
Fig. 1.10 Elementele nod, arc și poligon ale structurii topologice
Fig. 1.11 Straturile bazei de date
Fig. 1.12 Legături date - metadate - lumea reală
Fig. 1.13 Exemplu de arhitectură a standardului de metadate
Fig. 1.14 Componentele obiectelor terenului în SIG
Fig. 1.15 Dimensiuni ale obiectelor în baza de date spațială
Fig. 1.16 Exemple de imagini ale obiectului în baza de date
Fig. 1.17 Cvatările ca obiecte agregate
Fig. 1.18 Numărul de instalări de pachete SIG
Fig. 1.19 Cele mai populare pachete SIG
Fig. 1.20 Indicii de funcționalitate a 11 pachete SIG (1996)
Fig. 1.21 Distribuția pachetelor SIG în funcție de preț (1996)
Fig. 1.22 Clasificarea a 30 pachete de programe SIG (1996)
Fig. 1.23 Tipuri de date utilizate
Fig. 1.24 Sursele de date utilizate (ce se vor utiliza)
Fig. 1.25 Caracteristici solicitate
Fig. 1.26 Precizia altimetrică
Fig. 1.27 Precizia planimetrică
Fig. 1.28 Opțiunea pentru produsele propuse
Fig. 1.29 Entități esențiale (% din utilizatori)
Fig. 1.30 Toponime solicitate (%)
Fig. 1.31 Caracteristici prioritare indicate de cei interogați (%)
Fig. 2.1 Geoiconica și SIG în sistemul disciplinelor științifice
Fig. 2.2 Sistemul geoimaginilor
Fig. 2.3 Principiul înregistrărilor radar
Fig. 2.4 Obținerea înregistrărilor multispectrale LANDSAT
Fig. 2.5 Principiul de înregistrare pe nava Endeavour
Fig. 2.6 Exemplu de schemă de prelucrare a înregistrărilor radar
Fig. 2.7 Exemplu de determinare a drumului minim
Fig. 3.1 Fereastra generalizată de căutare
Fig. 3.2 Fereastra de căutare - *ramura_din_stanga* și *ramura_din_dreapta*
Fig. 3.3 Zonele punctelor LE și RE
Fig. 3.4 Determinarea punctului FP – pozițiile lui Dp_{out}
Fig. 3.5 Actualizarea informației referitoare la laturi
Fig. 3.6 Calculul lui FP și RE în fereastra cu laturi înclinate
Fig. 3.7 Calculul lui FP și RE în fereastra integrată
Fig. 3.8 Cazul cel mai dezavantajos de configurație a laturilor

Fig. 3.9 Trei scheme de dispunere a n puncte de orientare

Fig. 3.10 Funcția LoG – a) vedere 2D și b) vedere 3D

Fig. 4.1 Sistemul Mandli RoadView/Digilog 2000

Fig. 4.2 Funcția prag teoretică

Fig. 4.3 Curba în planul complex

Fig. 4.4 Obiecte punctuale identificate (interpretate) prin metoda seriilor Fourier

Fig. 4.5 Arcul și segmentul de dreaptă

Fig. 4.6 Exemplu de descriere a unui semn convențional punctual

Fig. 4.7 Exemplificarea unor semne convenționale și inscripții recunoscute cu metoda descrisă

Fig. 4.8 Sistemul scanner OPTRONIX 5040

Fig. 4.9 Geoimage transformată prin reducerea numărului de trepte de gri

Fig. 4.10 Rezultatele geoimaginii binarizate și scheletizate (subțiate)

Fig. 4.11 Matricea 3*3 de căutare a pixelului vecin cu valoarea 1

Fig. 4.12 Reprezentarea reliefului din zona de studiu

Fig. 4.13 Reprezentarea corecțiilor coordonatelor indicilor de referință

Fig. 4.14 Corecțiile plane în punctele de bază după orientarea absolută

Fig. 4.16 Descrierea procedurii de recunoaștere a formelor bazată pe detalii

Fig. 4.17 Rezultatul recunoașterii formelor

Fig. 4.18 Forme recunoscute din diferite combinații ale canalelor

Fig. 4.19 Gruparea detaliilor liniare și a unghiurilor drepte

Fig. 4.20 Rezultatul recunoașterii liniilor (segmentelor de dreaptă

Fig. 4.22 Piramida de detectare a limitelor (de la nivelul 4 la n-1)

Fig. 4.23 Rezultatul final al detectării (nivelul final n=6)

Fig. 4.24 Rezultatele focusării pe frontieră (pentru $\sigma=3, 2$ și 1)

Fig. 4.25 Rezultatele orientării formelor pentru canalul albastru

Fig. 4.26 Soluția multirezoluție cu structura piramidală de date

Fig. 4.27 Trei canale ale imaginii color și rezultatele aplicării metodei de detectare

Fig. 5.1 Relațiile în sistemul de construcție și utilizare a hărții

Fig. 5.2 Grila 22X22 de definire a unui simbol (semn convențional)

Fig. 5.3 Înscrierea unei litere în grilă

Fig. 5.4 Exemplu de segment de semn convențional liniar înscris în grilă

Fig. 5.5 Fragment de semn convențional areal înscris în grilă

Fig. 5.6 Principiul reprezentării simbolurilor areale

Fig. 5.7 Exemplu de obiect areal și fragmentul cu care s-a realizat

Fig. 5.8 Câteva tipuri de semne convenționale ce pot fi personalizate de utilizatori

Fig. 5.9 Parametrii de descriere pentru un semn areal

Fig. 5.10 Fragment al meniului cu semne convenționale și inscripții

Fig. 5.11 Exemplu de reprezentare în proiecția conică Lambert

Fig. 5.12 Modelele de umplere a zonelor cu comanda (procedura) FILL (umplere)

Fig. 5.13 Punctele caracteristice cărora li se determină inițial cota

Fig. 5.14 Punctele unei grile cărora li se determină cotele prin interpolare

Fig. 5.15 Structuri de date altitudinale

Fig. 5.16 Vecinii în structura grilă și direcțiile posibile de curgere

Fig. 5.17 Orientarea triunghiului

Fig. 5.18 Traseul de curgere pe fațeta triunghiului

Fig. 5.19 Curgerea spre o latură și curgerea în afară prin două laturi

Fig. 5.20 Scurgerea din afară spre două laturi și în afară printr-o latură

Fig. 5.21 Segment de talveg

Fig. 5.22 Segment de linie de creastă

Fig. 5.23 Curgerea pe fațete
 Fig. 5.24 Triangulația Delaunay și graful Voronoi
 Fig. 5.25 Vecinii în structura Voronoi și traseele posibile de curgere
 Fig. 5.26 Valori posibile pentru k_t
 Fig. 5.27 Buclă și început de talveg
 Fig. 5.28 Cazurile posibile ale primului nod al unui talveg
 Fig. 5.29 Rețeaua de drenare rezultată după metoda SMN
 Fig. 5.30 Principiul reprezentării prin hașurare
 Fig. 5.31 Iluminarea unui segment de profil
 Fig. 5.32 Principiul generării celor trei culori
 Fig. 5.33 Imaginea umbrelor suprapusă peste imaginea 3D în plan
 Fig. 5.34 Fereastra programului de generare a imaginii umbrelor
 Fig. 5.35 Schema de principiu a realizării și utilizării bazei de date cadastrale
 Fig. 5.36 Noi liste posibile în baza de date cadastrale
 Fig. 5.37 Mijloace de navigație în marină
 Fig. B.1 Reprezentarea plană și perspectivă a izocurbelor corecțiilor pe direcția OX pentru tripletul 2613, 2614 și 2615
 Fig. B.2 Reprezentarea plană și perspectivă a izocurbelor corecțiilor pe direcția OY pentru tripletul 2613, 2614 și 2615
 Fig. B.3 Reprezentarea plană și perspectivă a izocurbelor corecțiilor pe direcția OZ pentru tripletul 2613, 2614 și 2615
 Fig. C.1 Inscricții suprapuse și nesuprapuse
 Fig. C.2 Deplasarea obiectelor
 Fig. C.4 Generarea semnului convențional de pod
 Fig. C.5 Alinierea caselor
 Fig. C.6 Trei obiecte areale
 Fig. C.7 Obiect areal unificat
 Fig. C.8 Obiecte areale distincte, reprezentare unificată
 Fig. C.9 Obiecte areale distincte, un obiect selectat
 Fig. C.10 Obiectul final cu altă reprezentare
 Fig. D.1 Subzonele zonei de testare
 Fig. D.2 Folosința terenului
 Fig. D.3 Tipuri de sol
 Fig. D.4 Adaptarea terenului pentru zone agroforestiere
 Fig. D.5 Terenul pentru culturi bazate pe precipitații
 Fig. D.6 Folosirea optimă a terenului
 Fig. D.7 Hazardul la eroziune
 Fig. D.8 Folosirea terenului în întreaga zonă de studiu
 Fig. D.9 Fereastra de lucru a modulului Express al sistemului ERDAS Imagine, cu care au fost realizate unele produse
 Fig. D.10 Imaginile inițiale: a) sintetică (256x256) și b) fotografică (512x512)
 Fig. D.11 Limite detectate pentru imaginea sintetică
 Fig. D.12 Limite detectate pentru imaginea sintetică înclinată
 Fig. D.13 Limitele detectate pentru imaginea fotografică
 Fig. D.14 Imagini combinate din imaginea inițială și imaginea limitelor detectate cu diferite filtre
 Fig. E.1 Harta topografică la scara 1:50.000
 Fig. E.2 Planul la scara 1:15.000
 Fig. E.3 Harta zonelor seismice

- Fig. E.4 România - harta în relief
- Fig. E.5 Fotograma
- Fig. E.6 Stereograma
- Fig. E.7 Înregistrări de teledetecție Landsat
- Fig. E.8 Curbe de nivel
- Fig. E.9 Reprezentarea perspectivă a reliefului
- Fig. E.10 Imaginea umbrelor suprapusă peste imaginea 3D
- Fig. E.11 Reprezentări perspective cu parametri diferiți ai grilei (rețelei)
- Fig. E.12 Exemple de domenii de aplicații ale SIG

Lista formulelor

- 1.1 - Spațiul n-dimensional S_n
- 1.2 - Procesul de reprezentare ca funcție F la momentul t
- 1.3 - Adresa teserală ca funcție
- 1.4 - Funcțiile adresă de nivel k
- 1.5 - Ridicarea funcției adresă la rangul următor
- 1.6 - Rezoluția spațială $R_{m/per.linii}$
- 1.7 - Rezoluția spațială $R_{per.linii/m}$
- 1.8 - Funcția parametrică ce exprimă suprafața
- 1.9 - Relațiile topologice
- 1.10 - Numărul total de accese la articolele logice într-o structură topologică
- 1.11 - Coeficientul de concordanță
- 3.1 - Coeficientul de corelație al lui Pearson
- 3.2 - Norma D în spațiul S_n
- 3.3 - Cantitatea de informație H
- 3.4 - Entropia relativă H_{io}
- 3.5 - Redundanța R
- 3.6 - Conținutul informațional al unei zone de teren
- 3.7 - Coeficientul real de generalizare β_{ij}
- 3.8 - Coeficientul virtual de generalizare β_{ij}^{\sim}
- 3.9 - Raportul generalizării cartografice optime
- 3.10 - Cuvintele de cod S
- 3.11 - Combinările cu repetiție N
- 3.12 - Timpul de căutare în spațiul 2D
- 3.13 - Timpul de căutare în spațiul 2D
- 3.14 - Timpul de căutare în spațiul nD
- 3.15 - Timpul de căutare în spațiul nD
- 3.16 - Timpul de căutare în spațiul nD
- 3.17 - Coeficientul Kohen K
- 3.18 - Numărul de clasificări corecte d
- 3.19 - Proportia clasificărilor corecte
- 3.20 - Funcțiile polinomiale de transformare
- 3.21 - Modelul statistic al transformării cu funcții polinomiale
- 3.22 - Vectorul valorilor măsurate
- 3.23 - Condiția de nul
- 3.24 - Valoarea corecțiilor V_{kl}
- 3.25 - Distorsiile vectorului U_{kl}
- 3.26 - Matricea de covarianță K_u
- 3.27 - Matricea A_{ξ}
- 3.28 - Matricea de covarianță K_v
- 3.29 - Valoarea dispersiei erorii reziduale pentru un punct
- 3.30 - Modelul predicției
- 3.31 - Termenul curent δ_h al vectorului
- 3.32 - Matricea $A_{p\xi}$ cu toți vectorii δ_h
- 3.33 - Erorile reziduale V_2 cauzate de δU_2
- 3.34 - Matricea $G_{u\xi}$ a modelului de predicție
- 3.35 - Discordanțele în fiecare punct
- 3.36 - Operațiunea de prelucrare punctuală asupra unei imagini

- 3.37 - Operațiunea de prelucrare punctuală asupra a două imagini
- 3.38 - Relațiile operatorului Roberts
- 3.39 - Măștile operatorului Roberts
- 3.40 - Măștile operatorului Prewitt
- 3.41 - Măștile operatorului Sobel
- 3.42 - Transformările de convoluție
- 3.43 - Diametrul cercului interior definit pentru filtrul LoG
- 3.44 - Măștile operatorului Kirsch
- 4.1 - Primele trei momente ale probei de selecție ideale
- 4.2 - Momentul de selecție
- 4.3 - Numărul k de probe de sub prag
- 4.4 - Oblicitatea c a datelor
- 4.5 - Expresia dispersiei σ^2
- 4.6 - Convoluția pentru modelarea cantității măsurate
- 4.7 - Convoluția
- 4.8 - Ecuația de condiție liniarizată
- 4.9 - Funcția $F_{ij}(x)$
- 4.10 - Modelul ideal ca semnal unidimensional
- 4.11 - Forma unidimensională a convoluției
- 4.12 - Curba de contur sub formă de valoare complexă
- 4.13 - Funcția de contur ca serie Fourier
- 4.14 - Coeficienții seriei Fourier după modificarea punctului de start
- 4.15 - Funcția de contur ca serie Fourier
- 4.16 - Coeficienții a_n și b_n ai seriei Fourier
- 4.17 - Coeficienții a_n și b_n prin integrare numerică
- 4.18 - Coeficienții c_n generalizați ai seriei Fourier
- 4.19 - Incrementul de discretizare a curbei
- 4.20 - Termenul c_0 al seriei Fourier
- 4.21 - Funcția de apartenență la segmentul de dreaptă
- 4.22 - Funcțiile de apartenență la segmentele orizontal sau vertical
- 4.23 - Funcția de apartenență segmentele oblice
- 4.24 - Funcția de apartenență la clasa curbilor orizontale
- 4.25 - Relația fuzzy R
- 4.26 - Proprietățile relației fuzzy
- 4.27 - Vectorul distanțelor radiale
- 4.28 - Vectorul distanțelor radiale
- 4.29 - Vectorul distanțelor radiale
- 4.30 - Funcția de similaritate fuzzy
- 4.31 - Vectorul distanțelor radiale
- 4.32 - Valorile de similaritate fuzzy
- 4.33 - Vectorul distanțelor radiale
- 4.34 - Condiția de apartenență la obiectele punctuale
- 4.35 - Filtre complementare L și H pentru tendință și abateri
- 4.36 - Schema de reconstrucție cu Filtre Oglină Cuadrice
- 4.37 - Operatorul bazat pe prima derivată a gausienei
- 5.1 - Regulile sau producțiile gramaticii G
- 5.2 - Interpolarea cotei din cotele a două curbe de nivel vecine
- 5.3 - Interpolarea cotei din cotele a n puncte vecine
- 5.4 - Determinarea punctului de pe direcția de (s)curgere

- 5.5 - Vecinătatea de 8 noduri
- 5.6 - Numărul de conectări la 4 vecini
- 5.7 - Numărul de încrucișări într-o vecinătate octală
- 5.8 - Radianța R
- 5.9 - Radianța R pentru cazul RGB

Lista tabelelor

- Tabelul 1.1 *Câteva funcții de analiză ale lui ARC/INFO*
Tabelul 1.2 *Rezoluția imaginilor de teledetecție*
Tabelul 1.3 *Statisticile ce descriu grupele principale ale operațiunilor SIG*
Tabelul 1.4 *Tabelul de concordanță a operațiunilor*
Tabelul 1.5 *Comparația pachetelor SIG cu peste 1 000 de instalări*
Tabelul 2.1 *Sisteme satelitare operaționale*
Tabelul 2.2 *Caracteristici ale sateliților comerciali*
Tabelul 2.3 *Caracteristicile unor sisteme fotogrammetrice digitale*
Tabelul 2.4 *Produse realizate cu sistemul*
Tabelul 2.5 *Limbaje și linii de cod sursă (în mii) pentru modulele sistemului*
Tabelul 3.1 *Populația localităților unei zone geografice*
Tabelul 3.2 *Valorile parametrilor pentru metoda progresiei geometrice*
Tabelul 3.3 *Parametrii metodelor de clasificare*
Tabelul 3.4 *Valorile cantității de informație pentru hărți*
Tabelul 3.5 *Valorile matricei Q_{ξ} și ale dispersiei pentru cele 3 scheme*
Tabelul 3.6 *Valorile termenilor matricei $G_{u\xi}$ pentru termenii neconsiderați*
Tabelul 4.1 *Câteva sisteme de vectorizare*
Tabelul 4.2 *Determinarea pragului cu date simulate*
Tabelul 4.3 *Definițiile lingvistice ale obiectivelor punctuale*
Tabelul 4.4 *Scanere fotogrammetrice*
Tabelul A1 *Funcțiile unor programe SIG*
Tabelul A2 *Lista pachetelor de programe SIG sau utilizate în SIG, existente în EUROPA până în anul 1999 (fără cele de analiză statistică)*
Tabelul A3 *Module de programe ale pachetului IDRISI și funcții ale acestora*
Tabelul A4 *Sisteme de programe lansate în anul 2.000 și utilizate în SIG*
Tabelul A5 *Comenzile de cartografiere acceptate de programul Microcam*
Tabelul A6 *Lista funcțiilor cartografice de evaluat la proiectarea unui SIG cadastral*

Glosar de termeni SIG

acoperire – o mulțime de date spațiale și nespațiale pe o anumită temă (v. strat)

aerofotogrammetrie – exploatarea fotografiilor suprafeței terestre obținute din avion în vederea cartării, în prospecțiuni și în cercetări științifice din diverse domenii de activitate

afișare – prezentare a informației într-o formă lizibilă pentru un utilizator și modificabilă la acțiunea acestuia sau a calculatorului electronic

agregare – grupare a datelor spațiale și atributive distincte

albedo – raportul dintre cantitatea de energie electromagnetică reflectată de o suprafață și cantitatea de energie electromagnetică incidentă

algebră a hărții – mulțime de operațiuni definite pe mulțimi de date spațiale pentru analiza și sinteza informației spațiale

algorithm – succesiune de operațiuni (instrucțiuni) pentru a ajunge la un anumit rezultat

AML (Arc Macro Language) – macrolimbaj al sistemului de programe Arc/Info

analiză a conectivității – analiză în SIG care determină ce detalii dintr-o mulțime sunt interconectate

analiză a contiguității – determinare a vecinătăților

analiză a formelor – analiză statistică a unităților sau valorilor observate pentru a determina grupările pentru clasificarea nesupervizată sau gradul de încredere pentru clasificarea supervizată

analiză a rețelei – mulțime de operațiuni pentru analiza sistemelor reprezentate printr-o rețea (analiza fluxului maxim, determinarea drumului optim, alocarea resurselor etc.)

analiză a vecinătății – analiză a relațiilor dintre un obiect și obiectele vecine

arc – succesiunea vârfurilor dintre două noduri

arhivare – stocare a datelor pe suport multimedia permanent pentru păstrare sigură și protejată

aspect (al suprafeței) – gradient sau azimut al direcției pantei maxime

atribut – informație descriptivă sau numerică asociată unui detaliu geografic

bancă de date – mulțime organizată de date

bandă – 1) interval al lungimii de undă sau frecvenței undelor electromagnetice;
2) succesiune de fotograme sau alte înregistrări cu acoperire longitudinală determinată

bază de date SIG – colecție organizată de date SIG

bază de date SIG distribuită – bază de date în care diferite mulțimi de date sunt stocate în diferite servere (noduri) ale rețelei de calculatoare ale SIG

bază de date SIG relațională – bază de date SIG unde datele sunt organizate pe liste și relațiile dintre date sunt relevate prin relațiile dintre elementele fiecărei liste și relațiile dintre liste

belief – ipoteză despre un proces sau o situație (în inteligența artificială – IA)

bibliotecă de hărți – bază de date cartografice destinată pentru memorarea și manipularea mai multor hărți numerice sau analogice

canal – v. **bandă**

cartografie – știință și sistem integrat de discipline ce studiază modul de realizare a hărților și a altor produse cartografice multimedia

celulă – pixel (picture element)

centroid – centru de greutate al unui poligon

clasă de obiecte – mulțime de obiecte cu anumite caracteristici (attribute) comune

clasificare – 1) împărțire a unei mulțimi în clase după caracteristici comune; 2) procesul de asignare a pixelilor unei imagini diferitelor clase după reflectanța spectrală (nesupervizată – automată; supervizată – interactivă)

CLIOSAT – atlas al parametrilor marini și meteorologici bazat numai pe înregistrări satelitare

cod al detaliului (obiectului) – un șir de caractere alfanumerice sau o pictogramă ce reprezintă o categorie de obiecte ale bazei de date SIG (corect cuvânt de cod)

COGO (coordinate geometry) – modul al programelor SIG pentru calcule topografice

coordonate geodezice – coordonate într-un sistem geodezic de referință

corectare a imaginii – procesare preliminară geometrică și radiometrică a unei imagini, pentru înlăturarea erorilor sistematice și compensarea erorilor aleatoare

coridor – zonă tampon pentru un detaliu liniar

CORINE – sistem informațional pentru analiza situației mediului în Europa

culegere a datelor – achiziționare a datelor într-un format acceptat de calculator

cursor – 1) dispozitiv de urmărire și vizare al digitizorului vectorial; 2) marcă pe ecran a cărei deplasare e comandată prin intermediul locatorului (de exemplu mouse)

date de tip grilă – secvență de valori ce reprezintă o mărime $z=f(x,y)$, o valoare fiind atribuită unui nod al unei grile

date raster – secvență de valori ce reprezintă o mărime $z=f(x,y)$, o valoare fiind atribuită unui element regulat de suprafață, denumit pixel

date teserale – secvență de valori ce reprezintă o mărime z , valorile fiind atribuite unor areale regulate sau neregulate ale unei suprafețe

date vectoriale – date ce conțin valorile coordonatelor unor puncte succesive ale unor curbe, puncte ce sunt într-o relație implicită de ordine pe fiecare curbă; în general pot reprezenta detalii (obiecte) liniare, areale și punctuale

datum (geodezic) – mulțime de date utilizate în calculele geodezice, ce descriu modelul Pământului

detaliu – 1) un obiect sau fenomen al lumii reale, cu caracteristici distincte; 2) un obiect al hărții, imaginii sau bazei de date SIG, cu caracteristici distincte

detaliu artificial – detaliu rezultat din activitatea umană

digital - numeric, reprezentat prin cifre

digitizare – conversie a informației analogice în date numerice (vectoriale sau raster)

digitizare în orb – digitizare fără ecou grafic pe un ecran

digitizor – periferic pentru digitizare (vectorială), dispozitiv ce transformă o reprezentare grafică în date numerice

dizolvare – agregare a poligoanelor vecine pe baza unor atribute comune

DTED (Digital Terrain Elevation Data) – date digitale (numerice) altitudinale

egalizare a histogramei – procedură de îmbunătățire a contrastului unei imagini

entitate – 1) în cartografie, un fenomen indivizibil al lumii reale; 2) în SIG, un obiect și atributele sale

ERS – sateliți de teledetecție lansați de agenția europeană ESA

export (import) al datelor – procesul de transferare a datelor de la un calculator sau de la un program la altul, într-un anumit format și pe un anumit suport

filtrare – proces selectiv de recalculare a frecvențelor spectrale și spațiale pentru sublinierea sau îmbunătățirea detaliilor unei imagini

fișier - colecție organizată de înregistrări, dispuse pe unul sau mai multe suporturi externe de memorie

format – modul de aranjare a datelor într-un fișier

fotogramă – fotografie obținută cu camere speciale, metrică, perspectivă centrală riguroasă, cu elementele de orientare interioară cunoscute

fotogrammetrie – știință aplicată care se ocupă cu studierea principiilor, metodelor și procedurilor de determinare a formei și a dimensiunilor obiectelor pe baza fotogramelor

fotohartă – fotoplan prelucrat, căruia i se adaugă caroiul rectangular, curbe de nivel, semne convenționale pentru unele detalii importante (șosele, construcții, poduri etc.)

fotoplan – plan întocmit prin procesul fotoredresării, din asamblarea fotogramelor redresate, în care detaliile topografice sunt reprezentate prin imaginea lor fotografică

frontieră – limită a unui detaliu areal sau volumetric

generalizare – procesul de simplificare a conținutului tematic și geometric al unui produs cartografic sau al unei baze de date SIG

geocodare – procesul de asignare a pozițiilor geodezice (geografice) obiectelor

geoprosesare – procesare (prelucrare) a datelor geocodate (referite geografic)

GEOSAT – sistem de sateliți geodezici lansați de marina militară a S.U.A.

GPS (Global Positioning System) – sistem satelitar de poziționare globală, respectiv de determinare a coordonatelor geodezice (geografice) cu un anumit receptor mobil

hardcopy – imagine reprezentată pe un suport stabil (hârtie, folie transparentă etc.)

hardware – circuitele, dispozitivele și echipamentele unui sistem de calcul; unitățile fizice existente în cadrul unui sistem de calcul

hartă – reprezentare în plan a suprafeței terestre sau a unei părți din aceasta, generalizată și micșorată conform unei scări date

hartă batimetrică – hartă a reliefului fundului zonelor acvatice

hartă compusă – hartă rezultată din compunerea altor hărți sau din compunerea unor straturi sau "acoperiri" de date cartografice

hartă digitală – colecție de date cartografice digitale pentru un domeniu geografic dat

histogramă – 1) funcție a valorilor datelor de frecvența de apariție a acestor valori; 2) reprezentare grafică a acestei funcții; 3) diagramă a frecvenței

IGIS – sistem integrat de programe pentru SIG realizat de firma Laser-scan Ltd

image compusă în culori – imagine în culori obținută din compunerea aditivă a imaginilor separate monocrome de culorile roșu, verde și albastru (RGB)

image digitală – înregistrare codificată numeric cu valorile reflectanței spectrale sau ale intensității emise pentru un obiect sau o zonă

image fals-color – image compusă în culori, dar atribuind altă culoare unei imagini monocrome în locul celei de bază

infraroșu – domeniu al spectrului electromagnetic între roșu și microunde; împărțit în infraroșu apropiat (0,7-1,3 μm), infraroșu mediu (1,3-3,0 μm) și infraroșu termic (3,0-14,0 μm)

INMARSAT – sistem de sateliți de comunicație maritimă

insulă – un poligon în alt poligon, fără frontiere comune (în topologie)

izocurbă (izolinie) – curbă de aceeași valoare (curbă de nivel, izobară, izotermă etc.)

îmbunătățire a contrastului – procedură de procesare a imaginii ce presupune ca un interval îngust al valorilor pixelilor să fie mărit la un număr mai mare de trepte (mărire a rezoluției radiometrice)

îmbunătățire a liniilor – procedură de procesare a imaginii ce duce la evidențierea detaliilor liniare și a frontierelor detaliilor areale

lanț – succesiune de arce într-un graf

LPOO – limbaj de programare orientat pe obiecte

lungime de undă – distanța dintre abscisele a două valori succesive maxime ale unei unde

MARS – program european de teledetecție pentru agricultură

MDA – model digital altimetric

MDOO – modelare a datelor orientată pe obiecte

MDT – model digital al terenului

memorie – echipament sau subsistem aparținând unui sistem de calcul, cu rolul de a înregistra și păstra informația

METEOSAT – program de sateliți meteorologici geostaționari operat de EUMETSAT

MGE (Modular GIS Environment) – mediu modular (de programe) pentru SIG, al firmei Intergraph

MNT – model numeric al terenului

modelare cartografică – procesul de generare a hărților și a altor modele cartografice

NDVI – index normalizat al diferenței de vegetație, ce arată vigoarea vegetației, calculat din benzile în vizibil și în infraroșu apropiat (procedură în programele IDRISI)

nod – 1) punct inițial sau final al unui arc; 2) element al unui arbore; 3) element al unei rețele (grile); calculator al unei rețele

obiect – 1) în cartografie, o reprezentare digitală a unei entități; 2) în baza de date orientată pe obiecte, primitivă care combină proprietățile și procedurile datelor; 3) în baza de date relațională, un fenomen caracterizat de o mulțime de atribute

obiect areal – obiect al hărții sau al bazei de date SIG reprezentat prin coordonatele punctelor succesive ale unei curbe contur, ale punctelor conturilor unor insule și un cod numeric sau cod imagine al clasei

obiect complex – obiect ce poate fi descompus în alte obiecte

obiect liniar – obiect al hărții sau al bazei de date SIG reprezentat prin coordonatele punctelor succesive ale unei curbe și un cod numeric al clasei

obiect punctual – obiect al hărții sau al bazei de date SIG, a cărei poziție este reprezentată prin coordonatele unui punct și natura obiectului de un cod numeric sau cod imagine al clasei

pancromatic – interval al spectrului reprezentat în nivele de gri de la negru la alb

pixel – element al imaginii, de formă și dimensiuni alese (celulă teserală); de regulă cu formă pătrată sau dreptunghiulară

ploter – periferic pentru obținerea reprezentărilor hardcopy

poligon – clasă de obiecte spațiale cu arie și perimetru diferite de zero, care reprezintă un areal cu aceleași atribute

poligon complex – poligon cu mai multe insule (în sens topologic)

potrivire a curbei – generare a unei curbe care să treacă prin punctele (critice) date

procesare a imaginii – aplicare a procedurilor de prelucrare a unei imagini în vederea analizei și vizualizării acesteia

punct de reper – punct cu poziția cunoscută într-un sistem de coordonate ales

punct de vedere – poziție a unui observator imaginar care vede o reprezentare perspectivă 2D a unui obiect 3D

puncte critice – puncte strict necesare pentru reprezentarea unui detaliu (liniar)

radiație electromagnetică – energie propagată prin spațiu sau prin materie, sub forma interacțiunii dintre câmpurile electric și magnetic

recunoaștere a formelor – procesul de clasificare a obiectelor în clase discrete pe baza comparațiilor cu membrii altor clase sau pe baza valorilor predefinite ale caracteristicilor

reeșantionare – interpolare a valorilor pixelilor unei imagini în noile poziții ale pixelilor transformați, ce coincid, de regulă, cu rețeaua după georeferențiere

registrație – orientare reciprocă a două reprezentări digitale în vederea suprapunerii sau combinării lor

rezoluție – 1) caracteristică de a distinge două obiecte apropiate pe o fotografie, exprimată ca număr de perechi de linii pe unitatea de lungime; 2) caracteristică a fineții unei imagini (**spațială**, dată de dimensiunile unui pixel; **spectrală**, dată de intervalul din spectrul electromagnetic al benzii; **radiometrică**, dată de numărul de trepte sau nivele de gri; **temporală**, dată de intervalul de timp între două imagini succesive ale aceleiași zone, în banda dată)

SAS – sistem de analiză spațială

scală de gri – secvență de nuanțe de gri ale unei imagini, de la negru la alb (pentru simplificarea prelucrării numărul de trepte este o putere a lui 2, de exemplu 256)

scanare (baleiere) – transformare a imaginii analogice în date numerice raster

scaner – 1) periferic ce transformă o imagine analogică în imagine numerică (date raster); 2) sistem de înregistrare a radiației electromagnetice în teledetecție, montat pe un satelit sau pe un avion

scaner hiperspectral – tip special de scaner multispectral care înregistrează intervale foarte fine din spectrul electromagnetic

scaner multispectral – scaner ce înregistrează mai multe intervale sau benzi ale spectrului electromagnetic

SDOO – structură de date orientată pe obiecte

selecție spațială – selecție a detaliilor după criterii de localizare geografică

semnătură (signatură) spectrală – o înregistrare a distribuției spectrale și intensității energiei reflectate sau emise de un obiect sau de o clasă de obiecte, prin care acestea pot fi identificate

sensor – echipament care detectează radiația electromagnetică într-un anumit interval al lungimii de undă și o convertește într-un semnal digital ce poate fi înregistrat și transmis

SGBD(R) – sisteme de gestiune a bazelor de date (relaționale)

SIG – sistem informațional geografic sau ansamblu de fluxuri și circuite informaționale organizate într-o concepție unitară, care are ca intrări și ieșiri datele și informațiile geografice și deciziile de acțiune asupra mediului geografic

SIS – sistem informațional spațial (include și SIG și SIT)

sistem activ – sistem de teledetecție ce emite, culege și retransmite radiația electromagnetică reflectată de suprafața Pământului

sistem pasiv – sistem de teledetecție ce culege și retransmite radiația electromagnetică reflectată sau emisă de suprafața Pământului

SIT – sistem informațional al teritoriului

software – totalitatea programelor cu care este dotat un sistem de calcul

spectru electromagnetic – radiația electromagnetică ordonată după lungimea de undă, de la undele cosmice de lungimi mici la undele radio de lungimi foarte mari

SPOT – sistem francez de sateliți pentru studiul resurselor terestre

stație terestră de recepție – stație fixă ce recepționează înregistrările transmise de sateliții de teledetecție

stocare – păstrare a unei informații într-o memorie

strat – o submulțime a datelor spațiale corespunzătoare detaliilor unei anumite teme

structură a datelor – organizare a tipurilor de date în vederea unei regăsiri eficiente

suprafață complexă – suprafață ce nu poate fi descrisă de o funcție determinată

suprafață statistică – o suprafață descrisă de o lege a unei distribuții probabilistice

teledetecție – știință și ansamblu de proceduri de culegere, prelucrare și interpretare a imaginilor ce înregistrează interacțiunea dintre energia electromagnetică și materie

TIN – modul al programelor SIG pentru modelarea altimetrică (rețea de triunghiuri oarecare)

topologie – 1) relație între obiectele geometrice ce rămâne neschimbată în urma oricărei transformări contigui a spațiului; 2) relație spațială între obiectele unei baze de date spațiale; 3) codificare explicită a relațiilor spațiale dintre elementele hărții

transformare geometrică – transformare a valorilor ce determină poziția unui punct sau a unui pixel sau a valorilor altor atribute geometrice ale detaliilor

ultraviolet – interval al spectrului electromagnetic ($0,01 - 0,4\mu\text{m}$)

vârf – orice punct curent al unui arc sau al unui detaliu (obiect) liniar (vertex)

vectorizare – conversie a datelor spațiale din orice structură (de regulă din structura raster) în structură de date vectoriale

vedere pseudoscopică – inversare a efectului stereoscopic normal, dealurile apărând ca văi și văile ca dealuri

vizibil – interval al spectrului electromagnetic ce poate fi sesizat și de ochiul uman ($0,4 - 0,7\mu\text{m}$)

zonă buffer (tampon) – 1) areal în jurul unui detaliu geografic dat; 2) zonă de memorie rezervată pentru stocarea provizorie a unor valori

BIBLIOGRAFIE

- Abbel, D.J. , Wilson, M.A. (1990).** A system approach to integration of raster and vector data and operations. Proc. of the 4th Int. Symposium on spatial data handling, Zurich, 2:559-566
- Abner, A. et al (1991).** High precision geocoding of spaceborne remote sensing data of high-relief terrain. Auto Carto Annual Convention, Baltimore, Maryland, 4:183-192
- Adobe Systems Inc. (1990).** *Postscript Languages Reference Manual 2nd Edition*. Addison Wesley
- Adobe Systems Inc. (1997).** *Portable Document Format Reference Manual, Version 1.2*. Available from www.adobe.com
- American Society of Photogrammetry and Remote Sensing (1983).** Manual of remote sensing, Sheridan Press, Vol. 1 and 2
- Anselin, L. (1989).** What is special about spatial data – alternative perspectives on spatial data analysis. NCGIA, Sanza Barbara, California
- Baltsavias, E.P. (1991).** Multiphoto Geometrically Constrained Matching, Institut für Geodäsie und Photogrammetrie, an der Eidgenössischen Technischen Hochschule Zürich, Mitteilungen Nr. 49, 221 p.
- Baltavias, B. et al (1995).** Using of DTMs/DSMs on ortoimages to support building extraction. Proc. of Int. Workshop "Automatic extraction of man-made objects from aerial and space images", 24-28 April, Askona, Biskhauser Verlag, Basel
- Baumgardner, F. (1988).** A global soils and terrain digital database. In: Building databases for global science. London, Taylor and Francis. pp. 171-181
- Bernard, C. (1990).** The SPOT satellite system and defence applications. In: defence and technology international, no. 2, sept. 1990, pp. 41-46
- Bickmore, P. (1988).** World digital database for environmental sciences (WDDes). In: Building databases for global science. London, Taylor and Francis, pp. 181-191
- Borrough, P.A. (1986).** Principles of GIS for land resource assessment. University Press, Oxford
- Campbell, W.J. et al (1990).** Intelligent information fusion for spatial data management. In: Proc. of the 4th Int. Symposium on spatial data handling, Zurich, 2:567-578
- Cassettari, S. (1990).** Using aerial photography in your GIS. In: Proc. of AGI Conference, pp. C.3.1-5
- Castle, G. (ed.) (1993).** Profiting from a Geographic Information System. Fort Collins, Co.: GIS World
- CCITT, (1992).** *Information Technology – Digital Compression And Coding Of Continuous-Tone Still Images – Requirements And Guidelines*. CCITT (the International Telegraph and Telephone Consultative Committee) recommendation T.81. Also known as ISO/IEC International Standard 10918-1. Commonly known as JPEG image format specification
- CEES (1989).** Our changing planet. The FY 1990 Reaserch Plan, Executive Office of the President, Washington D.C.
- CEES (1992).** Our changing planet. The FY 1992 Reaserch Plan, Executive Office of the President, Washington, DC
- Central Intelligence Agency, Office of Geographic and Cartographic Research, (1977).** CAM Cartographic Automatic Mapping Program Documentation, 5th Edition, Washington, DC
- Chandler, J. H., (1999).** Effective application of automated digital photogrammetry for geomorphological research, *Earth Surface Processes and Landforms*. 24, pp51-63

- Chen, Y. și T. Schenk, (1992).** A Rigorous Calibration Method for Digital Camera, The International Archives of Photogrammetry and Remote Sensing, Vol. XXIX, Part B3, ISPRS Commission III, Washington, D.C., 7 p.
- Cheng, B.H.C. et al (1994).** The object-oriented development of a distributed multimedia environmental information system. In: Proc. of IEEE 6th Conference of software engineering, pp. 70-77
- Cheng, B.H.C. et al (1996).** A regional information system for environmental data analysis. In: PE&RS, LXII(7): 855-869
- Cooper, M. A. R., 1998.** Datums, Coordinates and Differences. *Landform Monitoring, Modelling and Analysis*. Edited by S. N. Lane, K. S. Richards and J. H. Chandler. John Wiley and Sons Ltd. pp21-35
- Cressil, N.A.C. (1991).** Statistics for spatial data. Willey and Sons, New York
- Deutsch, C.V., Journel, A.G. (1992).** GSLib. Oxford University Press, New York
- DMA (1994).** Digitizing the future. Fairfax, USA
- DMA (1995).** DPS Handbook. Fairfax, USA
- Donnergolla, U. (1994).** Sutwicklung einer kompakten Systems zur digitalisierung komplexer graphischer Vorlager. DIBAG Bericht, nr. 20-1, Graz
- Doorn, B.D., P. Agouris, R. Al-Tahir, A. Stefanidis, and O. Zilberstein, (1990).** Digital Stereo Matching: In Perspective, Technical Notes in Photogrammetry, No.10, Dept. of Geodetic Science and Surveying, The Ohio State University, 16 p.
- Drumond, J. et al (1990).** Automatic digitizing. OEEPE Report, nr. 23, IfAG Germany
- Earth Resource Mapping (1997).** ER Mapper 5.6, Reference manual. West Perth, Australia
- Eaton, R.M. (1993).** Designing the electronic chart display. *The Cartographic Journal*, 30, 184-187
- ECMA, (1997).** *ECMAScript Language Specification*. ECMA - European association for standardizing information and communication systems. <http://www.ecma.ch>
- ERDAS, (1994).** Imagine OrthoMAX Users Guide, *Vision International*.
- ESRI (1994).** Understanding GIS. An ARC/INFO Method. Redlands, California
- ESRI (1994b).** ARC/INFO Users Guide. Redlands, California
- Fedra, K. (1990).** Interactive environmental software integration, simulation and visualization. Technical Report RR-90-10, Int. Institute for Applied Systems Analysis. Advanced Computer Application. Laxenburg, Austria
- Fielding, R., Gettys, J., Mogul, J., Frystyk, H., Berners-Lee, T. (1997).** *RFC2068 Hypertext Transfer Protocol — HTTP/1.1*. <http://www.cis.ohio-state.edu/htbin/rfc/rfc2068.html>.
- Frank, A.V., Mark, A.M. (1991).** Language issues for GIS: Principles and applications, vol. 1, London Scientific Publications, London
- Giltings, B. (1995).** Digital elevation data catalogue on Internet. University of Edimburg. E-mail: bruce@geovax.edimburg.ac.uk
- Gooch, M. J. and Chandler, J. H., (1998).** 'Optimization of strategy parameters used in automated Digital Elevation Model generation', *ISPRS International Archives of Photogrammetry and Remote Sensing*, 32(2) pp88-95
- Goodchild, M.F., Min/hua, W. (1989).** Modelling errors for remotely sensed data input to GIS. Auto Carto 9, 9th Int. Symposium on Computer Assisted Cartography, Baltimore, Maryland, pp. 530-537
- Goodchild, M.F. (1991).** Spatial Analysis with GIS: Problem and concepts. In: Proc. GIS/LIS'91, Atlanta, pp. 40-48
- Greene, R.C., Cruise, J.F. (1995).** Urban watershed modeling using a GIS. In: Journal of water resource planning and managemwnt, 121(4):318-325
- Guran, M. (1995).** România și societatea informațională globală. Analiza unor opțiuni strategice. În: *Academica*, București, pp. 18-20

- Harbaugh, W.J., Merriam, F.D. (1972).** Aplicațiile calculatoarelor în geologie. Editura Tehnică, București
- Haslet, A. et al (1990).** SPIDER - An interactive statistical tool for analysis of spatially distributed data. In: *Int. journal for GIS*, 4(3):28-30
- Heipke, C., (1995).** State-of-the-art of Digital Photogrammetric Workstations for topographic applications. *Photogrammetric Engineering and Remote Sensing*, 61(1), January 1995. pp49-56
- Heipke, C., (1999).** Digital Photogrammetric Workstations. *GIM International*. 1 Vol 13. January 1999. p.81
- Herring, J.R. (1989).** A fully integrated GIS. AUTO CARTO 9, 9th Int. Symposium for Computer Assisted Cartography, Baltimore, Maryland, pp. 828-837
- ICA Standard Commission (1996).** Minutes from meeting of August 17-21, 1996, Den Haag, Netherlands
- ICA Standard Commission (1997).** Revised categories for metadata characteristics. V. 4.0, H. Moellering (ed.), 17 pp
- Isaaks, E.H., Srevestava, P.M. (1989).** Applied Geostatistics. Oxford University Press, Oxford
- Johnson, L.E. (1989).** A digital map-based hydrologic modelling system. In: *PE&RS*, LXVI(6): 911-917
- Kaufmann, R. (1987).** Colour considerations for electronic charts. Technical Memorandum, Department of National Defense, Canada
- Konecny, M., Rais, K. (1985).** Geograficke informacni systemy. Universita J. E. Purkune, Brno
- Kubo, S. (1995).** The development of GIS in Japan. In: Maguire, D.J., Goodchild, M.F., Rhind, D-W. (eds). *Geographical information systems: princioles and aplications*. Longman, London, pp. 47-56
- Lancaster, P., Salkauskas, K. (1986).** Curse and surface fitting. Academic Press Inc., London
- Larouche, C. (1995).** Automation of Photogrammetric Operations Using Advanced Digital Image Matching Techniques, Ph.D. Dissertation, UCSE Reports number 20037, Department of Geomatics Engineering, University of Calgary, Calgary, Alberta, September 1995, 155 p.
- Laurence, W.F. (1998).** Annual Report of ISPRS
- Limp, W. F. (1997).** Weave Maps Across the Web. *GIS World*. September, 1997 pp. 46-55.
- Littlefield, E.K. (1995).** The DMA's Digital Production System (DPS). In: *Cartography and GIS*, 22(2):119-127
- Liu Honey Liu (1992).** A reasearch of measuring cartographic information content. In: *Journal of Zheng Zhou Institute of Surveying and Mapping*
- Longley, P. (1995).** GIS for business and planning. Geoinformation International, Cambridge
- Loodts, J., (1996).** Logistics and Integration of the System: The Eurosense Experiences. *OEEPE Workshop on "Applications of Digital Photogrammetric Workstations"* Lausanne 1996
- Maguire, D.J., Goodchild, M.F., Rhind, D.W. (eds) (1995).** Geographical information systems: principles and applicaztions. Logman, London
- Mark, D.M. (1991).** Object modelling and phenomenon-based generalization. Longman Scientific Publications, London, pp. 103-198
- Masuda, Y. (1980).** The Information Society as Post-Industrial Society. I.I.S., Tokyo
- MATRA (1997).** System testing and validation - technique and economic report, Paris

- McBratney, A.B., Webster, R. (1986).** Choosing functions for semivariograms soil properties and fitting them to sampling estimates. In: Journal of soil science, 37:617-639
- McComb, G., Bower, M., Robinson, M. (1997).** Web Programming Languages Sourcebook. John Wiley & Sons
- McKeown, D. (1987).** The role of artificial intelligence in the integration of remotely sensed data with GIS. IEEE: Trans. Geoscience Remote Sensing, vol. GE-25(3)
- McLuhan, M. (1964).** Understanding Media: The extensions of man. McGraw-Hill, Toronto
- McMaster, R.B., Shea, K.S. (1991).** Generalization in digital cartography. Washington D.C.
- Moellering, H. (1991).** Whither analytical cartography? In: Cartography and GIS, XVIII(1):7-9
- Moellering, H. (ed.) (1997).** Spatial Databases Transfer Standards 2: Characteristics for assessing standards of the world. Elsevier Science Limited, Oxford, U.K.
- Monmonier, M. (1990).** Strategies for the visualization of geographic tool-series data. In: Cartographica, 27(1):30-45
- Morehouse, S. (1989).** The architecture of AEC/INFO. AUTO CARTO 9, 9th Int. Symposium on Computer Assisted Cartography, Baltimore, Mariland, pp. 266-277
- Mueller, J.C. (1991).** Generalization of spatial data bases. In: GIS Principles and applications, vol. 1, pp. 457-475
- Mueller, J.C., Weibel, R., Lagrange, J.P., Salge, F. (1995).** Generalization, state of the art and issue. In: GIS Generalization, Taylor and Francis, London, pp. 3-17
- Nebiker, S. (1995).** GIS data acquisition by automatic extraction of objects from scanned topographic maps. In: Proc. of 17th Int. Cartographic Conference, Sept. 3-9, Barcelona, Spain
- Netscape, Inc. (1997).** Netscape DevEdge Library Documentation. <http://developer.netscape.com/library/documentation/index.html>
- Newell, R. (1993).** The why and the how of the long transactions. In: Green, D.R., Rix, D., Cadoux, J (eds). Geographic Information 1994. Taylor & Francis, London, pp. 237-241
- NIMA (1998).** Defense GIS Data Sources Workbook. 5-1 July 1998
- Nițu, C. (1992).** Contribuții privind realizarea unui pachet de programe pentru construcția automatizată a hărților. Teză de doctorat, Academia Tehnică Militară (A.T.M.), București
- Nițu, C. (1995).** Cartografie matematică. A.T.M., București
- Nițu, C. (1997).** Sisteme informaționale geografice. În: "A XXVII-a Sesiune de comunicări științifice a A.T.M., București, 1997", vol. 15, pp. 143-151
- Nițu, C. (1999).** Analiza geografică în sistemele informaționale spațiale. In: Sesiunea de comunicări a Facultății de Geografie a Universității din București
- Nițu, C. (2001).** Bazele de date geografice și hărțile digitale în navigație. În: "A XXIX-a Sesiune de comunicări științifice a A.T.M., București, 2001"
- Nițu, C., Nițu, C.D. (1992a).** Errors and tolerances in computer assisted cartography. In: Proc. of ISPRS Congress, Washington D.C., Band IV, pp. 456-460
- Nițu, C., Nițu, C.D. (1992b).** Toleranțe folosite în cartografia automată. În: RGCC, 1(2):14-20
- Nițu, C., Nițu, C.D. (1993).** Folosirea seriilor Fourier în fotointerpretarea automată. În: "A XXIII-a Sesiune de comunicări științifice a A.T.M., București, 1993", pp. 123-127
- Nițu, C., Nițu, C.D. (1995).** Algebra structurilor de date cartografice. În: A XXVII-a Sesiune de comunicări științifice a A.T.M., București, 1995, vol. 7, pp. 422-429

- Nițu, C., Nițu, C.D. (1996).** Errors and tolerances of photogrammetric, cartographic and RS data in GIS integration. In: Proc. of ISPRS Congress, Vienna, 1996, Band IV, pp. 262-265
- Nițu, C., Nițu, C.D. (1997a).** Determinarea rețelei de drenare (talvegurilor), folosind modelul digital altimetric. În: A XXVIII-a Sesiune de comunicări științifice a A.T.M., București, 1997, vol. 15, pp. 83-90
- Nițu, C., Nițu, C.D. (1997b).** Dicționar rus-român de geodezie, cartografie, fotogrammetrie și teledetecție. A.T.M., București
- Nițu, C., Nițu, C.D. (1997d).** Cartographic data capture by digitization. In: Proc. of TERRA IV Symposium, Bucarest
- Nițu, C., Nițu, C.D. (1999).** Noi metode de analiză geografică In: A XXIX-a Sesiune de comunicări științifice a A.T.M., București, 1999
- Nițu, C., Vișan, M. (2000).** Sisteme informaționale geografice - realități și perspective. In: Sesiunea de comunicări a Facultății de Geografie a Universității din București
- Nițu, C.D. (1997a).** Proiectul *VIRGOS*. În: RGCC, 6(1):56-58
- Nițu, C.D. (1997b).** Status of approach of digital mapping in Romania. In: Proc. of 4th Conference "Mapping, Charting and geodesy Partnership", Bucarest
- Nițu, C.D. et al (1997c).** Studiu asupra dezvoltării urbane a municipiului București - aplicație a proiectului european *VIRGOS*. In: A XXVIII-a Sesiune de comunicări științifice a A.T.M., București, 1997, vol. 15, pp. 125-133
- Nițu, C.D. (1998).** *VIRGOS* System - Application for development of urban areas study. Commission VII ISPRS Symposium ECO BP'98, Budapest
- Nyages, T.L. (1991).** Analytical map use. In: Cartography and GIS, 18(1):11-32
- Openshaw, S. (1989).** Learning to live with errors in spatial databases. In: Goodchild, M., Gopal, S. (eds). Accuracy of spatial databases. Taylor & Francis, p. 263
- Pan, G.C. et al (1993).** A comparison between cokriging and ordinary kriging: case study with a polymetallic deposit. In: Mathematical geology, 25(3):377-395
- Pavlidis, T. (1980).** A thinning algorithm for discrete binary images. In: Computer graphics and image processing, 13:142-157
- Peterson, M. P. (1995).** Interactive and animated cartography. Prentice Hall, Englewood Cliffs, N.J. ; Toronto
- PCI (1996).** EASE/PRCE V.6.0, User Manual. Richmond Hill, Ontario, Canada
- Pijanowski, B. et al (1992).** Integration of human and natural science data for planning and management within a regional framework. In: Proc. of the Building a global environmental change information cooperative, First GESIN Users Workshop
- Raggett, D., Le Hors, A., Jacobs, I. (Eds.)(1998).** HTML 4.0 Specification. World Wide Web Consortium recommendation. <http://www.w3.org/TR/REC-html40/>
- Răducanu, D.G. (1997).** Contribuții privind obținerea produselor fotogrammetrice prin prelucrarea înregistrărilor cosmice. Teză de doctorat, U.T.C. București
- Răducanu, N. (1976).** Contribuții la problema ortofotoredresării. Teză de doctorat, I.C. București
- Răducanu, N., Spataru, A. (1992).** Fotogrammetrie. A.T.M., București
- Richards, J.A. (1986).** Remote sensing digital images analysis. Kensington, Australia
- Robinson, A., Sale, R., Morrison, J., Muehrcke, P., (1984).** Elements of Cartography, 5th Edition John Wiley & Sons, New York
- Roessel, J., Pullar, P. (1994).** Geographic regions: a new composite GIS feature type. AUTO CARTO 11, 11th Int. Symposium for Computer Assisted Cartography, Minneapolis, pp. 145-156

- Rotaru, M., Nițu, C.D. (1993).** Cea de a V-a Conferință Cartografică Regională ONU pentru America. În: RGCC, 2(1):48-50
- Rotaru, M., Nițu, C.D. (1993a).** Overview and future trends in cartography in Romania. In: Proc. of UN Regional Cartographic Conference for Americas, New York, 1995, pp. 271-279
- Rotaru, M., Nițu, C.D. (1995).** Stadiul activităților cartografice în S.U.A. În: A XXVI-a Sesiune de comunicări științifice a A.T.M., București, 1995, vol. 7, pp. 410-421
- Saleh, R. A., (1996).** Photogrammetry and the quest for digitisation. *Photogrammetric Engineering and Remote Sensing*. 62(6) June 1996. pp675-678
- Sarjakoski, T.T. (1992).** Suitability of the Sharp JX-600 Desktop Scanner for the Digitization of Aerial Color Photographs, The International Archives of Photogrammetry and Remote Sensing, Vol XXIX, Part B2, ISPRS Commission II, pp. 79-86.
- Schlage, J.D., Newton, C.M. (1996).** A GIS-based statistical method to analyse spatial change. In: PE&RS, LXII(7):839-844
- Serediuc, C.G. (1996).** Contribuții privind aplicarea metodelor numerice la determinarea geoidului. Teză de doctorat, A.T.M., București
- Sion, I.G., Noaje, I., Nițu, C.D. (1996).** The natural patrimony information system - a Deltaic study case. In: Proc. of ISPRS Congress, Vienna, 1996, Band IV, pp. 525-534
- Smith, D. G., (1997).** Digital Photogrammetry for Elevation Modelling. PhD Thesis. University of Nottingham. 241 pages
- Smith, M. J., Smith, D. G., (1996).** Operational Experiences of Digital Photogrammetric Systems. *International Archives of Photogrammetry and Remote Sensing*. 31(B2) Vienna 1996. pp357-362
- Snyder, P. J. (1987).** Map Projections - A Working Manual. USGS Professional Paper 1395, GPO, Washington, DC
- Snyder, P. J. (1990).** The Robinson Projection - A Computation Algorithm. In: Cartography and Geographic Information Systems, Vol. 17, No. 4, , pp. 301-305
- Stefen, C.G. (1991).** Developing DCDB that are useful for global changrs study. London
- Taylor, L. (1997)..** <http://www.abs.net/~lloyd/csfaq.txt> Client/Server Frequently Asked Questions
- Theuki, K., Soto, K. (1990).** Determining reflectance parameters using range and brightness images. In: Proc. of 3rd Int. Conference on computer vision (IEEE), Oslo, 1990
- Toderaș, T. (1999).** Contribuții la realizarea și utilizarea bazei de date cartografice a planurilor de localități. Teză de doctorat, A.T.M., București
- Tomlin, C.D. (1990).** Geographic information systems and cartographic modelling. Prentice Hall, Englewood Cliffs
- Tsai, V.J.D. (1994).** Towards on integrated three-dimensional GIS. Ph. D. Dissertation, University of Wisconsin, Madisson
- Turdeanu, L. (1997).** Fotogrammetrie analitică. Editura Academiei Române, București
- Uren, J., Young, C.T. (1990).** The development of an air photo based land information system. In: Mapping Awareness, 4(3):22-26
- US Army Corps of engineers (1990).** HEC-1 Flood Hydrograph Package: User's manual. Davis, California
- Usery, E.L. (1994).** Implementation constructs for raster features. In: Proc. of ASPRS/ACSM Annual Convention, Reno, Nevada, pp. 661-670
- Usery, E.L. (1996).** A feature-based GIS model. In: PE&RS, LXII(7):833-838
- USGS, (1996).** Standards for Digital Elevation Models. <http://mapping.usgs.gov/pub/ti/DEM/demstnds>

- Vancea, R., Holban, Ș., Ciubotariu, D., (1989).** Recunoașterea formelor; aplicații. Editura Academiei Române, București
- Vlaicu, A. (1997).** Prelucrarea digitală a imaginilor. Editura Albastră, Cluj-Napoca
- Vorkamp, C. et al (1996).** Using public domain geostatistical and GIS software for spatial interpolation. In: PE&RS, LXII(7):845-854
- Weibel, R. (1995).** Map generalization in the context of digital systems. In: Cartography and GIS, 22(16.4):259-263
- Wellar, B. and Wilson, P. (1994).** GIS and social science research and action initiatives: an hypothesis-based progress report. In: GIS/LIS '94 Proceedings. 802-817
- Westervelt, J. (1991).** Geographical resources analysis support system (GRASS). Introduction and programming manual, GRASS Information Center, US Army CERL, Champaign, Illinois
- Zăvoianu, F. (1987).** Reambularea cadastrului prin teledetecție. Contribuții la problema registrăției în vederea detectării schimbărilor. Teză de doctorat, I.C. București
- Zăvoianu, F. (1997).** Direcții de dezvoltare a fotogrammetriei și teledetecției desprinse din lucrările Congresului al XVIII-lea al ISPRS, Viena, iulie 1996. În: RGCC, 6(1): 38-48
- Zăvoianu, F., Nițu, C.D., Noaje, I. (1996).** Etude de la dynamique de la zone urbaine de Bucharest a l'aide de donnees TM de Landsat et HVR de SPOT. In: Proc. of ISPRS Congress, Vienna, 1996, Band BIV, pp. 493-500
- Zhang, B. And Miller, S., (1997).** Adaptive automatic terrain extraction. *Integrating photogrammetric techniques with scene analysis and machine vision III*. SPIE 3072:27-36